等。 集後從黃侶俠為師學和 小叫天一在廣州大新公 上,原名任婉儀,籍貨南 無限哀思。

二 京 市 京 任 天 西

騝

殯

=[3

盔

京

榮

迷情

俊

俏瀟

造型永難忘

下物業可能有廿多個單位收益,但遺產若干人工透路;目前所收得數字。 一至於外傳任姐身後遺產有逾億元多數字,統共有十一萬餘元數字。 一至於外傳任姐身後遺產有逾億元多數字,統共有十一萬餘元數字。 一年於外傳任姐身後遺產有逾億元多數字,統共有十一萬餘元數字。

的啜泣聲。,只偶爾感覺到仙姐拭去面上淚痕,以偶爾感覺到仙姐拭去面上淚痕,心中久久不願離去,全場一片靜默,心中久久不願離去,全場一片靜默,田友好攙扶下行到任姐靈堂前鞠躬默田友好攙扶下行到任姐靈堂前鞠躬默

作十年的九巴司機為例,年終雙粮亦只得一千八百多元雙粮,花紅計算及及退休金制度作出改善,以一個已工設有誠意改善員工調利而終止談判。 九龍汽車(一九三三)有限公司員工協會十名代表工龍汽車(一九三三)有限公司員工協會十名代表

就福利問題昨與資方談判

過四個四個

六佔全部司

巴員工協會所提出的。而兩會對員工協會密的聯繫,雙方更作

工協會决定罷駛巴員工協會所提

,寫著:「盟姐婉儀上懷安息做動情况。而工作人員在後堂壇程仙姐表現得極哀傷,但亦但在親友陪同下進入後堂瞻仰一

型醫構 逾 會 何 丰 禮 務 亦 百 館 陳 采 ,

堂,奉移往歌連臣角火葬場舉行火化禮發、髙鎭南、陳自强、劉培基親扶鏡柩、髙福水、甘光舜、區錫鎏、劉禹煌、容後,由任姐生前十位友好祭水業、余容後,由任姐生前十位友好祭水業、余高親友們在沉默氣氛下環繞窥柩瞻

· 禮 松 李 仲 遺 縣 海 一 禮 四 禮 四 禮 四 禮 四 禮 四 禮 四 禮 四 禮

四運到的新落地鹽車運載任姐的靈柩幔拜結束後,任姐的鹽柩隨即舉殯,

中,白雪仙一直表現得很沉默,其配黑白絲布莊嚴肅穆

靈車週圍

傳遺產

逾

尼元

餘單位

靈堂飲

泣

絕

-位好友扶柩

康卫

**乃馨滿天星** 

一有污化的人物。

市建被拍攝到遺容,然後各親朋友好有整被拍攝到遺容,然後各親朋友好,大台安排先讓記者離場,以囘應任,大台安排先讓記者離場,以囘應任,大台安排先讓記者離場,由循道循理聯合

· 之不公平

嫁於各孕婦,並要求各行及歧見,而引至工業行動

動不便

昨午在靈堂內舉行安息體等任姐的靈堂經一連三日供,可謂福壽雙全,讓人永久

**産後護理** 

如接獲醫生對個別孕婦,如有任何孕婦需要入

遺體火

化後骨

運返加拿

於心。 一代名倫生榮死 米新落地盛車運

F

------

迷夾

道圍觀任

劍輝

香港政府明令指定刋登有關法律性質廣告之有效刋物

庭家樂康 日

中華民國僑務委員

一頒發登

記證台敎新字第

行業工取採士產助 帶動

政送轉婦產娩分需 院醫府 動行業工置擱神精業專着本籲呼局當 者病及民市響影免告報討檢候靜耐忍

七三六一三二一(5):處分區中 三九六〇四六一5:處分角北

模二號九四一路林桂市北台 过去自己可证 性傷智術主流發銷物消費物物化學



昨晚喜獲進展 計算退休金的「權益因子」達成協議,但對領取退休金的年特訊)中巴員工昨晚再與資方就退休金制度展開談判,結果但對領取取退休金年齡仍存歧見 巴勞資談判

他表示,就中巴是 是供正常服務一事,當 是供正常服務一事,當 是供正常服務一事,當 是供正常服務一事,當 是供正常服務一事,當 有否修》 東利權而爲市民提供服 等;而目前的法例規定 方,首次觸犯會提出空 等,首次觸犯會提出空 等,首次觸犯會提出空 等,一型不遵守法例及



政府 改善現 **#** 行管理制度 年內

型 區巴土服務不足的情况的 等一帶屋邨,以改善南港區南區,包括置富、市港區南區,包括置富、市港區南區,包括置富、市港區南區,包括置富、市港區南區,包括置富、市地多豪華巴土路綫,行走市地多豪華巴土服務不足,因此

開課日期:1990年2月1日 即招:1989·1990年度下學期新生及插班生 開課日期:1990年8月1日 1990-1991年度上學期新生及插班生

五 次:青玄鄉東會路僧怡廣塢一相 電話:0.4572338 电 門 一 坊:屯門骨山公路初勝大廈 電話:0.4572332 电 門 一 核:大脚落石排發進廠後花鄉 電話:0.4572312 元 明 一 核:元納路地數學街好職利大廈、電話:0.4773277 元 明 二 核:元納器和計以數學及大學 電話:0.4790416

校監兼總校長:褟關惠嫺

電視企業聯營機構



報話 15 455157 電話 15 78589)

部 仁濟醫院護啓 0

醫院

演十 粤

在。 至雙方會談有進展,而退休年齡雖然未有協議,但並非資方有意拖 中請,但公司則規定除十年年資外,必須滿五十五歲,雙方在這方 一面仍未達成協議,待下次開會再定。 至於領取退休金的年資,他說,與工希笔只需服務滿十年便可 至於領取退休金的年資,他說,與工希笔只需服務滿十年便可 至於領取退休金的年資,他說,與工希笔只需服務滿十年便可

他說:中巴專利權是由董事監察,市民毋須担心,這是攻府的作出囘應。 另中巴董事局主席顏成坤昨晚對於運輸司梁文健的宣佈就不肯

市民毋須担心,這是政府的

一團體贊成一硬措施

年劇

移民律師顧問親自主理 週六講座主題

加國最新企業及獨立移民條例 由加拿大移民律師主講 備有錄影帶介紹

●退休移民 ● 投資移民 ●獨立及親屬移民 • 企業移民

免費審核 歡迎約見

理事長 甘文俊啓

住址

~~~

這樣重視舞會了。 這樣重視舞會了。 與性朋友的主要途徑,也難怪那時的年靑人 剛男女自由交往的社會裏,舞會可能是結識 如果在自由交往的社會裏,舞會可能是結識 可能是結識

電話

\*\*\*港

歌新

成藥滲雜西藥成

ヒロマ

透理,同意本澳記書前。得批准進入珠海。 方面將此作爲特別個案。但電視攝影機就未能獲 不過,經過斡旋,有關「小組參觀旅遊的新聞」 五日向有關方面申請, 往珠海,採訪有關聯絡

首次獲任台灣僑選立法委員

基輔 高 峯 會議

議 討論

出席共 市高

八時卅分假 座香巷翠場 遊遊 建定主 磨十二

分假座香港堅道五十號香港建定主曆十二月十一日(星月廿五日奉柩安葬薄扶林道止午十二時在香港港安醫院

正午十

於主曆

**連定斜處隨即出** 

此連報臣

午 野 暦 本 暦 本 間 神

11(星期五)下

殯儀館治喪謹

没信教會遭当 期一)下午六 安息主懷經於 安息主懷經於

誼謹此報

晉義 晉廉

雪禮

公司司

世界殯儀館車總站紅磡碼道海底隧道口)

級欣

外球서 姚偉基

頌 頌 明 恒

宜。(旅遊部

大學權或投票支持邁耶爵士, 數卓爾夫人獲得三百一十四票, 數卓爾夫人獲得三百一十四票, 數卓爾夫人獲得三百一十四票, 與卓爾夫人獲得三百一十四票, 與中爾夫人獲得三百一十四票, 與中爾夫人獲得三百一十四票,

文章說,美化私有制,旨在否定公有制。供理論依據。 供理論依據。 中医低和否定公有制,並引用所謂『精英』提入的中國出路在於私有制的見解,爲私有化提,既低和否定公有制,並引用所謂『精英』提及關「和「亞洲四小龍的成功」,美化私有制

|台的主因是搞「資產階級自由化美化私有制,旨在否定公有制。

向埃及

美火箭專家

医| 近乎使用一謀略」,有失英國夫人,二則協助夫人渡過難關電商夫人挑戰是「玩把戲」,電商夫人挑戰是「玩把戲」,不了的鬥爭。邁耶爵士此次向(不了的鬥爭。邁耶爵士此次向 會有太大改變,不存在公有制與私有制遺個大港人治港」、「一國兩制」。香港現狀應該不應務院領導人再三說過的「五十年不變」、「國務院領導人再三說過的「五十年不變」、「國務院領導人再三說過的「五十年不變」、「

香港如何

管行公有制或是私有

文度六日電) 一名火箭 一次度六日電)一名火箭 一次度六日電)一名火箭

四月六日電)中國人民對 四月六日電

西國總理

1两年内,他們必須實事求人是保守黨及戴卓爾夫人之深(守黨,反映人民已對保

情。它借介紹西方國家「私有 住經濟上場力鼓吹私有化,意欲 日來已久,不遺餘力。文章說, 日來已久,不遺餘力。文章說, 日來已久,不遺餘力。文章說, 是不是人,不遺餘力。文章說, 是一人民日報 是一人民日報 是一人民日報

容許私

營經濟

公有

度

爾格萊德大日電)南(美聯社南斯拉夫 級地震

廣東 最近發現

先慈

楊母高個

燃悠太夫人

曆記力

年十

月野

日上午

三時壽終九龍聖德肋

八十有八歲遺體奉八龍聖德肋撒醫院

積閏享壽八

一萬多宗性病

B 均感到震動。但報導並 小部份南斯拉夫西部地區 的亞德里亞海岸·大部

馬提亞沿海區。它說,地震、星期三較早時震地震、星期三較早時震

小子上

在公有制社會生活。我們可作最壞打算

姑母

任婉儀

主懷安息於昨(六)日

先

在香港殯儀舘出殯辱承

宗郷友世教戚姻紳官

惠賜厚賻高誼

誼親臨參加安息禮拜

隆情殁存均感謹 此鳴

侄任載德堡處譚漏添

盟妹陳淑良

暨衆親屬

先姑母 任婉儀女士 主懷安息

在她的告 各界朋友 別會中 落力帮忙,特此 承蒙

可可好命

楊廖何梁 鳳錦淑 彩 桃 後

梁潔儀

**顯**仕 邦宏

德德額顯仕文文 琨璋馨筠珊薇茵慧

任載德

**暨任婉儀治喪委員會** 

~ 行政局批准草案》成立康體發展局

,黎嘉楠認為加强港台門方面出一分力。 自港區僑選之委,是有 企港區僑選之委,是有 開選舉,國民黨及民進黨可說是 自八七年解除戒嚴令後首次的公 選舉,黎瀉潮表示:是次是政府 對於剛完成的台灣公職人員

致引

得先到先

星期

共週十

與娛

樂指南

彩色印刷

•彩色印刷共四十直隨華僑日報附送。此外 • 在下列地點免費「星期六週刊」逢星期六出版 • 刊登港九、新界各大商場最新

万成派臂理人員糾察,防止打尖行為,防止打架混成秩序,地產發展商理應負責,並應在預售櫻花之區利並非不法行為,在自由經濟社會中不應管制,

港

新

方劑成藥滲雜西藥成分 港府密切監察

1)政局批准草案//立康體發展局

稱司政地 多多明月

序秩持維利有方警會知先須

雜複分十制管例立

港客返港談馬尼拉見聞

展示拾得子

彈空壳

叛軍對待旅客態度友善

中葡會議第一 澳門

少單獨身份

曾議繼續 

最詳盡的購物 娛樂指南。彩色 印刷、將於12月9日隆重面世。 每期用登港九、新界各大商場 最新消息。免費贈閱消費者

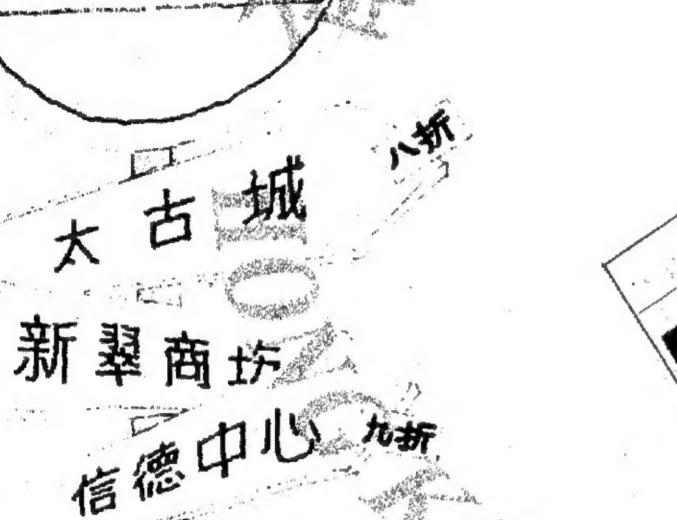
### 索取方法:

1 逢星期六隨華僑日報附送。

香港區:太古城、新翠商場、 信德中心、香港仔 利港商場。

九龍區:新世界中心、中港城、 尖沙咀中心、帝國中心。 新界區:沙田新城市廣場、屯門市 廣場、大埔中心、

元朗廣場。 3 香港電視服務站,包括:九龍東部







2 各大商場詢問處,包括:



中建企業有限公司

野車<br />
怎能<br />
撼貨<br />
櫃車<br />
外出買<br />
飼料<br />
銀白<br />
鴿一去不返

路斷

單車怎

意

THE PERSON 部

影時小逾

樁機操

台北四天花蓮園 九族文化村五天團

阿里山六天團

花蓮九族文化村六天團

東京迪士尼五天團

曼谷芭堤雅五天團

芭堤雅七岩八天團

星馬檳城六天團

韓國四天團

僱 償 月 提整

須

定期舉辦考察團 歡迎各社團、公司、二滴獨立組團 中環干諸道中62號中與商業大價4字價差外線碼頭對面 代辦世界各地特快簽證

東南亞廉價機票

**◆ 紐西蘭特快移民**▶

免費解答移民申請成功率特高

三藩市 5 2000

夏威夷 \$ 1600

紐 約\$2380

温哥華 \$ 2400

愛門頓 \$2880

溫尼泊\$3500

南 美 S 4500

倫 敦 \$ 2200

政 洲 \$ 2350

書訂

約預

代辦世界各地酒店房間。

國內、澳門酒店,直接出房單,方便快捷。

●代訂廣州交易會酒店房間,即時覆實,直接出房單。

彌敦道六五五號胡社生行1412室 中環德己立街17~19號德和大廈4字全層自置物業 專售世界各地廉價機票

民事提為

●曼谷、東京、台北、馬尼拉、漢城機票+酒店,天天出發

**台證 8 170元** 

機業酒店訂位,由專人負責,即時為顧客辦理,服務快捷。

代告世界各國特子機票,國內,澳門酒店及港澳船票

· 專斜加拿大、澳紐投資移民考察園,加拿大亞伯達

省投资、企業及这体移民、知遇關投資移民、前往經

西蘭雨星期內可辦安永久居留證,四年便才須往經報

到·全港獨有·不成功不收費;《詳情可與本公司移

代持香港( 1人) 申請加拿大簽證 \$ 180元

直線航空公司電腦訂位,效率可靠迅速。

補査港九

一商各業啓事

九靛旺角彌敦道636號銀行中心2110室

旅遊有限公司 穗 行:加拿芬道國際商樂銀行大廈 7 字樓全層 (河內道口) 3-3112318 中 暦:信晴温中141號国際大概506室 KWAN'S TRAVEL SERVICES LTD 旺 向:獨敦進旺角中心第一第1920至(大陸間積積上) 牌開號碼: 350139 尖沙阻:模利士巴利達3號攝光行823型(電梯近天星隔隔) 11 新海南縣 企 本有音及者語

3-7395500

牌照號碼:350074

荃 灣:臺灣的電纜站兩豐中心802室

**蒋賀潛:軒尼紡道466號金聯商業大農15字(鑑用企接上)** 

官 昭:開車進官總劃總一總115號創位(認識店園)

5 8920000

0-4963222

3-423121

馬尼拉、碧桃灣、百勝瀬五天豪華團 \$ 2,780 馬尼拉、百餘灌、碧雅、碧桃消七天 \$ 3,280 \$ 3,880 韓國 漢城、溫陽、華克山莊四/五天豪華團 \$3,8%) 庭 清州岛·漠城·華克山莊四/五天豪華图 54,190 元 達皇明一·三出粉

天天出發

TATA 漢城溫陽夢幻世界四/五天豪華團 \$3,890 €

320

930

素誌標的學信 香 进 re 陷 遊

劦

東京、富士山、廸士尼五天

九州(鹿兒島、福岡)六天

本州(大阪、富士山、東京、日光)七天

· 荣描日飲或醫泰747客推往返、舒適寫意

這是第二、四出發

**△夏期一、四出**役

九州木州八天

建皇期一、四世社

達星期一、三、五田県

34 Yest 3174 اريوانداق يوبويو

進星期一出發 \* 歡迎住港未滿七年特 D.1. 証件人仕參加

曼谷・芭堤雅、小人國五天 \$ 3, 380 造星期三・月出程 布吉島 (PEE PEE 華島)五天 \$ 3,890 達星期四出發 昼谷、芭缇雅、七岩七天 \$ 3,980 连要期三、日出發 布吉島、電牙灣、声堤雅、春谷七天 \$ 4,480 台灣 台灣南北(阿里山)五天豪華團 建星期 三、五、日出發 台灣(阿里山、花蓮)環島七天豪華團 \$4,080

速星期一、三、五、自出發 加進小人國、野生動物園、九族文化村 · 台北分社直接安排 上午機批算,下午機逐港

**仏警方正** 

費免出登字號六用全項③至①內表

③ 電

分類編 行 調 領

多

電腦直接定位、價錢公道、絕不取巧

專辦各地特快簽證、廉價機票、酒店旅行團

金肖

薄利

全港

一並加刺綫)

②地址

①名稱

類絹入。「工商名」

運3-910377

進週六出發

韓國豪華團

四天\$3880

天天出發

四天\$1099 六天\$3660

台海急證 \$150泰證 \$130美加廉價機聚

代定台北機票 各大酒店 \$250起 天天出發

機聚自偏天天出發

溫哥華團

四天\$8890

逢周日乘西北

星馬(馬六甲、雲頂、柳桃)六天 \$ 4,880 馬星(雲頂、治保、補裝)七天 \$ 5,190 **亚星期三、六出**数 星泰(曼谷、芭提雅)七天 \$ 5,490 進星期一出程 \$ 6, 190 😥 星馬泰(布吉島)九天/十一天 企业对五出数

進星期一、三、五出程 **建星期一・三・五出登** 

休養漢吧

宿露、馬尼拉、百勝羅七天 達星期六出發 - 增加:紅塵坊夜陽會都且 糕王俱樂器

. व १६००व्यक् . - ११ जान्त्रा १३४ -- व व्यक्तिप्रदेश, ११ क्रेक्टरक्त 4 4 20 " of 4 4 400.

TAREX

會員幣 合 」黃 告

聞

書單所訂優待辦法至

袁 曹

乾 貨

會堂音樂

雖然惟門可能缺乏育成 競投青大都年紀較輕。 何氏說:「昨日的 千元。」 在大百個 中二個 推十在七岁

行理。第一期没施已於 位於上海街三四四號, 治蘇地露宿者之家

依慣

五百八十元二百六十元

七百兄一千四百兄

七十五元

里彩色山工工士

连星期-

苑强富

高

貨

敬候佳作

荃灣鄉事委員會會徽設計比賽

**荃灣鄉事委員會今次舉辦會徽設計比賽**,目的是希望透過美術界朋友,集思廣 益,設計一個有意義而且能代表本會之會徽。

### 提示:

荃灣鄉事委員會隸屬新界鄉議局轄下廿七個鄉事會之一,具有歷史性之鄉事機 構,其宗旨爲促進居民間之感情,維護原居民權益,發揚傳統習俗,爲居民謀福利 · 排難解紛,作爲協調政府與居民溝通之一道橋樑。

### 比賽規則:

- (一)是項比赛乃公開性,歡迎任何人士參加。
- (二) 參賽數量不限, 顏色以單色爲主, 最多亦不可超過兩色, 請將正稿畫於 8 X11吋(A4 SIZE)卡紙上。
- (三)設計圖型不能與本港商號和社團機構之「徽號」有所雷同。
- (四)參賽作品請在背面寫上姓名、性別、身份證號碼、地址、電話等並附以簡潔 文字闡釋作品內容及含義。
- (五)評判:邀請美術界資深人士,包括:區域市政局議員何文匯博士、教育署美 術科首席督學郭樵亮先生、陳浦芳 MBE 太平紳士担任評判。
- (五)主辦機構有權决定如何處理參賽作品,或用於任何形式之宣傳。
- (六)參賽者必需絕對服從評判評選之結果,不得異議及上訴。
- (七)所有參賽作品恕不退還。 (八)獎勵:一經評判取錄,首名可獲現金獎伍千元及紀念牌一面。優異獎三名分 别獲得現金獎壹千元及紀念牌一面。
- (九)截止日期:

**参賽作品請於一九八九年十二月三十日前郵寄或送交荃灣沙咀道二七七號二** 樓荃灣鄉事委員會收 ∘

(十)查詢電話:0-4922444·4924444·4901966 (十一)比賽結果將會專函通知得獎者,並邀請出席頒獎典禮。

设别区城位\* 证.奢學核。任益國籍\* 木大局在西岸世 撰章則及註电應之決定。 日則 參賽者簽名

\*清陽天下適用者

獲豐銀行主辦獲豐中文書法比賽參加表格 粗號: **参賽組別:** 1-學訊/中學指/[2]問記\* 在世界份。但他們

3. 公開組 : 全,花各界人 出地可參加 1. 参加小學或中學組者須符有有效之學生設件 2. 參加公開報者道持有香港身份記載有效之香港同民進明文件。 海州最有"(dalk)。名、南南、名、季軍一名及優界實五名。各可獲得應址及現金獎如下:

五、參賽辦法 1. 验收者請以工階報實參如表格,連同其作品郵幣或達安工 香港皇后人董中一號測豐銀行主樓。如屬郵客、信針外請計明打進豐中文書法比賽力。 2. 截止软件日期的一九八九年十三月十五日.

3. 每位學賽者當以希筆書寫人、小字作品各一幅, 内容可自選, 小字作品领玛楷書, 大字作品字體不拘

局

進豐銀行

為提倡研習及欣賞中文書法藝術之與趣,本行現舉辦全港公開中文書法比賽, 徵件日期由十一月十五日起至十二月十五日止,歡迎各界人士及青少年同學踴躍參加。

比賽章則及參加辦法如下

。比賽宗旨: 提倡研智及被實中文四次藝術之典地

1. 小學和 : 凡小學在校學生的可處亦:

。 参賽資格

1. 作品紙張尺寸: 小學組及中學組 (47名:12時 × 186) スプ:1847 × 24時 公開和。 尺寸無測一規定,但4-得入於24F1×48世

作品無差數核

3. 小學組及中學組獲選進入複選之營省者, 將改邀請而來本行即屬書寫作品一輯、 (1)便計判關決定放後名法。時間及地點另行個別通知

四本行政高大准署名資深中文書法家安子介博士、蘇文提教授、何浦雄教授、鄭家如先生、

七、公佈結果: 獲廣名單將於一九九岁年一月十二日在木港明報、東方日報、華僑日報、星島日報及新晚報公佈。 獲料者另手例別預知循環日期時間及地點。 1. 參實作品得由本行收藏或處理, 有論人遇風舌, 廢不丟滯。 2. 本英則如有卡畫之處不行得保留關釋權 3<

主象如表格必須連同作品交回。參加表格可以期间複製使用

房屋委會屋邨

外資助學校

建築署負責大型修葺工程

恩光學校事件進行調査並採適當行動楊啓彦謂短期內公布新措施生效日期

一聚急工程則一至三個月 一選署長給予批准為止, 一主要修養工程,由學校 主要修養工程,由學校 主要修養工程,由學校

本月十一 研 刀管理

教育統籌司楊啓彦稱 數字每年不多於十宗 六年 暴力

各

異演

青年應珍惜本身地位身 勿妄作胡爲以 校長陳祖澤謂本港繁榮有賴於敎 以擾亂社會7地位身份

靈早 幻塲 當代時

極間度

電話五——二二零二二四港欖勿兄弟拍賣行政

情何 信 観道偽 的德善

(1) 五今 塲天 攪輕反 笑鬆斗

信

及 理策略 ] 及「外籍經理」士對問題的看法。 一 一 工 十 工 假 新 世 界 酒 店 舉 行 一 至 十 工 假 新 世 界 酒 店 舉 行 一 至 十 工 假 新 世 界 酒 店 舉 行 一 至 十 工 假 新 世 界 酒 店 舉 行 一 三 十 工 假 新 世 界 酒 店 舉 行 二 至 十 五 假 新 世 界 酒 店 舉 行

謂無措施能確保逾百萬學童教

東華

院

招標競

**投潔** 

淨

合

BOND UNIVERSITY

澳洲黄金海岸

祥细资料请聯絡:

環亞留學中心

CHATHAM

Z

DUSTRIES

常

公司

陸海通有限 公司謹啓 朗誦節

得

頁

得

獎

**沓港四邑商** 

總總

會通告

生杯

Christian School成立自

升

查詢5-233693

(MR

UNG)

任本公司

聲 明

注册地址香港博仔石水渠街 2字樓 B 2

各界人让對於出讓人所經營其生意,有任何

出讓人及承讓人代表律師

廖陳林律師事務所

太古大厦十六腰一六二二至三六室

香港遮打道九至廿五號

海

讓人繼續經營其生意無沙,特此聲明

生意,在未正式成交該項轉讓前,其生意之一切 債項及責任,全由出讓人負責。 華洋輕輻未清者務需於木聲明刊出日一個月內採《 樓 取法律訴訟、否則根據上述法例、逾期後概與承人

傢

DISTRAINT NO.1536 OF 1989 ENTRE 二字樓二〇二室(寫字) IDITIONERS 貨物性質——電話 IDITIONERS 貨物性質——電話 IDITIONERS 貨物性質——電話 IDITIONERS 貨物性質——電話

沿車寫字樓傢拍賣 MASS 港欖勿兄弟拍賣行啓

S.T. DISTRAINT NO.272 S.T. DISTRAINT NO.272 G., 七字樓(MASS STATE 伯賈行內將存在九龍新藻崗雙喜街 MACHINES 貨物性質——電士點 以價高者得投得者須立即將全部貨 以價高者得投得者須立即將全部貨 有錯漏或意外

港欖勿兄弟拍賣行啓

(底薪+佣金)

③一年或以上之有關工作經驗。 ④工作地點在荃灣或青衣區 ⑤福利包括有膳食津貼,年尾雙程 及醫療津貼等。

某大地產公司

聘請營業代表

有意應徵者請於辦公時間內電 5-8325298袁先生洽。 五

□ \$\frac{\partial \text{\partial \

是一个人。 一般事項 一般事項 一般事項 一般事項 一般事項

一一一十一十一十一十一十一十二時正在香港中環德已立街二十三時正在香港中環德已立街三年度自計師(四)修改社章及計學度可以完全的計算。 一年內社務概况(二)省院 一年內社務概况(二)省院 一年內社務概况(二)省院 一年方社務概况(二)省院 一年方社務概况(二)省院 一年方社務概况(二)省院 一年方社務概况(二)省院 一年方社務概况(二)省院 

電話五一二三零三三四 香港欖勿兄弟拍賣行啓 電話五一二三零三三四 香港欖勿兄弟拍賣行啓 一二百七三四 香港欖勿兄弟拍賣行內將付貨 一一一三三零三三四 香港欖勿兄弟拍賣行內將付貨 一一一三三零三三四 香港欖勿兄弟拍賣行內將付貨 一十二月七日(星期四)上午十時川分在香 一一十二月七日(星期四)上午十時川分在香 一一十二月七日(星期四)上午十時川分在香 一十二月七日(星期四)上午十時川分在香 一十二月七日(星期四)上午十時川分在香 一十二月七日(星期四)上午十時川分在香

香港拍賣行及地產代理有限公司啓

上總會

副理事長

關鄒陳 注悅劍 洲薬科

號 或 近 工

一九八九年第二〇二號—油麻 一九八九年第二〇二號—油麻 一九八九年第二〇二號—油麻 一九八九年第二〇二號—油麻 香 港 處 將會展示適當的日間及夜 油麻地避風塘維修 將於油麻地避風塘 告

務須小心駕駛爲要

措へ一施星九

① 裝青路 止之間一段《包括整條青衣棒》終 市之間一段《包括整條青衣棒》終 一种平青荃橋東行行。 新會對望 將會封閉,禁止所有車輛通行其與青衣鄉事台路迴旋處交界

①在總士古道西行欲使用總士古道迴旋處、新圣橋、總士古道迴旋處、荃灣路及葵靑迴旋處、香香橋、總士古道迴旋處、荃灣路及葵靑迴旋處、古道迴旋處及靑荃橋。
①在獎靑路款前往黃術的車輛、須改經機構窩路、日本獎靑路款前往黃衣的車輛、須改經機構窩路、日一般交通改道 須改經沙

○九巴巴士服務公共交通措施

①爲長靑邨、

(小型巴士(專線)服务 (內型巴士(專線)服务 (內型巴士(專線)服务

上错老

諧特科 趣技幻

陸海通有限

謹啓

明 之後若有錯 現銀紙繚足

湿或意外之事俱歸實者自理特此聲並限於指定期內將該貨物出清下槌。

某

③一年或1

④工作地?

⑤福利包:

及醫療

有意應往

5-83252

五

設置交通標誌一時預別

運輸署署長

蕭烱柱

電話五——二三零二三四香港欖勿兄弟拍賣行啓

**预壓羣雄奪總 進文傳神誦詩意** 冠軍 多個項幣







,故此大會邀請了三位對朗誦有深厚心德的老一等奪總冠軍之榮銜,戰况自然更加精彩,激烈一馬不如以往一般,每組同一體材,再加上今次是一多組的嘉賓也被吸引得細心欣賞,興趣大垍, ,由于各同學所朗的體材不一致,故令在場一來

小朋友獨誦仙四十一屆校際朗誦賽接近尾聲

朋友

充滿信

心全

無

懼色

掌

盛大

献盛今

種面別震庭上 :新開幽。驚 戲鬼冥下天

浪湖大聲春滿性民四今 来浪春戀樂山愛樂斯天

②城康①
5-8854589

夜

情激

2 先

偷

劉羅秦葉劉

歌詞

朗誦

口

獲

殊

榮

黄氏

齊得

獎

重點

主旗省場四大師早明 集兵港: 點晒姐坞珠

**第** 華 3 頓 週

片級 1

**瘋上** 狂帝

集續也

集劃A午 續計夜

至影

粤

豦

脚紅運好

映獻塲五天今

演馬一丁 麥 葉 劉 出第原法 當 主 德 德 !三班內 導 保 演 媚 華

五今場天 芳永琪蓓 情夜 <sup>傑何</sup>激 觀刑

王虎勇'場後 花霸飛神早

麥 葉劉 剪主德德 海傑演娜華 點點點 九半三 陽亂 情世

戲遊份緣場夜午晚後 危飛四車快早 香 腦越點 餐場仔港

狂也上

續旗帝

生先情偷

映献塲五天今 宜不童兒・塲五天今

片艷級三塲五天今 導阿情激夜

**夜激情**室情至性傑作 錯老豆

賭場午後 神 夜晚 四十二點至三九

五今 塲天

先偷 生情

大法特局情 先靈早 生幻塲 塩腐代時 門屯

0-4591170

院① 塲五天今

門坦

机多域

0-4572795

大30神結年人

<sup>#</sup>321

續瘋帝

身老上。豆蜡

結情法2 局大內

結情法 午風學四

也瘋 郎寫80 !眞年 女代

2 徽城

上和新

結構法級 局大內

結內午市集瘋上俠心早 局情夜獵、狂帝四三場 大法人城纜也點劍花

心中城新

局持情內法

風再早後 雲起場天

**灬情激夜** 身豆老维上

間空度極

間空度極 △情激夜

深

、獵市城

淵

分

親

城海 ②① k7356915

塲五院兩

主 沈 黃 喜又森高 志 劇— 赌场午後 神 夜晚 區油火半十 尖併 點

五今場天

生

珍天五 偷

劇趣技學

場映重天

師整乖豆情父豆變乖 生概仔變老談代老仔

0.4522123 (3)約敦黎

夜

激

献五即 映塲日 本達空間域境界大師極度隨地大師 喜諧狂一 劇趣笑級 老調府
正身錯

女場院妹食片場半場⊕ 福窟四仔色正三四十院 星亂點②觀價級點早

64759660

身豆 歌合四廉() 家點價 院② 塲六天今 點四開加 空極間度

得另准香

作新 #738291

頓戴情代 主安/Q女 演姬聲性

週3第 △夜

續帝集也 貴慾淫早 妃賤六七 瘋 流花塲四 紅落:點

也上夜天 瘋帝茫蒼 狂<u>點</u>茫蒼 不 場午 天夜:夜 解·

情内法

塲夜午晚後院兩 戲遊份緣 關情間友担佳最場早華麗 島衣靑 塲爾發長 邨發長

幕開將快 難 里福

樂院線

<del>---</del>

流

香殺午鬼火四邊陷早好 港出夜 燭點綠阱塲運 3 657118 C-4594857 高部都

映場五天今

宜不章見 製監元若蘿

戲遊份綠場夜午晚後

風再午完解四叔雅早紅 雲起夜鋒騰點叔虎場磡

宜不童兒

場夜午晚後院三 戲遊份緣 八早春華青凡仙后三四 両半嘉齊春皇女好級點 斤禾叫年都下色皇三 10-1976808

映場五天今

活内局情

七續集 · 場夜午晚後 **戲遊份緣**  大活局 

場五

放暫映停 3-7428111

快

法内 猛鬼 情擁蜜桃紅 部 装 山 墳 修 情夜先偷結情法四 激生情局大內點

73496

殿霑

113 大局結 激生情墳鬼場午 情夜先偸山猛夜

情擁蜜桃紅△ 情 集 賊點魂夢小早廉 賊指。驚生塲價 女性 樣新性台四廉 神慾。花愛灣點價 集續狂瘋也帝上 點四

劇趣技幻 侵體眞幻 極度 上身錯 皇廟場四福七:早南 后街:點 小 場昌 雪場四情七表: 早樂 兒: 點 日錯 場宮

激生 空間 円 何 價 代觀道僞 價的德善

四光新(1)

5-632959

五今 塲天

五今 塲天

象一限 戰場地

朗元 華光地滿 

五今 塲天 大結門局 主 葉 劉 旗關德華德

神 賭 塘 早 點四今 情烈火慾 発 靈鬼 早. 今 觀奇 性街花

評好笑好 李伊吳 耀 偷情 菁雷漢 先生 山猛 墳鬼 夜 午晚後 賭午後 神夜晚 訷賭 身 賊烏今 替龍早

2都龍①

五今 塲天

五今 塲天



種新新別虧李至伊漢吳!數面牌 國海雷 耀

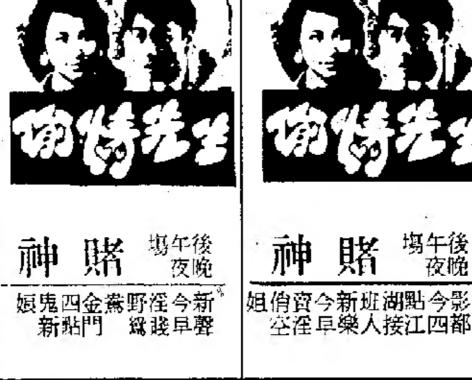
塲午後 夜晚











塲五天今







映場五天今

主兒洛芳狂琪陳之艷 殥 可 水 善女情





夜加**場**6今

豆上身錯 極度 空間 老 入異疑疑 喜諧特科 侵體眞幻 劇趣技幻 子蛙映點場今文翡 王青齊四早華翠

- 奧庫求時,張金華入場後踢左翼,而蒙水昌則移圖中間負責於,觀新漢人,張金華入替表現至至的李健和。

月

澳

,奏松偉乖巧地以意關後、張志德及時趕到,禁贏內無人台管下射達運新加强壓力,比賽速度也比上半傷長。七分鐘。蓮新得到第一次黃雨除皆以原陣應戰。

高的陳文項,是開始突破,三開始。

闌 度 認

推動網

碧加指網

聯唱對

义堡麥恩萊張德培坦

健和右路底綫你中

杜麥臣偉魚雖武飛頂,

甚至陳文順及鄭韋基也宏則到後場接

動攻勢・麥怪偉一啊」中・・滝新雖佔八成攻勢・但花

,李健和在李世昌力壓下,頭槌攻門乏力,原在花後防在氣力充沛下,也未出現漏洞。直開

四城市四百

谷、北京、自之战勵及支持。 一分別有 是得到國際業餘田徑總 年 多健 兒 參加角 逐

第五屆亞洲城市邀請賽詳情。

鄧李梁何 志世建國 明昌邦良

陳王米艾 志熾 士 光輝頓勤

鄭偉基

陳文順

廖俊輝

李賴雷黎 健羅達永 和球華昌

城市

靑年

田徑邀請賽

仔揭幕

新

界版

# ストラン N. W. Y. 1

合作 組足球賽 見進 戦情平

世界不

强但問題多

圖奪標

哥曼妮絲在上週二选出她的共產主義祖國後,在紐約市渡過了週末。哥曼妮絲(右)及其友人潘列在週一晚抵達邁亞美時,展露笑容

7反攻快實力難21心足具黑馬本2

與亞兩國 其能人賽

**麗新** 全鸟蟹佔中傷優勢,但直接「理門」反今及花花乡光中楣角,更可全取三分。 中場雖有吳是華因拉傷即筋峽陣,但米頓任指揮官也頗見功力

後所打十分衝職,李世昌有寸史實沙,王嚴單台守花花 不俗,先後迫和愉闊及以〇比一僅負少林。作仗觀衆僅得六百五十八人,總收入爲一萬三千七,各得一分。

奏是偉,使國新唐名簡頭店

麗新翼鋒狀態 低空

綫支

戦幕初昇

- 接地

就班·再寄笔史资沙在前线代求要求腾的陣式、中毒有賴羅球及雷達

兩個異洋狀態低沉

屆國察青年

午銀禧中

展開

龍品用作抽獎,令BO 孟外,更用NIKE送出 登 氣氛,除了由劍橋體用 中 一 以 XING DAY更添款架 XING DAY更添款上午十二月廿六號上午十二分



港 **男** 大 南 **子** 足球 羅珠樹 減富海仁工

理羅城 工富工 國

城 浸理 上會 上

得任,

作品與得得

男子組: 第二週) (第二週) (第二週)

勝美國三比一。〈美聯社〉一在巴西國家元老隊對前美國一位巴西國家元老隊對前美國中在巴西國家元老隊對前美國上利〈中〉與巴西著名球員李比利〈中〉與巴西著名球員李出利〈中〉與巴西著名球員李出利〈中〉與巴西著名球員李

女子組 中大

BA珠組組存

二二三〇比比八〇〇一

羅 富樹理城 國仁工工 一〇三〇 比比比 三三二三

〇三三三 比比比 三〇二〇

一二〇 比比比 二〇二

成樹中 工仁大

元 元○五 比比比比 二○五○

柏羅 立富 战珠 基國 工海 一三一 比比比 三〇三

有意放棄體操

作生涯

章银名,每人银名

籃

球聯會主

期敎練訓練班

B A 組 : 為量供 **女子組** 

哥曼妮絲

タ影圏

訓教徒

由十二月十六日起逢週課程共三十小時,

網球 羅 役富樹 育國仁

五世〇一

羅富國是

括 語 語 題

着说:一不過我恐怕自己不會想過一種平靜的生活而已,一顆將。 聯絡。 以下,她很害怕羅馬尼亞政府安示,她很害怕羅馬尼亞政府

街市政大厦 写舉行。 三小時,學科在 他 角 化 国 宋下午 及 週 日 上 午 上 課

BA 組組

際足協建議 一比四二

初抵達美國後即在佛羅里達州劃「一同定居下來」。潘列自曼妮絲與現年卅四歲的潘列均

巴影商向她掛介

但她拒絕

或

算越位

個聚會中認識活列時已知道:--當她兩年前在羅馬尼亞首

(倫敦四日電)國際足協在月中報導,足球的越位條例明年可能作出修改,使攻擊球員有較多的活動餘地。 國際足協表示,負責監督世界性足球條例的國際足球議會明年六月 國際足協表示,負責監督世界性足球條例的國際足球議會明年六月 國際足協表示,負責監督世界性足球條例的國際足球議會明年六月 加强進攻。(明)

否一起生活。
却拒絕透露潘列是否會跟妻

(胡)

□港大學修 公司更曾替太古廣場、 公司之一,專門爲中、 運號碼相同,即有機會 第一期黃金鉅獎中年在香港 紀念醫院外,安利有限 是本港最具規模的貿易 與生力啤抽出的三個幸 數不限,多飲多中。除了尤德爵士夫人 八六六年在上海成立, 。若所選的三個號碼, 用,如此類推。参加次語的思理藝 功不可或缺的因素。」 備。安利有限公司於一 生力罐啤印花蓋掩寄囘 花蓋掩,只可作一組使

橋欄會拆除封橋期間行人亦禁止使用運輸署採臨時交通措施大巴小巴改道



嘉農民藉此彼此交

大頭 漁 作適當處理 民感威脅

西貢東 一天后廟



香港

髮型美容大滙演

標榜美儀公主冠

九羣英會

亡死鯭泥量 有汚排疑懷民漁 題問 '兩家專處農漁 染汚到受質水實證驗化次

險危有潛疑被心中民船宜萬

荃灣 區議 意 · 突明、西貢商 · ,還有西貢街 · 」 荃灣 官理研展會

南 會 園公洋海遊英

西貢

港中國海空難演習

反應熱

生力啤主辦第 陳顯桃,李光祖,陳昌,鄒紹賢

五百萬元金幣。 一月八日(本星期五) 一月八日(本星期五) 一月八日(本星期五) 一月八日(本星期五) 一月八日(本星期五) 一月八日(本星期五) 名次。頭獎獎品總值十二二三萬元金幣,其餘十二二三三萬元金幣,其餘十二二三三萬元金幣,三獎四一五萬元金幣,三獎四一五萬元金幣,三獎四一五萬元金幣。

標榜八

全家受害

他文康設施等。康樂服務,如中

電腦軍電視接收法例後 一一二月六日簽署合約; 一一二月六日簽署合約; 一一二月六日簽署合約; 一一二月六日簽署合約; 一一工程將待港府於明年放 工程將待港府於明年放 工程將待港府於明年放 工程將待港府於明年放 工程將待港府於明年放 

,李國榮,陳華,梁徽達。 ,楊志安,袁漢政,楊永寶, 星,林惠英,胡志其,鄭慧賢 星,林惠英,胡志其,鄭慧賢 舉元,陳昌泉,梁艷娟,劉慶 輝黃林阿妹,委員凍會元,梁 頌,副主席姜漢坤,秘書蔡康

年初實施。 年初實施。

陽明山莊創本港 新里程 提供獨家衛星轉播服務

上述電器及各數徵

崇字大厦業主法團

選出第六屆委員會

簡便的方法解决交稅煩為全港人仕提供最快捷之一稅輕鬆」計劃,將美國大通銀行推出 全港最快

減稅通

推出

生力構蓋或生力罐啤印工組號碼,而任何兩個工程的表格最多可填選工學的表格最多可填選工 大通銀行

千八百張病床及各項士夫人紀念醫院,落

確。安利有限公司於一 是本港最具規模的貿易 是本港最具規模的貿易 一、建築、工程等的產品 一、建築、工程等的產品 一、建築、工程等的產品

申請公屋家庭

轉住港島東部應盡速申請調查號碼。公佈

以普面或向政務處或因屋署辦事處索取

子離婚和她倆是否一起生活。不過,她們却拒絕透露活列是否會跟妻

**助理整** 

書圖成集港香 賞欣者讀供廊畫設增

會佐科州、紅祖反攤司 書 會佐事斷婚名批敗有總 等站如獨姻風命爲售代版出神到、水運特

移民東加王國

(英聯邦護照手續簡便)

電話 K 7880150

傳呼機K7807272叫8877

歡迎蒞臨本公司免費查詢及供

世界值探總會會員

商業秘密負責、攝影錄音跟踪

男女通姦證據·秘密電話錄音

電話調查地址·保護出入遠行

自置辦事處:旺角通菜街二號鴻光商場戶

一樓16室(近登打土街瀰豐樓上)

**3**847655

福華街69—75號臺字樓A座

日本膠片月曆

\*傳真:5-657710 電傳:82682 ANP HX 門市部:消仔利東街54及43號地7 5-729357(6線)·5-721737

全女廚家庭小菜

天天新鮮・原汁原味 香港銅鑼灣道廿五號

化居實務揮花藝術課程 17/12 上午十一時至十二時 移民實用髮型設計課程

24/12 下午四時至五時 17/12 下午二時至三時 以上課程講座全部免費 名頒有限歡迎預約留座 銅鑼討信德街七號地

同時舉行物學和政教家為市民教家為市民

京者示轉×熱牌今調示識調均範器-,微次效範。 之可及Ⅲ一咕波展能,爲 精隨即費一,爆覽試內此 美意場助O P穀會驗容的 

聞新港本 日十初月一十年巳己曆夏 英美最新金融行情

7.65

24.15

15.55

5.70

A團:

澳門一日遊

乘豪華水翼船客位來往港澳

• 全日暢遊早班往澳傍晚返港

• 歡迎午宴設澳門粤式大酒家

· 東方蒙地卡羅朝光娛樂博彩

• 乘豪華冷氣車漫遊濠江名勝

• 瀏覧觀音堂及連理古樹獵影

· 橫跨湊氹大橋欣賞雄偉建設

• 選購澳門著名土產餽贈親友

七海旅遊(國際)有限公司

費用: \$ 258 起

天天出發

報名地點:

官塘道338號星洲工業大厦

與業街4號長江電子大厦

塑膠,染廠,紡織及紙品廠免問)

旺舖1505呎·每呎35元· 寫字樓 1152呎·每呎18元起

軒尼詩道145號(大單邊柯布連道)安康商業大厦

寫字樓由953呎至1964呎·每呎26元

洛克道276-278號 安隆商業大厦

寫字樓 552 呎及1596 呎・毎呎15元

莊士敦道194-204號 灣仔商業中心

寫字樓!10|呎至26|4呎,毎呎|8元

正義公司 5-452522 洽

多呎貨櫃車直達廢內連同附屬機器全盤出售有意經營此

(業者請電0-4991108 0-6741872 K661668陳或曹先生

中環德輔道中

219呎(兩面單邊)

(裝修妥可即用)

租每呎\$35

鐵廠

5-8581188 許先生/蔡先生治

每呎租金H.K\$5.5(包差餉)

9,10字樓每層7500呎

11字樓 5000呎

過合電子,鐘錶及製衣等業

選映」及

。与是4.3号总是年易富香巷,予餐用攝影機來重新構築個人在迅速變幻德的赫文·楊恩與來自台灣的張照堂人樣是與意探討紀錄片的限制和可能,一類接觸」。

・書畫文物展覧(簡) (訊)

倫敦金融時報指數

黃金白銀

黃金現貨

12月6日

- 0.10

- 0.15

- 0.05

- 0.10

- 0.05

1.0.05

- 0.15

- 0.05

+23.1

- 0.01

兴

5.64

37654.29 (+160.12

**茟僑日報讀者聯誼會主辦** 

新鴻基資料研究有限公司提供

11.95

7.70

7.85

24.40

15.80

1859.9

菲

伙

軍

馬

金

品

新建高尚佳宅 誠和閣第一座

仁德置業有限公司中環德輔道

環銀行大厦寫字樓

有意請電

4000餘呎

官塘大業街34號楊耀松第五工業 大厦2000餘呎起另地下4000餘呎 柴灣豐業街 2 號楊耀松第七工業

大厦2000餘呎起 請電 5-438960

每天收費

# 傢俬裝修。

瓷磚潔具

大嶼山寶蓮寺

• 乘雙層遊船直達梅窩碼頭

· 瀏覧東方威尼斯大澳漁村

• 訪宏偉天壇大佛建造基地

• 自由選購著名特產及海味

• 專車直達昴平寶蓮寺擺騰

· 鳳凰山齋堂享用精美上索

• 漫遊茶園嘗豆腐花或飲品

日期 12月24日 1月1日

招租建築面積232 中央冷氣系統 管理完善 交通方便

區先生洽

### 工廠大厦招租

學助量救 報日僑華

百貨、珠寶、眼鏡、快餐、酒樓業、電 5-235967劉治。

電話:5-452522

S

# 貴重物業出售

17元朗青山道近元朗廣 場萬昌樓舖位B, C, 座 2500 呎二樓全層 4000 呎 9 適合銀行 快餐,大公司。

防或

和解。 事方面被減軍隊、 除此之外,和

- 並在政治外交方面與中國黎德安選記,越南不單在車

四萬

會全面改革所作出的「戰略性調整」的一部 一行越冲一九八六年十二×第六次全國代表大說,越南過去兩年裁滅五十多萬軍隊,是實 一在共產黨的職務是中央政治局委員。據黎氏在共產黨的職務是中央政治局委員。據黎氏

栗實燈燈倉地豐黃和

置

滙

占

黃金白銀

倫敦市塲

黃金現貨

非叛軍仍 宣佈全國緊急狀態 拉桑採强硬行 佔據馬 卡蒂 金幅區 動

日宣佈停火,由上午四時至正午十二時止,藏二千五百名遊客及其他酒店住份是歐、美、日本人,他們被送至馬尼拉機場的近的政府接待中心。「吳斯告記者會稱:「撤離百份之百完成,未有事故發生。」外籍約一手九百沒峰該到進行時,因國馬卡華區的菲人及外國籍人全部五千名安全撤離。國今長展開投降談判。接稅叛軍安求阿基諸群職,由門才行政等。其他叛軍場「名叛車。大部是床实特種兵部隊,佔述着幅圓四方公里的馬卡洛金服區。」 (帮力下,气息、氧合禁播「叛亂或恐怖份子的一宜傳,大次政變,仍然對國家「構成嚴重不安定。」過二日宜佈全國進入緊急狀態。總統府的宣告說,阿基·賓馬尼拉內日綜合報導)菲律賓總統科拉桑,阿基诺夫 不得地落政府軍監 **若於一九八六年掌** 人於叛軍發動政變

時撤離金融區遊客

雕。不過大馬尼拉其他地區的商業活動已恢復正常。與軍發動兵變以來,馬卡蒂的商業已陷入蹇褒。股市員說,二十五輛大巴士撤運被困在馬卡蒂的旅客。業的觀光部說,從馬卡蒂各飯店撤出的外國觀光客,業的觀光部說,從馬卡蒂各飯店撤出的外國觀光客,華飯店和大厦內的外國和本地旅客撤出的外國觀光客,華飯店和大厦內的外國和本地旅客撤離今天宣佈停火, 的旅客。至少有五百人。 **俾允許筱阳在馬** 

票

菲官 通訊困難叛軍難接觸所有狙擊手 員與叛軍 談判 一在

火・他們感

離被尼的尼期困拉巴拉,在馬士六 海羅殿大馬 養羅殿大馬 東領 東領 再验

宣告

員

越南大量裁

軍東南亞局

,意氣風發,野心勃勃,全圖一層而成脹勢力。另一方圍建南在戰勝美國南建在土機關衛星國文友邦臨助,可以進一於一方面,蘇聯認為,它本身軍力强大

正規軍,另有六萬國境賢問四個軍事大國,建立一支資在經濟上十分寫图,但是

哥警察總

死逾百

刺激、温馨、有趣的情節,它們更像 些温暖,純真的童稚故事褒,除了有 全書共有十二篇童話故事。在這 全書共有十二篇童話故事。在這

語文研究和語

▲「香港文學」月刊十一個的報告。 一個的報告: 這也是一本献給具有赤門的報告。 一個的報告: 這也是一本献給具有赤門已的智慧; 這也是一本献給具有赤門已體會,然後將之轉換「一個的學生。生活中點點滴一個的學生。 一個的第二人們的好書。 一個的報子,讓我們得以藉此照見自

,他基本功全面,文字 耿其昌亦屬首次來 一章 · 厚造詣 · 是當 · 唱腔圓潤谿亮

香港)羅梅作

■嶺南派早期名家作品:

全部免費

(三)全息學的理論及應用;(四)全息片的製作。只要求聽衆有中匹或 (三)全息學的理論及應用;(四)全息片的製作。只要求聽衆有中匹或 (三)全息學的理論及應用;(四)全息片的製作。只要求聽衆有中匹或 (三)全息學的理論及應用;(四)全息片的製作。只要求聽衆有中匹或 (三)全息學的理論及應用;(四)全息片的製作。只要求聽衆有中匹或 (三)

《题用;(四)全息片的製作。只发求题发有中四或《题用;(四)全息片的製作。只发求题发有中四或《内容包括:(一)光波的特性;(二)激光;(

曾本各流派表演藝術家

國京劇院演

在港演

塲

高劍父作

品彩

中一九三七年創作的「顧影百樓」 「恆河落日」、「雨後美蓉」、 「恆河落日」、「雨後美蓉」、 展出該位大師的作品彩寫題材,包 展出該位大師的作品彩寫與共有十 展開名為「髙劍父的藝術」 展開名為「髙劍父的藝術」

▲ 茶壺泥脂製作法(一 海報巡迴展覧 ▲茶壺泥胎製作法(二)

▲ 商務兒童美術〈一〉:油蔵地圖書 ▲ 陶瓷:花園街圖書館。 ▲ 本的路櫃與加工:洛克道園書館。 ▲ 保羅・克利:柴村園書館。 ▲ 保羅・克利:柴村園書館。 ● 保羅・克利:柴村園書館。 ● 保羅・克利:柴村園書館。 ● 保羅・克利:紫村園書館。 型下。■中國名壓:香港中區紅棉路茶具文 「香港歷史簡介」展覧:香港博 :香港仔圖

**船激光與全息學** 

專題講座

本節目

個週末

▲文物館藏品展:中文大學文物館東

▲居巢居廣繪畫選萃展:中文大學文< ▲中國清代料器:香港藝術館。 本中國傳統演藝:香港文化中心大堂 一二樓。

▲在八中國名品展:香港大會電馬區▲加○職業資料展:为龍樂富中心。▲羅伯特·卡帕攝影展:藝術中心。「季會所。」
◆羅伯特·卡帕攝影展:藝術中心。「季會所。」
◆羅伯特·卡帕攝影展:灣仔港灣道基督學會所。

本月電

魯福

「 廣州十三 南館」 畫 高劍父的藝術:牛瓜 中 書畫文物展覧 「南館」 正展:牛油帮文 物 展覧・

國

軒尼詩道145 寫字樓由 洛克道27 寫字樓 55

莊士敦道 寫字樓!

部境環

姦强

意

昌

民華中

**預** 皆 見 水 功

三三五五五

六八六二四 八回四三九 七〇〇立一

天七天天一 八四九三八

簽

手民移、遊旅、地各解瞭者讀便方、話電、址地

售代有均局書大各

。 排安善妥出作途前爲、件條和續

功課督

,以鞏固學業基礎。

香港鯛魚涌太古城(地利亞

九龍官塘月華街19號(

香港華富邨華富道55號(利瑪竇

香港灣仔駱克道237號(聖類斯

九龍官塘協和街223號(利瑪寶

九龍美学百老滙街80號(地利亞)

聖類斯校友會中學(山道38號)

開設上午、下午及晚間各組

爲利便學生進修,每月均開設新班)

• 其他各屬校祗開設晚間組

St. Louis Group Of Schools

標:由經驗教師指導及督促學生完成學校每日指定

家課、溫習校內所教課程和準備校內及公開考

試,並提供有效讀書方法,培養學生學習興趣

英官式

發表

女皇新

# **省烟烟霧汽**

蘇聯補給太空船 空站會合

7.朋放日,歡迎各界人上卷上紳士,主持校舍揭幕儀式() 日屠行開幕與禮,由新

提高機能增活力。

高度濃縮更加醒

高度濃縮

超級營養液

口服液)

能 心、增添活力、增進食飲

消除疲勞、常葆青春。

西男寶

正宗山西男寶榮獲國家醫藥管理局頒授優質產品證書



第一、二班一四〇〇米〇次天)十二月廿三日(後雌)

聲强 國 國 國 國 國 國 國

甘安摩

安甘邦夏湖产

5張簡郭夏登甘歐

"男智"是山西省侯馬中 巨分公司以"津藥"商標經營 出口 由於療效神奇・僅數年 便戶學世資議。1984年起改由 中極醫藥保健品進出日公司由 **节省分公司經營,並以原廠** "紫金山" 商標直接出口

5-487188

5-681134

5-720256

3-422289

3-893289

) 3-7439313

中國醫藥保健品進出口公司山西省分公司經營 經銷處:正南行有限公司經銷 電話:5-782522

外出旅遊, 安居家中 您必須備有·

複合 抗炎生



则是是一块百等 經銷商:

**走走草菜包** 熱痱汗斑、汗臭體臭 濕疹瘡癤、香港脚癬 是門原皇衛出語

經廣州市皮膚病防治所

臨床證明

總有效率高達

季爾爾華

經銷處:新聯藥品公司

FALLET WAS ENDELLOWNED.

養血·祛風·理展·潤 燥、解毒·止激 對血 液有促進新陳代謝及消

除病毒作用

透應:全身性癌療症、藥物性 反應痕痕、各種皮膚癌

電 話:5-483811 5-483851

**孫、陰曆、魏穣等** 

香港 有限公司



化痰止咳・川貝最好

用、療效顯著

純中藥製劑無副作用

電話:5-884485.

0 適應:因天氣影響 氣管所致之痰()(內 結、痰(())()()()()()() 療氣喘、胸隔滿門 、肺執等症皆可應

國貨公司、藥行有售 R型:適合任何人飲用。 Y 型:適合特別病者服用。 華順公司

電話:5-710775, 5-659960

策有幫助 育

係男人之寶 体质产品将当代证书。 **SPAFEES** 

港九新界國貨公司有售 民康醫藥有限公司 電話:3-6308/6 電話: 3-3031029

金颜果。頭馬盃

次 将 知 选 精 英 雲 集

子果可跳馬的起跳課色 士青蜜控不一般,在想此,快,

少馬贏廐摩賽停嘉伯

文克狄配擬樂同

招省殺搏力

全

以門揀選出十在當中 今都飲,・己一然,

脚玩鑽奪好易蓋 |王具石實收博也 |王是之奇入 |星星兵

蓋世飛騰 水勝隔屋

秦

阳梢

許夏安簡께張謝登伍郭

天第得職安 孫三 孫 西 孫 西 帝

胆稠勝



身,且脚步生硬,未到往 集楚航慢跑一圈,神氣十

週 僅四駒 个合格

昨晨

早課精彩鏡頭甚少

龍脈

常

, 捲土重來,應可扣礙走回,暢順有

· 連 鎮 孫 屯 武 八 百 米 天 市 米 夫

合適之路程,機會生,馬毛色尚好, 與其主課,試三段 以欠理想。

(快已被收停,状態未及季初顧馬時好。),翻步整齊,而色甚旺,但過終點後餘雷公」魯賓遜跳三段,按實而走,直路

成七大極通福一旗**駒**心周旺年飛 百門 成勝期品麗如定有駼滿年舖年龍 勝 東跑威 意旺之有將へ一第福 海× 足相星 軍第四一將

 $\sim$ 

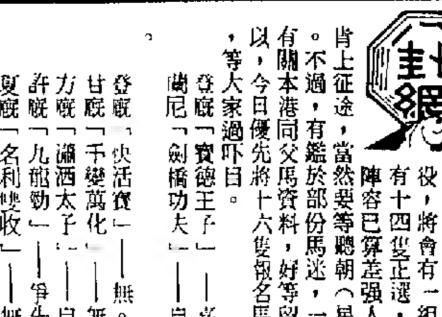
先見報導

南海X 影視之星

唐明皇比

Martin Salarian Salar

一草地試聞 可以旗阱得勝,星期日、則係自購配售馬,會民人一、「渝西王子」同







相信

爭駒特果蘋金 樂同



今符 一跟 一地 不 赢 多 次 中 客 但 係 又 少 , 實

第二百香港邀請賽。限四歲馬參加, 第二百香港邀請賽。限四歲馬參加, 第二百香港邀請賽。限四歲馬參加, 第二百香港邀請賽。限四歲馬參加, 與馬下過二到港,本書級出五匹馬應戰, 定爲平份賽一律負一二六磅,孤有雌馬獲 定爲平份賽一律負一二六磅,孤有雌馬獲 定爲平份賽一律負一二六磅,孤有雌馬獲 中四日)在有駒師馬主練馬師出席的記者 會當衆撥珠排位。

下下では、 「大学」、 「大学、 「大学」、 「大学、 「大学」、 「大学」、 「大学、 「大学 告竟溫

統計与

長途賽戰 

近期難見

馬匹之曆質與實力比現下名氣大之自購馬好得 五〇則是飛駒在八五年五月所創。假如說上述 十月創出,二〇五〇由精沛在八六年三月寫下 十月創出,二〇五〇由精沛在八六年三月寫下 後項賽程長途方面,二千公尺由足球在八六年 談起紀錄時間,且看一看實例,現下沙田 又少,更不要說定出紀錄時間。 略甚重要 明天分析。
即天分析。
如不定。至於今季與練馬師之智慧交與練馬師之智慧交 短兵

学手長途 货之敏果如何,且留待種戰略所以經常被採用之原因亦惡來取勝,正是智力與騎技並重少,一般費力低之馬可以憑騎者使到只能交出快時間之馬才能贏 匹慢均將外 馬,速沿一 機匹拉途點另

中有單有讚 一有單有讚 一有單有讚 一有單有讚 一有單有讚 一有單有讚 一有單有讚 一有單有讚 一個,加上普羅馬迷抱着以小博大心理投注, 不可以用小本希望藏大錢心理作患,轉向扒 一個收之道,那 此要改要作風,研究大熟門五名率低。 一個收之道,那 此要改要作風,研究大熟門在 中收之道,那 此要改要作風,研究大熟門在 中收之道,那 此要改要作風,研究大熟門在 中收之道,那 此要改要作風,研究大熟門在 大熟門無疑,上仗未轉晚前,今季第一次上 大熟門無疑,上仗未轉晚前,今季第一次上 大熟門無疑,上仗未轉晚前,今季第一次上 大熟門無疑,上仗未轉晚前,今季第一次上 大熟門無疑,上仗未轉晚前,今季第一次上 大熟門無疑,上仗未轉晚前,今季第一次上 刻意求冷,似不遮宜在本場打主意。可樂,例如有三倍派彩出現,仍然要力付不值导過份憧憬,凡事亦有例外,大也 光探摄放物,儘管跑沙田馬瑪一面倒来冷,真正實力熱門馬幕後人一動食指 再

Secret and THE COURT OF 省招 A.F. 牌 

,一樣倍受重視,不因配務稍嫌 過合,對手實力並非太强,易配 不今仗檢會的確相當高,操足有 不外門之理乎?站在以馬論馬立 外門之理乎?站在以馬論馬立

值得熱権

見仁見智

情快馬興 神 情 居 選 明 第 一 第 一 第 一 第

,都是值得留意。 《新游戏社》的一匹,其次写有加工打磨的黄金海岸,與及試閘有港得紹真積極的一匹,其次写有加工打磨的黄金海岸,與及試閘有都有出壁的意圖,值得用好沒焦,例如打磨積極的常田名駒,就是了新游面的意圖,值得用好沒焦,例如打磨積極的常田名駒,就是主策的南海一齊拍點,明顧明劍,作風改變,於此可見了。

一海 格利心。 到之关注

神術八程遊問係確 山裝之唆俠實明信

石子は ご月第へ

馬馬

陳林林張登安方朱簡岳甘郭洲夏米。伍簡伍科摩歐岳南等林方海京安置北

新獎型 即 提明 第 之星

方簡登摩臣林伍弘

显好奇揭及萬 二元/11版實事 或任 歷 X 成 [ X ]

来商登伍 皆勇必第雅金新新 能夠廷五體領狀力 。 (2)

(東京) (東京)

或芳大金信萬天再任 玉心大獎心福馬達斯 知步章士來行日 足 空 好晚福法起行鸡南明新名庫特野 世高星律騰運納車數質利西級心 界 之 数 域建太衛

陳伍簡歐夏林張蘭洲安萨郭林岳 威馬進生 高速 地 東 東 東 主意後

• **阿叻** 能係鬼任

· 係鬼仔唐發威嘅時 大大步」呢四件,

候匹

登郭歐歷安朱簡蘭朝伍

· 聰威金数五超夜難其幾又超露能 明飛龍得溫龍泉驅係叻得力壓着 無達船威 幼寶仔米額

再百 露香金金 上新 勝 戚 基 串 旧 解 戚 英 畢 相 軍

林歐方蘭 夏洲东許歐張甘登登陳

(第三組)

新界簡請全倉手

足食

老金

亨好四無龍吉證奇百帝實 成喜源敵縣詳紛利搭皇友 功託 資 星之威人光

洲伍岳謝蘭白簡登許安林郭摩方

慶祝

週連下

城

有美功訊 餘韓

識做抵

佢發台

第三班

000

毎岸

第四班馬

(後 

洲許伍方張簡郭夏登甘歐

鼠鼠動印茂無幸龍香唐 多東佳寶刷麗敵 運胆港明 多萬寶 之山良狐 財易 處 星莊駒 神

油蔗地瓣平虚佐敦道四十四號左邊地下旺角 辨事 處旺 角上海街四九七號北 角 辦 事 處 淹 華 道 直 二 七 號中隔辦事處砵甸乍街香港華人銀行樓下香 港 荷 李 活道 一〇 六至 一 袁六 或

聲强專 威心心 Xĵ"

識名添幸幸靈 板禮情選運光

學而不為。 學而不為。 學而不為。 學而不為。 學而不為。 學而不為。 學而不為。 學而不為。 學而不為。

太紅百根金金飛金鑽得遠雄 易利利鏡戰萊天多石力東豐 能作威世士果覇多先駒特 ( 第一、二班 (次天)十二 (次天)十二 (次天)十二

**小班 資人へ燒** 

甘安摩 趣 紀 爵 錄士

財」(山神

初來明珠暗投在頁

能

公颉的鬥志,好似先任的兩位公司騎

**一般的表現,在** 一般得艾法誠的

取

星

具

果

百

線前馬

皆頭碰平和界世

賽

週 冒險 許

軍場馬刃

复發

出版。因此

日

馬

獨有新聞

賽馬 資 訊

常 積 極

馬 計

行銀 短 性 ( + ) 我 恒 本 港 存

告仔 直至 今 月

**公返港** 作賽 底走

蔵の一旦三三三三三四四五六六七〇 〇邱瑪麥查史何卡黃高劉白高 五炳汀志 畢鑑雲金約仁朗 〇安妮榮諾治森妮左翰傑尼洛

蔡吳翟奧郭髙吳紀郭髷甄 心吳吳李東奧佐李伍甄郭呂盧 心郭 

华而矣,馬身勁度與勝時有些共直硬朗。外欄的「坤彩」則。中檔的「鑑通之星」在鞍上。前駒沿欄上勢暢順,直路上個三駒同作千二米拍試,一分四網,「鈴通之星」質崗杜夫

と意 

出暢銷全球

VOOD-TEED

瑪 麥 麥 賈 劉 貝 莫 鍾 賀 髙 髙 丌 志 英 榮 仁 烈 珍 士 掬 宛 榮 蓮 克 傑 冶 妮 民 杜 洛 翰

宝玉七六六元元元 10000

**映版功能卓越** 

PC FAX CARD)是一種最新設計之間文傳單如雪片飛來。三、圖文們真機網絡綫路版。 香港、台灣及南韓市場推出反應相當强烈,訂香港、台灣及南韓市場推出反應相當强烈,訂此數十0集成半導體新產品自本年七月向一示磁卡及電腦綫路板接股用。



一大銀行入市抽取大筆中長錢 一大銀行入市抽取大筆中長錢 一大銀行入市抽取大筆中長錢 一大銀行入市抽取大筆中長錢 一大銀行入市抽取大筆中長錢 一大銀行入市抽取大筆中長錢 一大銀行入市抽取大筆中長錢 一大銀行八市抽取大筆中長錢 一大銀行八市抽取大筆中長錢 一大銀行八市抽取大筆中長錢 一大銀行八市抽取大筆中長錢 一大銀行八市抽取大筆中長錢 一大銀行八市抽取大筆中長錢 一大銀行八市抽取大筆中長錢 一大銀行八市抽取大筆中長錢 一大銀行八市抽取大筆中長錢

大增距差息

主理,国時報會的,因為在

奇捉佬身

高麥黃邱鍾查 約去金斯士 衛榮左安民語

李吳 伍吳呂東

瑪麥麥 賈 劉 貝 西 惠 美 英 年 烈 克 桑 克 傑 名

五七七八八五

蔡吳霍奧郭高

11 1 10 7 3 9

5 1 3 10 2

### 緊過理監融金港本 展發場市融金 息 繁聯切密場市地外與須化際國

再密務因理

| 本港:          | 外        | 幣行      | 了情      |
|--------------|----------|---------|---------|
| 894 1271 (51 | 操動化      | i i     |         |
| 外幣           | 单位       | 胃價      | 賣價      |
| ± 美電         | 1881     | 781     | 781, 50 |
|              |          | 779,80  |         |
|              |          | 780, 40 |         |
| 英鎊           | 11.4%    | 12, 22  | 13, 28  |
| 加拿大元         | 71.61    | 671, 10 | 672,60  |
|              |          | 439     |         |
| 瑞士法郎         |          |         |         |
| 法國法即         | ម្រៃ 🔠   | 128, 10 | 129,60  |
| 荷蘭盾          | ដែរ (។   | 389     | 394, 50 |
|              |          | 610     |         |
| 斜西蘭元         | ផ្លែកវ   | 462     | 463,70  |
| HUN          |          |         |         |
|              |          | 28, 50  |         |
| 菲律賓搜索        | रंग्र (प | 35      | 37, 50  |
| 馬來西亞元        | 1411     | 288, 2r | 289, 70 |
| 新加坡元         | 7# PT    | 451,20  | 402,70  |
|              | 护门       | 29,50   | 31.50   |
|              |          | 38      | 49      |
| 南鲈纸          | 行為       | 110     | 118     |
| E.C.U.       | 拉個       | 8.923   | 8.938   |
| 港幣兌人民幣       | 1161     | 17.54   | 17,77   |
| 推卸指數         |          | 103, 2  | 1 1     |

| 港元外       |          | 利率收      | 市行情     |
|-----------|----------|----------|---------|
| 貨幣單位      | 一個月      | 二個月      | 三個月     |
| 港 公會打價    | 6, 0 134 | 6 00%    | 6, 50%  |
| 元 50萬元载以上 | 8.3125   | 8.25     | 8.25    |
| 美 亢       | 8.3125   | 8.1875   | 8 .0625 |
| 英 鍋       | 14, 625  | 14, 625  | 14.025  |
|           | 6.125    | 6.125    | 6.125   |
| 澳洲元       | 17, 375  | 17, 25   | 17, 125 |
| 西德馬克      | 7 625    | 7.625    | 7.75    |
| 加拿大元      | 11.5     | 11.5     | 11.5    |
| 納西蘭元      | 13, 25   | 13, 25   | 13, 25  |
| F. C. U.  | 10, 25   | 10, 3125 | 10, 375 |

| 香      | 港黃金及1989年12 |            | 價    |
|--------|-------------|------------|------|
| 類 别    | 市解          | 收 市        | 升 跌  |
| 九九金    | 3762        | 3728       | -20  |
| 期金(8)月 | 406, 50     | 406, 50    | + 3  |
| 本地倫敦金  | 404.5 /405  | 400.7 /1.2 | -1.9 |
| 飾 金    | 1010        | 4040       | -20  |
| 飾白金    | 51(0)       | 5100       | -    |
| 白 銀    | 434         | 434        | + 1  |
| 類 别    | 買入          | 費 出        | 升 跌  |
| 滙 豐 金  | 3730        | 3740       | 18   |
| 寓格 林   | 3100        | 3120       | -10  |
| 金楓葉    | 3210        | 3220       | -10  |
| 鴻 運 金  | 3210        | 3220       | 10   |
| 鷹 揚    | 3210        | 3220       | - 10 |
| 銀條(十両) | 3210        | 548        | ·- 2 |
|        | 利昌金舖有       | 限公司提供      |      |

大変四の中 大変四の中 大変四の中 大変四の中 大変四の中 大変四の中 大変四の中 大変型の 大変型 他巴七至五晉初 利多難低偏價訂怨抱人商

意生了縛束品新引吸有乏缺 全有申費查 

**却朝**市新,良 北的名称神经

宋·爾 李 語 利 與 若 馬 已 推 业 象

頭角認施

以 将 上田

等,中國空遠鏡市場仍將保持熱銷勢上,市場銷售品別持續場比勢頭。 出去年的二十萬具增加到六十萬具 出去年的二十萬具增加到六十萬具 上,市場銷售品別持續場比勢頭。 上,市場銷售品別持續場比勢頭。 上,市場銷售品別持續場比勢頭。 上,中國交達鏡前比得等,有關人上 強定等生。

望場

四為計會

LCD PROJECTION RAY

着缺海利亞技 望。放民在海 上位慢見一及

· 将 //

旦 万 貨 幣 元

限設佈宣

一年初取消外幣存b.世情况即產生很大糕1四十億元,即首至

港高科技液晶體投映版,圖文傳圖品液晶體投映版,圖文傳圖自動鍵盤控制器市場反應極品液晶體投映版,圖文傳圖主義。

発展 ・ 可令 ・ 可令 ・ 可令 ・ 可令 ・ 可令 ・ 可令 ・ の令 ・ の。 果結査調庭家千五美

低費 半十,查

在此前禮預聖

水自在专 (个) (特) (特)

美能繼知均等聯轉續抑加里

元五三三花均平 少數半耗多數半 五分百晉年去增

元億〇九三值共出支總

市內交易不脫呆滯 澳紐元進價均微升 五美仙關,能否有力扳升,匯商尚有懷疑。澳元仍缺乏明確方向,紐元再冲過五九點

市份八點三。十月份人百份八點三。十月份人

進**稳**。

減餘盈份月

外及支收際國月個十頭

運

縮亦差順易貿

民華中

管經兩境貿岸

香港外

習

資

・大九・吉之島・泰林・新一系・駐角中儒 ・永安・百老滙・銀峯・BBTelecom・均有代售 \_WEEMARC 家中大哥大一威馬M400 有對講機的室內無機電話 性物學院研 大 中国教育集 ·完全无能可用12月46 ·記憶、重擴、桶台 - 655.36相保安全的

> 香港經濟向 社會財富可觀的 S及落實之餘,將意公司和外資公司的愈 3院曾先後批轉了有

目前最好

亡傷大重致引變政

值價資投島菲價評新重者資投令均

離撤量大金資市股計估,

重變島

底成樂跡 奉 

一價樓受捧

上者暫未改善

有價元

東京股市升勢未已東京股市升勢未已

地各

及消費品,稍後輸入其他亞洲 是應國家太空發展署(NAS 是應國家太空發展署(NAS 是應國家太空發展署(NAS 是應國家太空發展署(NAS 是應國家太空發展署(NAS 是他國家太空發展署(NAS 等(MITT)宣佈與南韓之 等(MITT)宣佈與南韓之 等(MITT)宣佈與南韓之 等(MITT)宣佈與南韓之

几一該

和後輸入其他亞洲以品,初期主要從南一半股權的公司·專 一年股權的公司·專 了T)宣佈與南姆之

一最成 一

盈

言

2825

2810/2840

2820/2850

2805

2800/2820

2780/2800

成八少減期同年去較

仙九股每息期中六

郭日

**進入最後階段商討亞證出售星港地產** 

十七元則短綫不宜,應提底警覺。 東亞銀行:十六元五角爲支持位,低於低,低於二七五七點收市則看淡,高於二八二,低於二七五七點收市則看淡,高於二八二東,近 近 銀行 三九,成炙再度縮少至東 近 銀行

持續流

疲靜態盆甚

安達已向

對美反傾

伊利安達士

金城工商

趋生能子

羅氏國際

鸿易國際

建生或際

革信地產

僧, 口何, 本產出 格因貨補此毒品, 售此品貼外廠已由

恒指微報低品 單 日 ハ
熟 值最低 點

與今

美加州 酒店

**交心於風** 

設至著之需計內之房要

1639.00 1443.33 → 0.34%

2764, 44

2765, 45

2765, 09

2765.23

2764, 44

2764.12

2761.74

2759, 40

2759, 56

2755, 78

2756.39

-8.05

2756.55

2755, 51

2755.77

2756.3 9

10:15AM

10:30AM

10:45AM

11:00AM

11:15AM

11:30AM

11:45AM

12:15PM

12:30PM

變動(點

2:45PM

3:00PM

3:15PM

3:30PM

8701.15

新產品

Ħ

發為排土率將保公江人工務。 展該費五將於,司實將口之而 上公置,应本 所業以,該

一月份 說業報告

市場獨注星期五公布的存在問題。

好消息常前大市不見閩書反應,代表大市一好消息常前大市不見閩書反應,代表大市費計劃,以及旭購四億美元股份。不過其股價組。這開美國最大電腦製造商宣布一個削減經經過過過過過過過過過過,乃萬國商業機械的改

市以接近低位收市,角示星期三大市鲱牛升,但至中午時開始下滑。分析家表學升,但至中午時開始下滑。分析家表際紀稱,早期二大市亦受債券市場 微

期 之 次 へ へ か 月 本 次 不 か 月 出 か 八 か 月 日 上 小 か 月 日 日 中

劃

整力培育,紐約股市止升囘順,交投則仍壓力培育,紐約股市止升回順,交投則仍經力培育,紐約五日電:接連三日挺升後,獲利紐約五日電:接連三日挺升後,獲利與市場下跌的關係,大市亦隨囘軟。英國市場下跌的關係,大市亦隨囘軟。

中村三三一九馬四,總成交五千三百二十下跌。金融時報一百種指數下跌八點一,倫敦六日電:受到外圍市道的影响,倫敦大日電:受到外圍市道的影响, 萬九大 股時市

採取,對大市才有帮助。 者佔盤力强。政府往資人市的行動應該較年前 一經紀說:雖然政府鼓勵大戶入市,但投資

下跌股多於上升股,比例爲四八七對二一交責則較上收市日之一千六百億關輕做上綜合捐數下跌零點八五,報八八三點二七次城六日司:大市昨日繼續下跌,交投平下跌城六日司:大市昨日繼續下跌,交投平方司

○。 → 成交達則較上 が成交達則較上 が成交達則較上

激股市造好。 原因是政府於上周宣佈不徵收資本盈利稅,刺原因是政府於上周宣佈不徵收資本盈利稅,當中主要力而下降,市場大部份股市均高收,當中主要經紀說:建築及採礦等藍籌股受到囘吐歷 

+ 16.12%

+ 6.16%

6.95%

比一。 一次美國股市下跌的影响,可自本股市结 一次市全面向好。證交所指數上升七點一 大市全面向好。證交所指數上升七點一 要谷六日心:除部份藍籌股份表現孫 要谷六日心:除部份藍籌股份表現孫 要谷六日心:除部份藍籌股份表現孫 要谷六日心:除部份藍籌股份表現孫 要谷六日心:除部份藍籌股份表現孫 要於方日心:除部份藍籌股份表現孫 要於方日心:除部份藍籌股份表現孫 與市勢上升,昨日機構大戶表現活躍。

帶動市 於受美

一年度純利則為二百二十六億二千萬日元。 一日元,中期息每股仍派四點五日元,公司預期至九〇年三月底止年度 一日元增加百分之十一點四,每股盈利由十七點七八日元上升至十八點〇

SMA A)酸言人表示,該公(ANA)酸言人表示,該公

已獲准在南韓提展 M之全國保險集團

華中 

行使價 10 54 12.92 1 62 0.61 0.66 3.59

成交金額: 461,145,697 成交股數: 314,584,169

|                                                                                                                                                                                                                                                                                                                                                                                                                                                                                                                                                                                                                                                                                                                                                                                                                                                                                                                                                                                                                                                                                                                                                                                                                                                                                                                                                                                                                                                                                                                                                                                                                                                                                                                                                                                                                                                                                                                                                                                                                                                                                                                                                                                                                                                                                                                                                                                                                                                                                                                                                                                                                             | ト除浄 ▲ 除鳥                                                                                                                                                                                                                                                                                                                                                                                                                                                                                                                                                                                                                                                                                                                                                                                                                                                                                                                                                                                                                                                                                                                                                                                                                                                                                                                                                                                                                                                                                                                                                                                                                                                                                                                                                                                                                                                                                                                                                                                                                                                                                                                                                                                                                                                                                                                                                                                                                                                                                                                                                                                                                                                                                                                                                                                                                 | ● ● 創業                                                                                                                                                                                                                                                                                                                                                                                                                                                                                                                                                                                                                                                                                                                                                                                                                                                                                                                                                                                                                                                                                                                                                                                                                                                                                                                                                                                                                                                                                                                                                                                                                                                                                                                                                                                                                                                                                                                                                                                                                                                                                                                         | 高                                                                                                                                                                                                                                                                                                                                                                                                                                                                                                                                                                                                                                                                                                                                                                                                                                                                                                                                                                                                                                                                                                                                                                                                                                                                                                                                                                                                                                                                                                                                                                                                                                                                                                                                                                                                                                                                                                                                                                                                                                                                                                                              | 黑體字為作                                                                                                                                                                                                                                                                                                                                                                                                                                                                                                                                                                                                                                                                                                                                                                                                                                                                                                                                                                                                                                                                                                                                                                                                                                                                                                                                                                                                                                                                                                                                                                                                                                                                                                                                                                                                                                                                                                                                                                                                                                                                                                                         | 恒指成份                                                                                                                                         | 致                                                                                                                                                                                                                                                                                                                                                                                                                                                                                                                                                                                                                                                                                                                                                                                                                                                                                                                                                                                                                                                                                                                                                                                                                                                                                                                                                                                                                                                                                                                                                                                                                                                                                                                                   |                                                                                                                                                                                                                                                                                                                                                                                                                                                                                                                                                                                                                                                                                                                                                                                                                                                                                                                                                                                                                                                                                                                                                                                                                                                                                                                                                                                                                                                                                                                                                                                                                                                                                                                                                                                                                                                                                                                                                                                                                                                                                                                                                                                                                                                                                                                                                                                                                                                                                                                                                                                                                                                                                                                                                                                                                                                                                                                                                                                                                                                                                                                                                                                                     | ·····                                                                                                                                                                                                                                                                                                                                                                                                                                                                                                                                                                                                                                                                                                                                                                                                                                                                                                                                                                                                                                                                                                                                                                                                                                                                                                                                                                                                                                                                                                                                                                                                                                                                                                                                                                                          | 198                                                                                                                     | 9年 12月                                                                                                                                                                                                                                                                                                                                                                                                                                                                                                                                                                                                                                                                                                                                                                                                                                                                                                                                                                                                                                                                                                                                                                                                                                                                                                                                                                                                                                                                                                                                                                                                                                                                                                                                                                                                                                                                                                                                                                                                                                                                                                                                                                                                                                                                                                                                                                                                                                                                                                                                                                                                                                                                                                                                                                                                                        | 16日(4                                                                                                                                                                                                                                                                                                                                                                                                                                                                                                                                                                                                                                                                                                                                                                                                   | 【期三)                                                                                                                                                                                                                                                                                                                                                                                                                                                                                                                                                                                                                                                                                                                                                                                                                                                                                                                                                                                                                                                                                                                                                                                                                                                                                                                                                                                                                                                                                                                                                                                                                                                                                                                                                                                                                                                                                                                                                                                                                                                                                                                           | -                                                                                                                                                                                                                                                                                                                                                                                                                                                                                                                                                                                                                                                                                                                                                                                                                                                                                                                                                                                                                                                                                                                                                                                                                                                                                                                                                                                                                                                                                                                                                                                                                                                                                                                                                                                                                                                                                                                                                                                                                                                                                                                              |                                                                 |
|-----------------------------------------------------------------------------------------------------------------------------------------------------------------------------------------------------------------------------------------------------------------------------------------------------------------------------------------------------------------------------------------------------------------------------------------------------------------------------------------------------------------------------------------------------------------------------------------------------------------------------------------------------------------------------------------------------------------------------------------------------------------------------------------------------------------------------------------------------------------------------------------------------------------------------------------------------------------------------------------------------------------------------------------------------------------------------------------------------------------------------------------------------------------------------------------------------------------------------------------------------------------------------------------------------------------------------------------------------------------------------------------------------------------------------------------------------------------------------------------------------------------------------------------------------------------------------------------------------------------------------------------------------------------------------------------------------------------------------------------------------------------------------------------------------------------------------------------------------------------------------------------------------------------------------------------------------------------------------------------------------------------------------------------------------------------------------------------------------------------------------------------------------------------------------------------------------------------------------------------------------------------------------------------------------------------------------------------------------------------------------------------------------------------------------------------------------------------------------------------------------------------------------------------------------------------------------------------------------------------------------|--------------------------------------------------------------------------------------------------------------------------------------------------------------------------------------------------------------------------------------------------------------------------------------------------------------------------------------------------------------------------------------------------------------------------------------------------------------------------------------------------------------------------------------------------------------------------------------------------------------------------------------------------------------------------------------------------------------------------------------------------------------------------------------------------------------------------------------------------------------------------------------------------------------------------------------------------------------------------------------------------------------------------------------------------------------------------------------------------------------------------------------------------------------------------------------------------------------------------------------------------------------------------------------------------------------------------------------------------------------------------------------------------------------------------------------------------------------------------------------------------------------------------------------------------------------------------------------------------------------------------------------------------------------------------------------------------------------------------------------------------------------------------------------------------------------------------------------------------------------------------------------------------------------------------------------------------------------------------------------------------------------------------------------------------------------------------------------------------------------------------------------------------------------------------------------------------------------------------------------------------------------------------------------------------------------------------------------------------------------------------------------------------------------------------------------------------------------------------------------------------------------------------------------------------------------------------------------------------------------------------------------------------------------------------------------------------------------------------------------------------------------------------------------------------------------------------|--------------------------------------------------------------------------------------------------------------------------------------------------------------------------------------------------------------------------------------------------------------------------------------------------------------------------------------------------------------------------------------------------------------------------------------------------------------------------------------------------------------------------------------------------------------------------------------------------------------------------------------------------------------------------------------------------------------------------------------------------------------------------------------------------------------------------------------------------------------------------------------------------------------------------------------------------------------------------------------------------------------------------------------------------------------------------------------------------------------------------------------------------------------------------------------------------------------------------------------------------------------------------------------------------------------------------------------------------------------------------------------------------------------------------------------------------------------------------------------------------------------------------------------------------------------------------------------------------------------------------------------------------------------------------------------------------------------------------------------------------------------------------------------------------------------------------------------------------------------------------------------------------------------------------------------------------------------------------------------------------------------------------------------------------------------------------------------------------------------------------------|--------------------------------------------------------------------------------------------------------------------------------------------------------------------------------------------------------------------------------------------------------------------------------------------------------------------------------------------------------------------------------------------------------------------------------------------------------------------------------------------------------------------------------------------------------------------------------------------------------------------------------------------------------------------------------------------------------------------------------------------------------------------------------------------------------------------------------------------------------------------------------------------------------------------------------------------------------------------------------------------------------------------------------------------------------------------------------------------------------------------------------------------------------------------------------------------------------------------------------------------------------------------------------------------------------------------------------------------------------------------------------------------------------------------------------------------------------------------------------------------------------------------------------------------------------------------------------------------------------------------------------------------------------------------------------------------------------------------------------------------------------------------------------------------------------------------------------------------------------------------------------------------------------------------------------------------------------------------------------------------------------------------------------------------------------------------------------------------------------------------------------|-------------------------------------------------------------------------------------------------------------------------------------------------------------------------------------------------------------------------------------------------------------------------------------------------------------------------------------------------------------------------------------------------------------------------------------------------------------------------------------------------------------------------------------------------------------------------------------------------------------------------------------------------------------------------------------------------------------------------------------------------------------------------------------------------------------------------------------------------------------------------------------------------------------------------------------------------------------------------------------------------------------------------------------------------------------------------------------------------------------------------------------------------------------------------------------------------------------------------------------------------------------------------------------------------------------------------------------------------------------------------------------------------------------------------------------------------------------------------------------------------------------------------------------------------------------------------------------------------------------------------------------------------------------------------------------------------------------------------------------------------------------------------------------------------------------------------------------------------------------------------------------------------------------------------------------------------------------------------------------------------------------------------------------------------------------------------------------------------------------------------------|----------------------------------------------------------------------------------------------------------------------------------------------|-------------------------------------------------------------------------------------------------------------------------------------------------------------------------------------------------------------------------------------------------------------------------------------------------------------------------------------------------------------------------------------------------------------------------------------------------------------------------------------------------------------------------------------------------------------------------------------------------------------------------------------------------------------------------------------------------------------------------------------------------------------------------------------------------------------------------------------------------------------------------------------------------------------------------------------------------------------------------------------------------------------------------------------------------------------------------------------------------------------------------------------------------------------------------------------------------------------------------------------------------------------------------------------------------------------------------------------------------------------------------------------------------------------------------------------------------------------------------------------------------------------------------------------------------------------------------------------------------------------------------------------------------------------------------------------------------------------------------------------|-----------------------------------------------------------------------------------------------------------------------------------------------------------------------------------------------------------------------------------------------------------------------------------------------------------------------------------------------------------------------------------------------------------------------------------------------------------------------------------------------------------------------------------------------------------------------------------------------------------------------------------------------------------------------------------------------------------------------------------------------------------------------------------------------------------------------------------------------------------------------------------------------------------------------------------------------------------------------------------------------------------------------------------------------------------------------------------------------------------------------------------------------------------------------------------------------------------------------------------------------------------------------------------------------------------------------------------------------------------------------------------------------------------------------------------------------------------------------------------------------------------------------------------------------------------------------------------------------------------------------------------------------------------------------------------------------------------------------------------------------------------------------------------------------------------------------------------------------------------------------------------------------------------------------------------------------------------------------------------------------------------------------------------------------------------------------------------------------------------------------------------------------------------------------------------------------------------------------------------------------------------------------------------------------------------------------------------------------------------------------------------------------------------------------------------------------------------------------------------------------------------------------------------------------------------------------------------------------------------------------------------------------------------------------------------------------------------------------------------------------------------------------------------------------------------------------------------------------------------------------------------------------------------------------------------------------------------------------------------------------------------------------------------------------------------------------------------------------------------------------------------------------------------------------------------------------------|------------------------------------------------------------------------------------------------------------------------------------------------------------------------------------------------------------------------------------------------------------------------------------------------------------------------------------------------------------------------------------------------------------------------------------------------------------------------------------------------------------------------------------------------------------------------------------------------------------------------------------------------------------------------------------------------------------------------------------------------------------------------------------------------------------------------------------------------------------------------------------------------------------------------------------------------------------------------------------------------------------------------------------------------------------------------------------------------------------------------------------------------------------------------------------------------------------------------------------------------------------------------------------------------------------------------------------------------------------------------------------------------------------------------------------------------------------------------------------------------------------------------------------------------------------------------------------------------------------------------------------------------------------------------------------------------------------------------------------------------------------------------------------------------|-------------------------------------------------------------------------------------------------------------------------|-------------------------------------------------------------------------------------------------------------------------------------------------------------------------------------------------------------------------------------------------------------------------------------------------------------------------------------------------------------------------------------------------------------------------------------------------------------------------------------------------------------------------------------------------------------------------------------------------------------------------------------------------------------------------------------------------------------------------------------------------------------------------------------------------------------------------------------------------------------------------------------------------------------------------------------------------------------------------------------------------------------------------------------------------------------------------------------------------------------------------------------------------------------------------------------------------------------------------------------------------------------------------------------------------------------------------------------------------------------------------------------------------------------------------------------------------------------------------------------------------------------------------------------------------------------------------------------------------------------------------------------------------------------------------------------------------------------------------------------------------------------------------------------------------------------------------------------------------------------------------------------------------------------------------------------------------------------------------------------------------------------------------------------------------------------------------------------------------------------------------------------------------------------------------------------------------------------------------------------------------------------------------------------------------------------------------------------------------------------------------------------------------------------------------------------------------------------------------------------------------------------------------------------------------------------------------------------------------------------------------------------------------------------------------------------------------------------------------------------------------------------------------------------------------------------------------------|---------------------------------------------------------------------------------------------------------------------------------------------------------------------------------------------------------------------------------------------------------------------------------------------------------------------------------------------------------------------------------------------------------------------------------------------------------------------------------------------------------------------------------------------------------------------------------------------------------------------------------------------------------------------------------------------------------------------------------------------------------------------------------------------------------|--------------------------------------------------------------------------------------------------------------------------------------------------------------------------------------------------------------------------------------------------------------------------------------------------------------------------------------------------------------------------------------------------------------------------------------------------------------------------------------------------------------------------------------------------------------------------------------------------------------------------------------------------------------------------------------------------------------------------------------------------------------------------------------------------------------------------------------------------------------------------------------------------------------------------------------------------------------------------------------------------------------------------------------------------------------------------------------------------------------------------------------------------------------------------------------------------------------------------------------------------------------------------------------------------------------------------------------------------------------------------------------------------------------------------------------------------------------------------------------------------------------------------------------------------------------------------------------------------------------------------------------------------------------------------------------------------------------------------------------------------------------------------------------------------------------------------------------------------------------------------------------------------------------------------------------------------------------------------------------------------------------------------------------------------------------------------------------------------------------------------------|--------------------------------------------------------------------------------------------------------------------------------------------------------------------------------------------------------------------------------------------------------------------------------------------------------------------------------------------------------------------------------------------------------------------------------------------------------------------------------------------------------------------------------------------------------------------------------------------------------------------------------------------------------------------------------------------------------------------------------------------------------------------------------------------------------------------------------------------------------------------------------------------------------------------------------------------------------------------------------------------------------------------------------------------------------------------------------------------------------------------------------------------------------------------------------------------------------------------------------------------------------------------------------------------------------------------------------------------------------------------------------------------------------------------------------------------------------------------------------------------------------------------------------------------------------------------------------------------------------------------------------------------------------------------------------------------------------------------------------------------------------------------------------------------------------------------------------------------------------------------------------------------------------------------------------------------------------------------------------------------------------------------------------------------------------------------------------------------------------------------------------|-----------------------------------------------------------------|
| 年<br>高價 代號                                                                                                                                                                                                                                                                                                                                                                                                                                                                                                                                                                                                                                                                                                                                                                                                                                                                                                                                                                                                                                                                                                                                                                                                                                                                                                                                                                                                                                                                                                                                                                                                                                                                                                                                                                                                                                                                                                                                                                                                                                                                                                                                                                                                                                                                                                                                                                                                                                                                                                                                                                                                                  | 股票名稱                                                                                                                                                                                                                                                                                                                                                                                                                                                                                                                                                                                                                                                                                                                                                                                                                                                                                                                                                                                                                                                                                                                                                                                                                                                                                                                                                                                                                                                                                                                                                                                                                                                                                                                                                                                                                                                                                                                                                                                                                                                                                                                                                                                                                                                                                                                                                                                                                                                                                                                                                                                                                                                                                                                                                                                                                     | 上日收市                                                                                                                                                                                                                                                                                                                                                                                                                                                                                                                                                                                                                                                                                                                                                                                                                                                                                                                                                                                                                                                                                                                                                                                                                                                                                                                                                                                                                                                                                                                                                                                                                                                                                                                                                                                                                                                                                                                                                                                                                                                                                                                           | 最高                                                                                                                                                                                                                                                                                                                                                                                                                                                                                                                                                                                                                                                                                                                                                                                                                                                                                                                                                                                                                                                                                                                                                                                                                                                                                                                                                                                                                                                                                                                                                                                                                                                                                                                                                                                                                                                                                                                                                                                                                                                                                                                             | 最低                                                                                                                                                                                                                                                                                                                                                                                                                                                                                                                                                                                                                                                                                                                                                                                                                                                                                                                                                                                                                                                                                                                                                                                                                                                                                                                                                                                                                                                                                                                                                                                                                                                                                                                                                                                                                                                                                                                                                                                                                                                                                                                            | 最後叫<br>買入                                                                                                                                    | 便<br>費出                                                                                                                                                                                                                                                                                                                                                                                                                                                                                                                                                                                                                                                                                                                                                                                                                                                                                                                                                                                                                                                                                                                                                                                                                                                                                                                                                                                                                                                                                                                                                                                                                                                                                                                             | 牧市                                                                                                                                                                                                                                                                                                                                                                                                                                                                                                                                                                                                                                                                                                                                                                                                                                                                                                                                                                                                                                                                                                                                                                                                                                                                                                                                                                                                                                                                                                                                                                                                                                                                                                                                                                                                                                                                                                                                                                                                                                                                                                                                                                                                                                                                                                                                                                                                                                                                                                                                                                                                                                                                                                                                                                                                                                                                                                                                                                                                                                                                                                                                                                                                  | 升跌                                                                                                                                                                                                                                                                                                                                                                                                                                                                                                                                                                                                                                                                                                                                                                                                                                                                                                                                                                                                                                                                                                                                                                                                                                                                                                                                                                                                                                                                                                                                                                                                                                                                                                                                                                                             | <b>次件</b>                                                                                                               | 成交股數                                                                                                                                                                                                                                                                                                                                                                                                                                                                                                                                                                                                                                                                                                                                                                                                                                                                                                                                                                                                                                                                                                                                                                                                                                                                                                                                                                                                                                                                                                                                                                                                                                                                                                                                                                                                                                                                                                                                                                                                                                                                                                                                                                                                                                                                                                                                                                                                                                                                                                                                                                                                                                                                                                                                                                                                                          | 成交金額                                                                                                                                                                                                                                                                                                                                                                                                                                                                                                                                                                                                                                                                                                                                                                                                    | R/S                                                                                                                                                                                                                                                                                                                                                                                                                                                                                                                                                                                                                                                                                                                                                                                                                                                                                                                                                                                                                                                                                                                                                                                                                                                                                                                                                                                                                                                                                                                                                                                                                                                                                                                                                                                                                                                                                                                                                                                                                                                                                                                            | P/E                                                                                                                                                                                                                                                                                                                                                                                                                                                                                                                                                                                                                                                                                                                                                                                                                                                                                                                                                                                                                                                                                                                                                                                                                                                                                                                                                                                                                                                                                                                                                                                                                                                                                                                                                                                                                                                                                                                                                                                                                                                                                                                            | 息率                                                              |
| 80 021                                                                                                                                                                                                                                                                                                                                                                                                                                                                                                                                                                                                                                                                                                                                                                                                                                                                                                                                                                                                                                                                                                                                                                                                                                                                                                                                                                                                                                                                                                                                                                                                                                                                                                                                                                                                                                                                                                                                                                                                                                                                                                                                                                                                                                                                                                                                                                                                                                                                                                                                                                                                                      | 銀行.財務聯合企業                                                                                                                                                                                                                                                                                                                                                                                                                                                                                                                                                                                                                                                                                                                                                                                                                                                                                                                                                                                                                                                                                                                                                                                                                                                                                                                                                                                                                                                                                                                                                                                                                                                                                                                                                                                                                                                                                                                                                                                                                                                                                                                                                                                                                                                                                                                                                                                                                                                                                                                                                                                                                                                                                                                                                                                                                | 9.60<br>10.20                                                                                                                                                                                                                                                                                                                                                                                                                                                                                                                                                                                                                                                                                                                                                                                                                                                                                                                                                                                                                                                                                                                                                                                                                                                                                                                                                                                                                                                                                                                                                                                                                                                                                                                                                                                                                                                                                                                                                                                                                                                                                                                  |                                                                                                                                                                                                                                                                                                                                                                                                                                                                                                                                                                                                                                                                                                                                                                                                                                                                                                                                                                                                                                                                                                                                                                                                                                                                                                                                                                                                                                                                                                                                                                                                                                                                                                                                                                                                                                                                                                                                                                                                                                                                                                                                | =                                                                                                                                                                                                                                                                                                                                                                                                                                                                                                                                                                                                                                                                                                                                                                                                                                                                                                                                                                                                                                                                                                                                                                                                                                                                                                                                                                                                                                                                                                                                                                                                                                                                                                                                                                                                                                                                                                                                                                                                                                                                                                                             | 9.50<br>10.30                                                                                                                                | 9.70                                                                                                                                                                                                                                                                                                                                                                                                                                                                                                                                                                                                                                                                                                                                                                                                                                                                                                                                                                                                                                                                                                                                                                                                                                                                                                                                                                                                                                                                                                                                                                                                                                                                                                                                | 9 60                                                                                                                                                                                                                                                                                                                                                                                                                                                                                                                                                                                                                                                                                                                                                                                                                                                                                                                                                                                                                                                                                                                                                                                                                                                                                                                                                                                                                                                                                                                                                                                                                                                                                                                                                                                                                                                                                                                                                                                                                                                                                                                                                                                                                                                                                                                                                                                                                                                                                                                                                                                                                                                                                                                                                                                                                                                                                                                                                                                                                                                                                                                                                                                                | +0.10                                                                                                                                                                                                                                                                                                                                                                                                                                                                                                                                                                                                                                                                                                                                                                                                                                                                                                                                                                                                                                                                                                                                                                                                                                                                                                                                                                                                                                                                                                                                                                                                                                                                                                                                                                                          |                                                                                                                         | =                                                                                                                                                                                                                                                                                                                                                                                                                                                                                                                                                                                                                                                                                                                                                                                                                                                                                                                                                                                                                                                                                                                                                                                                                                                                                                                                                                                                                                                                                                                                                                                                                                                                                                                                                                                                                                                                                                                                                                                                                                                                                                                                                                                                                                                                                                                                                                                                                                                                                                                                                                                                                                                                                                                                                                                                                             |                                                                                                                                                                                                                                                                                                                                                                                                                                                                                                                                                                                                                                                                                                                                                                                                         | 3.48<br>3.74                                                                                                                                                                                                                                                                                                                                                                                                                                                                                                                                                                                                                                                                                                                                                                                                                                                                                                                                                                                                                                                                                                                                                                                                                                                                                                                                                                                                                                                                                                                                                                                                                                                                                                                                                                                                                                                                                                                                                                                                                                                                                                                   | 6.34<br>11.30                                                                                                                                                                                                                                                                                                                                                                                                                                                                                                                                                                                                                                                                                                                                                                                                                                                                                                                                                                                                                                                                                                                                                                                                                                                                                                                                                                                                                                                                                                                                                                                                                                                                                                                                                                                                                                                                                                                                                                                                                                                                                                                  | 9.37                                                            |
| 023                                                                                                                                                                                                                                                                                                                                                                                                                                                                                                                                                                                                                                                                                                                                                                                                                                                                                                                                                                                                                                                                                                                                                                                                                                                                                                                                                                                                                                                                                                                                                                                                                                                                                                                                                                                                                                                                                                                                                                                                                                                                                                                                                                                                                                                                                                                                                                                                                                                                                                                                                                                                                         | 亞州保險<br>東亞銀行<br>富宏國際                                                                                                                                                                                                                                                                                                                                                                                                                                                                                                                                                                                                                                                                                                                                                                                                                                                                                                                                                                                                                                                                                                                                                                                                                                                                                                                                                                                                                                                                                                                                                                                                                                                                                                                                                                                                                                                                                                                                                                                                                                                                                                                                                                                                                                                                                                                                                                                                                                                                                                                                                                                                                                                                                                                                                                                                     | 17 40                                                                                                                                                                                                                                                                                                                                                                                                                                                                                                                                                                                                                                                                                                                                                                                                                                                                                                                                                                                                                                                                                                                                                                                                                                                                                                                                                                                                                                                                                                                                                                                                                                                                                                                                                                                                                                                                                                                                                                                                                                                                                                                          | 17 40<br>3 15                                                                                                                                                                                                                                                                                                                                                                                                                                                                                                                                                                                                                                                                                                                                                                                                                                                                                                                                                                                                                                                                                                                                                                                                                                                                                                                                                                                                                                                                                                                                                                                                                                                                                                                                                                                                                                                                                                                                                                                                                                                                                                                  | 17,20<br>3.125                                                                                                                                                                                                                                                                                                                                                                                                                                                                                                                                                                                                                                                                                                                                                                                                                                                                                                                                                                                                                                                                                                                                                                                                                                                                                                                                                                                                                                                                                                                                                                                                                                                                                                                                                                                                                                                                                                                                                                                                                                                                                                                | 17.10<br>3.125                                                                                                                               | 17.30<br>3.175                                                                                                                                                                                                                                                                                                                                                                                                                                                                                                                                                                                                                                                                                                                                                                                                                                                                                                                                                                                                                                                                                                                                                                                                                                                                                                                                                                                                                                                                                                                                                                                                                                                                                                                      | 17.20<br>3.15                                                                                                                                                                                                                                                                                                                                                                                                                                                                                                                                                                                                                                                                                                                                                                                                                                                                                                                                                                                                                                                                                                                                                                                                                                                                                                                                                                                                                                                                                                                                                                                                                                                                                                                                                                                                                                                                                                                                                                                                                                                                                                                                                                                                                                                                                                                                                                                                                                                                                                                                                                                                                                                                                                                                                                                                                                                                                                                                                                                                                                                                                                                                                                                       | -0.20                                                                                                                                                                                                                                                                                                                                                                                                                                                                                                                                                                                                                                                                                                                                                                                                                                                                                                                                                                                                                                                                                                                                                                                                                                                                                                                                                                                                                                                                                                                                                                                                                                                                                                                                                                                          | -68<br>-                                                                                                                | 293,789<br>1,051,667                                                                                                                                                                                                                                                                                                                                                                                                                                                                                                                                                                                                                                                                                                                                                                                                                                                                                                                                                                                                                                                                                                                                                                                                                                                                                                                                                                                                                                                                                                                                                                                                                                                                                                                                                                                                                                                                                                                                                                                                                                                                                                                                                                                                                                                                                                                                                                                                                                                                                                                                                                                                                                                                                                                                                                                                          | 5,069,435<br>3,311,930                                                                                                                                                                                                                                                                                                                                                                                                                                                                                                                                                                                                                                                                                                                                                                                  | 6.24<br>1.14                                                                                                                                                                                                                                                                                                                                                                                                                                                                                                                                                                                                                                                                                                                                                                                                                                                                                                                                                                                                                                                                                                                                                                                                                                                                                                                                                                                                                                                                                                                                                                                                                                                                                                                                                                                                                                                                                                                                                                                                                                                                                                                   | 13.79<br>9.63                                                                                                                                                                                                                                                                                                                                                                                                                                                                                                                                                                                                                                                                                                                                                                                                                                                                                                                                                                                                                                                                                                                                                                                                                                                                                                                                                                                                                                                                                                                                                                                                                                                                                                                                                                                                                                                                                                                                                                                                                                                                                                                  | 4,24<br>6.35                                                    |
| 71 121                                                                                                                                                                                                                                                                                                                                                                                                                                                                                                                                                                                                                                                                                                                                                                                                                                                                                                                                                                                                                                                                                                                                                                                                                                                                                                                                                                                                                                                                                                                                                                                                                                                                                                                                                                                                                                                                                                                                                                                                                                                                                                                                                                                                                                                                                                                                                                                                                                                                                                                                                                                                                      | 中国東方<br>紀念置業                                                                                                                                                                                                                                                                                                                                                                                                                                                                                                                                                                                                                                                                                                                                                                                                                                                                                                                                                                                                                                                                                                                                                                                                                                                                                                                                                                                                                                                                                                                                                                                                                                                                                                                                                                                                                                                                                                                                                                                                                                                                                                                                                                                                                                                                                                                                                                                                                                                                                                                                                                                                                                                                                                                                                                                                             | 1.41                                                                                                                                                                                                                                                                                                                                                                                                                                                                                                                                                                                                                                                                                                                                                                                                                                                                                                                                                                                                                                                                                                                                                                                                                                                                                                                                                                                                                                                                                                                                                                                                                                                                                                                                                                                                                                                                                                                                                                                                                                                                                                                           | 141                                                                                                                                                                                                                                                                                                                                                                                                                                                                                                                                                                                                                                                                                                                                                                                                                                                                                                                                                                                                                                                                                                                                                                                                                                                                                                                                                                                                                                                                                                                                                                                                                                                                                                                                                                                                                                                                                                                                                                                                                                                                                                                            | 139                                                                                                                                                                                                                                                                                                                                                                                                                                                                                                                                                                                                                                                                                                                                                                                                                                                                                                                                                                                                                                                                                                                                                                                                                                                                                                                                                                                                                                                                                                                                                                                                                                                                                                                                                                                                                                                                                                                                                                                                                                                                                                                           | 141                                                                                                                                          | 1.40                                                                                                                                                                                                                                                                                                                                                                                                                                                                                                                                                                                                                                                                                                                                                                                                                                                                                                                                                                                                                                                                                                                                                                                                                                                                                                                                                                                                                                                                                                                                                                                                                                                                                                                                | 1.41                                                                                                                                                                                                                                                                                                                                                                                                                                                                                                                                                                                                                                                                                                                                                                                                                                                                                                                                                                                                                                                                                                                                                                                                                                                                                                                                                                                                                                                                                                                                                                                                                                                                                                                                                                                                                                                                                                                                                                                                                                                                                                                                                                                                                                                                                                                                                                                                                                                                                                                                                                                                                                                                                                                                                                                                                                                                                                                                                                                                                                                                                                                                                                                                |                                                                                                                                                                                                                                                                                                                                                                                                                                                                                                                                                                                                                                                                                                                                                                                                                                                                                                                                                                                                                                                                                                                                                                                                                                                                                                                                                                                                                                                                                                                                                                                                                                                                                                                                                                                                |                                                                                                                         | 94,000                                                                                                                                                                                                                                                                                                                                                                                                                                                                                                                                                                                                                                                                                                                                                                                                                                                                                                                                                                                                                                                                                                                                                                                                                                                                                                                                                                                                                                                                                                                                                                                                                                                                                                                                                                                                                                                                                                                                                                                                                                                                                                                                                                                                                                                                                                                                                                                                                                                                                                                                                                                                                                                                                                                                                                                                                        | 131,920                                                                                                                                                                                                                                                                                                                                                                                                                                                                                                                                                                                                                                                                                                                                                                                                 | 0.51                                                                                                                                                                                                                                                                                                                                                                                                                                                                                                                                                                                                                                                                                                                                                                                                                                                                                                                                                                                                                                                                                                                                                                                                                                                                                                                                                                                                                                                                                                                                                                                                                                                                                                                                                                                                                                                                                                                                                                                                                                                                                                                           | 32.34                                                                                                                                                                                                                                                                                                                                                                                                                                                                                                                                                                                                                                                                                                                                                                                                                                                                                                                                                                                                                                                                                                                                                                                                                                                                                                                                                                                                                                                                                                                                                                                                                                                                                                                                                                                                                                                                                                                                                                                                                                                                                                                          | 0.70                                                            |
| 040 582<br>03 106                                                                                                                                                                                                                                                                                                                                                                                                                                                                                                                                                                                                                                                                                                                                                                                                                                                                                                                                                                                                                                                                                                                                                                                                                                                                                                                                                                                                                                                                                                                                                                                                                                                                                                                                                                                                                                                                                                                                                                                                                                                                                                                                                                                                                                                                                                                                                                                                                                                                                                                                                                                                           | 紀德置業股權<br>Crusader                                                                                                                                                                                                                                                                                                                                                                                                                                                                                                                                                                                                                                                                                                                                                                                                                                                                                                                                                                                                                                                                                                                                                                                                                                                                                                                                                                                                                                                                                                                                                                                                                                                                                                                                                                                                                                                                                                                                                                                                                                                                                                                                                                                                                                                                                                                                                                                                                                                                                                                                                                                                                                                                                                                                                                                                       | 0 34                                                                                                                                                                                                                                                                                                                                                                                                                                                                                                                                                                                                                                                                                                                                                                                                                                                                                                                                                                                                                                                                                                                                                                                                                                                                                                                                                                                                                                                                                                                                                                                                                                                                                                                                                                                                                                                                                                                                                                                                                                                                                                                           | 034<br>071                                                                                                                                                                                                                                                                                                                                                                                                                                                                                                                                                                                                                                                                                                                                                                                                                                                                                                                                                                                                                                                                                                                                                                                                                                                                                                                                                                                                                                                                                                                                                                                                                                                                                                                                                                                                                                                                                                                                                                                                                                                                                                                     | 0.70                                                                                                                                                                                                                                                                                                                                                                                                                                                                                                                                                                                                                                                                                                                                                                                                                                                                                                                                                                                                                                                                                                                                                                                                                                                                                                                                                                                                                                                                                                                                                                                                                                                                                                                                                                                                                                                                                                                                                                                                                                                                                                                          | 0.34<br>0.70                                                                                                                                 | 0.35<br>0.71                                                                                                                                                                                                                                                                                                                                                                                                                                                                                                                                                                                                                                                                                                                                                                                                                                                                                                                                                                                                                                                                                                                                                                                                                                                                                                                                                                                                                                                                                                                                                                                                                                                                                                                        | 0.34                                                                                                                                                                                                                                                                                                                                                                                                                                                                                                                                                                                                                                                                                                                                                                                                                                                                                                                                                                                                                                                                                                                                                                                                                                                                                                                                                                                                                                                                                                                                                                                                                                                                                                                                                                                                                                                                                                                                                                                                                                                                                                                                                                                                                                                                                                                                                                                                                                                                                                                                                                                                                                                                                                                                                                                                                                                                                                                                                                                                                                                                                                                                                                                                | - 1                                                                                                                                                                                                                                                                                                                                                                                                                                                                                                                                                                                                                                                                                                                                                                                                                                                                                                                                                                                                                                                                                                                                                                                                                                                                                                                                                                                                                                                                                                                                                                                                                                                                                                                                                                                            | -                                                                                                                       | 433,360<br>764,000                                                                                                                                                                                                                                                                                                                                                                                                                                                                                                                                                                                                                                                                                                                                                                                                                                                                                                                                                                                                                                                                                                                                                                                                                                                                                                                                                                                                                                                                                                                                                                                                                                                                                                                                                                                                                                                                                                                                                                                                                                                                                                                                                                                                                                                                                                                                                                                                                                                                                                                                                                                                                                                                                                                                                                                                            | 143,656<br>536,400                                                                                                                                                                                                                                                                                                                                                                                                                                                                                                                                                                                                                                                                                                                                                                                      | 0.12<br>0.25                                                                                                                                                                                                                                                                                                                                                                                                                                                                                                                                                                                                                                                                                                                                                                                                                                                                                                                                                                                                                                                                                                                                                                                                                                                                                                                                                                                                                                                                                                                                                                                                                                                                                                                                                                                                                                                                                                                                                                                                                                                                                                                   |                                                                                                                                                                                                                                                                                                                                                                                                                                                                                                                                                                                                                                                                                                                                                                                                                                                                                                                                                                                                                                                                                                                                                                                                                                                                                                                                                                                                                                                                                                                                                                                                                                                                                                                                                                                                                                                                                                                                                                                                                                                                                                                                |                                                                 |
| 63 053                                                                                                                                                                                                                                                                                                                                                                                                                                                                                                                                                                                                                                                                                                                                                                                                                                                                                                                                                                                                                                                                                                                                                                                                                                                                                                                                                                                                                                                                                                                                                                                                                                                                                                                                                                                                                                                                                                                                                                                                                                                                                                                                                                                                                                                                                                                                                                                                                                                                                                                                                                                                                      | 大新金融<br>道亨集團                                                                                                                                                                                                                                                                                                                                                                                                                                                                                                                                                                                                                                                                                                                                                                                                                                                                                                                                                                                                                                                                                                                                                                                                                                                                                                                                                                                                                                                                                                                                                                                                                                                                                                                                                                                                                                                                                                                                                                                                                                                                                                                                                                                                                                                                                                                                                                                                                                                                                                                                                                                                                                                                                                                                                                                                             | 5 65                                                                                                                                                                                                                                                                                                                                                                                                                                                                                                                                                                                                                                                                                                                                                                                                                                                                                                                                                                                                                                                                                                                                                                                                                                                                                                                                                                                                                                                                                                                                                                                                                                                                                                                                                                                                                                                                                                                                                                                                                                                                                                                           | 5 60<br>1,49                                                                                                                                                                                                                                                                                                                                                                                                                                                                                                                                                                                                                                                                                                                                                                                                                                                                                                                                                                                                                                                                                                                                                                                                                                                                                                                                                                                                                                                                                                                                                                                                                                                                                                                                                                                                                                                                                                                                                                                                                                                                                                                   | 1 49                                                                                                                                                                                                                                                                                                                                                                                                                                                                                                                                                                                                                                                                                                                                                                                                                                                                                                                                                                                                                                                                                                                                                                                                                                                                                                                                                                                                                                                                                                                                                                                                                                                                                                                                                                                                                                                                                                                                                                                                                                                                                                                          | 5 50<br>1.48                                                                                                                                 | 5.65<br>1.49                                                                                                                                                                                                                                                                                                                                                                                                                                                                                                                                                                                                                                                                                                                                                                                                                                                                                                                                                                                                                                                                                                                                                                                                                                                                                                                                                                                                                                                                                                                                                                                                                                                                                                                        | 5.60<br>1.49                                                                                                                                                                                                                                                                                                                                                                                                                                                                                                                                                                                                                                                                                                                                                                                                                                                                                                                                                                                                                                                                                                                                                                                                                                                                                                                                                                                                                                                                                                                                                                                                                                                                                                                                                                                                                                                                                                                                                                                                                                                                                                                                                                                                                                                                                                                                                                                                                                                                                                                                                                                                                                                                                                                                                                                                                                                                                                                                                                                                                                                                                                                                                                                        | -005<br>+001                                                                                                                                                                                                                                                                                                                                                                                                                                                                                                                                                                                                                                                                                                                                                                                                                                                                                                                                                                                                                                                                                                                                                                                                                                                                                                                                                                                                                                                                                                                                                                                                                                                                                                                                                                                   | +76                                                                                                                     | 220,000                                                                                                                                                                                                                                                                                                                                                                                                                                                                                                                                                                                                                                                                                                                                                                                                                                                                                                                                                                                                                                                                                                                                                                                                                                                                                                                                                                                                                                                                                                                                                                                                                                                                                                                                                                                                                                                                                                                                                                                                                                                                                                                                                                                                                                                                                                                                                                                                                                                                                                                                                                                                                                                                                                                                                                                                                       | 6,720<br>327,800                                                                                                                                                                                                                                                                                                                                                                                                                                                                                                                                                                                                                                                                                                                                                                                        | 2.03<br>0.54                                                                                                                                                                                                                                                                                                                                                                                                                                                                                                                                                                                                                                                                                                                                                                                                                                                                                                                                                                                                                                                                                                                                                                                                                                                                                                                                                                                                                                                                                                                                                                                                                                                                                                                                                                                                                                                                                                                                                                                                                                                                                                                   | 6 23<br>14.72                                                                                                                                                                                                                                                                                                                                                                                                                                                                                                                                                                                                                                                                                                                                                                                                                                                                                                                                                                                                                                                                                                                                                                                                                                                                                                                                                                                                                                                                                                                                                                                                                                                                                                                                                                                                                                                                                                                                                                                                                                                                                                                  | 8 03<br>4.30                                                    |
| 053 166                                                                                                                                                                                                                                                                                                                                                                                                                                                                                                                                                                                                                                                                                                                                                                                                                                                                                                                                                                                                                                                                                                                                                                                                                                                                                                                                                                                                                                                                                                                                                                                                                                                                                                                                                                                                                                                                                                                                                                                                                                                                                                                                                                                                                                                                                                                                                                                                                                                                                                                                                                                                                     | 財務地産<br>F.P.Banc                                                                                                                                                                                                                                                                                                                                                                                                                                                                                                                                                                                                                                                                                                                                                                                                                                                                                                                                                                                                                                                                                                                                                                                                                                                                                                                                                                                                                                                                                                                                                                                                                                                                                                                                                                                                                                                                                                                                                                                                                                                                                                                                                                                                                                                                                                                                                                                                                                                                                                                                                                                                                                                                                                                                                                                                         | 0 020                                                                                                                                                                                                                                                                                                                                                                                                                                                                                                                                                                                                                                                                                                                                                                                                                                                                                                                                                                                                                                                                                                                                                                                                                                                                                                                                                                                                                                                                                                                                                                                                                                                                                                                                                                                                                                                                                                                                                                                                                                                                                                                          | 0 029                                                                                                                                                                                                                                                                                                                                                                                                                                                                                                                                                                                                                                                                                                                                                                                                                                                                                                                                                                                                                                                                                                                                                                                                                                                                                                                                                                                                                                                                                                                                                                                                                                                                                                                                                                                                                                                                                                                                                                                                                                                                                                                          | 0.028                                                                                                                                                                                                                                                                                                                                                                                                                                                                                                                                                                                                                                                                                                                                                                                                                                                                                                                                                                                                                                                                                                                                                                                                                                                                                                                                                                                                                                                                                                                                                                                                                                                                                                                                                                                                                                                                                                                                                                                                                                                                                                                         | 0.028                                                                                                                                        | 0.03                                                                                                                                                                                                                                                                                                                                                                                                                                                                                                                                                                                                                                                                                                                                                                                                                                                                                                                                                                                                                                                                                                                                                                                                                                                                                                                                                                                                                                                                                                                                                                                                                                                                                                                                | 0 029                                                                                                                                                                                                                                                                                                                                                                                                                                                                                                                                                                                                                                                                                                                                                                                                                                                                                                                                                                                                                                                                                                                                                                                                                                                                                                                                                                                                                                                                                                                                                                                                                                                                                                                                                                                                                                                                                                                                                                                                                                                                                                                                                                                                                                                                                                                                                                                                                                                                                                                                                                                                                                                                                                                                                                                                                                                                                                                                                                                                                                                                                                                                                                                               | 10001                                                                                                                                                                                                                                                                                                                                                                                                                                                                                                                                                                                                                                                                                                                                                                                                                                                                                                                                                                                                                                                                                                                                                                                                                                                                                                                                                                                                                                                                                                                                                                                                                                                                                                                                                                                          | + 14                                                                                                                    | 暫停質價<br>19,400,000                                                                                                                                                                                                                                                                                                                                                                                                                                                                                                                                                                                                                                                                                                                                                                                                                                                                                                                                                                                                                                                                                                                                                                                                                                                                                                                                                                                                                                                                                                                                                                                                                                                                                                                                                                                                                                                                                                                                                                                                                                                                                                                                                                                                                                                                                                                                                                                                                                                                                                                                                                                                                                                                                                                                                                                                            | 562,350                                                                                                                                                                                                                                                                                                                                                                                                                                                                                                                                                                                                                                                                                                                                                                                                 | 0.01                                                                                                                                                                                                                                                                                                                                                                                                                                                                                                                                                                                                                                                                                                                                                                                                                                                                                                                                                                                                                                                                                                                                                                                                                                                                                                                                                                                                                                                                                                                                                                                                                                                                                                                                                                                                                                                                                                                                                                                                                                                                                                                           | 41.43                                                                                                                                                                                                                                                                                                                                                                                                                                                                                                                                                                                                                                                                                                                                                                                                                                                                                                                                                                                                                                                                                                                                                                                                                                                                                                                                                                                                                                                                                                                                                                                                                                                                                                                                                                                                                                                                                                                                                                                                                                                                                                                          |                                                                 |
| 708 142                                                                                                                                                                                                                                                                                                                                                                                                                                                                                                                                                                                                                                                                                                                                                                                                                                                                                                                                                                                                                                                                                                                                                                                                                                                                                                                                                                                                                                                                                                                                                                                                                                                                                                                                                                                                                                                                                                                                                                                                                                                                                                                                                                                                                                                                                                                                                                                                                                                                                                                                                                                                                     | 第一太平(慢)<br>第一太平<br>第一太特谊権                                                                                                                                                                                                                                                                                                                                                                                                                                                                                                                                                                                                                                                                                                                                                                                                                                                                                                                                                                                                                                                                                                                                                                                                                                                                                                                                                                                                                                                                                                                                                                                                                                                                                                                                                                                                                                                                                                                                                                                                                                                                                                                                                                                                                                                                                                                                                                                                                                                                                                                                                                                                                                                                                                                                                                                                | 1,45                                                                                                                                                                                                                                                                                                                                                                                                                                                                                                                                                                                                                                                                                                                                                                                                                                                                                                                                                                                                                                                                                                                                                                                                                                                                                                                                                                                                                                                                                                                                                                                                                                                                                                                                                                                                                                                                                                                                                                                                                                                                                                                           | 1.46                                                                                                                                                                                                                                                                                                                                                                                                                                                                                                                                                                                                                                                                                                                                                                                                                                                                                                                                                                                                                                                                                                                                                                                                                                                                                                                                                                                                                                                                                                                                                                                                                                                                                                                                                                                                                                                                                                                                                                                                                                                                                                                           | 1,45                                                                                                                                                                                                                                                                                                                                                                                                                                                                                                                                                                                                                                                                                                                                                                                                                                                                                                                                                                                                                                                                                                                                                                                                                                                                                                                                                                                                                                                                                                                                                                                                                                                                                                                                                                                                                                                                                                                                                                                                                                                                                                                          | 1.45                                                                                                                                         | 1.46<br>3.50                                                                                                                                                                                                                                                                                                                                                                                                                                                                                                                                                                                                                                                                                                                                                                                                                                                                                                                                                                                                                                                                                                                                                                                                                                                                                                                                                                                                                                                                                                                                                                                                                                                                                                                        | 1 46<br>3 50                                                                                                                                                                                                                                                                                                                                                                                                                                                                                                                                                                                                                                                                                                                                                                                                                                                                                                                                                                                                                                                                                                                                                                                                                                                                                                                                                                                                                                                                                                                                                                                                                                                                                                                                                                                                                                                                                                                                                                                                                                                                                                                                                                                                                                                                                                                                                                                                                                                                                                                                                                                                                                                                                                                                                                                                                                                                                                                                                                                                                                                                                                                                                                                        | +0.01                                                                                                                                                                                                                                                                                                                                                                                                                                                                                                                                                                                                                                                                                                                                                                                                                                                                                                                                                                                                                                                                                                                                                                                                                                                                                                                                                                                                                                                                                                                                                                                                                                                                                                                                                                                          | +75                                                                                                                     | 241,137                                                                                                                                                                                                                                                                                                                                                                                                                                                                                                                                                                                                                                                                                                                                                                                                                                                                                                                                                                                                                                                                                                                                                                                                                                                                                                                                                                                                                                                                                                                                                                                                                                                                                                                                                                                                                                                                                                                                                                                                                                                                                                                                                                                                                                                                                                                                                                                                                                                                                                                                                                                                                                                                                                                                                                                                                       | 343,733                                                                                                                                                                                                                                                                                                                                                                                                                                                                                                                                                                                                                                                                                                                                                                                                 | 0.53<br>1.27                                                                                                                                                                                                                                                                                                                                                                                                                                                                                                                                                                                                                                                                                                                                                                                                                                                                                                                                                                                                                                                                                                                                                                                                                                                                                                                                                                                                                                                                                                                                                                                                                                                                                                                                                                                                                                                                                                                                                                                                                                                                                                                   | 7.31<br>12 44                                                                                                                                                                                                                                                                                                                                                                                                                                                                                                                                                                                                                                                                                                                                                                                                                                                                                                                                                                                                                                                                                                                                                                                                                                                                                                                                                                                                                                                                                                                                                                                                                                                                                                                                                                                                                                                                                                                                                                                                                                                                                                                  | 3.3                                                             |
| 7.567 011                                                                                                                                                                                                                                                                                                                                                                                                                                                                                                                                                                                                                                                                                                                                                                                                                                                                                                                                                                                                                                                                                                                                                                                                                                                                                                                                                                                                                                                                                                                                                                                                                                                                                                                                                                                                                                                                                                                                                                                                                                                                                                                                                                                                                                                                                                                                                                                                                                                                                                                                                                                                                   | 恒生銀行<br>運豐銀行                                                                                                                                                                                                                                                                                                                                                                                                                                                                                                                                                                                                                                                                                                                                                                                                                                                                                                                                                                                                                                                                                                                                                                                                                                                                                                                                                                                                                                                                                                                                                                                                                                                                                                                                                                                                                                                                                                                                                                                                                                                                                                                                                                                                                                                                                                                                                                                                                                                                                                                                                                                                                                                                                                                                                                                                             | 24.10<br>6.95                                                                                                                                                                                                                                                                                                                                                                                                                                                                                                                                                                                                                                                                                                                                                                                                                                                                                                                                                                                                                                                                                                                                                                                                                                                                                                                                                                                                                                                                                                                                                                                                                                                                                                                                                                                                                                                                                                                                                                                                                                                                                                                  | 24 10<br>7.00                                                                                                                                                                                                                                                                                                                                                                                                                                                                                                                                                                                                                                                                                                                                                                                                                                                                                                                                                                                                                                                                                                                                                                                                                                                                                                                                                                                                                                                                                                                                                                                                                                                                                                                                                                                                                                                                                                                                                                                                                                                                                                                  | 24 00<br>6.95                                                                                                                                                                                                                                                                                                                                                                                                                                                                                                                                                                                                                                                                                                                                                                                                                                                                                                                                                                                                                                                                                                                                                                                                                                                                                                                                                                                                                                                                                                                                                                                                                                                                                                                                                                                                                                                                                                                                                                                                                                                                                                                 | 24 00<br>6.95                                                                                                                                | 24.10<br>7.00                                                                                                                                                                                                                                                                                                                                                                                                                                                                                                                                                                                                                                                                                                                                                                                                                                                                                                                                                                                                                                                                                                                                                                                                                                                                                                                                                                                                                                                                                                                                                                                                                                                                                                                       | 24.10<br>6.95                                                                                                                                                                                                                                                                                                                                                                                                                                                                                                                                                                                                                                                                                                                                                                                                                                                                                                                                                                                                                                                                                                                                                                                                                                                                                                                                                                                                                                                                                                                                                                                                                                                                                                                                                                                                                                                                                                                                                                                                                                                                                                                                                                                                                                                                                                                                                                                                                                                                                                                                                                                                                                                                                                                                                                                                                                                                                                                                                                                                                                                                                                                                                                                       | -                                                                                                                                                                                                                                                                                                                                                                                                                                                                                                                                                                                                                                                                                                                                                                                                                                                                                                                                                                                                                                                                                                                                                                                                                                                                                                                                                                                                                                                                                                                                                                                                                                                                                                                                                                                              |                                                                                                                         | 262,244<br>4,478,647                                                                                                                                                                                                                                                                                                                                                                                                                                                                                                                                                                                                                                                                                                                                                                                                                                                                                                                                                                                                                                                                                                                                                                                                                                                                                                                                                                                                                                                                                                                                                                                                                                                                                                                                                                                                                                                                                                                                                                                                                                                                                                                                                                                                                                                                                                                                                                                                                                                                                                                                                                                                                                                                                                                                                                                                          | 6,318,279<br>30,953,656                                                                                                                                                                                                                                                                                                                                                                                                                                                                                                                                                                                                                                                                                                                                                                                 |                                                                                                                                                                                                                                                                                                                                                                                                                                                                                                                                                                                                                                                                                                                                                                                                                                                                                                                                                                                                                                                                                                                                                                                                                                                                                                                                                                                                                                                                                                                                                                                                                                                                                                                                                                                                                                                                                                                                                                                                                                                                                                                                | 12.95<br>9.28                                                                                                                                                                                                                                                                                                                                                                                                                                                                                                                                                                                                                                                                                                                                                                                                                                                                                                                                                                                                                                                                                                                                                                                                                                                                                                                                                                                                                                                                                                                                                                                                                                                                                                                                                                                                                                                                                                                                                                                                                                                                                                                  | 4.7<br>6.0                                                      |
| 145                                                                                                                                                                                                                                                                                                                                                                                                                                                                                                                                                                                                                                                                                                                                                                                                                                                                                                                                                                                                                                                                                                                                                                                                                                                                                                                                                                                                                                                                                                                                                                                                                                                                                                                                                                                                                                                                                                                                                                                                                                                                                                                                                                                                                                                                                                                                                                                                                                                                                                                                                                                                                         | 建屋貸款<br>遠東財務                                                                                                                                                                                                                                                                                                                                                                                                                                                                                                                                                                                                                                                                                                                                                                                                                                                                                                                                                                                                                                                                                                                                                                                                                                                                                                                                                                                                                                                                                                                                                                                                                                                                                                                                                                                                                                                                                                                                                                                                                                                                                                                                                                                                                                                                                                                                                                                                                                                                                                                                                                                                                                                                                                                                                                                                             |                                                                                                                                                                                                                                                                                                                                                                                                                                                                                                                                                                                                                                                                                                                                                                                                                                                                                                                                                                                                                                                                                                                                                                                                                                                                                                                                                                                                                                                                                                                                                                                                                                                                                                                                                                                                                                                                                                                                                                                                                                                                                                                                |                                                                                                                                                                                                                                                                                                                                                                                                                                                                                                                                                                                                                                                                                                                                                                                                                                                                                                                                                                                                                                                                                                                                                                                                                                                                                                                                                                                                                                                                                                                                                                                                                                                                                                                                                                                                                                                                                                                                                                                                                                                                                                                                |                                                                                                                                                                                                                                                                                                                                                                                                                                                                                                                                                                                                                                                                                                                                                                                                                                                                                                                                                                                                                                                                                                                                                                                                                                                                                                                                                                                                                                                                                                                                                                                                                                                                                                                                                                                                                                                                                                                                                                                                                                                                                                                               |                                                                                                                                              |                                                                                                                                                                                                                                                                                                                                                                                                                                                                                                                                                                                                                                                                                                                                                                                                                                                                                                                                                                                                                                                                                                                                                                                                                                                                                                                                                                                                                                                                                                                                                                                                                                                                                                                                     |                                                                                                                                                                                                                                                                                                                                                                                                                                                                                                                                                                                                                                                                                                                                                                                                                                                                                                                                                                                                                                                                                                                                                                                                                                                                                                                                                                                                                                                                                                                                                                                                                                                                                                                                                                                                                                                                                                                                                                                                                                                                                                                                                                                                                                                                                                                                                                                                                                                                                                                                                                                                                                                                                                                                                                                                                                                                                                                                                                                                                                                                                                                                                                                                     |                                                                                                                                                                                                                                                                                                                                                                                                                                                                                                                                                                                                                                                                                                                                                                                                                                                                                                                                                                                                                                                                                                                                                                                                                                                                                                                                                                                                                                                                                                                                                                                                                                                                                                                                                                                                |                                                                                                                         | 暫停買賣                                                                                                                                                                                                                                                                                                                                                                                                                                                                                                                                                                                                                                                                                                                                                                                                                                                                                                                                                                                                                                                                                                                                                                                                                                                                                                                                                                                                                                                                                                                                                                                                                                                                                                                                                                                                                                                                                                                                                                                                                                                                                                                                                                                                                                                                                                                                                                                                                                                                                                                                                                                                                                                                                                                                                                                                                          |                                                                                                                                                                                                                                                                                                                                                                                                                                                                                                                                                                                                                                                                                                                                                                                                         |                                                                                                                                                                                                                                                                                                                                                                                                                                                                                                                                                                                                                                                                                                                                                                                                                                                                                                                                                                                                                                                                                                                                                                                                                                                                                                                                                                                                                                                                                                                                                                                                                                                                                                                                                                                                                                                                                                                                                                                                                                                                                                                                |                                                                                                                                                                                                                                                                                                                                                                                                                                                                                                                                                                                                                                                                                                                                                                                                                                                                                                                                                                                                                                                                                                                                                                                                                                                                                                                                                                                                                                                                                                                                                                                                                                                                                                                                                                                                                                                                                                                                                                                                                                                                                                                                | ·                                                               |
| 3 30 197                                                                                                                                                                                                                                                                                                                                                                                                                                                                                                                                                                                                                                                                                                                                                                                                                                                                                                                                                                                                                                                                                                                                                                                                                                                                                                                                                                                                                                                                                                                                                                                                                                                                                                                                                                                                                                                                                                                                                                                                                                                                                                                                                                                                                                                                                                                                                                                                                                                                                                                                                                                                                    | 嘉華銀行<br>倫太保險                                                                                                                                                                                                                                                                                                                                                                                                                                                                                                                                                                                                                                                                                                                                                                                                                                                                                                                                                                                                                                                                                                                                                                                                                                                                                                                                                                                                                                                                                                                                                                                                                                                                                                                                                                                                                                                                                                                                                                                                                                                                                                                                                                                                                                                                                                                                                                                                                                                                                                                                                                                                                                                                                                                                                                                                             | 2.95                                                                                                                                                                                                                                                                                                                                                                                                                                                                                                                                                                                                                                                                                                                                                                                                                                                                                                                                                                                                                                                                                                                                                                                                                                                                                                                                                                                                                                                                                                                                                                                                                                                                                                                                                                                                                                                                                                                                                                                                                                                                                                                           |                                                                                                                                                                                                                                                                                                                                                                                                                                                                                                                                                                                                                                                                                                                                                                                                                                                                                                                                                                                                                                                                                                                                                                                                                                                                                                                                                                                                                                                                                                                                                                                                                                                                                                                                                                                                                                                                                                                                                                                                                                                                                                                                |                                                                                                                                                                                                                                                                                                                                                                                                                                                                                                                                                                                                                                                                                                                                                                                                                                                                                                                                                                                                                                                                                                                                                                                                                                                                                                                                                                                                                                                                                                                                                                                                                                                                                                                                                                                                                                                                                                                                                                                                                                                                                                                               | 2.80                                                                                                                                         | 290                                                                                                                                                                                                                                                                                                                                                                                                                                                                                                                                                                                                                                                                                                                                                                                                                                                                                                                                                                                                                                                                                                                                                                                                                                                                                                                                                                                                                                                                                                                                                                                                                                                                                                                                 | 2.95                                                                                                                                                                                                                                                                                                                                                                                                                                                                                                                                                                                                                                                                                                                                                                                                                                                                                                                                                                                                                                                                                                                                                                                                                                                                                                                                                                                                                                                                                                                                                                                                                                                                                                                                                                                                                                                                                                                                                                                                                                                                                                                                                                                                                                                                                                                                                                                                                                                                                                                                                                                                                                                                                                                                                                                                                                                                                                                                                                                                                                                                                                                                                                                                |                                                                                                                                                                                                                                                                                                                                                                                                                                                                                                                                                                                                                                                                                                                                                                                                                                                                                                                                                                                                                                                                                                                                                                                                                                                                                                                                                                                                                                                                                                                                                                                                                                                                                                                                                                                                | 70                                                                                                                      | -                                                                                                                                                                                                                                                                                                                                                                                                                                                                                                                                                                                                                                                                                                                                                                                                                                                                                                                                                                                                                                                                                                                                                                                                                                                                                                                                                                                                                                                                                                                                                                                                                                                                                                                                                                                                                                                                                                                                                                                                                                                                                                                                                                                                                                                                                                                                                                                                                                                                                                                                                                                                                                                                                                                                                                                                                             |                                                                                                                                                                                                                                                                                                                                                                                                                                                                                                                                                                                                                                                                                                                                                                                                         | 1 07                                                                                                                                                                                                                                                                                                                                                                                                                                                                                                                                                                                                                                                                                                                                                                                                                                                                                                                                                                                                                                                                                                                                                                                                                                                                                                                                                                                                                                                                                                                                                                                                                                                                                                                                                                                                                                                                                                                                                                                                                                                                                                                           |                                                                                                                                                                                                                                                                                                                                                                                                                                                                                                                                                                                                                                                                                                                                                                                                                                                                                                                                                                                                                                                                                                                                                                                                                                                                                                                                                                                                                                                                                                                                                                                                                                                                                                                                                                                                                                                                                                                                                                                                                                                                                                                                |                                                                 |
| 104 222                                                                                                                                                                                                                                                                                                                                                                                                                                                                                                                                                                                                                                                                                                                                                                                                                                                                                                                                                                                                                                                                                                                                                                                                                                                                                                                                                                                                                                                                                                                                                                                                                                                                                                                                                                                                                                                                                                                                                                                                                                                                                                                                                                                                                                                                                                                                                                                                                                                                                                                                                                                                                     | 慈務證券<br>閩宮集團                                                                                                                                                                                                                                                                                                                                                                                                                                                                                                                                                                                                                                                                                                                                                                                                                                                                                                                                                                                                                                                                                                                                                                                                                                                                                                                                                                                                                                                                                                                                                                                                                                                                                                                                                                                                                                                                                                                                                                                                                                                                                                                                                                                                                                                                                                                                                                                                                                                                                                                                                                                                                                                                                                                                                                                                             | 0 475<br>0 52                                                                                                                                                                                                                                                                                                                                                                                                                                                                                                                                                                                                                                                                                                                                                                                                                                                                                                                                                                                                                                                                                                                                                                                                                                                                                                                                                                                                                                                                                                                                                                                                                                                                                                                                                                                                                                                                                                                                                                                                                                                                                                                  | 0 47                                                                                                                                                                                                                                                                                                                                                                                                                                                                                                                                                                                                                                                                                                                                                                                                                                                                                                                                                                                                                                                                                                                                                                                                                                                                                                                                                                                                                                                                                                                                                                                                                                                                                                                                                                                                                                                                                                                                                                                                                                                                                                                           | 0 47                                                                                                                                                                                                                                                                                                                                                                                                                                                                                                                                                                                                                                                                                                                                                                                                                                                                                                                                                                                                                                                                                                                                                                                                                                                                                                                                                                                                                                                                                                                                                                                                                                                                                                                                                                                                                                                                                                                                                                                                                                                                                                                          | 0.46                                                                                                                                         | 0.47                                                                                                                                                                                                                                                                                                                                                                                                                                                                                                                                                                                                                                                                                                                                                                                                                                                                                                                                                                                                                                                                                                                                                                                                                                                                                                                                                                                                                                                                                                                                                                                                                                                                                                                                | 0.47<br>0.52                                                                                                                                                                                                                                                                                                                                                                                                                                                                                                                                                                                                                                                                                                                                                                                                                                                                                                                                                                                                                                                                                                                                                                                                                                                                                                                                                                                                                                                                                                                                                                                                                                                                                                                                                                                                                                                                                                                                                                                                                                                                                                                                                                                                                                                                                                                                                                                                                                                                                                                                                                                                                                                                                                                                                                                                                                                                                                                                                                                                                                                                                                                                                                                        | -0.005                                                                                                                                                                                                                                                                                                                                                                                                                                                                                                                                                                                                                                                                                                                                                                                                                                                                                                                                                                                                                                                                                                                                                                                                                                                                                                                                                                                                                                                                                                                                                                                                                                                                                                                                                                                         | -72                                                                                                                     | 22,000<br>—                                                                                                                                                                                                                                                                                                                                                                                                                                                                                                                                                                                                                                                                                                                                                                                                                                                                                                                                                                                                                                                                                                                                                                                                                                                                                                                                                                                                                                                                                                                                                                                                                                                                                                                                                                                                                                                                                                                                                                                                                                                                                                                                                                                                                                                                                                                                                                                                                                                                                                                                                                                                                                                                                                                                                                                                                   | 10,340                                                                                                                                                                                                                                                                                                                                                                                                                                                                                                                                                                                                                                                                                                                                                                                                  | 0 17<br>0 19                                                                                                                                                                                                                                                                                                                                                                                                                                                                                                                                                                                                                                                                                                                                                                                                                                                                                                                                                                                                                                                                                                                                                                                                                                                                                                                                                                                                                                                                                                                                                                                                                                                                                                                                                                                                                                                                                                                                                                                                                                                                                                                   | 22.61                                                                                                                                                                                                                                                                                                                                                                                                                                                                                                                                                                                                                                                                                                                                                                                                                                                                                                                                                                                                                                                                                                                                                                                                                                                                                                                                                                                                                                                                                                                                                                                                                                                                                                                                                                                                                                                                                                                                                                                                                                                                                                                          |                                                                 |
| 70 226                                                                                                                                                                                                                                                                                                                                                                                                                                                                                                                                                                                                                                                                                                                                                                                                                                                                                                                                                                                                                                                                                                                                                                                                                                                                                                                                                                                                                                                                                                                                                                                                                                                                                                                                                                                                                                                                                                                                                                                                                                                                                                                                                                                                                                                                                                                                                                                                                                                                                                                                                                                                                      | 百利大                                                                                                                                                                                                                                                                                                                                                                                                                                                                                                                                                                                                                                                                                                                                                                                                                                                                                                                                                                                                                                                                                                                                                                                                                                                                                                                                                                                                                                                                                                                                                                                                                                                                                                                                                                                                                                                                                                                                                                                                                                                                                                                                                                                                                                                                                                                                                                                                                                                                                                                                                                                                                                                                                                                                                                                                                      | 0.59                                                                                                                                                                                                                                                                                                                                                                                                                                                                                                                                                                                                                                                                                                                                                                                                                                                                                                                                                                                                                                                                                                                                                                                                                                                                                                                                                                                                                                                                                                                                                                                                                                                                                                                                                                                                                                                                                                                                                                                                                                                                                                                           | 0 64                                                                                                                                                                                                                                                                                                                                                                                                                                                                                                                                                                                                                                                                                                                                                                                                                                                                                                                                                                                                                                                                                                                                                                                                                                                                                                                                                                                                                                                                                                                                                                                                                                                                                                                                                                                                                                                                                                                                                                                                                                                                                                                           | 0.60                                                                                                                                                                                                                                                                                                                                                                                                                                                                                                                                                                                                                                                                                                                                                                                                                                                                                                                                                                                                                                                                                                                                                                                                                                                                                                                                                                                                                                                                                                                                                                                                                                                                                                                                                                                                                                                                                                                                                                                                                                                                                                                          | 0 60                                                                                                                                         | 0.64                                                                                                                                                                                                                                                                                                                                                                                                                                                                                                                                                                                                                                                                                                                                                                                                                                                                                                                                                                                                                                                                                                                                                                                                                                                                                                                                                                                                                                                                                                                                                                                                                                                                                                                                | 0 60                                                                                                                                                                                                                                                                                                                                                                                                                                                                                                                                                                                                                                                                                                                                                                                                                                                                                                                                                                                                                                                                                                                                                                                                                                                                                                                                                                                                                                                                                                                                                                                                                                                                                                                                                                                                                                                                                                                                                                                                                                                                                                                                                                                                                                                                                                                                                                                                                                                                                                                                                                                                                                                                                                                                                                                                                                                                                                                                                                                                                                                                                                                                                                                                | +0.01                                                                                                                                                                                                                                                                                                                                                                                                                                                                                                                                                                                                                                                                                                                                                                                                                                                                                                                                                                                                                                                                                                                                                                                                                                                                                                                                                                                                                                                                                                                                                                                                                                                                                                                                                                                          | +34                                                                                                                     | 整件宣費<br>14,000                                                                                                                                                                                                                                                                                                                                                                                                                                                                                                                                                                                                                                                                                                                                                                                                                                                                                                                                                                                                                                                                                                                                                                                                                                                                                                                                                                                                                                                                                                                                                                                                                                                                                                                                                                                                                                                                                                                                                                                                                                                                                                                                                                                                                                                                                                                                                                                                                                                                                                                                                                                                                                                                                                                                                                                                                | 9.800                                                                                                                                                                                                                                                                                                                                                                                                                                                                                                                                                                                                                                                                                                                                                                                                   | 0.22                                                                                                                                                                                                                                                                                                                                                                                                                                                                                                                                                                                                                                                                                                                                                                                                                                                                                                                                                                                                                                                                                                                                                                                                                                                                                                                                                                                                                                                                                                                                                                                                                                                                                                                                                                                                                                                                                                                                                                                                                                                                                                                           | 15 87<br>11 03                                                                                                                                                                                                                                                                                                                                                                                                                                                                                                                                                                                                                                                                                                                                                                                                                                                                                                                                                                                                                                                                                                                                                                                                                                                                                                                                                                                                                                                                                                                                                                                                                                                                                                                                                                                                                                                                                                                                                                                                                                                                                                                 | 3.3                                                             |
| 330 086                                                                                                                                                                                                                                                                                                                                                                                                                                                                                                                                                                                                                                                                                                                                                                                                                                                                                                                                                                                                                                                                                                                                                                                                                                                                                                                                                                                                                                                                                                                                                                                                                                                                                                                                                                                                                                                                                                                                                                                                                                                                                                                                                                                                                                                                                                                                                                                                                                                                                                                                                                                                                     | 大喪团際<br>新 <i>馬基公司</i><br>森地財務                                                                                                                                                                                                                                                                                                                                                                                                                                                                                                                                                                                                                                                                                                                                                                                                                                                                                                                                                                                                                                                                                                                                                                                                                                                                                                                                                                                                                                                                                                                                                                                                                                                                                                                                                                                                                                                                                                                                                                                                                                                                                                                                                                                                                                                                                                                                                                                                                                                                                                                                                                                                                                                                                                                                                                                            | 1.89                                                                                                                                                                                                                                                                                                                                                                                                                                                                                                                                                                                                                                                                                                                                                                                                                                                                                                                                                                                                                                                                                                                                                                                                                                                                                                                                                                                                                                                                                                                                                                                                                                                                                                                                                                                                                                                                                                                                                                                                                                                                                                                           | 1.92                                                                                                                                                                                                                                                                                                                                                                                                                                                                                                                                                                                                                                                                                                                                                                                                                                                                                                                                                                                                                                                                                                                                                                                                                                                                                                                                                                                                                                                                                                                                                                                                                                                                                                                                                                                                                                                                                                                                                                                                                                                                                                                           | 188                                                                                                                                                                                                                                                                                                                                                                                                                                                                                                                                                                                                                                                                                                                                                                                                                                                                                                                                                                                                                                                                                                                                                                                                                                                                                                                                                                                                                                                                                                                                                                                                                                                                                                                                                                                                                                                                                                                                                                                                                                                                                                                           | 1.90                                                                                                                                         | 192                                                                                                                                                                                                                                                                                                                                                                                                                                                                                                                                                                                                                                                                                                                                                                                                                                                                                                                                                                                                                                                                                                                                                                                                                                                                                                                                                                                                                                                                                                                                                                                                                                                                                                                                 | 191                                                                                                                                                                                                                                                                                                                                                                                                                                                                                                                                                                                                                                                                                                                                                                                                                                                                                                                                                                                                                                                                                                                                                                                                                                                                                                                                                                                                                                                                                                                                                                                                                                                                                                                                                                                                                                                                                                                                                                                                                                                                                                                                                                                                                                                                                                                                                                                                                                                                                                                                                                                                                                                                                                                                                                                                                                                                                                                                                                                                                                                                                                                                                                                                 | +0.02                                                                                                                                                                                                                                                                                                                                                                                                                                                                                                                                                                                                                                                                                                                                                                                                                                                                                                                                                                                                                                                                                                                                                                                                                                                                                                                                                                                                                                                                                                                                                                                                                                                                                                                                                                                          | +53                                                                                                                     | 858,000<br>整体異确                                                                                                                                                                                                                                                                                                                                                                                                                                                                                                                                                                                                                                                                                                                                                                                                                                                                                                                                                                                                                                                                                                                                                                                                                                                                                                                                                                                                                                                                                                                                                                                                                                                                                                                                                                                                                                                                                                                                                                                                                                                                                                                                                                                                                                                                                                                                                                                                                                                                                                                                                                                                                                                                                                                                                                                                               | 1,641,060                                                                                                                                                                                                                                                                                                                                                                                                                                                                                                                                                                                                                                                                                                                                                                                               |                                                                                                                                                                                                                                                                                                                                                                                                                                                                                                                                                                                                                                                                                                                                                                                                                                                                                                                                                                                                                                                                                                                                                                                                                                                                                                                                                                                                                                                                                                                                                                                                                                                                                                                                                                                                                                                                                                                                                                                                                                                                                                                                | 8.96                                                                                                                                                                                                                                                                                                                                                                                                                                                                                                                                                                                                                                                                                                                                                                                                                                                                                                                                                                                                                                                                                                                                                                                                                                                                                                                                                                                                                                                                                                                                                                                                                                                                                                                                                                                                                                                                                                                                                                                                                                                                                                                           | 7 8                                                             |
| 1 215 459                                                                                                                                                                                                                                                                                                                                                                                                                                                                                                                                                                                                                                                                                                                                                                                                                                                                                                                                                                                                                                                                                                                                                                                                                                                                                                                                                                                                                                                                                                                                                                                                                                                                                                                                                                                                                                                                                                                                                                                                                                                                                                                                                                                                                                                                                                                                                                                                                                                                                                                                                                                                                   | 場础金融                                                                                                                                                                                                                                                                                                                                                                                                                                                                                                                                                                                                                                                                                                                                                                                                                                                                                                                                                                                                                                                                                                                                                                                                                                                                                                                                                                                                                                                                                                                                                                                                                                                                                                                                                                                                                                                                                                                                                                                                                                                                                                                                                                                                                                                                                                                                                                                                                                                                                                                                                                                                                                                                                                                                                                                                                     | 0.62<br>1.48                                                                                                                                                                                                                                                                                                                                                                                                                                                                                                                                                                                                                                                                                                                                                                                                                                                                                                                                                                                                                                                                                                                                                                                                                                                                                                                                                                                                                                                                                                                                                                                                                                                                                                                                                                                                                                                                                                                                                                                                                                                                                                                   | 0 60                                                                                                                                                                                                                                                                                                                                                                                                                                                                                                                                                                                                                                                                                                                                                                                                                                                                                                                                                                                                                                                                                                                                                                                                                                                                                                                                                                                                                                                                                                                                                                                                                                                                                                                                                                                                                                                                                                                                                                                                                                                                                                                           | 0 59                                                                                                                                                                                                                                                                                                                                                                                                                                                                                                                                                                                                                                                                                                                                                                                                                                                                                                                                                                                                                                                                                                                                                                                                                                                                                                                                                                                                                                                                                                                                                                                                                                                                                                                                                                                                                                                                                                                                                                                                                                                                                                                          | 0.61                                                                                                                                         | 0 60<br>1 56                                                                                                                                                                                                                                                                                                                                                                                                                                                                                                                                                                                                                                                                                                                                                                                                                                                                                                                                                                                                                                                                                                                                                                                                                                                                                                                                                                                                                                                                                                                                                                                                                                                                                                                        | 0 61<br>1 50                                                                                                                                                                                                                                                                                                                                                                                                                                                                                                                                                                                                                                                                                                                                                                                                                                                                                                                                                                                                                                                                                                                                                                                                                                                                                                                                                                                                                                                                                                                                                                                                                                                                                                                                                                                                                                                                                                                                                                                                                                                                                                                                                                                                                                                                                                                                                                                                                                                                                                                                                                                                                                                                                                                                                                                                                                                                                                                                                                                                                                                                                                                                                                                        | -0.01<br>+0.02                                                                                                                                                                                                                                                                                                                                                                                                                                                                                                                                                                                                                                                                                                                                                                                                                                                                                                                                                                                                                                                                                                                                                                                                                                                                                                                                                                                                                                                                                                                                                                                                                                                                                                                                                                                 | -46<br>+43                                                                                                              | 109,200                                                                                                                                                                                                                                                                                                                                                                                                                                                                                                                                                                                                                                                                                                                                                                                                                                                                                                                                                                                                                                                                                                                                                                                                                                                                                                                                                                                                                                                                                                                                                                                                                                                                                                                                                                                                                                                                                                                                                                                                                                                                                                                                                                                                                                                                                                                                                                                                                                                                                                                                                                                                                                                                                                                                                                                                                       | 65,340<br>153,000                                                                                                                                                                                                                                                                                                                                                                                                                                                                                                                                                                                                                                                                                                                                                                                       | 0 22<br>0.54                                                                                                                                                                                                                                                                                                                                                                                                                                                                                                                                                                                                                                                                                                                                                                                                                                                                                                                                                                                                                                                                                                                                                                                                                                                                                                                                                                                                                                                                                                                                                                                                                                                                                                                                                                                                                                                                                                                                                                                                                                                                                                                   | _                                                                                                                                                                                                                                                                                                                                                                                                                                                                                                                                                                                                                                                                                                                                                                                                                                                                                                                                                                                                                                                                                                                                                                                                                                                                                                                                                                                                                                                                                                                                                                                                                                                                                                                                                                                                                                                                                                                                                                                                                                                                                                                              |                                                                 |
| 925 258                                                                                                                                                                                                                                                                                                                                                                                                                                                                                                                                                                                                                                                                                                                                                                                                                                                                                                                                                                                                                                                                                                                                                                                                                                                                                                                                                                                                                                                                                                                                                                                                                                                                                                                                                                                                                                                                                                                                                                                                                                                                                                                                                                                                                                                                                                                                                                                                                                                                                                                                                                                                                     | 易重太平洋(561)<br>友聯銀行                                                                                                                                                                                                                                                                                                                                                                                                                                                                                                                                                                                                                                                                                                                                                                                                                                                                                                                                                                                                                                                                                                                                                                                                                                                                                                                                                                                                                                                                                                                                                                                                                                                                                                                                                                                                                                                                                                                                                                                                                                                                                                                                                                                                                                                                                                                                                                                                                                                                                                                                                                                                                                                                                                                                                                                                       | 1.63                                                                                                                                                                                                                                                                                                                                                                                                                                                                                                                                                                                                                                                                                                                                                                                                                                                                                                                                                                                                                                                                                                                                                                                                                                                                                                                                                                                                                                                                                                                                                                                                                                                                                                                                                                                                                                                                                                                                                                                                                                                                                                                           | 1 62                                                                                                                                                                                                                                                                                                                                                                                                                                                                                                                                                                                                                                                                                                                                                                                                                                                                                                                                                                                                                                                                                                                                                                                                                                                                                                                                                                                                                                                                                                                                                                                                                                                                                                                                                                                                                                                                                                                                                                                                                                                                                                                           | 1.62                                                                                                                                                                                                                                                                                                                                                                                                                                                                                                                                                                                                                                                                                                                                                                                                                                                                                                                                                                                                                                                                                                                                                                                                                                                                                                                                                                                                                                                                                                                                                                                                                                                                                                                                                                                                                                                                                                                                                                                                                                                                                                                          | 0.74<br>1 62                                                                                                                                 | 077<br>166                                                                                                                                                                                                                                                                                                                                                                                                                                                                                                                                                                                                                                                                                                                                                                                                                                                                                                                                                                                                                                                                                                                                                                                                                                                                                                                                                                                                                                                                                                                                                                                                                                                                                                                          | 077                                                                                                                                                                                                                                                                                                                                                                                                                                                                                                                                                                                                                                                                                                                                                                                                                                                                                                                                                                                                                                                                                                                                                                                                                                                                                                                                                                                                                                                                                                                                                                                                                                                                                                                                                                                                                                                                                                                                                                                                                                                                                                                                                                                                                                                                                                                                                                                                                                                                                                                                                                                                                                                                                                                                                                                                                                                                                                                                                                                                                                                                                                                                                                                                 | -<br>-001                                                                                                                                                                                                                                                                                                                                                                                                                                                                                                                                                                                                                                                                                                                                                                                                                                                                                                                                                                                                                                                                                                                                                                                                                                                                                                                                                                                                                                                                                                                                                                                                                                                                                                                                                                                      | -<br>-107                                                                                                               | 3,396,000<br>32,000                                                                                                                                                                                                                                                                                                                                                                                                                                                                                                                                                                                                                                                                                                                                                                                                                                                                                                                                                                                                                                                                                                                                                                                                                                                                                                                                                                                                                                                                                                                                                                                                                                                                                                                                                                                                                                                                                                                                                                                                                                                                                                                                                                                                                                                                                                                                                                                                                                                                                                                                                                                                                                                                                                                                                                                                           | 2,497,560<br>51,840                                                                                                                                                                                                                                                                                                                                                                                                                                                                                                                                                                                                                                                                                                                                                                                     | +                                                                                                                                                                                                                                                                                                                                                                                                                                                                                                                                                                                                                                                                                                                                                                                                                                                                                                                                                                                                                                                                                                                                                                                                                                                                                                                                                                                                                                                                                                                                                                                                                                                                                                                                                                                                                                                                                                                                                                                                                                                                                                                              | 17 76                                                                                                                                                                                                                                                                                                                                                                                                                                                                                                                                                                                                                                                                                                                                                                                                                                                                                                                                                                                                                                                                                                                                                                                                                                                                                                                                                                                                                                                                                                                                                                                                                                                                                                                                                                                                                                                                                                                                                                                                                                                                                                                          | 6.1                                                             |
|                                                                                                                                                                                                                                                                                                                                                                                                                                                                                                                                                                                                                                                                                                                                                                                                                                                                                                                                                                                                                                                                                                                                                                                                                                                                                                                                                                                                                                                                                                                                                                                                                                                                                                                                                                                                                                                                                                                                                                                                                                                                                                                                                                                                                                                                                                                                                                                                                                                                                                                                                                                                                             | 大華銀行<br>水登銀行                                                                                                                                                                                                                                                                                                                                                                                                                                                                                                                                                                                                                                                                                                                                                                                                                                                                                                                                                                                                                                                                                                                                                                                                                                                                                                                                                                                                                                                                                                                                                                                                                                                                                                                                                                                                                                                                                                                                                                                                                                                                                                                                                                                                                                                                                                                                                                                                                                                                                                                                                                                                                                                                                                                                                                                                             | 40.75                                                                                                                                                                                                                                                                                                                                                                                                                                                                                                                                                                                                                                                                                                                                                                                                                                                                                                                                                                                                                                                                                                                                                                                                                                                                                                                                                                                                                                                                                                                                                                                                                                                                                                                                                                                                                                                                                                                                                                                                                                                                                                                          | 41.00                                                                                                                                                                                                                                                                                                                                                                                                                                                                                                                                                                                                                                                                                                                                                                                                                                                                                                                                                                                                                                                                                                                                                                                                                                                                                                                                                                                                                                                                                                                                                                                                                                                                                                                                                                                                                                                                                                                                                                                                                                                                                                                          | 40.75                                                                                                                                                                                                                                                                                                                                                                                                                                                                                                                                                                                                                                                                                                                                                                                                                                                                                                                                                                                                                                                                                                                                                                                                                                                                                                                                                                                                                                                                                                                                                                                                                                                                                                                                                                                                                                                                                                                                                                                                                                                                                                                         | 40.75                                                                                                                                        | 41 00                                                                                                                                                                                                                                                                                                                                                                                                                                                                                                                                                                                                                                                                                                                                                                                                                                                                                                                                                                                                                                                                                                                                                                                                                                                                                                                                                                                                                                                                                                                                                                                                                                                                                                                               | 41 00                                                                                                                                                                                                                                                                                                                                                                                                                                                                                                                                                                                                                                                                                                                                                                                                                                                                                                                                                                                                                                                                                                                                                                                                                                                                                                                                                                                                                                                                                                                                                                                                                                                                                                                                                                                                                                                                                                                                                                                                                                                                                                                                                                                                                                                                                                                                                                                                                                                                                                                                                                                                                                                                                                                                                                                                                                                                                                                                                                                                                                                                                                                                                                                               | +0.25                                                                                                                                                                                                                                                                                                                                                                                                                                                                                                                                                                                                                                                                                                                                                                                                                                                                                                                                                                                                                                                                                                                                                                                                                                                                                                                                                                                                                                                                                                                                                                                                                                                                                                                                                                                          | +82                                                                                                                     | 36,100                                                                                                                                                                                                                                                                                                                                                                                                                                                                                                                                                                                                                                                                                                                                                                                                                                                                                                                                                                                                                                                                                                                                                                                                                                                                                                                                                                                                                                                                                                                                                                                                                                                                                                                                                                                                                                                                                                                                                                                                                                                                                                                                                                                                                                                                                                                                                                                                                                                                                                                                                                                                                                                                                                                                                                                                                        | 1,554,275                                                                                                                                                                                                                                                                                                                                                                                                                                                                                                                                                                                                                                                                                                                                                                                               | 1487                                                                                                                                                                                                                                                                                                                                                                                                                                                                                                                                                                                                                                                                                                                                                                                                                                                                                                                                                                                                                                                                                                                                                                                                                                                                                                                                                                                                                                                                                                                                                                                                                                                                                                                                                                                                                                                                                                                                                                                                                                                                                                                           | 12.60                                                                                                                                                                                                                                                                                                                                                                                                                                                                                                                                                                                                                                                                                                                                                                                                                                                                                                                                                                                                                                                                                                                                                                                                                                                                                                                                                                                                                                                                                                                                                                                                                                                                                                                                                                                                                                                                                                                                                                                                                                                                                                                          | 3.6                                                             |
|                                                                                                                                                                                                                                                                                                                                                                                                                                                                                                                                                                                                                                                                                                                                                                                                                                                                                                                                                                                                                                                                                                                                                                                                                                                                                                                                                                                                                                                                                                                                                                                                                                                                                                                                                                                                                                                                                                                                                                                                                                                                                                                                                                                                                                                                                                                                                                                                                                                                                                                                                                                                                             | 綜合企業                                                                                                                                                                                                                                                                                                                                                                                                                                                                                                                                                                                                                                                                                                                                                                                                                                                                                                                                                                                                                                                                                                                                                                                                                                                                                                                                                                                                                                                                                                                                                                                                                                                                                                                                                                                                                                                                                                                                                                                                                                                                                                                                                                                                                                                                                                                                                                                                                                                                                                                                                                                                                                                                                                                                                                                                                     |                                                                                                                                                                                                                                                                                                                                                                                                                                                                                                                                                                                                                                                                                                                                                                                                                                                                                                                                                                                                                                                                                                                                                                                                                                                                                                                                                                                                                                                                                                                                                                                                                                                                                                                                                                                                                                                                                                                                                                                                                                                                                                                                | •                                                                                                                                                                                                                                                                                                                                                                                                                                                                                                                                                                                                                                                                                                                                                                                                                                                                                                                                                                                                                                                                                                                                                                                                                                                                                                                                                                                                                                                                                                                                                                                                                                                                                                                                                                                                                                                                                                                                                                                                                                                                                                                              |                                                                                                                                                                                                                                                                                                                                                                                                                                                                                                                                                                                                                                                                                                                                                                                                                                                                                                                                                                                                                                                                                                                                                                                                                                                                                                                                                                                                                                                                                                                                                                                                                                                                                                                                                                                                                                                                                                                                                                                                                                                                                                                               | 4,5                                                                                                                                          | <u> </u>                                                                                                                                                                                                                                                                                                                                                                                                                                                                                                                                                                                                                                                                                                                                                                                                                                                                                                                                                                                                                                                                                                                                                                                                                                                                                                                                                                                                                                                                                                                                                                                                                                                                                                                            |                                                                                                                                                                                                                                                                                                                                                                                                                                                                                                                                                                                                                                                                                                                                                                                                                                                                                                                                                                                                                                                                                                                                                                                                                                                                                                                                                                                                                                                                                                                                                                                                                                                                                                                                                                                                                                                                                                                                                                                                                                                                                                                                                                                                                                                                                                                                                                                                                                                                                                                                                                                                                                                                                                                                                                                                                                                                                                                                                                                                                                                                                                                                                                                                     |                                                                                                                                                                                                                                                                                                                                                                                                                                                                                                                                                                                                                                                                                                                                                                                                                                                                                                                                                                                                                                                                                                                                                                                                                                                                                                                                                                                                                                                                                                                                                                                                                                                                                                                                                                                                |                                                                                                                         |                                                                                                                                                                                                                                                                                                                                                                                                                                                                                                                                                                                                                                                                                                                                                                                                                                                                                                                                                                                                                                                                                                                                                                                                                                                                                                                                                                                                                                                                                                                                                                                                                                                                                                                                                                                                                                                                                                                                                                                                                                                                                                                                                                                                                                                                                                                                                                                                                                                                                                                                                                                                                                                                                                                                                                                                                               |                                                                                                                                                                                                                                                                                                                                                                                                                                                                                                                                                                                                                                                                                                                                                                                                         |                                                                                                                                                                                                                                                                                                                                                                                                                                                                                                                                                                                                                                                                                                                                                                                                                                                                                                                                                                                                                                                                                                                                                                                                                                                                                                                                                                                                                                                                                                                                                                                                                                                                                                                                                                                                                                                                                                                                                                                                                                                                                                                                | ٠.                                                                                                                                                                                                                                                                                                                                                                                                                                                                                                                                                                                                                                                                                                                                                                                                                                                                                                                                                                                                                                                                                                                                                                                                                                                                                                                                                                                                                                                                                                                                                                                                                                                                                                                                                                                                                                                                                                                                                                                                                                                                                                                             | ٠,                                                              |
| 191 104                                                                                                                                                                                                                                                                                                                                                                                                                                                                                                                                                                                                                                                                                                                                                                                                                                                                                                                                                                                                                                                                                                                                                                                                                                                                                                                                                                                                                                                                                                                                                                                                                                                                                                                                                                                                                                                                                                                                                                                                                                                                                                                                                                                                                                                                                                                                                                                                                                                                                                                                                                                                                     | 冠亞附級                                                                                                                                                                                                                                                                                                                                                                                                                                                                                                                                                                                                                                                                                                                                                                                                                                                                                                                                                                                                                                                                                                                                                                                                                                                                                                                                                                                                                                                                                                                                                                                                                                                                                                                                                                                                                                                                                                                                                                                                                                                                                                                                                                                                                                                                                                                                                                                                                                                                                                                                                                                                                                                                                                                                                                                                                     | 0.81                                                                                                                                                                                                                                                                                                                                                                                                                                                                                                                                                                                                                                                                                                                                                                                                                                                                                                                                                                                                                                                                                                                                                                                                                                                                                                                                                                                                                                                                                                                                                                                                                                                                                                                                                                                                                                                                                                                                                                                                                                                                                                                           | 0.81                                                                                                                                                                                                                                                                                                                                                                                                                                                                                                                                                                                                                                                                                                                                                                                                                                                                                                                                                                                                                                                                                                                                                                                                                                                                                                                                                                                                                                                                                                                                                                                                                                                                                                                                                                                                                                                                                                                                                                                                                                                                                                                           | 0.80                                                                                                                                                                                                                                                                                                                                                                                                                                                                                                                                                                                                                                                                                                                                                                                                                                                                                                                                                                                                                                                                                                                                                                                                                                                                                                                                                                                                                                                                                                                                                                                                                                                                                                                                                                                                                                                                                                                                                                                                                                                                                                                          | 0.79                                                                                                                                         | 0.81                                                                                                                                                                                                                                                                                                                                                                                                                                                                                                                                                                                                                                                                                                                                                                                                                                                                                                                                                                                                                                                                                                                                                                                                                                                                                                                                                                                                                                                                                                                                                                                                                                                                                                                                | 080                                                                                                                                                                                                                                                                                                                                                                                                                                                                                                                                                                                                                                                                                                                                                                                                                                                                                                                                                                                                                                                                                                                                                                                                                                                                                                                                                                                                                                                                                                                                                                                                                                                                                                                                                                                                                                                                                                                                                                                                                                                                                                                                                                                                                                                                                                                                                                                                                                                                                                                                                                                                                                                                                                                                                                                                                                                                                                                                                                                                                                                                                                                                                                                                 | -0.01                                                                                                                                                                                                                                                                                                                                                                                                                                                                                                                                                                                                                                                                                                                                                                                                                                                                                                                                                                                                                                                                                                                                                                                                                                                                                                                                                                                                                                                                                                                                                                                                                                                                                                                                                                                          | -61                                                                                                                     | 1,102,750                                                                                                                                                                                                                                                                                                                                                                                                                                                                                                                                                                                                                                                                                                                                                                                                                                                                                                                                                                                                                                                                                                                                                                                                                                                                                                                                                                                                                                                                                                                                                                                                                                                                                                                                                                                                                                                                                                                                                                                                                                                                                                                                                                                                                                                                                                                                                                                                                                                                                                                                                                                                                                                                                                                                                                                                                     | 885,865                                                                                                                                                                                                                                                                                                                                                                                                                                                                                                                                                                                                                                                                                                                                                                                                 |                                                                                                                                                                                                                                                                                                                                                                                                                                                                                                                                                                                                                                                                                                                                                                                                                                                                                                                                                                                                                                                                                                                                                                                                                                                                                                                                                                                                                                                                                                                                                                                                                                                                                                                                                                                                                                                                                                                                                                                                                                                                                                                                | 5.82<br>6.60                                                                                                                                                                                                                                                                                                                                                                                                                                                                                                                                                                                                                                                                                                                                                                                                                                                                                                                                                                                                                                                                                                                                                                                                                                                                                                                                                                                                                                                                                                                                                                                                                                                                                                                                                                                                                                                                                                                                                                                                                                                                                                                   | 10 6<br>7.4                                                     |
| 148 024                                                                                                                                                                                                                                                                                                                                                                                                                                                                                                                                                                                                                                                                                                                                                                                                                                                                                                                                                                                                                                                                                                                                                                                                                                                                                                                                                                                                                                                                                                                                                                                                                                                                                                                                                                                                                                                                                                                                                                                                                                                                                                                                                                                                                                                                                                                                                                                                                                                                                                                                                                                                                     | 亞州證券                                                                                                                                                                                                                                                                                                                                                                                                                                                                                                                                                                                                                                                                                                                                                                                                                                                                                                                                                                                                                                                                                                                                                                                                                                                                                                                                                                                                                                                                                                                                                                                                                                                                                                                                                                                                                                                                                                                                                                                                                                                                                                                                                                                                                                                                                                                                                                                                                                                                                                                                                                                                                                                                                                                                                                                                                     | 0.78                                                                                                                                                                                                                                                                                                                                                                                                                                                                                                                                                                                                                                                                                                                                                                                                                                                                                                                                                                                                                                                                                                                                                                                                                                                                                                                                                                                                                                                                                                                                                                                                                                                                                                                                                                                                                                                                                                                                                                                                                                                                                                                           | 0.79                                                                                                                                                                                                                                                                                                                                                                                                                                                                                                                                                                                                                                                                                                                                                                                                                                                                                                                                                                                                                                                                                                                                                                                                                                                                                                                                                                                                                                                                                                                                                                                                                                                                                                                                                                                                                                                                                                                                                                                                                                                                                                                           | 0.78                                                                                                                                                                                                                                                                                                                                                                                                                                                                                                                                                                                                                                                                                                                                                                                                                                                                                                                                                                                                                                                                                                                                                                                                                                                                                                                                                                                                                                                                                                                                                                                                                                                                                                                                                                                                                                                                                                                                                                                                                                                                                                                          | 0.78                                                                                                                                         | 2.225<br>0.79<br>0.92                                                                                                                                                                                                                                                                                                                                                                                                                                                                                                                                                                                                                                                                                                                                                                                                                                                                                                                                                                                                                                                                                                                                                                                                                                                                                                                                                                                                                                                                                                                                                                                                                                                                                                               | 2 20<br>0.78<br>0 91                                                                                                                                                                                                                                                                                                                                                                                                                                                                                                                                                                                                                                                                                                                                                                                                                                                                                                                                                                                                                                                                                                                                                                                                                                                                                                                                                                                                                                                                                                                                                                                                                                                                                                                                                                                                                                                                                                                                                                                                                                                                                                                                                                                                                                                                                                                                                                                                                                                                                                                                                                                                                                                                                                                                                                                                                                                                                                                                                                                                                                                                                                                                                                                |                                                                                                                                                                                                                                                                                                                                                                                                                                                                                                                                                                                                                                                                                                                                                                                                                                                                                                                                                                                                                                                                                                                                                                                                                                                                                                                                                                                                                                                                                                                                                                                                                                                                                                                                                                                                | -                                                                                                                       | 152,000<br>164,000<br>3,104,000                                                                                                                                                                                                                                                                                                                                                                                                                                                                                                                                                                                                                                                                                                                                                                                                                                                                                                                                                                                                                                                                                                                                                                                                                                                                                                                                                                                                                                                                                                                                                                                                                                                                                                                                                                                                                                                                                                                                                                                                                                                                                                                                                                                                                                                                                                                                                                                                                                                                                                                                                                                                                                                                                                                                                                                               | 336,275<br>128,960<br>2,811,980                                                                                                                                                                                                                                                                                                                                                                                                                                                                                                                                                                                                                                                                                                                                                                         | 0.28                                                                                                                                                                                                                                                                                                                                                                                                                                                                                                                                                                                                                                                                                                                                                                                                                                                                                                                                                                                                                                                                                                                                                                                                                                                                                                                                                                                                                                                                                                                                                                                                                                                                                                                                                                                                                                                                                                                                                                                                                                                                                                                           | 3.60<br>4 15                                                                                                                                                                                                                                                                                                                                                                                                                                                                                                                                                                                                                                                                                                                                                                                                                                                                                                                                                                                                                                                                                                                                                                                                                                                                                                                                                                                                                                                                                                                                                                                                                                                                                                                                                                                                                                                                                                                                                                                                                                                                                                                   | 17.2<br>9 3                                                     |
| 365 116                                                                                                                                                                                                                                                                                                                                                                                                                                                                                                                                                                                                                                                                                                                                                                                                                                                                                                                                                                                                                                                                                                                                                                                                                                                                                                                                                                                                                                                                                                                                                                                                                                                                                                                                                                                                                                                                                                                                                                                                                                                                                                                                                                                                                                                                                                                                                                                                                                                                                                                                                                                                                     | 5 其土國際<br>5 国 生 生                                                                                                                                                                                                                                                                                                                                                                                                                                                                                                                                                                                                                                                                                                                                                                                                                                                                                                                                                                                                                                                                                                                                                                                                                                                                                                                                                                                                                                                                                                                                                                                                                                                                                                                                                                                                                                                                                                                                                                                                                                                                                                                                                                                                                                                                                                                                                                                                                                                                                                                                                                                                                                                                                                                                                                                                        | 0.91<br>8.05                                                                                                                                                                                                                                                                                                                                                                                                                                                                                                                                                                                                                                                                                                                                                                                                                                                                                                                                                                                                                                                                                                                                                                                                                                                                                                                                                                                                                                                                                                                                                                                                                                                                                                                                                                                                                                                                                                                                                                                                                                                                                                                   | 0.91<br>8.05                                                                                                                                                                                                                                                                                                                                                                                                                                                                                                                                                                                                                                                                                                                                                                                                                                                                                                                                                                                                                                                                                                                                                                                                                                                                                                                                                                                                                                                                                                                                                                                                                                                                                                                                                                                                                                                                                                                                                                                                                                                                                                                   | 0 90<br>7 95<br>0 445                                                                                                                                                                                                                                                                                                                                                                                                                                                                                                                                                                                                                                                                                                                                                                                                                                                                                                                                                                                                                                                                                                                                                                                                                                                                                                                                                                                                                                                                                                                                                                                                                                                                                                                                                                                                                                                                                                                                                                                                                                                                                                         | 0.91<br>7.95<br>0.445                                                                                                                        | 8 00                                                                                                                                                                                                                                                                                                                                                                                                                                                                                                                                                                                                                                                                                                                                                                                                                                                                                                                                                                                                                                                                                                                                                                                                                                                                                                                                                                                                                                                                                                                                                                                                                                                                                                                                | 7 95<br>0'445                                                                                                                                                                                                                                                                                                                                                                                                                                                                                                                                                                                                                                                                                                                                                                                                                                                                                                                                                                                                                                                                                                                                                                                                                                                                                                                                                                                                                                                                                                                                                                                                                                                                                                                                                                                                                                                                                                                                                                                                                                                                                                                                                                                                                                                                                                                                                                                                                                                                                                                                                                                                                                                                                                                                                                                                                                                                                                                                                                                                                                                                                                                                                                                       | -0.10                                                                                                                                                                                                                                                                                                                                                                                                                                                                                                                                                                                                                                                                                                                                                                                                                                                                                                                                                                                                                                                                                                                                                                                                                                                                                                                                                                                                                                                                                                                                                                                                                                                                                                                                                                                          | -60                                                                                                                     | 52,500<br>520,172                                                                                                                                                                                                                                                                                                                                                                                                                                                                                                                                                                                                                                                                                                                                                                                                                                                                                                                                                                                                                                                                                                                                                                                                                                                                                                                                                                                                                                                                                                                                                                                                                                                                                                                                                                                                                                                                                                                                                                                                                                                                                                                                                                                                                                                                                                                                                                                                                                                                                                                                                                                                                                                                                                                                                                                                             | 419,350<br>229,910                                                                                                                                                                                                                                                                                                                                                                                                                                                                                                                                                                                                                                                                                                                                                                                      | 2 88                                                                                                                                                                                                                                                                                                                                                                                                                                                                                                                                                                                                                                                                                                                                                                                                                                                                                                                                                                                                                                                                                                                                                                                                                                                                                                                                                                                                                                                                                                                                                                                                                                                                                                                                                                                                                                                                                                                                                                                                                                                                                                                           | 5 6 1<br>4.22                                                                                                                                                                                                                                                                                                                                                                                                                                                                                                                                                                                                                                                                                                                                                                                                                                                                                                                                                                                                                                                                                                                                                                                                                                                                                                                                                                                                                                                                                                                                                                                                                                                                                                                                                                                                                                                                                                                                                                                                                                                                                                                  | 5 9                                                             |
| 97 50B                                                                                                                                                                                                                                                                                                                                                                                                                                                                                                                                                                                                                                                                                                                                                                                                                                                                                                                                                                                                                                                                                                                                                                                                                                                                                                                                                                                                                                                                                                                                                                                                                                                                                                                                                                                                                                                                                                                                                                                                                                                                                                                                                                                                                                                                                                                                                                                                                                                                                                                                                                                                                      | 、紅土機構<br>3 其土農業國際<br>實際洋行                                                                                                                                                                                                                                                                                                                                                                                                                                                                                                                                                                                                                                                                                                                                                                                                                                                                                                                                                                                                                                                                                                                                                                                                                                                                                                                                                                                                                                                                                                                                                                                                                                                                                                                                                                                                                                                                                                                                                                                                                                                                                                                                                                                                                                                                                                                                                                                                                                                                                                                                                                                                                                                                                                                                                                                                | 0.445<br>0.72<br>0.60                                                                                                                                                                                                                                                                                                                                                                                                                                                                                                                                                                                                                                                                                                                                                                                                                                                                                                                                                                                                                                                                                                                                                                                                                                                                                                                                                                                                                                                                                                                                                                                                                                                                                                                                                                                                                                                                                                                                                                                                                                                                                                          | 0.45<br>0.72<br>0.60                                                                                                                                                                                                                                                                                                                                                                                                                                                                                                                                                                                                                                                                                                                                                                                                                                                                                                                                                                                                                                                                                                                                                                                                                                                                                                                                                                                                                                                                                                                                                                                                                                                                                                                                                                                                                                                                                                                                                                                                                                                                                                           | 0.72                                                                                                                                                                                                                                                                                                                                                                                                                                                                                                                                                                                                                                                                                                                                                                                                                                                                                                                                                                                                                                                                                                                                                                                                                                                                                                                                                                                                                                                                                                                                                                                                                                                                                                                                                                                                                                                                                                                                                                                                                                                                                                                          | 0.60                                                                                                                                         | 0.45                                                                                                                                                                                                                                                                                                                                                                                                                                                                                                                                                                                                                                                                                                                                                                                                                                                                                                                                                                                                                                                                                                                                                                                                                                                                                                                                                                                                                                                                                                                                                                                                                                                                                                                                | 072                                                                                                                                                                                                                                                                                                                                                                                                                                                                                                                                                                                                                                                                                                                                                                                                                                                                                                                                                                                                                                                                                                                                                                                                                                                                                                                                                                                                                                                                                                                                                                                                                                                                                                                                                                                                                                                                                                                                                                                                                                                                                                                                                                                                                                                                                                                                                                                                                                                                                                                                                                                                                                                                                                                                                                                                                                                                                                                                                                                                                                                                                                                                                                                                 | -                                                                                                                                                                                                                                                                                                                                                                                                                                                                                                                                                                                                                                                                                                                                                                                                                                                                                                                                                                                                                                                                                                                                                                                                                                                                                                                                                                                                                                                                                                                                                                                                                                                                                                                                                                                              | -                                                                                                                       | 126,666                                                                                                                                                                                                                                                                                                                                                                                                                                                                                                                                                                                                                                                                                                                                                                                                                                                                                                                                                                                                                                                                                                                                                                                                                                                                                                                                                                                                                                                                                                                                                                                                                                                                                                                                                                                                                                                                                                                                                                                                                                                                                                                                                                                                                                                                                                                                                                                                                                                                                                                                                                                                                                                                                                                                                                                                                       | 91,040<br>24,000                                                                                                                                                                                                                                                                                                                                                                                                                                                                                                                                                                                                                                                                                                                                                                                        | 0 26                                                                                                                                                                                                                                                                                                                                                                                                                                                                                                                                                                                                                                                                                                                                                                                                                                                                                                                                                                                                                                                                                                                                                                                                                                                                                                                                                                                                                                                                                                                                                                                                                                                                                                                                                                                                                                                                                                                                                                                                                                                                                                                           | 4.96                                                                                                                                                                                                                                                                                                                                                                                                                                                                                                                                                                                                                                                                                                                                                                                                                                                                                                                                                                                                                                                                                                                                                                                                                                                                                                                                                                                                                                                                                                                                                                                                                                                                                                                                                                                                                                                                                                                                                                                                                                                                                                                           | 16.6                                                            |
| 286                                                                                                                                                                                                                                                                                                                                                                                                                                                                                                                                                                                                                                                                                                                                                                                                                                                                                                                                                                                                                                                                                                                                                                                                                                                                                                                                                                                                                                                                                                                                                                                                                                                                                                                                                                                                                                                                                                                                                                                                                                                                                                                                                                                                                                                                                                                                                                                                                                                                                                                                                                                                                         | 解呼呼行<br>Hale Corp<br>I 会 和 祥                                                                                                                                                                                                                                                                                                                                                                                                                                                                                                                                                                                                                                                                                                                                                                                                                                                                                                                                                                                                                                                                                                                                                                                                                                                                                                                                                                                                                                                                                                                                                                                                                                                                                                                                                                                                                                                                                                                                                                                                                                                                                                                                                                                                                                                                                                                                                                                                                                                                                                                                                                                                                                                                                                                                                                                             | 0.50<br>0.275                                                                                                                                                                                                                                                                                                                                                                                                                                                                                                                                                                                                                                                                                                                                                                                                                                                                                                                                                                                                                                                                                                                                                                                                                                                                                                                                                                                                                                                                                                                                                                                                                                                                                                                                                                                                                                                                                                                                                                                                                                                                                                                  | 0.50                                                                                                                                                                                                                                                                                                                                                                                                                                                                                                                                                                                                                                                                                                                                                                                                                                                                                                                                                                                                                                                                                                                                                                                                                                                                                                                                                                                                                                                                                                                                                                                                                                                                                                                                                                                                                                                                                                                                                                                                                                                                                                                           |                                                                                                                                                                                                                                                                                                                                                                                                                                                                                                                                                                                                                                                                                                                                                                                                                                                                                                                                                                                                                                                                                                                                                                                                                                                                                                                                                                                                                                                                                                                                                                                                                                                                                                                                                                                                                                                                                                                                                                                                                                                                                                                               | 0.50<br>0.50                                                                                                                                 | 0.51                                                                                                                                                                                                                                                                                                                                                                                                                                                                                                                                                                                                                                                                                                                                                                                                                                                                                                                                                                                                                                                                                                                                                                                                                                                                                                                                                                                                                                                                                                                                                                                                                                                                                                                                | 0.50                                                                                                                                                                                                                                                                                                                                                                                                                                                                                                                                                                                                                                                                                                                                                                                                                                                                                                                                                                                                                                                                                                                                                                                                                                                                                                                                                                                                                                                                                                                                                                                                                                                                                                                                                                                                                                                                                                                                                                                                                                                                                                                                                                                                                                                                                                                                                                                                                                                                                                                                                                                                                                                                                                                                                                                                                                                                                                                                                                                                                                                                                                                                                                                                | +0.005                                                                                                                                                                                                                                                                                                                                                                                                                                                                                                                                                                                                                                                                                                                                                                                                                                                                                                                                                                                                                                                                                                                                                                                                                                                                                                                                                                                                                                                                                                                                                                                                                                                                                                                                                                                         | +32                                                                                                                     | 4,328,000<br>110,000                                                                                                                                                                                                                                                                                                                                                                                                                                                                                                                                                                                                                                                                                                                                                                                                                                                                                                                                                                                                                                                                                                                                                                                                                                                                                                                                                                                                                                                                                                                                                                                                                                                                                                                                                                                                                                                                                                                                                                                                                                                                                                                                                                                                                                                                                                                                                                                                                                                                                                                                                                                                                                                                                                                                                                                                          | 2,164,000<br>30,600                                                                                                                                                                                                                                                                                                                                                                                                                                                                                                                                                                                                                                                                                                                                                                                     | 0.18                                                                                                                                                                                                                                                                                                                                                                                                                                                                                                                                                                                                                                                                                                                                                                                                                                                                                                                                                                                                                                                                                                                                                                                                                                                                                                                                                                                                                                                                                                                                                                                                                                                                                                                                                                                                                                                                                                                                                                                                                                                                                                                           | 7.69                                                                                                                                                                                                                                                                                                                                                                                                                                                                                                                                                                                                                                                                                                                                                                                                                                                                                                                                                                                                                                                                                                                                                                                                                                                                                                                                                                                                                                                                                                                                                                                                                                                                                                                                                                                                                                                                                                                                                                                                                                                                                                                           |                                                                 |
| 2 40 013                                                                                                                                                                                                                                                                                                                                                                                                                                                                                                                                                                                                                                                                                                                                                                                                                                                                                                                                                                                                                                                                                                                                                                                                                                                                                                                                                                                                                                                                                                                                                                                                                                                                                                                                                                                                                                                                                                                                                                                                                                                                                                                                                                                                                                                                                                                                                                                                                                                                                                                                                                                                                    | 和記黃埔                                                                                                                                                                                                                                                                                                                                                                                                                                                                                                                                                                                                                                                                                                                                                                                                                                                                                                                                                                                                                                                                                                                                                                                                                                                                                                                                                                                                                                                                                                                                                                                                                                                                                                                                                                                                                                                                                                                                                                                                                                                                                                                                                                                                                                                                                                                                                                                                                                                                                                                                                                                                                                                                                                                                                                                                                     | 8.85                                                                                                                                                                                                                                                                                                                                                                                                                                                                                                                                                                                                                                                                                                                                                                                                                                                                                                                                                                                                                                                                                                                                                                                                                                                                                                                                                                                                                                                                                                                                                                                                                                                                                                                                                                                                                                                                                                                                                                                                                                                                                                                           | 8.85<br>3.52                                                                                                                                                                                                                                                                                                                                                                                                                                                                                                                                                                                                                                                                                                                                                                                                                                                                                                                                                                                                                                                                                                                                                                                                                                                                                                                                                                                                                                                                                                                                                                                                                                                                                                                                                                                                                                                                                                                                                                                                                                                                                                                   | 8.75                                                                                                                                                                                                                                                                                                                                                                                                                                                                                                                                                                                                                                                                                                                                                                                                                                                                                                                                                                                                                                                                                                                                                                                                                                                                                                                                                                                                                                                                                                                                                                                                                                                                                                                                                                                                                                                                                                                                                                                                                                                                                                                          | 8.75<br>3.50                                                                                                                                 | 8 80<br>3.55                                                                                                                                                                                                                                                                                                                                                                                                                                                                                                                                                                                                                                                                                                                                                                                                                                                                                                                                                                                                                                                                                                                                                                                                                                                                                                                                                                                                                                                                                                                                                                                                                                                                                                                        | 8.80<br>3.525                                                                                                                                                                                                                                                                                                                                                                                                                                                                                                                                                                                                                                                                                                                                                                                                                                                                                                                                                                                                                                                                                                                                                                                                                                                                                                                                                                                                                                                                                                                                                                                                                                                                                                                                                                                                                                                                                                                                                                                                                                                                                                                                                                                                                                                                                                                                                                                                                                                                                                                                                                                                                                                                                                                                                                                                                                                                                                                                                                                                                                                                                                                                                                                       | -0 05<br>+0 025                                                                                                                                                                                                                                                                                                                                                                                                                                                                                                                                                                                                                                                                                                                                                                                                                                                                                                                                                                                                                                                                                                                                                                                                                                                                                                                                                                                                                                                                                                                                                                                                                                                                                                                                                                                | -114<br>+73                                                                                                             | 861,980<br>2,586,000                                                                                                                                                                                                                                                                                                                                                                                                                                                                                                                                                                                                                                                                                                                                                                                                                                                                                                                                                                                                                                                                                                                                                                                                                                                                                                                                                                                                                                                                                                                                                                                                                                                                                                                                                                                                                                                                                                                                                                                                                                                                                                                                                                                                                                                                                                                                                                                                                                                                                                                                                                                                                                                                                                                                                                                                          | 7,593,553<br>9,051,750                                                                                                                                                                                                                                                                                                                                                                                                                                                                                                                                                                                                                                                                                                                                                                                  | 3.19<br>1.28                                                                                                                                                                                                                                                                                                                                                                                                                                                                                                                                                                                                                                                                                                                                                                                                                                                                                                                                                                                                                                                                                                                                                                                                                                                                                                                                                                                                                                                                                                                                                                                                                                                                                                                                                                                                                                                                                                                                                                                                                                                                                                                   | 11.47<br>11.50                                                                                                                                                                                                                                                                                                                                                                                                                                                                                                                                                                                                                                                                                                                                                                                                                                                                                                                                                                                                                                                                                                                                                                                                                                                                                                                                                                                                                                                                                                                                                                                                                                                                                                                                                                                                                                                                                                                                                                                                                                                                                                                 | 5.2<br>3.4                                                      |
| 1.19 175<br>5 <b>60 015</b>                                                                                                                                                                                                                                                                                                                                                                                                                                                                                                                                                                                                                                                                                                                                                                                                                                                                                                                                                                                                                                                                                                                                                                                                                                                                                                                                                                                                                                                                                                                                                                                                                                                                                                                                                                                                                                                                                                                                                                                                                                                                                                                                                                                                                                                                                                                                                                                                                                                                                                                                                                                                 | 志正剛際<br>6 惟和控股                                                                                                                                                                                                                                                                                                                                                                                                                                                                                                                                                                                                                                                                                                                                                                                                                                                                                                                                                                                                                                                                                                                                                                                                                                                                                                                                                                                                                                                                                                                                                                                                                                                                                                                                                                                                                                                                                                                                                                                                                                                                                                                                                                                                                                                                                                                                                                                                                                                                                                                                                                                                                                                                                                                                                                                                           | 0 88<br>24.30                                                                                                                                                                                                                                                                                                                                                                                                                                                                                                                                                                                                                                                                                                                                                                                                                                                                                                                                                                                                                                                                                                                                                                                                                                                                                                                                                                                                                                                                                                                                                                                                                                                                                                                                                                                                                                                                                                                                                                                                                                                                                                                  | 0 85<br>• <b>24.30</b>                                                                                                                                                                                                                                                                                                                                                                                                                                                                                                                                                                                                                                                                                                                                                                                                                                                                                                                                                                                                                                                                                                                                                                                                                                                                                                                                                                                                                                                                                                                                                                                                                                                                                                                                                                                                                                                                                                                                                                                                                                                                                                         | 0 85.<br>24.20                                                                                                                                                                                                                                                                                                                                                                                                                                                                                                                                                                                                                                                                                                                                                                                                                                                                                                                                                                                                                                                                                                                                                                                                                                                                                                                                                                                                                                                                                                                                                                                                                                                                                                                                                                                                                                                                                                                                                                                                                                                                                                                | 0 85<br>24.20                                                                                                                                | 0.90<br>24.40                                                                                                                                                                                                                                                                                                                                                                                                                                                                                                                                                                                                                                                                                                                                                                                                                                                                                                                                                                                                                                                                                                                                                                                                                                                                                                                                                                                                                                                                                                                                                                                                                                                                                                                       | 0.85<br>24 30                                                                                                                                                                                                                                                                                                                                                                                                                                                                                                                                                                                                                                                                                                                                                                                                                                                                                                                                                                                                                                                                                                                                                                                                                                                                                                                                                                                                                                                                                                                                                                                                                                                                                                                                                                                                                                                                                                                                                                                                                                                                                                                                                                                                                                                                                                                                                                                                                                                                                                                                                                                                                                                                                                                                                                                                                                                                                                                                                                                                                                                                                                                                                                                       | -0.03<br>-                                                                                                                                                                                                                                                                                                                                                                                                                                                                                                                                                                                                                                                                                                                                                                                                                                                                                                                                                                                                                                                                                                                                                                                                                                                                                                                                                                                                                                                                                                                                                                                                                                                                                                                                                                                     | -8                                                                                                                      | 4,000<br>285,660                                                                                                                                                                                                                                                                                                                                                                                                                                                                                                                                                                                                                                                                                                                                                                                                                                                                                                                                                                                                                                                                                                                                                                                                                                                                                                                                                                                                                                                                                                                                                                                                                                                                                                                                                                                                                                                                                                                                                                                                                                                                                                                                                                                                                                                                                                                                                                                                                                                                                                                                                                                                                                                                                                                                                                                                              | 3,400<br>6,931,505                                                                                                                                                                                                                                                                                                                                                                                                                                                                                                                                                                                                                                                                                                                                                                                      | 0.31<br>8.82                                                                                                                                                                                                                                                                                                                                                                                                                                                                                                                                                                                                                                                                                                                                                                                                                                                                                                                                                                                                                                                                                                                                                                                                                                                                                                                                                                                                                                                                                                                                                                                                                                                                                                                                                                                                                                                                                                                                                                                                                                                                                                                   | 6.35<br>11.89                                                                                                                                                                                                                                                                                                                                                                                                                                                                                                                                                                                                                                                                                                                                                                                                                                                                                                                                                                                                                                                                                                                                                                                                                                                                                                                                                                                                                                                                                                                                                                                                                                                                                                                                                                                                                                                                                                                                                                                                                                                                                                                  | 11 7<br>2.6                                                     |
| 4 70   20B<br>3 60   209                                                                                                                                                                                                                                                                                                                                                                                                                                                                                                                                                                                                                                                                                                                                                                                                                                                                                                                                                                                                                                                                                                                                                                                                                                                                                                                                                                                                                                                                                                                                                                                                                                                                                                                                                                                                                                                                                                                                                                                                                                                                                                                                                                                                                                                                                                                                                                                                                                                                                                                                                                                                    | ) 伯和策略<br>) 伯和策略(優)                                                                                                                                                                                                                                                                                                                                                                                                                                                                                                                                                                                                                                                                                                                                                                                                                                                                                                                                                                                                                                                                                                                                                                                                                                                                                                                                                                                                                                                                                                                                                                                                                                                                                                                                                                                                                                                                                                                                                                                                                                                                                                                                                                                                                                                                                                                                                                                                                                                                                                                                                                                                                                                                                                                                                                                                      | 14.50<br>12.20                                                                                                                                                                                                                                                                                                                                                                                                                                                                                                                                                                                                                                                                                                                                                                                                                                                                                                                                                                                                                                                                                                                                                                                                                                                                                                                                                                                                                                                                                                                                                                                                                                                                                                                                                                                                                                                                                                                                                                                                                                                                                                                 | 14.50<br>12.20                                                                                                                                                                                                                                                                                                                                                                                                                                                                                                                                                                                                                                                                                                                                                                                                                                                                                                                                                                                                                                                                                                                                                                                                                                                                                                                                                                                                                                                                                                                                                                                                                                                                                                                                                                                                                                                                                                                                                                                                                                                                                                                 | 14.40                                                                                                                                                                                                                                                                                                                                                                                                                                                                                                                                                                                                                                                                                                                                                                                                                                                                                                                                                                                                                                                                                                                                                                                                                                                                                                                                                                                                                                                                                                                                                                                                                                                                                                                                                                                                                                                                                                                                                                                                                                                                                                                         | 14.40<br>12.20                                                                                                                               | 14.5 <b>0</b><br>12.30                                                                                                                                                                                                                                                                                                                                                                                                                                                                                                                                                                                                                                                                                                                                                                                                                                                                                                                                                                                                                                                                                                                                                                                                                                                                                                                                                                                                                                                                                                                                                                                                                                                                                                              | 14.40                                                                                                                                                                                                                                                                                                                                                                                                                                                                                                                                                                                                                                                                                                                                                                                                                                                                                                                                                                                                                                                                                                                                                                                                                                                                                                                                                                                                                                                                                                                                                                                                                                                                                                                                                                                                                                                                                                                                                                                                                                                                                                                                                                                                                                                                                                                                                                                                                                                                                                                                                                                                                                                                                                                                                                                                                                                                                                                                                                                                                                                                                                                                                                                               | -0.10<br>-                                                                                                                                                                                                                                                                                                                                                                                                                                                                                                                                                                                                                                                                                                                                                                                                                                                                                                                                                                                                                                                                                                                                                                                                                                                                                                                                                                                                                                                                                                                                                                                                                                                                                                                                                                                     |                                                                                                                         | 397,723<br>5,144                                                                                                                                                                                                                                                                                                                                                                                                                                                                                                                                                                                                                                                                                                                                                                                                                                                                                                                                                                                                                                                                                                                                                                                                                                                                                                                                                                                                                                                                                                                                                                                                                                                                                                                                                                                                                                                                                                                                                                                                                                                                                                                                                                                                                                                                                                                                                                                                                                                                                                                                                                                                                                                                                                                                                                                                              | 5,730,472<br>. 62,699                                                                                                                                                                                                                                                                                                                                                                                                                                                                                                                                                                                                                                                                                                                                                                                   | 4.43                                                                                                                                                                                                                                                                                                                                                                                                                                                                                                                                                                                                                                                                                                                                                                                                                                                                                                                                                                                                                                                                                                                                                                                                                                                                                                                                                                                                                                                                                                                                                                                                                                                                                                                                                                                                                                                                                                                                                                                                                                                                                                                           | 10.63                                                                                                                                                                                                                                                                                                                                                                                                                                                                                                                                                                                                                                                                                                                                                                                                                                                                                                                                                                                                                                                                                                                                                                                                                                                                                                                                                                                                                                                                                                                                                                                                                                                                                                                                                                                                                                                                                                                                                                                                                                                                                                                          | 1.3<br>4.1<br>03                                                |
| 1.50 174                                                                                                                                                                                                                                                                                                                                                                                                                                                                                                                                                                                                                                                                                                                                                                                                                                                                                                                                                                                                                                                                                                                                                                                                                                                                                                                                                                                                                                                                                                                                                                                                                                                                                                                                                                                                                                                                                                                                                                                                                                                                                                                                                                                                                                                                                                                                                                                                                                                                                                                                                                                                                    | 2 別利企業<br>4 奇盛集團                                                                                                                                                                                                                                                                                                                                                                                                                                                                                                                                                                                                                                                                                                                                                                                                                                                                                                                                                                                                                                                                                                                                                                                                                                                                                                                                                                                                                                                                                                                                                                                                                                                                                                                                                                                                                                                                                                                                                                                                                                                                                                                                                                                                                                                                                                                                                                                                                                                                                                                                                                                                                                                                                                                                                                                                         | 1270                                                                                                                                                                                                                                                                                                                                                                                                                                                                                                                                                                                                                                                                                                                                                                                                                                                                                                                                                                                                                                                                                                                                                                                                                                                                                                                                                                                                                                                                                                                                                                                                                                                                                                                                                                                                                                                                                                                                                                                                                                                                                                                           | -                                                                                                                                                                                                                                                                                                                                                                                                                                                                                                                                                                                                                                                                                                                                                                                                                                                                                                                                                                                                                                                                                                                                                                                                                                                                                                                                                                                                                                                                                                                                                                                                                                                                                                                                                                                                                                                                                                                                                                                                                                                                                                                              | -                                                                                                                                                                                                                                                                                                                                                                                                                                                                                                                                                                                                                                                                                                                                                                                                                                                                                                                                                                                                                                                                                                                                                                                                                                                                                                                                                                                                                                                                                                                                                                                                                                                                                                                                                                                                                                                                                                                                                                                                                                                                                                                             | 12.30                                                                                                                                        | 13.10                                                                                                                                                                                                                                                                                                                                                                                                                                                                                                                                                                                                                                                                                                                                                                                                                                                                                                                                                                                                                                                                                                                                                                                                                                                                                                                                                                                                                                                                                                                                                                                                                                                                                                                               | 12.70                                                                                                                                                                                                                                                                                                                                                                                                                                                                                                                                                                                                                                                                                                                                                                                                                                                                                                                                                                                                                                                                                                                                                                                                                                                                                                                                                                                                                                                                                                                                                                                                                                                                                                                                                                                                                                                                                                                                                                                                                                                                                                                                                                                                                                                                                                                                                                                                                                                                                                                                                                                                                                                                                                                                                                                                                                                                                                                                                                                                                                                                                                                                                                                               | _                                                                                                                                                                                                                                                                                                                                                                                                                                                                                                                                                                                                                                                                                                                                                                                                                                                                                                                                                                                                                                                                                                                                                                                                                                                                                                                                                                                                                                                                                                                                                                                                                                                                                                                                                                                              | ,                                                                                                                       |                                                                                                                                                                                                                                                                                                                                                                                                                                                                                                                                                                                                                                                                                                                                                                                                                                                                                                                                                                                                                                                                                                                                                                                                                                                                                                                                                                                                                                                                                                                                                                                                                                                                                                                                                                                                                                                                                                                                                                                                                                                                                                                                                                                                                                                                                                                                                                                                                                                                                                                                                                                                                                                                                                                                                                                                                               | ***************************************                                                                                                                                                                                                                                                                                                                                                                                                                                                                                                                                                                                                                                                                                                                                                                 |                                                                                                                                                                                                                                                                                                                                                                                                                                                                                                                                                                                                                                                                                                                                                                                                                                                                                                                                                                                                                                                                                                                                                                                                                                                                                                                                                                                                                                                                                                                                                                                                                                                                                                                                                                                                                                                                                                                                                                                                                                                                                                                                | 15.58<br>6.08                                                                                                                                                                                                                                                                                                                                                                                                                                                                                                                                                                                                                                                                                                                                                                                                                                                                                                                                                                                                                                                                                                                                                                                                                                                                                                                                                                                                                                                                                                                                                                                                                                                                                                                                                                                                                                                                                                                                                                                                                                                                                                                  | 437 <b>0</b> 3                                                  |
| 070                                                                                                                                                                                                                                                                                                                                                                                                                                                                                                                                                                                                                                                                                                                                                                                                                                                                                                                                                                                                                                                                                                                                                                                                                                                                                                                                                                                                                                                                                                                                                                                                                                                                                                                                                                                                                                                                                                                                                                                                                                                                                                                                                                                                                                                                                                                                                                                                                                                                                                                                                                                                                         | 4 序 制 具                                                                                                                                                                                                                                                                                                                                                                                                                                                                                                                                                                                                                                                                                                                                                                                                                                                                                                                                                                                                                                                                                                                                                                                                                                                                                                                                                                                                                                                                                                                                                                                                                                                                                                                                                                                                                                                                                                                                                                                                                                                                                                                                                                                                                                                                                                                                                                                                                                                                                                                                                                                                                                                                                                                                                                                                                  | 3.90                                                                                                                                                                                                                                                                                                                                                                                                                                                                                                                                                                                                                                                                                                                                                                                                                                                                                                                                                                                                                                                                                                                                                                                                                                                                                                                                                                                                                                                                                                                                                                                                                                                                                                                                                                                                                                                                                                                                                                                                                                                                                                                           | 3.85                                                                                                                                                                                                                                                                                                                                                                                                                                                                                                                                                                                                                                                                                                                                                                                                                                                                                                                                                                                                                                                                                                                                                                                                                                                                                                                                                                                                                                                                                                                                                                                                                                                                                                                                                                                                                                                                                                                                                                                                                                                                                                                           | 3.85                                                                                                                                                                                                                                                                                                                                                                                                                                                                                                                                                                                                                                                                                                                                                                                                                                                                                                                                                                                                                                                                                                                                                                                                                                                                                                                                                                                                                                                                                                                                                                                                                                                                                                                                                                                                                                                                                                                                                                                                                                                                                                                          | 3.85                                                                                                                                         | 3.875                                                                                                                                                                                                                                                                                                                                                                                                                                                                                                                                                                                                                                                                                                                                                                                                                                                                                                                                                                                                                                                                                                                                                                                                                                                                                                                                                                                                                                                                                                                                                                                                                                                                                                                               | 3 85                                                                                                                                                                                                                                                                                                                                                                                                                                                                                                                                                                                                                                                                                                                                                                                                                                                                                                                                                                                                                                                                                                                                                                                                                                                                                                                                                                                                                                                                                                                                                                                                                                                                                                                                                                                                                                                                                                                                                                                                                                                                                                                                                                                                                                                                                                                                                                                                                                                                                                                                                                                                                                                                                                                                                                                                                                                                                                                                                                                                                                                                                                                                                                                                | -005                                                                                                                                                                                                                                                                                                                                                                                                                                                                                                                                                                                                                                                                                                                                                                                                                                                                                                                                                                                                                                                                                                                                                                                                                                                                                                                                                                                                                                                                                                                                                                                                                                                                                                                                                                                           | -54                                                                                                                     | 110,000<br>暫停買費                                                                                                                                                                                                                                                                                                                                                                                                                                                                                                                                                                                                                                                                                                                                                                                                                                                                                                                                                                                                                                                                                                                                                                                                                                                                                                                                                                                                                                                                                                                                                                                                                                                                                                                                                                                                                                                                                                                                                                                                                                                                                                                                                                                                                                                                                                                                                                                                                                                                                                                                                                                                                                                                                                                                                                                                               | Section 1                                                                                                                                                                                                                                                                                                                                                                                                                                                                                                                                                                                                                                                                                                                                                                                               | 1.40                                                                                                                                                                                                                                                                                                                                                                                                                                                                                                                                                                                                                                                                                                                                                                                                                                                                                                                                                                                                                                                                                                                                                                                                                                                                                                                                                                                                                                                                                                                                                                                                                                                                                                                                                                                                                                                                                                                                                                                                                                                                                                                           | 5.82                                                                                                                                                                                                                                                                                                                                                                                                                                                                                                                                                                                                                                                                                                                                                                                                                                                                                                                                                                                                                                                                                                                                                                                                                                                                                                                                                                                                                                                                                                                                                                                                                                                                                                                                                                                                                                                                                                                                                                                                                                                                                                                           | 9                                                               |
| 92 478                                                                                                                                                                                                                                                                                                                                                                                                                                                                                                                                                                                                                                                                                                                                                                                                                                                                                                                                                                                                                                                                                                                                                                                                                                                                                                                                                                                                                                                                                                                                                                                                                                                                                                                                                                                                                                                                                                                                                                                                                                                                                                                                                                                                                                                                                                                                                                                                                                                                                                                                                                                                                      | Mega Pac<br>名力集団                                                                                                                                                                                                                                                                                                                                                                                                                                                                                                                                                                                                                                                                                                                                                                                                                                                                                                                                                                                                                                                                                                                                                                                                                                                                                                                                                                                                                                                                                                                                                                                                                                                                                                                                                                                                                                                                                                                                                                                                                                                                                                                                                                                                                                                                                                                                                                                                                                                                                                                                                                                                                                                                                                                                                                                                         | 0.73                                                                                                                                                                                                                                                                                                                                                                                                                                                                                                                                                                                                                                                                                                                                                                                                                                                                                                                                                                                                                                                                                                                                                                                                                                                                                                                                                                                                                                                                                                                                                                                                                                                                                                                                                                                                                                                                                                                                                                                                                                                                                                                           | 0.73                                                                                                                                                                                                                                                                                                                                                                                                                                                                                                                                                                                                                                                                                                                                                                                                                                                                                                                                                                                                                                                                                                                                                                                                                                                                                                                                                                                                                                                                                                                                                                                                                                                                                                                                                                                                                                                                                                                                                                                                                                                                                                                           | 0 73                                                                                                                                                                                                                                                                                                                                                                                                                                                                                                                                                                                                                                                                                                                                                                                                                                                                                                                                                                                                                                                                                                                                                                                                                                                                                                                                                                                                                                                                                                                                                                                                                                                                                                                                                                                                                                                                                                                                                                                                                                                                                                                          | 0.72                                                                                                                                         | 0.73                                                                                                                                                                                                                                                                                                                                                                                                                                                                                                                                                                                                                                                                                                                                                                                                                                                                                                                                                                                                                                                                                                                                                                                                                                                                                                                                                                                                                                                                                                                                                                                                                                                                                                                                | 0.73                                                                                                                                                                                                                                                                                                                                                                                                                                                                                                                                                                                                                                                                                                                                                                                                                                                                                                                                                                                                                                                                                                                                                                                                                                                                                                                                                                                                                                                                                                                                                                                                                                                                                                                                                                                                                                                                                                                                                                                                                                                                                                                                                                                                                                                                                                                                                                                                                                                                                                                                                                                                                                                                                                                                                                                                                                                                                                                                                                                                                                                                                                                                                                                                | , 18                                                                                                                                                                                                                                                                                                                                                                                                                                                                                                                                                                                                                                                                                                                                                                                                                                                                                                                                                                                                                                                                                                                                                                                                                                                                                                                                                                                                                                                                                                                                                                                                                                                                                                                                                                                           |                                                                                                                         | 150,000                                                                                                                                                                                                                                                                                                                                                                                                                                                                                                                                                                                                                                                                                                                                                                                                                                                                                                                                                                                                                                                                                                                                                                                                                                                                                                                                                                                                                                                                                                                                                                                                                                                                                                                                                                                                                                                                                                                                                                                                                                                                                                                                                                                                                                                                                                                                                                                                                                                                                                                                                                                                                                                                                                                                                                                                                       | 100,500                                                                                                                                                                                                                                                                                                                                                                                                                                                                                                                                                                                                                                                                                                                                                                                                 | 0.26                                                                                                                                                                                                                                                                                                                                                                                                                                                                                                                                                                                                                                                                                                                                                                                                                                                                                                                                                                                                                                                                                                                                                                                                                                                                                                                                                                                                                                                                                                                                                                                                                                                                                                                                                                                                                                                                                                                                                                                                                                                                                                                           | 5.46                                                                                                                                                                                                                                                                                                                                                                                                                                                                                                                                                                                                                                                                                                                                                                                                                                                                                                                                                                                                                                                                                                                                                                                                                                                                                                                                                                                                                                                                                                                                                                                                                                                                                                                                                                                                                                                                                                                                                                                                                                                                                                                           | 4.                                                              |
| 1.60 438                                                                                                                                                                                                                                                                                                                                                                                                                                                                                                                                                                                                                                                                                                                                                                                                                                                                                                                                                                                                                                                                                                                                                                                                                                                                                                                                                                                                                                                                                                                                                                                                                                                                                                                                                                                                                                                                                                                                                                                                                                                                                                                                                                                                                                                                                                                                                                                                                                                                                                                                                                                                                    | 8 王 集 <b>国</b><br>8 大平協和<br>2 百樂門發展▲                                                                                                                                                                                                                                                                                                                                                                                                                                                                                                                                                                                                                                                                                                                                                                                                                                                                                                                                                                                                                                                                                                                                                                                                                                                                                                                                                                                                                                                                                                                                                                                                                                                                                                                                                                                                                                                                                                                                                                                                                                                                                                                                                                                                                                                                                                                                                                                                                                                                                                                                                                                                                                                                                                                                                                                     | 1.59                                                                                                                                                                                                                                                                                                                                                                                                                                                                                                                                                                                                                                                                                                                                                                                                                                                                                                                                                                                                                                                                                                                                                                                                                                                                                                                                                                                                                                                                                                                                                                                                                                                                                                                                                                                                                                                                                                                                                                                                                                                                                                                           | 1.60                                                                                                                                                                                                                                                                                                                                                                                                                                                                                                                                                                                                                                                                                                                                                                                                                                                                                                                                                                                                                                                                                                                                                                                                                                                                                                                                                                                                                                                                                                                                                                                                                                                                                                                                                                                                                                                                                                                                                                                                                                                                                                                           |                                                                                                                                                                                                                                                                                                                                                                                                                                                                                                                                                                                                                                                                                                                                                                                                                                                                                                                                                                                                                                                                                                                                                                                                                                                                                                                                                                                                                                                                                                                                                                                                                                                                                                                                                                                                                                                                                                                                                                                                                                                                                                                               | 1.56                                                                                                                                         | 1.57<br>0.55                                                                                                                                                                                                                                                                                                                                                                                                                                                                                                                                                                                                                                                                                                                                                                                                                                                                                                                                                                                                                                                                                                                                                                                                                                                                                                                                                                                                                                                                                                                                                                                                                                                                                                                        | 1 56<br>0.54                                                                                                                                                                                                                                                                                                                                                                                                                                                                                                                                                                                                                                                                                                                                                                                                                                                                                                                                                                                                                                                                                                                                                                                                                                                                                                                                                                                                                                                                                                                                                                                                                                                                                                                                                                                                                                                                                                                                                                                                                                                                                                                                                                                                                                                                                                                                                                                                                                                                                                                                                                                                                                                                                                                                                                                                                                                                                                                                                                                                                                                                                                                                                                                        | -0.03():<br>+0.01                                                                                                                                                                                                                                                                                                                                                                                                                                                                                                                                                                                                                                                                                                                                                                                                                                                                                                                                                                                                                                                                                                                                                                                                                                                                                                                                                                                                                                                                                                                                                                                                                                                                                                                                                                              |                                                                                                                         | 5 400,000<br>1 470,000                                                                                                                                                                                                                                                                                                                                                                                                                                                                                                                                                                                                                                                                                                                                                                                                                                                                                                                                                                                                                                                                                                                                                                                                                                                                                                                                                                                                                                                                                                                                                                                                                                                                                                                                                                                                                                                                                                                                                                                                                                                                                                                                                                                                                                                                                                                                                                                                                                                                                                                                                                                                                                                                                                                                                                                                        |                                                                                                                                                                                                                                                                                                                                                                                                                                                                                                                                                                                                                                                                                                                                                                                                         |                                                                                                                                                                                                                                                                                                                                                                                                                                                                                                                                                                                                                                                                                                                                                                                                                                                                                                                                                                                                                                                                                                                                                                                                                                                                                                                                                                                                                                                                                                                                                                                                                                                                                                                                                                                                                                                                                                                                                                                                                                                                                                                                | 6.65                                                                                                                                                                                                                                                                                                                                                                                                                                                                                                                                                                                                                                                                                                                                                                                                                                                                                                                                                                                                                                                                                                                                                                                                                                                                                                                                                                                                                                                                                                                                                                                                                                                                                                                                                                                                                                                                                                                                                                                                                                                                                                                           | 5.                                                              |
| 475 224                                                                                                                                                                                                                                                                                                                                                                                                                                                                                                                                                                                                                                                                                                                                                                                                                                                                                                                                                                                                                                                                                                                                                                                                                                                                                                                                                                                                                                                                                                                                                                                                                                                                                                                                                                                                                                                                                                                                                                                                                                                                                                                                                                                                                                                                                                                                                                                                                                                                                                                                                                                                                     | 2 百榮門報展▲<br>4 建生國際<br>9 育酰賴速東                                                                                                                                                                                                                                                                                                                                                                                                                                                                                                                                                                                                                                                                                                                                                                                                                                                                                                                                                                                                                                                                                                                                                                                                                                                                                                                                                                                                                                                                                                                                                                                                                                                                                                                                                                                                                                                                                                                                                                                                                                                                                                                                                                                                                                                                                                                                                                                                                                                                                                                                                                                                                                                                                                                                                                                            | 0.53<br>2 175<br>1 36                                                                                                                                                                                                                                                                                                                                                                                                                                                                                                                                                                                                                                                                                                                                                                                                                                                                                                                                                                                                                                                                                                                                                                                                                                                                                                                                                                                                                                                                                                                                                                                                                                                                                                                                                                                                                                                                                                                                                                                                                                                                                                          |                                                                                                                                                                                                                                                                                                                                                                                                                                                                                                                                                                                                                                                                                                                                                                                                                                                                                                                                                                                                                                                                                                                                                                                                                                                                                                                                                                                                                                                                                                                                                                                                                                                                                                                                                                                                                                                                                                                                                                                                                                                                                                                                |                                                                                                                                                                                                                                                                                                                                                                                                                                                                                                                                                                                                                                                                                                                                                                                                                                                                                                                                                                                                                                                                                                                                                                                                                                                                                                                                                                                                                                                                                                                                                                                                                                                                                                                                                                                                                                                                                                                                                                                                                                                                                                                               | <del></del>                                                                                                                                  | 2.45<br>1.38                                                                                                                                                                                                                                                                                                                                                                                                                                                                                                                                                                                                                                                                                                                                                                                                                                                                                                                                                                                                                                                                                                                                                                                                                                                                                                                                                                                                                                                                                                                                                                                                                                                                                                                        | 2,40<br>1,36                                                                                                                                                                                                                                                                                                                                                                                                                                                                                                                                                                                                                                                                                                                                                                                                                                                                                                                                                                                                                                                                                                                                                                                                                                                                                                                                                                                                                                                                                                                                                                                                                                                                                                                                                                                                                                                                                                                                                                                                                                                                                                                                                                                                                                                                                                                                                                                                                                                                                                                                                                                                                                                                                                                                                                                                                                                                                                                                                                                                                                                                                                                                                                                        | +0.01                                                                                                                                                                                                                                                                                                                                                                                                                                                                                                                                                                                                                                                                                                                                                                                                                                                                                                                                                                                                                                                                                                                                                                                                                                                                                                                                                                                                                                                                                                                                                                                                                                                                                                                                                                                          | † 4                                                                                                                     | Proceedings of the last of the                                                                                                                                                                                                                                                                                                                                                                                                                                                                                                                                                                                                                                                                                                |                                                                                                                                                                                                                                                                                                                                                                                                                                                                                                                                                                                                                                                                                                                                                                                                         |                                                                                                                                                                                                                                                                                                                                                                                                                                                                                                                                                                                                                                                                                                                                                                                                                                                                                                                                                                                                                                                                                                                                                                                                                                                                                                                                                                                                                                                                                                                                                                                                                                                                                                                                                                                                                                                                                                                                                                                                                                                                                                                                | 18.82<br>5.16                                                                                                                                                                                                                                                                                                                                                                                                                                                                                                                                                                                                                                                                                                                                                                                                                                                                                                                                                                                                                                                                                                                                                                                                                                                                                                                                                                                                                                                                                                                                                                                                                                                                                                                                                                                                                                                                                                                                                                                                                                                                                                                  | 2.0<br>87.5                                                     |
| 3.75 249                                                                                                                                                                                                                                                                                                                                                                                                                                                                                                                                                                                                                                                                                                                                                                                                                                                                                                                                                                                                                                                                                                                                                                                                                                                                                                                                                                                                                                                                                                                                                                                                                                                                                                                                                                                                                                                                                                                                                                                                                                                                                                                                                                                                                                                                                                                                                                                                                                                                                                                                                                                                                    | 9 東東常選来<br>9 森 那 美<br>3 麗德投資                                                                                                                                                                                                                                                                                                                                                                                                                                                                                                                                                                                                                                                                                                                                                                                                                                                                                                                                                                                                                                                                                                                                                                                                                                                                                                                                                                                                                                                                                                                                                                                                                                                                                                                                                                                                                                                                                                                                                                                                                                                                                                                                                                                                                                                                                                                                                                                                                                                                                                                                                                                                                                                                                                                                                                                             | 2 9 7 5<br>0 5 1                                                                                                                                                                                                                                                                                                                                                                                                                                                                                                                                                                                                                                                                                                                                                                                                                                                                                                                                                                                                                                                                                                                                                                                                                                                                                                                                                                                                                                                                                                                                                                                                                                                                                                                                                                                                                                                                                                                                                                                                                                                                                                               | 295                                                                                                                                                                                                                                                                                                                                                                                                                                                                                                                                                                                                                                                                                                                                                                                                                                                                                                                                                                                                                                                                                                                                                                                                                                                                                                                                                                                                                                                                                                                                                                                                                                                                                                                                                                                                                                                                                                                                                                                                                                                                                                                            |                                                                                                                                                                                                                                                                                                                                                                                                                                                                                                                                                                                                                                                                                                                                                                                                                                                                                                                                                                                                                                                                                                                                                                                                                                                                                                                                                                                                                                                                                                                                                                                                                                                                                                                                                                                                                                                                                                                                                                                                                                                                                                                               | 2 925                                                                                                                                        | 2.95                                                                                                                                                                                                                                                                                                                                                                                                                                                                                                                                                                                                                                                                                                                                                                                                                                                                                                                                                                                                                                                                                                                                                                                                                                                                                                                                                                                                                                                                                                                                                                                                                                                                                                                                | 2.95                                                                                                                                                                                                                                                                                                                                                                                                                                                                                                                                                                                                                                                                                                                                                                                                                                                                                                                                                                                                                                                                                                                                                                                                                                                                                                                                                                                                                                                                                                                                                                                                                                                                                                                                                                                                                                                                                                                                                                                                                                                                                                                                                                                                                                                                                                                                                                                                                                                                                                                                                                                                                                                                                                                                                                                                                                                                                                                                                                                                                                                                                                                                                                                                | -0.025                                                                                                                                                                                                                                                                                                                                                                                                                                                                                                                                                                                                                                                                                                                                                                                                                                                                                                                                                                                                                                                                                                                                                                                                                                                                                                                                                                                                                                                                                                                                                                                                                                                                                                                                                                                         | _9 <b>†</b>                                                                                                             | . 24,000                                                                                                                                                                                                                                                                                                                                                                                                                                                                                                                                                                                                                                                                                                                                                                                                                                                                                                                                                                                                                                                                                                                                                                                                                                                                                                                                                                                                                                                                                                                                                                                                                                                                                                                                                                                                                                                                                                                                                                                                                                                                                                                                                                                                                                                                                                                                                                                                                                                                                                                                                                                                                                                                                                                                                                                                                      | 70,800                                                                                                                                                                                                                                                                                                                                                                                                                                                                                                                                                                                                                                                                                                                                                                                                  |                                                                                                                                                                                                                                                                                                                                                                                                                                                                                                                                                                                                                                                                                                                                                                                                                                                                                                                                                                                                                                                                                                                                                                                                                                                                                                                                                                                                                                                                                                                                                                                                                                                                                                                                                                                                                                                                                                                                                                                                                                                                                                                                | 6.72                                                                                                                                                                                                                                                                                                                                                                                                                                                                                                                                                                                                                                                                                                                                                                                                                                                                                                                                                                                                                                                                                                                                                                                                                                                                                                                                                                                                                                                                                                                                                                                                                                                                                                                                                                                                                                                                                                                                                                                                                                                                                                                           | 11.                                                             |
| 3.40 019                                                                                                                                                                                                                                                                                                                                                                                                                                                                                                                                                                                                                                                                                                                                                                                                                                                                                                                                                                                                                                                                                                                                                                                                                                                                                                                                                                                                                                                                                                                                                                                                                                                                                                                                                                                                                                                                                                                                                                                                                                                                                                                                                                                                                                                                                                                                                                                                                                                                                                                                                                                                                    | 9 太古洋行A<br>7 太古洋行B                                                                                                                                                                                                                                                                                                                                                                                                                                                                                                                                                                                                                                                                                                                                                                                                                                                                                                                                                                                                                                                                                                                                                                                                                                                                                                                                                                                                                                                                                                                                                                                                                                                                                                                                                                                                                                                                                                                                                                                                                                                                                                                                                                                                                                                                                                                                                                                                                                                                                                                                                                                                                                                                                                                                                                                                       | 15.60<br>2.725                                                                                                                                                                                                                                                                                                                                                                                                                                                                                                                                                                                                                                                                                                                                                                                                                                                                                                                                                                                                                                                                                                                                                                                                                                                                                                                                                                                                                                                                                                                                                                                                                                                                                                                                                                                                                                                                                                                                                                                                                                                                                                                 | 15.70<br>. 2.72                                                                                                                                                                                                                                                                                                                                                                                                                                                                                                                                                                                                                                                                                                                                                                                                                                                                                                                                                                                                                                                                                                                                                                                                                                                                                                                                                                                                                                                                                                                                                                                                                                                                                                                                                                                                                                                                                                                                                                                                                                                                                                                |                                                                                                                                                                                                                                                                                                                                                                                                                                                                                                                                                                                                                                                                                                                                                                                                                                                                                                                                                                                                                                                                                                                                                                                                                                                                                                                                                                                                                                                                                                                                                                                                                                                                                                                                                                                                                                                                                                                                                                                                                                                                                                                               |                                                                                                                                              | 15.70<br>2.70                                                                                                                                                                                                                                                                                                                                                                                                                                                                                                                                                                                                                                                                                                                                                                                                                                                                                                                                                                                                                                                                                                                                                                                                                                                                                                                                                                                                                                                                                                                                                                                                                                                                                                                       | -1570<br>-270                                                                                                                                                                                                                                                                                                                                                                                                                                                                                                                                                                                                                                                                                                                                                                                                                                                                                                                                                                                                                                                                                                                                                                                                                                                                                                                                                                                                                                                                                                                                                                                                                                                                                                                                                                                                                                                                                                                                                                                                                                                                                                                                                                                                                                                                                                                                                                                                                                                                                                                                                                                                                                                                                                                                                                                                                                                                                                                                                                                                                                                                                                                                                                                       | <b>₩ 0 085</b>                                                                                                                                                                                                                                                                                                                                                                                                                                                                                                                                                                                                                                                                                                                                                                                                                                                                                                                                                                                                                                                                                                                                                                                                                                                                                                                                                                                                                                                                                                                                                                                                                                                                                                                                                                                 | +78<br>-87                                                                                                              | 447,924<br>1,242,719                                                                                                                                                                                                                                                                                                                                                                                                                                                                                                                                                                                                                                                                                                                                                                                                                                                                                                                                                                                                                                                                                                                                                                                                                                                                                                                                                                                                                                                                                                                                                                                                                                                                                                                                                                                                                                                                                                                                                                                                                                                                                                                                                                                                                                                                                                                                                                                                                                                                                                                                                                                                                                                                                                                                                                                                          | 3,380,819                                                                                                                                                                                                                                                                                                                                                                                                                                                                                                                                                                                                                                                                                                                                                                                               | 5 5.70<br>9 0.98                                                                                                                                                                                                                                                                                                                                                                                                                                                                                                                                                                                                                                                                                                                                                                                                                                                                                                                                                                                                                                                                                                                                                                                                                                                                                                                                                                                                                                                                                                                                                                                                                                                                                                                                                                                                                                                                                                                                                                                                                                                                                                               |                                                                                                                                                                                                                                                                                                                                                                                                                                                                                                                                                                                                                                                                                                                                                                                                                                                                                                                                                                                                                                                                                                                                                                                                                                                                                                                                                                                                                                                                                                                                                                                                                                                                                                                                                                                                                                                                                                                                                                                                                                                                                                                                | 4.0<br>5.0                                                      |
| .12 009<br>5.60 290                                                                                                                                                                                                                                                                                                                                                                                                                                                                                                                                                                                                                                                                                                                                                                                                                                                                                                                                                                                                                                                                                                                                                                                                                                                                                                                                                                                                                                                                                                                                                                                                                                                                                                                                                                                                                                                                                                                                                                                                                                                                                                                                                                                                                                                                                                                                                                                                                                                                                                                                                                                                         | 9 電視企業<br>0 永安集卿                                                                                                                                                                                                                                                                                                                                                                                                                                                                                                                                                                                                                                                                                                                                                                                                                                                                                                                                                                                                                                                                                                                                                                                                                                                                                                                                                                                                                                                                                                                                                                                                                                                                                                                                                                                                                                                                                                                                                                                                                                                                                                                                                                                                                                                                                                                                                                                                                                                                                                                                                                                                                                                                                                                                                                                                         | 0.89<br>12.20                                                                                                                                                                                                                                                                                                                                                                                                                                                                                                                                                                                                                                                                                                                                                                                                                                                                                                                                                                                                                                                                                                                                                                                                                                                                                                                                                                                                                                                                                                                                                                                                                                                                                                                                                                                                                                                                                                                                                                                                                                                                                                                  | -                                                                                                                                                                                                                                                                                                                                                                                                                                                                                                                                                                                                                                                                                                                                                                                                                                                                                                                                                                                                                                                                                                                                                                                                                                                                                                                                                                                                                                                                                                                                                                                                                                                                                                                                                                                                                                                                                                                                                                                                                                                                                                                              | -                                                                                                                                                                                                                                                                                                                                                                                                                                                                                                                                                                                                                                                                                                                                                                                                                                                                                                                                                                                                                                                                                                                                                                                                                                                                                                                                                                                                                                                                                                                                                                                                                                                                                                                                                                                                                                                                                                                                                                                                                                                                                                                             | 0.88<br>12.00                                                                                                                                | 0.90<br>12.20                                                                                                                                                                                                                                                                                                                                                                                                                                                                                                                                                                                                                                                                                                                                                                                                                                                                                                                                                                                                                                                                                                                                                                                                                                                                                                                                                                                                                                                                                                                                                                                                                                                                                                                       | 12.20                                                                                                                                                                                                                                                                                                                                                                                                                                                                                                                                                                                                                                                                                                                                                                                                                                                                                                                                                                                                                                                                                                                                                                                                                                                                                                                                                                                                                                                                                                                                                                                                                                                                                                                                                                                                                                                                                                                                                                                                                                                                                                                                                                                                                                                                                                                                                                                                                                                                                                                                                                                                                                                                                                                                                                                                                                                                                                                                                                                                                                                                                                                                                                                               | A A                                                                                                                                                                                                                                                                                                                                                                                                                                                                                                                                                                                                                                                                                                                                                                                                                                                                                                                                                                                                                                                                                                                                                                                                                                                                                                                                                                                                                                                                                                                                                                                                                                                                                                                                                                                            | - · · · ·                                                                                                               | 1,000                                                                                                                                                                                                                                                                                                                                                                                                                                                                                                                                                                                                                                                                                                                                                                                                                                                                                                                                                                                                                                                                                                                                                                                                                                                                                                                                                                                                                                                                                                                                                                                                                                                                                                                                                                                                                                                                                                                                                                                                                                                                                                                                                                                                                                                                                                                                                                                                                                                                                                                                                                                                                                                                                                                                                                                                                         | 800                                                                                                                                                                                                                                                                                                                                                                                                                                                                                                                                                                                                                                                                                                                                                                                                     | 0 32                                                                                                                                                                                                                                                                                                                                                                                                                                                                                                                                                                                                                                                                                                                                                                                                                                                                                                                                                                                                                                                                                                                                                                                                                                                                                                                                                                                                                                                                                                                                                                                                                                                                                                                                                                                                                                                                                                                                                                                                                                                                                                                           | 11.51                                                                                                                                                                                                                                                                                                                                                                                                                                                                                                                                                                                                                                                                                                                                                                                                                                                                                                                                                                                                                                                                                                                                                                                                                                                                                                                                                                                                                                                                                                                                                                                                                                                                                                                                                                                                                                                                                                                                                                                                                                                                                                                          | 8.9                                                             |
| 0.59 532<br>5.50 020                                                                                                                                                                                                                                                                                                                                                                                                                                                                                                                                                                                                                                                                                                                                                                                                                                                                                                                                                                                                                                                                                                                                                                                                                                                                                                                                                                                                                                                                                                                                                                                                                                                                                                                                                                                                                                                                                                                                                                                                                                                                                                                                                                                                                                                                                                                                                                                                                                                                                                                                                                                                        | 2 王氏港建<br>0 陸豐國際                                                                                                                                                                                                                                                                                                                                                                                                                                                                                                                                                                                                                                                                                                                                                                                                                                                                                                                                                                                                                                                                                                                                                                                                                                                                                                                                                                                                                                                                                                                                                                                                                                                                                                                                                                                                                                                                                                                                                                                                                                                                                                                                                                                                                                                                                                                                                                                                                                                                                                                                                                                                                                                                                                                                                                                                         | 0,485<br>3,525                                                                                                                                                                                                                                                                                                                                                                                                                                                                                                                                                                                                                                                                                                                                                                                                                                                                                                                                                                                                                                                                                                                                                                                                                                                                                                                                                                                                                                                                                                                                                                                                                                                                                                                                                                                                                                                                                                                                                                                                                                                                                                                 | 3.55                                                                                                                                                                                                                                                                                                                                                                                                                                                                                                                                                                                                                                                                                                                                                                                                                                                                                                                                                                                                                                                                                                                                                                                                                                                                                                                                                                                                                                                                                                                                                                                                                                                                                                                                                                                                                                                                                                                                                                                                                                                                                                                           | 3.525                                                                                                                                                                                                                                                                                                                                                                                                                                                                                                                                                                                                                                                                                                                                                                                                                                                                                                                                                                                                                                                                                                                                                                                                                                                                                                                                                                                                                                                                                                                                                                                                                                                                                                                                                                                                                                                                                                                                                                                                                                                                                                                         | 0 475<br>3.525                                                                                                                               | 0 48<br>3.55                                                                                                                                                                                                                                                                                                                                                                                                                                                                                                                                                                                                                                                                                                                                                                                                                                                                                                                                                                                                                                                                                                                                                                                                                                                                                                                                                                                                                                                                                                                                                                                                                                                                                                                        | 0.48<br>3.55                                                                                                                                                                                                                                                                                                                                                                                                                                                                                                                                                                                                                                                                                                                                                                                                                                                                                                                                                                                                                                                                                                                                                                                                                                                                                                                                                                                                                                                                                                                                                                                                                                                                                                                                                                                                                                                                                                                                                                                                                                                                                                                                                                                                                                                                                                                                                                                                                                                                                                                                                                                                                                                                                                                                                                                                                                                                                                                                                                                                                                                                                                                                                                                        | -0 005<br>+0 025                                                                                                                                                                                                                                                                                                                                                                                                                                                                                                                                                                                                                                                                                                                                                                                                                                                                                                                                                                                                                                                                                                                                                                                                                                                                                                                                                                                                                                                                                                                                                                                                                                                                                                                                                                               | -75<br>+74                                                                                                              | 382,250<br>1,476,400                                                                                                                                                                                                                                                                                                                                                                                                                                                                                                                                                                                                                                                                                                                                                                                                                                                                                                                                                                                                                                                                                                                                                                                                                                                                                                                                                                                                                                                                                                                                                                                                                                                                                                                                                                                                                                                                                                                                                                                                                                                                                                                                                                                                                                                                                                                                                                                                                                                                                                                                                                                                                                                                                                                                                                                                          | 5,225.39                                                                                                                                                                                                                                                                                                                                                                                                                                                                                                                                                                                                                                                                                                                                                                                                | 5 129                                                                                                                                                                                                                                                                                                                                                                                                                                                                                                                                                                                                                                                                                                                                                                                                                                                                                                                                                                                                                                                                                                                                                                                                                                                                                                                                                                                                                                                                                                                                                                                                                                                                                                                                                                                                                                                                                                                                                                                                                                                                                                                          | 9.00                                                                                                                                                                                                                                                                                                                                                                                                                                                                                                                                                                                                                                                                                                                                                                                                                                                                                                                                                                                                                                                                                                                                                                                                                                                                                                                                                                                                                                                                                                                                                                                                                                                                                                                                                                                                                                                                                                                                                                                                                                                                                                                           | 15.                                                             |
| 54 378                                                                                                                                                                                                                                                                                                                                                                                                                                                                                                                                                                                                                                                                                                                                                                                                                                                                                                                                                                                                                                                                                                                                                                                                                                                                                                                                                                                                                                                                                                                                                                                                                                                                                                                                                                                                                                                                                                                                                                                                                                                                                                                                                                                                                                                                                                                                                                                                                                                                                                                                                                                                                      | 4 長江國際<br>5 長江貿易                                                                                                                                                                                                                                                                                                                                                                                                                                                                                                                                                                                                                                                                                                                                                                                                                                                                                                                                                                                                                                                                                                                                                                                                                                                                                                                                                                                                                                                                                                                                                                                                                                                                                                                                                                                                                                                                                                                                                                                                                                                                                                                                                                                                                                                                                                                                                                                                                                                                                                                                                                                                                                                                                                                                                                                                         | 0.52<br>1.45                                                                                                                                                                                                                                                                                                                                                                                                                                                                                                                                                                                                                                                                                                                                                                                                                                                                                                                                                                                                                                                                                                                                                                                                                                                                                                                                                                                                                                                                                                                                                                                                                                                                                                                                                                                                                                                                                                                                                                                                                                                                                                                   | 0.51                                                                                                                                                                                                                                                                                                                                                                                                                                                                                                                                                                                                                                                                                                                                                                                                                                                                                                                                                                                                                                                                                                                                                                                                                                                                                                                                                                                                                                                                                                                                                                                                                                                                                                                                                                                                                                                                                                                                                                                                                                                                                                                           | 1 44                                                                                                                                                                                                                                                                                                                                                                                                                                                                                                                                                                                                                                                                                                                                                                                                                                                                                                                                                                                                                                                                                                                                                                                                                                                                                                                                                                                                                                                                                                                                                                                                                                                                                                                                                                                                                                                                                                                                                                                                                                                                                                                          | 0.51<br>1.44                                                                                                                                 | 0.53<br>1.46                                                                                                                                                                                                                                                                                                                                                                                                                                                                                                                                                                                                                                                                                                                                                                                                                                                                                                                                                                                                                                                                                                                                                                                                                                                                                                                                                                                                                                                                                                                                                                                                                                                                                                                        | 1.44                                                                                                                                                                                                                                                                                                                                                                                                                                                                                                                                                                                                                                                                                                                                                                                                                                                                                                                                                                                                                                                                                                                                                                                                                                                                                                                                                                                                                                                                                                                                                                                                                                                                                                                                                                                                                                                                                                                                                                                                                                                                                                                                                                                                                                                                                                                                                                                                                                                                                                                                                                                                                                                                                                                                                                                                                                                                                                                                                                                                                                                                                                                                                                                                | -0.01<br>-0.01                                                                                                                                                                                                                                                                                                                                                                                                                                                                                                                                                                                                                                                                                                                                                                                                                                                                                                                                                                                                                                                                                                                                                                                                                                                                                                                                                                                                                                                                                                                                                                                                                                                                                                                                                                                 | -30<br>-98                                                                                                              | 28.200<br>23.000                                                                                                                                                                                                                                                                                                                                                                                                                                                                                                                                                                                                                                                                                                                                                                                                                                                                                                                                                                                                                                                                                                                                                                                                                                                                                                                                                                                                                                                                                                                                                                                                                                                                                                                                                                                                                                                                                                                                                                                                                                                                                                                                                                                                                                                                                                                                                                                                                                                                                                                                                                                                                                                                                                                                                                                                              | 33,320                                                                                                                                                                                                                                                                                                                                                                                                                                                                                                                                                                                                                                                                                                                                                                                                  | 0 52                                                                                                                                                                                                                                                                                                                                                                                                                                                                                                                                                                                                                                                                                                                                                                                                                                                                                                                                                                                                                                                                                                                                                                                                                                                                                                                                                                                                                                                                                                                                                                                                                                                                                                                                                                                                                                                                                                                                                                                                                                                                                                                           |                                                                                                                                                                                                                                                                                                                                                                                                                                                                                                                                                                                                                                                                                                                                                                                                                                                                                                                                                                                                                                                                                                                                                                                                                                                                                                                                                                                                                                                                                                                                                                                                                                                                                                                                                                                                                                                                                                                                                                                                                                                                                                                                | 11.                                                             |
| 4 325 100                                                                                                                                                                                                                                                                                                                                                                                                                                                                                                                                                                                                                                                                                                                                                                                                                                                                                                                                                                                                                                                                                                                                                                                                                                                                                                                                                                                                                                                                                                                                                                                                                                                                                                                                                                                                                                                                                                                                                                                                                                                                                                                                                                                                                                                                                                                                                                                                                                                                                                                                                                                                                   | 0 C =                                                                                                                                                                                                                                                                                                                                                                                                                                                                                                                                                                                                                                                                                                                                                                                                                                                                                                                                                                                                                                                                                                                                                                                                                                                                                                                                                                                                                                                                                                                                                                                                                                                                                                                                                                                                                                                                                                                                                                                                                                                                                                                                                                                                                                                                                                                                                                                                                                                                                                                                                                                                                                                                                                                                                                                                                    | 3.20                                                                                                                                                                                                                                                                                                                                                                                                                                                                                                                                                                                                                                                                                                                                                                                                                                                                                                                                                                                                                                                                                                                                                                                                                                                                                                                                                                                                                                                                                                                                                                                                                                                                                                                                                                                                                                                                                                                                                                                                                                                                                                                           | 3.20                                                                                                                                                                                                                                                                                                                                                                                                                                                                                                                                                                                                                                                                                                                                                                                                                                                                                                                                                                                                                                                                                                                                                                                                                                                                                                                                                                                                                                                                                                                                                                                                                                                                                                                                                                                                                                                                                                                                                                                                                                                                                                                           | 3 20                                                                                                                                                                                                                                                                                                                                                                                                                                                                                                                                                                                                                                                                                                                                                                                                                                                                                                                                                                                                                                                                                                                                                                                                                                                                                                                                                                                                                                                                                                                                                                                                                                                                                                                                                                                                                                                                                                                                                                                                                                                                                                                          | 3.20                                                                                                                                         | 3.25                                                                                                                                                                                                                                                                                                                                                                                                                                                                                                                                                                                                                                                                                                                                                                                                                                                                                                                                                                                                                                                                                                                                                                                                                                                                                                                                                                                                                                                                                                                                                                                                                                                                                                                                | 3.20                                                                                                                                                                                                                                                                                                                                                                                                                                                                                                                                                                                                                                                                                                                                                                                                                                                                                                                                                                                                                                                                                                                                                                                                                                                                                                                                                                                                                                                                                                                                                                                                                                                                                                                                                                                                                                                                                                                                                                                                                                                                                                                                                                                                                                                                                                                                                                                                                                                                                                                                                                                                                                                                                                                                                                                                                                                                                                                                                                                                                                                                                                                                                                                                |                                                                                                                                                                                                                                                                                                                                                                                                                                                                                                                                                                                                                                                                                                                                                                                                                                                                                                                                                                                                                                                                                                                                                                                                                                                                                                                                                                                                                                                                                                                                                                                                                                                                                                                                                                                                |                                                                                                                         | 32,000                                                                                                                                                                                                                                                                                                                                                                                                                                                                                                                                                                                                                                                                                                                                                                                                                                                                                                                                                                                                                                                                                                                                                                                                                                                                                                                                                                                                                                                                                                                                                                                                                                                                                                                                                                                                                                                                                                                                                                                                                                                                                                                                                                                                                                                                                                                                                                                                                                                                                                                                                                                                                                                                                                                                                                                                                        | 102,400                                                                                                                                                                                                                                                                                                                                                                                                                                                                                                                                                                                                                                                                                                                                                                                                 | 0 1.16                                                                                                                                                                                                                                                                                                                                                                                                                                                                                                                                                                                                                                                                                                                                                                                                                                                                                                                                                                                                                                                                                                                                                                                                                                                                                                                                                                                                                                                                                                                                                                                                                                                                                                                                                                                                                                                                                                                                                                                                                                                                                                                         | 7 00                                                                                                                                                                                                                                                                                                                                                                                                                                                                                                                                                                                                                                                                                                                                                                                                                                                                                                                                                                                                                                                                                                                                                                                                                                                                                                                                                                                                                                                                                                                                                                                                                                                                                                                                                                                                                                                                                                                                                                                                                                                                                                                           | 9 (                                                             |
|                                                                                                                                                                                                                                                                                                                                                                                                                                                                                                                                                                                                                                                                                                                                                                                                                                                                                                                                                                                                                                                                                                                                                                                                                                                                                                                                                                                                                                                                                                                                                                                                                                                                                                                                                                                                                                                                                                                                                                                                                                                                                                                                                                                                                                                                                                                                                                                                                                                                                                                                                                                                                             | A STATE OF THE STA                                                                                                                                                                                                                                                                                                                                                                                                                                                                                                                                                                                                                                                                                           | iki ja - Angarasi ka sa                                                                                                                                                                                                                                                                                                                                                                                                                                                                                                                                                                                                                                                                                                                                                                                                                                                                                                                                                                                                                                                                                                                                                                                                                                                                                                                                                                                                                                                                                                                                                                                                                                                                                                                                                                                                                                                                                                                                                                                                                                                                                                        | 15 40 L                                                                                                                                                                                                                                                                                                                                                                                                                                                                                                                                                                                                                                                                                                                                                                                                                                                                                                                                                                                                                                                                                                                                                                                                                                                                                                                                                                                                                                                                                                                                                                                                                                                                                                                                                                                                                                                                                                                                                                                                                                                                                                                        | Property and a service                                                                                                                                                                                                                                                                                                                                                                                                                                                                                                                                                                                                                                                                                                                                                                                                                                                                                                                                                                                                                                                                                                                                                                                                                                                                                                                                                                                                                                                                                                                                                                                                                                                                                                                                                                                                                                                                                                                                                                                                                                                                                                        | Military Jack                                                                                                                                | 1 1 1 1 1 1 1 1 1 1 1 1 1 1 1 1 1 1 1                                                                                                                                                                                                                                                                                                                                                                                                                                                                                                                                                                                                                                                                                                                                                                                                                                                                                                                                                                                                                                                                                                                                                                                                                                                                                                                                                                                                                                                                                                                                                                                                                                                                                               |                                                                                                                                                                                                                                                                                                                                                                                                                                                                                                                                                                                                                                                                                                                                                                                                                                                                                                                                                                                                                                                                                                                                                                                                                                                                                                                                                                                                                                                                                                                                                                                                                                                                                                                                                                                                                                                                                                                                                                                                                                                                                                                                                                                                                                                                                                                                                                                                                                                                                                                                                                                                                                                                                                                                                                                                                                                                                                                                                                                                                                                                                                                                                                                                     | No. The Park Park Park                                                                                                                                                                                                                                                                                                                                                                                                                                                                                                                                                                                                                                                                                                                                                                                                                                                                                                                                                                                                                                                                                                                                                                                                                                                                                                                                                                                                                                                                                                                                                                                                                                                                                                                                                                         | 5, .                                                                                                                    | 1 2 2 2                                                                                                                                                                                                                                                                                                                                                                                                                                                                                                                                                                                                                                                                                                                                                                                                                                                                                                                                                                                                                                                                                                                                                                                                                                                                                                                                                                                                                                                                                                                                                                                                                                                                                                                                                                                                                                                                                                                                                                                                                                                                                                                                                                                                                                                                                                                                                                                                                                                                                                                                                                                                                                                                                                                                                                                                                       |                                                                                                                                                                                                                                                                                                                                                                                                                                                                                                                                                                                                                                                                                                                                                                                                         |                                                                                                                                                                                                                                                                                                                                                                                                                                                                                                                                                                                                                                                                                                                                                                                                                                                                                                                                                                                                                                                                                                                                                                                                                                                                                                                                                                                                                                                                                                                                                                                                                                                                                                                                                                                                                                                                                                                                                                                                                                                                                                                                | 1 24 50                                                                                                                                                                                                                                                                                                                                                                                                                                                                                                                                                                                                                                                                                                                                                                                                                                                                                                                                                                                                                                                                                                                                                                                                                                                                                                                                                                                                                                                                                                                                                                                                                                                                                                                                                                                                                                                                                                                                                                                                                                                                                                                        | 7,3                                                             |
|                                                                                                                                                                                                                                                                                                                                                                                                                                                                                                                                                                                                                                                                                                                                                                                                                                                                                                                                                                                                                                                                                                                                                                                                                                                                                                                                                                                                                                                                                                                                                                                                                                                                                                                                                                                                                                                                                                                                                                                                                                                                                                                                                                                                                                                                                                                                                                                                                                                                                                                                                                                                                             | 工業製造                                                                                                                                                                                                                                                                                                                                                                                                                                                                                                                                                                                                                                                                                                                                                                                                                                                                                                                                                                                                                                                                                                                                                                                                                                                                                                                                                                                                                                                                                                                                                                                                                                                                                                                                                                                                                                                                                                                                                                                                                                                                                                                                                                                                                                                                                                                                                                                                                                                                                                                                                                                                                                                                                                                                                                                                                     | 0.345                                                                                                                                                                                                                                                                                                                                                                                                                                                                                                                                                                                                                                                                                                                                                                                                                                                                                                                                                                                                                                                                                                                                                                                                                                                                                                                                                                                                                                                                                                                                                                                                                                                                                                                                                                                                                                                                                                                                                                                                                                                                                                                          | +                                                                                                                                                                                                                                                                                                                                                                                                                                                                                                                                                                                                                                                                                                                                                                                                                                                                                                                                                                                                                                                                                                                                                                                                                                                                                                                                                                                                                                                                                                                                                                                                                                                                                                                                                                                                                                                                                                                                                                                                                                                                                                                              | 5 0.345                                                                                                                                                                                                                                                                                                                                                                                                                                                                                                                                                                                                                                                                                                                                                                                                                                                                                                                                                                                                                                                                                                                                                                                                                                                                                                                                                                                                                                                                                                                                                                                                                                                                                                                                                                                                                                                                                                                                                                                                                                                                                                                       | ****                                                                                                                                         |                                                                                                                                                                                                                                                                                                                                                                                                                                                                                                                                                                                                                                                                                                                                                                                                                                                                                                                                                                                                                                                                                                                                                                                                                                                                                                                                                                                                                                                                                                                                                                                                                                                                                                                                     | y 0 35                                                                                                                                                                                                                                                                                                                                                                                                                                                                                                                                                                                                                                                                                                                                                                                                                                                                                                                                                                                                                                                                                                                                                                                                                                                                                                                                                                                                                                                                                                                                                                                                                                                                                                                                                                                                                                                                                                                                                                                                                                                                                                                                                                                                                                                                                                                                                                                                                                                                                                                                                                                                                                                                                                                                                                                                                                                                                                                                                                                                                                                                                                                                                                                              | +0005                                                                                                                                                                                                                                                                                                                                                                                                                                                                                                                                                                                                                                                                                                                                                                                                                                                                                                                                                                                                                                                                                                                                                                                                                                                                                                                                                                                                                                                                                                                                                                                                                                                                                                                                                                                          | +42                                                                                                                     | 196,000                                                                                                                                                                                                                                                                                                                                                                                                                                                                                                                                                                                                                                                                                                                                                                                                                                                                                                                                                                                                                                                                                                                                                                                                                                                                                                                                                                                                                                                                                                                                                                                                                                                                                                                                                                                                                                                                                                                                                                                                                                                                                                                                                                                                                                                                                                                                                                                                                                                                                                                                                                                                                                                                                                                                                                                                                       | 68,920                                                                                                                                                                                                                                                                                                                                                                                                                                                                                                                                                                                                                                                                                                                                                                                                  | <del></del>                                                                                                                                                                                                                                                                                                                                                                                                                                                                                                                                                                                                                                                                                                                                                                                                                                                                                                                                                                                                                                                                                                                                                                                                                                                                                                                                                                                                                                                                                                                                                                                                                                                                                                                                                                                                                                                                                                                                                                                                                                                                                                                    |                                                                                                                                                                                                                                                                                                                                                                                                                                                                                                                                                                                                                                                                                                                                                                                                                                                                                                                                                                                                                                                                                                                                                                                                                                                                                                                                                                                                                                                                                                                                                                                                                                                                                                                                                                                                                                                                                                                                                                                                                                                                                                                                | 2.                                                              |
| 1.547 043                                                                                                                                                                                                                                                                                                                                                                                                                                                                                                                                                                                                                                                                                                                                                                                                                                                                                                                                                                                                                                                                                                                                                                                                                                                                                                                                                                                                                                                                                                                                                                                                                                                                                                                                                                                                                                                                                                                                                                                                                                                                                                                                                                                                                                                                                                                                                                                                                                                                                                                                                                                                                   |                                                                                                                                                                                                                                                                                                                                                                                                                                                                                                                                                                                                                                                                                                                                                                                                                                                                                                                                                                                                                                                                                                                                                                                                                                                                                                                                                                                                                                                                                                                                                                                                                                                                                                                                                                                                                                                                                                                                                                                                                                                                                                                                                                                                                                                                                                                                                                                                                                                                                                                                                                                                                                                                                                                                                                                                                          | 0.93                                                                                                                                                                                                                                                                                                                                                                                                                                                                                                                                                                                                                                                                                                                                                                                                                                                                                                                                                                                                                                                                                                                                                                                                                                                                                                                                                                                                                                                                                                                                                                                                                                                                                                                                                                                                                                                                                                                                                                                                                                                                                                                           | 0.95                                                                                                                                                                                                                                                                                                                                                                                                                                                                                                                                                                                                                                                                                                                                                                                                                                                                                                                                                                                                                                                                                                                                                                                                                                                                                                                                                                                                                                                                                                                                                                                                                                                                                                                                                                                                                                                                                                                                                                                                                                                                                                                           |                                                                                                                                                                                                                                                                                                                                                                                                                                                                                                                                                                                                                                                                                                                                                                                                                                                                                                                                                                                                                                                                                                                                                                                                                                                                                                                                                                                                                                                                                                                                                                                                                                                                                                                                                                                                                                                                                                                                                                                                                                                                                                                               | 0 95                                                                                                                                         | 0.96                                                                                                                                                                                                                                                                                                                                                                                                                                                                                                                                                                                                                                                                                                                                                                                                                                                                                                                                                                                                                                                                                                                                                                                                                                                                                                                                                                                                                                                                                                                                                                                                                                                                                                                                | 0 95                                                                                                                                                                                                                                                                                                                                                                                                                                                                                                                                                                                                                                                                                                                                                                                                                                                                                                                                                                                                                                                                                                                                                                                                                                                                                                                                                                                                                                                                                                                                                                                                                                                                                                                                                                                                                                                                                                                                                                                                                                                                                                                                                                                                                                                                                                                                                                                                                                                                                                                                                                                                                                                                                                                                                                                                                                                                                                                                                                                                                                                                                                                                                                                                | —<br>★ <b>0</b> .02                                                                                                                                                                                                                                                                                                                                                                                                                                                                                                                                                                                                                                                                                                                                                                                                                                                                                                                                                                                                                                                                                                                                                                                                                                                                                                                                                                                                                                                                                                                                                                                                                                                                                                                                                                            | +27                                                                                                                     | 2,881,000                                                                                                                                                                                                                                                                                                                                                                                                                                                                                                                                                                                                                                                                                                                                                                                                                                                                                                                                                                                                                                                                                                                                                                                                                                                                                                                                                                                                                                                                                                                                                                                                                                                                                                                                                                                                                                                                                                                                                                                                                                                                                                                                                                                                                                                                                                                                                                                                                                                                                                                                                                                                                                                                                                                                                                                                                     | 2.708,44                                                                                                                                                                                                                                                                                                                                                                                                                                                                                                                                                                                                                                                                                                                                                                                                |                                                                                                                                                                                                                                                                                                                                                                                                                                                                                                                                                                                                                                                                                                                                                                                                                                                                                                                                                                                                                                                                                                                                                                                                                                                                                                                                                                                                                                                                                                                                                                                                                                                                                                                                                                                                                                                                                                                                                                                                                                                                                                                                | 5 35                                                                                                                                                                                                                                                                                                                                                                                                                                                                                                                                                                                                                                                                                                                                                                                                                                                                                                                                                                                                                                                                                                                                                                                                                                                                                                                                                                                                                                                                                                                                                                                                                                                                                                                                                                                                                                                                                                                                                                                                                                                                                                                           | 9.<br>6                                                         |
| 160 13                                                                                                                                                                                                                                                                                                                                                                                                                                                                                                                                                                                                                                                                                                                                                                                                                                                                                                                                                                                                                                                                                                                                                                                                                                                                                                                                                                                                                                                                                                                                                                                                                                                                                                                                                                                                                                                                                                                                                                                                                                                                                                                                                                                                                                                                                                                                                                                                                                                                                                                                                                                                                      | 1 中國印染<br>1 卓能集團<br>5 职練石油                                                                                                                                                                                                                                                                                                                                                                                                                                                                                                                                                                                                                                                                                                                                                                                                                                                                                                                                                                                                                                                                                                                                                                                                                                                                                                                                                                                                                                                                                                                                                                                                                                                                                                                                                                                                                                                                                                                                                                                                                                                                                                                                                                                                                                                                                                                                                                                                                                                                                                                                                                                                                                                                                                                                                                                               | 1.08                                                                                                                                                                                                                                                                                                                                                                                                                                                                                                                                                                                                                                                                                                                                                                                                                                                                                                                                                                                                                                                                                                                                                                                                                                                                                                                                                                                                                                                                                                                                                                                                                                                                                                                                                                                                                                                                                                                                                                                                                                                                                                                           | 1.08                                                                                                                                                                                                                                                                                                                                                                                                                                                                                                                                                                                                                                                                                                                                                                                                                                                                                                                                                                                                                                                                                                                                                                                                                                                                                                                                                                                                                                                                                                                                                                                                                                                                                                                                                                                                                                                                                                                                                                                                                                                                                                                           | 1 08                                                                                                                                                                                                                                                                                                                                                                                                                                                                                                                                                                                                                                                                                                                                                                                                                                                                                                                                                                                                                                                                                                                                                                                                                                                                                                                                                                                                                                                                                                                                                                                                                                                                                                                                                                                                                                                                                                                                                                                                                                                                                                                          | 1.05                                                                                                                                         | 1.09                                                                                                                                                                                                                                                                                                                                                                                                                                                                                                                                                                                                                                                                                                                                                                                                                                                                                                                                                                                                                                                                                                                                                                                                                                                                                                                                                                                                                                                                                                                                                                                                                                                                                                                                | 108                                                                                                                                                                                                                                                                                                                                                                                                                                                                                                                                                                                                                                                                                                                                                                                                                                                                                                                                                                                                                                                                                                                                                                                                                                                                                                                                                                                                                                                                                                                                                                                                                                                                                                                                                                                                                                                                                                                                                                                                                                                                                                                                                                                                                                                                                                                                                                                                                                                                                                                                                                                                                                                                                                                                                                                                                                                                                                                                                                                                                                                                                                                                                                                                 |                                                                                                                                                                                                                                                                                                                                                                                                                                                                                                                                                                                                                                                                                                                                                                                                                                                                                                                                                                                                                                                                                                                                                                                                                                                                                                                                                                                                                                                                                                                                                                                                                                                                                                                                                                                                |                                                                                                                         | 150,000                                                                                                                                                                                                                                                                                                                                                                                                                                                                                                                                                                                                                                                                                                                                                                                                                                                                                                                                                                                                                                                                                                                                                                                                                                                                                                                                                                                                                                                                                                                                                                                                                                                                                                                                                                                                                                                                                                                                                                                                                                                                                                                                                                                                                                                                                                                                                                                                                                                                                                                                                                                                                                                                                                                                                                                                                       | 162,00                                                                                                                                                                                                                                                                                                                                                                                                                                                                                                                                                                                                                                                                                                                                                                                                  | 0.12                                                                                                                                                                                                                                                                                                                                                                                                                                                                                                                                                                                                                                                                                                                                                                                                                                                                                                                                                                                                                                                                                                                                                                                                                                                                                                                                                                                                                                                                                                                                                                                                                                                                                                                                                                                                                                                                                                                                                                                                                                                                                                                           |                                                                                                                                                                                                                                                                                                                                                                                                                                                                                                                                                                                                                                                                                                                                                                                                                                                                                                                                                                                                                                                                                                                                                                                                                                                                                                                                                                                                                                                                                                                                                                                                                                                                                                                                                                                                                                                                                                                                                                                                                                                                                                                                | 3.                                                              |
| 03                                                                                                                                                                                                                                                                                                                                                                                                                                                                                                                                                                                                                                                                                                                                                                                                                                                                                                                                                                                                                                                                                                                                                                                                                                                                                                                                                                                                                                                                                                                                                                                                                                                                                                                                                                                                                                                                                                                                                                                                                                                                                                                                                                                                                                                                                                                                                                                                                                                                                                                                                                                                                          | 5 思徳石油<br>1 原力投資<br>8 大同機械                                                                                                                                                                                                                                                                                                                                                                                                                                                                                                                                                                                                                                                                                                                                                                                                                                                                                                                                                                                                                                                                                                                                                                                                                                                                                                                                                                                                                                                                                                                                                                                                                                                                                                                                                                                                                                                                                                                                                                                                                                                                                                                                                                                                                                                                                                                                                                                                                                                                                                                                                                                                                                                                                                                                                                                               | 0.83                                                                                                                                                                                                                                                                                                                                                                                                                                                                                                                                                                                                                                                                                                                                                                                                                                                                                                                                                                                                                                                                                                                                                                                                                                                                                                                                                                                                                                                                                                                                                                                                                                                                                                                                                                                                                                                                                                                                                                                                                                                                                                                           | 0 82                                                                                                                                                                                                                                                                                                                                                                                                                                                                                                                                                                                                                                                                                                                                                                                                                                                                                                                                                                                                                                                                                                                                                                                                                                                                                                                                                                                                                                                                                                                                                                                                                                                                                                                                                                                                                                                                                                                                                                                                                                                                                                                           | 0.82                                                                                                                                                                                                                                                                                                                                                                                                                                                                                                                                                                                                                                                                                                                                                                                                                                                                                                                                                                                                                                                                                                                                                                                                                                                                                                                                                                                                                                                                                                                                                                                                                                                                                                                                                                                                                                                                                                                                                                                                                                                                                                                          | 082                                                                                                                                          | 082                                                                                                                                                                                                                                                                                                                                                                                                                                                                                                                                                                                                                                                                                                                                                                                                                                                                                                                                                                                                                                                                                                                                                                                                                                                                                                                                                                                                                                                                                                                                                                                                                                                                                                                                 | 0.82                                                                                                                                                                                                                                                                                                                                                                                                                                                                                                                                                                                                                                                                                                                                                                                                                                                                                                                                                                                                                                                                                                                                                                                                                                                                                                                                                                                                                                                                                                                                                                                                                                                                                                                                                                                                                                                                                                                                                                                                                                                                                                                                                                                                                                                                                                                                                                                                                                                                                                                                                                                                                                                                                                                                                                                                                                                                                                                                                                                                                                                                                                                                                                                                | -0.01                                                                                                                                                                                                                                                                                                                                                                                                                                                                                                                                                                                                                                                                                                                                                                                                                                                                                                                                                                                                                                                                                                                                                                                                                                                                                                                                                                                                                                                                                                                                                                                                                                                                                                                                                                                          | -65                                                                                                                     | 40,000                                                                                                                                                                                                                                                                                                                                                                                                                                                                                                                                                                                                                                                                                                                                                                                                                                                                                                                                                                                                                                                                                                                                                                                                                                                                                                                                                                                                                                                                                                                                                                                                                                                                                                                                                                                                                                                                                                                                                                                                                                                                                                                                                                                                                                                                                                                                                                                                                                                                                                                                                                                                                                                                                                                                                                                                                        | 32,80                                                                                                                                                                                                                                                                                                                                                                                                                                                                                                                                                                                                                                                                                                                                                                                                   | 0 030                                                                                                                                                                                                                                                                                                                                                                                                                                                                                                                                                                                                                                                                                                                                                                                                                                                                                                                                                                                                                                                                                                                                                                                                                                                                                                                                                                                                                                                                                                                                                                                                                                                                                                                                                                                                                                                                                                                                                                                                                                                                                                                          | 4.60                                                                                                                                                                                                                                                                                                                                                                                                                                                                                                                                                                                                                                                                                                                                                                                                                                                                                                                                                                                                                                                                                                                                                                                                                                                                                                                                                                                                                                                                                                                                                                                                                                                                                                                                                                                                                                                                                                                                                                                                                                                                                                                           | 9.                                                              |
| 2 925 12                                                                                                                                                                                                                                                                                                                                                                                                                                                                                                                                                                                                                                                                                                                                                                                                                                                                                                                                                                                                                                                                                                                                                                                                                                                                                                                                                                                                                                                                                                                                                                                                                                                                                                                                                                                                                                                                                                                                                                                                                                                                                                                                                                                                                                                                                                                                                                                                                                                                                                                                                                                                                    | 8 天同機帳<br>2 鰡 魚 恤▲<br>7 冠 相 頓                                                                                                                                                                                                                                                                                                                                                                                                                                                                                                                                                                                                                                                                                                                                                                                                                                                                                                                                                                                                                                                                                                                                                                                                                                                                                                                                                                                                                                                                                                                                                                                                                                                                                                                                                                                                                                                                                                                                                                                                                                                                                                                                                                                                                                                                                                                                                                                                                                                                                                                                                                                                                                                                                                                                                                                            | 2.035<br>0.44                                                                                                                                                                                                                                                                                                                                                                                                                                                                                                                                                                                                                                                                                                                                                                                                                                                                                                                                                                                                                                                                                                                                                                                                                                                                                                                                                                                                                                                                                                                                                                                                                                                                                                                                                                                                                                                                                                                                                                                                                                                                                                                  |                                                                                                                                                                                                                                                                                                                                                                                                                                                                                                                                                                                                                                                                                                                                                                                                                                                                                                                                                                                                                                                                                                                                                                                                                                                                                                                                                                                                                                                                                                                                                                                                                                                                                                                                                                                                                                                                                                                                                                                                                                                                                                                                | 2.10                                                                                                                                                                                                                                                                                                                                                                                                                                                                                                                                                                                                                                                                                                                                                                                                                                                                                                                                                                                                                                                                                                                                                                                                                                                                                                                                                                                                                                                                                                                                                                                                                                                                                                                                                                                                                                                                                                                                                                                                                                                                                                                          | 2.126<br>0.435                                                                                                                               | 2.15<br>0.44                                                                                                                                                                                                                                                                                                                                                                                                                                                                                                                                                                                                                                                                                                                                                                                                                                                                                                                                                                                                                                                                                                                                                                                                                                                                                                                                                                                                                                                                                                                                                                                                                                                                                                                        | 2.15<br>0.435                                                                                                                                                                                                                                                                                                                                                                                                                                                                                                                                                                                                                                                                                                                                                                                                                                                                                                                                                                                                                                                                                                                                                                                                                                                                                                                                                                                                                                                                                                                                                                                                                                                                                                                                                                                                                                                                                                                                                                                                                                                                                                                                                                                                                                                                                                                                                                                                                                                                                                                                                                                                                                                                                                                                                                                                                                                                                                                                                                                                                                                                                                                                                                                       | <b>#0115</b>                                                                                                                                                                                                                                                                                                                                                                                                                                                                                                                                                                                                                                                                                                                                                                                                                                                                                                                                                                                                                                                                                                                                                                                                                                                                                                                                                                                                                                                                                                                                                                                                                                                                                                                                                                                   | +8                                                                                                                      | 604,000                                                                                                                                                                                                                                                                                                                                                                                                                                                                                                                                                                                                                                                                                                                                                                                                                                                                                                                                                                                                                                                                                                                                                                                                                                                                                                                                                                                                                                                                                                                                                                                                                                                                                                                                                                                                                                                                                                                                                                                                                                                                                                                                                                                                                                                                                                                                                                                                                                                                                                                                                                                                                                                                                                                                                                                                                       | 1,282,97                                                                                                                                                                                                                                                                                                                                                                                                                                                                                                                                                                                                                                                                                                                                                                                                | 5 0.78                                                                                                                                                                                                                                                                                                                                                                                                                                                                                                                                                                                                                                                                                                                                                                                                                                                                                                                                                                                                                                                                                                                                                                                                                                                                                                                                                                                                                                                                                                                                                                                                                                                                                                                                                                                                                                                                                                                                                                                                                                                                                                                         | 11.18                                                                                                                                                                                                                                                                                                                                                                                                                                                                                                                                                                                                                                                                                                                                                                                                                                                                                                                                                                                                                                                                                                                                                                                                                                                                                                                                                                                                                                                                                                                                                                                                                                                                                                                                                                                                                                                                                                                                                                                                                                                                                                                          | 6                                                               |
| 0.88 03                                                                                                                                                                                                                                                                                                                                                                                                                                                                                                                                                                                                                                                                                                                                                                                                                                                                                                                                                                                                                                                                                                                                                                                                                                                                                                                                                                                                                                                                                                                                                                                                                                                                                                                                                                                                                                                                                                                                                                                                                                                                                                                                                                                                                                                                                                                                                                                                                                                                                                                                                                                                                     | 3 依利安達▲<br>5 萬順青渠                                                                                                                                                                                                                                                                                                                                                                                                                                                                                                                                                                                                                                                                                                                                                                                                                                                                                                                                                                                                                                                                                                                                                                                                                                                                                                                                                                                                                                                                                                                                                                                                                                                                                                                                                                                                                                                                                                                                                                                                                                                                                                                                                                                                                                                                                                                                                                                                                                                                                                                                                                                                                                                                                                                                                                                                        | 0.44<br>1.50                                                                                                                                                                                                                                                                                                                                                                                                                                                                                                                                                                                                                                                                                                                                                                                                                                                                                                                                                                                                                                                                                                                                                                                                                                                                                                                                                                                                                                                                                                                                                                                                                                                                                                                                                                                                                                                                                                                                                                                                                                                                                                                   | 0.49                                                                                                                                                                                                                                                                                                                                                                                                                                                                                                                                                                                                                                                                                                                                                                                                                                                                                                                                                                                                                                                                                                                                                                                                                                                                                                                                                                                                                                                                                                                                                                                                                                                                                                                                                                                                                                                                                                                                                                                                                                                                                                                           | 0.44                                                                                                                                                                                                                                                                                                                                                                                                                                                                                                                                                                                                                                                                                                                                                                                                                                                                                                                                                                                                                                                                                                                                                                                                                                                                                                                                                                                                                                                                                                                                                                                                                                                                                                                                                                                                                                                                                                                                                                                                                                                                                                                          | 0.48<br>1.46                                                                                                                                 | 0.49<br>1 50                                                                                                                                                                                                                                                                                                                                                                                                                                                                                                                                                                                                                                                                                                                                                                                                                                                                                                                                                                                                                                                                                                                                                                                                                                                                                                                                                                                                                                                                                                                                                                                                                                                                                                                        | 0.485<br>1.50                                                                                                                                                                                                                                                                                                                                                                                                                                                                                                                                                                                                                                                                                                                                                                                                                                                                                                                                                                                                                                                                                                                                                                                                                                                                                                                                                                                                                                                                                                                                                                                                                                                                                                                                                                                                                                                                                                                                                                                                                                                                                                                                                                                                                                                                                                                                                                                                                                                                                                                                                                                                                                                                                                                                                                                                                                                                                                                                                                                                                                                                                                                                                                                       | +0.046                                                                                                                                                                                                                                                                                                                                                                                                                                                                                                                                                                                                                                                                                                                                                                                                                                                                                                                                                                                                                                                                                                                                                                                                                                                                                                                                                                                                                                                                                                                                                                                                                                                                                                                                                                                         | - 3+5<br>-                                                                                                              | 9,671,400                                                                                                                                                                                                                                                                                                                                                                                                                                                                                                                                                                                                                                                                                                                                                                                                                                                                                                                                                                                                                                                                                                                                                                                                                                                                                                                                                                                                                                                                                                                                                                                                                                                                                                                                                                                                                                                                                                                                                                                                                                                                                                                                                                                                                                                                                                                                                                                                                                                                                                                                                                                                                                                                                                                                                                                                                     | 4,436,96<br>199,40                                                                                                                                                                                                                                                                                                                                                                                                                                                                                                                                                                                                                                                                                                                                                                                      | 4 0.18<br>0 0.54                                                                                                                                                                                                                                                                                                                                                                                                                                                                                                                                                                                                                                                                                                                                                                                                                                                                                                                                                                                                                                                                                                                                                                                                                                                                                                                                                                                                                                                                                                                                                                                                                                                                                                                                                                                                                                                                                                                                                                                                                                                                                                               | 14.83<br>30.93                                                                                                                                                                                                                                                                                                                                                                                                                                                                                                                                                                                                                                                                                                                                                                                                                                                                                                                                                                                                                                                                                                                                                                                                                                                                                                                                                                                                                                                                                                                                                                                                                                                                                                                                                                                                                                                                                                                                                                                                                                                                                                                 | 8                                                               |
| 3.95 03<br>1.15 42                                                                                                                                                                                                                                                                                                                                                                                                                                                                                                                                                                                                                                                                                                                                                                                                                                                                                                                                                                                                                                                                                                                                                                                                                                                                                                                                                                                                                                                                                                                                                                                                                                                                                                                                                                                                                                                                                                                                                                                                                                                                                                                                                                                                                                                                                                                                                                                                                                                                                                                                                                                                          | 34 愛 美 高<br>20 稲田集園                                                                                                                                                                                                                                                                                                                                                                                                                                                                                                                                                                                                                                                                                                                                                                                                                                                                                                                                                                                                                                                                                                                                                                                                                                                                                                                                                                                                                                                                                                                                                                                                                                                                                                                                                                                                                                                                                                                                                                                                                                                                                                                                                                                                                                                                                                                                                                                                                                                                                                                                                                                                                                                                                                                                                                                                      | 2 65<br>0.78                                                                                                                                                                                                                                                                                                                                                                                                                                                                                                                                                                                                                                                                                                                                                                                                                                                                                                                                                                                                                                                                                                                                                                                                                                                                                                                                                                                                                                                                                                                                                                                                                                                                                                                                                                                                                                                                                                                                                                                                                                                                                                                   | 2.67<br>0.79                                                                                                                                                                                                                                                                                                                                                                                                                                                                                                                                                                                                                                                                                                                                                                                                                                                                                                                                                                                                                                                                                                                                                                                                                                                                                                                                                                                                                                                                                                                                                                                                                                                                                                                                                                                                                                                                                                                                                                                                                                                                                                                   | 5 2.625<br>0.79                                                                                                                                                                                                                                                                                                                                                                                                                                                                                                                                                                                                                                                                                                                                                                                                                                                                                                                                                                                                                                                                                                                                                                                                                                                                                                                                                                                                                                                                                                                                                                                                                                                                                                                                                                                                                                                                                                                                                                                                                                                                                                               | 2.675<br>0.80                                                                                                                                | 2.70<br>0.82                                                                                                                                                                                                                                                                                                                                                                                                                                                                                                                                                                                                                                                                                                                                                                                                                                                                                                                                                                                                                                                                                                                                                                                                                                                                                                                                                                                                                                                                                                                                                                                                                                                                                                                        | 2.675<br>0.80                                                                                                                                                                                                                                                                                                                                                                                                                                                                                                                                                                                                                                                                                                                                                                                                                                                                                                                                                                                                                                                                                                                                                                                                                                                                                                                                                                                                                                                                                                                                                                                                                                                                                                                                                                                                                                                                                                                                                                                                                                                                                                                                                                                                                                                                                                                                                                                                                                                                                                                                                                                                                                                                                                                                                                                                                                                                                                                                                                                                                                                                                                                                                                                       | +0.02                                                                                                                                                                                                                                                                                                                                                                                                                                                                                                                                                                                                                                                                                                                                                                                                                                                                                                                                                                                                                                                                                                                                                                                                                                                                                                                                                                                                                                                                                                                                                                                                                                                                                                                                                                                          | +22                                                                                                                     | 252,500<br>                                                                                                                                                                                                                                                                                                                                                                                                                                                                                                                                                                                                                                                                                                                                                                                                                                                                                                                                                                                                                                                                                                                                                                                                                                                                                                                                                                                                                                                                                                                                                                                                                                                                                                                                                                                                                                                                                                                                                                                                                                                                                                                                                                                                                                                                                                                                                                                                                                                                                                                                                                                                                                                                                                                                                                                                                   | 666,53                                                                                                                                                                                                                                                                                                                                                                                                                                                                                                                                                                                                                                                                                                                                                                                                  | 8 0.97<br>0 0.29                                                                                                                                                                                                                                                                                                                                                                                                                                                                                                                                                                                                                                                                                                                                                                                                                                                                                                                                                                                                                                                                                                                                                                                                                                                                                                                                                                                                                                                                                                                                                                                                                                                                                                                                                                                                                                                                                                                                                                                                                                                                                                               | 23 86<br>3 97                                                                                                                                                                                                                                                                                                                                                                                                                                                                                                                                                                                                                                                                                                                                                                                                                                                                                                                                                                                                                                                                                                                                                                                                                                                                                                                                                                                                                                                                                                                                                                                                                                                                                                                                                                                                                                                                                                                                                                                                                                                                                                                  | 3.                                                              |
| 0.60 13<br>1.956 04                                                                                                                                                                                                                                                                                                                                                                                                                                                                                                                                                                                                                                                                                                                                                                                                                                                                                                                                                                                                                                                                                                                                                                                                                                                                                                                                                                                                                                                                                                                                                                                                                                                                                                                                                                                                                                                                                                                                                                                                                                                                                                                                                                                                                                                                                                                                                                                                                                                                                                                                                                                                         | 36 通用電子<br>30 金山寶業                                                                                                                                                                                                                                                                                                                                                                                                                                                                                                                                                                                                                                                                                                                                                                                                                                                                                                                                                                                                                                                                                                                                                                                                                                                                                                                                                                                                                                                                                                                                                                                                                                                                                                                                                                                                                                                                                                                                                                                                                                                                                                                                                                                                                                                                                                                                                                                                                                                                                                                                                                                                                                                                                                                                                                                                       | 0.415<br>1.66                                                                                                                                                                                                                                                                                                                                                                                                                                                                                                                                                                                                                                                                                                                                                                                                                                                                                                                                                                                                                                                                                                                                                                                                                                                                                                                                                                                                                                                                                                                                                                                                                                                                                                                                                                                                                                                                                                                                                                                                                                                                                                                  | 1.65                                                                                                                                                                                                                                                                                                                                                                                                                                                                                                                                                                                                                                                                                                                                                                                                                                                                                                                                                                                                                                                                                                                                                                                                                                                                                                                                                                                                                                                                                                                                                                                                                                                                                                                                                                                                                                                                                                                                                                                                                                                                                                                           | 1.65                                                                                                                                                                                                                                                                                                                                                                                                                                                                                                                                                                                                                                                                                                                                                                                                                                                                                                                                                                                                                                                                                                                                                                                                                                                                                                                                                                                                                                                                                                                                                                                                                                                                                                                                                                                                                                                                                                                                                                                                                                                                                                                          | 1.64                                                                                                                                         | 0.42<br>1.65                                                                                                                                                                                                                                                                                                                                                                                                                                                                                                                                                                                                                                                                                                                                                                                                                                                                                                                                                                                                                                                                                                                                                                                                                                                                                                                                                                                                                                                                                                                                                                                                                                                                                                                        | 1 65                                                                                                                                                                                                                                                                                                                                                                                                                                                                                                                                                                                                                                                                                                                                                                                                                                                                                                                                                                                                                                                                                                                                                                                                                                                                                                                                                                                                                                                                                                                                                                                                                                                                                                                                                                                                                                                                                                                                                                                                                                                                                                                                                                                                                                                                                                                                                                                                                                                                                                                                                                                                                                                                                                                                                                                                                                                                                                                                                                                                                                                                                                                                                                                                | +0.005                                                                                                                                                                                                                                                                                                                                                                                                                                                                                                                                                                                                                                                                                                                                                                                                                                                                                                                                                                                                                                                                                                                                                                                                                                                                                                                                                                                                                                                                                                                                                                                                                                                                                                                                                                                         | +49<br>-109                                                                                                             | 196,000<br>5,000                                                                                                                                                                                                                                                                                                                                                                                                                                                                                                                                                                                                                                                                                                                                                                                                                                                                                                                                                                                                                                                                                                                                                                                                                                                                                                                                                                                                                                                                                                                                                                                                                                                                                                                                                                                                                                                                                                                                                                                                                                                                                                                                                                                                                                                                                                                                                                                                                                                                                                                                                                                                                                                                                                                                                                                                              | 80.49<br>8,25                                                                                                                                                                                                                                                                                                                                                                                                                                                                                                                                                                                                                                                                                                                                                                                           | 0 60                                                                                                                                                                                                                                                                                                                                                                                                                                                                                                                                                                                                                                                                                                                                                                                                                                                                                                                                                                                                                                                                                                                                                                                                                                                                                                                                                                                                                                                                                                                                                                                                                                                                                                                                                                                                                                                                                                                                                                                                                                                                                                                           | 6.33                                                                                                                                                                                                                                                                                                                                                                                                                                                                                                                                                                                                                                                                                                                                                                                                                                                                                                                                                                                                                                                                                                                                                                                                                                                                                                                                                                                                                                                                                                                                                                                                                                                                                                                                                                                                                                                                                                                                                                                                                                                                                                                           | 6                                                               |
| 0 17   11                                                                                                                                                                                                                                                                                                                                                                                                                                                                                                                                                                                                                                                                                                                                                                                                                                                                                                                                                                                                                                                                                                                                                                                                                                                                                                                                                                                                                                                                                                                                                                                                                                                                                                                                                                                                                                                                                                                                                                                                                                                                                                                                                                                                                                                                                                                                                                                                                                                                                                                                                                                                                   | 4 港機工程                                                                                                                                                                                                                                                                                                                                                                                                                                                                                                                                                                                                                                                                                                                                                                                                                                                                                                                                                                                                                                                                                                                                                                                                                                                                                                                                                                                                                                                                                                                                                                                                                                                                                                                                                                                                                                                                                                                                                                                                                                                                                                                                                                                                                                                                                                                                                                                                                                                                                                                                                                                                                                                                                                                                                                                                                   | 21.90<br>0.122                                                                                                                                                                                                                                                                                                                                                                                                                                                                                                                                                                                                                                                                                                                                                                                                                                                                                                                                                                                                                                                                                                                                                                                                                                                                                                                                                                                                                                                                                                                                                                                                                                                                                                                                                                                                                                                                                                                                                                                                                                                                                                                 | <del></del> -                                                                                                                                                                                                                                                                                                                                                                                                                                                                                                                                                                                                                                                                                                                                                                                                                                                                                                                                                                                                                                                                                                                                                                                                                                                                                                                                                                                                                                                                                                                                                                                                                                                                                                                                                                                                                                                                                                                                                                                                                                                                                                                  | 22 0.119                                                                                                                                                                                                                                                                                                                                                                                                                                                                                                                                                                                                                                                                                                                                                                                                                                                                                                                                                                                                                                                                                                                                                                                                                                                                                                                                                                                                                                                                                                                                                                                                                                                                                                                                                                                                                                                                                                                                                                                                                                                                                                                      | +                                                                                                                                            | 0.122                                                                                                                                                                                                                                                                                                                                                                                                                                                                                                                                                                                                                                                                                                                                                                                                                                                                                                                                                                                                                                                                                                                                                                                                                                                                                                                                                                                                                                                                                                                                                                                                                                                                                                                               |                                                                                                                                                                                                                                                                                                                                                                                                                                                                                                                                                                                                                                                                                                                                                                                                                                                                                                                                                                                                                                                                                                                                                                                                                                                                                                                                                                                                                                                                                                                                                                                                                                                                                                                                                                                                                                                                                                                                                                                                                                                                                                                                                                                                                                                                                                                                                                                                                                                                                                                                                                                                                                                                                                                                                                                                                                                                                                                                                                                                                                                                                                                                                                                                     | +0.20                                                                                                                                                                                                                                                                                                                                                                                                                                                                                                                                                                                                                                                                                                                                                                                                                                                                                                                                                                                                                                                                                                                                                                                                                                                                                                                                                                                                                                                                                                                                                                                                                                                                                                                                                                                          |                                                                                                                         | 2,330,000                                                                                                                                                                                                                                                                                                                                                                                                                                                                                                                                                                                                                                                                                                                                                                                                                                                                                                                                                                                                                                                                                                                                                                                                                                                                                                                                                                                                                                                                                                                                                                                                                                                                                                                                                                                                                                                                                                                                                                                                                                                                                                                                                                                                                                                                                                                                                                                                                                                                                                                                                                                                                                                                                                                                                                                                                     | 280,77                                                                                                                                                                                                                                                                                                                                                                                                                                                                                                                                                                                                                                                                                                                                                                                                  | 0 004                                                                                                                                                                                                                                                                                                                                                                                                                                                                                                                                                                                                                                                                                                                                                                                                                                                                                                                                                                                                                                                                                                                                                                                                                                                                                                                                                                                                                                                                                                                                                                                                                                                                                                                                                                                                                                                                                                                                                                                                                                                                                                                          | 5.85                                                                                                                                                                                                                                                                                                                                                                                                                                                                                                                                                                                                                                                                                                                                                                                                                                                                                                                                                                                                                                                                                                                                                                                                                                                                                                                                                                                                                                                                                                                                                                                                                                                                                                                                                                                                                                                                                                                                                                                                                                                                                                                           | 1,5                                                             |
| 5 68 15                                                                                                                                                                                                                                                                                                                                                                                                                                                                                                                                                                                                                                                                                                                                                                                                                                                                                                                                                                                                                                                                                                                                                                                                                                                                                                                                                                                                                                                                                                                                                                                                                                                                                                                                                                                                                                                                                                                                                                                                                                                                                                                                                                                                                                                                                                                                                                                                                                                                                                                                                                                                                     | 46 香港地縣<br>4 香港毛紡<br>17 合與集團                                                                                                                                                                                                                                                                                                                                                                                                                                                                                                                                                                                                                                                                                                                                                                                                                                                                                                                                                                                                                                                                                                                                                                                                                                                                                                                                                                                                                                                                                                                                                                                                                                                                                                                                                                                                                                                                                                                                                                                                                                                                                                                                                                                                                                                                                                                                                                                                                                                                                                                                                                                                                                                                                                                                                                                             | 20.20<br>3.825<br>0.94                                                                                                                                                                                                                                                                                                                                                                                                                                                                                                                                                                                                                                                                                                                                                                                                                                                                                                                                                                                                                                                                                                                                                                                                                                                                                                                                                                                                                                                                                                                                                                                                                                                                                                                                                                                                                                                                                                                                                                                                                                                                                                         | -                                                                                                                                                                                                                                                                                                                                                                                                                                                                                                                                                                                                                                                                                                                                                                                                                                                                                                                                                                                                                                                                                                                                                                                                                                                                                                                                                                                                                                                                                                                                                                                                                                                                                                                                                                                                                                                                                                                                                                                                                                                                                                                              | -                                                                                                                                                                                                                                                                                                                                                                                                                                                                                                                                                                                                                                                                                                                                                                                                                                                                                                                                                                                                                                                                                                                                                                                                                                                                                                                                                                                                                                                                                                                                                                                                                                                                                                                                                                                                                                                                                                                                                                                                                                                                                                                             | 20.20<br>3 775<br>0 94                                                                                                                       | 20.30<br>3.85<br>0.95                                                                                                                                                                                                                                                                                                                                                                                                                                                                                                                                                                                                                                                                                                                                                                                                                                                                                                                                                                                                                                                                                                                                                                                                                                                                                                                                                                                                                                                                                                                                                                                                                                                                                                               | 20,30<br>3 825<br>0 94                                                                                                                                                                                                                                                                                                                                                                                                                                                                                                                                                                                                                                                                                                                                                                                                                                                                                                                                                                                                                                                                                                                                                                                                                                                                                                                                                                                                                                                                                                                                                                                                                                                                                                                                                                                                                                                                                                                                                                                                                                                                                                                                                                                                                                                                                                                                                                                                                                                                                                                                                                                                                                                                                                                                                                                                                                                                                                                                                                                                                                                                                                                                                                              | +0.10                                                                                                                                                                                                                                                                                                                                                                                                                                                                                                                                                                                                                                                                                                                                                                                                                                                                                                                                                                                                                                                                                                                                                                                                                                                                                                                                                                                                                                                                                                                                                                                                                                                                                                                                                                                          | +86                                                                                                                     | 86,000                                                                                                                                                                                                                                                                                                                                                                                                                                                                                                                                                                                                                                                                                                                                                                                                                                                                                                                                                                                                                                                                                                                                                                                                                                                                                                                                                                                                                                                                                                                                                                                                                                                                                                                                                                                                                                                                                                                                                                                                                                                                                                                                                                                                                                                                                                                                                                                                                                                                                                                                                                                                                                                                                                                                                                                                                        |                                                                                                                                                                                                                                                                                                                                                                                                                                                                                                                                                                                                                                                                                                                                                                                                         | - 1.39                                                                                                                                                                                                                                                                                                                                                                                                                                                                                                                                                                                                                                                                                                                                                                                                                                                                                                                                                                                                                                                                                                                                                                                                                                                                                                                                                                                                                                                                                                                                                                                                                                                                                                                                                                                                                                                                                                                                                                                                                                                                                                                         | 4.19                                                                                                                                                                                                                                                                                                                                                                                                                                                                                                                                                                                                                                                                                                                                                                                                                                                                                                                                                                                                                                                                                                                                                                                                                                                                                                                                                                                                                                                                                                                                                                                                                                                                                                                                                                                                                                                                                                                                                                                                                                                                                                                           | 8                                                               |
| 1 27 . 16                                                                                                                                                                                                                                                                                                                                                                                                                                                                                                                                                                                                                                                                                                                                                                                                                                                                                                                                                                                                                                                                                                                                                                                                                                                                                                                                                                                                                                                                                                                                                                                                                                                                                                                                                                                                                                                                                                                                                                                                                                                                                                                                                                                                                                                                                                                                                                                                                                                                                                                                                                                                                   | 7 宮殿集団<br>37 原成科技<br>32 新 章, 見                                                                                                                                                                                                                                                                                                                                                                                                                                                                                                                                                                                                                                                                                                                                                                                                                                                                                                                                                                                                                                                                                                                                                                                                                                                                                                                                                                                                                                                                                                                                                                                                                                                                                                                                                                                                                                                                                                                                                                                                                                                                                                                                                                                                                                                                                                                                                                                                                                                                                                                                                                                                                                                                                                                                                                                           | 1.04                                                                                                                                                                                                                                                                                                                                                                                                                                                                                                                                                                                                                                                                                                                                                                                                                                                                                                                                                                                                                                                                                                                                                                                                                                                                                                                                                                                                                                                                                                                                                                                                                                                                                                                                                                                                                                                                                                                                                                                                                                                                                                                           | 1.03                                                                                                                                                                                                                                                                                                                                                                                                                                                                                                                                                                                                                                                                                                                                                                                                                                                                                                                                                                                                                                                                                                                                                                                                                                                                                                                                                                                                                                                                                                                                                                                                                                                                                                                                                                                                                                                                                                                                                                                                                                                                                                                           | 1.03                                                                                                                                                                                                                                                                                                                                                                                                                                                                                                                                                                                                                                                                                                                                                                                                                                                                                                                                                                                                                                                                                                                                                                                                                                                                                                                                                                                                                                                                                                                                                                                                                                                                                                                                                                                                                                                                                                                                                                                                                                                                                                                          | 1.02                                                                                                                                         | 1.03                                                                                                                                                                                                                                                                                                                                                                                                                                                                                                                                                                                                                                                                                                                                                                                                                                                                                                                                                                                                                                                                                                                                                                                                                                                                                                                                                                                                                                                                                                                                                                                                                                                                                                                                | 1.03                                                                                                                                                                                                                                                                                                                                                                                                                                                                                                                                                                                                                                                                                                                                                                                                                                                                                                                                                                                                                                                                                                                                                                                                                                                                                                                                                                                                                                                                                                                                                                                                                                                                                                                                                                                                                                                                                                                                                                                                                                                                                                                                                                                                                                                                                                                                                                                                                                                                                                                                                                                                                                                                                                                                                                                                                                                                                                                                                                                                                                                                                                                                                                                                | -0 01<br>-0 02                                                                                                                                                                                                                                                                                                                                                                                                                                                                                                                                                                                                                                                                                                                                                                                                                                                                                                                                                                                                                                                                                                                                                                                                                                                                                                                                                                                                                                                                                                                                                                                                                                                                                                                                                                                 | -81<br>-24                                                                                                              | 4,000                                                                                                                                                                                                                                                                                                                                                                                                                                                                                                                                                                                                                                                                                                                                                                                                                                                                                                                                                                                                                                                                                                                                                                                                                                                                                                                                                                                                                                                                                                                                                                                                                                                                                                                                                                                                                                                                                                                                                                                                                                                                                                                                                                                                                                                                                                                                                                                                                                                                                                                                                                                                                                                                                                                                                                                                                         | 4,12                                                                                                                                                                                                                                                                                                                                                                                                                                                                                                                                                                                                                                                                                                                                                                                                    | 0 0.37                                                                                                                                                                                                                                                                                                                                                                                                                                                                                                                                                                                                                                                                                                                                                                                                                                                                                                                                                                                                                                                                                                                                                                                                                                                                                                                                                                                                                                                                                                                                                                                                                                                                                                                                                                                                                                                                                                                                                                                                                                                                                                                         | 5.45                                                                                                                                                                                                                                                                                                                                                                                                                                                                                                                                                                                                                                                                                                                                                                                                                                                                                                                                                                                                                                                                                                                                                                                                                                                                                                                                                                                                                                                                                                                                                                                                                                                                                                                                                                                                                                                                                                                                                                                                                                                                                                                           | 9                                                               |
| 380 17                                                                                                                                                                                                                                                                                                                                                                                                                                                                                                                                                                                                                                                                                                                                                                                                                                                                                                                                                                                                                                                                                                                                                                                                                                                                                                                                                                                                                                                                                                                                                                                                                                                                                                                                                                                                                                                                                                                                                                                                                                                                                                                                                                                                                                                                                                                                                                                                                                                                                                                                                                                                                      | 72 古島印染▲<br>79 池昌電機度股                                                                                                                                                                                                                                                                                                                                                                                                                                                                                                                                                                                                                                                                                                                                                                                                                                                                                                                                                                                                                                                                                                                                                                                                                                                                                                                                                                                                                                                                                                                                                                                                                                                                                                                                                                                                                                                                                                                                                                                                                                                                                                                                                                                                                                                                                                                                                                                                                                                                                                                                                                                                                                                                                                                                                                                                    | 3.025<br>5.20                                                                                                                                                                                                                                                                                                                                                                                                                                                                                                                                                                                                                                                                                                                                                                                                                                                                                                                                                                                                                                                                                                                                                                                                                                                                                                                                                                                                                                                                                                                                                                                                                                                                                                                                                                                                                                                                                                                                                                                                                                                                                                                  | 5 –                                                                                                                                                                                                                                                                                                                                                                                                                                                                                                                                                                                                                                                                                                                                                                                                                                                                                                                                                                                                                                                                                                                                                                                                                                                                                                                                                                                                                                                                                                                                                                                                                                                                                                                                                                                                                                                                                                                                                                                                                                                                                                                            |                                                                                                                                                                                                                                                                                                                                                                                                                                                                                                                                                                                                                                                                                                                                                                                                                                                                                                                                                                                                                                                                                                                                                                                                                                                                                                                                                                                                                                                                                                                                                                                                                                                                                                                                                                                                                                                                                                                                                                                                                                                                                                                               | 2 90                                                                                                                                         | 5 30                                                                                                                                                                                                                                                                                                                                                                                                                                                                                                                                                                                                                                                                                                                                                                                                                                                                                                                                                                                                                                                                                                                                                                                                                                                                                                                                                                                                                                                                                                                                                                                                                                                                                                                                | .3 025<br>5.25                                                                                                                                                                                                                                                                                                                                                                                                                                                                                                                                                                                                                                                                                                                                                                                                                                                                                                                                                                                                                                                                                                                                                                                                                                                                                                                                                                                                                                                                                                                                                                                                                                                                                                                                                                                                                                                                                                                                                                                                                                                                                                                                                                                                                                                                                                                                                                                                                                                                                                                                                                                                                                                                                                                                                                                                                                                                                                                                                                                                                                                                                                                                                                                      |                                                                                                                                                                                                                                                                                                                                                                                                                                                                                                                                                                                                                                                                                                                                                                                                                                                                                                                                                                                                                                                                                                                                                                                                                                                                                                                                                                                                                                                                                                                                                                                                                                                                                                                                                                                                | +59                                                                                                                     |                                                                                                                                                                                                                                                                                                                                                                                                                                                                                                                                                                                                                                                                                                                                                                                                                                                                                                                                                                                                                                                                                                                                                                                                                                                                                                                                                                                                                                                                                                                                                                                                                                                                                                                                                                                                                                                                                                                                                                                                                                                                                                                                                                                                                                                                                                                                                                                                                                                                                                                                                                                                                                                                                                                                                                                                                               |                                                                                                                                                                                                                                                                                                                                                                                                                                                                                                                                                                                                                                                                                                                                                                                                         | - 1.10                                                                                                                                                                                                                                                                                                                                                                                                                                                                                                                                                                                                                                                                                                                                                                                                                                                                                                                                                                                                                                                                                                                                                                                                                                                                                                                                                                                                                                                                                                                                                                                                                                                                                                                                                                                                                                                                                                                                                                                                                                                                                                                         | 9.17                                                                                                                                                                                                                                                                                                                                                                                                                                                                                                                                                                                                                                                                                                                                                                                                                                                                                                                                                                                                                                                                                                                                                                                                                                                                                                                                                                                                                                                                                                                                                                                                                                                                                                                                                                                                                                                                                                                                                                                                                                                                                                                           | 8                                                               |
| 171 18                                                                                                                                                                                                                                                                                                                                                                                                                                                                                                                                                                                                                                                                                                                                                                                                                                                                                                                                                                                                                                                                                                                                                                                                                                                                                                                                                                                                                                                                                                                                                                                                                                                                                                                                                                                                                                                                                                                                                                                                                                                                                                                                                                                                                                                                                                                                                                                                                                                                                                                                                                                                                      | 30 間産集團<br>41 全城工商                                                                                                                                                                                                                                                                                                                                                                                                                                                                                                                                                                                                                                                                                                                                                                                                                                                                                                                                                                                                                                                                                                                                                                                                                                                                                                                                                                                                                                                                                                                                                                                                                                                                                                                                                                                                                                                                                                                                                                                                                                                                                                                                                                                                                                                                                                                                                                                                                                                                                                                                                                                                                                                                                                                                                                                                       | 0.96<br>3.85                                                                                                                                                                                                                                                                                                                                                                                                                                                                                                                                                                                                                                                                                                                                                                                                                                                                                                                                                                                                                                                                                                                                                                                                                                                                                                                                                                                                                                                                                                                                                                                                                                                                                                                                                                                                                                                                                                                                                                                                                                                                                                                   |                                                                                                                                                                                                                                                                                                                                                                                                                                                                                                                                                                                                                                                                                                                                                                                                                                                                                                                                                                                                                                                                                                                                                                                                                                                                                                                                                                                                                                                                                                                                                                                                                                                                                                                                                                                                                                                                                                                                                                                                                                                                                                                                | 5 3.526                                                                                                                                                                                                                                                                                                                                                                                                                                                                                                                                                                                                                                                                                                                                                                                                                                                                                                                                                                                                                                                                                                                                                                                                                                                                                                                                                                                                                                                                                                                                                                                                                                                                                                                                                                                                                                                                                                                                                                                                                                                                                                                       | 0.95<br>3.60                                                                                                                                 | 0 97<br>3.625                                                                                                                                                                                                                                                                                                                                                                                                                                                                                                                                                                                                                                                                                                                                                                                                                                                                                                                                                                                                                                                                                                                                                                                                                                                                                                                                                                                                                                                                                                                                                                                                                                                                                                                       | 0 96<br>3.60                                                                                                                                                                                                                                                                                                                                                                                                                                                                                                                                                                                                                                                                                                                                                                                                                                                                                                                                                                                                                                                                                                                                                                                                                                                                                                                                                                                                                                                                                                                                                                                                                                                                                                                                                                                                                                                                                                                                                                                                                                                                                                                                                                                                                                                                                                                                                                                                                                                                                                                                                                                                                                                                                                                                                                                                                                                                                                                                                                                                                                                                                                                                                                                        | -0.25                                                                                                                                                                                                                                                                                                                                                                                                                                                                                                                                                                                                                                                                                                                                                                                                                                                                                                                                                                                                                                                                                                                                                                                                                                                                                                                                                                                                                                                                                                                                                                                                                                                                                                                                                                                          | -3                                                                                                                      | 186,000                                                                                                                                                                                                                                                                                                                                                                                                                                                                                                                                                                                                                                                                                                                                                                                                                                                                                                                                                                                                                                                                                                                                                                                                                                                                                                                                                                                                                                                                                                                                                                                                                                                                                                                                                                                                                                                                                                                                                                                                                                                                                                                                                                                                                                                                                                                                                                                                                                                                                                                                                                                                                                                                                                                                                                                                                       | 0. 680,72                                                                                                                                                                                                                                                                                                                                                                                                                                                                                                                                                                                                                                                                                                                                                                                               | - 0.35<br>5 1.31                                                                                                                                                                                                                                                                                                                                                                                                                                                                                                                                                                                                                                                                                                                                                                                                                                                                                                                                                                                                                                                                                                                                                                                                                                                                                                                                                                                                                                                                                                                                                                                                                                                                                                                                                                                                                                                                                                                                                                                                                                                                                                               | 13.52                                                                                                                                                                                                                                                                                                                                                                                                                                                                                                                                                                                                                                                                                                                                                                                                                                                                                                                                                                                                                                                                                                                                                                                                                                                                                                                                                                                                                                                                                                                                                                                                                                                                                                                                                                                                                                                                                                                                                                                                                                                                                                                          | 4                                                               |
| 1.11 49<br>1.17 18                                                                                                                                                                                                                                                                                                                                                                                                                                                                                                                                                                                                                                                                                                                                                                                                                                                                                                                                                                                                                                                                                                                                                                                                                                                                                                                                                                                                                                                                                                                                                                                                                                                                                                                                                                                                                                                                                                                                                                                                                                                                                                                                                                                                                                                                                                                                                                                                                                                                                                                                                                                                          | 99 建生电子<br>86 隆輝集團                                                                                                                                                                                                                                                                                                                                                                                                                                                                                                                                                                                                                                                                                                                                                                                                                                                                                                                                                                                                                                                                                                                                                                                                                                                                                                                                                                                                                                                                                                                                                                                                                                                                                                                                                                                                                                                                                                                                                                                                                                                                                                                                                                                                                                                                                                                                                                                                                                                                                                                                                                                                                                                                                                                                                                                                       | 0.84<br>0.409                                                                                                                                                                                                                                                                                                                                                                                                                                                                                                                                                                                                                                                                                                                                                                                                                                                                                                                                                                                                                                                                                                                                                                                                                                                                                                                                                                                                                                                                                                                                                                                                                                                                                                                                                                                                                                                                                                                                                                                                                                                                                                                  | 0.80<br>5 0.4                                                                                                                                                                                                                                                                                                                                                                                                                                                                                                                                                                                                                                                                                                                                                                                                                                                                                                                                                                                                                                                                                                                                                                                                                                                                                                                                                                                                                                                                                                                                                                                                                                                                                                                                                                                                                                                                                                                                                                                                                                                                                                                  | 6 0.81<br>15 0.405                                                                                                                                                                                                                                                                                                                                                                                                                                                                                                                                                                                                                                                                                                                                                                                                                                                                                                                                                                                                                                                                                                                                                                                                                                                                                                                                                                                                                                                                                                                                                                                                                                                                                                                                                                                                                                                                                                                                                                                                                                                                                                            | 0.85<br>0.41                                                                                                                                 | 0 87<br>0 415                                                                                                                                                                                                                                                                                                                                                                                                                                                                                                                                                                                                                                                                                                                                                                                                                                                                                                                                                                                                                                                                                                                                                                                                                                                                                                                                                                                                                                                                                                                                                                                                                                                                                                                       | 0.86<br>0.415                                                                                                                                                                                                                                                                                                                                                                                                                                                                                                                                                                                                                                                                                                                                                                                                                                                                                                                                                                                                                                                                                                                                                                                                                                                                                                                                                                                                                                                                                                                                                                                                                                                                                                                                                                                                                                                                                                                                                                                                                                                                                                                                                                                                                                                                                                                                                                                                                                                                                                                                                                                                                                                                                                                                                                                                                                                                                                                                                                                                                                                                                                                                                                                       | +0.02<br>5 +0.01                                                                                                                                                                                                                                                                                                                                                                                                                                                                                                                                                                                                                                                                                                                                                                                                                                                                                                                                                                                                                                                                                                                                                                                                                                                                                                                                                                                                                                                                                                                                                                                                                                                                                                                                                                               | +25<br>+23                                                                                                              | 1,184,000<br>3,172,000                                                                                                                                                                                                                                                                                                                                                                                                                                                                                                                                                                                                                                                                                                                                                                                                                                                                                                                                                                                                                                                                                                                                                                                                                                                                                                                                                                                                                                                                                                                                                                                                                                                                                                                                                                                                                                                                                                                                                                                                                                                                                                                                                                                                                                                                                                                                                                                                                                                                                                                                                                                                                                                                                                                                                                                                        | 0 1,005,00<br>0 1,299,87                                                                                                                                                                                                                                                                                                                                                                                                                                                                                                                                                                                                                                                                                                                                                                                | 0 0.31                                                                                                                                                                                                                                                                                                                                                                                                                                                                                                                                                                                                                                                                                                                                                                                                                                                                                                                                                                                                                                                                                                                                                                                                                                                                                                                                                                                                                                                                                                                                                                                                                                                                                                                                                                                                                                                                                                                                                                                                                                                                                                                         | 5,30<br>17.58                                                                                                                                                                                                                                                                                                                                                                                                                                                                                                                                                                                                                                                                                                                                                                                                                                                                                                                                                                                                                                                                                                                                                                                                                                                                                                                                                                                                                                                                                                                                                                                                                                                                                                                                                                                                                                                                                                                                                                                                                                                                                                                  | 8                                                               |
| 2.975 19<br>3.40 41                                                                                                                                                                                                                                                                                                                                                                                                                                                                                                                                                                                                                                                                                                                                                                                                                                                                                                                                                                                                                                                                                                                                                                                                                                                                                                                                                                                                                                                                                                                                                                                                                                                                                                                                                                                                                                                                                                                                                                                                                                                                                                                                                                                                                                                                                                                                                                                                                                                                                                                                                                                                         | 91 魔新國際▲<br>11 南 解                                                                                                                                                                                                                                                                                                                                                                                                                                                                                                                                                                                                                                                                                                                                                                                                                                                                                                                                                                                                                                                                                                                                                                                                                                                                                                                                                                                                                                                                                                                                                                                                                                                                                                                                                                                                                                                                                                                                                                                                                                                                                                                                                                                                                                                                                                                                                                                                                                                                                                                                                                                                                                                                                                                                                                                                       | 1.918<br>7.95                                                                                                                                                                                                                                                                                                                                                                                                                                                                                                                                                                                                                                                                                                                                                                                                                                                                                                                                                                                                                                                                                                                                                                                                                                                                                                                                                                                                                                                                                                                                                                                                                                                                                                                                                                                                                                                                                                                                                                                                                                                                                                                  | 7.9                                                                                                                                                                                                                                                                                                                                                                                                                                                                                                                                                                                                                                                                                                                                                                                                                                                                                                                                                                                                                                                                                                                                                                                                                                                                                                                                                                                                                                                                                                                                                                                                                                                                                                                                                                                                                                                                                                                                                                                                                                                                                                                            | 7.95                                                                                                                                                                                                                                                                                                                                                                                                                                                                                                                                                                                                                                                                                                                                                                                                                                                                                                                                                                                                                                                                                                                                                                                                                                                                                                                                                                                                                                                                                                                                                                                                                                                                                                                                                                                                                                                                                                                                                                                                                                                                                                                          |                                                                                                                                              | 1.94<br>7.95                                                                                                                                                                                                                                                                                                                                                                                                                                                                                                                                                                                                                                                                                                                                                                                                                                                                                                                                                                                                                                                                                                                                                                                                                                                                                                                                                                                                                                                                                                                                                                                                                                                                                                                        | 1,93<br>7,95                                                                                                                                                                                                                                                                                                                                                                                                                                                                                                                                                                                                                                                                                                                                                                                                                                                                                                                                                                                                                                                                                                                                                                                                                                                                                                                                                                                                                                                                                                                                                                                                                                                                                                                                                                                                                                                                                                                                                                                                                                                                                                                                                                                                                                                                                                                                                                                                                                                                                                                                                                                                                                                                                                                                                                                                                                                                                                                                                                                                                                                                                                                                                                                        | +0.015                                                                                                                                                                                                                                                                                                                                                                                                                                                                                                                                                                                                                                                                                                                                                                                                                                                                                                                                                                                                                                                                                                                                                                                                                                                                                                                                                                                                                                                                                                                                                                                                                                                                                                                                                                                         | _                                                                                                                       | 6,000                                                                                                                                                                                                                                                                                                                                                                                                                                                                                                                                                                                                                                                                                                                                                                                                                                                                                                                                                                                                                                                                                                                                                                                                                                                                                                                                                                                                                                                                                                                                                                                                                                                                                                                                                                                                                                                                                                                                                                                                                                                                                                                                                                                                                                                                                                                                                                                                                                                                                                                                                                                                                                                                                                                                                                                                                         | 0 47,70                                                                                                                                                                                                                                                                                                                                                                                                                                                                                                                                                                                                                                                                                                                                                                                                 | 0 288                                                                                                                                                                                                                                                                                                                                                                                                                                                                                                                                                                                                                                                                                                                                                                                                                                                                                                                                                                                                                                                                                                                                                                                                                                                                                                                                                                                                                                                                                                                                                                                                                                                                                                                                                                                                                                                                                                                                                                                                                                                                                                                          | 10 90                                                                                                                                                                                                                                                                                                                                                                                                                                                                                                                                                                                                                                                                                                                                                                                                                                                                                                                                                                                                                                                                                                                                                                                                                                                                                                                                                                                                                                                                                                                                                                                                                                                                                                                                                                                                                                                                                                                                                                                                                                                                                                                          | 3                                                               |
| 2.932 36                                                                                                                                                                                                                                                                                                                                                                                                                                                                                                                                                                                                                                                                                                                                                                                                                                                                                                                                                                                                                                                                                                                                                                                                                                                                                                                                                                                                                                                                                                                                                                                                                                                                                                                                                                                                                                                                                                                                                                                                                                                                                                                                                                                                                                                                                                                                                                                                                                                                                                                                                                                                                    | 39 羅氏國際<br>86 陸氏實業                                                                                                                                                                                                                                                                                                                                                                                                                                                                                                                                                                                                                                                                                                                                                                                                                                                                                                                                                                                                                                                                                                                                                                                                                                                                                                                                                                                                                                                                                                                                                                                                                                                                                                                                                                                                                                                                                                                                                                                                                                                                                                                                                                                                                                                                                                                                                                                                                                                                                                                                                                                                                                                                                                                                                                                                       | 0.80                                                                                                                                                                                                                                                                                                                                                                                                                                                                                                                                                                                                                                                                                                                                                                                                                                                                                                                                                                                                                                                                                                                                                                                                                                                                                                                                                                                                                                                                                                                                                                                                                                                                                                                                                                                                                                                                                                                                                                                                                                                                                                                           |                                                                                                                                                                                                                                                                                                                                                                                                                                                                                                                                                                                                                                                                                                                                                                                                                                                                                                                                                                                                                                                                                                                                                                                                                                                                                                                                                                                                                                                                                                                                                                                                                                                                                                                                                                                                                                                                                                                                                                                                                                                                                                                                | 0 080                                                                                                                                                                                                                                                                                                                                                                                                                                                                                                                                                                                                                                                                                                                                                                                                                                                                                                                                                                                                                                                                                                                                                                                                                                                                                                                                                                                                                                                                                                                                                                                                                                                                                                                                                                                                                                                                                                                                                                                                                                                                                                                         | 080                                                                                                                                          | 1 56<br>0 82                                                                                                                                                                                                                                                                                                                                                                                                                                                                                                                                                                                                                                                                                                                                                                                                                                                                                                                                                                                                                                                                                                                                                                                                                                                                                                                                                                                                                                                                                                                                                                                                                                                                                                                        | 1.55<br>0.80                                                                                                                                                                                                                                                                                                                                                                                                                                                                                                                                                                                                                                                                                                                                                                                                                                                                                                                                                                                                                                                                                                                                                                                                                                                                                                                                                                                                                                                                                                                                                                                                                                                                                                                                                                                                                                                                                                                                                                                                                                                                                                                                                                                                                                                                                                                                                                                                                                                                                                                                                                                                                                                                                                                                                                                                                                                                                                                                                                                                                                                                                                                                                                                        | 1                                                                                                                                                                                                                                                                                                                                                                                                                                                                                                                                                                                                                                                                                                                                                                                                                                                                                                                                                                                                                                                                                                                                                                                                                                                                                                                                                                                                                                                                                                                                                                                                                                                                                                                                                                                              | +11                                                                                                                     | 0.40.00                                                                                                                                                                                                                                                                                                                                                                                                                                                                                                                                                                                                                                                                                                                                                                                                                                                                                                                                                                                                                                                                                                                                                                                                                                                                                                                                                                                                                                                                                                                                                                                                                                                                                                                                                                                                                                                                                                                                                                                                                                                                                                                                                                                                                                                                                                                                                                                                                                                                                                                                                                                                                                                                                                                                                                                                                       | 0 192,00                                                                                                                                                                                                                                                                                                                                                                                                                                                                                                                                                                                                                                                                                                                                                                                                | 0.29                                                                                                                                                                                                                                                                                                                                                                                                                                                                                                                                                                                                                                                                                                                                                                                                                                                                                                                                                                                                                                                                                                                                                                                                                                                                                                                                                                                                                                                                                                                                                                                                                                                                                                                                                                                                                                                                                                                                                                                                                                                                                                                           | 1.37                                                                                                                                                                                                                                                                                                                                                                                                                                                                                                                                                                                                                                                                                                                                                                                                                                                                                                                                                                                                                                                                                                                                                                                                                                                                                                                                                                                                                                                                                                                                                                                                                                                                                                                                                                                                                                                                                                                                                                                                                                                                                                                           | 17                                                              |
| 0 908 21                                                                                                                                                                                                                                                                                                                                                                                                                                                                                                                                                                                                                                                                                                                                                                                                                                                                                                                                                                                                                                                                                                                                                                                                                                                                                                                                                                                                                                                                                                                                                                                                                                                                                                                                                                                                                                                                                                                                                                                                                                                                                                                                                                                                                                                                                                                                                                                                                                                                                                                                                                                                                    | 12 南洋集團 13 榮聲電子                                                                                                                                                                                                                                                                                                                                                                                                                                                                                                                                                                                                                                                                                                                                                                                                                                                                                                                                                                                                                                                                                                                                                                                                                                                                                                                                                                                                                                                                                                                                                                                                                                                                                                                                                                                                                                                                                                                                                                                                                                                                                                                                                                                                                                                                                                                                                                                                                                                                                                                                                                                                                                                                                                                                                                                                          | 6.00<br>0.65                                                                                                                                                                                                                                                                                                                                                                                                                                                                                                                                                                                                                                                                                                                                                                                                                                                                                                                                                                                                                                                                                                                                                                                                                                                                                                                                                                                                                                                                                                                                                                                                                                                                                                                                                                                                                                                                                                                                                                                                                                                                                                                   | 0.60                                                                                                                                                                                                                                                                                                                                                                                                                                                                                                                                                                                                                                                                                                                                                                                                                                                                                                                                                                                                                                                                                                                                                                                                                                                                                                                                                                                                                                                                                                                                                                                                                                                                                                                                                                                                                                                                                                                                                                                                                                                                                                                           |                                                                                                                                                                                                                                                                                                                                                                                                                                                                                                                                                                                                                                                                                                                                                                                                                                                                                                                                                                                                                                                                                                                                                                                                                                                                                                                                                                                                                                                                                                                                                                                                                                                                                                                                                                                                                                                                                                                                                                                                                                                                                                                               | eral acceptance in the con-                                                                                                                  | 067                                                                                                                                                                                                                                                                                                                                                                                                                                                                                                                                                                                                                                                                                                                                                                                                                                                                                                                                                                                                                                                                                                                                                                                                                                                                                                                                                                                                                                                                                                                                                                                                                                                                                                                                 | 0.66<br>0.66                                                                                                                                                                                                                                                                                                                                                                                                                                                                                                                                                                                                                                                                                                                                                                                                                                                                                                                                                                                                                                                                                                                                                                                                                                                                                                                                                                                                                                                                                                                                                                                                                                                                                                                                                                                                                                                                                                                                                                                                                                                                                                                                                                                                                                                                                                                                                                                                                                                                                                                                                                                                                                                                                                                                                                                                                                                                                                                                                                                                                                                                                                                                                                                        | +0.01                                                                                                                                                                                                                                                                                                                                                                                                                                                                                                                                                                                                                                                                                                                                                                                                                                                                                                                                                                                                                                                                                                                                                                                                                                                                                                                                                                                                                                                                                                                                                                                                                                                                                                                                                                                          | +40                                                                                                                     |                                                                                                                                                                                                                                                                                                                                                                                                                                                                                                                                                                                                                                                                                                                                                                                                                                                                                                                                                                                                                                                                                                                                                                                                                                                                                                                                                                                                                                                                                                                                                                                                                                                                                                                                                                                                                                                                                                                                                                                                                                                                                                                                                                                                                                                                                                                                                                                                                                                                                                                                                                                                                                                                                                                                                                                                                               | 0 129,19                                                                                                                                                                                                                                                                                                                                                                                                                                                                                                                                                                                                                                                                                                                                                                                                |                                                                                                                                                                                                                                                                                                                                                                                                                                                                                                                                                                                                                                                                                                                                                                                                                                                                                                                                                                                                                                                                                                                                                                                                                                                                                                                                                                                                                                                                                                                                                                                                                                                                                                                                                                                                                                                                                                                                                                                                                                                                                                                                | 5.66                                                                                                                                                                                                                                                                                                                                                                                                                                                                                                                                                                                                                                                                                                                                                                                                                                                                                                                                                                                                                                                                                                                                                                                                                                                                                                                                                                                                                                                                                                                                                                                                                                                                                                                                                                                                                                                                                                                                                                                                                                                                                                                           | 11                                                              |
| 2 20   17                                                                                                                                                                                                                                                                                                                                                                                                                                                                                                                                                                                                                                                                                                                                                                                                                                                                                                                                                                                                                                                                                                                                                                                                                                                                                                                                                                                                                                                                                                                                                                                                                                                                                                                                                                                                                                                                                                                                                                                                                                                                                                                                                                                                                                                                                                                                                                                                                                                                                                                                                                                                                   | 78 永新企業                                                                                                                                                                                                                                                                                                                                                                                                                                                                                                                                                                                                                                                                                                                                                                                                                                                                                                                                                                                                                                                                                                                                                                                                                                                                                                                                                                                                                                                                                                                                                                                                                                                                                                                                                                                                                                                                                                                                                                                                                                                                                                                                                                                                                                                                                                                                                                                                                                                                                                                                                                                                                                                                                                                                                                                                                  |                                                                                                                                                                                                                                                                                                                                                                                                                                                                                                                                                                                                                                                                                                                                                                                                                                                                                                                                                                                                                                                                                                                                                                                                                                                                                                                                                                                                                                                                                                                                                                                                                                                                                                                                                                                                                                                                                                                                                                                                                                                                                                                                | 1.5                                                                                                                                                                                                                                                                                                                                                                                                                                                                                                                                                                                                                                                                                                                                                                                                                                                                                                                                                                                                                                                                                                                                                                                                                                                                                                                                                                                                                                                                                                                                                                                                                                                                                                                                                                                                                                                                                                                                                                                                                                                                                                                            |                                                                                                                                                                                                                                                                                                                                                                                                                                                                                                                                                                                                                                                                                                                                                                                                                                                                                                                                                                                                                                                                                                                                                                                                                                                                                                                                                                                                                                                                                                                                                                                                                                                                                                                                                                                                                                                                                                                                                                                                                                                                                                                               | 1 29                                                                                                                                         | 1 58<br>1 32<br>0 395                                                                                                                                                                                                                                                                                                                                                                                                                                                                                                                                                                                                                                                                                                                                                                                                                                                                                                                                                                                                                                                                                                                                                                                                                                                                                                                                                                                                                                                                                                                                                                                                                                                                                                               | 1.58<br>130<br>038                                                                                                                                                                                                                                                                                                                                                                                                                                                                                                                                                                                                                                                                                                                                                                                                                                                                                                                                                                                                                                                                                                                                                                                                                                                                                                                                                                                                                                                                                                                                                                                                                                                                                                                                                                                                                                                                                                                                                                                                                                                                                                                                                                                                                                                                                                                                                                                                                                                                                                                                                                                                                                                                                                                                                                                                                                                                                                                                                                                                                                                                                                                                                                                  |                                                                                                                                                                                                                                                                                                                                                                                                                                                                                                                                                                                                                                                                                                                                                                                                                                                                                                                                                                                                                                                                                                                                                                                                                                                                                                                                                                                                                                                                                                                                                                                                                                                                                                                                                                                                | +47<br>+70<br>-54                                                                                                       | 128,00                                                                                                                                                                                                                                                                                                                                                                                                                                                                                                                                                                                                                                                                                                                                                                                                                                                                                                                                                                                                                                                                                                                                                                                                                                                                                                                                                                                                                                                                                                                                                                                                                                                                                                                                                                                                                                                                                                                                                                                                                                                                                                                                                                                                                                                                                                                                                                                                                                                                                                                                                                                                                                                                                                                                                                                                                        | 0 166,02                                                                                                                                                                                                                                                                                                                                                                                                                                                                                                                                                                                                                                                                                                                                                                                                | 0 047                                                                                                                                                                                                                                                                                                                                                                                                                                                                                                                                                                                                                                                                                                                                                                                                                                                                                                                                                                                                                                                                                                                                                                                                                                                                                                                                                                                                                                                                                                                                                                                                                                                                                                                                                                                                                                                                                                                                                                                                                                                                                                                          | 12.32                                                                                                                                                                                                                                                                                                                                                                                                                                                                                                                                                                                                                                                                                                                                                                                                                                                                                                                                                                                                                                                                                                                                                                                                                                                                                                                                                                                                                                                                                                                                                                                                                                                                                                                                                                                                                                                                                                                                                                                                                                                                                                                          | 2                                                               |
| 1 33 07                                                                                                                                                                                                                                                                                                                                                                                                                                                                                                                                                                                                                                                                                                                                                                                                                                                                                                                                                                                                                                                                                                                                                                                                                                                                                                                                                                                                                                                                                                                                                                                                                                                                                                                                                                                                                                                                                                                                                                                                                                                                                                                                                                                                                                                                                                                                                                                                                                                                                                                                                                                                                     | 75 彩星集直<br>43 足質関際                                                                                                                                                                                                                                                                                                                                                                                                                                                                                                                                                                                                                                                                                                                                                                                                                                                                                                                                                                                                                                                                                                                                                                                                                                                                                                                                                                                                                                                                                                                                                                                                                                                                                                                                                                                                                                                                                                                                                                                                                                                                                                                                                                                                                                                                                                                                                                                                                                                                                                                                                                                                                                                                                                                                                                                                       | 1.56                                                                                                                                                                                                                                                                                                                                                                                                                                                                                                                                                                                                                                                                                                                                                                                                                                                                                                                                                                                                                                                                                                                                                                                                                                                                                                                                                                                                                                                                                                                                                                                                                                                                                                                                                                                                                                                                                                                                                                                                                                                                                                                           |                                                                                                                                                                                                                                                                                                                                                                                                                                                                                                                                                                                                                                                                                                                                                                                                                                                                                                                                                                                                                                                                                                                                                                                                                                                                                                                                                                                                                                                                                                                                                                                                                                                                                                                                                                                                                                                                                                                                                                                                                                                                                                                                |                                                                                                                                                                                                                                                                                                                                                                                                                                                                                                                                                                                                                                                                                                                                                                                                                                                                                                                                                                                                                                                                                                                                                                                                                                                                                                                                                                                                                                                                                                                                                                                                                                                                                                                                                                                                                                                                                                                                                                                                                                                                                                                               | 0 385                                                                                                                                        |                                                                                                                                                                                                                                                                                                                                                                                                                                                                                                                                                                                                                                                                                                                                                                                                                                                                                                                                                                                                                                                                                                                                                                                                                                                                                                                                                                                                                                                                                                                                                                                                                                                                                                                                     | 0.38                                                                                                                                                                                                                                                                                                                                                                                                                                                                                                                                                                                                                                                                                                                                                                                                                                                                                                                                                                                                                                                                                                                                                                                                                                                                                                                                                                                                                                                                                                                                                                                                                                                                                                                                                                                                                                                                                                                                                                                                                                                                                                                                                                                                                                                                                                                                                                                                                                                                                                                                                                                                                                                                                                                                                                                                                                                                                                                                                                                                                                                                                                                                                                                                |                                                                                                                                                                                                                                                                                                                                                                                                                                                                                                                                                                                                                                                                                                                                                                                                                                                                                                                                                                                                                                                                                                                                                                                                                                                                                                                                                                                                                                                                                                                                                                                                                                                                                                                                                                                                | -54                                                                                                                     | 0.073,86                                                                                                                                                                                                                                                                                                                                                                                                                                                                                                                                                                                                                                                                                                                                                                                                                                                                                                                                                                                                                                                                                                                                                                                                                                                                                                                                                                                                                                                                                                                                                                                                                                                                                                                                                                                                                                                                                                                                                                                                                                                                                                                                                                                                                                                                                                                                                                                                                                                                                                                                                                                                                                                                                                                                                                                                                      |                                                                                                                                                                                                                                                                                                                                                                                                                                                                                                                                                                                                                                                                                                                                                                                                         |                                                                                                                                                                                                                                                                                                                                                                                                                                                                                                                                                                                                                                                                                                                                                                                                                                                                                                                                                                                                                                                                                                                                                                                                                                                                                                                                                                                                                                                                                                                                                                                                                                                                                                                                                                                                                                                                                                                                                                                                                                                                                                                                |                                                                                                                                                                                                                                                                                                                                                                                                                                                                                                                                                                                                                                                                                                                                                                                                                                                                                                                                                                                                                                                                                                                                                                                                                                                                                                                                                                                                                                                                                                                                                                                                                                                                                                                                                                                                                                                                                                                                                                                                                                                                                                                                | 14                                                              |
| 1 33 07<br>0 56 24<br>0 40 , 52                                                                                                                                                                                                                                                                                                                                                                                                                                                                                                                                                                                                                                                                                                                                                                                                                                                                                                                                                                                                                                                                                                                                                                                                                                                                                                                                                                                                                                                                                                                                                                                                                                                                                                                                                                                                                                                                                                                                                                                                                                                                                                                                                                                                                                                                                                                                                                                                                                                                                                                                                                                             | 43 品質國際<br>23 品質國際(優)                                                                                                                                                                                                                                                                                                                                                                                                                                                                                                                                                                                                                                                                                                                                                                                                                                                                                                                                                                                                                                                                                                                                                                                                                                                                                                                                                                                                                                                                                                                                                                                                                                                                                                                                                                                                                                                                                                                                                                                                                                                                                                                                                                                                                                                                                                                                                                                                                                                                                                                                                                                                                                                                                                                                                                                                    | 1,29<br>0,39<br>0,33                                                                                                                                                                                                                                                                                                                                                                                                                                                                                                                                                                                                                                                                                                                                                                                                                                                                                                                                                                                                                                                                                                                                                                                                                                                                                                                                                                                                                                                                                                                                                                                                                                                                                                                                                                                                                                                                                                                                                                                                                                                                                                           | 0.3<br>5 0.3                                                                                                                                                                                                                                                                                                                                                                                                                                                                                                                                                                                                                                                                                                                                                                                                                                                                                                                                                                                                                                                                                                                                                                                                                                                                                                                                                                                                                                                                                                                                                                                                                                                                                                                                                                                                                                                                                                                                                                                                                                                                                                                   | 95 038                                                                                                                                                                                                                                                                                                                                                                                                                                                                                                                                                                                                                                                                                                                                                                                                                                                                                                                                                                                                                                                                                                                                                                                                                                                                                                                                                                                                                                                                                                                                                                                                                                                                                                                                                                                                                                                                                                                                                                                                                                                                                                                        | 0 335                                                                                                                                        |                                                                                                                                                                                                                                                                                                                                                                                                                                                                                                                                                                                                                                                                                                                                                                                                                                                                                                                                                                                                                                                                                                                                                                                                                                                                                                                                                                                                                                                                                                                                                                                                                                                                                                                                     |                                                                                                                                                                                                                                                                                                                                                                                                                                                                                                                                                                                                                                                                                                                                                                                                                                                                                                                                                                                                                                                                                                                                                                                                                                                                                                                                                                                                                                                                                                                                                                                                                                                                                                                                                                                                                                                                                                                                                                                                                                                                                                                                                                                                                                                                                                                                                                                                                                                                                                                                                                                                                                                                                                                                                                                                                                                                                                                                                                                                                                                                                                                                                                                                     |                                                                                                                                                                                                                                                                                                                                                                                                                                                                                                                                                                                                                                                                                                                                                                                                                                                                                                                                                                                                                                                                                                                                                                                                                                                                                                                                                                                                                                                                                                                                                                                                                                                                                                                                                                                                | -                                                                                                                       |                                                                                                                                                                                                                                                                                                                                                                                                                                                                                                                                                                                                                                                                                                                                                                                                                                                                                                                                                                                                                                                                                                                                                                                                                                                                                                                                                                                                                                                                                                                                                                                                                                                                                                                                                                                                                                                                                                                                                                                                                                                                                                                                                                                                                                                                                                                                                                                                                                                                                                                                                                                                                                                                                                                                                                                                                               | 3 33,96                                                                                                                                                                                                                                                                                                                                                                                                                                                                                                                                                                                                                                                                                                                                                                                                 |                                                                                                                                                                                                                                                                                                                                                                                                                                                                                                                                                                                                                                                                                                                                                                                                                                                                                                                                                                                                                                                                                                                                                                                                                                                                                                                                                                                                                                                                                                                                                                                                                                                                                                                                                                                                                                                                                                                                                                                                                                                                                                                                | 4 09                                                                                                                                                                                                                                                                                                                                                                                                                                                                                                                                                                                                                                                                                                                                                                                                                                                                                                                                                                                                                                                                                                                                                                                                                                                                                                                                                                                                                                                                                                                                                                                                                                                                                                                                                                                                                                                                                                                                                                                                                                                                                                                           | 10                                                              |
| 1 33 07<br>0 56 24<br>0 40 52<br>3 26 22<br>0 94 47                                                                                                                                                                                                                                                                                                                                                                                                                                                                                                                                                                                                                                                                                                                                                                                                                                                                                                                                                                                                                                                                                                                                                                                                                                                                                                                                                                                                                                                                                                                                                                                                                                                                                                                                                                                                                                                                                                                                                                                                                                                                                                                                                                                                                                                                                                                                                                                                                                                                                                                                                                         | 43 品質國際                                                                                                                                                                                                                                                                                                                                                                                                                                                                                                                                                                                                                                                                                                                                                                                                                                                                                                                                                                                                                                                                                                                                                                                                                                                                                                                                                                                                                                                                                                                                                                                                                                                                                                                                                                                                                                                                                                                                                                                                                                                                                                                                                                                                                                                                                                                                                                                                                                                                                                                                                                                                                                                                                                                                                                                                                  | 1.29<br>0.39                                                                                                                                                                                                                                                                                                                                                                                                                                                                                                                                                                                                                                                                                                                                                                                                                                                                                                                                                                                                                                                                                                                                                                                                                                                                                                                                                                                                                                                                                                                                                                                                                                                                                                                                                                                                                                                                                                                                                                                                                                                                                                                   | 0.39<br>5 0.39<br>5 -                                                                                                                                                                                                                                                                                                                                                                                                                                                                                                                                                                                                                                                                                                                                                                                                                                                                                                                                                                                                                                                                                                                                                                                                                                                                                                                                                                                                                                                                                                                                                                                                                                                                                                                                                                                                                                                                                                                                                                                                                                                                                                          | 95 038!<br>35 0.33                                                                                                                                                                                                                                                                                                                                                                                                                                                                                                                                                                                                                                                                                                                                                                                                                                                                                                                                                                                                                                                                                                                                                                                                                                                                                                                                                                                                                                                                                                                                                                                                                                                                                                                                                                                                                                                                                                                                                                                                                                                                                                            | -                                                                                                                                            | 2.55                                                                                                                                                                                                                                                                                                                                                                                                                                                                                                                                                                                                                                                                                                                                                                                                                                                                                                                                                                                                                                                                                                                                                                                                                                                                                                                                                                                                                                                                                                                                                                                                                                                                                                                                | 2.52                                                                                                                                                                                                                                                                                                                                                                                                                                                                                                                                                                                                                                                                                                                                                                                                                                                                                                                                                                                                                                                                                                                                                                                                                                                                                                                                                                                                                                                                                                                                                                                                                                                                                                                                                                                                                                                                                                                                                                                                                                                                                                                                                                                                                                                                                                                                                                                                                                                                                                                                                                                                                                                                                                                                                                                                                                                                                                                                                                                                                                                                                                                                                                                                | 5 –                                                                                                                                                                                                                                                                                                                                                                                                                                                                                                                                                                                                                                                                                                                                                                                                                                                                                                                                                                                                                                                                                                                                                                                                                                                                                                                                                                                                                                                                                                                                                                                                                                                                                                                                                                                            | _                                                                                                                       | -                                                                                                                                                                                                                                                                                                                                                                                                                                                                                                                                                                                                                                                                                                                                                                                                                                                                                                                                                                                                                                                                                                                                                                                                                                                                                                                                                                                                                                                                                                                                                                                                                                                                                                                                                                                                                                                                                                                                                                                                                                                                                                                                                                                                                                                                                                                                                                                                                                                                                                                                                                                                                                                                                                                                                                                                                             |                                                                                                                                                                                                                                                                                                                                                                                                                                                                                                                                                                                                                                                                                                                                                                                                         | - 092                                                                                                                                                                                                                                                                                                                                                                                                                                                                                                                                                                                                                                                                                                                                                                                                                                                                                                                                                                                                                                                                                                                                                                                                                                                                                                                                                                                                                                                                                                                                                                                                                                                                                                                                                                                                                                                                                                                                                                                                                                                                                                                          | 6 16                                                                                                                                                                                                                                                                                                                                                                                                                                                                                                                                                                                                                                                                                                                                                                                                                                                                                                                                                                                                                                                                                                                                                                                                                                                                                                                                                                                                                                                                                                                                                                                                                                                                                                                                                                                                                                                                                                                                                                                                                                                                                                                           | 7                                                               |
| 1 33 07<br>0 56 24<br>0 40 52<br>3 26 22<br>0 94 47<br>0 91 23                                                                                                                                                                                                                                                                                                                                                                                                                                                                                                                                                                                                                                                                                                                                                                                                                                                                                                                                                                                                                                                                                                                                                                                                                                                                                                                                                                                                                                                                                                                                                                                                                                                                                                                                                                                                                                                                                                                                                                                                                                                                                                                                                                                                                                                                                                                                                                                                                                                                                                                                                              | 43 品質國際<br>23 品質國際(優)<br>29 利民實業<br>72 鴻連衛子                                                                                                                                                                                                                                                                                                                                                                                                                                                                                                                                                                                                                                                                                                                                                                                                                                                                                                                                                                                                                                                                                                                                                                                                                                                                                                                                                                                                                                                                                                                                                                                                                                                                                                                                                                                                                                                                                                                                                                                                                                                                                                                                                                                                                                                                                                                                                                                                                                                                                                                                                                                                                                                                                                                                                                              | 1,29<br>0,39<br>0,33<br>2,52<br>0,38                                                                                                                                                                                                                                                                                                                                                                                                                                                                                                                                                                                                                                                                                                                                                                                                                                                                                                                                                                                                                                                                                                                                                                                                                                                                                                                                                                                                                                                                                                                                                                                                                                                                                                                                                                                                                                                                                                                                                                                                                                                                                           | 0.39<br>5 0.39<br>5 0.39<br>- 7.6                                                                                                                                                                                                                                                                                                                                                                                                                                                                                                                                                                                                                                                                                                                                                                                                                                                                                                                                                                                                                                                                                                                                                                                                                                                                                                                                                                                                                                                                                                                                                                                                                                                                                                                                                                                                                                                                                                                                                                                                                                                                                              | 95 0.38<br>35 0.33<br>-<br>95 0.38<br>-<br>0 7.60                                                                                                                                                                                                                                                                                                                                                                                                                                                                                                                                                                                                                                                                                                                                                                                                                                                                                                                                                                                                                                                                                                                                                                                                                                                                                                                                                                                                                                                                                                                                                                                                                                                                                                                                                                                                                                                                                                                                                                                                                                                                             | -<br>5 0.385<br>-<br>7.55                                                                                                                    | 2.55<br>0.395                                                                                                                                                                                                                                                                                                                                                                                                                                                                                                                                                                                                                                                                                                                                                                                                                                                                                                                                                                                                                                                                                                                                                                                                                                                                                                                                                                                                                                                                                                                                                                                                                                                                                                                       | 2.52<br>0 38<br>0 77<br>7 60<br>0.79                                                                                                                                                                                                                                                                                                                                                                                                                                                                                                                                                                                                                                                                                                                                                                                                                                                                                                                                                                                                                                                                                                                                                                                                                                                                                                                                                                                                                                                                                                                                                                                                                                                                                                                                                                                                                                                                                                                                                                                                                                                                                                                                                                                                                                                                                                                                                                                                                                                                                                                                                                                                                                                                                                                                                                                                                                                                                                                                                                                                                                                                                                                                                                | 5 -<br>5 -<br>- 0.05<br>-0.01                                                                                                                                                                                                                                                                                                                                                                                                                                                                                                                                                                                                                                                                                                                                                                                                                                                                                                                                                                                                                                                                                                                                                                                                                                                                                                                                                                                                                                                                                                                                                                                                                                                                                                                                                                  |                                                                                                                         | 130,25<br>39,60<br>154,00                                                                                                                                                                                                                                                                                                                                                                                                                                                                                                                                                                                                                                                                                                                                                                                                                                                                                                                                                                                                                                                                                                                                                                                                                                                                                                                                                                                                                                                                                                                                                                                                                                                                                                                                                                                                                                                                                                                                                                                                                                                                                                                                                                                                                                                                                                                                                                                                                                                                                                                                                                                                                                                                                                                                                                                                     | 0 49,70<br>-<br>0 300,96<br>0 122,40                                                                                                                                                                                                                                                                                                                                                                                                                                                                                                                                                                                                                                                                                                                                                                    | - 0.92<br>03 0.14<br>- 0.28<br>00 2.76<br>00 0.29                                                                                                                                                                                                                                                                                                                                                                                                                                                                                                                                                                                                                                                                                                                                                                                                                                                                                                                                                                                                                                                                                                                                                                                                                                                                                                                                                                                                                                                                                                                                                                                                                                                                                                                                                                                                                                                                                                                                                                                                                                                                              | 6 16<br>3 16.45<br>5 14 B 1<br>3 3.72                                                                                                                                                                                                                                                                                                                                                                                                                                                                                                                                                                                                                                                                                                                                                                                                                                                                                                                                                                                                                                                                                                                                                                                                                                                                                                                                                                                                                                                                                                                                                                                                                                                                                                                                                                                                                                                                                                                                                                                                                                                                                          | 7<br>3<br>1 6<br>2 5                                            |
| 1 33 07<br>0 56 24<br>0 40 52<br>3 26 22<br>0 94 47<br>0 91 23<br>1 15 52<br>0 79 44<br>1 55 08                                                                                                                                                                                                                                                                                                                                                                                                                                                                                                                                                                                                                                                                                                                                                                                                                                                                                                                                                                                                                                                                                                                                                                                                                                                                                                                                                                                                                                                                                                                                                                                                                                                                                                                                                                                                                                                                                                                                                                                                                                                                                                                                                                                                                                                                                                                                                                                                                                                                                                                             | 43 品質國際<br>23 品質國際(優)<br>29 利民實業<br>72 鴻連總子<br>34 玫瑰計康<br>36 生力啤酒<br>21 三東電業<br>48 善美電腦<br>81 蜆殼電器                                                                                                                                                                                                                                                                                                                                                                                                                                                                                                                                                                                                                                                                                                                                                                                                                                                                                                                                                                                                                                                                                                                                                                                                                                                                                                                                                                                                                                                                                                                                                                                                                                                                                                                                                                                                                                                                                                                                                                                                                                                                                                                                                                                                                                                                                                                                                                                                                                                                                                                                                                                                                                                                                                                       | 1,29<br>0,39<br>0,33<br>2,52<br>0,38<br>0,77<br>7,65<br>0,80<br>0,76<br>1,26                                                                                                                                                                                                                                                                                                                                                                                                                                                                                                                                                                                                                                                                                                                                                                                                                                                                                                                                                                                                                                                                                                                                                                                                                                                                                                                                                                                                                                                                                                                                                                                                                                                                                                                                                                                                                                                                                                                                                                                                                                                   | 0.39 5 0.39 5 5 0.39 7 6 0.8 0.7                                                                                                                                                                                                                                                                                                                                                                                                                                                                                                                                                                                                                                                                                                                                                                                                                                                                                                                                                                                                                                                                                                                                                                                                                                                                                                                                                                                                                                                                                                                                                                                                                                                                                                                                                                                                                                                                                                                                                                                                                                                                                               | 95 0.38<br>95 0.38<br>95 0.38<br>-<br>0 7.60<br>0 0.79<br>6 0.76<br>7 1.26                                                                                                                                                                                                                                                                                                                                                                                                                                                                                                                                                                                                                                                                                                                                                                                                                                                                                                                                                                                                                                                                                                                                                                                                                                                                                                                                                                                                                                                                                                                                                                                                                                                                                                                                                                                                                                                                                                                                                                                                                                                    | 7.55<br>0.78<br>0.76<br>1.26                                                                                                                 | 2.55<br>0.395<br>0.79<br>7.60<br>0.80<br>0.77<br>1.27                                                                                                                                                                                                                                                                                                                                                                                                                                                                                                                                                                                                                                                                                                                                                                                                                                                                                                                                                                                                                                                                                                                                                                                                                                                                                                                                                                                                                                                                                                                                                                                                                                                                               | 2.52<br>0 38<br>0 77<br>7 60<br>0.79<br>0.76<br>1 27                                                                                                                                                                                                                                                                                                                                                                                                                                                                                                                                                                                                                                                                                                                                                                                                                                                                                                                                                                                                                                                                                                                                                                                                                                                                                                                                                                                                                                                                                                                                                                                                                                                                                                                                                                                                                                                                                                                                                                                                                                                                                                                                                                                                                                                                                                                                                                                                                                                                                                                                                                                                                                                                                                                                                                                                                                                                                                                                                                                                                                                                                                                                                | 5 -<br>5 -<br>-0.05<br>-0.01<br>+0.01                                                                                                                                                                                                                                                                                                                                                                                                                                                                                                                                                                                                                                                                                                                                                                                                                                                                                                                                                                                                                                                                                                                                                                                                                                                                                                                                                                                                                                                                                                                                                                                                                                                                                                                                                          | -102                                                                                                                    | 130,25<br>39,60<br>154,00<br>1,640,00<br>900,00                                                                                                                                                                                                                                                                                                                                                                                                                                                                                                                                                                                                                                                                                                                                                                                                                                                                                                                                                                                                                                                                                                                                                                                                                                                                                                                                                                                                                                                                                                                                                                                                                                                                                                                                                                                                                                                                                                                                                                                                                                                                                                                                                                                                                                                                                                                                                                                                                                                                                                                                                                                                                                                                                                                                                                               | 0 49,70<br>0 300,96<br>0 122,40<br>0 1,246,40<br>0 1,142,00                                                                                                                                                                                                                                                                                                                                                                                                                                                                                                                                                                                                                                                                                                                                             | - 0.92<br>0.14<br>- 0.28<br>00 2.76<br>00 0.28<br>00 0.46                                                                                                                                                                                                                                                                                                                                                                                                                                                                                                                                                                                                                                                                                                                                                                                                                                                                                                                                                                                                                                                                                                                                                                                                                                                                                                                                                                                                                                                                                                                                                                                                                                                                                                                                                                                                                                                                                                                                                                                                                                                                      | 6 16<br>6 16.45<br>6 14.81<br>9 3.72<br>8 5.45<br>6 10.51                                                                                                                                                                                                                                                                                                                                                                                                                                                                                                                                                                                                                                                                                                                                                                                                                                                                                                                                                                                                                                                                                                                                                                                                                                                                                                                                                                                                                                                                                                                                                                                                                                                                                                                                                                                                                                                                                                                                                                                                                                                                      | 7<br>3<br>6<br>5<br>5<br>3                                      |
| 1 33 07<br>0 56 24<br>0 40 52<br>3 26 22<br>0 94 47<br>0 91 23<br>0 70 23<br>1 15 52<br>0 79 44<br>1 55 08<br>1 7 40 25<br>0 82 48                                                                                                                                                                                                                                                                                                                                                                                                                                                                                                                                                                                                                                                                                                                                                                                                                                                                                                                                                                                                                                                                                                                                                                                                                                                                                                                                                                                                                                                                                                                                                                                                                                                                                                                                                                                                                                                                                                                                                                                                                                                                                                                                                                                                                                                                                                                                                                                                                                                                                          | 43 品質國際<br>23 品質國際(優)<br>29 制民實業<br>72 鸡連鄉子<br>34 玫瑰計廠<br>36 生力啤酒<br>21 三來電業<br>48 善美電腦<br>81 蜆殼電器<br>50 南南科廠<br>85 升岡國際                                                                                                                                                                                                                                                                                                                                                                                                                                                                                                                                                                                                                                                                                                                                                                                                                                                                                                                                                                                                                                                                                                                                                                                                                                                                                                                                                                                                                                                                                                                                                                                                                                                                                                                                                                                                                                                                                                                                                                                                                                                                                                                                                                                                                                                                                                                                                                                                                                                                                                                                                                                                                                                                                                 | 1,29<br>0,39<br>0,33<br>2,52<br>0,38<br>0,77<br>7,65<br>0,80<br>0,76<br>1,26<br>9,95<br>0,69                                                                                                                                                                                                                                                                                                                                                                                                                                                                                                                                                                                                                                                                                                                                                                                                                                                                                                                                                                                                                                                                                                                                                                                                                                                                                                                                                                                                                                                                                                                                                                                                                                                                                                                                                                                                                                                                                                                                                                                                                                   | 0.39 5 0.39 5 5 0.39 7 6 0.8 0.7 1.2 9.9 0.7                                                                                                                                                                                                                                                                                                                                                                                                                                                                                                                                                                                                                                                                                                                                                                                                                                                                                                                                                                                                                                                                                                                                                                                                                                                                                                                                                                                                                                                                                                                                                                                                                                                                                                                                                                                                                                                                                                                                                                                                                                                                                   | 95 0.38<br>35 0.33<br><br>95 0.38<br><br>0 7.60<br>0 0.79<br>6 0.76<br>7 1.26<br>5 9 90<br>0 0.69                                                                                                                                                                                                                                                                                                                                                                                                                                                                                                                                                                                                                                                                                                                                                                                                                                                                                                                                                                                                                                                                                                                                                                                                                                                                                                                                                                                                                                                                                                                                                                                                                                                                                                                                                                                                                                                                                                                                                                                                                             | 7.55<br>0.78<br>0.76<br>1.26<br>9.90<br>0.69                                                                                                 | 2.55<br>0.395<br>0.79<br>7.60<br>0.80<br>0.77<br>1.27<br>9.95<br>0.70                                                                                                                                                                                                                                                                                                                                                                                                                                                                                                                                                                                                                                                                                                                                                                                                                                                                                                                                                                                                                                                                                                                                                                                                                                                                                                                                                                                                                                                                                                                                                                                                                                                               | 2.52<br>0 36<br>0 77<br>7 60<br>0.79<br>0.76<br>1 27<br>9 95<br>0.69                                                                                                                                                                                                                                                                                                                                                                                                                                                                                                                                                                                                                                                                                                                                                                                                                                                                                                                                                                                                                                                                                                                                                                                                                                                                                                                                                                                                                                                                                                                                                                                                                                                                                                                                                                                                                                                                                                                                                                                                                                                                                                                                                                                                                                                                                                                                                                                                                                                                                                                                                                                                                                                                                                                                                                                                                                                                                                                                                                                                                                                                                                                                | 5 -<br>5 -<br>-0.05<br>-0.01<br>-<br>+0.01<br>-                                                                                                                                                                                                                                                                                                                                                                                                                                                                                                                                                                                                                                                                                                                                                                                                                                                                                                                                                                                                                                                                                                                                                                                                                                                                                                                                                                                                                                                                                                                                                                                                                                                                                                                                                | -102<br>-58<br>-68                                                                                                      | 130,25<br>39,60<br>154,00<br>1,640,00<br>900,00<br>2,00<br>142,00                                                                                                                                                                                                                                                                                                                                                                                                                                                                                                                                                                                                                                                                                                                                                                                                                                                                                                                                                                                                                                                                                                                                                                                                                                                                                                                                                                                                                                                                                                                                                                                                                                                                                                                                                                                                                                                                                                                                                                                                                                                                                                                                                                                                                                                                                                                                                                                                                                                                                                                                                                                                                                                                                                                                                             | 0 49,70<br>0 300,96<br>0 122,40<br>0 1,246,40<br>0 1,142,00<br>0 19,85<br>0 98,98                                                                                                                                                                                                                                                                                                                                                                                                                                                                                                                                                                                                                                                                                                                       | - 0.92<br>03 0.14<br>- 0.28<br>50 2.76<br>00 0.29<br>00 0.46<br>50 3.6                                                                                                                                                                                                                                                                                                                                                                                                                                                                                                                                                                                                                                                                                                                                                                                                                                                                                                                                                                                                                                                                                                                                                                                                                                                                                                                                                                                                                                                                                                                                                                                                                                                                                                                                                                                                                                                                                                                                                                                                                                                         | 6 16<br>16.45<br>14 81<br>3.72<br>5.45<br>10.51<br>1 5.53<br>5 5.11                                                                                                                                                                                                                                                                                                                                                                                                                                                                                                                                                                                                                                                                                                                                                                                                                                                                                                                                                                                                                                                                                                                                                                                                                                                                                                                                                                                                                                                                                                                                                                                                                                                                                                                                                                                                                                                                                                                                                                                                                                                            | 7<br>3<br>1 6<br>2 5<br>3 15<br>3 15                            |
| 1 33 07<br>0 56 24<br>0 40 52<br>3 26 22<br>0 94 47<br>0 91 23<br>1 15 52<br>0 79 44<br>1 55 08<br>1 7 40 25<br>0 82 48<br>3 625 08<br>3 025 25                                                                                                                                                                                                                                                                                                                                                                                                                                                                                                                                                                                                                                                                                                                                                                                                                                                                                                                                                                                                                                                                                                                                                                                                                                                                                                                                                                                                                                                                                                                                                                                                                                                                                                                                                                                                                                                                                                                                                                                                                                                                                                                                                                                                                                                                                                                                                                                                                                                                             | 43 品質國際<br>23 品質國際(優)<br>29 利民實業<br>72 河連電子<br>34 玫瑰計職<br>36 生力啤酒<br>21 三東電器<br>48 善美電腦<br>81 頻殼電器<br>50 南南紗廠<br>85 升岡國際<br>84 質光質業                                                                                                                                                                                                                                                                                                                                                                                                                                                                                                                                                                                                                                                                                                                                                                                                                                                                                                                                                                                                                                                                                                                                                                                                                                                                                                                                                                                                                                                                                                                                                                                                                                                                                                                                                                                                                                                                                                                                                                                                                                                                                                                                                                                                                                                                                                                                                                                                                                                                                                                                                                                                                                                                                      | 1,29<br>0,39<br>0,33<br>2,52<br>0,38<br>0,77<br>7,65<br>0,80<br>0,76<br>1,26<br>9,95<br>0,69<br>2,97<br>1,83                                                                                                                                                                                                                                                                                                                                                                                                                                                                                                                                                                                                                                                                                                                                                                                                                                                                                                                                                                                                                                                                                                                                                                                                                                                                                                                                                                                                                                                                                                                                                                                                                                                                                                                                                                                                                                                                                                                                                                                                                   | 0.39 5 0.39 5 0.39 7 0.89 0.89 0.79 1.20 9.99 0.7 5 2.99 1.8                                                                                                                                                                                                                                                                                                                                                                                                                                                                                                                                                                                                                                                                                                                                                                                                                                                                                                                                                                                                                                                                                                                                                                                                                                                                                                                                                                                                                                                                                                                                                                                                                                                                                                                                                                                                                                                                                                                                                                                                                                                                   | 95 0.38<br>35 0.33<br>                                                                                                                                                                                                                                                                                                                                                                                                                                                                                                                                                                                                                                                                                                                                                                                                                                                                                                                                                                                                                                                                                                                                                                                                                                                                                                                                                                                                                                                                                                                                                                                                                                                                                                                                                                                                                                                                                                                                                                                                                                                                                                        | - 0.385<br>- 7.55<br>0.78<br>0.76<br>1.26<br>9.90<br>0.69<br>5 2 925<br>1 83                                                                 | 2.55<br>0.395<br>0.79<br>7.60<br>0.80<br>0.77<br>1.27<br>9.95<br>0.70<br>2.975<br>1.85                                                                                                                                                                                                                                                                                                                                                                                                                                                                                                                                                                                                                                                                                                                                                                                                                                                                                                                                                                                                                                                                                                                                                                                                                                                                                                                                                                                                                                                                                                                                                                                                                                              | 2.52<br>0 38<br>0 77<br>7 60<br>0.79<br>0.76<br>1 27<br>9 95<br>0.69<br>0.69<br>1 85                                                                                                                                                                                                                                                                                                                                                                                                                                                                                                                                                                                                                                                                                                                                                                                                                                                                                                                                                                                                                                                                                                                                                                                                                                                                                                                                                                                                                                                                                                                                                                                                                                                                                                                                                                                                                                                                                                                                                                                                                                                                                                                                                                                                                                                                                                                                                                                                                                                                                                                                                                                                                                                                                                                                                                                                                                                                                                                                                                                                                                                                                                                | 5 -<br>5 -<br>-0.01<br>-0.01<br>-0.01<br>-0.01<br>-0.01<br>-0.01<br>-0.01<br>-0.01                                                                                                                                                                                                                                                                                                                                                                                                                                                                                                                                                                                                                                                                                                                                                                                                                                                                                                                                                                                                                                                                                                                                                                                                                                                                                                                                                                                                                                                                                                                                                                                                                                                                                                             | -102<br>-58<br>-68<br>                                                                                                  | 130,25<br>39,60<br>154,00<br>1,640,00<br>900,00<br>2,00<br>142,00<br>171,00                                                                                                                                                                                                                                                                                                                                                                                                                                                                                                                                                                                                                                                                                                                                                                                                                                                                                                                                                                                                                                                                                                                                                                                                                                                                                                                                                                                                                                                                                                                                                                                                                                                                                                                                                                                                                                                                                                                                                                                                                                                                                                                                                                                                                                                                                                                                                                                                                                                                                                                                                                                                                                                                                                                                                   | 0 49,70<br>0 300,96<br>0 122,40<br>0 1,246,40<br>0 1,142,00<br>0 19,85<br>0 98,98<br>0 504,30<br>0 107,18                                                                                                                                                                                                                                                                                                                                                                                                                                                                                                                                                                                                                                                                                               | - 0 92 03 0.14 - 0.26 00 0.29 00 0.46 00 0.29 00 0.46 00 0.29 00 0.67                                                                                                                                                                                                                                                                                                                                                                                                                                                                                                                                                                                                                                                                                                                                                                                                                                                                                                                                                                                                                                                                                                                                                                                                                                                                                                                                                                                                                                                                                                                                                                                                                                                                                                                                                                                                                                                                                                                                                                                                                                                          | 6 16<br>16.45<br>14.81<br>3.72<br>5.45<br>10.51<br>1 5.53<br>5 5.11<br>7 5.81                                                                                                                                                                                                                                                                                                                                                                                                                                                                                                                                                                                                                                                                                                                                                                                                                                                                                                                                                                                                                                                                                                                                                                                                                                                                                                                                                                                                                                                                                                                                                                                                                                                                                                                                                                                                                                                                                                                                                                                                                                                  | 7<br>3<br>1 6<br>2 5<br>3 1<br>1 9                              |
| 1 33 07<br>0 56 24<br>0 40 52<br>3 26 22<br>0 94 47<br>0 91 23<br>0 70 23<br>1 15 52<br>0 79 44<br>1 55 08<br>1 7 40 25<br>0 82 48<br>3 625 08<br>3 025 25<br>0 183 07<br>2 825 53                                                                                                                                                                                                                                                                                                                                                                                                                                                                                                                                                                                                                                                                                                                                                                                                                                                                                                                                                                                                                                                                                                                                                                                                                                                                                                                                                                                                                                                                                                                                                                                                                                                                                                                                                                                                                                                                                                                                                                                                                                                                                                                                                                                                                                                                                                                                                                                                                                          | 43 品質國際<br>23 品質國際(優)<br>29 制民實業<br>72 河東銀子<br>34 玫瑰計順<br>36 生力東電場<br>48 美東電腦<br>81 頻及和<br>81 頻及和<br>85 升岡國際<br>84 質光電業<br>76 森馬爾樂<br>24 瑞葵国際                                                                                                                                                                                                                                                                                                                                                                                                                                                                                                                                                                                                                                                                                                                                                                                                                                                                                                                                                                                                                                                                                                                                                                                                                                                                                                                                                                                                                                                                                                                                                                                                                                                                                                                                                                                                                                                                                                                                                                                                                                                                                                                                                                                                                                                                                                                                                                                                                                                                                                                                                                                                                                                                            | 1,29<br>0.39<br>0.33<br>2,52<br>0.38<br>0.77<br>7.65<br>0.80<br>0.76<br>1.26<br>9.95<br>0.69<br>2.97<br>1.83<br>0.15<br>2.65                                                                                                                                                                                                                                                                                                                                                                                                                                                                                                                                                                                                                                                                                                                                                                                                                                                                                                                                                                                                                                                                                                                                                                                                                                                                                                                                                                                                                                                                                                                                                                                                                                                                                                                                                                                                                                                                                                                                                                                                   | 0.39 5 0.39 5 5 0.39 7 6 0.8 0.7 1.2 9.9 0.7 5 2.9 1.8 4 0.1 2.7                                                                                                                                                                                                                                                                                                                                                                                                                                                                                                                                                                                                                                                                                                                                                                                                                                                                                                                                                                                                                                                                                                                                                                                                                                                                                                                                                                                                                                                                                                                                                                                                                                                                                                                                                                                                                                                                                                                                                                                                                                                               | 95 0.38<br>35 0.33<br>                                                                                                                                                                                                                                                                                                                                                                                                                                                                                                                                                                                                                                                                                                                                                                                                                                                                                                                                                                                                                                                                                                                                                                                                                                                                                                                                                                                                                                                                                                                                                                                                                                                                                                                                                                                                                                                                                                                                                                                                                                                                                                        | 7.55<br>0.78<br>0.78<br>0.76<br>1.26<br>9.90<br>0.69<br>5 2 925<br>1 83<br>3 0 155<br>2 625                                                  | 2.55<br>0.395<br>0.79<br>7.60<br>0.80<br>0.77<br>1.27<br>9.95<br>0.70<br>2.975<br>1.85<br>0.157                                                                                                                                                                                                                                                                                                                                                                                                                                                                                                                                                                                                                                                                                                                                                                                                                                                                                                                                                                                                                                                                                                                                                                                                                                                                                                                                                                                                                                                                                                                                                                                                                                     | 2.529<br>0 389<br>0 77<br>7 60<br>0.79<br>0.76<br>1 27<br>9 95<br>0.69<br>2 95<br>1 85<br>7 0.15<br>2 65                                                                                                                                                                                                                                                                                                                                                                                                                                                                                                                                                                                                                                                                                                                                                                                                                                                                                                                                                                                                                                                                                                                                                                                                                                                                                                                                                                                                                                                                                                                                                                                                                                                                                                                                                                                                                                                                                                                                                                                                                                                                                                                                                                                                                                                                                                                                                                                                                                                                                                                                                                                                                                                                                                                                                                                                                                                                                                                                                                                                                                                                                            | 5 -<br>5 -<br>-0.01<br>-0.01<br>-0.01<br>-0.01<br>-0.02<br>-0.025<br>-0.025<br>-0.025                                                                                                                                                                                                                                                                                                                                                                                                                                                                                                                                                                                                                                                                                                                                                                                                                                                                                                                                                                                                                                                                                                                                                                                                                                                                                                                                                                                                                                                                                                                                                                                                                                                                                                          | -102<br>-58<br>                                                                                                         | 130,25<br>39,60<br>154,00<br>1,640,00<br>900,00<br>2,00<br>142,00<br>171,00<br>58,00<br>1,740,00<br>448,00                                                                                                                                                                                                                                                                                                                                                                                                                                                                                                                                                                                                                                                                                                                                                                                                                                                                                                                                                                                                                                                                                                                                                                                                                                                                                                                                                                                                                                                                                                                                                                                                                                                                                                                                                                                                                                                                                                                                                                                                                                                                                                                                                                                                                                                                                                                                                                                                                                                                                                                                                                                                                                                                                                                    | 0 49,70<br>0 300,96<br>0 122,40<br>0 1,246,40<br>0 1,142,00<br>0 19,85<br>0 98,98<br>0 504,30<br>0 107,18<br>0 267,40<br>0 1,179,95                                                                                                                                                                                                                                                                                                                                                                                                                                                                                                                                                                                                                                                                     | - 0 92 03 0.14 - 0.28 00 0.29 00 0.46 00 0.46 00 0.67 00 0.67 00 0.67                                                                                                                                                                                                                                                                                                                                                                                                                                                                                                                                                                                                                                                                                                                                                                                                                                                                                                                                                                                                                                                                                                                                                                                                                                                                                                                                                                                                                                                                                                                                                                                                                                                                                                                                                                                                                                                                                                                                                                                                                                                          | 6 16<br>6 16.45<br>6 16.45<br>6 14.81<br>7 5.45<br>6 10.51<br>7 5.81<br>7<br>6 12.39                                                                                                                                                                                                                                                                                                                                                                                                                                                                                                                                                                                                                                                                                                                                                                                                                                                                                                                                                                                                                                                                                                                                                                                                                                                                                                                                                                                                                                                                                                                                                                                                                                                                                                                                                                                                                                                                                                                                                                                                                                           | 7<br>3<br>1 6<br>2 5<br>3 15<br>1 9                             |
| 1 33     07       0 56     24       0 40     52       3 26     22       0 94     47       0 91     23       1 0 70     23       1 15     52       0 79     44       1 55     08       3 625     08       3 025     25       0 183     07       2 825     53       0 113     05       1 113     05                                                                                                                                                                                                                                                                                                                                                                                                                                                                                                                                                                                                                                                                                                                                                                                                                                                                                                                                                                                                                                                                                                                                                                                                                                                                                                                                                                                                                                                                                                                                                                                                                                                                                                                                                                                                                                                                                                                                                                                                                                                                                                                                                                                                                                                                                                                           | 43 品質國際<br>23 品質國際(優)<br>29 利民實業<br>72 河連衛子<br>34 玫瑰計順<br>36 生力電影<br>48 善美電腦<br>81 無數學<br>81 與內面<br>85 所因國際<br>84 舊馬爾<br>84 舊馬爾<br>84 百馬<br>84 百馬<br>85 八田<br>86 華<br>87 華<br>87 華<br>87 華<br>88 華<br>89 華<br>80 華<br>80 華<br>80 華<br>81 華<br>82 華<br>83 華<br>84 舊<br>85 華<br>86 華<br>87 華<br>87 華<br>87 華<br>88 華<br>89 華<br>80 華<br>80 華<br>80 華<br>81 華<br>81 華<br>82 華<br>83 華<br>84 舊<br>85 華<br>86 華<br>87 華<br>87 華<br>87 華<br>88 華<br>89 華<br>80 | 1,29<br>0,39<br>0,33<br>2,52<br>0,38<br>0,77<br>7,65<br>0,80<br>0,76<br>1,26<br>9,95<br>0,69<br>2,97<br>1,83<br>0,15<br>2,65<br>0,56<br>0,56                                                                                                                                                                                                                                                                                                                                                                                                                                                                                                                                                                                                                                                                                                                                                                                                                                                                                                                                                                                                                                                                                                                                                                                                                                                                                                                                                                                                                                                                                                                                                                                                                                                                                                                                                                                                                                                                                                                                                                                   | 0.39 5 0.39 5 0.39 5 0.39 7 6 0.89 0.7 1.2 9.9 0.7 5 2.9 1.8 4 0.1 2.7 0.5 0.6                                                                                                                                                                                                                                                                                                                                                                                                                                                                                                                                                                                                                                                                                                                                                                                                                                                                                                                                                                                                                                                                                                                                                                                                                                                                                                                                                                                                                                                                                                                                                                                                                                                                                                                                                                                                                                                                                                                                                                                                                                                 | 95 0.38<br>95 0.38<br>95 0.38<br>                                                                                                                                                                                                                                                                                                                                                                                                                                                                                                                                                                                                                                                                                                                                                                                                                                                                                                                                                                                                                                                                                                                                                                                                                                                                                                                                                                                                                                                                                                                                                                                                                                                                                                                                                                                                                                                                                                                                                                                                                                                                                             | 0.385 - 7.55 0.78 0.76 1.26 9.90 0.69 5 2 925 1 83 3 0 155 2 625 0 57 0 67                                                                   | 2.55<br>0.395<br>0.79<br>7.60<br>0.80<br>0.77<br>1.27<br>9.95<br>0.70<br>2.975<br>1.85<br>0.157<br>0.58<br>0.68                                                                                                                                                                                                                                                                                                                                                                                                                                                                                                                                                                                                                                                                                                                                                                                                                                                                                                                                                                                                                                                                                                                                                                                                                                                                                                                                                                                                                                                                                                                                                                                                                     | 2.52<br>0.38<br>0.77<br>7.60<br>0.79<br>0.76<br>1.27<br>9.95<br>0.69<br>0.69<br>1.85<br>7.0.15<br>2.65<br>0.57<br>0.67                                                                                                                                                                                                                                                                                                                                                                                                                                                                                                                                                                                                                                                                                                                                                                                                                                                                                                                                                                                                                                                                                                                                                                                                                                                                                                                                                                                                                                                                                                                                                                                                                                                                                                                                                                                                                                                                                                                                                                                                                                                                                                                                                                                                                                                                                                                                                                                                                                                                                                                                                                                                                                                                                                                                                                                                                                                                                                                                                                                                                                                                              | 5 -<br>5 -<br>-0.01<br>-0.01<br>-0.01<br>-0.02<br>+0.02<br>+0.01<br>-0.01                                                                                                                                                                                                                                                                                                                                                                                                                                                                                                                                                                                                                                                                                                                                                                                                                                                                                                                                                                                                                                                                                                                                                                                                                                                                                                                                                                                                                                                                                                                                                                                                                                                                                                                      | -102<br>-58<br>-68<br>                                                                                                  | 130,25<br>39,60<br>154,00<br>1,640,00<br>900,00<br>2,00<br>142,00<br>171,00<br>58,00<br>1,740,00<br>448,00<br>1,800,00                                                                                                                                                                                                                                                                                                                                                                                                                                                                                                                                                                                                                                                                                                                                                                                                                                                                                                                                                                                                                                                                                                                                                                                                                                                                                                                                                                                                                                                                                                                                                                                                                                                                                                                                                                                                                                                                                                                                                                                                                                                                                                                                                                                                                                                                                                                                                                                                                                                                                                                                                                                                                                                                                                        | 0 49,70<br>0 300,96<br>0 122,40<br>0 1,246,40<br>0 1,142,00<br>0 19,85<br>0 98,98<br>0 504,30<br>0 107,18<br>0 267,40<br>0 1,179,95<br>0 1,028,72                                                                                                                                                                                                                                                                                                                                                                                                                                                                                                                                                                                                                                                       | - 0 92 03                                                                                                                                                                                                                                                                                                                                                                                                                                                                                                                                                                                                                                                                                                                                                                                                                                                                                                                                                                                                                                                                                                                                                                                                                                                                                                                                                                                                                                                                                                                                                                                                                                                                                                                                                                                                                                                                                                                                                                                                                                                                                                                      | 6 16<br>6 16.45<br>6 14.81<br>9 3.72<br>6 5.45<br>6 10.51<br>7 5.81<br>7<br>6 12.39<br>1 9.64<br>4 4.53                                                                                                                                                                                                                                                                                                                                                                                                                                                                                                                                                                                                                                                                                                                                                                                                                                                                                                                                                                                                                                                                                                                                                                                                                                                                                                                                                                                                                                                                                                                                                                                                                                                                                                                                                                                                                                                                                                                                                                                                                        | 7<br>3<br>1 6<br>2 5<br>3 15<br>3 15<br>4 7<br>3 6              |
| 1 33 07<br>0 56 24<br>0 40 52<br>3 26 22<br>0 94 47<br>0 91 23<br>1 15 52<br>0 79 44<br>1 55 08<br>1 7 40 25<br>0 82 48<br>3 625 06<br>3 025 25<br>0 183 07<br>2 825 52<br>0 65 50<br>1 113 05<br>4 65 45<br>1 00 5                                                                                                                                                                                                                                                                                                                                                                                                                                                                                                                                                                                                                                                                                                                                                                                                                                                                                                                                                                                                                                                                                                                                                                                                                                                                                                                                                                                                                                                                                                                                                                                                                                                                                                                                                                                                                                                                                                                                                                                                                                                                                                                                                                                                                                                                                                                                                                                                         | 43 品質國際<br>23 品質國際(優)<br>29 利民實業<br>72 河連電子<br>34 玫瑰計職<br>36 生力・電影<br>48 等美電器<br>81 野泉 南南 野<br>85 野田 南 野<br>85 野田 南 野<br>86 東京 軍<br>87 森原 軍<br>87 森原 軍<br>88 野野 電<br>89 東京 軍<br>80 ホシ 国際<br>81 東京 軍<br>81 東京 軍<br>82 森原 国際<br>83 東京 軍<br>84 東京 軍<br>85 東京 東西<br>86 東京 東西<br>86 東京 東西<br>87 東京 東西<br>88 東京 東京 東京<br>88 東京 東京<br>88                                                                                                                                           | 1,29<br>0,39<br>0,33<br>2,52<br>0,38<br>0,77<br>7,65<br>0,80<br>0,76<br>1,26<br>9,95<br>0,69<br>2,97<br>1,83<br>0,15<br>2,65<br>0,56                                                                                                                                                                                                                                                                                                                                                                                                                                                                                                                                                                                                                                                                                                                                                                                                                                                                                                                                                                                                                                                                                                                                                                                                                                                                                                                                                                                                                                                                                                                                                                                                                                                                                                                                                                                                                                                                                                                                                                                           | 0.39 5 0.39 5 0.39 7 6 0.89 0.7 1.2 9.9 0.7 5 2.9 1.8 4 0.1 2.7 0.5 0.6 5 - 0.9                                                                                                                                                                                                                                                                                                                                                                                                                                                                                                                                                                                                                                                                                                                                                                                                                                                                                                                                                                                                                                                                                                                                                                                                                                                                                                                                                                                                                                                                                                                                                                                                                                                                                                                                                                                                                                                                                                                                                                                                                                                | 95 0.38<br>35 0.33<br>                                                                                                                                                                                                                                                                                                                                                                                                                                                                                                                                                                                                                                                                                                                                                                                                                                                                                                                                                                                                                                                                                                                                                                                                                                                                                                                                                                                                                                                                                                                                                                                                                                                                                                                                                                                                                                                                                                                                                                                                                                                                                                        | - 0.385 - 7.55 0.78 0.76 1.26 9.90 0.69 5 2 925 1 83 3 0 155 2 625 0 57 0 67 3 80 0.95                                                       | 2.55<br>0.395<br>0.79<br>7.60<br>0.80<br>0.77<br>1.27<br>9.95<br>0.70<br>2.975<br>1.85<br>0.157<br>2.65<br>0.58                                                                                                                                                                                                                                                                                                                                                                                                                                                                                                                                                                                                                                                                                                                                                                                                                                                                                                                                                                                                                                                                                                                                                                                                                                                                                                                                                                                                                                                                                                                                                                                                                     | 2.529<br>0 389<br>0 77<br>7 60<br>0.79<br>0.76<br>1 27<br>9 95<br>0.69<br>2 95<br>1 85<br>7 0.15<br>2 65<br>0 57<br>0 67<br>3 87<br>0 96                                                                                                                                                                                                                                                                                                                                                                                                                                                                                                                                                                                                                                                                                                                                                                                                                                                                                                                                                                                                                                                                                                                                                                                                                                                                                                                                                                                                                                                                                                                                                                                                                                                                                                                                                                                                                                                                                                                                                                                                                                                                                                                                                                                                                                                                                                                                                                                                                                                                                                                                                                                                                                                                                                                                                                                                                                                                                                                                                                                                                                                            | 5 -<br>5 -<br>-0.01<br>-0.01<br>-1<br>+0.01<br>-0.01<br>5 -<br>+0.01                                                                                                                                                                                                                                                                                                                                                                                                                                                                                                                                                                                                                                                                                                                                                                                                                                                                                                                                                                                                                                                                                                                                                                                                                                                                                                                                                                                                                                                                                                                                                                                                                                                                                                                           | -102<br>-58<br>+68<br>                                                                                                  | 130,25<br>39,60<br>154,00<br>1,640,00<br>900,00<br>2,00<br>142,00<br>171,00<br>58,00<br>1,740,00<br>448,00<br>1,800,00<br>180,00                                                                                                                                                                                                                                                                                                                                                                                                                                                                                                                                                                                                                                                                                                                                                                                                                                                                                                                                                                                                                                                                                                                                                                                                                                                                                                                                                                                                                                                                                                                                                                                                                                                                                                                                                                                                                                                                                                                                                                                                                                                                                                                                                                                                                                                                                                                                                                                                                                                                                                                                                                                                                                                                                              | 0 49,70 0 300,96 0 122,40 0 1,246,40 0 1,142,00 0 19,85 0 98,98 0 504,30 0 107,18 0 267,40 0 1,179,95 0 1,028,72 0 123,20                                                                                                                                                                                                                                                                                                                                                                                                                                                                                                                                                                                                                                                                               | - 0 92 03 0.14 - 0.28 00 0.29 00 0.29 00 0.46 00 0.29 00 0.67 00 0.67 00 0.67 00 0.67 00 0.67 00 0.67 00 0.67 00 0.67 00 0.67 00 0.67                                                                                                                                                                                                                                                                                                                                                                                                                                                                                                                                                                                                                                                                                                                                                                                                                                                                                                                                                                                                                                                                                                                                                                                                                                                                                                                                                                                                                                                                                                                                                                                                                                                                                                                                                                                                                                                                                                                                                                                          | 6 16<br>6 16.45<br>6 14.81<br>7 5.45<br>6 10.51<br>7 5.81<br>7 5.81<br>7 -6<br>6 12.39<br>1 9.64<br>4 4.53<br>5 5.06                                                                                                                                                                                                                                                                                                                                                                                                                                                                                                                                                                                                                                                                                                                                                                                                                                                                                                                                                                                                                                                                                                                                                                                                                                                                                                                                                                                                                                                                                                                                                                                                                                                                                                                                                                                                                                                                                                                                                                                                           | 7<br>3<br>1 6<br>2 5<br>3 1 5<br>1 15<br>1 7<br>3 6<br>3 1 7    |
| 1 33     07       0 56     24       0 40     52       3 26     22       0 94     47       0 91     23       0 70     23       1 15     52       0 79     44       1 55     08       3 625     08       3 625     08       3 625     08       3 625     53       0 65     50       1 113     09       4 65     45       1 60     5       7 60     2       4 65     2       4 65     2                                                                                                                                                                                                                                                                                                                                                                                                                                                                                                                                                                                                                                                                                                                                                                                                                                                                                                                                                                                                                                                                                                                                                                                                                                                                                                                                                                                                                                                                                                                                                                                                                                                                                                                                                                                                                                                                                                                                                                                                                                                                                                                                                                                                                                        | 43 品質國際<br>23 品質國際(優)<br>29 制民實業<br>72 利速電子<br>34 玫瑰計順<br>36 生力電電器<br>48 等美電腦<br>81 頻及配屬<br>85 財園國際<br>84 質光電影<br>54 属馬国際<br>84 属馬国際<br>76 森馬国際<br>94 東京東國                                                                                                                                                                                                                                                                                                                                                                                                                                                                                                                                                                                                                                                                                                                                                                                                                                                                                                                                                                                                                                                                                                                                                                                                                                                                                                                                                                                                                                                                                                                                                                                                                                                                                                                                                                                                                                                                                                                                                                                                                                                                                                                                                                                                                                                                                                                                                                                                                                                                                                                                                                                                                                                               | 1,29<br>0,39<br>0,33<br>2,52<br>0,38<br>0,77<br>7,65<br>0,80<br>0,76<br>1,26<br>9,95<br>0,69<br>2,97<br>1,83<br>0,15<br>2,65<br>0,56<br>0,68<br>3,87<br>0,95                                                                                                                                                                                                                                                                                                                                                                                                                                                                                                                                                                                                                                                                                                                                                                                                                                                                                                                                                                                                                                                                                                                                                                                                                                                                                                                                                                                                                                                                                                                                                                                                                                                                                                                                                                                                                                                                                                                                                                   | 0.39 5 0.39 5 0.39 7 6 0.89 0.7 1.2 9.9 0.7 5 2.9 1.8 4 0.1 2.7 0.5 0.6 5 - 0.9 6 6 3 9                                                                                                                                                                                                                                                                                                                                                                                                                                                                                                                                                                                                                                                                                                                                                                                                                                                                                                                                                                                                                                                                                                                                                                                                                                                                                                                                                                                                                                                                                                                                                                                                                                                                                                                                                                                                                                                                                                                                                                                                                                        | 95 0.38<br>35 0.33<br>                                                                                                                                                                                                                                                                                                                                                                                                                                                                                                                                                                                                                                                                                                                                                                                                                                                                                                                                                                                                                                                                                                                                                                                                                                                                                                                                                                                                                                                                                                                                                                                                                                                                                                                                                                                                                                                                                                                                                                                                                                                                                                        | - 0.385<br>- 7.55<br>0.78<br>0.76<br>1.26<br>9.90<br>0.69<br>5 2 925<br>1 83<br>3 0 155<br>2 625<br>0 57<br>0 67<br>3 80<br>0.95<br>6 45     | 2.55<br>0.395<br>0.79<br>7.60<br>0.80<br>0.77<br>1.27<br>9.95<br>0.70<br>2.975<br>1.85<br>0.157<br>2.65<br>0.58<br>0.68<br>3.875<br>0.96<br>6.65<br>4.00                                                                                                                                                                                                                                                                                                                                                                                                                                                                                                                                                                                                                                                                                                                                                                                                                                                                                                                                                                                                                                                                                                                                                                                                                                                                                                                                                                                                                                                                                                                                                                            | 2.529<br>0 389<br>0 77<br>7 60<br>0.79<br>0.76<br>1 27<br>9 95<br>0.69<br>2 95<br>1 85<br>7 0.15<br>2 65<br>0 57<br>0 67<br>3 87<br>0 96<br>6 65<br>3 92                                                                                                                                                                                                                                                                                                                                                                                                                                                                                                                                                                                                                                                                                                                                                                                                                                                                                                                                                                                                                                                                                                                                                                                                                                                                                                                                                                                                                                                                                                                                                                                                                                                                                                                                                                                                                                                                                                                                                                                                                                                                                                                                                                                                                                                                                                                                                                                                                                                                                                                                                                                                                                                                                                                                                                                                                                                                                                                                                                                                                                            | 5 -<br>5 -<br>-0.01<br>-0.01<br>-0.02<br>+0.02<br>+0.02<br>+0.01<br>-0.01<br>5 -<br>+0.01<br>-0.05<br>+0.02                                                                                                                                                                                                                                                                                                                                                                                                                                                                                                                                                                                                                                                                                                                                                                                                                                                                                                                                                                                                                                                                                                                                                                                                                                                                                                                                                                                                                                                                                                                                                                                                                                                                                    | -102<br>-58<br>-68<br>                                                                                                  | 130,25<br>39,60<br>154,00<br>1,640,00<br>900,00<br>2,00<br>142,00<br>171,00<br>448,00<br>1,740,00<br>1,800,00<br>180,00<br>180,00                                                                                                                                                                                                                                                                                                                                                                                                                                                                                                                                                                                                                                                                                                                                                                                                                                                                                                                                                                                                                                                                                                                                                                                                                                                                                                                                                                                                                                                                                                                                                                                                                                                                                                                                                                                                                                                                                                                                                                                                                                                                                                                                                                                                                                                                                                                                                                                                                                                                                                                                                                                                                                                                                             | 0 49,70<br>0 300,96<br>0 122,40<br>0 1,246,40<br>0 1,142,00<br>0 19,85<br>0 98,98<br>0 504,30<br>0 107,18<br>0 267,40<br>0 1,179,95<br>0 1,028,73<br>0 123,20                                                                                                                                                                                                                                                                                                                                                                                                                                                                                                                                                                                                                                           | - 0 92 03 0.14 - 0.28 00 2.76 00 0.29 00 0.46 00 0.67 00 0.67 00 0.67 00 0.67 00 0.67 00 0.67 00 0.67 00 0.67 00 0.67 00 0.67 00 0.67 00 0.67 00 0.67 00 0.67 00 0.67 00 0.67 00 0.67 00 0.67 00 0.67 00 0.67 00 0.67 00 0.67 00 0.67 00 0.67 00 0.67 00 0.67 00 0.67 00 0.67 00 0.67 00 0.67 00 0.67 00 0.67 00 0.67 00 0.67 00 0.67 00 0.67 00 0.67 00 0.67 00 0.67 00 0.67 00 0.67 00 0.67 00 0.67 00 0.67 00 0.67 00 0.67 00 0.67 00 0.67 00 0.67 00 0.67 00 0.67 00 0.67 00 0.67 00 0.67 00 0.67 00 0.67 00 0.67 00 0.67 00 0.67 00 0.67 00 0.67 00 0.67 00 0.67 00 0.67 00 0.67 00 0.67 00 0.67 00 0.67 00 0.67 00 0.67 00 0.67 00 0.67 00 0.67 00 0.67 00 0.67 00 0.67 00 0.67 00 0.67 00 0.67 00 0.67 00 0.67 00 0.67 00 0.67 00 0.67 00 0.67 00 0.67 00 0.67 00 0.67 00 0.67 00 0.67 00 0.67 00 0.67 00 0.67 00 0.67 00 0.67 00 0.67 00 0.67 00 0.67 00 0.67 00 0.67 00 0.67 00 0.67 00 0.67 00 0.67 00 0.67 00 0.67 00 0.67 00 0.67 00 0.67 00 0.67 00 0.67 00 0.67 00 0.67 00 0.67 00 0.67 00 0.67 00 0.67 00 0.67 00 0.67 00 0.67 00 0.67 00 0.67 00 0.67 00 0.67 00 0.67 00 0.67 00 0.67 00 0.67 00 0.67 00 0.67 00 0.67 00 0.67 00 0.67 00 0.67 00 0.67 00 0.67 00 0.67 00 0.67 00 0.67 00 0.67 00 0.67 00 0.67 00 0.67 00 0.67 00 0.67 00 0.67 00 0.67 00 0.67 00 0.67 00 0.67 00 0.67 00 0.67 00 0.67 00 0.67 00 0.67 00 0.67 00 0.67 00 0.67 00 0.67 00 0.67 00 0.67 00 0.67 00 0.67 00 0.67 00 0.67 00 0.67 00 0.67 00 0.67 00 0.67 00 0.67 00 0.67 00 0.67 00 0.67 00 0.67 00 0.67 00 0.67 00 0.67 00 0.67 00 0.67 00 0.67 00 0.67 00 0.67 00 0.67 00 0.67 00 0.67 00 0.67 00 0.67 00 0.67 00 0.67 00 0.67 00 0.67 00 0.67 00 0.67 00 0.67 00 0.67 00 0.67 00 0.67 00 0.67 00 0.67 00 0.67 00 0.67 00 0.67 00 0.67 00 0.67 00 0.67 00 0.67 00 0.67 00 0.67 00 0.67 00 0.67 00 0.67 00 0.67 00 0.67 00 0.67 00 0.67 00 0.67 00 0.67 00 0.67 00 0.67 00 0.67 00 0.67 00 0.67 00 0.67 00 0.67 00 0.67 00 0.67 00 0.67 00 0.67 00 0.67 00 0.67 00 0.67 00 0.67 00 0.67 00 0.67 00 0.67 00 0.67 00 0.67 00 0.67 00 0.67 00 0.67 00 0.67 00 0.67 00 0.67 00 0.67 00 0.67 00 0.67 00 0.67 00 0.67 00 0.67 00 0.67  | 6 16<br>6 16.45<br>6 16.45<br>6 14.81<br>9 3.72<br>6 10.51<br>7 5.81<br>7 5.81<br>7                                                                                                                                                                                                                                                                                                                                                                                                                                                                                                                                                                                                                                                                                                                                                                                                                                                                                                                                                                                                                                                                                                                                                                                                                                                                                                                                                                                                                                                                                                                                                                                                                                                                                                                                                                                                                                                                                                                                                                                                                                            | 7 3 6 6 6 6 6 6 6 6 6 6 6 6 6 6 6 6 6 6                         |
| 1 33     07       0 56     24       0 40     52       3 26     22       0 94     47       0 91     23       0 70     23       1 15     52       0 79     44       1 55     08       3 625     06       3 025     25       0 183     07       2 825     53       0 65     50       1 113     09       4 65     45       1 00     5       7 60     2       4 65     2       3 80     2       0 633     4       3 821     3                                                                                                                                                                                                                                                                                                                                                                                                                                                                                                                                                                                                                                                                                                                                                                                                                                                                                                                                                                                                                                                                                                                                                                                                                                                                                                                                                                                                                                                                                                                                                                                                                                                                                                                                                                                                                                                                                                                                                                                                                                                                                                                                                                                                    | 43 品質國際<br>23 品質國際(優)<br>29 利民實際<br>72 利速銀子<br>34 玫瑰如康<br>36 生产藥電影<br>81 短頭中電影<br>81 與內國際<br>84 阿爾斯爾<br>85 阿爾阿爾<br>86 斯爾斯爾<br>87 森縣斯爾<br>87 森縣斯爾<br>88 阿爾斯爾<br>88 阿爾斯爾<br>89 國際<br>89 國際<br>80 新聞<br>80 新聞<br>80 新聞<br>81 國際<br>82 森縣<br>83 國際<br>84 國際<br>85 新聞<br>86 森縣<br>87 森縣<br>88 阿爾斯爾<br>88 阿爾斯爾<br>89 國際<br>80 新聞<br>80 新聞<br>81 國際<br>82 森縣<br>83 國際<br>84 國際<br>85 新聞<br>86 森縣<br>87 國際<br>87 國際<br>88 阿爾斯爾<br>88 阿爾爾<br>88 阿爾<br>88 阿<br>88                                                                                                                                 | 1,29<br>0,39<br>0,339<br>2,529<br>0,389<br>0,77<br>7,65<br>0,80<br>0,76<br>1,26<br>9,95<br>0,69<br>2,97<br>1,83<br>0,15<br>2,65<br>0,56<br>0,56<br>0,56<br>0,56<br>0,56<br>0,56<br>0,56<br>0                                                                                                                                                                                                                                                                                                                                                                                                                                                                                                                                                                                                                                                                                                                                                                                                                                                                                                                                                                                                                                                                                                                                                                                                                                                                                                                                                                                                                                                                                                                                                                                                                                                                                                                                                                                                                                                                                                                                   | 0.39 5 0.39 5 0.39 7 6 0.89 0.7 1.2 9.9 0.7 5 2.9 1.8 4 0.1 2.7 0.5 0.6 5 - 0.9 6 6 3 9 5 - 2 0                                                                                                                                                                                                                                                                                                                                                                                                                                                                                                                                                                                                                                                                                                                                                                                                                                                                                                                                                                                                                                                                                                                                                                                                                                                                                                                                                                                                                                                                                                                                                                                                                                                                                                                                                                                                                                                                                                                                                                                                                                | 95 0.38<br>95 0.33<br>                                                                                                                                                                                                                                                                                                                                                                                                                                                                                                                                                                                                                                                                                                                                                                                                                                                                                                                                                                                                                                                                                                                                                                                                                                                                                                                                                                                                                                                                                                                                                                                                                                                                                                                                                                                                                                                                                                                                                                                                                                                                                                        | 7.55 0.78 0.76 1.26 9.90 0.69 5 2 925 1 83 3 0 155 2 625 0 57 0 67 3 80 0.95 6 45 5 3 925 3.775                                              | 2.55<br>0.395<br>0.79<br>7.60<br>0.80<br>0.77<br>1.27<br>9.95<br>0.70<br>2.975<br>1.85<br>0.157<br>2.65<br>0.58<br>0.68<br>3.875<br>0.96<br>6.65<br>4.00<br>3.825<br>0.42<br>1.95                                                                                                                                                                                                                                                                                                                                                                                                                                                                                                                                                                                                                                                                                                                                                                                                                                                                                                                                                                                                                                                                                                                                                                                                                                                                                                                                                                                                                                                                                                                                                   | 2.529<br>0 389<br>0 77<br>7 60<br>0.79<br>0.76<br>1 27<br>9 95<br>0.69<br>2 95<br>1 85<br>7 0.15<br>2 65<br>0 57<br>0 67<br>0 67<br>3 87<br>0 96<br>6 65<br>3 92<br>5 3.77<br>0.41<br>1.94                                                                                                                                                                                                                                                                                                                                                                                                                                                                                                                                                                                                                                                                                                                                                                                                                                                                                                                                                                                                                                                                                                                                                                                                                                                                                                                                                                                                                                                                                                                                                                                                                                                                                                                                                                                                                                                                                                                                                                                                                                                                                                                                                                                                                                                                                                                                                                                                                                                                                                                                                                                                                                                                                                                                                                                                                                                                                                                                                                                                          | 5 -<br>5 -<br>-0.01<br>-0.01<br>-0.02<br>+0.02<br>+0.02<br>+0.01<br>-0.01<br>5 -<br>+0.01<br>-0.05<br>5 +0.02<br>5 -<br>-0.06                                                                                                                                                                                                                                                                                                                                                                                                                                                                                                                                                                                                                                                                                                                                                                                                                                                                                                                                                                                                                                                                                                                                                                                                                                                                                                                                                                                                                                                                                                                                                                                                                                                                  | -102<br>-58<br>-68<br>                                                                                                  | 130,25<br>39,60<br>154,00<br>1,640,00<br>900,00<br>2,00<br>142,00<br>171,00<br>58,00<br>1,740,00<br>448,00<br>1,800,00<br>180,00<br>180,00                                                                                                                                                                                                                                                                                                                                                                                                                                                                                                                                                                                                                                                                                                                                                                                                                                                                                                                                                                                                                                                                                                                                                                                                                                                                                                                                                                                                                                                                                                                                                                                                                                                                                                                                                                                                                                                                                                                                                                                                                                                                                                                                                                                                                                                                                                                                                                                                                                                                                                                                                                                                                                                                                    | 0 49,70 0 300,96 0 122,40 0 1,246,40 0 1,142,00 0 19,85 0 98,98 0 504,30 0 107,18 0 267,40 0 1,179,95 0 1,028,73 0 123,20 - 462,80 0 33,25                                                                                                                                                                                                                                                                                                                                                                                                                                                                                                                                                                                                                                                              | - 0.92 03 0.14 - 0.26 00 0.29 00 0.26 00 0.46 00 0.67 00 0.67 00 0.67 00 0.67 00 0.67 00 0.67 00 0.67 00 0.67 00 0.67 00 0.67 00 0.67 00 0.67 00 0.67 00 0.67 00 0.67 00 0.67 00 0.67 00 0.67 00 0.67 00 0.67 00 0.67 00 0.67                                                                                                                                                                                                                                                                                                                                                                                                                                                                                                                                                                                                                                                                                                                                                                                                                                                                                                                                                                                                                                                                                                                                                                                                                                                                                                                                                                                                                                                                                                                                                                                                                                                                                                                                                                                                                                                                                                  | 6 16.45 6 16.45 6 14.81 7 5.45 6 10.51 7 5.81 7 8 6 12.39 1 9.64 4 4.53 1 5.96 1 5.74 2 5.42 7 5 6.15 0 2.40                                                                                                                                                                                                                                                                                                                                                                                                                                                                                                                                                                                                                                                                                                                                                                                                                                                                                                                                                                                                                                                                                                                                                                                                                                                                                                                                                                                                                                                                                                                                                                                                                                                                                                                                                                                                                                                                                                                                                                                                                   | 7 3 3 6 3 1 5 5 5 6 5 1 1 5 6 6 6 6 6 6 6 6 6 6 6               |
| 1 33     07       0 56     24       0 40     52       3 26     22       0 94     47       0 91     23       1 0 70     23       1 15     52       0 79     44       1 55     08       3 625     06       3 625     06       3 025     25       0 63     45       1 100     5       7 60     2       4 65     45       3 80     2       3 80     2       3 80     2       3 80     2       3 80     2       3 80     2       3 80     2       3 80     2       3 80     2       3 80     2       3 80     2       3 80     2       3 80     2       3 80     2       3 80     2       3 80     2       3 80     2       3 80     2       3 80     2       3 80     2       3 80     2       3 80     2       3 80     2       3 80     2       3 80     2                                                                                                                                                                                                                                                                                                                                                                                                                                                                                                                                                                                                                                                                                                                                                                                                                                                                                                                                                                                                                                                                                                                                                                                                                                                                                                                                                                                                                                                                                                                                                                                                                                                                                                                                                                                                                                                                    | 43 品質國際<br>23 品質國際(優)<br>29 利東衛子<br>34 科東衛衛<br>36 生主東衛衛<br>36 生主東衛衛<br>48 等類別用<br>50 南角国際<br>84 質別的國際<br>84 質別的國際<br>85 月間的國際<br>86 日間的國際<br>87 日間的國際<br>87 日間的國際<br>88 日間的國際                                                                                                                                                                                                                                                                    | 1,29 0,39 0,339 2,529 0,389 0,77 7,65 0,80 0,76 1,26 9,95 0,69 2,97 1,83 0,15 2,65 0,56 0,68 3,87 0,95 6,70 3,90 3,77 0,41 2,00 0,46 8,10                                                                                                                                                                                                                                                                                                                                                                                                                                                                                                                                                                                                                                                                                                                                                                                                                                                                                                                                                                                                                                                                                                                                                                                                                                                                                                                                                                                                                                                                                                                                                                                                                                                                                                                                                                                                                                                                                                                                                                                      | 0.39 5 0.39 5 0.39 7 6 0.80 0.7 1.2 9.9 0.7 5 2.9 1.8 4 0.1 2.7 0.5 0.6 5 - 0.9 6 6 3 9 5 - 0.9 6 6 3 9 5 - 0.9 6 6 8 1                                                                                                                                                                                                                                                                                                                                                                                                                                                                                                                                                                                                                                                                                                                                                                                                                                                                                                                                                                                                                                                                                                                                                                                                                                                                                                                                                                                                                                                                                                                                                                                                                                                                                                                                                                                                                                                                                                                                                                                                        | 95 0.38<br>95 0.38<br>95 0.38<br>95 0.38<br>96 0.76<br>7 1.26<br>5 9 90<br>0 0.69<br>5 2 92<br>5 1 82<br>5 0.15<br>0 2 60<br>8 0 56<br>9 0.67<br>6 0.95<br>6 6.65<br>7 3.97<br>                                                                                                                                                                                                                                                                                                                                                                                                                                                                                                                                                                                                                                                                                                                                                                                                                                                                                                                                                                                                                                                                                                                                                                                                                                                                                                                                                                                                                                                                                                                                                                                                                                                                                                                                                                                                                                                                                                                                               | - 0.385 - 7.55 0.78 0.76 1.26 9.90 0.69 5 2 925 1 83 3 0 155 2 625 0 57 0 67 3 80 0.95 6 45 5 3 925 3.775 - 1.94 0.46 8.05                   | 2.55<br>0.395<br>0.79<br>7.60<br>0.80<br>0.77<br>1.27<br>9.95<br>0.70<br>2.975<br>1.85<br>0.157<br>2.65<br>0.58<br>0.68<br>3.875<br>0.96<br>6.65<br>4.00<br>3.825<br>0.42<br>1.95<br>0.47<br>8.10                                                                                                                                                                                                                                                                                                                                                                                                                                                                                                                                                                                                                                                                                                                                                                                                                                                                                                                                                                                                                                                                                                                                                                                                                                                                                                                                                                                                                                                                                                                                   | 2.529<br>0 389<br>0 77<br>7 60<br>0.79<br>0.76<br>1 27<br>9 95<br>0.69<br>2 95<br>1 85<br>0.15<br>2 65<br>0 57<br>0 67<br>3 87<br>0 96<br>6 65<br>3 92<br>3 .77<br>0.41<br>1.94<br>0.46<br>8.10                                                                                                                                                                                                                                                                                                                                                                                                                                                                                                                                                                                                                                                                                                                                                                                                                                                                                                                                                                                                                                                                                                                                                                                                                                                                                                                                                                                                                                                                                                                                                                                                                                                                                                                                                                                                                                                                                                                                                                                                                                                                                                                                                                                                                                                                                                                                                                                                                                                                                                                                                                                                                                                                                                                                                                                                                                                                                                                                                                                                     | 5                                                                                                                                                                                                                                                                                                                                                                                                                                                                                                                                                                                                                                                                                                                                                                                                                                                                                                                                                                                                                                                                                                                                                                                                                                                                                                                                                                                                                                                                                                                                                                                                                                                                                                                                                                                              | -102<br>-58<br>-68<br>                                                                                                  | 130,25<br>39,60<br>154,00<br>1,640,00<br>900,00<br>2,00<br>142,00<br>171,00<br>448,00<br>1,740,00<br>1,800,00<br>180,00<br>180,00<br>5,00<br>5,00<br>5,00<br>82,50                                                                                                                                                                                                                                                                                                                                                                                                                                                                                                                                                                                                                                                                                                                                                                                                                                                                                                                                                                                                                                                                                                                                                                                                                                                                                                                                                                                                                                                                                                                                                                                                                                                                                                                                                                                                                                                                                                                                                                                                                                                                                                                                                                                                                                                                                                                                                                                                                                                                                                                                                                                                                                                            | 0 49,70<br>0 300,96<br>0 122,40<br>0 1,246,40<br>0 1,142,00<br>0 19,85<br>0 98,98<br>0 504,30<br>0 107,18<br>0 267,40<br>0 1,179,95<br>0 1,028,73<br>0 123,20<br>10 33,25<br>10 33,25<br>10 19,85<br>10 1,053,55<br>10 26,00<br>10 668,3                                                                                                                                                                                                                                                                                                                                                                                                                                                                                                                                                                | - 0.92 03 0.14 - 0.28 00 0.29 00 0.28 00 0.46 00 0.46 00 0.65 00 0.65 00 0.65 00 0.65 00 0.65 00 0.65 00 0.65 00 0.65 00 0.65 00 0.65 00 0.65 00 0.65 00 0.65 00 0.65 00 0.65 00 0.65 00 0.65 00 0.65 00 0.65 00 0.65 00 0.65 00 0.65 00 0.65 00 0.65 00 0.65 00 0.65 00 0.65 00 0.65 00 0.65 00 0.65 00 0.65 00 0.65 00 0.65 00 0.65 00 0.65 00 0.65 00 0.65 00 0.65 00 0.65 00 0.65 00 0.65 00 0.65 00 0.65 00 0.65 00 0.65 00 0.65 00 0.65 00 0.65 00 0.65 00 0.65 00 0.65 00 0.65 00 0.65 00 0.65 00 0.65 00 0.65 00 0.65 00 0.65 00 0.65 00 0.65 00 0.65 00 0.65 00 0.65 00 0.65 00 0.65 00 0.65 00 0.65 00 0.65 00 0.65 00 0.65 00 0.65 00 0.65 00 0.65 00 0.65 00 0.65 00 0.65 00 0.65 00 0.65 00 0.65 00 0.65 00 0.65 00 0.65 00 0.65 00 0.65 00 0.65 00 0.65 00 0.65 00 0.65 00 0.65 00 0.65 00 0.65 00 0.65 00 0.65 00 0.65 00 0.65 00 0.65 00 0.65 00 0.65 00 0.65 00 0.65 00 0.65 00 0.65 00 0.65 00 0.65 00 0.65 00 0.65 00 0.65 00 0.65 00 0.65 00 0.65 00 0.65 00 0.65 00 0.65 00 0.65 00 0.65 00 0.65 00 0.65 00 0.65 00 0.65 00 0.65 00 0.65 00 0.65 00 0.65 00 0.65 00 0.65 00 0.65 00 0.65 00 0.65 00 0.65 00 0.65 00 0.65 00 0.65 00 0.65 00 0.65 00 0.65 00 0.65 00 0.65 00 0.65 00 0.65 00 0.65 00 0.65 00 0.65 00 0.65 00 0.65 00 0.65 00 0.65 00 0.65 00 0.65 00 0.65 00 0.65 00 0.65 00 0.65 00 0.65 00 0.65 00 0.65 00 0.65 00 0.65 00 0.65 00 0.65 00 0.65 00 0.65 00 0.65 00 0.65 00 0.65 00 0.65 00 0.65 00 0.65 00 0.65 00 0.65 00 0.65 00 0.65 00 0.65 00 0.65 00 0.65 00 0.65 00 0.65 00 0.65 00 0.65 00 0.65 00 0.65 00 0.65 00 0.65 00 0.65 00 0.65 00 0.65 00 0.65 00 0.65 00 0.65 00 0.65 00 0.65 00 0.65 00 0.65 00 0.65 00 0.65 00 0.65 00 0.65 00 0.65 00 0.65 00 0.65 00 0.65 00 0.65 00 0.65 00 0.65 00 0.65 00 0.65 00 0.65 00 0.65 00 0.65 00 0.65 00 0.65 00 0.65 00 0.65 00 0.65 00 0.65 00 0.65 00 0.65 00 0.65 00 0.65 00 0.65 00 0.65 00 0.65 00 0.65 00 0.65 00 0.65 00 0.65 00 0.65 00 0.65 00 0.65 00 0.65 00 0.65 00 0.65 00 0.65 00 0.65 00 0.65 00 0.65 00 0.65 00 0.65 00 0.65 00 0.65 00 0.65 00 0.65 00 0.65 00 0.65 00 0.65 00 0.65 00 0.65 00 0.65 00 0.65 00 0.65  | 6 16.45 6 16.45 6 14.81 7 5.45 6 10.51 7 5.81 7 5.81 7 5.81 7 5.81 7 5.96 1 5.74 2 5.42 7 5 6.15 0 2.40 7 10.74 4 7.36                                                                                                                                                                                                                                                                                                                                                                                                                                                                                                                                                                                                                                                                                                                                                                                                                                                                                                                                                                                                                                                                                                                                                                                                                                                                                                                                                                                                                                                                                                                                                                                                                                                                                                                                                                                                                                                                                                                                                                                                         | 7 3 6 3 1 5 5 3 1 5 5 3 1 5 6 6 6 6 6 6 6 6 6 6 6 6 6 6 6 6 6 6 |
| 1 33     07       0 56     24       0 40     52       3 26     22       0 94     47       0 91     23       0 70     23       1 15     52       0 79     44       1 55     08       3 625     08       3 625     08       3 625     08       3 625     53       0 183     03       2 825     53       0 65     50       1 113     09       4 65     43       1 00     5       7 60     23       4 65     23       3 80     23       0 633     4       1 80     03       1 67     03       2 70     23                                                                                                                                                                                                                                                                                                                                                                                                                                                                                                                                                                                                                                                                                                                                                                                                                                                                                                                                                                                                                                                                                                                                                                                                                                                                                                                                                                                                                                                                                                                                                                                                                                                                                                                                                                                                                                                                                                                                                                                                                                                                                                                       | 43 品質國際<br>23 品質國際(優)<br>29 利民選挙<br>72 河連銀子<br>34 玫瑰計順<br>36 生東電電器<br>81 短頭南<br>85 野頭南國際<br>85 野頭南國際<br>84 関東衛衛<br>85 野頭南國際<br>84 関東衛衛<br>85 野頭南國際<br>86 森馬<br>87 森野<br>87 森野<br>88 同門<br>88 同<br>88                                                                                | 1,29 0,39 0,339 0,339 2,529 0,389 0,77 7,65 0,80 0,76 1,26 9,95 0,69 2,97 1,83 0,15 2,65 0,56 0,56 0,56 0,56 0,56 0,56 0,56 0                                                                                                                                                                                                                                                                                                                                                                                                                                                                                                                                                                                                                                                                                                                                                                                                                                                                                                                                                                                                                                                                                                                                                                                                                                                                                                                                                                                                                                                                                                                                                                                                                                                                                                                                                                                                                                                                                                                                                                                                  | 0.39 5 0.39 5 0.39 7 6 0.89 0.7 1.2 9.9 0.7 5 2.9 1.8 4 0.1 2.7 0.5 0.6 5 - 0.9 6 6 3 9 5 - 0.9 6 6 3 9 5 - 0 2 0 5 0 4 1 3 1 1 1.1 5 2.0                                                                                                                                                                                                                                                                                                                                                                                                                                                                                                                                                                                                                                                                                                                                                                                                                                                                                                                                                                                                                                                                                                                                                                                                                                                                                                                                                                                                                                                                                                                                                                                                                                                                                                                                                                                                                                                                                                                                                                                      | 95 0 383 35 0 33                                                                                                                                                                                                                                                                                                                                                                                                                                                                                                                                                                                                                                                                                                                                                                                                                                                                                                                                                                                                                                                                                                                                                                                                                                                                                                                                                                                                                                                                                                                                                                                                                                                                                                                                                                                                                                                                                                                                                                                                                                                                                                              | - 0.385 - 7.55 0.78 0.76 1.26 9.90 0.69 5 2 925 1 83 3 0 155 2 625 0 57 0 67 3 80 0.95 6 45 5 3 925 3.775 - 1.94 0.46 8.05 1.16 2 05         | 2.55<br>0.395<br>0.79<br>7.60<br>0.80<br>0.77<br>1.27<br>9.95<br>0.70<br>2.975<br>1.85<br>0.15<br>2.65<br>0.58<br>0.68<br>3.875<br>0.96<br>6.65<br>4.00<br>3.825<br>0.42<br>1.95<br>0.47<br>8.10<br>1.20<br>2.075                                                                                                                                                                                                                                                                                                                                                                                                                                                                                                                                                                                                                                                                                                                                                                                                                                                                                                                                                                                                                                                                                                                                                                                                                                                                                                                                                                                                                                                                                                                   | 2.529 0.389 0.77 7.60 0.79 0.76 1.27 9.95 0.69 2.95 1.85 7.0.15 2.65 0.57 0.67 3.87 0.96 6.65 3.92 3.77 0.41 1.94 0.46 8.10 1.16                                                                                                                                                                                                                                                                                                                                                                                                                                                                                                                                                                                                                                                                                                                                                                                                                                                                                                                                                                                                                                                                                                                                                                                                                                                                                                                                                                                                                                                                                                                                                                                                                                                                                                                                                                                                                                                                                                                                                                                                                                                                                                                                                                                                                                                                                                                                                                                                                                                                                                                                                                                                                                                                                                                                                                                                                                                                                                                                                                                                                                                                    | 5                                                                                                                                                                                                                                                                                                                                                                                                                                                                                                                                                                                                                                                                                                                                                                                                                                                                                                                                                                                                                                                                                                                                                                                                                                                                                                                                                                                                                                                                                                                                                                                                                                                                                                                                                                                              | -102<br>-58<br>-68<br>-68<br>-91<br>-152<br>+45<br>-49<br>+54<br>-97<br>5 +78                                           | 130,25<br>39,60<br>154,00<br>1,640,00<br>900,00<br>2,00<br>142,00<br>171,00<br>448,00<br>1,800,00<br>180,00<br>180,00<br>5,00<br>5,00<br>5,00<br>6,00<br>6,00<br>6,00<br>6,00<br>6,00<br>6,00<br>6,00<br>6,00<br>6,00<br>6,00<br>6,00<br>6,00<br>6,00<br>6,00<br>6,00<br>6,00<br>6,00<br>6,00<br>6,00<br>6,00<br>6,00<br>6,00<br>6,00<br>6,00<br>6,00<br>6,00<br>6,00<br>6,00<br>6,00<br>6,00<br>6,00<br>6,00<br>6,00<br>6,00<br>6,00<br>6,00<br>6,00<br>6,00<br>6,00<br>6,00<br>6,00<br>6,00<br>6,00<br>6,00<br>6,00<br>6,00<br>6,00<br>6,00<br>6,00<br>6,00<br>6,00<br>6,00<br>6,00<br>6,00<br>6,00<br>6,00<br>6,00<br>6,00<br>6,00<br>6,00<br>6,00<br>6,00<br>6,00<br>6,00<br>6,00<br>6,00<br>6,00<br>6,00<br>6,00<br>6,00<br>6,00<br>6,00<br>6,00<br>6,00<br>6,00<br>6,00<br>6,00<br>6,00<br>6,00<br>6,00<br>6,00<br>6,00<br>6,00<br>6,00<br>6,00<br>6,00<br>6,00<br>6,00<br>6,00<br>6,00<br>6,00<br>6,00<br>6,00<br>6,00<br>6,00<br>6,00<br>6,00<br>6,00<br>6,00<br>6,00<br>6,00<br>6,00<br>6,00<br>6,00<br>6,00<br>6,00<br>6,00<br>6,00<br>6,00<br>6,00<br>6,00<br>6,00<br>6,00<br>6,00<br>6,00<br>6,00<br>6,00<br>6,00<br>6,00<br>6,00<br>6,00<br>6,00<br>6,00<br>6,00<br>6,00<br>6,00<br>6,00<br>6,00<br>6,00<br>6,00<br>6,00<br>6,00<br>6,00<br>6,00<br>6,00<br>6,00<br>6,00<br>6,00<br>6,00<br>6,00<br>6,00<br>6,00<br>6,00<br>6,00<br>6,00<br>6,00<br>6,00<br>6,00<br>6,00<br>6,00<br>6,00<br>6,00<br>6,00<br>6,00<br>6,00<br>6,00<br>6,00<br>6,00<br>6,00<br>6,00<br>6,00<br>6,00<br>6,00<br>6,00<br>6,00<br>6,00<br>6,00<br>6,00<br>6,00<br>6,00<br>6,00<br>6,00<br>6,00<br>6,00<br>6,00<br>6,00<br>6,00<br>6,00<br>6,00<br>6,00<br>6,00<br>6,00<br>6,00<br>6,00<br>6,00<br>6,00<br>6,00<br>6,00<br>6,00<br>6,00<br>6,00<br>6,00<br>6,00<br>6,00<br>6,00<br>6,00<br>6,00<br>6,00<br>6,00<br>6,00<br>6,00<br>6,00<br>6,00<br>6,00<br>6,00<br>6,00<br>6,00<br>6,00<br>6,00<br>6,00<br>6,00<br>6,00<br>6,00<br>6,00<br>6,00<br>6,00<br>6,00<br>6,00<br>6,00<br>6,00<br>6,00<br>6,00<br>6,00<br>6,00<br>6,00<br>6,00<br>6,00<br>6,00<br>6,00<br>6,00<br>6,00<br>6,00<br>6,00<br>6,00<br>6,00<br>6,00<br>6,00<br>6,00<br>6,00<br>6,00<br>6,00<br>6,00<br>6,00<br>6,00<br>6,00<br>6,00<br>6,00<br>6,00<br>6,00<br>6,00<br>6,00<br>6,00<br>6,00<br>6,00<br>6,00<br>6,00<br>6,00<br>6,00<br>6,00<br>6,00<br>6,00<br>6,00<br>6,00<br>6,00<br>6,00<br>6,00<br>6,00<br>6,00<br>6,00<br>6,00<br>6,00<br>6,00<br>6,00<br>6,00<br>6,00<br>6,00<br>6,00<br>6,00<br>6,00<br>6,00<br>6,00<br>6,00<br>6,00<br>6,00<br>6,00<br>6,00<br>6,00<br>6,00<br>6,00<br>6,00<br>6,00<br>6,00<br>6,00<br>6,00<br>6,00<br>6,00<br>6,00<br>6,00<br>6,00<br>6,00<br>6,00<br>6,00<br>6,00<br>6,00<br>6,00<br>6,00<br>6,00<br>6,00<br>6,00<br>6,00<br>6,00<br>6,00<br>6,00<br>6,00<br>6,00<br>6,00<br>6,00<br>6,00<br>6,00<br>6,00<br>6,00<br>6,00 | 0 49,70 0 300,96 0 122,40 0 1,246,40 0 1,142,00 0 19,85 0 98,98 0 504,30 0 107,18 0 267,40 0 1,179,95 0 1,028,73 0 123,20 0 462,80 0 33,25 0 19,87                                                                                                                                                                                                                                                                                                                                                                                                                                                                                                                                                                                                                                                      | - 0.92 03 0.14 - 0.28 00 0.29 00 0.29 00 0.46 00 0.67 00 0.39 00 0.39 00 0.39 00 0.39 00 0.39 00 0.39 00 0.39 00 0.39 00 0.39 00 0.40 00 0.40                                                                                                                                                                                                                                                                                                                                                                                                                                                                                                                                                                                                                                                                                                                                                                                                                                                                                                                                                                                                                                                                                                                                                                                                                                                                                                                                                                                                                                                                                                                                                                                                                                                                                                                                                                                                                                                                                                                                                                                  | 6 16.45 6 16.45 6 14.81 7 3.72 6 10.51 7 5.81 7 -6 6 12.39 1 9.64 4 4.53 1 5.96 1 5.74 2 5.42 7 - 5 6.15 0 2.40 7 10.74 4 7.36 2 3.97 4 3.96                                                                                                                                                                                                                                                                                                                                                                                                                                                                                                                                                                                                                                                                                                                                                                                                                                                                                                                                                                                                                                                                                                                                                                                                                                                                                                                                                                                                                                                                                                                                                                                                                                                                                                                                                                                                                                                                                                                                                                                   | 7                                                               |
| 1 33     07       0 56     24       0 40     52       3 26     22       0 94     47       0 91     23       1 7 40     25       0 65     56       3 625     06       3 625     06       3 625     52       0 113     07       2 825     53       0 65     50       1 113     09       4 65     45       1 00     5       7 60     23       4 65     43       1 180     05       1 67     02       2 70     29                                                                                                                                                                                                                                                                                                                                                                                                                                                                                                                                                                                                                                                                                                                                                                                                                                                                                                                                                                                                                                                                                                                                                                                                                                                                                                                                                                                                                                                                                                                                                                                                                                                                                                                                                                                                                                                                                                                                                                                                                                                                                                                                                                                                               | 43 品質國際<br>23 品質國際(優)<br>29 利民實際<br>72 河連銀子<br>34 玫瑰 中東電影<br>36 生東電影器<br>81 野東 東電影器<br>81 野東 東電影器<br>85 野東 南田 西<br>86 東京                                                                                                                                                                                                                                                                                                                                                                                                                                                                                                                                                                                                                                                                                                                                                                                                                                                                                                                                                                                                                                                                                                                                                                                                                                                                                                                                                                                                                                                                                                                                                                                                                                                                                                                                                                                                                                                                                                                                                                                                                                                                                                                                                                                                                                                                                                                                                                                                                                                                                                                                                                                                                                                             | 1,29<br>0,39<br>0,33<br>2,52<br>0,38<br>0,77<br>7,65<br>0,80<br>0,76<br>1,26<br>9,95<br>0,69<br>2,97<br>1,83<br>0,15<br>2,65<br>0,56<br>0,56<br>0,56<br>0,56<br>0,56<br>0,56<br>0,56<br>0                                                                                                                                                                                                                                                                                                                                                                                                                                                                                                                                                                                                                                                                                                                                                                                                                                                                                                                                                                                                                                                                                                                                                                                                                                                                                                                                                                                                                                                                                                                                                                                                                                                                                                                                                                                                                                                                                                                                      | 0.39 5 0.39 5 0.39 7 6 0.89 0.7 1.2 9.9 0.7 5 2.9 1.8 4 0.1 2.7 0.5 0.6 5 - 0.9 6 6 3 9 5 - 0.9 6 6 3 9 5 - 0 2 0 5 0 4 1 3 1 1 1.1 5 2.0                                                                                                                                                                                                                                                                                                                                                                                                                                                                                                                                                                                                                                                                                                                                                                                                                                                                                                                                                                                                                                                                                                                                                                                                                                                                                                                                                                                                                                                                                                                                                                                                                                                                                                                                                                                                                                                                                                                                                                                      | 95 0 383 35 0 33                                                                                                                                                                                                                                                                                                                                                                                                                                                                                                                                                                                                                                                                                                                                                                                                                                                                                                                                                                                                                                                                                                                                                                                                                                                                                                                                                                                                                                                                                                                                                                                                                                                                                                                                                                                                                                                                                                                                                                                                                                                                                                              | - 0.385 - 7.55 0.78 0.76 1.26 9.90 0.69 5 2 925 1 83 3 0 155 2 625 0 57 0 67 3 80 0.95 6 45 5 3 925 3.775 - 1.94 0.46 8.05 1.16 2 05         | 2.55<br>0.395<br>0.79<br>7.60<br>0.80<br>0.77<br>1.27<br>9.95<br>0.70<br>2.975<br>1.85<br>0.15<br>2.65<br>0.58<br>0.68<br>3.875<br>0.96<br>6.65<br>4.00<br>3.825<br>0.42<br>1.95<br>0.47<br>8.10<br>1.20<br>2.075                                                                                                                                                                                                                                                                                                                                                                                                                                                                                                                                                                                                                                                                                                                                                                                                                                                                                                                                                                                                                                                                                                                                                                                                                                                                                                                                                                                                                                                                                                                   | 2.529 0.389 0.77 7.60 0.79 0.76 1.27 9.95 0.69 2.95 1.85 7.0.15 2.65 0.57 0.67 3.87 0.96 6.65 3.92 3.77 0.41 1.94 0.46 8.10 1.16                                                                                                                                                                                                                                                                                                                                                                                                                                                                                                                                                                                                                                                                                                                                                                                                                                                                                                                                                                                                                                                                                                                                                                                                                                                                                                                                                                                                                                                                                                                                                                                                                                                                                                                                                                                                                                                                                                                                                                                                                                                                                                                                                                                                                                                                                                                                                                                                                                                                                                                                                                                                                                                                                                                                                                                                                                                                                                                                                                                                                                                                    | 5                                                                                                                                                                                                                                                                                                                                                                                                                                                                                                                                                                                                                                                                                                                                                                                                                                                                                                                                                                                                                                                                                                                                                                                                                                                                                                                                                                                                                                                                                                                                                                                                                                                                                                                                                                                              | -102<br>-58<br>-68<br>-68<br>-91<br>-152<br>+45<br>-49<br>+54<br>-97<br>5 +78                                           | 130,25<br>39,60<br>154,00<br>1,640,00<br>900,00<br>2,00<br>142,00<br>171,00<br>448,00<br>1,800,00<br>180,00<br>180,00<br>5,00<br>5,00<br>5,00<br>6,00<br>6,00<br>6,00<br>6,00<br>6,00<br>6,00<br>6,00<br>6,00<br>6,00<br>6,00<br>6,00<br>6,00<br>6,00<br>6,00<br>6,00<br>6,00<br>6,00<br>6,00<br>6,00<br>6,00<br>6,00<br>6,00<br>6,00<br>6,00<br>6,00<br>6,00<br>6,00<br>6,00<br>6,00<br>6,00<br>6,00<br>6,00<br>6,00<br>6,00<br>6,00<br>6,00<br>6,00<br>6,00<br>6,00<br>6,00<br>6,00<br>6,00<br>6,00<br>6,00<br>6,00<br>6,00<br>6,00<br>6,00<br>6,00<br>6,00<br>6,00<br>6,00<br>6,00<br>6,00<br>6,00<br>6,00<br>6,00<br>6,00<br>6,00<br>6,00<br>6,00<br>6,00<br>6,00<br>6,00<br>6,00<br>6,00<br>6,00<br>6,00<br>6,00<br>6,00<br>6,00<br>6,00<br>6,00<br>6,00<br>6,00<br>6,00<br>6,00<br>6,00<br>6,00<br>6,00<br>6,00<br>6,00<br>6,00<br>6,00<br>6,00<br>6,00<br>6,00<br>6,00<br>6,00<br>6,00<br>6,00<br>6,00<br>6,00<br>6,00<br>6,00<br>6,00<br>6,00<br>6,00<br>6,00<br>6,00<br>6,00<br>6,00<br>6,00<br>6,00<br>6,00<br>6,00<br>6,00<br>6,00<br>6,00<br>6,00<br>6,00<br>6,00<br>6,00<br>6,00<br>6,00<br>6,00<br>6,00<br>6,00<br>6,00<br>6,00<br>6,00<br>6,00<br>6,00<br>6,00<br>6,00<br>6,00<br>6,00<br>6,00<br>6,00<br>6,00<br>6,00<br>6,00<br>6,00<br>6,00<br>6,00<br>6,00<br>6,00<br>6,00<br>6,00<br>6,00<br>6,00<br>6,00<br>6,00<br>6,00<br>6,00<br>6,00<br>6,00<br>6,00<br>6,00<br>6,00<br>6,00<br>6,00<br>6,00<br>6,00<br>6,00<br>6,00<br>6,00<br>6,00<br>6,00<br>6,00<br>6,00<br>6,00<br>6,00<br>6,00<br>6,00<br>6,00<br>6,00<br>6,00<br>6,00<br>6,00<br>6,00<br>6,00<br>6,00<br>6,00<br>6,00<br>6,00<br>6,00<br>6,00<br>6,00<br>6,00<br>6,00<br>6,00<br>6,00<br>6,00<br>6,00<br>6,00<br>6,00<br>6,00<br>6,00<br>6,00<br>6,00<br>6,00<br>6,00<br>6,00<br>6,00<br>6,00<br>6,00<br>6,00<br>6,00<br>6,00<br>6,00<br>6,00<br>6,00<br>6,00<br>6,00<br>6,00<br>6,00<br>6,00<br>6,00<br>6,00<br>6,00<br>6,00<br>6,00<br>6,00<br>6,00<br>6,00<br>6,00<br>6,00<br>6,00<br>6,00<br>6,00<br>6,00<br>6,00<br>6,00<br>6,00<br>6,00<br>6,00<br>6,00<br>6,00<br>6,00<br>6,00<br>6,00<br>6,00<br>6,00<br>6,00<br>6,00<br>6,00<br>6,00<br>6,00<br>6,00<br>6,00<br>6,00<br>6,00<br>6,00<br>6,00<br>6,00<br>6,00<br>6,00<br>6,00<br>6,00<br>6,00<br>6,00<br>6,00<br>6,00<br>6,00<br>6,00<br>6,00<br>6,00<br>6,00<br>6,00<br>6,00<br>6,00<br>6,00<br>6,00<br>6,00<br>6,00<br>6,00<br>6,00<br>6,00<br>6,00<br>6,00<br>6,00<br>6,00<br>6,00<br>6,00<br>6,00<br>6,00<br>6,00<br>6,00<br>6,00<br>6,00<br>6,00<br>6,00<br>6,00<br>6,00<br>6,00<br>6,00<br>6,00<br>6,00<br>6,00<br>6,00<br>6,00<br>6,00<br>6,00<br>6,00<br>6,00<br>6,00<br>6,00<br>6,00<br>6,00<br>6,00<br>6,00<br>6,00<br>6,00<br>6,00<br>6,00<br>6,00<br>6,00<br>6,00<br>6,00<br>6,00<br>6,00<br>6,00<br>6,00<br>6,00<br>6,00<br>6,00<br>6,00<br>6,00<br>6,00<br>6,00<br>6,00 | 0 49,70 0 300,96 0 122,40 0 1,246,40 0 1,142,00 0 19,85 0 98,98 0 504,30 0 107,18 0 267,40 0 1,179,95 0 1,028,73 0 123,20 0 462,80 0 33,25 0 19,87                                                                                                                                                                                                                                                                                                                                                                                                                                                                                                                                                                                                                                                      | - 0.92 03 0.14 - 0.28 00 0.29 00 0.29 00 0.46 00 0.67 00 0.39 00 0.39 00 0.39 00 0.39 00 0.39 00 0.39 00 0.39 00 0.39 00 0.39 00 0.40 00 0.40                                                                                                                                                                                                                                                                                                                                                                                                                                                                                                                                                                                                                                                                                                                                                                                                                                                                                                                                                                                                                                                                                                                                                                                                                                                                                                                                                                                                                                                                                                                                                                                                                                                                                                                                                                                                                                                                                                                                                                                  | 6 16.45 6 16.45 6 14.81 7 3.72 6 10.51 7 5.81 7 -6 6 12.39 1 9.64 4 4.53 1 5.96 1 5.74 2 5.42 7 - 5 6.15 0 2.40 7 10.74 4 7.36 2 3.97 4 3.96                                                                                                                                                                                                                                                                                                                                                                                                                                                                                                                                                                                                                                                                                                                                                                                                                                                                                                                                                                                                                                                                                                                                                                                                                                                                                                                                                                                                                                                                                                                                                                                                                                                                                                                                                                                                                                                                                                                                                                                   | 7                                                               |
| 1 33     07       0 56     24       0 40     52       3 26     22       0 94     47       0 91     23       0 70     23       1 15     52       0 79     44       1 55     08       3 625     08       3 625     08       3 025     25       0 183     07       2 825     53       0 65     50       1 113     09       4 65     45       1 00     5       7 60     23       4 65     23       3 80     23       0 633     4       3 821     33       0 91     4       1 180     09       1 67     09       2 70     29                                                                                                                                                                                                                                                                                                                                                                                                                                                                                                                                                                                                                                                                                                                                                                                                                                                                                                                                                                                                                                                                                                                                                                                                                                                                                                                                                                                                                                                                                                                                                                                                                                                                                                                                                                                                                                                                                                                                                                                                                                                                                                     | 43 品質國際<br>23 品質國際(優)<br>29 利民選等<br>72 河連銀子<br>34 玫瑰山原<br>36 生東電影<br>81 野瀬南田<br>81 野瀬南田<br>85 野瀬南田<br>86 野瀬南田<br>87 藤原 第一次<br>87 藤原 第一次<br>88 日 日 日 日 日 日 日 日 日 日 日 日 日 日 日 日 日 日                                                                                                                                                                                                                                                                                                                                                                                                                                                                                                                                                                                                                                                                                                                                                                                                                                                                                                                                                                                                                                                                                                                                                                                                                                                                                                                                                                                                                                                                                                                                                                                                                                                                                                                                                                                                                                                                                                                                                                                                                                                                                                                                                                                                                                                                                                                                                                                                                                                                                                                                                                                                                                        | 1,29 0,39 0,339 2,529 0,389 0,77 7,65 0,80 0,76 1,26 9,95 0,69 2,97 1,83 0,15 2,65 0,56 0,56 0,56 0,56 0,56 0,56 0,56 0                                                                                                                                                                                                                                                                                                                                                                                                                                                                                                                                                                                                                                                                                                                                                                                                                                                                                                                                                                                                                                                                                                                                                                                                                                                                                                                                                                                                                                                                                                                                                                                                                                                                                                                                                                                                                                                                                                                                                                                                        | 0.39 5 0.39 5 0.39 7 6 0.89 0.7 1.2 9.9 0.7 5 2.9 1.8 4 0.1 2.7 0.5 0.6 5 - 0.9 6 6 3 9 5 - 0.9 6 6 3 9 5 - 0 2 0 5 0 4 1 3 1 1 1.1 5 2.0                                                                                                                                                                                                                                                                                                                                                                                                                                                                                                                                                                                                                                                                                                                                                                                                                                                                                                                                                                                                                                                                                                                                                                                                                                                                                                                                                                                                                                                                                                                                                                                                                                                                                                                                                                                                                                                                                                                                                                                      | 95 0 383 35 0 33                                                                                                                                                                                                                                                                                                                                                                                                                                                                                                                                                                                                                                                                                                                                                                                                                                                                                                                                                                                                                                                                                                                                                                                                                                                                                                                                                                                                                                                                                                                                                                                                                                                                                                                                                                                                                                                                                                                                                                                                                                                                                                              | 0.385 - 7.55 0.78 0.76 1.26 9.90 0.69 5 2 925 1 83 3 0 155 2 625 0 57 0 67 3 80 0.95 6 45 5 3 925 3.775 - 1.94 0.46 8.05 1.16 2.05 7 0 187   | 2.55<br>0.395<br>0.79<br>7.60<br>0.80<br>0.77<br>1.27<br>9.95<br>0.70<br>2.975<br>1.85<br>0.15<br>2.65<br>0.58<br>0.68<br>3.875<br>0.96<br>6.65<br>4.00<br>3.825<br>0.42<br>1.95<br>0.47<br>8.10<br>1.20<br>2.075                                                                                                                                                                                                                                                                                                                                                                                                                                                                                                                                                                                                                                                                                                                                                                                                                                                                                                                                                                                                                                                                                                                                                                                                                                                                                                                                                                                                                                                                                                                   | 2.529 0.389 0.77 7.60 0.79 0.76 1.27 9.95 0.69 2.95 1.85 7.0.15 2.65 0.57 0.67 3.87 0.96 6.65 3.92 3.77 0.41 1.94 0.46 8.10 1.16                                                                                                                                                                                                                                                                                                                                                                                                                                                                                                                                                                                                                                                                                                                                                                                                                                                                                                                                                                                                                                                                                                                                                                                                                                                                                                                                                                                                                                                                                                                                                                                                                                                                                                                                                                                                                                                                                                                                                                                                                                                                                                                                                                                                                                                                                                                                                                                                                                                                                                                                                                                                                                                                                                                                                                                                                                                                                                                                                                                                                                                                    | 5                                                                                                                                                                                                                                                                                                                                                                                                                                                                                                                                                                                                                                                                                                                                                                                                                                                                                                                                                                                                                                                                                                                                                                                                                                                                                                                                                                                                                                                                                                                                                                                                                                                                                                                                                                                              | -102<br>-58<br>-68<br>-68<br>-91<br>-152<br>+45<br>-49<br>+54<br>-97<br>5 +78                                           | 130,25<br>39,60<br>154,00<br>1,640,00<br>900,00<br>2,00<br>142,00<br>171,00<br>448,00<br>1,800,00<br>180,00<br>180,00<br>5,00<br>5,00<br>5,00<br>6,00<br>6,00<br>6,00<br>6,00<br>6,00<br>6,00<br>6,00<br>6,00<br>6,00<br>6,00<br>6,00<br>6,00<br>6,00<br>6,00<br>6,00<br>6,00<br>6,00<br>6,00<br>6,00<br>6,00<br>6,00<br>6,00<br>6,00<br>6,00<br>6,00<br>6,00<br>6,00<br>6,00<br>6,00<br>6,00<br>6,00<br>6,00<br>6,00<br>6,00<br>6,00<br>6,00<br>6,00<br>6,00<br>6,00<br>6,00<br>6,00<br>6,00<br>6,00<br>6,00<br>6,00<br>6,00<br>6,00<br>6,00<br>6,00<br>6,00<br>6,00<br>6,00<br>6,00<br>6,00<br>6,00<br>6,00<br>6,00<br>6,00<br>6,00<br>6,00<br>6,00<br>6,00<br>6,00<br>6,00<br>6,00<br>6,00<br>6,00<br>6,00<br>6,00<br>6,00<br>6,00<br>6,00<br>6,00<br>6,00<br>6,00<br>6,00<br>6,00<br>6,00<br>6,00<br>6,00<br>6,00<br>6,00<br>6,00<br>6,00<br>6,00<br>6,00<br>6,00<br>6,00<br>6,00<br>6,00<br>6,00<br>6,00<br>6,00<br>6,00<br>6,00<br>6,00<br>6,00<br>6,00<br>6,00<br>6,00<br>6,00<br>6,00<br>6,00<br>6,00<br>6,00<br>6,00<br>6,00<br>6,00<br>6,00<br>6,00<br>6,00<br>6,00<br>6,00<br>6,00<br>6,00<br>6,00<br>6,00<br>6,00<br>6,00<br>6,00<br>6,00<br>6,00<br>6,00<br>6,00<br>6,00<br>6,00<br>6,00<br>6,00<br>6,00<br>6,00<br>6,00<br>6,00<br>6,00<br>6,00<br>6,00<br>6,00<br>6,00<br>6,00<br>6,00<br>6,00<br>6,00<br>6,00<br>6,00<br>6,00<br>6,00<br>6,00<br>6,00<br>6,00<br>6,00<br>6,00<br>6,00<br>6,00<br>6,00<br>6,00<br>6,00<br>6,00<br>6,00<br>6,00<br>6,00<br>6,00<br>6,00<br>6,00<br>6,00<br>6,00<br>6,00<br>6,00<br>6,00<br>6,00<br>6,00<br>6,00<br>6,00<br>6,00<br>6,00<br>6,00<br>6,00<br>6,00<br>6,00<br>6,00<br>6,00<br>6,00<br>6,00<br>6,00<br>6,00<br>6,00<br>6,00<br>6,00<br>6,00<br>6,00<br>6,00<br>6,00<br>6,00<br>6,00<br>6,00<br>6,00<br>6,00<br>6,00<br>6,00<br>6,00<br>6,00<br>6,00<br>6,00<br>6,00<br>6,00<br>6,00<br>6,00<br>6,00<br>6,00<br>6,00<br>6,00<br>6,00<br>6,00<br>6,00<br>6,00<br>6,00<br>6,00<br>6,00<br>6,00<br>6,00<br>6,00<br>6,00<br>6,00<br>6,00<br>6,00<br>6,00<br>6,00<br>6,00<br>6,00<br>6,00<br>6,00<br>6,00<br>6,00<br>6,00<br>6,00<br>6,00<br>6,00<br>6,00<br>6,00<br>6,00<br>6,00<br>6,00<br>6,00<br>6,00<br>6,00<br>6,00<br>6,00<br>6,00<br>6,00<br>6,00<br>6,00<br>6,00<br>6,00<br>6,00<br>6,00<br>6,00<br>6,00<br>6,00<br>6,00<br>6,00<br>6,00<br>6,00<br>6,00<br>6,00<br>6,00<br>6,00<br>6,00<br>6,00<br>6,00<br>6,00<br>6,00<br>6,00<br>6,00<br>6,00<br>6,00<br>6,00<br>6,00<br>6,00<br>6,00<br>6,00<br>6,00<br>6,00<br>6,00<br>6,00<br>6,00<br>6,00<br>6,00<br>6,00<br>6,00<br>6,00<br>6,00<br>6,00<br>6,00<br>6,00<br>6,00<br>6,00<br>6,00<br>6,00<br>6,00<br>6,00<br>6,00<br>6,00<br>6,00<br>6,00<br>6,00<br>6,00<br>6,00<br>6,00<br>6,00<br>6,00<br>6,00<br>6,00<br>6,00<br>6,00<br>6,00<br>6,00<br>6,00<br>6,00<br>6,00<br>6,00<br>6,00<br>6,00<br>6,00<br>6,00 | 0 49,70 0 300,96 0 122,40 0 1,246,40 0 1,142,00 0 19,85 0 98,98 0 504,30 0 107,18 0 267,40 0 1,179,95 0 1,028,73 0 123,20 0 462,80 0 33,25 0 19,87                                                                                                                                                                                                                                                                                                                                                                                                                                                                                                                                                                                                                                                      | - 0.92 03 0.14 - 0.28 00 0.29 00 0.29 00 0.46 00 0.67 00 0.39 00 0.39 00 0.39 00 0.39 00 0.39 00 0.39 00 0.39 00 0.39 00 0.39 00 0.40 00 0.40                                                                                                                                                                                                                                                                                                                                                                                                                                                                                                                                                                                                                                                                                                                                                                                                                                                                                                                                                                                                                                                                                                                                                                                                                                                                                                                                                                                                                                                                                                                                                                                                                                                                                                                                                                                                                                                                                                                                                                                  | 6 16.45 6 16.45 6 14.81 7 3.72 8 5.45 6 10.51 7 5.81 7 5.81 7 5.81 7 5.96 1 9.64 4 4.53 1 5.96 1 5.74 2 5.42 7 5 6.15 0 2.40 7 10.74 7.38 2 3.97 4 3.96 7 5.12                                                                                                                                                                                                                                                                                                                                                                                                                                                                                                                                                                                                                                                                                                                                                                                                                                                                                                                                                                                                                                                                                                                                                                                                                                                                                                                                                                                                                                                                                                                                                                                                                                                                                                                                                                                                                                                                                                                                                                 | 7                                                               |
| 1 33     07       0 56     24       0 40     52       3 26     22       0 94     47       0 91     23       0 70     23       1 15     52       0 79     44       1 55     08       3 625     06       3 625     06       3 625     06       3 625     52       0 65     50       1 113     09       4 65     45       1 00     5       7 60     2       4 65     2       3 80     2       0 633     4       3 821     3       0 91     4       1 180     05       1 67     0       2 70     2       0 315     2       0 315     2                                                                                                                                                                                                                                                                                                                                                                                                                                                                                                                                                                                                                                                                                                                                                                                                                                                                                                                                                                                                                                                                                                                                                                                                                                                                                                                                                                                                                                                                                                                                                                                                                                                                                                                                                                                                                                                                                                                                                                                                                                                                                          | 43 品質國際<br>23 品質國際(優)<br>29 利民選等<br>72 河連銀子<br>34 玫瑰計画<br>36 生東電電器<br>85 野頭南國際<br>85 野頭南國際<br>85 野頭南國際<br>84 関東軍業<br>56 森馬 医図<br>54 属馬 医図<br>54 属馬 医図<br>54 属馬 医図<br>54 属馬 医図<br>54 属馬 医図<br>54 属馬 医図<br>55 森 野 野 東<br>56 森 野 野 東<br>57 友 母 野 野 野 野 野 野 野 野 野 野 野 野 野 野 野 野 野 野                                                                                                                                                                                                                                                                                                                                                                                                                                                                                                                                                                                                                                                                                                                                                                                                                                                                                                                                                                                                                                                                                                                                                                                                                                                                                                                                                                                                                                                                                                                                                                                                                                                                                                                                                                                                                                                                                                                                                                                                                                                                                                                                                                                                                                                                                                                                                                                                                                                                                                                                          | 1,29 0,39 0,339 2,529 0,389 0,77 7,65 0,80 0,76 1,26 9,95 0,69 2,97 1,83 0,15 2,65 0,56 0,56 0,56 0,56 0,56 0,56 0,56 0                                                                                                                                                                                                                                                                                                                                                                                                                                                                                                                                                                                                                                                                                                                                                                                                                                                                                                                                                                                                                                                                                                                                                                                                                                                                                                                                                                                                                                                                                                                                                                                                                                                                                                                                                                                                                                                                                                                                                                                                        | 5 0.3: 5 0.3: 5 0.3: 5 0.3: 7 6 0.8: 0.7: 1.2: 9.9: 0.7: 1.8: 4 0.1 2.7 0.5: 0.6: 5 0.9: 6 6 6 3 9: 5 0.9: 6 6 6 3 9: 5 0.9: 6 6 6 3 9: 7 0 1: 7 0 1: 7 0 1: 7 0 1: 7 0 1: 7 0 1: 7 0 1: 7 0 1: 7 0 1: 7 0 1: 7 0 1: 7 0 1: 7 0 1: 7 0 1: 7 0 1: 7 0 1: 7 0 1: 7 0 1: 7 0 1: 7 0 1: 7 0 1: 7 0 1: 7 0 1: 7 0 1: 7 0 1: 7 0 1: 7 0 1: 7 0 1: 7 0 1: 7 0 1: 7 0 1: 7 0 1: 7 0 1: 7 0 1: 7 0 1: 7 0 1: 7 0 1: 7 0 1: 7 0 1: 7 0 1: 7 0 1: 7 0 1: 7 0 1: 7 0 1: 7 0 1: 7 0 1: 7 0 1: 7 0 1: 7 0 1: 7 0 1: 7 0 1: 7 0 1: 7 0 1: 7 0 1: 7 0 1: 7 0 1: 7 0 1: 7 0 1: 7 0 1: 7 0 1: 7 0 1: 7 0 1: 7 0 1: 7 0 1: 7 0 1: 7 0 1: 7 0 1: 7 0 1: 7 0 1: 7 0 1: 7 0 1: 7 0 1: 7 0 1: 7 0 1: 7 0 1: 7 0 1: 7 0 1: 7 0 1: 7 0 1: 7 0 1: 7 0 1: 7 0 1: 7 0 1: 7 0 1: 7 0 1: 7 0 1: 7 0 1: 7 0 1: 7 0 1: 7 0 1: 7 0 1: 7 0 1: 7 0 1: 7 0 1: 7 0 1: 7 0 1: 7 0 1: 7 0 1: 7 0 1: 7 0 1: 7 0 1: 7 0 1: 7 0 1: 7 0 1: 7 0 1: 7 0 1: 7 0 1: 7 0 1: 7 0 1: 7 0 1: 7 0 1: 7 0 1: 7 0 1: 7 0 1: 7 0 1: 7 0 1: 7 0 1: 7 0 1: 7 0 1: 7 0 1: 7 0 1: 7 0 1: 7 0 1: 7 0 1: 7 0 1: 7 0 1: 7 0 1: 7 0 1: 7 0 1: 7 0 1: 7 0 1: 7 0 1: 7 0 1: 7 0 1: 7 0 1: 7 0 1: 7 0 1: 7 0 1: 7 0 1: 7 0 1: 7 0 1: 7 0 1: 7 0 1: 7 0 1: 7 0 1: 7 0 1: 7 0 1: 7 0 1: 7 0 1: 7 0 1: 7 0 1: 7 0 1: 7 0 1: 7 0 1: 7 0 1: 7 0 1: 7 0 1: 7 0 1: 7 0 1: 7 0 1: 7 0 1: 7 0 1: 7 0 1: 7 0 1: 7 0 1: 7 0 1: 7 0 1: 7 0 1: 7 0 1: 7 0 1: 7 0 1: 7 0 1: 7 0 1: 7 0 1: 7 0 1: 7 0 1: 7 0 1: 7 0 1: 7 0 1: 7 0 1: 7 0 1: 7 0 1: 7 0 1: 7 0 1: 7 0 1: 7 0 1: 7 0 1: 7 0 1: 7 0 1: 7 0 1: 7 0 1: 7 0 1: 7 0 1: 7 0 1: 7 0 1: 7 0 1: 7 0 1: 7 0 1: 7 0 1: 7 0 1: 7 0 1: 7 0 1: 7 0 1: 7 0 1: 7 0 1: 7 0 1: 7 0 1: 7 0 1: 7 0 1: 7 0 1: 7 0 1: 7 0 1: 7 0 1: 7 0 1: 7 0 1: 7 0 1: 7 0 1: 7 0 1: 7 0 1: 7 0 1: 7 0 1: 7 0 1: 7 0 1: 7 0 1: 7 0 1: 7 0 1: 7 0 1: 7 0 1: 7 0 1: 7 0 1: 7 0 1: 7 0 1: 7 0 1: 7 0 1: 7 0 1: 7 0 1: 7 0 1: 7 0 1: 7 0 1: 7 0 1: 7 0 1: 7 0 1: 7 0 1: 7 0 1: 7 0 1: 7 0 1: 7 0 1: 7 0 1: 7 0 1: 7 0 1: 7 0 1: 7 0 1: 7 0 1: 7 0 1: 7 0 1: 7 0 1: 7 0 1: 7 0 1: 7 0 1: 7 0 1: 7 0 1: 7 0 1: 7 0 1: 7 0 1: 7 0 1: 7 0 1: 7 0 1: 7 0 1: 7 0 1: 7 0 1: 7 0 1: 7 0 1: 7 0 1: | 95 0 383 35 0 33                                                                                                                                                                                                                                                                                                                                                                                                                                                                                                                                                                                                                                                                                                                                                                                                                                                                                                                                                                                                                                                                                                                                                                                                                                                                                                                                                                                                                                                                                                                                                                                                                                                                                                                                                                                                                                                                                                                                                                                                                                                                                                              | - 0.385 - 7.55 0.78 0.76 1.26 9.90 0.69 5 2 925 1 83 3 0 155 2 625 0 57 0 67 3 80 0.95 6 45 5 3 925 3.775 - 1.94 0.46 8.05 1.16 2.05 7 0 187 | 2.55<br>0.395<br>0.79<br>7.60<br>0.80<br>0.77<br>1.27<br>9.95<br>0.70<br>2.975<br>1.85<br>0.157<br>2.65<br>0.58<br>0.68<br>3.875<br>0.96<br>6.65<br>4.00<br>3.825<br>0.42<br>1.95<br>0.47<br>8.10<br>1.20<br>2.075<br>7.0.19                                                                                                                                                                                                                                                                                                                                                                                                                                                                                                                                                                                                                                                                                                                                                                                                                                                                                                                                                                                                                                                                                                                                                                                                                                                                                                                                                                                                                                                                                                        | 2.529<br>0 389<br>0 77<br>7 60<br>0.79<br>0.76<br>1 27<br>9 95<br>0.69<br>2 95<br>1 85<br>7 0.15<br>2 65<br>0 57<br>0 67<br>3 87<br>0 96<br>6 65<br>3 92<br>3 .77<br>0.41<br>1.94<br>0.46<br>8.10<br>1.16<br>5 2 05<br>0.19                                                                                                                                                                                                                                                                                                                                                                                                                                                                                                                                                                                                                                                                                                                                                                                                                                                                                                                                                                                                                                                                                                                                                                                                                                                                                                                                                                                                                                                                                                                                                                                                                                                                                                                                                                                                                                                                                                                                                                                                                                                                                                                                                                                                                                                                                                                                                                                                                                                                                                                                                                                                                                                                                                                                                                                                                                                                                                                                                                         | 5                                                                                                                                                                                                                                                                                                                                                                                                                                                                                                                                                                                                                                                                                                                                                                                                                                                                                                                                                                                                                                                                                                                                                                                                                                                                                                                                                                                                                                                                                                                                                                                                                                                                                                                                                                                              | -102<br>-58<br>-68<br>-68<br>-91<br>-152<br>+45<br>-49<br>+54<br>-97<br>5 +78                                           | 130,25<br>39,60<br>154,00<br>1,640,00<br>900,00<br>142,00<br>171,00<br>448,00<br>1,800,00<br>180,00<br>180,00<br>5,00<br>5,00<br>5,00<br>5,00<br>56,00<br>82,50<br>200,00                                                                                                                                                                                                                                                                                                                                                                                                                                                                                                                                                                                                                                                                                                                                                                                                                                                                                                                                                                                                                                                                                                                                                                                                                                                                                                                                                                                                                                                                                                                                                                                                                                                                                                                                                                                                                                                                                                                                                                                                                                                                                                                                                                                                                                                                                                                                                                                                                                                                                                                                                                                                                                                     | 0 49,70 0 300,96 0 122,40 0 1,246,40 0 1,142,00 0 19,85 0 98,98 0 504,30 0 107,18 0 267,40 0 1,179,95 0 1,028,73 0 123,20 0 462,80 0 33,25 0 19,87 0 19,87 0 19,87                                                                                                                                                                                                                                                                                                                                                                                                                                                                                                                                                                                                                                      | - 0.92 03 0.14 - 0.26 00 0.29 00 0.28 00 0.46 00 0.66 00 0.66 00 0.66 00 0.66 00 0.66 00 0.66 00 0.76 1.46 00 0.39 00 0.46 00 0.76 1.30 - 0.19 00 0.76 10 0.10 50 0.96                                                                                                                                                                                                                                                                                                                                                                                                                                                                                                                                                                                                                                                                                                                                                                                                                                                                                                                                                                                                                                                                                                                                                                                                                                                                                                                                                                                                                                                                                                                                                                                                                                                                                                                                                                                                                                                                                                                                                         | 6 16.45 6 16.45 6 16.45 6 14.81 7 3.72 8 5.45 6 10.51 7 5.81 7 5.81 7 5.81 7 5.81 7 5.81 7 5.81 7 5.81 7 5.81 7 7 6.15 8 7 7 7 8 7 7 5 6.15 0 2.40 7 10.74 7.38 2 3.97 4 3.96 7 5.12                                                                                                                                                                                                                                                                                                                                                                                                                                                                                                                                                                                                                                                                                                                                                                                                                                                                                                                                                                                                                                                                                                                                                                                                                                                                                                                                                                                                                                                                                                                                                                                                                                                                                                                                                                                                                                                                                                                                           | 7                                                               |
| 1 33     07       0 56     24       0 40     52       3 26     22       0 94     47       0 91     23       1 15     52       0 79     44       1 55     08       7 40     25       0 82     48       3 625     06       3 025     25       0 113     05       4 65     45       1 00     5       7 60     2       4 65     2       3 80     2       0 315     2       0 315     2       0 315     2       1 150     0                                                                                                                                                                                                                                                                                                                                                                                                                                                                                                                                                                                                                                                                                                                                                                                                                                                                                                                                                                                                                                                                                                                                                                                                                                                                                                                                                                                                                                                                                                                                                                                                                                                                                                                                                                                                                                                                                                                                                                                                                                                                                                                                                                                                      | 43 品質國際<br>23 品質國際(優)<br>29 利東連手<br>34 政連軍等<br>34 政連計職<br>36 生東東電腦器<br>81 東東電腦器<br>81 東京電腦器<br>85 東京電腦器<br>85 東京電腦器<br>85 東京電腦器<br>86 東京電腦器<br>87 東京電腦器<br>87 東京電腦器<br>88 東京電腦器<br>89 東京                                                                                                                                                                                                                                                                     | 1,29 0,39 0,339 2,529 0,380 0,77 7,65 0,80 0,76 1,26 9,95 0,69 2,97 1,83 0,15 2,65 0,56 0,68 3,87 0,95 6,70 3,90 3,77 0,41 2,00 0,46 8,10 1,20 2,07 0,18                                                                                                                                                                                                                                                                                                                                                                                                                                                                                                                                                                                                                                                                                                                                                                                                                                                                                                                                                                                                                                                                                                                                                                                                                                                                                                                                                                                                                                                                                                                                                                                                                                                                                                                                                                                                                                                                                                                                                                       | 0.39 5 0.39 5 0.39 7 6 0.89 0.7 1.2 9.9 0.7 5 2.9 1.8 4 0.1 2.7 0.5 0.6 5 - 0.9 6 6 6 3 9 5 - 0.9 6 6 6 3 9 5 - 0.9 6 6 6 3 9 7 0 1                                                                                                                                                                                                                                                                                                                                                                                                                                                                                                                                                                                                                                                                                                                                                                                                                                                                                                                                                                                                                                                                                                                                                                                                                                                                                                                                                                                                                                                                                                                                                                                                                                                                                                                                                                                                                                                                                                                                                                                            | 95 0 383 35 0 33                                                                                                                                                                                                                                                                                                                                                                                                                                                                                                                                                                                                                                                                                                                                                                                                                                                                                                                                                                                                                                                                                                                                                                                                                                                                                                                                                                                                                                                                                                                                                                                                                                                                                                                                                                                                                                                                                                                                                                                                                                                                                                              | 5 0.385 - 7.55 0.78 0.76 1.26 9.90 0.69 5 2.925 1.83 3 0.155 2.625 0.57 0.67 380 0.95 6.45 5 3.925 3.775 - 1.94 0.46 8.05 1.16 2.05 7 0.187  | 2.55<br>0.395<br>0.79<br>7.60<br>0.80<br>0.77<br>1.27<br>9.95<br>0.70<br>2.975<br>1.85<br>0.157<br>2.65<br>0.58<br>0.68<br>3.875<br>0.96<br>6.65<br>4.00<br>3.825<br>0.42<br>1.95<br>0.47<br>8.10<br>1.20<br>2.075<br>7.0.19                                                                                                                                                                                                                                                                                                                                                                                                                                                                                                                                                                                                                                                                                                                                                                                                                                                                                                                                                                                                                                                                                                                                                                                                                                                                                                                                                                                                                                                                                                        | 2.529<br>0 389<br>0 77<br>7 60<br>0.79<br>0.76<br>1 27<br>9 95<br>0.69<br>2 95<br>1 85<br>7 0.15<br>2 65<br>0 57<br>0 67<br>3 87<br>0 96<br>6 65<br>3 92<br>5 3.77<br>0.41<br>1.94<br>0.46<br>8.10<br>1.16<br>5 2 05<br>0.19                                                                                                                                                                                                                                                                                                                                                                                                                                                                                                                                                                                                                                                                                                                                                                                                                                                                                                                                                                                                                                                                                                                                                                                                                                                                                                                                                                                                                                                                                                                                                                                                                                                                                                                                                                                                                                                                                                                                                                                                                                                                                                                                                                                                                                                                                                                                                                                                                                                                                                                                                                                                                                                                                                                                                                                                                                                                                                                                                                        | 5                                                                                                                                                                                                                                                                                                                                                                                                                                                                                                                                                                                                                                                                                                                                                                                                                                                                                                                                                                                                                                                                                                                                                                                                                                                                                                                                                                                                                                                                                                                                                                                                                                                                                                                                                                                              | -102<br>-58<br>+68<br>                                                                                                  | 130,25<br>39,60<br>154,00<br>1,640,00<br>900,00<br>2,00<br>142,00<br>171,00<br>448,00<br>1,800,00<br>180,00<br>180,00<br>5,00<br>5,00<br>5,00<br>5,00<br>200,00<br>130,00                                                                                                                                                                                                                                                                                                                                                                                                                                                                                                                                                                                                                                                                                                                                                                                                                                                                                                                                                                                                                                                                                                                                                                                                                                                                                                                                                                                                                                                                                                                                                                                                                                                                                                                                                                                                                                                                                                                                                                                                                                                                                                                                                                                                                                                                                                                                                                                                                                                                                                                                                                                                                                                     | 0 49,70 0 300,96 0 122,40 0 1,246,40 0 1,142,00 0 19,85 0 98,98 0 504,30 0 107,18 0 267,40 0 1,179,95 0 1,028,73 0 123,20 0 462,80 0 33,25 0 19,85 0 26,0 0 668,3 0 23,20 0 49,65 0 37,9                                                                                                                                                                                                                                                                                                                                                                                                                                                                                                                                                                                                                | - 0.92 03 0.14 - 0.26 00 0.29 00 0.28 00 0.46 00 0.60 00 0.60 00 0.60 00 0.60 00 0.60 00 0.60 00 0.70 1.40 00 0.70 1.40 - 1.30 - 0.19 00 0.70 10 0.10 50 2.90 00 0.40 25 0.70 10 0.00                                                                                                                                                                                                                                                                                                                                                                                                                                                                                                                                                                                                                                                                                                                                                                                                                                                                                                                                                                                                                                                                                                                                                                                                                                                                                                                                                                                                                                                                                                                                                                                                                                                                                                                                                                                                                                                                                                                                          | 6 16.45 6 16.45 6 14.81 7 3.72 8 5.45 6 10.51 7 5.81 7 8 6 12.39 1 9.64 4 4.53 1 5.96 1 5.74 2 5.42 7 5 6.15 0 2.40 7 10.74 4 7.38 2 3.97 4 3.96 7 5.12                                                                                                                                                                                                                                                                                                                                                                                                                                                                                                                                                                                                                                                                                                                                                                                                                                                                                                                                                                                                                                                                                                                                                                                                                                                                                                                                                                                                                                                                                                                                                                                                                                                                                                                                                                                                                                                                                                                                                                        | 7 1:5 1:5 1:5 1:5 1:5 1:5 1:5 1:5 1:5 1:5                       |
| 1 33       07         0 56       24         0 40       52         3 26       22         0 94       47         0 91       23         0 79       44         1 55       08         3 625       06         3 625       06         3 625       06         3 625       06         3 625       52         0 65       50         1 113       09         4 65       43         1 67       02         2 70       2         0 3 15       2         0 3 15       2         1 46       3         1 50       0         5 65       1         1 46       3         1 50       0         5 65       1         1 48       2                                                                                                                                                                                                                                                                                                                                                                                                                                                                                                                                                                                                                                                                                                                                                                                                                                                                                                                                                                                                                                                                                                                                                                                                                                                                                                                                                                                                                                                                                                                                                                                                                                                                                                                                                                                                                                                                                                                                                                                                                   | 43 品質國際<br>23 品質國際(優)<br>29 利民連續子<br>34 短漢的<br>36 生產業 超過<br>48 類別內質學<br>48 類別內質學<br>50 內別國際<br>84 質別<br>50 內別國際<br>84 質別<br>54 質別<br>54 質別<br>54 質別<br>54 質別<br>55 別<br>64 質別<br>65 別<br>65 別<br>66 別<br>66 別<br>66 別<br>66 別<br>66 別<br>66                                                                                                                                                                                                                                                                                                                                                                                                                                                                                                                                                                                                                                                                                                                                                                                                                                                                                                                                                                                                                                                                                                                                                                                                                                                                                                                                                                                                                                                                                                                                                                                                                                                                                                                                                                                                                                                                                                                                                                                                                                                                                                                                                                                                                                                                                                                                                                                                                                                                                                                                                                              | 1,29 0,39 0,39 0,339 2,529 0,380 0,77 7,65 0,80 0,76 1,26 9,95 0,69 2,97 1,83 0,15 2,65 0,56 0,56 0,56 0,56 0,56 0,56 0,56 0                                                                                                                                                                                                                                                                                                                                                                                                                                                                                                                                                                                                                                                                                                                                                                                                                                                                                                                                                                                                                                                                                                                                                                                                                                                                                                                                                                                                                                                                                                                                                                                                                                                                                                                                                                                                                                                                                                                                                                                                   | 0.39 5 0.39 5 0.39 7 6 0.89 0.7 1.2 9.9 0.7 5 2.9 1.8 4 0.1 2.7 0.5 0.6 5 - 0.9 6 6 3 9 5 - 0 2 0 6 6 3 9 5 - 0 2 0 6 7 0 1 1.1 5 2.0 6 7 0 1 1.1 5 2.0 6 7 0 1 1.1 5 2.0 6 7 0 1 1.1 6 8 1 1.1 7 8 1 8 1 8 1 8 1 8 1 8 1 8 1 8 1 8 1 8 1                                                                                                                                                                                                                                                                                                                                                                                                                                                                                                                                                                                                                                                                                                                                                                                                                                                                                                                                                                                                                                                                                                                                                                                                                                                                                                                                                                                                                                                                                                                                                                                                                                                                                                                                                                                                                                                                                      | 95 0 383 35 0 33                                                                                                                                                                                                                                                                                                                                                                                                                                                                                                                                                                                                                                                                                                                                                                                                                                                                                                                                                                                                                                                                                                                                                                                                                                                                                                                                                                                                                                                                                                                                                                                                                                                                                                                                                                                                                                                                                                                                                                                                                                                                                                              | 5 0.385 - 7.55 0.78 0.76 1.26 9.90 0.69 5 2.925 1.83 3 0.155 2.625 0.57 0.67 380 0.95 6.45 5 3.925 3.775 - 1.94 0.46 8.05 1.16 2.05 7 0.187  | 2.55<br>0.395<br>0.79<br>7.60<br>0.80<br>0.77<br>1.27<br>9.95<br>0.70<br>2.975<br>1.85<br>0.157<br>2.65<br>0.58<br>0.68<br>3.875<br>0.96<br>6.65<br>4.00<br>3.825<br>0.42<br>1.95<br>0.47<br>8.10<br>1.20<br>2.075<br>7.0.19                                                                                                                                                                                                                                                                                                                                                                                                                                                                                                                                                                                                                                                                                                                                                                                                                                                                                                                                                                                                                                                                                                                                                                                                                                                                                                                                                                                                                                                                                                        | 2.529<br>0 389<br>0 77<br>7 60<br>0.79<br>0.76<br>1 27<br>9 95<br>0.69<br>2 95<br>1 85<br>7 0.15<br>2 65<br>0 57<br>0 67<br>0 67<br>3 87<br>0 96<br>6 65<br>3 92<br>5 3.77<br>0.41<br>1.94<br>0.46<br>8.10<br>1.16<br>5 2 05<br>0.19                                                                                                                                                                                                                                                                                                                                                                                                                                                                                                                                                                                                                                                                                                                                                                                                                                                                                                                                                                                                                                                                                                                                                                                                                                                                                                                                                                                                                                                                                                                                                                                                                                                                                                                                                                                                                                                                                                                                                                                                                                                                                                                                                                                                                                                                                                                                                                                                                                                                                                                                                                                                                                                                                                                                                                                                                                                                                                                                                                | 5                                                                                                                                                                                                                                                                                                                                                                                                                                                                                                                                                                                                                                                                                                                                                                                                                                                                                                                                                                                                                                                                                                                                                                                                                                                                                                                                                                                                                                                                                                                                                                                                                                                                                                                                                                                              | -102<br>-58<br>+68<br>                                                                                                  | 130,25<br>39,60<br>154,00<br>1,640,00<br>900,00<br>142,00<br>171,00<br>58,00<br>1,740,00<br>448,00<br>1,800,00<br>180,00<br>5,00<br>5,00<br>5,00<br>5,00<br>220,00<br>56,00<br>82,50<br>200,00<br>11130,00<br>11130,00<br>11130,00<br>11130,00<br>11130,00<br>11130,00<br>11130,00<br>11130,00<br>11130,00<br>11130,00<br>11130,00<br>11130,00<br>11130,00<br>11130,00<br>11130,00<br>11130,00<br>11130,00<br>11130,00<br>11130,00<br>11130,00<br>11130,00<br>11130,00<br>11130,00<br>11130,00<br>11130,00<br>11130,00                                                                                                                                                                                                                                                                                                                                                                                                                                                                                                                                                                                                                                                                                                                                                                                                                                                                                                                                                                                                                                                                                                                                                                                                                                                                                                                                                                                                                                                                                                                                                                                                                                                                                                                                                                                                                                                                                                                                                                                                                                                                                                                                                                                                                                                                                                        | 0 49,70 0 300,96 0 122,40 0 1,246,40 0 1,142,00 0 19,85 0 98,98 0 504,30 0 107,18 0 267,40 0 1,179,95 0 1,028,73 0 123,20 0 462,80 0 33,25 0 19,85 0 26,0 0 49,65 0 37,9                                                                                                                                                                                                                                                                                                                                                                                                                                                                                                                                                                                                                                | - 0.92 03 0.14 - 0.26 00 0.29 00 0.29 00 0.46 00 0.60 00 0.60 00 0.60 00 0.60 00 0.70 1.4 00 0.39 00 0.70 1.0 00 0.70 1.0 00 0.70 1.0 00 0.70 1.0 00 0.70 1.0 00 0.70 1.0 00 0.70 1.0 00 0.70 1.0 00 0.70 1.0 00 0.70 1.0 00 0.70 1.0 00 0.70 1.0 00 0.70 1.0 00 0.70 1.0 00 0.70 1.0 00 0.70 1.0 00 0.70 1.0 00 0.70 1.0 00 0.70 1.0 00 0.70 1.0 00 0.70 1.0 00 0.70 1.0 00 0.70 1.0 00 0.70 1.0 00 0.70 1.0 00 0.70 1.0 00 0.70 1.0 00 0.70 1.0 00 0.70 1.0 00 0.70 1.0 00 0.70 1.0 00 0.70 1.0 00 0.70 1.0 00 0.70 1.0 00 0.70 1.0 00 0.70 1.0 00 0.70 1.0 00 0.70 1.0 00 0.70 1.0 00 0.70 1.0 00 0.70 1.0 00 0.70 1.0 00 0.70 1.0 00 0.70 1.0 00 0.70 1.0 00 0.70 1.0 00 0.70 1.0 00 0.70 1.0 00 0.70 1.0 00 0.70 1.0 00 0.70 1.0 00 0.70 1.0 00 0.70 1.0 00 0.70 1.0 00 0.70 1.0 00 0.70 1.0 00 0.70 1.0 00 0.70 1.0 00 0.70 1.0 00 0.70 1.0 00 0.70 1.0 00 0.70 1.0 00 0.70 1.0 00 0.70 1.0 00 0.70 1.0 00 0.70 1.0 00 0.70 1.0 00 0.70 1.0 00 0.70 1.0 00 0.70 1.0 00 0.70 1.0 00 0.70 1.0 00 0.70 1.0 00 0.70 1.0 00 0.70 1.0 00 0.70 1.0 00 0.70 1.0 00 0.70 1.0 00 0.70 1.0 00 0.70 1.0 00 0.70 1.0 00 0.70 1.0 00 0.70 1.0 00 0.70 1.0 00 0.70 1.0 00 0.70 1.0 00 0.70 1.0 00 0.70 1.0 00 0.70 1.0 00 0.70 1.0 00 0.70 1.0 00 0.70 1.0 00 0.70 1.0 00 0.70 1.0 00 0.70 1.0 00 0.70 1.0 00 0.70 1.0 00 0.70 1.0 00 0.70 1.0 00 0.70 1.0 00 0.70 1.0 00 0.70 1.0 00 0.70 1.0 00 0.70 1.0 00 0.70 1.0 00 0.70 1.0 00 0.70 1.0 00 0.70 1.0 00 0.70 1.0 00 0.70 1.0 00 0.70 1.0 00 0.70 1.0 00 0.70 1.0 00 0.70 1.0 00 0.70 1.0 00 0.70 1.0 00 0.70 1.0 00 0.70 1.0 00 0.70 1.0 00 0.70 1.0 00 0.70 1.0 00 0.70 1.0 00 0.70 1.0 00 0.70 1.0 00 0.70 1.0 00 0.70 1.0 00 0.70 1.0 00 0.70 1.0 00 0.70 1.0 00 0.70 1.0 00 0.70 1.0 00 0.70 1.0 00 0.70 1.0 00 0.70 1.0 00 0.70 1.0 00 0.70 1.0 00 0.70 1.0 00 0.70 1.0 00 0.70 1.0 00 0.70 1.0 00 0.70 1.0 00 0.70 1.0 00 0.70 1.0 00 0.70 1.0 00 0.70 1.0 00 0.70 1.0 00 0.70 1.0 00 0.70 1.0 00 0.70 1.0 00 0.70 1.0 00 0.70 1.0 00 0.70 1.0 00 0.70 1.0 00 0.70 1.0 00 0.70 1.0 00 0.70 1.0 00 0.70 1.0 00 0.70 1.0 00 0.70 1.0 00 0.70 1.0 00 0.70 1.0 00 0.70 1.0 00 0 | 6 16.45 6 16.45 6 14.81 7 3.72 6 10.51 7 5.81 7 5.81 7 5.81 7 5.81 7 5.96 6 12.39 6 4 4.53 6 5.06 7 7 7 7 7 7 7 7 7 7 7 7 7 7 7 7 7 7 7                                                                                                                                                                                                                                                                                                                                                                                                                                                                                                                                                                                                                                                                                                                                                                                                                                                                                                                                                                                                                                                                                                                                                                                                                                                                                                                                                                                                                                                                                                                                                                                                                                                                                                                                                                                                                                                                                                                                                                                        | 7 1: 5 1: 5 1: 5 1: 5 1: 5 1: 5 1: 5 1:                         |
| 1 33       07         0 56       24         0 40       52         3 26       22         0 94       47         0 91       23         1 0 70       23         1 15       52         0 79       44         1 55       08         1 7 40       25         0 82       48         3 625       06         3 025       25         0 65       50         1 113       09         4 65       45         1 00       5         7 60       2         4 65       2         3 80       2         0 315       2         0 315       2         0 315       2         0 4475       3                                                                                                                                                                                                                                                                                                                                                                                                                                                                                                                                                                                                                                                                                                                                                                                                                                                                                                                                                                                                                                                                                                                                                                                                                                                                                                                                                                                                                                                                                                                                                                                                                                                                                                                                                                                                                                                                                                                                                                                                                                                           | 23 品質國際<br>23 品質國際(優)<br>29 利民政策<br>72 河東軍事<br>36 生力策制 國際<br>81 空東 電影 の<br>81 三等 の<br>81 の 所<br>82 の 所<br>83 の 所<br>84 医 の<br>85 の 所<br>85 の 所<br>86 の 所<br>87 の の<br>87 の の<br>88 の の<br>88 の の<br>89 の<br>89 の の<br>89 の                                                                               | 1,29 0,39 0,339 0,339 2,529 0,380 0,77 7,65 0,80 0,76 1,26 9,95 0,69 2,97 1,83 0,15 2,65 0,56 0,56 0,68 3,87 0,95 6,70 3,90 3,77 0,41 2,00 0,46 8,10 1,20 2,07 0,18 2,07 0,18 2,07 0,18 2,07 0,18 2,07 0,18 2,07 0,18 2,07 0,18 2,07 0,18 2,07 0,18 2,07 0,18 2,07 0,18 2,07 0,18 2,07 0,18 2,07 0,18 2,07 0,18 2,07 0,18 2,07 0,18 2,07 0,18 2,07 0,18 2,07 0,18 2,07 0,18 2,07 0,18 2,07 0,18 2,07 0,18 2,07 0,18 2,07 0,18 2,07 0,18 2,07 0,18 2,07 0,18 2,07 0,18 2,07 0,18 2,07 0,18 2,07 0,18 2,07 0,18 2,07 0,18 2,07 0,18 2,07 0,18 2,07 0,18 2,07 0,18 2,07 0,18 2,07 0,18 2,07 0,18 2,07 0,18 2,07 0,18 2,07 0,18 2,07 0,18 2,07 0,18 2,07 0,18 2,07 0,18 2,07 0,18 2,07 0,18 2,07 0,18 2,07 0,18 2,07 0,18 2,07 0,18 2,07 0,18 2,07 0,18 2,07 0,18 2,07 0,18 2,07 0,18 2,07 0,18 2,07 0,18 2,07 0,18 2,07 0,18 2,07 0,18 2,07 0,18 2,07 0,18 2,07 0,18 2,07 0,18 2,07 0,18 2,07 0,18 2,07 0,18 2,07 0,18 2,07 0,18 2,07 0,18 2,07 0,18 2,07 0,18 2,07 0,18 2,07 0,18 2,07 0,18 2,07 0,18 2,07 0,18 2,07 0,18 2,07 0,18 2,07 0,18 2,07 0,18 2,07 0,18 2,07 0,18 2,07 0,18 2,07 0,18 2,07 0,18 2,07 0,18 2,07 0,18 2,07 0,18 2,07 0,18 2,07 0,18 2,07 0,18 2,07 0,18 2,07 0,18 2,07 0,18 2,07 0,18 2,07 0,18 2,07 0,18 2,07 0,18 2,07 0,18 2,07 0,18 2,07 0,18 2,07 0,18 2,07 0,18 2,07 0,18 2,07 0,18 2,07 0,18 2,07 0,18 2,07 0,18 2,07 0,18 2,07 0,18 2,07 0,18 2,07 0,18 2,07 0,18 2,07 0,18 2,07 0,18 2,07 0,18 2,07 0,18 2,07 0,18 2,07 0,18 2,07 0,18 2,07 0,18 2,07 0,18 2,07 0,18 2,07 0,18 2,07 0,18 2,07 0,18 2,07 0,18 2,07 0,18 2,07 0,18 2,07 0,18 2,07 0,18 2,07 0,18 2,07 0,18 2,07 0,18 2,07 0,18 2,07 0,18 2,07 0,18 2,07 0,18 2,07 0,18 2,07 0,18 2,07 0,18 2,07 0,18 2,07 0,18 2,07 0,18 2,07 0,18 2,07 0,18 2,07 0,18 2,07 0,18 2,07 0,18 2,07 0,18 2,07 0,18 2,07 0,18 2,07 0,18 2,07 0,18 2,07 0,18 2,07 0,18 2,07 0,18 2,07 0,18 2,07 0,18 2,07 0,18 2,07 0,18 2,07 0,18 2,07 0,18 2,07 0,18 2,07 0,18 2,07 0,18 2,07 0,18 2,07 0,18 2,07 0,18 2,07 0,18 2,07 0,18 2,07 0,18 2,07 0,18 2,07 0,18 2,07 0,18 2,07 0,18 2,07 0,18 2,07 0,18 2,07 0,18 2,07 0,18 2,07 0,18 2,07 0,18 2,07 0,18 2, | 0.39 5 0.39 7 6 0.89 0.7 1.2 9.9 0.7 5 2.9 1.8 4 0.1 2.7 0.5 0.6 5 - 0.9 6 6 6 3 9 5 - 0 2 0 6 6 6 3 9 5 - 0 2 0 6 7 6 7 7 7 8 8 1 7 8 1 8 1 8 1 8 1 8 1 8 1 8 1 8 1 8 1 8 1                                                                                                                                                                                                                                                                                                                                                                                                                                                                                                                                                                                                                                                                                                                                                                                                                                                                                                                                                                                                                                                                                                                                                                                                                                                                                                                                                                                                                                                                                                                                                                                                                                                                                                                                                                                                                                                                                                                                                   | 95 0 383 35 0 33 35 0 33 35 0 33 36                                                                                                                                                                                                                                                                                                                                                                                                                                                                                                                                                                                                                                                                                                                                                                                                                                                                                                                                                                                                                                                                                                                                                                                                                                                                                                                                                                                                                                                                                                                                                                                                                                                                                                                                                                                                                                                                                                                                                                                                                                                                                           | 0.385                                                                                                                                        | 2.55<br>0.395<br>0.79<br>7.60<br>0.80<br>0.77<br>1.27<br>9.95<br>0.70<br>2.975<br>1.85<br>0.157<br>2.65<br>0.58<br>0.68<br>3.875<br>0.96<br>6.65<br>4.00<br>3.825<br>0.42<br>1.95<br>0.47<br>8.10<br>1.20<br>2.075<br>7.0.19                                                                                                                                                                                                                                                                                                                                                                                                                                                                                                                                                                                                                                                                                                                                                                                                                                                                                                                                                                                                                                                                                                                                                                                                                                                                                                                                                                                                                                                                                                        | 2.520<br>0 383<br>0 77<br>7 60<br>0.79<br>0.76<br>1 27<br>9 95<br>0.69<br>2 95<br>1 85<br>7 0.15<br>2 65<br>0 57<br>0 67<br>3 87<br>0 96<br>6 65<br>3 92<br>3 .77<br>0.41<br>1.94<br>0.46<br>8.10<br>1.16<br>5 2 05<br>0.19<br>5 6 0.19                                                                                                                                                                                                                                                                                                                                                                                                                                                                                                                                                                                                                                                                                                                                                                                                                                                                                                                                                                                                                                                                                                                                                                                                                                                                                                                                                                                                                                                                                                                                                                                                                                                                                                                                                                                                                                                                                                                                                                                                                                                                                                                                                                                                                                                                                                                                                                                                                                                                                                                                                                                                                                                                                                                                                                                                                                                                                                                                                             | 5                                                                                                                                                                                                                                                                                                                                                                                                                                                                                                                                                                                                                                                                                                                                                                                                                                                                                                                                                                                                                                                                                                                                                                                                                                                                                                                                                                                                                                                                                                                                                                                                                                                                                                                                                                                              | -102<br>-58<br>+68<br>                                                                                                  | 130,25<br>39,60<br>154,00<br>1,640,00<br>2,00<br>142,00<br>171,00<br>58,00<br>1,740,00<br>448,00<br>1,800,00<br>180,00<br>180,00<br>180,00<br>10,00<br>10,00<br>10,00<br>10,00<br>10,00<br>10,00<br>10,00<br>10,00<br>10,00<br>10,00<br>10,00<br>10,00<br>10,00<br>10,00<br>10,00<br>10,00<br>10,00<br>10,00<br>10,00<br>10,00<br>10,00<br>10,00<br>10,00<br>10,00<br>10,00<br>10,00<br>10,00<br>10,00<br>10,00<br>10,00<br>10,00<br>10,00<br>10,00<br>10,00<br>10,00<br>10,00<br>10,00<br>10,00<br>10,00<br>10,00<br>10,00<br>10,00<br>10,00<br>10,00<br>10,00<br>10,00<br>10,00<br>10,00<br>10,00<br>10,00<br>10,00<br>10,00<br>10,00<br>10,00<br>10,00<br>10,00<br>10,00<br>10,00<br>10,00<br>10,00<br>10,00<br>10,00<br>10,00<br>10,00<br>10,00<br>10,00<br>10,00<br>10,00<br>10,00<br>10,00<br>10,00<br>10,00<br>10,00<br>10,00<br>10,00<br>10,00<br>10,00<br>10,00<br>10,00<br>10,00<br>10,00<br>10,00<br>10,00<br>10,00<br>10,00<br>10,00<br>10,00<br>10,00<br>10,00<br>10,00<br>10,00<br>10,00<br>10,00<br>10,00<br>10,00<br>10,00<br>10,00<br>10,00<br>10,00<br>10,00<br>10,00<br>10,00<br>10,00<br>10,00<br>10,00<br>10,00<br>10,00<br>10,00<br>10,00<br>10,00<br>10,00<br>10,00<br>10,00<br>10,00<br>10,00<br>10,00<br>10,00<br>10,00<br>10,00<br>10,00<br>10,00<br>10,00<br>10,00<br>10,00<br>10,00<br>10,00<br>10,00<br>10,00<br>10,00<br>10,00<br>10,00<br>10,00<br>10,00<br>10,00<br>10,00<br>10,00<br>10,00<br>10,00<br>10,00<br>10,00<br>10,00<br>10,00<br>10,00<br>10,00<br>10,00<br>10,00<br>10,00<br>10,00<br>10,00<br>10,00<br>10,00<br>10,00<br>10,00<br>10,00<br>10,00<br>10,00<br>10,00<br>10,00<br>10,00<br>10,00<br>10,00<br>10,00<br>10,00<br>10,00<br>10,00<br>10,00<br>10,00<br>10,00<br>10,00<br>10,00<br>10,00<br>10,00<br>10,00<br>10,00<br>10,00<br>10,00<br>10,00<br>10,00<br>10,00<br>10,00<br>10,00<br>10,00<br>10,00<br>10,00<br>10,00<br>10,00<br>10,00<br>10,00<br>10,00<br>10,00<br>10,00<br>10,00<br>10,00<br>10,00<br>10,00<br>10,00<br>10,00<br>10,00<br>10,00<br>10,00<br>10,00<br>10,00<br>10,00<br>10,00<br>10,00<br>10,00<br>10,00<br>10,00<br>10,00<br>10,00<br>10,00<br>10,00<br>10,00<br>10,00<br>10,00<br>10,00<br>10,00<br>10,00<br>10,00<br>10,00<br>10,00<br>10,00<br>10,00<br>10,00<br>10,00<br>10,00<br>10,00<br>10,00<br>10,00<br>10,00<br>10,00<br>10,00<br>10,00<br>10,00<br>10,00<br>10,00<br>10,00<br>10,00<br>10,00<br>10,00<br>10,00<br>10,00<br>10,00<br>10,00<br>10,00<br>10,00<br>10,00<br>10,00<br>10,00<br>10,00<br>10,00<br>10,00<br>10,00<br>10,00<br>10,00<br>10,00<br>10,00<br>10,00<br>10,00<br>10,00<br>10,00<br>10,00<br>10,00<br>10,00<br>10,00<br>10,00<br>10,00<br>10,00<br>10,00<br>10,00<br>10,00<br>10,00<br>10,00<br>10,00<br>10,00<br>10,00                                                                                                | 0 49,70 0 300,96 0 122,40 0 1,246,40 0 1,142,00 0 19,85 0 98,98 0 504,30 0 107,18 0 267,40 0 1,179,95 0 1,028,73 0 123,20 0 462,80 0 33,25 0 19,85 0 26,00 0 668,3 0 23,20 0 49,65 0 37,9                                                                                                                                                                                                                                                                                                                                                                                                                                                                                                                                                                                                               | - 0.92 03 0.14 - 0.26 00 0.29 00 0.29 00 0.46 00 0.65 00 0.65 00 0.65 00 0.65 00 0.65 00 0.76 1.45 - 1.35 - 0.15 90 0.76 10 0.15 50 2.96 00 0.47 10 0.06                                                                                                                                                                                                                                                                                                                                                                                                                                                                                                                                                                                                                                                                                                                                                                                                                                                                                                                                                                                                                                                                                                                                                                                                                                                                                                                                                                                                                                                                                                                                                                                                                                                                                                                                                                                                                                                                                                                                                                       | 6 16.45 6 16.45 6 14.81 7 3.72 8 5.45 6 10.51 7 5.81 7 -6 6 12.39 1 9.64 4 4.53 1 5.96 1 5.74 2 5.42 7 -7 5 6.15 0 2.40 7 10.74 4 7.38 2 3.97 4 3.96 7 5.12 9 8.37 4 -3 8.69 3 32.4 3 5.86 1 18.29 1 5.20 1 5.20                                                                                                                                                                                                                                                                                                                                                                                                                                                                                                                                                                                                                                                                                                                                                                                                                                                                                                                                                                                                                                                                                                                                                                                                                                                                                                                                                                                                                                                                                                                                                                                                                                                                                                                                                                                                                                                                                                               | 7 13 1 1 1 1 1 1 1 1 1 1 1 1 1 1 1 1 1 1                        |
| 1 33       07         0 56       24         0 40       52         3 26       22         0 94       47         0 91       23         1 0 70       23         1 15       52         0 79       44         1 55       08         3 625       06         3 625       06         3 025       25         0 1 13       05         1 13       05         4 65       45         1 00       5         7 60       2         4 65       2         3 80       2         0 315       2         0 315       2         0 315       2         0 475       3         6 85       1         1 48       2         4 475       3         8 30       2         3 55       2                                                                                                                                                                                                                                                                                                                                                                                                                                                                                                                                                                                                                                                                                                                                                                                                                                                                                                                                                                                                                                                                                                                                                                                                                                                                                                                                                                                                                                                                                                                                                                                                                                                                                                                                                                                                                                                                                                                                                                        | 43 品質國際(優) 29 利民國際(優) 29 利民國際(優) 29 利民國際(優) 36 生產。 37 實際。 38 中華。 38 中華。 38 中華。 38 中華。 39 日本 (優) 3                                                                                                                                                                                                                                                                                                                                                                                                                                                                                                                                                                                                                                                                                            | 1,29 0,39 0,339 0,339 2,529 0,380 0,77 7,65 0,80 0,76 1,26 9,95 0,69 2,97 1,83 0,15 2,65 0,56 0,56 0,56 0,56 0,56 0,56 0,56 0                                                                                                                                                                                                                                                                                                                                                                                                                                                                                                                                                                                                                                                                                                                                                                                                                                                                                                                                                                                                                                                                                                                                                                                                                                                                                                                                                                                                                                                                                                                                                                                                                                                                                                                                                                                                                                                                                                                                                                                                  | 0.39 5 0.39 5 0.39 7 6 0.89 0.7 1.2 9.9 0.7 5 2.9 1.8 4 0.1 2.7 0.5 0.6 5 - 0.9 6 6 3 9 5 - 0.9 6 6 3 9 5 - 0 2 0 6 6 3 9 7 0 1                                                                                                                                                                                                                                                                                                                                                                                                                                                                                                                                                                                                                                                                                                                                                                                                                                                                                                                                                                                                                                                                                                                                                                                                                                                                                                                                                                                                                                                                                                                                                                                                                                                                                                                                                                                                                                                                                                                                                                                                | 95 0 383 35 0 33                                                                                                                                                                                                                                                                                                                                                                                                                                                                                                                                                                                                                                                                                                                                                                                                                                                                                                                                                                                                                                                                                                                                                                                                                                                                                                                                                                                                                                                                                                                                                                                                                                                                                                                                                                                                                                                                                                                                                                                                                                                                                                              | 0.385                                                                                                                                        | 2.55<br>0.395<br>0.79<br>7.60<br>0.80<br>0.77<br>1.27<br>9.95<br>0.70<br>2.975<br>1.85<br>0.157<br>2.65<br>0.58<br>0.68<br>3.875<br>0.96<br>6.65<br>4.00<br>3.825<br>0.42<br>1.95<br>0.47<br>8.10<br>1.20<br>2.075<br>7.0.19                                                                                                                                                                                                                                                                                                                                                                                                                                                                                                                                                                                                                                                                                                                                                                                                                                                                                                                                                                                                                                                                                                                                                                                                                                                                                                                                                                                                                                                                                                        | 2.520<br>0 383<br>0 77<br>7 60<br>0.79<br>0.76<br>1 27<br>9 95<br>0.69<br>2 95<br>1 85<br>0.15<br>2 65<br>0 57<br>0 67<br>3 87<br>0 96<br>6 65<br>3 92<br>3 .77<br>0.41<br>1.94<br>0.46<br>8.10<br>1.16<br>5 2 05<br>0.19<br>5 6 0<br>6 15<br>5 0 19<br>5 0 19                                                                                                                                                                                                                                                                                                                                                                                                                                                                                                                                                                                                                                                                                                                                                                                                                                                                                                                                                                                                                                                                                                                                                                                                                                                                                                                                                                                                                                                                                                                                                                                                                                                                                                                                                                                                                                                                                                                                                                                                                                                                                                                                                                                                                                                                                                                                                                                                                                                                                                                                                                                                                                                                                                                                                                                                                                                                                                                                      | 5 0 05 - 0 01 0 02 0                                                                                                                                                                                                                                                                                                                                                                                                                                                                                                                                                                                                                                                                                                                                                                                                                                                                                                                                                                                                                                                                                                                                                                                                                                                                                                                                                                                                                                                                                                                                                                                                                                                                                                                                                                           | -102 -58 -68 -68 -69 -152 -49 -49 -49 -78 -71 -11 -69 -77 -71 -16                                                       | 130,25<br>39,60<br>154,00<br>1,640,00<br>2,00<br>142,00<br>171,00<br>448,00<br>1,740,00<br>180,00<br>180,00<br>180,00<br>180,00<br>180,00<br>180,00<br>180,00<br>180,00<br>180,00<br>180,00<br>180,00<br>180,00<br>180,00<br>180,00<br>180,00<br>180,00<br>180,00<br>180,00<br>180,00<br>180,00<br>180,00<br>180,00<br>180,00<br>180,00<br>180,00<br>180,00<br>180,00<br>180,00<br>180,00<br>180,00<br>180,00<br>180,00<br>180,00<br>180,00<br>180,00<br>180,00<br>180,00<br>180,00<br>180,00<br>180,00<br>180,00<br>180,00<br>180,00<br>180,00<br>180,00<br>180,00<br>180,00<br>180,00<br>180,00<br>180,00<br>180,00<br>180,00<br>180,00<br>180,00<br>180,00<br>180,00<br>180,00<br>180,00<br>180,00<br>180,00<br>180,00<br>180,00<br>180,00<br>180,00<br>180,00<br>180,00<br>180,00<br>180,00<br>180,00<br>180,00<br>180,00<br>180,00<br>180,00<br>180,00<br>180,00<br>180,00<br>180,00<br>180,00<br>180,00<br>180,00<br>180,00<br>180,00<br>180,00<br>180,00<br>180,00<br>180,00<br>180,00<br>180,00<br>180,00<br>180,00<br>180,00<br>180,00<br>180,00<br>180,00<br>180,00<br>180,00<br>180,00<br>180,00<br>180,00<br>180,00<br>180,00<br>180,00<br>180,00<br>180,00<br>180,00<br>180,00<br>180,00<br>180,00<br>180,00<br>180,00<br>180,00<br>180,00<br>180,00<br>180,00<br>180,00<br>180,00<br>180,00<br>180,00<br>180,00<br>180,00<br>180,00<br>180,00<br>180,00<br>180,00<br>180,00<br>180,00<br>180,00<br>180,00<br>180,00<br>180,00<br>180,00<br>180,00<br>180,00<br>180,00<br>180,00<br>180,00<br>180,00<br>180,00<br>180,00<br>180,00<br>180,00<br>180,00<br>180,00<br>180,00<br>180,00<br>180,00<br>180,00<br>180,00<br>180,00<br>180,00<br>180,00<br>180,00<br>180,00<br>180,00<br>180,00<br>180,00<br>180,00<br>180,00<br>180,00<br>180,00<br>180,00<br>180,00<br>180,00<br>180,00<br>180,00<br>180,00<br>180,00<br>180,00<br>180,00<br>180,00<br>180,00<br>180,00<br>180,00<br>180,00<br>180,00<br>180,00<br>180,00<br>180,00<br>180,00<br>180,00<br>180,00<br>180,00<br>180,00<br>180,00<br>180,00<br>180,00<br>180,00<br>180,00<br>180,00<br>180,00<br>180,00<br>180,00<br>180,00<br>180,00<br>180,00<br>180,00<br>180,00<br>180,00<br>180,00<br>180,00<br>180,00<br>180,00<br>180,00<br>180,00<br>180,00<br>180,00<br>180,00<br>180,00<br>180,00<br>180,00<br>180,00<br>180,00<br>180,00<br>180,00<br>180,00<br>180,00<br>180,00<br>180,00<br>180,00<br>180,00<br>180,00<br>180,00<br>180,00<br>180,00<br>180,00<br>180,00<br>180,00<br>180,00<br>180,00<br>180,00<br>180,00<br>180,00<br>180,00<br>180,00<br>180,00<br>180,00<br>180,00<br>180,00<br>180,00<br>180,00<br>180,00<br>180,00<br>180,00<br>180,00<br>180,00<br>180,00<br>180,0                                                                                                                                                                  | 0 49,70 0 300,96 0 122,40 0 1,246,40 0 1,142,00 0 19,85 0 98,98 0 504,30 0 107,18 0 267,40 0 1,179,95 0 1,028,73 0 123,20 0 463,80 0 33,25 0 19,85 0 26,0 0 668,3 0 23,20 0 49,65 0 37,9 0 119,85 0 37,9                                                                                                                                                                                                                                                                                                                                                                                                                                                                                                                                                                                                | - 0.92 03 0.14 - 0.26 00 0.29 00 0.29 00 0.46 00 0.65 00 0.65 00 0.65 00 0.65 00 0.65 00 0.76 00 0.76 1.45 - 0.15 00 0.76 1.0 0.15 50 2.96 00 0.46 25 0.76 10 0.16 50 2.96 00 0.46 25 0.76 10 0.16 25 0.76 10 0.16 25 0.76 10 0.16 25 0.76 10 0.16 25 0.76 10 0.16 25 0.76 10 0.16 25 0.76 10 0.16 25 0.76 10 0.16 25 0.76 10 0.16 25 0.76 10 0.16 25 0.76 10 0.16 25 0.76 10 0.16 25 0.76 10 0.16 25 0.76 10 0.16 25 0.76 10 0.16 25 0.76 10 0.16 25 0.76 10 0.16 25 0.76 10 0.16 25 0.76 10 0.16 25 0.76 10 0.16 25 0.76 10 0.16 25 0.76 10 0.16 25 0.76 10 0.16 25 0.76 10 0.16 25 0.76 10 0.16 25 0.76 10 0.16 25 0.76 25 0.76 25 0.76 25 0.76 25 0.76 25 0.76 25 0.76 25 0.76 25 0.76 25 0.76 25 0.76 25 0.76 26 0.36 27 0.36 27 0.36 28 0.36 28 0.36 28 0.36 28 0.36 28 0.36 28 0.36 28 0.36 28 0.36 28 0.36 28 0.36 28 0.36 28 0.36 28 0.36 28 0.36 28 0.36 28 0.36 28 0.36 28 0.36 28 0.36 28 0.36 28 0.36 28 0.36 28 0.36 28 0.36 28 0.36 28 0.36 28 0.36 28 0.36 28 0.36 28 0.36 28 0.36 28 0.36 28 0.36 28 0.36 28 0.36 28 0.36 28 0.36 28 0.36 28 0.36 28 0.36 28 0.36 28 0.36 28 0.36 28 0.36 28 0.36 28 0.36 28 0.36 28 0.36 28 0.36 28 0.36 28 0.36 28 0.36 28 0.36 28 0.36 28 0.36 28 0.36 28 0.36 28 0.36 28 0.36 28 0.36 28 0.36 28 0.36 28 0.36 28 0.36 28 0.36 28 0.36 28 0.36 28 0.36 28 0.36 28 0.36 28 0.36 28 0.36 28 0.36 28 0.36 28 0.36 28 0.36 28 0.36 28 0.36 28 0.36 28 0.36 28 0.36 28 0.36 28 0.36 28 0.36 28 0.36 28 0.36 28 0.36 28 0.36 28 0.36 28 0.36 28 0.36 28 0.36 28 0.36 28 0.36 28 0.36 28 0.36 28 0.36 28 0.36 28 0.36 28 0.36 28 0.36 28 0.36 28 0.36 28 0.36 28 0.36 28 0.36 28 0.36 28 0.36 28 0.36 28 0.36 28 0.36 28 0.36 28 0.36 28 0.36 28 0.36 28 0.36 28 0.36 28 0.36 28 0.36 28 0.36 28 0.36 28 0.36 28 0.36 28 0.36 28 0.36 28 0.36 28 0.36 28 0.36 28 0.36 28 0.36 28 0.36 28 0.36 28 0.36 28 0.36 28 0.36 28 0.36 28 0.36 28 0.36 28 0.36 28 0.36 28 0.36 28 0.36 28 0.36 28 0.36 28 0.36 28 0.36 28 0.36 28 0.36 28 0.36 28 0.36 28 0.36 28 0.36 28 0.36 28 0.36 28 0.36 28 0.36 28 0.36 28 0.36 28 0.36 28 0.36 28 0.36 28 0.36 28 0.36 28 0.36 28 0.36 28 0.36 28  | 6 16.45 6 16.45 6 16.45 6 14.81 7 5.45 6 10.51 7 5.81 7 5.81 7 5.81 7 5.81 7 5.81 7 5.81 7 5.81 7 5.81 7 5.81 7 5.81 8 6 7 6.15 8 7 7 7 7 7 7 7 7 7 7 7 7 7 7 7 7 7 7 7                                                                                                                                                                                                                                                                                                                                                                                                                                                                                                                                                                                                                                                                                                                                                                                                                                                                                                                                                                                                                                                                                                                                                                                                                                                                                                                                                                                                                                                                                                                                                                                                                                                                                                                                                                                                                                                                                                                                                        | 7                                                               |
| 1 33       07         0 56       24         0 40       52         3 26       22         0 94       47         0 91       23         1 0 70       23         1 15       52         0 79       44         1 55       08         3 625       06         3 025       25         0 183       07         2 825       53         0 65       50         1 113       09         4 65       43         1 180       05         2 70       25         0 315       25         1 146       3         1 50       0         5 65       1         1 685       1         1 46       3         1 50       0         2 70       25         0 315       25         1 52       2         1 52       2         1 52       2                                                                                                                                                                                                                                                                                                                                                                                                                                                                                                                                                                                                                                                                                                                                                                                                                                                                                                                                                                                                                                                                                                                                                                                                                                                                                                                                                                                                                                                                                                                                                                                                                                                                                                                                                                                                                                                                                                                        | 43 品質國際<br>23 品質國際<br>29 利民實際<br>72 河連銀子<br>34 玫瑰東面<br>36 生力陳電影<br>81 東京電影<br>81 東京電影<br>81 東京電影<br>82 東京電影<br>84 東京電影<br>85 東京電影<br>86 東京電影<br>87 東京電影<br>87 東京東<br>88 阿爾斯斯<br>89 東京東<br>98 南東氏計算<br>98 南東氏計算<br>98 東京東<br>98 東京東<br>99 大計算<br>99 大計算<br>99 東京東<br>99 東京<br>99 東京東<br>99 東京<br>99 東京                                                                                                                                       | 1,29 0,39 0,339 0,339 2,529 0,380 0,77 7,65 0,80 0,76 1,26 9,95 0,69 2,97 1,83 0,15 2,65 0,56 0,68 3,87 0,95 6,70 3,90 3,77 0,41 2,00 0,46 8,10 1,20 2,07 0,18 2,07 0,18 3,10 1,20 2,07 0,18 3,10 1,20 2,07 0,18 4,10 1,20 2,07 0,18 4,10 1,20 2,07 0,18 4,10 1,20 2,07 0,18 4,10 1,20 2,07 0,18 4,10 1,20 2,07 0,18 4,10 1,20 2,07 0,18 4,10 1,20 2,07 0,18 4,10 1,20 2,07 0,18 4,10 1,20 2,07 0,18 4,10 1,20 2,07 0,18 4,10 1,20 2,07 0,18 4,10 1,20 2,07 0,18 4,10 1,20 2,07 0,18 4,10 1,20 2,07 0,18 4,10 1,20 2,07 0,18 4,10 1,20 2,07 0,18 4,10 1,20 2,07 0,18 4,10 1,20 2,07 0,18 4,10 1,20 2,07 0,18 4,10 1,20 2,07 0,18 4,10 1,20 2,07 0,18 4,10 1,20 2,07 0,18 4,10 1,20 2,07 0,18 4,10 1,20 2,07 0,18 4,10 1,20 2,07 0,18 4,10 1,20 2,07 0,18 4,10 1,20 2,07 0,18 4,10 1,20 2,07 0,18 4,10 1,20 2,07 0,18 4,10 1,20 2,07 0,18 4,10 1,20 2,07 0,18 4,10 1,20 2,07 0,18 4,10 1,20 2,07 0,18 4,10 1,20 2,07 0,18 4,10 1,20 2,07 0,18 4,10 1,20 2,07 0,18 4,10 1,20 2,07 0,18 4,10 1,20 2,07 0,18 4,10 1,20 2,07 0,18 4,10 1,20 2,07 0,18 4,10 1,20 2,07 0,18 4,10 1,20 2,07 0,18 4,10 1,20 2,07 0,18 4,10 1,20 2,07 0,18 4,10 1,20 2,07 0,18 4,10 1,20 2,07 0,18 4,10 1,20 2,07 0,18 4,10 1,20 2,07 0,18 4,10 1,20 2,07 0,18 4,10 1,20 2,07 0,18 4,10 1,20 2,07 0,18 4,10 1,20 2,07 0,18 4,10 1,20 2,07 0,18 4,10 1,20 2,07 0,18 4,10 1,20 2,07 0,18 4,10 1,20 2,07 0,18 4,10 1,20 2,07 0,18 4,10 1,20 2,07 0,18 4,10 1,20 2,07 0,18 4,10 1,20 2,07 0,18 4,10 1,20 2,07 0,18 4,10 1,20 2,07 0,18 4,10 1,20 2,07 0,18 4,10 1,20 2,07 0,18 4,10 1,20 2,07 0,18 4,10 1,20 2,07 0,18 4,10 1,20 2,07 0,18 4,10 1,20 2,07 0,18 4,10 1,20 2,07 0,18 4,10 1,20 2,07 0,18 4,10 1,20 2,07 0,18 4,10 1,20 2,07 0,18 4,10 1,20 2,07 0,18 4,10 1,20 2,07 0,18 4,10 1,20 2,07 0,18 4,10 1,20 2,07 0,18 4,10 1,20 2,07 0,18 4,10 1,20 2,07 0,18 4,10 1,20 2,07 0,18 4,10 1,20 2,07 0,18 4,10 1,20 2,07 0,18 4,10 1,20 2,07 0,18 4,10 1,20 2,07 0,18 4,10 1,20 2,07 0,18 4,10 1,20 2,07 0,18 4,10 1,20 2,07 0,18 4,10 1,20 2,07 0,18 4,10 1,20 2,07 1,20 2,08 2,08 2,08 2,08 2,08 2,08 2,08 2                                          | 0.39 5 0.39 5 0.39 7 6 0.89 0.7 5 29 1.8 4 0.1 2.7 0.5 0.6 5 - 0.9 6 6 6 3 9 5 - 0 2 0 6 6 6 3 9 5 - 0 3 9 6 6 6 6 7 7 6 7 7 6 7 7 6 7 7 7 7 7 7 7                                                                                                                                                                                                                                                                                                                                                                                                                                                                                                                                                                                                                                                                                                                                                                                                                                                                                                                                                                                                                                                                                                                                                                                                                                                                                                                                                                                                                                                                                                                                                                                                                                                                                                                                                                                                                                                                                                                                                                             | 95 0 383 35 0 33 35 0 33 36 0 33 37 0 7.60 37 0 7.60 38 0 7.60 38 0 7.60 38 0 7.60 38 0 7.60 38 0 7.60 38 0 7.60 38 0 7.60 38 0 7.60 38 0 7.60 38 0 7.60 38 0 7.60 38 0 7.60 38 0 7.60 38 0 7.60 38 0 7.60 38 0 7.60 38 0 7.60 38 0 7.60 38 0 7.60 38 0 7.60 38 0 7.60 38 0 7.60 38 0 7.60 38 0 7.60 38 0 7.60 38 0 7.60 38 0 7.60 38 0 7.60 38 0 7.60 38 0 7.60 38 0 7.60 38 0 7.60 38 0 7.60 38 0 7.60 38 0 7.60 38 0 7.60 38 0 7.60 38 0 7.60 38 0 7.60 38 0 7.60 38 0 7.60 38 0 7.60 38 0 7.60 38 0 7.60 38 0 7.60 38 0 7.60 38 0 7.60 38 0 7.60 38 0 7.60 38 0 7.60 38 0 7.60 38 0 7.60 38 0 7.60 38 0 7.60 38 0 7.60 38 0 7.60 38 0 7.60 38 0 7.60 38 0 7.60 38 0 7.60 38 0 7.60 38 0 7.60 38 0 7.60 38 0 7.60 38 0 7.60 38 0 7.60 38 0 7.60 38 0 7.60 38 0 7.60 38 0 7.60 38 0 7.60 38 0 7.60 38 0 7.60 38 0 7.60 38 0 7.60 38 0 7.60 38 0 7.60 38 0 7.60 38 0 7.60 38 0 7.60 38 0 7.60 38 0 7.60 38 0 7.60 38 0 7.60 38 0 7.60 38 0 7.60 38 0 7.60 38 0 7.60 38 0 7.60 38 0 7.60 38 0 7.60 38 0 7.60 38 0 7.60 38 0 7.60 38 0 7.60 38 0 7.60 38 0 7.60 38 0 7.60 38 0 7.60 38 0 7.60 38 0 7.60 38 0 7.60 38 0 7.60 38 0 7.60 38 0 7.60 38 0 7.60 38 0 7.60 38 0 7.60 38 0 7.60 38 0 7.60 38 0 7.60 38 0 7.60 38 0 7.60 38 0 7.60 38 0 7.60 38 0 7.60 38 0 7.60 38 0 7.60 38 0 7.60 38 0 7.60 38 0 7.60 38 0 7.60 38 0 7.60 38 0 7.60 38 0 7.60 38 0 7.60 38 0 7.60 38 0 7.60 38 0 7.60 38 0 7.60 38 0 7.60 38 0 7.60 38 0 7.60 38 0 7.60 38 0 7.60 38 0 7.60 38 0 7.60 38 0 7.60 38 0 7.60 38 0 7.60 38 0 7.60 38 0 7.60 38 0 7.60 38 0 7.60 38 0 7.60 38 0 7.60 38 0 7.60 38 0 7.60 38 0 7.60 38 0 7.60 38 0 7.60 38 0 7.60 38 0 7.60 38 0 7.60 38 0 7.60 38 0 7.60 38 0 7.60 38 0 7.60 38 0 7.60 38 0 7.60 38 0 7.60 38 0 7.60 38 0 7.60 38 0 7.60 38 0 7.60 38 0 7.60 38 0 7.60 38 0 7.60 38 0 7.60 38 0 7.60 38 0 7.60 38 0 7.60 38 0 7.60 38 0 7.60 38 0 7.60 38 0 7.60 38 0 7.60 38 0 7.60 38 0 7.60 38 0 7.60 38 0 7.60 38 0 7.60 38 0 7.60 38 0 7.60 38 0 7.60 38 0 7.60 38 0 7.60 38 0 7.60 38 0 7.60 38 0 7.60 38 0 7.60 38 0 7.60 38 0 7.60 38 0 7.60 38 0 7.60 38 0 7.60 38 0 7.60 38 0 7.60 38 0 7.60 38 | 0.385                                                                                                                                        | 2.55<br>0.395<br>0.79<br>7.60<br>0.80<br>0.77<br>1.27<br>9.95<br>0.70<br>2.975<br>1.85<br>0.157<br>2.65<br>0.58<br>0.68<br>3.875<br>0.96<br>6.65<br>4.00<br>3.825<br>0.42<br>1.95<br>0.47<br>8.10<br>1.20<br>2.075<br>7.0.19                                                                                                                                                                                                                                                                                                                                                                                                                                                                                                                                                                                                                                                                                                                                                                                                                                                                                                                                                                                                                                                                                                                                                                                                                                                                                                                                                                                                                                                                                                        | 2.520<br>0 383<br>0 777<br>7 60<br>0.79<br>0.76<br>1 27<br>9 95<br>0.69<br>2 95<br>1 85<br>7 0.15<br>2 65<br>0 57<br>0 67<br>3 87<br>0 96<br>6 65<br>3 92<br>3 .77<br>0 .41<br>1 .94<br>0 .46<br>8 .10<br>1 .16<br>5 2 05<br>0 .19<br>5 3 .77<br>0 .19                                                                                                                                                                                                                                                                                                                                                                                                                                                                                                                                                                                                                                                                                                                                                                                                                                                                                                                                                                                                                                                                                                                                                                                                                                                                                                                                                                                                                                                                                                                                                                                                                                                                                                                                                                                                                                                                                                                                                                                                                                                                                                                                                                                                                                                                                                                                                                                                                                                                                                                                                                                                                                                                                                                                                                                                                                                                                                                                              | 5                                                                                                                                                                                                                                                                                                                                                                                                                                                                                                                                                                                                                                                                                                                                                                                                                                                                                                                                                                                                                                                                                                                                                                                                                                                                                                                                                                                                                                                                                                                                                                                                                                                                                                                                                                                              | -102 -58 -68 -68 -91 -152 -45 -45 -45 -45 -45 -71 -11 -16 -71 -16 -71 -71 -71 -71 -71 -71 -71 -71 -71 -71               | 130,25<br>39,60<br>154,00<br>1,640,00<br>2,00<br>142,00<br>171,00<br>58,00<br>1,740,00<br>448,00<br>1,800,00<br>180,00<br>180,00<br>180,00<br>180,00<br>180,00<br>180,00<br>100,00<br>110,00<br>110,00<br>110,00<br>110,00<br>110,00<br>110,00<br>110,00<br>110,00<br>110,00                                                                                                                                                                                                                                                                                                                                                                                                                                                                                                                                                                                                                                                                                                                                                                                                                                                                                                                                                                                                                                                                                                                                                                                                                                                                                                                                                                                                                                                                                                                                                                                                                                                                                                                                                                                                                                                                                                                                                                                                                                                                                                                                                                                                                                                                                                                                                                                                                                                                                                                                                  | 0 49,70 0 300,96 0 122,40 0 1,246,40 0 1,142,00 0 19,85 0 98,98 0 504,30 0 107,18 0 267,40 0 1,179,95 0 1,028,73 0 123,20 0 462,80 0 33,25 0 19,85 0 26,0 0 668,3 0 23,20 0 49,65 0 37,9 0 119,85 0 37,9                                                                                                                                                                                                                                                                                                                                                                                                                                                                                                                                                                                                | - 0.92 03 0.14 - 0.26 00 0.29 00 0.29 00 0.29 00 0.29 00 0.29 00 0.29 00 0.29 00 0.29 00 0.39 00 0.39 00 0.49 00 0.49 00 0.70 1.40 00 0.39 00 0.70 1.00 0.10 0.10 0.10 0.10 0.10 0.10                                                                                                                                                                                                                                                                                                                                                                                                                                                                                                                                                                                                                                                                                                                                                                                                                                                                                                                                                                                                                                                                                                                                                                                                                                                                                                                                                                                                                                                                                                                                                                                                                                                                                                                                                                                                                                                                                                                                          | 6 16.45 6 16.45 6 16.45 6 14.81 7 5.45 6 10.51 7 5.81 7 5.81 7 5.81 7 5.81 7 5.96 6 12.39 6 4 4.53 1 5.96 7 5.12 7 7 7 7 6.15 0 2.40 7 10.74 4 7.36 2 3.97 4 3.96 7 5.12 8 6 9 8 6 9 8 6 9 8 6 9 8 6 9 8 6 9 8 6 9 8 6 9 8 6 9 8 6 9 8 6 9 8 6 9 8 6 9 8 6 9 8 6 9 8 7 5.12 8 6 9 8 7 5.12 8 7 7 7 7 7 7 7 7 7 7 7 7 7 7 7 7 7 7 7                                                                                                                                                                                                                                                                                                                                                                                                                                                                                                                                                                                                                                                                                                                                                                                                                                                                                                                                                                                                                                                                                                                                                                                                                                                                                                                                                                                                                                                                                                                                                                                                                                                                                                                                                                                             | 7 13 1 1 1 1 1 1 1 1 1 1 1 1 1 1 1 1 1 1                        |
| 1 33       07         0 56       24         0 40       52         3 26       22         0 94       47         0 91       23         1 0 70       23         1 15       52         0 79       44         1 55       08         3 625       06         3 025       25         0 183       07         2 825       53         0 65       50         1 1 13       09         4 65       45         1 1 80       05         7 60       2         4 65       2         3 80       2         0 3 15       2         0 3 15       2         1 46       3         1 50       0         5 65       1         1 685       1         1 48       2         4 475       3         8 30       2         3 55       2         1 52       2                                                                                                                                                                                                                                                                                                                                                                                                                                                                                                                                                                                                                                                                                                                                                                                                                                                                                                                                                                                                                                                                                                                                                                                                                                                                                                                                                                                                                                                                                                                                                                                                                                                                                                                                                                                                                                                                                                   | 43 品質國際(優) 29 利民國際(優) 29 利民連續等 72 海東 東美國國際(優) 34 按東東美國國際(優) 21 壽與 東東美國國際 81 國際 東美國國際 82 國際 東美國國際 82 國際 東美國國際 83 國際 東美國國際 84 國際 美華國際 85 四國 東美國國際 86 國際 美華國際 87 國際 第5 國際 東美國國際 87 國際 東美國國際 88 國際 東美國國際 88 國際 東美國國際 89 國際 東美國國際                                                                                                                                                                                                                                                                                                                                                                                                                                                                                                                                                                                                                                                                                             | 1,29 0,39 0,339 2,529 0,380 0,77 7,65 0,80 0,76 1,26 9,95 0,69 2,97 1,83 0,15 2,65 0,56 0,56 0,68 3,87 0,95 6,70 3,90 3,77 0,41 2,00 0,46 8,10 1,20 2,07 0,18 2,07 0,18 3,10 1,20 2,07 0,18 3,10 1,20 2,07 0,18 3,10 1,20 2,07 0,18 3,10 1,20 2,07 0,18 3,10 1,20 2,07 0,18 3,10 1,20 2,07 0,18 3,10 1,20 2,07 0,18 3,10 1,20 2,07 0,18 3,10 1,20 2,07 0,18 3,10 1,20 2,07 0,18 3,10 1,20 2,07 0,18 3,10 1,20 2,07 0,18 3,10 1,20 2,07 0,18 3,10 1,20 2,07 0,18 3,10 1,20 2,07 0,18 3,10 1,20 2,07 0,18 3,10 1,20 2,07 0,18 3,10 1,20 2,07 0,18 3,10 1,20 2,07 0,18 3,10 1,20 2,07 0,18 3,10 1,20 2,07 0,18 3,10 1,20 2,07 0,18 3,10 1,20 2,07 0,18 3,10 1,20 2,07 0,18 3,10 1,20 2,07 0,18 3,10 1,20 2,07 0,18 3,10 1,20 1,20 1,20 1,20 1,20 1,20 1,20 1                                                                                                                                                                                                                                                                                                                                                                                                                                                                                                                                                                                                                                                                                                                                                                                                                                                                                                                                                                                                                                                                                                                                                                                                                                                                                                                                                                      | 0.39 5 0.39 5 0.39 7 6 0.89 0.7 5 29 1.8 4 0.1 2.7 0.5 0.6 5 - 0.9 6 6 6 3 9 5 - 0 2 0 6 6 6 3 9 5 - 0 3 9 6 6 6 6 7 7 6 7 7 6 7 7 6 7 7 7 7 7 7 7                                                                                                                                                                                                                                                                                                                                                                                                                                                                                                                                                                                                                                                                                                                                                                                                                                                                                                                                                                                                                                                                                                                                                                                                                                                                                                                                                                                                                                                                                                                                                                                                                                                                                                                                                                                                                                                                                                                                                                             | 95 0 383 35 0 33 35 0 33 36 0 33 37 0 7.60 37 0 7.60 38 0 7.60 38 0 7.60 38 0 7.60 38 0 7.60 38 0 7.60 38 0 7.60 38 0 7.60 38 0 7.60 38 0 7.60 38 0 7.60 38 0 7.60 38 0 7.60 38 0 7.60 38 0 7.60 38 0 7.60 38 0 7.60 38 0 7.60 38 0 7.60 38 0 7.60 38 0 7.60 38 0 7.60 38 0 7.60 38 0 7.60 38 0 7.60 38 0 7.60 38 0 7.60 38 0 7.60 38 0 7.60 38 0 7.60 38 0 7.60 38 0 7.60 38 0 7.60 38 0 7.60 38 0 7.60 38 0 7.60 38 0 7.60 38 0 7.60 38 0 7.60 38 0 7.60 38 0 7.60 38 0 7.60 38 0 7.60 38 0 7.60 38 0 7.60 38 0 7.60 38 0 7.60 38 0 7.60 38 0 7.60 38 0 7.60 38 0 7.60 38 0 7.60 38 0 7.60 38 0 7.60 38 0 7.60 38 0 7.60 38 0 7.60 38 0 7.60 38 0 7.60 38 0 7.60 38 0 7.60 38 0 7.60 38 0 7.60 38 0 7.60 38 0 7.60 38 0 7.60 38 0 7.60 38 0 7.60 38 0 7.60 38 0 7.60 38 0 7.60 38 0 7.60 38 0 7.60 38 0 7.60 38 0 7.60 38 0 7.60 38 0 7.60 38 0 7.60 38 0 7.60 38 0 7.60 38 0 7.60 38 0 7.60 38 0 7.60 38 0 7.60 38 0 7.60 38 0 7.60 38 0 7.60 38 0 7.60 38 0 7.60 38 0 7.60 38 0 7.60 38 0 7.60 38 0 7.60 38 0 7.60 38 0 7.60 38 0 7.60 38 0 7.60 38 0 7.60 38 0 7.60 38 0 7.60 38 0 7.60 38 0 7.60 38 0 7.60 38 0 7.60 38 0 7.60 38 0 7.60 38 0 7.60 38 0 7.60 38 0 7.60 38 0 7.60 38 0 7.60 38 0 7.60 38 0 7.60 38 0 7.60 38 0 7.60 38 0 7.60 38 0 7.60 38 0 7.60 38 0 7.60 38 0 7.60 38 0 7.60 38 0 7.60 38 0 7.60 38 0 7.60 38 0 7.60 38 0 7.60 38 0 7.60 38 0 7.60 38 0 7.60 38 0 7.60 38 0 7.60 38 0 7.60 38 0 7.60 38 0 7.60 38 0 7.60 38 0 7.60 38 0 7.60 38 0 7.60 38 0 7.60 38 0 7.60 38 0 7.60 38 0 7.60 38 0 7.60 38 0 7.60 38 0 7.60 38 0 7.60 38 0 7.60 38 0 7.60 38 0 7.60 38 0 7.60 38 0 7.60 38 0 7.60 38 0 7.60 38 0 7.60 38 0 7.60 38 0 7.60 38 0 7.60 38 0 7.60 38 0 7.60 38 0 7.60 38 0 7.60 38 0 7.60 38 0 7.60 38 0 7.60 38 0 7.60 38 0 7.60 38 0 7.60 38 0 7.60 38 0 7.60 38 0 7.60 38 0 7.60 38 0 7.60 38 0 7.60 38 0 7.60 38 0 7.60 38 0 7.60 38 0 7.60 38 0 7.60 38 0 7.60 38 0 7.60 38 0 7.60 38 0 7.60 38 0 7.60 38 0 7.60 38 0 7.60 38 0 7.60 38 0 7.60 38 0 7.60 38 0 7.60 38 0 7.60 38 0 7.60 38 0 7.60 38 0 7.60 38 0 7.60 38 0 7.60 38 0 7.60 38 0 7.60 38 0 7.60 38 0 7.60 38 0 7.60 38 | 0.385                                                                                                                                        | 2.55<br>0.395<br>0.79<br>7.60<br>0.80<br>0.77<br>1.27<br>9.95<br>0.70<br>2.975<br>1.85<br>0.157<br>2.65<br>0.58<br>0.68<br>3.875<br>0.96<br>6.65<br>4.00<br>3.825<br>0.42<br>1.95<br>0.47<br>8.10<br>1.20<br>2.075<br>7.0.19                                                                                                                                                                                                                                                                                                                                                                                                                                                                                                                                                                                                                                                                                                                                                                                                                                                                                                                                                                                                                                                                                                                                                                                                                                                                                                                                                                                                                                                                                                        | 2.520<br>0 383<br>0 777<br>7 60<br>0.79<br>0.76<br>1 27<br>9 95<br>0.69<br>2 95<br>1 85<br>7 0.15<br>2 65<br>0 57<br>0 67<br>3 87<br>0 96<br>6 65<br>3 92<br>3 .77<br>0 .41<br>1 .94<br>0 .46<br>8 .10<br>1 .16<br>5 2 05<br>0 .19<br>5 3 .77<br>0 .19                                                                                                                                                                                                                                                                                                                                                                                                                                                                                                                                                                                                                                                                                                                                                                                                                                                                                                                                                                                                                                                                                                                                                                                                                                                                                                                                                                                                                                                                                                                                                                                                                                                                                                                                                                                                                                                                                                                                                                                                                                                                                                                                                                                                                                                                                                                                                                                                                                                                                                                                                                                                                                                                                                                                                                                                                                                                                                                                              | 5                                                                                                                                                                                                                                                                                                                                                                                                                                                                                                                                                                                                                                                                                                                                                                                                                                                                                                                                                                                                                                                                                                                                                                                                                                                                                                                                                                                                                                                                                                                                                                                                                                                                                                                                                                                              | -102 -58 -68 -68 -91 -152 -45 -45 -45 -45 -45 -71 -11 -16 -71 -16 -71 -71 -71 -71 -71 -71 -71 -71 -71 -71               | 130,25<br>39,60<br>154,00<br>1,640,00<br>2,00<br>142,00<br>171,00<br>58,00<br>1,740,00<br>448,00<br>1,800,00<br>180,00<br>180,00<br>180,00<br>180,00<br>180,00<br>180,00<br>100,00<br>110,00<br>110,00<br>110,00<br>110,00<br>110,00<br>110,00<br>110,00<br>110,00<br>110,00<br>110,00<br>110,00<br>110,00<br>110,00<br>110,00                                                                                                                                                                                                                                                                                                                                                                                                                                                                                                                                                                                                                                                                                                                                                                                                                                                                                                                                                                                                                                                                                                                                                                                                                                                                                                                                                                                                                                                                                                                                                                                                                                                                                                                                                                                                                                                                                                                                                                                                                                                                                                                                                                                                                                                                                                                                                                                                                                                                                                | 0 49,70 0 300,96 0 122,40 0 1,246,40 0 1,142,00 0 19,85 0 98,98 0 504,30 0 107,18 0 267,40 0 1,179,95 0 1,028,73 0 123,20 0 462,80 0 33,25 0 19,85 0 26,0 0 668,3 0 23,20 0 49,65 0 37,9 0 119,85 0 37,9                                                                                                                                                                                                                                                                                                                                                                                                                                                                                                                                                                                                | - 0.92 03 0.14 - 0.26 00 0.29 00 0.29 00 0.29 00 0.29 00 0.29 00 0.29 00 0.29 00 0.29 00 0.39 00 0.39 00 0.49 00 0.49 00 0.70 1.40 00 0.39 00 0.70 1.00 0.10 0.10 0.10 0.10 0.10 0.10                                                                                                                                                                                                                                                                                                                                                                                                                                                                                                                                                                                                                                                                                                                                                                                                                                                                                                                                                                                                                                                                                                                                                                                                                                                                                                                                                                                                                                                                                                                                                                                                                                                                                                                                                                                                                                                                                                                                          | 6 16.45 6 16.45 6 16.45 6 14.81 7 5.45 6 10.51 7 5.81 7 5.81 7 5.81 7 5.81 7 5.96 6 12.39 6 4 4.53 1 5.96 7 5.12 7 7 7 7 6.15 0 2.40 7 10.74 4 7.36 2 3.97 4 3.96 7 5.12 8 6 9 8 6 9 8 6 9 8 6 9 8 6 9 8 6 9 8 6 9 8 6 9 8 6 9 8 6 9 8 6 9 8 6 9 8 6 9 8 6 9 8 6 9 8 7 5.12 8 6 9 8 7 5.12 8 7 7 7 7 7 7 7 7 7 7 7 7 7 7 7 7 7 7 7                                                                                                                                                                                                                                                                                                                                                                                                                                                                                                                                                                                                                                                                                                                                                                                                                                                                                                                                                                                                                                                                                                                                                                                                                                                                                                                                                                                                                                                                                                                                                                                                                                                                                                                                                                                             | 7                                                               |
| 1 33 07<br>0 56 24<br>0 40 52<br>3 26 22<br>0 94 47<br>0 91 23<br>0 70 23<br>1 15 52<br>0 79 44<br>1 55 08<br>3 625 08<br>3 80 2<br>3 | 43 品質國際(優) 29 利民連續等 72 內接 中華 第                                                                                                                                                                                                                                                                                                                                                                                                                                                                                                                                                                                                                                                                                                                                                                                                                                                                                                                                                                                                                                                                                                                                                                                                                                                                                                                                                                                                                                                                                                                                                                                                                                                                                                                                                                                                                                                                                                                                                                                                                                                                                                                                                                                                                                                                                                                                                                                                                                                                                                                                                                                                                                                                                                                                                                                           | 1,29 0,39 0,339 2,529 0,380 0,77 7,65 0,80 0,76 1,26 9,95 0,69 2,97 1,83 0,15 2,65 0,56 0,68 3,87 0,95 6,70 3,90 3,77 0,41 2,00 0,46 8,10 1,20 2,07 0,18 2,00 0,46 8,10 1,20 2,07 0,18 2,00 0,46 8,10 1,20 2,07 0,18 2,00 0,46 8,10 1,20 2,07 0,18 2,00 0,46 8,10 1,20 2,07 0,18 2,00 0,46 8,10 1,20 2,07 0,18 1,20 2,07 0,18 1,20 2,07 0,18 1,20 1,20 1,20 1,20 1,20 1,20 1,20 1,20                                                                                                                                                                                                                                                                                                                                                                                                                                                                                                                                                                                                                                                                                                                                                                                                                                                                                                                                                                                                                                                                                                                                                                                                                                                                                                                                                                                                                                                                                                                                                                                                                                                                                                                                           | 0.39 5 0.39 5 0.39 7 6 0.89 0.7 5 29 1.8 4 0.1 2.7 0.5 0.6 5 - 0.9 6 6 6 3 9 5 - 0 20 6 8 1 1.1 5 2.0 6 8 1 0 1.1 5 2.0 6 8 1 0 1.1 5 2.0 6 8 1 0 1.1 5 2.0 6 8 1 0 1.1 6 8 1 0 1.1 6 8 1 0 1.1 6 8 1 0 1.1 6 8 1 0 1.1 6 8 1 0 1.1 6 8 1 0 1.1 6 8 1 0 1.1 6 8 1 0 1.1 6 8 1 0 1.1 6 8 1 0 1.1 6 8 1 0 1.1 6 8 1 0 1.1 6 8 1 0 1.1 6 8 1 0 1.1 6 8 1 0 1.1 6 8 1 0 1.1 6 8 1 0 1.1 6 8 1 0 1.1 6 8 1 0 1.1 6 8 1 0 1.1 6 8 1 0 1.1 6 8 1 0 1.1 6 8 1 0 1.1 6 8 1 0 1.1 6 8 1 0 1.1 6 8 1 0 1.1 6 8 1 0 1.1 6 8 1 0 1.1 6 8 1 0 1.1 6 8 1 0 1.1 6 8 1 0 1.1 6 8 1 0 1.1 6 8 1 0 1.1 6 8 1 0 1.1 6 8 1 0 1.1 6 8 1 0 1.1 6 8 1 0 1.1 6 8 1 0 1.1 6 8 1 0 1.1 6 8 1 0 1.1 6 8 1 0 1.1 6 8 1 0 1.1 6 8 1 0 1.1 6 8 1 0 1.1 6 8 1 0 1.1 6 8 1 0 1.1 6 8 1 0 1.1 6 8 1 0 1.1 6 8 1 0 1.1 6 8 1 0 1.1 6 8 1 0 1.1 6 8 1 0 1.1 6 8 1 0 1.1 6 8 1 0 1.1 6 8 1 0 1.1 6 8 1 0 1.1 6 8 1 0 1.1 6 8 1 0 1.1 6 8 1 0 1.1 6 8 1 0 1.1 6 8 1 0 1.1 6 8 1 0 1.1 6 8 1 0 1.1 6 8 1 0 1.1 6 8 1 0 1.1 6 8 1 0 1.1 6 8 1 0 1.1 6 8 1 0 1.1 6 8 1 0 1.1 6 8 1 0 1.1 6 8 1 0 1.1 6 8 1 0 1.1 6 8 1 0 1.1 6 8 1 0 1.1 6 8 1 0 1.1 6 8 1 0 1.1 6 8 1 0 1.1 6 8 1 0 1.1 6 8 1 0 1.1 6 8 1 0 1.1 6 8 1 0 1.1 6 8 1 0 1.1 6 8 1 0 1.1 6 8 1 0 1.1 6 8 1 0 1.1 6 8 1 0 1.1 6 8 1 0 1.1 6 8 1 0 1.1 6 8 1 0 1.1 6 8 1 0 1.1 6 8 1 0 1.1 6 8 1 0 1.1 6 8 1 0 1.1 6 8 1 0 1.1 6 8 1 0 1.1 6 8 1 0 1.1 6 8 1 0 1.1 6 8 1 0 1.1 6 8 1 0 1.1 6 8 1 0 1.1 6 8 1 0 1.1 6 8 1 0 1.1 6 8 1 0 1.1 6 8 1 0 1.1 6 8 1 0 1.1 6 8 1 0 1.1 6 8 1 0 1.1 6 8 1 0 1.1 6 8 1 0 1.1 6 8 1 0 1.1 6 8 1 0 1.1 6 8 1 0 1.1 6 8 1 0 1.1 6 8 1 0 1.1 6 8 1 0 1.1 6 8 1 0 1.1 6 8 1 0 1.1 6 8 1 0 1.1 6 8 1 0 1.1 6 8 1 0 1.1 6 8 1 0 1.1 6 8 1 0 1.1 6 8 1 0 1.1 6 8 1 0 1.1 6 8 1 0 1.1 6 8 1 0 1.1 6 8 1 0 1.1 6 8 1 0 1.1 6 8 1 0 1.1 6 8 1 0 1.1 6 8 1 0 1.1 6 8 1 0 1.1 6 8 1 0 1.1 6 8 1 0 1.1 6 8 1 0 1.1 6 8 1 0 1.1 6 8 1 0 1.1 6 8 1 0 1.1 6 8 1 0 1.1 6 8 1 0 1.1 6 8 1 0 1.1 6 8 1 0 1.1 6 8 1 0 1.1 6 8 1 0 1.1 6 8 1 0 1.1 6 8 1 0 1.1 6 8 1 0 1.1 6 8 1 0 1.1 6 8 1 0 1.1 6 8 1 0 1.1 6 8 1 0 1.1 6 8 1 0 1.1 6 8 1 0 1.1 6 8 1 0 1.1 6 8 1 0 1.1 6 8 1 0 1.1 6 8 1  | 95 0 383 35 0 33 35 0 33 36                                                                                                                                                                                                                                                                                                                                                                                                                                                                                                                                                                                                                                                                                                                                                                                                                                                                                                                                                                                                                                                                                                                                                                                                                                                                                                                                                                                                                                                                                                                                                                                                                                                                                                                                                                                                                                                                                                                                                                                                                                                                                                   | 0.385                                                                                                                                        | 2.55<br>0.395<br>0.79<br>7.60<br>0.80<br>0.77<br>1.27<br>9.95<br>0.70<br>2.975<br>1.85<br>0.157<br>2.65<br>0.58<br>0.68<br>3.875<br>0.96<br>6.65<br>4.00<br>3.825<br>0.42<br>1.95<br>0.47<br>8.10<br>1.20<br>2.075<br>7.0.19<br>5.70<br>6.20<br>5.70<br>6.20<br>5.70<br>6.20<br>5.70<br>6.20<br>5.70<br>6.20<br>5.70<br>6.20<br>5.70<br>6.20<br>5.70<br>6.20<br>5.70<br>6.20<br>5.70<br>6.20<br>5.70<br>6.20<br>5.70<br>6.20<br>5.70<br>6.20<br>5.70<br>6.20<br>5.70<br>6.20<br>5.70<br>6.20<br>5.70<br>6.20<br>5.70<br>6.20<br>5.70<br>6.20<br>5.70<br>6.20<br>5.70<br>6.20<br>5.70<br>6.20<br>5.70<br>6.20<br>5.70<br>6.20<br>5.70<br>6.20<br>5.70<br>6.20<br>5.70<br>6.20<br>5.70<br>6.20<br>5.70<br>6.20<br>5.70<br>6.20<br>5.70<br>6.20<br>5.70<br>6.20<br>5.70<br>6.20<br>5.70<br>6.20<br>5.70<br>6.20<br>5.70<br>6.20<br>5.70<br>6.20<br>5.70<br>6.20<br>5.70<br>6.20<br>5.70<br>6.20<br>5.70<br>6.20<br>5.70<br>6.20<br>5.70<br>6.20<br>5.70<br>6.20<br>5.70<br>6.20<br>5.70<br>6.20<br>5.70<br>6.20<br>5.70<br>6.20<br>5.70<br>6.20<br>5.70<br>6.20<br>5.70<br>6.20<br>5.70<br>6.20<br>5.70<br>6.20<br>5.70<br>6.20<br>5.70<br>6.20<br>5.70<br>6.20<br>5.70<br>6.20<br>5.70<br>6.20<br>5.70<br>6.20<br>5.70<br>6.20<br>5.70<br>6.20<br>5.70<br>6.20<br>5.70<br>6.20<br>5.70<br>6.20<br>5.70<br>6.20<br>5.70<br>6.20<br>5.70<br>6.20<br>5.70<br>6.20<br>5.70<br>6.20<br>5.70<br>6.20<br>5.70<br>6.20<br>5.70<br>6.20<br>5.70<br>6.20<br>5.70<br>6.20<br>5.70<br>6.20<br>5.70<br>6.20<br>5.70<br>6.20<br>5.70<br>6.20<br>5.70<br>6.20<br>5.70<br>6.20<br>5.70<br>6.20<br>5.70<br>6.20<br>5.70<br>6.20<br>5.70<br>6.20<br>5.70<br>6.20<br>5.70<br>6.20<br>5.70<br>6.20<br>6.20<br>6.20<br>6.20<br>6.20<br>6.20<br>6.20<br>6.2 | 2.520<br>0 383<br>0 777<br>7 60<br>0 0.79<br>0 0.76<br>1 27<br>9 95<br>0 69<br>2 95<br>1 85<br>7 0.15<br>2 65<br>0 57<br>0 67<br>3 87<br>0 96<br>6 65<br>3 92<br>3 .77<br>0 .41<br>1 .94<br>0 .46<br>8 .10<br>1 .16<br>5 2 05<br>0 .19<br>5 3 .77<br>0 .19<br>6 .15<br>1 .40<br>4 .95<br>3 .70<br>8 .10<br>6 .15<br>1 .40<br>4 .95<br>5 3 .70<br>8 .10<br>6 .15<br>7 0 .12<br>8 .10<br>8 .10<br>8 .10<br>9 .       | 5                                                                                                                                                                                                                                                                                                                                                                                                                                                                                                                                                                                                                                                                                                                                                                                                                                                                                                                                                                                                                                                                                                                                                                                                                                                                                                                                                                                                                                                                                                                                                                                                                                                                                                                                                                                              | -102 -58 -68 -68 -68 -7 -49 -49 -49 -7 -7 -11 -69 -7 -7 -11 -69 -7 -7 -7 -11 -69 -7 -7 -7 -7 -7 -7 -7 -7 -7 -7 -7 -7 -7 | 130,25<br>39,60<br>154,00<br>1,640,00<br>2,00<br>142,00<br>171,00<br>58,00<br>1,800,00<br>180,00<br>180,00<br>180,00<br>180,00<br>180,00<br>180,00<br>180,00<br>180,00<br>180,00<br>180,00<br>180,00<br>180,00<br>180,00<br>180,00<br>180,00<br>180,00<br>180,00<br>180,00<br>180,00<br>180,00<br>180,00<br>180,00<br>180,00<br>180,00<br>180,00<br>180,00<br>180,00<br>180,00<br>180,00<br>180,00<br>180,00<br>180,00<br>180,00<br>180,00<br>180,00<br>180,00<br>180,00<br>180,00<br>180,00<br>180,00<br>180,00<br>180,00<br>180,00<br>180,00<br>180,00<br>180,00<br>180,00<br>180,00<br>180,00<br>180,00<br>180,00<br>180,00<br>180,00<br>180,00<br>180,00<br>180,00<br>180,00<br>180,00<br>180,00<br>180,00<br>180,00<br>180,00<br>180,00<br>180,00<br>180,00<br>180,00<br>180,00<br>180,00<br>180,00<br>180,00<br>180,00<br>180,00<br>180,00<br>180,00<br>180,00<br>180,00<br>180,00<br>180,00<br>180,00<br>180,00<br>180,00<br>180,00<br>180,00<br>180,00<br>180,00<br>180,00<br>180,00<br>180,00<br>180,00<br>180,00<br>180,00<br>180,00<br>180,00<br>180,00<br>180,00<br>180,00<br>180,00<br>180,00<br>180,00<br>180,00<br>180,00<br>180,00<br>180,00<br>180,00<br>180,00<br>180,00<br>180,00<br>180,00<br>180,00<br>180,00<br>180,00<br>180,00<br>180,00<br>180,00<br>180,00<br>180,00<br>180,00<br>180,00<br>180,00<br>180,00<br>180,00<br>180,00<br>180,00<br>180,00<br>180,00<br>180,00<br>180,00<br>180,00<br>180,00<br>180,00<br>180,00<br>180,00<br>180,00<br>180,00<br>180,00<br>180,00<br>180,00<br>180,00<br>180,00<br>180,00<br>180,00<br>180,00<br>180,00<br>180,00<br>180,00<br>180,00<br>180,00<br>180,00<br>180,00<br>180,00<br>180,00<br>180,00<br>180,00<br>180,00<br>180,00<br>180,00<br>180,00<br>180,00<br>180,00<br>180,00<br>180,00<br>180,00<br>180,00<br>180,00<br>180,00<br>180,00<br>180,00<br>180,00<br>180,00<br>180,00<br>180,00<br>180,00<br>180,00<br>180,00<br>180,00<br>180,00<br>180,00<br>180,00<br>180,00<br>180,00<br>180,00<br>180,00<br>180,00<br>180,00<br>180,00<br>180,00<br>180,00<br>180,00<br>180,00<br>180,00<br>180,00<br>180,00<br>180,00<br>180,00<br>180,00<br>180,00<br>180,00<br>180,00<br>180,00<br>180,00<br>180,00<br>180,00<br>180,00<br>180,00<br>180,00<br>180,00<br>180,00<br>180,00<br>180,00<br>180,00<br>180,00<br>180,00<br>180,00<br>180,00<br>180,00<br>180,00<br>180,00<br>180,00<br>180,00<br>180,00<br>180,00<br>180,00<br>180,00<br>180,00<br>180,00<br>180,00<br>180,00<br>180,00<br>180,00<br>180,00<br>180,00<br>180,00<br>180,00<br>180,00<br>180,00<br>180,00<br>180,00<br>180,00<br>180,00<br>180,00<br>180,00<br>180,00<br>180,00<br>180,00<br>180,00<br>180,00<br>180,00                                                                                                                                                                  | 0 49,70 0 300,96 0 122,40 0 1,246,40 0 1,142,00 0 19,85 0 98,98 0 504,30 0 107,18 0 267,40 0 1,179,95 0 1,028,73 0 123,20 0 462,80 0 33,25 0 19,83 0 26,0 0 668,3 0 23,20 0 49,63 0 37,9 0 119,83 0 37,9 0 102,3 0 37,9 0 102,3 0 37,9                                                                                                                                                                                                                                                                                                                                                                                                                                                                                                                                                                  | - 0.92 03 0.14 - 0.28 00 0.29 00 0.28 00 0.46 00 0.60 00 0.60 00 0.60 00 0.60 00 0.60 00 0.60 00 0.76 1.40 00 0.39 00 0.76 1.00 1.00 0.10 0.10 0.10 0.10 0.10 0.1                                                                                                                                                                                                                                                                                                                                                                                                                                                                                                                                                                                                                                                                                                                                                                                                                                                                                                                                                                                                                                                                                                                                                                                                                                                                                                                                                                                                                                                                                                                                                                                                                                                                                                                                                                                                                                                                                                                                                              | 6 16.45 6 16.45 6 14.81 7 3.72 8 5.45 6 10.51 7 5.81 7 5.81 7 5.81 7 5.81 7 5.96 6 12.39 1 9.64 4 4.53 1 5.96 7 5.12 7 5 6.15 0 2.40 7 10.74 4 7.36 2 3.97 4 3.96 7 5.12 9 8.37 4 3.96 7 5.12 9 8.37 4 3.96 7 5.12 9 8.37 4 7.36 1 18.29 1 1.41 9 8.37 1 18.29 1 1.41 9 8.37 1 18.29 1 1.41 9 8.37 1 18.29 1 1.41 9 8.37 1 18.29 1 18.29 1 18.29 1 18.29 1 18.29 1 18.29 1 18.29 1 18.29 1 18.29 1 18.29 1 18.29 1 18.29 1 18.29 1 18.29 1 18.29 1 18.29 1 18.29 1 18.29 1 18.29 1 18.29 1 18.29 1 18.29 1 18.29 1 18.29 1 18.29 1 18.29 1 18.29 1 18.29 1 18.29 1 18.29 1 18.29 1 18.29 1 18.29 1 18.29 1 18.29 1 18.29 1 18.29 1 18.29 1 18.29 1 18.29 1 18.29 1 18.29 1 18.29 1 18.29 1 18.29 1 18.29 1 18.29 1 18.29 1 18.29 1 18.29 1 18.29 1 18.29 1 18.29 1 18.29 1 18.29 1 18.29 1 18.29 1 18.29 1 18.29 1 18.29 1 18.29 1 18.29 1 18.29 1 18.29 1 18.29 1 18.29 1 18.29 1 18.29 1 18.29 1 18.29 1 18.29 1 18.29 1 18.29 1 18.29 1 18.29 1 18.29 1 18.29 1 18.29 1 18.29 1 18.29 1 18.29 1 18.29 1 18.29 1 18.29 1 18.29 1 18.29 1 18.29 1 18.29 1 18.29 1 18.29 1 18.29 1 18.29 1 18.29 1 18.29 1 18.29 1 18.29 1 18.29 1 18.29 1 18.29 1 18.29 1 18.29 1 18.29 1 18.29 1 18.29 1 18.29 1 18.29 1 18.29 1 18.29 1 18.29 1 18.29 1 18.29 1 18.29 1 18.29 1 18.29 1 18.29 1 18.29 1 18.29 1 18.29 1 18.29 1 18.29 1 18.29 1 18.29 1 18.29 1 18.29 1 18.29 1 18.29 1 18.29 1 18.29 1 18.29 1 18.29 1 18.29 1 18.29 1 18.29 1 18.29 1 18.29 1 18.29 1 18.29 1 18.29 1 18.29 1 18.29 1 18.29 1 18.29 1 18.29 1 18.29 1 18.29 1 18.29 1 18.29 1 18.29 1 18.29 1 18.29 1 18.29 1 18.29 1 18.29 1 18.29 1 18.29 1 18.29 1 18.29 1 18.29 1 18.29 1 18.29 1 18.29 1 18.29 1 18.29 1 18.29 1 18.29 1 18.29 1 18.29 1 18.29 1 18.29 1 18.29 1 18.29 1 18.29 1 18.29 1 18.29 1 18.29 1 18.29 1 18.29 1 18.29 1 18.29 1 18.29 1 18.29 1 18.29 1 18.29 1 18.29 1 18.29 1 18.29 1 18.29 1 18.29 1 18.29 1 18.29 1 18.29 1 18.29 1 18.29 1 18.29 1 18.29 1 18.29 1 18.29 1 18.29 1 18.29 1 18.29 1 18.29 1 18.29 1 18.29 1 18.29 1 18.29 1 18.29 1 18.29 1 18.29 1 18.29 1 18.29 1 18.29 1 18.29 1 18.29 1 18.29 1 18.29 1 18.29 1 18. | 7                                                               |
| 1 33       07         0 56       24         0 40       52         3 26       22         0 94       47         0 91       23         0 70       23         1 15       52         0 79       44         1 55       08         3 625       08         3 625       08         3 625       25         0 1 13       09         2 825       53         0 65       50         1 1 13       09         4 65       43         1 1 80       03         1 67       02         2 70       2         0 3 15       2         1 46       3         1 52       2         2 30       0         4 60       1         1 78       3         4 60       1         1 78       3         1 69       0                                                                                                                                                                                                                                                                                                                                                                                                                                                                                                                                                                                                                                                                                                                                                                                                                                                                                                                                                                                                                                                                                                                                                                                                                                                                                                                                                                                                                                                                                                                                                                                                                                                                                                                                                                                                                                                                                                                                               | 43 品質國際(優) 29 利民政策 72 邓政策 34 玫瑰 東京   36 生 三                                                                                                                                                                                                                                                                                                                                                                                                                                                                                                                                                                                                                                                                                                                                                                                                                                                                                                                                                                                                                                                                                                                                                                                                                                                                                                                                                                                                                                                                                                                                                                                                                                                                                                                                                                                                                                                                                                                                                                                                                                                                                                                                                                                                                                                                                                                                                                                                                                                                                                                                                                                                                                                                                                                                                                              | 1,29 0,39 0,339 2,529 0,380 0,77 7,65 0,80 0,76 1,26 9,95 0,69 2,97 1,83 0,15 2,65 0,56 0,56 0,56 0,56 0,68 3,87 0,95 6,70 3,90 3,77 0,41 2,00 0,46 8,10 1,20 2,07 0,18 41 2,00 0,46 8,10 1,20 2,07 0,18 41 2,00 0,46 8,10 1,20 2,07 0,18 41 2,00 0,46 8,10 1,20 2,07 0,18 41 2,00 0,46 8,10 1,20 2,07 0,18 41 2,00 0,46 8,10 1,20 2,07 0,18 41 2,110 41 2,110                                                                                                                                                                                                                                                                                                                                                                                                                                                                                                                                                                                                                                                                                                                                                                                                                                                                                                                                                                                                                                                                                                                                                                                                                                                                                                                                                                                                                                                                                                                                                                                                                                                                                                                                                                 | 0.39 5 0.39 5 0.39 7 6 0.89 0.7 5 29 0.7 5 29 1.8 4 0.1 2.7 0.5 0.6 5 - 0.9 6 6 6 3 9 5 - 0 20 6 81 1.1 5 2.0 6 81 1.1 5 2.0 6 82 6 83 7 0 8                                                                                                                                                                                                                                                                                                                                                                                                                                                                                                                                                                                                                                                                                                                                                                                                                                                                                                                                                                                                                                                                                                                                                                                                                                                                                                                                                                                                                                                                                                                                                                                                                                                                                                                                                                                                                                                                                                                                                                                   | 95 0 383 35 0 33 35 0 33 36 0 33 37 95 0 383 37 95 0 383 37 96 0 7,60 9 0 0 7,60 9 0 0 69 5 2 92 5 1 82 5 0 1 82 5 0 1 82 5 0 1 82 5 0 1 82 5 0 1 82 5 0 1 82 5 0 1 82 5 0 1 82 5 0 1 82 5 0 1 82 5 0 1 82 5 0 1 82 5 0 1 83 5 0 1 84 6 0 1 94 6 0 1 94 6 1 1 94 6 1 1 94 6 1 1 94 6 1 1 1 94 6 1 1 1 94 6 1 1 1 94 6 1 1 1 94 6 1 1 1 94 6 1 1 1 94 6 1 1 1 94 6 1 1 1 94 6 1 1 1 94 6 1 1 1 94 6 1 1 1 94 6 1 1 1 94 6 1 1 1 94 6 1 1 1 94 6 1 1 1 94 6 1 1 1 94 6 1 1 1 94 6 1 1 1 94 6 1 1 1 94 6 1 1 1 94 6 1 1 1 94 6 1 1 1 94 6 1 1 1 94 6 1 1 1 94 6 1 1 1 94 6 1 1 1 94 6 1 1 1 94 6 1 1 1 94 6 1 1 1 94 6 1 1 1 94 6 1 1 1 94 6 1 1 1 94 6 1 1 1 94 6 1 1 1 94 6 1 1 1 94 6 1 1 1 94 6 1 1 1 94 6 1 1 1 94 6 1 1 1 1 94 6 1 1 1 1 94 6 1 1 1 1 94 6 1 1 1 1 1 1 1 1 1 1 1 1 1 1 1 1 1 1 1                                                                                                                                                                                                                                                                                                                                                                                                                                                                                                                                                                                                                                                                                                                                                                                                                                                                                                                                                                                                                                                                                                                                                                                                                                                                                                                           | 0.385                                                                                                                                        | 2.55<br>0.395<br>0.79<br>7.60<br>0.80<br>0.77<br>1.27<br>9.95<br>0.70<br>2.975<br>1.85<br>0.157<br>2.65<br>0.58<br>0.68<br>3.875<br>0.96<br>6.65<br>4.00<br>3.825<br>0.42<br>1.95<br>0.47<br>8.10<br>1.20<br>2.075<br>7.0.19<br>8.25<br>0.19<br>6.20<br>5.70<br>6.20<br>5.70<br>6.20<br>5.70<br>6.20<br>5.70<br>6.20<br>5.70<br>6.20<br>5.70<br>6.20<br>5.70<br>6.20<br>5.70<br>6.20<br>5.70<br>6.20<br>5.70<br>6.20<br>5.70<br>6.20<br>5.70<br>6.20<br>5.70<br>6.20<br>5.70<br>6.20<br>5.70<br>6.20<br>5.70<br>6.20<br>5.70<br>6.20<br>5.70<br>6.20<br>5.70<br>6.20<br>5.70<br>6.20<br>5.70<br>6.20<br>5.70<br>6.20<br>5.70<br>6.20<br>5.70<br>6.20<br>5.70<br>6.20<br>5.70<br>6.20<br>5.70<br>6.20<br>5.70<br>6.20<br>5.70<br>6.20<br>5.70<br>6.20<br>5.70<br>6.20<br>5.70<br>6.20<br>5.70<br>6.20<br>5.70<br>6.20<br>5.70<br>6.20<br>5.70<br>6.20<br>5.70<br>6.20<br>5.70<br>6.20<br>5.70<br>6.20<br>5.70<br>6.20<br>5.70<br>6.20<br>5.70<br>6.20<br>5.70<br>6.20<br>5.70<br>6.20<br>5.70<br>6.20<br>5.70<br>6.20<br>5.70<br>6.20<br>5.70<br>6.20<br>5.70<br>6.20<br>5.70<br>6.20<br>5.70<br>6.20<br>5.70<br>6.20<br>5.70<br>6.20<br>5.70<br>6.20<br>5.70<br>6.20<br>5.70<br>6.20<br>5.70<br>6.20<br>5.70<br>6.20<br>5.70<br>6.20<br>5.70<br>6.20<br>5.70<br>6.20<br>5.70<br>6.20<br>5.70<br>6.20<br>5.70<br>6.20<br>5.70<br>6.20<br>5.70<br>6.20<br>5.70<br>6.20<br>5.70<br>6.20<br>5.70<br>6.20<br>5.70<br>6.20<br>5.70<br>6.20<br>5.70<br>6.20<br>5.70<br>6.20<br>5.70<br>6.20<br>5.70<br>6.20<br>5.70<br>6.20<br>5.70<br>6.20<br>5.70<br>6.20<br>5.70<br>6.20<br>5.70<br>6.20<br>5.70<br>6.20<br>5.70<br>6.20<br>5.70<br>6.20<br>6.20<br>6.20<br>6.20<br>6.20<br>6.20<br>6.20<br>6.2                                         | 2.520<br>0 385<br>0 77<br>7 60<br>0.79<br>0.76<br>1 27<br>9 95<br>0.69<br>2 95<br>1 85<br>0 15<br>2 65<br>0 57<br>0 67<br>3 87<br>0 96<br>6 65<br>3 92<br>3 .77<br>0 .41<br>1 .94<br>0 .46<br>8 .10<br>1 .16<br>5 2 05<br>0 .19<br>5 3 .77<br>0 .19<br>5 3 .77<br>0 .19                                                                                                                                                                                                                                                                                                                                                                                                                                                                                                                                                                                                                                                                                                                                                                                                                                                                                                                                                                                                                                                                                                                                                                                                                                                                                                                                                                                                                                                                                                                                                                                                                                                                                                                                                                                                                                                                                                                                                                                                                                                                                                                                                                                                                                                                                                                                                                                                                                                                                                                                                                                                                                                                                                                                                                                                                                                                                                                             | 5 - 0 05 - 0 07 1 - 0 07 1 - 0 07 1 - 0 07 1 - 0 07 1 - 0 07 1 - 0 07 1 - 0 07 1 - 0 07 1 - 0 07 1 - 0 07 1 - 0 07 1 - 0 07 1 - 0 07 1 - 0 07 1 - 0 07 1 - 0 07 1 - 0 07 1 - 0 07 1 - 0 07 1 - 0 07 1 - 0 07 1 - 0 07 1 - 0 07 1 - 0 07 1 - 0 07 1 - 0 07 1 - 0 07 1 - 0 07 1 - 0 07 1 - 0 07 1 - 0 07 1 - 0 07 1 - 0 07 1 - 0 07 1 - 0 07 1 - 0 07 1 - 0 07 1 - 0 07 1 - 0 07 1 - 0 07 1 - 0 07 1 - 0 07 1 - 0 07 1 - 0 07 1 - 0 07 1 - 0 07 1 - 0 07 1 - 0 07 1 - 0 07 1 - 0 07 1 - 0 07 1 - 0 07 1 - 0 07 1 - 0 07 1 - 0 07 1 - 0 07 1 - 0 07 1 - 0 07 1 - 0 07 1 - 0 07 1 - 0 07 1 - 0 07 1 - 0 07 1 - 0 07 1 - 0 07 1 - 0 07 1 - 0 07 1 - 0 07 1 - 0 07 1 - 0 07 1 - 0 07 1 - 0 07 1 - 0 07 1 - 0 07 1 - 0 07 1 - 0 07 1 - 0 07 1 - 0 07 1 - 0 07 1 - 0 07 1 - 0 07 1 - 0 07 1 - 0 07 1 - 0 07 1 - 0 07 1 - 0 07 1 - 0 07 1 - 0 07 1 - 0 07 1 - 0 07 1 - 0 07 1 - 0 07 1 - 0 07 1 - 0 07 1 - 0 07 1 - 0 07 1 - 0 07 1 - 0 07 1 - 0 07 1 - 0 07 1 - 0 07 1 - 0 07 1 - 0 07 1 - 0 07 1 - 0 07 1 - 0 07 1 - 0 07 1 - 0 07 1 - 0 07 1 - 0 07 1 - 0 07 1 - 0 07 1 - 0 07 1 - 0 07 1 - 0 07 1 - 0 07 1 - 0 07 1 - 0 07 1 - 0 07 1 - 0 07 1 - 0 07 1 - 0 07 1 - 0 07 1 - 0 07 1 - 0 07 1 - 0 07 1 - 0 07 1 - 0 07 1 - 0 07 1 - 0 07 1 - 0 07 1 - 0 07 1 - 0 07 1 - 0 07 1 - 0 07 1 - 0 07 1 - 0 07 1 - 0 07 1 - 0 07 1 - 0 07 1 - 0 07 1 - 0 07 1 - 0 07 1 - 0 07 1 - 0 07 1 - 0 07 1 - 0 07 1 - 0 07 1 - 0 07 1 - 0 07 1 - 0 07 1 - 0 07 1 - 0 07 1 - 0 07 1 - 0 07 1 - 0 07 1 - 0 07 1 - 0 07 1 - 0 07 1 - 0 07 1 - 0 07 1 - 0 07 1 - 0 07 1 - 0 07 1 - 0 07 1 - 0 07 1 - 0 07 1 - 0 07 1 - 0 07 1 - 0 07 1 - 0 07 1 - 0 07 1 - 0 07 1 - 0 07 1 - 0 07 1 - 0 07 1 - 0 07 1 - 0 07 1 - 0 07 1 - 0 07 1 - 0 07 1 - 0 0 07 1 - 0 07 1 - 0 0 07 1 - 0 0 07 1 - 0 0 0 0 0 0 0 0 0 0 0 0 0 0 0 0 0 0 | -102 -58 -68 -68 -69 -79 -152 -49 -49 -70 -71 -69 -71 -69 -71 -69 -71 -71 -71 -71 -71 -71 -71 -71 -71 -71               | 130,25<br>39,60<br>154,00<br>1,640,00<br>2,00<br>142,00<br>171,00<br>58,00<br>1,800,00<br>180,00<br>180,00<br>180,00<br>180,00<br>180,00<br>100,00<br>100,00<br>100,00<br>100,00<br>100,00<br>100,00<br>100,00<br>100,00<br>100,00<br>100,00<br>100,00<br>100,00<br>100,00<br>100,00<br>100,00<br>100,00<br>100,00<br>100,00<br>100,00<br>100,00<br>100,00<br>100,00<br>100,00<br>100,00<br>100,00<br>100,00<br>100,00<br>100,00<br>100,00<br>100,00<br>100,00<br>100,00<br>100,00<br>100,00<br>100,00<br>100,00<br>100,00<br>100,00<br>100,00<br>100,00<br>100,00<br>100,00<br>100,00<br>100,00<br>100,00<br>100,00<br>100,00<br>100,00<br>100,00<br>100,00<br>100,00<br>100,00<br>100,00<br>100,00<br>100,00<br>100,00<br>100,00<br>100,00<br>100,00<br>100,00<br>100,00<br>100,00<br>100,00<br>100,00<br>100,00<br>100,00<br>100,00<br>100,00<br>100,00<br>100,00<br>100,00<br>100,00<br>100,00<br>100,00<br>100,00<br>100,00<br>100,00<br>100,00<br>100,00<br>100,00<br>100,00<br>100,00<br>100,00<br>100,00<br>100,00<br>100,00<br>100,00<br>100,00<br>100,00<br>100,00<br>100,00<br>100,00<br>100,00<br>100,00<br>100,00<br>100,00<br>100,00<br>100,00<br>100,00<br>100,00<br>100,00<br>100,00<br>100,00<br>100,00<br>100,00<br>100,00<br>100,00<br>100,00<br>100,00<br>100,00<br>100,00<br>100,00<br>100,00<br>100,00<br>100,00<br>100,00<br>100,00<br>100,00<br>100,00<br>100,00<br>100,00<br>100,00<br>100,00<br>100,00<br>100,00<br>100,00<br>100,00<br>100,00<br>100,00<br>100,00<br>100,00<br>100,00<br>100,00<br>100,00<br>100,00<br>100,00<br>100,00<br>100,00<br>100,00<br>100,00<br>100,00<br>100,00<br>100,00<br>100,00<br>100,00<br>100,00<br>100,00<br>100,00<br>100,00<br>100,00<br>100,00<br>100,00<br>100,00<br>100,00<br>100,00<br>100,00<br>100,00<br>100,00<br>100,00<br>100,00<br>100,00<br>100,00<br>100,00<br>100,00<br>100,00<br>100,00<br>100,00<br>100,00<br>100,00<br>100,00<br>100,00<br>100,00<br>100,00<br>100,00<br>100,00<br>100,00<br>100,00<br>100,00<br>100,00<br>100,00<br>100,00<br>100,00<br>100,00<br>100,00<br>100,00<br>100,00<br>100,00<br>100,00<br>100,00<br>100,00<br>100,00<br>100,00<br>100,00<br>100,00<br>100,00<br>100,00<br>100,00<br>100,00<br>100,00<br>100,00<br>100,00<br>100,00<br>100,00<br>100,00<br>100,00<br>100,00<br>100,00<br>100,00<br>100,00<br>100,00<br>100,00<br>100,00<br>100,00<br>100,00<br>100,00<br>100,00<br>100,00<br>100,00<br>100,00<br>100,00<br>100,00<br>100,00<br>100,00<br>100,00<br>100,00<br>100,00<br>100,00<br>100,00<br>100,00<br>100,00<br>100,00<br>100,00<br>100,00<br>100,00<br>100,00<br>100,00<br>100,00<br>100,00<br>100,00<br>100,00<br>100,00<br>100,00                                                                                                                                                                  | 0                                                                                                                                                                                                                                                                                                                                                                                                                                                                                                                                                                                                                                                                                                                                                                                                       | - 0.92 03 0.14 - 0.26 00 0.29 00 0.29 00 0.29 00 0.29 00 0.29 00 0.29 00 0.29 00 0.29 00 0.29 00 0.39 00 0.39 00 0.49 00 0.39 00 0.49 00 0.49 00 0.49 00 0.49 00 0.49 00 0.49 00 0.49 00 0.49 00 0.49 00 0.49 00 0.49 00 0.49 00 0.49 00 0.49 00 0.49 00 0.49 00 0.49 00 0.49 00 0.49 00 0.49 00 0.49 00 0.49 00 0.49 00 0.49 00 0.49 00 0.49 00 0.49 00 0.49 00 0.49 00 0.49 00 0.49 00 0.49 00 0.49 00 0.49 00 0.49 00 0.49 00 0.49 00 0.49 00 0.49 00 0.49 00 0.49 00 0.49 00 0.49 00 0.49 00 0.49 00 0.49 00 0.49 00 0.49 00 0.49 00 0.49 00 0.49 00 0.49 00 0.49 00 0.49 00 0.49 00 0.49 00 0.49 00 0.49 00 0.49 00 0.49 00 0.49 00 0.49 00 0.49 00 0.49 00 0.49 00 0.49 00 0.49 00 0.49 00 0.49 00 0.49 00 0.49 00 0.49 00 0.49 00 0.49 00 0.49 00 0.49 00 0.49 00 0.49 00 0.49 00 0.49 00 0.49 00 0.49 00 0.49 00 0.49 00 0.49 00 0.49 00 0.49 00 0.49 00 0.49 00 0.49 00 0.49 00 0.49 00 0.49 00 0.49 00 0.49 00 0.49 00 0.49 00 0.49 00 0.49 00 0.49 00 0.49 00 0.49 00 0.49 00 0.49 00 0.49 00 0.49 00 0.49 00 0.49 00 0.49 00 0.49 00 0.49 00 0.49 00 0.49 00 0.49 00 0.49 00 0.49 00 0.49 00 0.49 00 0.49 00 0.49 00 0.49 00 0.49 00 0.49 00 0.49 00 0.49 00 0.49 00 0.49 00 0.49 00 0.49 00 0.49 00 0.49 00 0.49 00 0.49 00 0.49 00 0.49 00 0.49 00 0.49 00 0.49 00 0.49 00 0.49 00 0.49 00 0.49 00 0.49 00 0.49 00 0.49 00 0.49 00 0.49 00 0.49 00 0.49 00 0.49 00 0.49 00 0.49 00 0.49 00 0.49 00 0.49 00 0.49 00 0.49 00 0.49 00 0.49 00 0.49 00 0.49 00 0.49 00 0.49 00 0.49 00 0.49 00 0.49 00 0.49 00 0.49 00 0.49 00 0.49 00 0.49 00 0.49 00 0.49 00 0.49 00 0.49 00 0.49 00 0.49 00 0.49 00 0.49 00 0.49 00 0.49 00 0.49 00 0.49 00 0.49 00 0.49 00 0.49 00 0.49 00 0.49 00 0.49 00 0.49 00 0.49 00 0.49 00 0.49 00 0.49 00 0.49 00 0.49 00 0.49 00 0.49 00 0.49 00 0.49 00 0.49 00 0.49 00 0.49 00 0.49 00 0.49 00 0.49 00 0.49 00 0.49 00 0.49 00 0.49 00 0.49 00 0.49 00 0.49 00 0.49 00 0.49 00 0.49 00 0.49 00 0.49 00 0.49 00 0.49 00 0.49 00 0.49 00 0.49 00 0.49 00 0.49 00 0.49 00 0.49 00 0.49 00 0.49 00 0.49 00 0.49 00 0.49 00 0.49 00 0.49 00 0.49 00 0.49 00 0.49 00 0.49 00 0.49 00 0.49  | 6 16.45 6 16.45 6 14.81 7 3.72 8 5.45 6 10.51 7 5.81 7 8 6 12.39 1 9.64 4 4.53 1 5.96 5 5.06 1 5.74 2 5.42 7 5 6.15 0 2.40 7 10.74 4 7.36 2 3.97 4 3.96 7 5.12 9 8.37 4 3 8.69 3 32.4 3 5.83 1 18.2 9 7 5.12                                                                                                                                                                                                                                                                                                                                                                                                                                                                                                                                                                                                                                                                                                                                                                                                                                                                                                                                                                                                                                                                                                                                                                                                                                                                                                                                                                                                                                                                                                                                                                                                                                                                                                                                                                                                                                                                                                                   | 7                                                               |
| 1 33       07         0 56       24         0 40       52         3 26       22         0 94       47         0 91       23         1 0 70       23         1 1 5       52         0 79       44         1 55       08         3 625       06         3 025       25         0 183       07         2 825       53         0 65       50         1 1 13       09         4 65       43         1 1 80       05         1 67       07         2 70       27         0 3 15       23         1 52       2         2 30       2         4 60       1         1 78       3         4 60       1         1 78       3         4 60       1         1 78       3         2 625       1                                                                                                                                                                                                                                                                                                                                                                                                                                                                                                                                                                                                                                                                                                                                                                                                                                                                                                                                                                                                                                                                                                                                                                                                                                                                                                                                                                                                                                                                                                                                                                                                                                                                                                                                                                                                                                                                                                                                            | 43 品質國際(優) 29 利民政策 72 四國際(優) 29 利民政策 72 政策 36 生产 (基) 37 (基) 38 南平 (基) 39 (基) 39 (基) 30 (基) 31 (基) 32 (基) 33 (基) 34 (基) 35 (基) 36 (基) 36 (基) 37 (基) 38 南平 (基) 39 (                                                                                                                                                                                                                                                                                                                                                                                                                                                                                                                                                                                                                                                                                            | 1,29 0,39 0,39 0,339 2,529 0,38 0,77 7,65 0,80 0,76 1,26 9,95 0,69 2,97 1,83 0,15 2,65 0,56 0,68 3,87 0,95 6,70 3,90 3,77 0,41 2,00 0,46 8,10 1,20 2,07 0,18 4,10 1,20 2,07 0,18 4,10 1,20 2,07 0,18 4,10 1,20 2,07 0,18 4,10 1,20 2,07 0,18 4,10 1,20 2,07 0,18 4,10 1,20 2,07 0,18 4,10 1,20 2,07 0,18 4,10 1,20 2,07 0,18 4,10 1,20 2,07 0,18 4,10 1,20 2,07 0,18 4,10 1,20 2,07 0,18 4,10 1,20 2,07 0,18 4,10 1,20 2,07 0,18 4,10 1,20 2,07 0,18 4,10 1,20 2,07 0,18 4,10 1,20 2,07 0,18 4,10 1,20 2,07 0,18 4,10 1,20 2,07 0,18 4,10 1,20 2,07 0,18 4,10 1,20 2,07 0,18 4,10 1,20 2,07 0,18 4,10 1,20 2,07 0,18 4,10 1,20 2,07 0,18 4,10 1,20 2,07 0,18 4,10 1,20 2,07 0,18 4,10 1,20 2,07 0,18 4,10 1,20 2,07 0,18 4,10 1,20 2,07 0,18 4,10 1,20 2,07 0,18 4,10 1,20 2,07 0,18 4,10 1,20 2,07 0,18 4,10 1,20 2,07 0,18 4,10 1,20 2,07 0,18 4,10 1,20 2,07 0,18 4,10 1,20 2,07 0,18 4,10 1,20 2,07 0,18 4,10 1,20 2,07 0,18 4,10 1,20 2,07 0,18 4,10 1,20 2,07 0,18 4,10 1,20 2,07 0,18 4,10 1,20 2,07 0,18 4,10 1,20 2,07 0,18 4,10 1,20 2,07 0,18 4,10 1,20 2,07 0,18 4,10 1,20 2,07 0,18 4,10 1,20 2,07 0,18 4,10 1,20 2,07 0,18 4,10 1,20 2,07 0,18 4,10 1,20 2,07 0,18 4,10 1,20 2,07 0,18 4,10 1,20 2,07 0,18 4,10 1,20 2,07 0,18 4,10 1,20 2,07 0,18 4,10 1,20 2,07 0,18 4,10 1,20 2,07 0,18 4,10 1,20 2,07 0,18 4,10 1,20 2,07 0,18 4,10 1,20 2,07 0,18 4,10 1,20 2,07 0,18 4,10 1,20 2,07 0,18 4,10 1,20 2,07 0,18 4,10 1,20 2,07 0,18 4,10 1,20 2,07 0,18 4,10 1,20 2,07 0,18 4,10 1,20 2,07 0,18 4,10 1,20 2,07 0,18 4,10 1,20 2,07 0,18 4,10 1,20 2,07 0,18 4,10 1,20 2,07 0,18 4,10 1,20 2,07 0,18 4,10 1,20 2,07 0,18 4,10 1,20 2,07 0,18 4,10 1,20 2,07 0,18 4,10 1,20 2,07 0,18 4,10 1,20 2,07 0,18 4,10 1,20 2,07 0,18 4,10 1,20 2,07 0,18 4,10 1,20 2,07 0,18 4,10 1,20 2,07 0,18 4,10 1,20 2,07 0,18 4,10 1,20 2,07 0,18 4,10 1,20 2,07 0,18 4,10 1,20 2,07 0,18 4,10 1,20 2,07 0,18 4,10 1,20 2,07 0,18 4,10 1,20 2,07 0,18 4,10 1,20 2,07 0,18 4,10 1,20 2,07 0,18 4,10 1,20 2,07 0,18 4,10 1,20 2,07 0,18 4,10 1,20 2,07 0,18 4,10 1,20 2,07 0,18 4,10 1,20 2,07 0,18 4,10 1,20 2,07 0,18 4,10 1,20 | 0.39 5 0.39 5 0.39 7 6 0.89 0.7 1.2 9.9 0.7 5 2.9 1.8 4 0.1 2.7 0.5 0.6 5 - 0.9 6 6 6 3 9 5 - 0 20 6 11 1.1 5 2.0 6 3 7 0 7 0 7 0 7 0 7 0 7 0 7 0 7 0 7 0 7 0                                                                                                                                                                                                                                                                                                                                                                                                                                                                                                                                                                                                                                                                                                                                                                                                                                                                                                                                                                                                                                                                                                                                                                                                                                                                                                                                                                                                                                                                                                                                                                                                                                                                                                                                                                                                                                                                                                                                                                  | 95 0 383 35 0 33 35 0 33 36                                                                                                                                                                                                                                                                                                                                                                                                                                                                                                                                                                                                                                                                                                                                                                                                                                                                                                                                                                                                                                                                                                                                                                                                                                                                                                                                                                                                                                                                                                                                                                                                                                                                                                                                                                                                                                                                                                                                                                                                                                                                                                   | 0.385                                                                                                                                        | 2.55<br>0.395<br>0.79<br>7.60<br>0.80<br>0.77<br>1.27<br>9.95<br>0.70<br>2.975<br>1.85<br>0.157<br>2.65<br>0.58<br>0.68<br>3.875<br>0.96<br>6.65<br>4.00<br>3.825<br>0.42<br>1.95<br>0.47<br>8.10<br>1.20<br>2.075<br>7.0.19<br>5.70<br>6.20<br>5.70<br>6.20<br>5.70<br>6.20<br>5.70<br>6.20<br>5.70<br>6.20<br>5.70<br>6.20<br>5.70<br>6.20<br>5.70<br>6.20<br>5.70<br>6.20<br>5.70<br>6.20<br>5.70<br>6.20<br>5.70<br>6.20<br>5.70<br>6.20<br>5.70<br>6.20<br>5.70<br>6.20<br>5.70<br>6.20<br>5.70<br>6.20<br>5.70<br>6.20<br>5.70<br>6.20<br>5.70<br>6.20<br>5.70<br>6.20<br>5.70<br>6.20<br>5.70<br>6.20<br>5.70<br>6.20<br>5.70<br>6.20<br>5.70<br>6.20<br>5.70<br>6.20<br>5.70<br>6.20<br>5.70<br>6.20<br>5.70<br>6.20<br>5.70<br>6.20<br>5.70<br>6.20<br>6.20<br>6.20<br>6.20<br>6.20<br>6.20<br>6.20<br>6.2                                                                                                                                                                                                                                                                                                                                                                                                                                                                                                                                                                                                                                                                                                                                                                                                                                                                                                                 | 2.520<br>0 383<br>0 777<br>7 60<br>0.79<br>0.76<br>1 27<br>9 95<br>0.69<br>2 95<br>1 85<br>0 0.15<br>2 65<br>0 57<br>0 67<br>3 87<br>0 96<br>6 65<br>3 92<br>3 .77<br>0 .41<br>1 .94<br>0 .46<br>8 .10<br>1 .16<br>5 2 05<br>0 .19<br>5 60<br>6 .15<br>1 .40<br>4 95<br>3 .77<br>8 .10<br>6 .15<br>1 .40<br>4 95<br>3 .77<br>8 .10<br>6 .15<br>1 .16<br>6 .15<br>1 .16<br>1 .1 | 5 0 05 - 0 02                                                                                                                                                                                                                                                                                                                                                                                                                                                                                                                                                                                                                                                                                                                                                                                                                                                                                                                                                                                                                                                                                                                                                                                                                                                                                                                                                                                                                                                                                                                                                                                                                                                                                                                                                                                  | -102 -58 -68 -68 -69 -78 -49 -78 -78 -78 -78 -78 -78 -78 -78 -78 -78                                                    | 130,25<br>39,60<br>154,00<br>1,640,00<br>2,00<br>142,00<br>171,00<br>58,00<br>1,740,00<br>448,00<br>1,800,00<br>180,00<br>5,00<br>5,00<br>5,00<br>6,00<br>6,00<br>6,00<br>6,00<br>6,00<br>6,00<br>6,00<br>7,174,00<br>6,00<br>6,00<br>7,174,00<br>7,174,00<br>7,174,00<br>7,174,00<br>7,174,00<br>7,174,00<br>7,174,00<br>7,174,00<br>7,174,00<br>7,174,00<br>7,174,00<br>7,174,00<br>7,174,00<br>7,174,00<br>7,174,00<br>7,174,00<br>7,174,00<br>7,174,00<br>7,174,00<br>7,174,00<br>7,174,00<br>7,174,00<br>7,174,00<br>7,174,00<br>7,174,00<br>7,174,00<br>7,174,00<br>7,174,00<br>7,174,00<br>7,174,00<br>7,174,00<br>7,174,00<br>7,174,00<br>7,174,00<br>7,174,00<br>7,174,00<br>7,174,00<br>7,174,00<br>7,174,00<br>7,174,00<br>7,174,00<br>7,174,00<br>7,174,00<br>7,174,00<br>7,174,00<br>7,174,00<br>7,174,00<br>7,174,00<br>7,174,00<br>7,174,00<br>7,174,00<br>7,174,00<br>7,174,00<br>7,174,00<br>7,174,00<br>7,174,00<br>7,174,00<br>7,174,00<br>7,174,00<br>7,174,00<br>7,174,00<br>7,174,00<br>7,174,00<br>7,174,00<br>7,174,00<br>7,174,00<br>7,174,00<br>7,174,00<br>7,174,00<br>7,174,00<br>7,174,00<br>7,174,00<br>7,174,00<br>7,174,00<br>7,174,00<br>7,174,00<br>7,174,00<br>7,174,00<br>7,174,00<br>7,174,00<br>7,174,00<br>7,174,00<br>7,174,00<br>7,174,00<br>7,174,00<br>7,174,00<br>7,174,00<br>7,174,00<br>7,174,00<br>7,174,00<br>7,174,00<br>7,174,00<br>7,174,00<br>7,174,00<br>7,174,00<br>7,174,00<br>7,174,00<br>7,174,00<br>7,174,00<br>7,174,00<br>7,174,00<br>7,174,00<br>7,174,00<br>7,174,00<br>7,174,00<br>7,174,00<br>7,174,00<br>7,174,00<br>7,174,00<br>7,174,00<br>7,174,00<br>7,174,00<br>7,174,00<br>7,174,00<br>7,174,00<br>7,174,00<br>7,174,00<br>7,174,00<br>7,174,00<br>7,174,00<br>7,174,00<br>7,174,00<br>7,174,00<br>7,174,00<br>7,174,00<br>7,174,00<br>7,174,00<br>7,174,00<br>7,174,00<br>7,174,00<br>7,174,00<br>7,174,00<br>7,174,00<br>7,174,00<br>7,174,00<br>7,174,00<br>7,174,00<br>7,174,00<br>7,174,00<br>7,174,00<br>7,174,00<br>7,174,00<br>7,174,00<br>7,174,00<br>7,174,00<br>7,174,00<br>7,174,00<br>7,174,00<br>7,174,00<br>7,174,00<br>7,174,00<br>7,174,00<br>7,174,00<br>7,174,00<br>7,174,00<br>7,174,00<br>7,174,00<br>7,174,00<br>7,174,00<br>7,174,00<br>7,174,00<br>7,174,00<br>7,174,00<br>7,174,00<br>7,174,00<br>7,174,00<br>7,174,00<br>7,174,00<br>7,174,00<br>7,174,00<br>7,174,00<br>7,174,00<br>7,174,00<br>7,174,00<br>7,174,00<br>7,174,00<br>7,174,00<br>7,174,00<br>7,174,00<br>7,174,00<br>7,174,00<br>7,174,00<br>7,174,00<br>7,174,00<br>7,174,00<br>7,174,00<br>7,174,                                                                                                                                                                                                                                                          | 0 49,70 0 300,96 0 122,40 0 1,246,40 0 1,142,00 0 19,85 0 98,98 0 504,30 0 107,18 0 267,40 0 1,028,73 0 123,20 0 462,80 0 33,29 0 19,83 0 26,0 0 668,3 0 23,20 0 49,63 0 37,9 0 119,83 0 37,9 0 119,83 0 37,9 0 119,83 0 37,9 0 119,83 0 33,29 0 49,63 0 37,9 0 119,83 0 33,29 0 49,63 0 33,29 0 49,63 0 33,29 0 49,63 0 33,29 0 49,63 0 33,29 0 49,63 0 33,29 0 49,63 0 33,29 0 49,63 0 33,29 0 49,63 0 33,29 0 49,63 0 33,29 0 49,63 0 33,29 0 49,63 0 33,29 0 49,63 0 33,29 0 49,63 0 33,29 0 49,63 0 33,29 0 49,63 0 33,29 0 49,63 0 33,29 0 49,63 0 33,29 0 49,63 0 33,29 0 49,63 0 33,29 0 49,63 0 33,29 0 49,63 0 33,29 0 49,63 0 33,29 0 49,63 0 33,29 0 49,63 0 33,29 0 49,63 0 33,29 0 49,63 0 33,29 0 49,63 0 33,29 0 49,63 0 33,29 0 49,63 0 33,29 0 49,63 0 33,29 0 49,63 0 33,29 0 532,63 | - 0.92 03 0.14 - 0.26 00 0.29 00 0.29 00 0.29 00 0.29 00 0.60 00 0.60 00 0.60 00 0.70 1.40 00 0.39 00 0.70 1.00 0.10 00 0.40 00 0.70 1.00 0.10 0.10 0.10 0.10 0.10 0.10                                                                                                                                                                                                                                                                                                                                                                                                                                                                                                                                                                                                                                                                                                                                                                                                                                                                                                                                                                                                                                                                                                                                                                                                                                                                                                                                                                                                                                                                                                                                                                                                                                                                                                                                                                                                                                                                                                                                                        | 6 16.45 6 16.45 6 14.81 7 3.72 8 5.45 6 10.51 7 5.81 7 8 6 12.39 1 9.64 4 4.53 1 5.96 5 5.06 1 5.74 2 5.42 7 5 6.15 0 2.40 7 10.74 4 7.38 2 3.97 4 3.96 7 5.12 9 8.37 4 3 8.69 3 32.4 3 5.83 1 18.2 6 5.2 6 5.2 6 5.3 6 5.3 7 7 5.1 7 7 7 7 7 7 7 7 7 7 7 7 7 7 7 7 7 7 7                                                                                                                                                                                                                                                                                                                                                                                                                                                                                                                                                                                                                                                                                                                                                                                                                                                                                                                                                                                                                                                                                                                                                                                                                                                                                                                                                                                                                                                                                                                                                                                                                                                                                                                                                                                                                                                      | 7                                                               |

| (La)                     | _             |                                                                  |                                        |                                         |                                | 四别生                     |                               |                             |                          |                           | - ) 千八                             |                                              |                              |                              | <del></del>                  |
|--------------------------|---------------|------------------------------------------------------------------|----------------------------------------|-----------------------------------------|--------------------------------|-------------------------|-------------------------------|-----------------------------|--------------------------|---------------------------|------------------------------------|----------------------------------------------|------------------------------|------------------------------|------------------------------|
| 今年<br>最高價                | ft <b>y</b>   | كالكاف والمراجع والمراجع المتعادات                               | 上負牧市                                   | 最高                                      | 最低                             | 最後叫<br>買入               | ) 出                           | 牧市                          | ZIFA                     | <b>火丹</b>                 | 交股數                                | 成交金額                                         | R/S                          | P/E                          | 息率                           |
| 11.60<br>6.20<br>10.10   | 422           | 1 海福智製<br>2 文華東方<br>1 美 麗 華                                      | 10.80<br>5.20<br>7.40                  | 10.70<br>5.20<br>7.45                   | 10.70<br>5.15<br>7.35          | 5.15<br>7.40            | 5.20<br>7.45                  |                             | - 0 10<br>0 05<br>       | 95<br>~81<br>~            | 1 600<br>165,950<br>332,000        | 16,760<br>858,114<br>2 456,650               | 3.88<br>1.87<br>2.68         | 9 67<br>33.30                | 7.19<br>2.30                 |
| 1.00<br>7.80<br>12.10    | 54:<br>06:    | 2 星農集團<br>4 新世界酒店<br>3 百樂酒店                                      | 0.89<br>5.15<br>7.70                   | 0.90<br>5.20                            | 086<br>515                     | 0.86<br>5.15<br>—       | 0 87<br>5 20<br>7 80          | 0 86<br>5 15<br>7.70        | 0 03                     | -9<br>-                   | 105 000<br>80 000                  | 92,200<br>412 100                            | 0 31<br>1 87<br>2 79         | 5 18<br>8 38<br>20 7 1       | 8.48<br>7.18<br>8.96         |
| 2.775<br>1.45            | 071           | 8 富豪香店                                                           | 1.79                                   | 1.86                                    | 1.81                           | 1.82<br>1.13            | 1.83                          |                             | +004<br>001              | + 26                      | 4,395,646                          | 8,027 677                                    | 0 66<br>0 42                 | 7.19                         | 6.83<br>3.84                 |
|                          |               | 公用事業                                                             |                                        |                                         | <u>_</u>                       |                         |                               |                             |                          |                           |                                    |                                              |                              |                              | 7                            |
| 70.00<br>12.692          |               | 0 大東電朝<br>2 中華電力★                                                | 60.00                                  | 11.90                                   | 11.80                          | 59 00  <br>11.80        | 11.90                         | <del></del>                 | -0 10<br>+0 10           | -91<br>+97                | 845,390<br>26,000                  | 10,042,955                                   | 21.77<br>4 28<br>9 36        | 9.70<br>20.02                | 5 08<br>2.99                 |
| 37.75<br>15.90<br>'21.30 | 03            | 6 中華汽車▲<br>2 海底隧道<br>3 中華煤氣                                      | 25 70<br>14.90<br>20.00                | 25.90<br>15.10<br>20.00                 | 25 50<br>15 00<br>19.80        | 25.80<br>14.90<br>19.80 | 26.00<br>15.10<br>19 90       | 15 10<br>19 90              | +010<br>+020<br>-010     | + 87<br>+ 44<br>121       | 26,000<br>94,000<br>266,000        | 665,440<br>1 412,200<br>5,289,900            | 5 48<br>7 22                 | 9 4 2<br>21 31               | 9 50<br>2 37                 |
| 8 45<br>7 50<br>5.85     | 05/<br>00/    | 6 港燈集團<br>0 香港小輪<br>8 香港電訊                                       | 7.60<br>5.50<br>4.65                   | 7.60<br>5.50<br>4.675                   | 7.55<br>5 40<br>4.65           | 7.55<br>5.45<br>4.65    | 7.60<br>5.50<br>4.675         | 4 65                        | -0 05<br>-               | - 88<br>-                 | 976,292<br>68,200<br>1,486,856     | 7,407,823<br>373,350<br>6,914,974            | 2 76<br>1 98<br>1.69         | 9 22<br>10 68<br>14.22       | 7.37<br>4 58<br>5 26         |
| 9.80                     | 06            | 百貨.傳播.                                                           | 7.00                                   | 7.00                                    | 6.95                           | 695                     | 7 00                          | 7.00                        |                          |                           | 22,735                             | 160,921                                      | 2.54                         | 10.82                        | 6.42                         |
| 1.06                     | 1             | 日·夏,]等7度。<br>8 正大國際<br>8 城市資源                                    | 0.91                                   | 0.93                                    | 0.92                           | 091                     | 0 93<br>0 44                  | 0 92                        | +001                     | +51                       | 170,000                            | 156 900                                      | 033                          | 15 49                        | 3 25<br>-                    |
| 7.95<br>10 70            | 35            | 3 恒和珠寶<br>3 牛奶酪際<br>3 迪牛創建                                       | 7.50<br>10 30                          | 1.01<br>7.50<br>10 70                   | 7.45<br>10.40                  | 1 00<br>7 45<br>10 60   | 7.50<br>10 70                 |                             | -0 05<br>+0 40           | -101<br>+12               | 454,000<br>2,576 220<br>1,338,420  | 458,540<br>19,299,906<br>14 139,950          | 0 3 7<br>2 7 0<br>3 8 8      | 6 66<br>14 46<br>15.83       | 7 13<br>3 62<br>2.10         |
| 1 977                    | 14            | 6 遠東投資國際<br>7 新系機構<br>3 玉影機構                                     | 0.98                                   | 0.96<br>1.09                            | 107                            | 0.96<br>1 07            | 0.99<br>1.08                  |                             | -0.02<br>+0.01           | -34<br>+61                | 16,000<br>5705,000<br>暫停買 <b>費</b> | 15,360<br>6,195,440                          | 035                          | 106 93                       | 5.77<br>0.93                 |
| 1.52<br>19 50<br>1.80    | 06            | 60 景羅集團<br>66 連 卡 佛A<br>92 連 卡 佛B                                | 1.25<br>11.80<br>1.15                  | 1.25<br>12 40<br>1.16                   | 1 25<br>12.00<br>1.15          | 1,24<br>11,90           | 1 25<br>12.00<br>1.15         | 1 25<br>12 00<br>1.15       | +0.20                    | +34                       | 172,000<br>55,000<br>40,000        | 215,000<br>665,100<br>46,200                 | 0 45<br>4 35<br>0 42         | 7.74<br>7.42                 | 6.40<br>6.49<br>8 77         |
| 10.60                    | 20            | 7 立 與<br>04 NewsCorp<br>8 東方報業                                   | 1,11                                   | 8 55<br>1 13                            | 8 50                           | 8.45                    | 8 55<br>1.12                  | 8 50<br>1,12                | +001                     | +63                       | 9,000                              | 76,600<br>461,440                            | 0.41                         | 7.98                         | 17 65<br>8 04                |
| 6.15<br>8 15<br>124 00   | 08<br>24      | 10 部氏公司<br>11 瑞典百五本<br>14 先 施                                    | 4.30<br>7.80<br>87.50                  | 4 30<br>7.85<br>87,50                   | 4.25<br>7.85<br>86 50          | 4 25<br>7 85<br>86.50   | 4 275<br>7 90<br>87.50        | 4 2 / 5<br>7 8 5<br>8 7 0 0 | -0 025<br>+0 05<br>-0 50 | 110<br>178<br>113         | 21 000<br>4 000<br>13,000          | 89 750<br>31 400<br>1 129,250                | 1 55<br>2 85<br>31.56        | 8.88<br>18.62<br>41.22       | 6.31<br>3 18<br>1 72         |
| 3 35<br>0 86<br>0 772    | 23            | 3 星島集團<br>7 謝 瑞 縣<br>9 東 万 紅                                     | 1.98<br>0.48<br>0.51                   | 1 98<br>0 48<br>0.51                    | 1.98<br>0.47<br>0.51           | 1.96<br>0.47            | 1 98<br>0 48<br>0 52          | 1.98<br>0.475<br>0.51       | -0 005<br>-              | -74<br>-74                | 32,000<br>970,922<br>328,000       | 63,360<br>460,856<br>167,280                 | 0.72<br>0.17<br>0.19         | 6 01<br>3 48<br>8 01         | 5 06<br>16 82<br>7.08        |
| 13.20<br>9.50            | 51<br>28      | 1 電視廣播<br>39 永安公司<br>92 八百半香港                                    | 7.70<br>7.80<br>1.70                   | 7 70                                    | 7.85<br>7.75                   | 7 65                    | 7.70<br>7.80<br>1.70          |                             | -0 05<br>-0 05           | -103<br>-104              | 35,000<br>132,000                  | 267,800<br>1 026,700                         | 2.78<br>2.81<br>0.62         | 9 87<br>16 95<br>14 52       | 9.15<br>3.10<br>4.41         |
| 2020                     | 20            | 2 7848.6                                                         | 170                                    |                                         |                                |                         |                               |                             |                          |                           |                                    |                                              |                              |                              |                              |
| 1 505                    | 1 03          | 建築.地產                                                            |                                        | 0.07                                    | A 95                           | 0.00                    | 0.67                          | 0.85                        |                          |                           | 1 254 000                          | 1 078 740                                    | 031                          | 6.64                         | 7 29                         |
| 1.505<br>4.05<br>1.445   | 05            | 73 聯合海外▲<br>56 聯合地產▲<br>60 聯合東榮                                  | 0.86<br>2.50<br>0.80                   | 0 87<br>2 50<br>0 82                    | 0 85<br>2 475<br>0 80          | 0.86<br>2 475<br>0 81   | 0 87<br>2 50<br>0 82          | 0.86<br>2.475<br>0.81       | -0.025<br>+001           | -76<br>+48                | 1,254 000<br>72 000<br>249,600     | 1,078 740<br>179,250<br>201,082<br>7 391 122 | 0 31<br>0 90<br>0 29<br>0 98 | 6.64<br>4 48<br>2 09<br>9 22 | 7 29<br>5.65<br>6.85<br>8.51 |
| 4.30<br>0.29<br>4.075    | 02<br>13      | D1 词大覆集<br>22 亞 聊 安<br>34 Beazer Asia                            | 2.80<br>-0.205<br>-4.025               | 2.775<br>0 204<br>4 025                 | 2 70<br>0.204<br>4 025         | 2.70<br>0.203<br>4.025  | 2.725<br>0.204<br>4.10        | 2 70<br>0 204<br>4 025      | -0 00°                   | -6<br>-122 -              | 2,715,590<br>713,000<br>10 000     | 7,391,122<br>145,140<br>40,250               | 0.07                         | 16.72<br>9.48                | 2.98                         |
| 170<br>2575<br>080       | 26<br>1(      | 06 海底實業<br>68 奔達爾際<br>08 建態國際                                    | 1 53<br>1 56<br>0 42                   | 1 53<br>1.57<br>0 43                    | 1.53<br>0.42                   | 1 51<br>1 54<br>0 415   | 1.52<br>1.55<br>0.42          | 151<br>154<br>0.42          | -0 02<br>-0 02<br>-      | -53<br>-54<br>-           | 93 000<br>146,000<br>80,000        | 226,760<br>33,900                            | 0.55<br>0.56<br>0.15         | 9 28<br>1 06<br>-<br>6.97    | 74.96<br>7.49                |
| 2 30<br>2 475<br>11.60   | 35            | 06 國家城市<br>55 世紀城市<br>01 最江賞報                                    | 1 55<br>1 66<br>9.30                   | 1 65<br>1.70<br>9.35                    | 1 59<br>1 67<br>9.25           | 1 60<br>1 70<br>9.25    | 1 63<br>1 7 1<br>9 30         | 1.60<br>1.70<br>9.25        | +0 05<br>+0 04<br>-0 05  | +17<br>+24<br>-117        | 80,000<br>1 227,000<br>1,457,000   | 128,140<br>2,083,160<br>13 521,350           | 0.58<br>0.62<br>3.36         | 6 85<br>9.73                 | 7.45<br>7.52<br>3.35         |
| 2.025                    | 5 13          | 12 至祥置業<br>30 中草烷樂<br>27 華人羅葉                                    |                                        | 0.83                                    | 0.82                           | 0.82<br>2 1/5           | 0.83                          | 0.82<br>2 175               | -0.01<br>+0.025          | -65<br>+50                | 1,194,400<br>3 518,982             | 984,024<br>7 705,415                         | 0.79                         | 3 05<br>11 15                | 5.87<br>4.13                 |
| 4.00<br>4.30             | 12            | 16 建聚霉果<br>20 四海华南1000<br>25 四海地南2008                            | 4.075                                  | 4 075                                   | 4.05                           | 0.64<br>4.00<br>4.05    | 0 65<br>-<br>4.15             | 0.64<br>4.00<br>4.075       | +005                     | -                         | 14,000                             | 166,400<br>-<br>56,950                       | 0.23<br>1.45<br>1.48         | 5 78<br>—<br>33 43           | 10 16                        |
| 1.70<br>1.16<br>1.93     | 1!            | 26                                                               | 1.46<br>0.79<br>1.12 v                 | 4, 13                                   | 1.44<br>20.79<br>1.42<br>1.071 | 1 46<br>0 78<br>1 12    | 1 46<br>0.79<br>1 16          | 1.46<br>0.79<br>1.13        | -<br>-<br>+001           | -<br>-<br>+64             | 10 000<br>890 000<br>46,000        | 14.560<br>704 100<br>51 540                  | 0.53<br>0.29<br>0.41         | 1.62<br>41.80<br>6.22        | . 380                        |
| 1.21<br>2.475            | 5 1:          | 35 遠東發展<br>32 第一城市<br>35 第一鱼南                                    | 1.43                                   | 71.7                                    |                                | 0 70<br>1 16            | 118                           | 118                         | <u>-</u><br>-            |                           | 571,000<br>722,000                 | 406,710<br>848,790                           | 0.43                         | 12 84<br>3.03                | 4 23,                        |
| 1 22                     | 1             | 24 景耀國際<br>40 金山地産<br>61 多 盆 利                                   | 077                                    | 0 78<br>3 675                           | 3,675                          |                         | 3.9.77<br>3.9.675             | 0.77<br>3 675               | -                        | -                         | 整件宣告<br>392,000<br>8,000           | 294,740<br>29,400                            | 0 28                         | 11.04                        |                              |
| 4 225<br>1.158<br>6 75   | <b>B</b> 2    | 41 鷹 君<br>70 粤海投資<br>10 恒 隆                                      | 3.95<br>0.88<br>5.05                   | 3.95<br>0.86<br>5 05                    | 3.90<br>0.86<br>4.97           | 0.86 ₹                  | 3.9 <b>\$</b><br>3.88<br>5.00 | 3.925<br>0.86<br>5.00       | -0.025<br>-0.02<br>0.06  | -105<br>-29<br>-79        | 1,533,468<br>20,000<br>3,240,750   | 6,021,638<br>17,200<br>16,218,756            | 1.42<br>0.31<br>1.81         | 11.39<br>-<br>6.09           | 3.19<br>1.73<br>7.39         |
| 3 65<br>2.37!<br>7.15    | 5 0           | 52 全 利 文<br>97 恒基發展<br>12 恒基地底                                   | 2 60<br>1.85<br>5.80                   | 2.60<br>1.85<br>5.85                    | 2.575<br>1.83<br>5.80          | 2 575<br>1 84<br>5 80   | 2 50<br>1 85<br>5 85          | 2575<br>184<br>5.80         | -0 025<br>-0 01<br>-     | -81<br>-115<br>-          | 108,000<br>1,401,000<br>2,002,200  | 279,050<br>2 576,640<br>11,627,185           | 0.93<br>0.67<br>2.10         | 7.24<br>2.32<br>7.05         | 8.07<br>7.61<br>5.17         |
| 15 50<br>12.70<br>0 53   | 0             | 57 協成行士<br>07 置 地<br>49 迅度發展                                     | 15.40<br>8 60<br>0 36                  | 15 50<br>8 65<br>0 38                   | 15 40<br>8 60<br>0 35          | 15.40<br>8.60<br>0.35   | 15.50<br>8.65<br>0.355        | 15.50<br>8 65<br>0.355      | +0.10<br>+0.05<br>-0.005 | +77<br>+83<br>-51         | 8,200<br>1,174,761<br>4,467,632    | 126,600<br>10,113,242<br>1,585,762           | 5.62<br>3.14<br>0.13         | 24 68<br>17.91<br>16.99      | 0.65<br>27.86<br>8.45        |
| 6 45<br>3 17             | 0             | 49 選集信託A<br>53 選集信託日 .<br>80 香港與業                                | 4 675<br>2 55                          | 4.675<br>2.50                           | 4.65<br>2.475                  | 4.62 <u>5</u>           | 4,65<br>250                   | 4.65<br>2.475               | -0.025<br>-0.075         | - I 18<br>- 18            | 40,225<br>288,000                  | 187 311                                      | 1 69                         | 7 63<br>5.08                 | 6.35                         |
| 1 07<br>1.37:<br>3 32:   | 1<br>3 1      | 59 河際投資<br>60 漢國置業<br>54 合和實業                                    | 0.97<br>1.22<br>2:45                   | 0.99<br>1.23<br>2.475                   | 0.98<br>1.21<br>2.375          | 0.57                    | 1,60                          | 0.98<br>1.22<br>2.375       | -0.075                   | 1 55<br>-<br>-<br>-<br>15 | 30,000<br>915 400<br>2,183,000     | 29,600<br>1,115,392                          | 0.36<br>0.44<br>0.86         | 4.90<br>4.23<br>7.01         | 15.30<br>6.93<br>9.26        |
| 4,72                     | 3<br>5 0      | 52 合和實業(優)<br>55 新昌集働<br>64 惠泰医業                                 | 3.85                                   | 3.85                                    | .3 775                         | A 160 A 160 A           | 3.775                         | 3.775                       |                          | -36<br>+57                | 535 000<br>364,666                 |                                              | 1 37                         | 1.82                         | 9 5 4<br>5 2 0               |
| 1.74<br>1.63<br>4.50     | 1             | 14 希倫奥集<br>65 明輝發展<br>71 國際實業                                    | 1 31<br>1.22<br>4.20                   | 1.31<br>-<br>4.20                       | 1.29                           | 1.28                    |                               | 1.29<br>1.22<br>4.20        | -0.02                    | -48                       | 1,825,000<br>—<br>10,000           | 2,358 200                                    | 0.47<br>0.44<br>1.52         | 18.51                        | 5.61<br>4 92<br>3 81         |
| 1.15<br>2.70             | 1             | 73 嘉華國際<br>81 啓 明                                                | 0.98<br>2.40                           | 0.96<br>2.40                            | <b>2.25</b>                    | ≨0.96<br>2.35           | 0 96<br>2 40                  | 0 96<br>2 35                | -0 02<br>-0 05           | -34<br>-32                | 215,000                            | 206,100<br>47,800                            | 0.35<br>0.85                 | 18 86<br>3 65                | 2.08<br>8.51<br>4.71         |
| 2.90<br>0.40<br>5.75     | 1             | 84 放成投資<br>85 建煌新記<br>90 熊 答 組                                   | 1.91<br>0.30<br>4.053                  | · NAMES                                 | 4.00                           | 1.91<br>0.29<br>4.00    | 1 95<br>0 30<br>4.025         | 1 91<br>0 30<br>4.00        | -<br>-0 05               | -<br>-61                  | 30,000<br>171,000                  | 8 900<br>690 850                             | 0.69<br>0.11<br>1.45         | 10.06                        | B.00                         |
| 8.15<br>2.42<br>1.93     | 5 0           | 89 廣 生 行<br>063 LET Pacific<br>188 MS 新發展▲                       | 1915                                   | 1.09                                    | 1.05                           | 4.825<br>2.05<br>1.08   | 4.85<br>2.00<br>1.09          | 4.825<br>1 91<br>1 08       | +0.03                    | + 18                      | 145,500<br>-<br>781,112            | 701 925<br>—<br>834 257                      | 0.69<br>0.39                 | 5.73<br>22.00<br>13.35       | 110 26<br>1.05<br>3.70       |
| 0.88<br>3.20             | 0             | 184 編新發展(達)<br>168 利即發展 52 4 1 1 1 1 1 1 1 1 1 1 1 1 1 1 1 1 1 1 | 2 50                                   |                                         |                                | 2 40                    | 2 55                          | 250                         |                          |                           | <b>黎体影響</b>                        | -                                            | 0.32                         | 2 63                         | 11.42<br>6.40                |
| 0 48<br>0 37<br>64.00    | 2             | 201 華大地库<br>202 萬年置業<br>158 萬邦投資                                 | 0.40<br>0.275<br>42 50                 | 0.40<br>0.275<br>42.50                  | 0.395<br>0.275<br>42.50        | 0.27<br>42 50           | 0.40<br>0.275<br>43.00        | 0 395<br>0 275<br>42.50     |                          | 58                        | 1,100,000<br>350,000<br>1,000      | 96,250<br>42,500                             | 0.14<br>0.10<br>15.42        | 89.77<br>67.07<br>10.68      | 3 60<br>5 18                 |
| 15.80<br>5.65<br>1.46    | 2             | 017 斯世界發展<br>257 車發國際<br>219 鴻易國際                                | 10.80<br>4.40<br>0.96                  | 10.80<br>-<br>0.94                      | 10.60<br>—<br>0.89             | 10.70<br>4.40<br>0.90   | 0 92                          | 10 70<br>4 40<br>0.90       | -0 10<br>-0 06           | -85<br>-4                 | 2,879,295<br>-<br>474,000          | 30,789,484<br>—<br>433,160                   | 3.88<br>1 60<br>0 33         | 9.90                         | 5.60                         |
| 7.80<br>4.15<br>2.45     | j (           | 220 智利地産<br>073 百 利 保<br>163 華順馨樹榮                               | 5.95<br>3.025<br>1.89                  | 1.88                                    | 3.00                           | 5.75<br>3.00<br>1.88    | 5.95<br>3 025<br>1.80         | 5.95<br>3 00<br>1.88        | -0 025<br>- 0 01         | - 119                     | 677,665<br>4,000                   | 7 520                                        | 2 16<br>1 09<br>0 68         | 17.81<br>8 65<br>3 00        | 5.33<br>15.93<br>3.16        |
| 1.75<br>4.00<br>8.35     | 3 (           | 074 保華集團<br>225 博 富 隘<br>077 聯邦地產A2000                           | 3.05<br>6.50                           | 0 82<br>3 00<br>6 55                    | 0.81<br>2 975<br>6 55          | 6 3 5                   | 6.55                          | 0.82<br>2.975<br>6.55       | +0.05                    | 471                       | 366,918<br>50,000<br>2,000         | 149,600<br>13 100                            | 0 30<br>1 08<br>2 38         | 9.68<br>-                    | 4.03<br>—                    |
| 8.50<br>1.66<br>5.50     | 3 2           | 232 聯邦地產A5000<br>228 聯邦地產B<br>231 富利國際                           | 6.50<br>1.28<br>4.75                   | 6 50<br>1 25<br>4 75                    | 6 40<br>1 24<br>4 75           | 1.24<br>4 65            | 6.45<br>1.25<br>4.80          | 4.75                        |                          | -47<br>-28<br>-           | 170,000<br>51,994<br>4,000         | 64,208<br>19 000                             | 172                          | 259 56                       | 8.75<br>8.95<br>0.63         |
| 0.70<br>0.81<br>4.22     | 25 2          | 281 川河集園<br>238 森 滿 合<br>252 筆信地産                                | 0.52<br>0.67<br>3.50                   | 0 53<br>-<br>3 475                      | 0 52<br>-<br>3 379             |                         |                               | 0.52<br>0.69<br>3.375       |                          | -6                        | 70,000                             | 238,450                                      | 0.25<br>1.22                 | 14 86<br>9.41<br>16 88       | 9.96<br>2.16<br>4.15         |
| 3.12<br>1.64<br>18.00    | ) (           | 251 爪哇拉股<br>240 海俗實際<br>D16 新冯基地屋                                | 1 91<br>1 58<br>12.30                  | 1 92<br>1 59<br>12.20                   | 1 89<br>1 55<br>12.10          | 1.88<br>1.55<br>12 10   | 1.89<br>1.57<br>12 20         | 1.89<br>1.57<br>12.20       | -0.02<br>-0.01<br>-0.10  | -73<br>-105<br>-95        | 196,000<br>162,000<br>1,423,000    | 255,940<br>17,350,400                        | 0.57<br>4.43                 | 3.16<br>8.99<br>9.14         | 7,94<br>5,41<br>5,41         |
| 0.69<br>2.75<br>1 20     | 5 4           | 509 瑞安建築<br>412 順豪投資<br>263 順豪物業                                 | 0.58<br>2.45<br>0.79                   | 0.59<br>2.475<br>—                      | 0.58<br>2.45<br>—              | 0 57<br>2.45<br>—       | 0.58<br>2.475<br>0.83         | 079                         | -                        | -                         | 555,500<br>43,267                  | 105,719                                      | 0 89<br>0 29                 | 4 66<br>6 64<br>8.13         | 1034<br>448<br>127           |
| 2.57<br>0.81<br>0.76     | 1 (8<br>8 2   | 245 星港地産<br>083 信和選業<br>247 信和地産                                 | 2.40<br>0.48<br>0.50                   | 2.525<br>0.485<br>0.50                  | 2.42<br>0.47<br>0.49           | 0.475<br>0.49           | 0 495                         | 2 50<br>0 48<br>0 495       | +                        | <del></del>               | 28 000<br>2 476 000<br>2,170 000   | 1,188,910<br>1,077 580                       | 0.17<br>0.18                 | 8 77<br>9 52<br>10 33        | 4 13<br>4 8                  |
| 13 70<br>1.74<br>6.00    | 4 !<br>D (    | 085 大 新<br>535 孫 福 記<br>088 大昌地産                                 | 12 90<br>1.73<br>4.125                 |                                         | 12 80<br>1.71<br>4.07          | 1 71<br>5 4.05          | 12 90<br>1 72<br>4 075        |                             |                          | -96<br>-112<br>-64        | 60,000<br>396,000<br>385,000       | 680 700<br>1,569,975                         | 0.62<br>1.48                 | 11.80<br>7 82<br>3 47        | 17.19<br>4 00<br>9 50        |
| 4.38<br>3.55<br>0.96     | 5 I           | 089 大生地産<br>090 泰盛國際<br>091 德榮建築                                 | 3 625<br>2 00<br>0 61                  | 2 025<br>0 62                           | 2.00<br>2.00<br>0.62           | 2 00<br>0 61            | 2.025<br>0.63                 | 0.62                        | +0 01                    | +37                       | 225,000<br>276,000<br>60,000       | 557 675<br>37 200                            | 0 73<br>0 22                 | 26 65<br>3.96                | 10.3                         |
| 2 97<br>1.27<br>1 43     | 7 3           | 277 大興職集<br>269 大寶國際<br>028 天安中國                                 | 2.70<br>1 04<br>0.59                   | 2.65<br>1.03<br>0.60                    | 2.65<br>1 03<br>0 58           | 1 00                    | 2.70<br>1.03<br>0.60          | 2.65<br>1.03<br>0.59        | -0 05<br>-0 01<br>-      | -42<br>-81                | 12,174<br>105,000<br>192,000       | 108,150                                      | 037                          | 97 07<br>73 57<br>15 21      | 1.13<br>—<br>3.39            |
| 1.16                     | 6 3<br>9 3    | 266 天德地座<br>267 泰富發展<br>278 華優選業                                 | 1.09                                   | 1.10                                    | 1 08                           | 109                     | 1.10                          | 1 09<br>1 23                | -<br>-004                | -<br>                     | 640,224<br>954,000                 | 698,029<br>1,187,160                         | 0 40                         | 291                          | 2.7·<br>3.2·                 |
|                          | 0 :<br>91 (   | 283 律益置業<br>004 九 龍 食<br>287 永報置業                                | 5.30<br>7.85<br>2.025                  | 5.20<br>7.85                            | 5 20<br>7 70<br>—              | 5 10                    | 5 20<br>7 75<br>2 075         | 5 20<br>7 75<br>2 02        | -0 10<br>5 -             | 57                        | 4,000<br>505,266                   | 20,800                                       | 1 89<br>2.81<br>0 73         | 16 92<br>13 13<br>7.72       | 4.2<br>4.8<br>3.9            |
| 0.27<br>4.85<br>3.35     | 7<br>5<br>5   | 288 永 潟 基<br>291 永 達 科<br>193 慶屋園際                               | 0.164<br>2.975<br>2.90                 | -                                       | 2 90<br>2 90                   | 2.85                    | 0 16<br>2 90<br>2 90          | 0 16<br>2 90<br>2 90        | -0 004<br>-0 075         |                           | 6 000<br>10 000                    | 29,000                                       | 1.05                         |                              | 1.30                         |
| 154                      | $\overline{}$ | 296 裕興建築                                                         | 1.51                                   | 1.51                                    | 1.51                           | _}                      | 1 52                          | 151                         |                          |                           | 10 000                             |                                              | 4                            |                              |                              |
|                          |               |                                                                  |                                        |                                         |                                |                         |                               |                             |                          |                           |                                    |                                              | -                            |                              |                              |
|                          |               | · · · · · · · · · · · · · · · · · · ·                            |                                        | -                                       |                                |                         |                               | der er namme                |                          |                           |                                    |                                              |                              |                              |                              |
|                          |               |                                                                  |                                        |                                         |                                |                         |                               |                             |                          |                           |                                    |                                              |                              |                              |                              |
|                          |               |                                                                  |                                        |                                         |                                |                         |                               |                             |                          |                           |                                    |                                              |                              |                              |                              |
| 2                        | 1             | 其他                                                               | *                                      |                                         |                                |                         |                               | ,                           |                          |                           |                                    |                                              |                              |                              | <u> </u>                     |
| 12.2                     | 20            | 342 FAI<br>162 虎 豹<br>170 工業投資                                   | 11.10                                  |                                         | 1100                           | 11.00                   | 11 00                         | 11 00                       | <del>1</del>             | -21                       | 4 000                              | - 44,000                                     | 3 99                         |                              |                              |
| 13.9                     | 27            | 170 工業投資<br>200 新澤國際<br>255 TDM Berhad                           | 0.49                                   | · • · · · · · · · · · · · · · · · · · · | 1100                           | 0 47                    | 1120                          | 0.49                        |                          | -21                       | 4 000                              | 44,000                                       | 0 18                         |                              |                              |
|                          |               |                                                                  |                                        |                                         |                                |                         |                               |                             |                          |                           |                                    |                                              |                              |                              |                              |
|                          |               |                                                                  | -                                      |                                         |                                |                         |                               |                             |                          |                           |                                    |                                              |                              | +                            |                              |
| ا                        |               |                                                                  | ــــــــــــــــــــــــــــــــــــــ |                                         | 1                              | 1                       | l                             | .1                          |                          | 1                         |                                    |                                              | 1                            |                              |                              |

半年盈



E息高 厘五十達高率 息周 在一 公司名籍 -4.66香港指數:1814.18 30,953,656 港澳發展W89 匯豐銀行 香港分類指數: 新世界發展

十大成交股數 香港股市行情表( 恒生指數: 2,756.39 52,800,000 19,902,124 恒生分類指數 19,400,000 19,299,906 F.P.Banc -1.76蒯:1597.09 牛奶國際 -3.049,671,400 17,350,400 依利安達 新鴻基地產 -3.16用:1454.82 -6.8216,218,756 新世界發展W89 9,182,654 -13.02產:2460.92 -23.2814,139,950 國寨城市W89 6,862,000 迪生創建 -4.3713,521,350 太平衡和 6,400,000 合:2025.76 長江實業 13,383,638 愛 美 高W90 B 222,000 新世界發展W89 業: 2001.81 5,705,000 11,627,185 新系機構 恒基地產 -1.48店:1910.49 5,500,000 10,113,242 天安中國W90

認股證 行使價 溢價% 成交量 升跌次序 升鉄 上日收市 品高 認股價 年份 放票名稱 1 51 2,196,000 -0.001 -108 0 163 0.165 0.161 0 164 15/03/88-31/12/90 1 36 479 聯合海外 1.58 83 19 804,000 -0 DO4 -44 0 237 0 236 1 36 0 241 0.241 06/05/88-31/12/93 470 聯合海外 107,000 3 28 -0020 -13 32 71 061 273 0.84 273 0.84 061 21/12/87-31/12/90 0.61 460 聯合地產 3.48 40,528 40.42 0.82 -0 020 0.82 0.82 01/03/88-31/12/93 482 聯合地產 230 183 91 \_ 0 194 0 194 426 聯合東榮 11/10/87-31/12/92 260 642 40 0 06 0.06 01/07/88-30/06/91 3.60 475 寓 カ 63 47 6,000 0015 -16 0.48 0.495 0.48 0.48 3 16 10/04/87 - 30/06/91 1.75 285 亞洲證券 13 74 123,000 -0.020 0.59 0 58 061 131 144 奔達國際 01/02/87-31/12/91 12.30 +015 5 00 01/10/88-31/10/91 4 85 111 中國東方 1 55 6,862,000 -3.38+0013 0.028 0.0460 033 0.047 11.05/87-31/12/89 415 國泰城市 231 44.37 200 0.315 0.31 11/05/87-31/12/94 416 國泰城市 219 28.82 640 200 4001 0.69 0.68 0.68 0.69 20/01/88-31/12/92 461 世紀城市 03/08/88-30/06/91 1 53 502 卓能集團 400,000 -0.001-115 0.184 0.184 0 186 03/11/87-31/12/93 1 35 0 185 436 其土巫際 267 4,300,000 22.99 +30 027 + 0 005 0.27 0.265 0 265 28/06/88-31/03/91 496 並入置某 3.23 +85 1,620,000 48 39 +0001 0 19 0 191 2.75 0 19 0.193 501 年入置業 28/07/88-31/12/93 375 72 45 0.197 350 0197 07/10/87-31/12/95 434 華人置業 3 45 2,280,000 321 19 -0.001 0.056 0.056 301 0057 0.057 14/06/88 - 31/03/91 473 中華娛樂 16 04 1855 73 0.03 -0.00618/03/87-31/12/92 139 中華娛樂 0.56 25 77 1,060,000 0 192 +55 +0 002 0 193 0 194 21/05/87 - 31/12/92 048 莊士|換樽 0.74 66 07 155,144 +0.001 0 103 0 103 0 103 01/01/93 - 31/12/94 0.102 0 67 468 莊士|幾何 5.06 1077.44 -0.0010.064 0.063 01/01/88 -30/06/92 379 城市資源 1.50 2,092,000 0.30 -0010 -12 0.29 031 0.31 C1/07/88-31/12/92 2.60 489 下蜂園際 20 93 800 0 60 200 494 雞 章 怕 01/08/88-30/06/91 78 57 36,000 0.49 0.50 01/04/89 - 31/03/92 109 Crusader 89 107 69 18,800 -0 010 1 13 01/04/88-31/03/93 462 香港電訊 0 122 750,000 10015 +3 0 107 1 25 | 01/01/88 - 31/12/92 437 体利安達 4,000 13.92 -0.005 | -61 3.40 0.40 0.40 0.50 0.405 433 高日發展 C1/09/87-31/12/92 1 92 C4/09/87-31/12/91 344 安寧企業 3 95 47 60 6,222,000 0 10 0 26 -0.0010 101 0.103 26/03/87-31/12/90 0.102 3 60 44 30 3 86 374 愛美高 +29 438,000 10 005 0.265 0.265 0.26 2 80 01/11/86-31/10/94 345 愛美哥 29/0//88 30/06/91 1 34 2 00 498 第一草南 --0 003 88 17 -50 907,000 0 14 0 136 0.138 30/10/87-31/12/92 1.20 2 54 429 遠東發展 164.90 1,000 2 273 0.27 C8/08/88-30/09/91 507 遠東投資 3 53 5,000 0.94 2 55 +28 2 55 +0.05 2 55 0.983 2 50 06/01/86-31/12/91 8.83 215 第一大特資產 49 66 1 03 7 80 510 富麗華 01/12/88-30/11/91 2 46 1 00 31/12/87 -01/12/91 3 88 350 金山寶業 -1.276,000 2 8 7 5 4 34 18/07/85 - 30/09/92 143 鷹 君 2,932,704 10 57 154 1 54 1 54 1 56 01/08/87 - 30/09/94 2 39 418 職 君 64 83 200 0.390.39 01/01/89-23/12/91 1.43 516 格蘭酒店 66 28 0.430.43 1 00 10/07/89-30/06/91 530 粤海投資 -0020 -19 103.60 10.18 0.70 0 70 067 9 50 3 16 01/01/88-31/12/92 430 te 降 165,000 71 74 0.510.52 0.51 15/09/88-31/08/9 505 恒基發展 97 50 900,000 0.037 0.037 0.037 01/04/88 - 31/12/91 0.037 621 -0.010 -110 474 與利科技 26 73 50,000 171 1.71 172 01/01/88-15/12/92 1.72 -1.35 423 大西店 21,894 10.90 10 90 10 90 10.90 0.35 151 置 地 15,05/85-31/12/91 2 54 52,800,000 0 039 ± 0 002 0 046 0.047 -0.0440.30 01/07/88-31/12/89 410 巷庾發展 50.93 1,121,500 +001 0.63 0.50 +38 0 63 0.62 0.64100 01/01/89 31/12/90 515 新系機構 26.60 200.000 0.495 1 09 0.50 2 90 0.50 07/07/87 - 31/12/92 414 漢國置業 21,500 22 14 1 20 1 19 -0 D30 1 19 1.23 5.08 01/07/90-31/12/91 351 含和資業 34 57 1.48 360 1.55 11/09/89-10/09/92 533 新昌集團 \_\_\_\_ 53 34 0 265 26/10/87 -31/12/93 435 惠 泰 36 59 34,000 240 240 2 40 6 00 01/07/89-30/04/92 526 萬邦航業 2 10 01/10/87-31/12/94 424 工那機構 1.00 01/04/88 31/12/98 176 王郎機構 112,000 +0.056 15 6.10 22/12/80-15/10/92 16 49 061 tti ₹0 32 42 0 247 0 247 0 247 2 60 0 247 6,000 50,000 33.68 01/08/88-31/07/90 169 欣楚歸魚恤 260 265 2 60 3 80 2 65 20/10/89-20/10/92 536 廣生行 \_\_\_ 3.14 1.25 1 25 1.25

1 25

0.50

0 059

4,555,355

19,902 124

2,200

+0.045

+0.021

-0.001

0 050

-0.008

**+1** 

0.49

0.058

0.50

0 168

0.25

1 80

0 225

0.455

0.036

--

28 70

2 52

30.00

318.50

193 62

32 65

18.92

22.97

79 92

1.19

0.60

0 90

1 93

3 18 |

1 18

0.40

7 00

7.00

0.445

0.037

0 50

0 169

0.20

0.25

1.85

0 233

31/03/86 - 31/12/92

01/08/88-31/07/94

04/01/88-31/12/89

01/01/88 -31/12/90

01/08/89-30/06/92

01/09/87 -31/12/92

01/12/89-30/11/90

06/06/88-31/12/90

01/01/91-31/12/92

01/01/93 31/12/94

01/10/88-31/08/91

079 LET Pacific

486 雅新發展

445 腱新國際

432 利與發展

529 陸氏實業

377 萬勝。3券

541 新灣國際

382 英 雕 華

381 美麗華

380 美麗華

210 樂聲電子

| 1980日   1987   1987   1987   1988   1940   -3.00   19 大神学   19   19   19   19   19   19   19   1                                                                                                                                                                                                                                                                                                                                                                                                                                                                                                                                                                                                                                                                                                                                                                                                                                                                                                                                                                                                                                                                                                                                                                                                                                                                                                                                                                                                                                                                                                                                                                                                                                                                                                                                                                                                                                                                                                                                                                                                                             | 新海康                                                                                                                                                                                                                                                                                                                                                                                                                                                                                                                                                                                                                                                                                                                                                                                                                                                                                                                                                                                                                                                                                                                                                                                                                                                                                                                                                                                                                                                                                                                                                                                                                                                                                                                                                                                                                                                                                                                                                                                                                                                                                                                            | ☆5.600 +3.70 合和 | A Library        | 2.37           | 5 -3.06      | 富豪酒店V                                                                                                                                                                                                                                                                                                                                                                                                                                                                                                                                                                                                                                                                                                                                                                                                                                                                                                                                                                                                                                                                                                                                                                                                                                                                                                                                                                                                                                                                                                                                                                                                                                                                                                                                                                                                                                                                                                                                                                                                                                                                                                                          | /91           |                 | 2.63 恒        |                                                                                                                                                                                                                                                                                                                                                                                                                                                                                                                                                                                                                                                                                                                                                                                                                                                                                                                                                                                                                                                                                                                                                                                                                                                                                                                                                                                                                                                                                                                                                                                                                                                                                                                                                                                                                                                                                                                                                                                                                                                                                                                                | 0.680       | -2.8                                                                                                                                                                                                                                                                                                                                                                                                                                                                                                                                                                                                                                                                                                                                                                                                                                                                                                                                                                                                                                                                                                                                                                                                                                                                                                                                                                                                                                                                                                                                                                                                                                                                                                                                                                                                                                                                                                                                                                                                                                                                                                                           |
|------------------------------------------------------------------------------------------------------------------------------------------------------------------------------------------------------------------------------------------------------------------------------------------------------------------------------------------------------------------------------------------------------------------------------------------------------------------------------------------------------------------------------------------------------------------------------------------------------------------------------------------------------------------------------------------------------------------------------------------------------------------------------------------------------------------------------------------------------------------------------------------------------------------------------------------------------------------------------------------------------------------------------------------------------------------------------------------------------------------------------------------------------------------------------------------------------------------------------------------------------------------------------------------------------------------------------------------------------------------------------------------------------------------------------------------------------------------------------------------------------------------------------------------------------------------------------------------------------------------------------------------------------------------------------------------------------------------------------------------------------------------------------------------------------------------------------------------------------------------------------------------------------------------------------------------------------------------------------------------------------------------------------------------------------------------------------------------------------------------------------|--------------------------------------------------------------------------------------------------------------------------------------------------------------------------------------------------------------------------------------------------------------------------------------------------------------------------------------------------------------------------------------------------------------------------------------------------------------------------------------------------------------------------------------------------------------------------------------------------------------------------------------------------------------------------------------------------------------------------------------------------------------------------------------------------------------------------------------------------------------------------------------------------------------------------------------------------------------------------------------------------------------------------------------------------------------------------------------------------------------------------------------------------------------------------------------------------------------------------------------------------------------------------------------------------------------------------------------------------------------------------------------------------------------------------------------------------------------------------------------------------------------------------------------------------------------------------------------------------------------------------------------------------------------------------------------------------------------------------------------------------------------------------------------------------------------------------------------------------------------------------------------------------------------------------------------------------------------------------------------------------------------------------------------------------------------------------------------------------------------------------------|-----------------|------------------|----------------|--------------|--------------------------------------------------------------------------------------------------------------------------------------------------------------------------------------------------------------------------------------------------------------------------------------------------------------------------------------------------------------------------------------------------------------------------------------------------------------------------------------------------------------------------------------------------------------------------------------------------------------------------------------------------------------------------------------------------------------------------------------------------------------------------------------------------------------------------------------------------------------------------------------------------------------------------------------------------------------------------------------------------------------------------------------------------------------------------------------------------------------------------------------------------------------------------------------------------------------------------------------------------------------------------------------------------------------------------------------------------------------------------------------------------------------------------------------------------------------------------------------------------------------------------------------------------------------------------------------------------------------------------------------------------------------------------------------------------------------------------------------------------------------------------------------------------------------------------------------------------------------------------------------------------------------------------------------------------------------------------------------------------------------------------------------------------------------------------------------------------------------------------------|---------------|-----------------|---------------|--------------------------------------------------------------------------------------------------------------------------------------------------------------------------------------------------------------------------------------------------------------------------------------------------------------------------------------------------------------------------------------------------------------------------------------------------------------------------------------------------------------------------------------------------------------------------------------------------------------------------------------------------------------------------------------------------------------------------------------------------------------------------------------------------------------------------------------------------------------------------------------------------------------------------------------------------------------------------------------------------------------------------------------------------------------------------------------------------------------------------------------------------------------------------------------------------------------------------------------------------------------------------------------------------------------------------------------------------------------------------------------------------------------------------------------------------------------------------------------------------------------------------------------------------------------------------------------------------------------------------------------------------------------------------------------------------------------------------------------------------------------------------------------------------------------------------------------------------------------------------------------------------------------------------------------------------------------------------------------------------------------------------------------------------------------------------------------------------------------------------------|-------------|--------------------------------------------------------------------------------------------------------------------------------------------------------------------------------------------------------------------------------------------------------------------------------------------------------------------------------------------------------------------------------------------------------------------------------------------------------------------------------------------------------------------------------------------------------------------------------------------------------------------------------------------------------------------------------------------------------------------------------------------------------------------------------------------------------------------------------------------------------------------------------------------------------------------------------------------------------------------------------------------------------------------------------------------------------------------------------------------------------------------------------------------------------------------------------------------------------------------------------------------------------------------------------------------------------------------------------------------------------------------------------------------------------------------------------------------------------------------------------------------------------------------------------------------------------------------------------------------------------------------------------------------------------------------------------------------------------------------------------------------------------------------------------------------------------------------------------------------------------------------------------------------------------------------------------------------------------------------------------------------------------------------------------------------------------------------------------------------------------------------------------|
| 新聞報報                                                                                                                                                                                                                                                                                                                                                                                                                                                                                                                                                                                                                                                                                                                                                                                                                                                                                                                                                                                                                                                                                                                                                                                                                                                                                                                                                                                                                                                                                                                                                                                                                                                                                                                                                                                                                                                                                                                                                                                                                                                                                                                         | 100 100                                                                                                                                                                                                                                                                                                                                                                                                                                                                                                                                                                                                                                                                                                                                                                                                                                                                                                                                                                                                                                                                                                                                                                                                                                                                                                                                                                                                                                                                                                                                                                                                                                                                                                                                                                                                                                                                                                                                                                                                                                                                                                                        | 62 kg 45 kg     |                  |                |              | 第一太特W                                                                                                                                                                                                                                                                                                                                                                                                                                                                                                                                                                                                                                                                                                                                                                                                                                                                                                                                                                                                                                                                                                                                                                                                                                                                                                                                                                                                                                                                                                                                                                                                                                                                                                                                                                                                                                                                                                                                                                                                                                                                                                                          | /91           |                 |               |                                                                                                                                                                                                                                                                                                                                                                                                                                                                                                                                                                                                                                                                                                                                                                                                                                                                                                                                                                                                                                                                                                                                                                                                                                                                                                                                                                                                                                                                                                                                                                                                                                                                                                                                                                                                                                                                                                                                                                                                                                                                                                                                | 0.380       | -2.5                                                                                                                                                                                                                                                                                                                                                                                                                                                                                                                                                                                                                                                                                                                                                                                                                                                                                                                                                                                                                                                                                                                                                                                                                                                                                                                                                                                                                                                                                                                                                                                                                                                                                                                                                                                                                                                                                                                                                                                                                                                                                                                           |
| 日本語画                                                                                                                                                                                                                                                                                                                                                                                                                                                                                                                                                                                                                                                                                                                                                                                                                                                                                                                                                                                                                                                                                                                                                                                                                                                                                                                                                                                                                                                                                                                                                                                                                                                                                                                                                                                                                                                                                                                                                                                                                                                                                                                         | - 1 - 1 - 1 - 1 - 1 - 1 - 1 - 1 - 1 - 1                                                                                                                                                                                                                                                                                                                                                                                                                                                                                                                                                                                                                                                                                                                                                                                                                                                                                                                                                                                                                                                                                                                                                                                                                                                                                                                                                                                                                                                                                                                                                                                                                                                                                                                                                                                                                                                                                                                                                                                                                                                                                        | 1 230 +3.36 香港  | 與業               | 2.47           | 5 -2.94      | 愛美高W                                                                                                                                                                                                                                                                                                                                                                                                                                                                                                                                                                                                                                                                                                                                                                                                                                                                                                                                                                                                                                                                                                                                                                                                                                                                                                                                                                                                                                                                                                                                                                                                                                                                                                                                                                                                                                                                                                                                                                                                                                                                                                                           | 194           | 0.265 +         | 1.92 含        | 和實業W91                                                                                                                                                                                                                                                                                                                                                                                                                                                                                                                                                                                                                                                                                                                                                                                                                                                                                                                                                                                                                                                                                                                                                                                                                                                                                                                                                                                                                                                                                                                                                                                                                                                                                                                                                                                                                                                                                                                                                                                                                                                                                                                         | 1.200       | 一2.4                                                                                                                                                                                                                                                                                                                                                                                                                                                                                                                                                                                                                                                                                                                                                                                                                                                                                                                                                                                                                                                                                                                                                                                                                                                                                                                                                                                                                                                                                                                                                                                                                                                                                                                                                                                                                                                                                                                                                                                                                                                                                                                           |
| 日本語                                                                                                                                                                                                                                                                                                                                                                                                                                                                                                                                                                                                                                                                                                                                                                                                                                                                                                                                                                                                                                                                                                                                                                                                                                                                                                                                                                                                                                                                                                                                                                                                                                                                                                                                                                                                                                                                                                                                                                                                                                                                                                                          | 华漫漫米                                                                                                                                                                                                                                                                                                                                                                                                                                                                                                                                                                                                                                                                                                                                                                                                                                                                                                                                                                                                                                                                                                                                                                                                                                                                                                                                                                                                                                                                                                                                                                                                                                                                                                                                                                                                                                                                                                                                                                                                                                                                                                                           | 7.200   D.00    |                  |                |              |                                                                                                                                                                                                                                                                                                                                                                                                                                                                                                                                                                                                                                                                                                                                                                                                                                                                                                                                                                                                                                                                                                                                                                                                                                                                                                                                                                                                                                                                                                                                                                                                                                                                                                                                                                                                                                                                                                                                                                                                                                                                                                                                |               |                 |               |                                                                                                                                                                                                                                                                                                                                                                                                                                                                                                                                                                                                                                                                                                                                                                                                                                                                                                                                                                                                                                                                                                                                                                                                                                                                                                                                                                                                                                                                                                                                                                                                                                                                                                                                                                                                                                                                                                                                                                                                                                                                                                                                |             |                                                                                                                                                                                                                                                                                                                                                                                                                                                                                                                                                                                                                                                                                                                                                                                                                                                                                                                                                                                                                                                                                                                                                                                                                                                                                                                                                                                                                                                                                                                                                                                                                                                                                                                                                                                                                                                                                                                                                                                                                                                                                                                                |
| 188                                                                                                                                                                                                                                                                                                                                                                                                                                                                                                                                                                                                                                                                                                                                                                                                                                                                                                                                                                                                                                                                                                                                                                                                                                                                                                                                                                                                                                                                                                                                                                                                                                                                                                                                                                                                                                                                                                                                                                                                                                                                                                                          | <b>存款 股票支援</b>                                                                                                                                                                                                                                                                                                                                                                                                                                                                                                                                                                                                                                                                                                                                                                                                                                                                                                                                                                                                                                                                                                                                                                                                                                                                                                                                                                                                                                                                                                                                                                                                                                                                                                                                                                                                                                                                                                                                                                                                                                                                                                                 | 年份              | 認發價              | 上日牧市           | 最高           | 最低                                                                                                                                                                                                                                                                                                                                                                                                                                                                                                                                                                                                                                                                                                                                                                                                                                                                                                                                                                                                                                                                                                                                                                                                                                                                                                                                                                                                                                                                                                                                                                                                                                                                                                                                                                                                                                                                                                                                                                                                                                                                                                                             |               |                 |               | The state of the s |             | A STATE OF THE PARTY OF THE PAR |
| 1885   新 日 〒                                                                                                                                                                                                                                                                                                                                                                                                                                                                                                                                                                                                                                                                                                                                                                                                                                                                                                                                                                                                                                                                                                                                                                                                                                                                                                                                                                                                                                                                                                                                                                                                                                                                                                                                                                                                                                                                                                                                                                                                                                                                                                                 |                                                                                                                                                                                                                                                                                                                                                                                                                                                                                                                                                                                                                                                                                                                                                                                                                                                                                                                                                                                                                                                                                                                                                                                                                                                                                                                                                                                                                                                                                                                                                                                                                                                                                                                                                                                                                                                                                                                                                                                                                                                                                                                                |                 |                  |                |              |                                                                                                                                                                                                                                                                                                                                                                                                                                                                                                                                                                                                                                                                                                                                                                                                                                                                                                                                                                                                                                                                                                                                                                                                                                                                                                                                                                                                                                                                                                                                                                                                                                                                                                                                                                                                                                                                                                                                                                                                                                                                                                                                |               |                 | 7             |                                                                                                                                                                                                                                                                                                                                                                                                                                                                                                                                                                                                                                                                                                                                                                                                                                                                                                                                                                                                                                                                                                                                                                                                                                                                                                                                                                                                                                                                                                                                                                                                                                                                                                                                                                                                                                                                                                                                                                                                                                                                                                                                |             |                                                                                                                                                                                                                                                                                                                                                                                                                                                                                                                                                                                                                                                                                                                                                                                                                                                                                                                                                                                                                                                                                                                                                                                                                                                                                                                                                                                                                                                                                                                                                                                                                                                                                                                                                                                                                                                                                                                                                                                                                                                                                                                                |
| 777 東京東京皇 101/89-31/07/99 154 0298 0.30 0.298 0.30 +0.00 +0.00 +2.0 4.4070 57.08 0.20                                                                                                                                                                                                                                                                                                                                                                                                                                                                                                                                                                                                                                                                                                                                                                                                                                                                                                                                                                                                                                                                                                                                                                                                                                                                                                                                                                                                                                                                                                                                                                                                                                                                                                                                                                                                                                                                                                                                                                                                                                        |                                                                                                                                                                                                                                                                                                                                                                                                                                                                                                                                                                                                                                                                                                                                                                                                                                                                                                                                                                                                                                                                                                                                                                                                                                                                                                                                                                                                                                                                                                                                                                                                                                                                                                                                                                                                                                                                                                                                                                                                                                                                                                                                |                 |                  | 3 90           | 3 925        | 3 90                                                                                                                                                                                                                                                                                                                                                                                                                                                                                                                                                                                                                                                                                                                                                                                                                                                                                                                                                                                                                                                                                                                                                                                                                                                                                                                                                                                                                                                                                                                                                                                                                                                                                                                                                                                                                                                                                                                                                                                                                                                                                                                           | 3 925         | 40 025          | <del></del> - |                                                                                                                                                                                                                                                                                                                                                                                                                                                                                                                                                                                                                                                                                                                                                                                                                                                                                                                                                                                                                                                                                                                                                                                                                                                                                                                                                                                                                                                                                                                                                                                                                                                                                                                                                                                                                                                                                                                                                                                                                                                                                                                                | 20.10       |                                                                                                                                                                                                                                                                                                                                                                                                                                                                                                                                                                                                                                                                                                                                                                                                                                                                                                                                                                                                                                                                                                                                                                                                                                                                                                                                                                                                                                                                                                                                                                                                                                                                                                                                                                                                                                                                                                                                                                                                                                                                                                                                |
| 376 新藤徳皇皇 310/189-310/290 1-55 0 145 0 145 0 145 0 145 0 145 0 145 0 145 0 145 0 145 0 145 0 145 0 145 0 145 0 145 0 145 0 145 0 145 0 145 0 145 0 145 0 145 0 145 0 145 0 145 0 145 0 145 0 145 0 145 0 145 0 145 0 145 0 145 0 145 0 145 0 145 0 145 0 145 0 145 0 145 0 145 0 145 0 145 0 145 0 145 0 145 0 145 0 145 0 145 0 145 0 145 0 145 0 145 0 145 0 145 0 145 0 145 0 145 0 145 0 145 0 145 0 145 0 145 0 145 0 145 0 145 0 145 0 145 0 145 0 145 0 145 0 145 0 145 0 145 0 145 0 145 0 145 0 145 0 145 0 145 0 145 0 145 0 145 0 145 0 145 0 145 0 145 0 145 0 145 0 145 0 145 0 145 0 145 0 145 0 145 0 145 0 145 0 145 0 145 0 145 0 145 0 145 0 145 0 145 0 145 0 145 0 145 0 145 0 145 0 145 0 145 0 145 0 145 0 145 0 145 0 145 0 145 0 145 0 145 0 145 0 145 0 145 0 145 0 145 0 145 0 145 0 145 0 145 0 145 0 145 0 145 0 145 0 145 0 145 0 145 0 145 0 145 0 145 0 145 0 145 0 145 0 145 0 145 0 145 0 145 0 145 0 145 0 145 0 145 0 145 0 145 0 145 0 145 0 145 0 145 0 145 0 145 0 145 0 145 0 145 0 145 0 145 0 145 0 145 0 145 0 145 0 145 0 145 0 145 0 145 0 145 0 145 0 145 0 145 0 145 0 145 0 145 0 145 0 145 0 145 0 145 0 145 0 145 0 145 0 145 0 145 0 145 0 145 0 145 0 145 0 145 0 145 0 145 0 145 0 145 0 145 0 145 0 145 0 145 0 145 0 145 0 145 0 145 0 145 0 145 0 145 0 145 0 145 0 145 0 145 0 145 0 145 0 145 0 145 0 145 0 145 0 145 0 145 0 145 0 145 0 145 0 145 0 145 0 145 0 145 0 145 0 145 0 145 0 145 0 145 0 145 0 145 0 145 0 145 0 145 0 145 0 145 0 145 0 145 0 145 0 145 0 145 0 145 0 145 0 145 0 145 0 145 0 145 0 145 0 145 0 145 0 145 0 145 0 145 0 145 0 145 0 145 0 145 0 145 0 145 0 145 0 145 0 145 0 145 0 145 0 145 0 145 0 145 0 145 0 145 0 145 0 145 0 145 0 145 0 145 0 145 0 145 0 145 0 145 0 145 0 145 0 145 0 145 0 145 0 145 0 145 0 145 0 145 0 145 0 145 0 145 0 145 0 145 0 145 0 145 0 145 0 145 0 145 0 145 0 145 0 145 0 145 0 145 0 145 0 145 0 145 0 145 0 145 0 145 0 145 0 145 0 145 0 145 0 145 0 145 0 145 0 145 0 145 0 145 0 145 0 145 0 145 0 145 0 145 0 145 0 145 0 145 0 145 0 145 0 145 0 145 0 145 0 145 0 145 0 145 0 145 0 1 | 340 東方海外                                                                                                                                                                                                                                                                                                                                                                                                                                                                                                                                                                                                                                                                                                                                                                                                                                                                                                                                                                                                                                                                                                                                                                                                                                                                                                                                                                                                                                                                                                                                                                                                                                                                                                                                                                                                                                                                                                                                                                                                                                                                                                                       |                 |                  | 0.005          | 0.30         | 0.295                                                                                                                                                                                                                                                                                                                                                                                                                                                                                                                                                                                                                                                                                                                                                                                                                                                                                                                                                                                                                                                                                                                                                                                                                                                                                                                                                                                                                                                                                                                                                                                                                                                                                                                                                                                                                                                                                                                                                                                                                                                                                                                          | 0.30          | +0.005          | +34           | 60 000                                                                                                                                                                                                                                                                                                                                                                                                                                                                                                                                                                                                                                                                                                                                                                                                                                                                                                                                                                                                                                                                                                                                                                                                                                                                                                                                                                                                                                                                                                                                                                                                                                                                                                                                                                                                                                                                                                                                                                                                                                                                                                                         | 19 37       | 1.62                                                                                                                                                                                                                                                                                                                                                                                                                                                                                                                                                                                                                                                                                                                                                                                                                                                                                                                                                                                                                                                                                                                                                                                                                                                                                                                                                                                                                                                                                                                                                                                                                                                                                                                                                                                                                                                                                                                                                                                                                                                                                                                           |
| 100                                                                                                                                                                                                                                                                                                                                                                                                                                                                                                                                                                                                                                                                                                                                                                                                                                                                                                                                                                                                                                                                                                                                                                                                                                                                                                                                                                                                                                                                                                                                                                                                                                                                                                                                                                                                                                                                                                                                                                                                                                                                                                                          | The second secon |                 |                  |                |              | The second secon | -             | _               |               | 44,070                                                                                                                                                                                                                                                                                                                                                                                                                                                                                                                                                                                                                                                                                                                                                                                                                                                                                                                                                                                                                                                                                                                                                                                                                                                                                                                                                                                                                                                                                                                                                                                                                                                                                                                                                                                                                                                                                                                                                                                                                                                                                                                         |             | 0.61                                                                                                                                                                                                                                                                                                                                                                                                                                                                                                                                                                                                                                                                                                                                                                                                                                                                                                                                                                                                                                                                                                                                                                                                                                                                                                                                                                                                                                                                                                                                                                                                                                                                                                                                                                                                                                                                                                                                                                                                                                                                                                                           |
| 1987年度   2017/189 - 2016/07   320                                                                                                                                                                                                                                                                                                                                                                                                                                                                                                                                                                                                                                                                                                                                                                                                                                                                                                                                                                                                                                                                                                                                                                                                                                                                                                                                                                                                                                                                                                                                                                                                                                                                                                                                                                                                                                                                                                                                                                                                                                                                                            |                                                                                                                                                                                                                                                                                                                                                                                                                                                                                                                                                                                                                                                                                                                                                                                                                                                                                                                                                                                                                                                                                                                                                                                                                                                                                                                                                                                                                                                                                                                                                                                                                                                                                                                                                                                                                                                                                                                                                                                                                                                                                                                                |                 |                  |                |              |                                                                                                                                                                                                                                                                                                                                                                                                                                                                                                                                                                                                                                                                                                                                                                                                                                                                                                                                                                                                                                                                                                                                                                                                                                                                                                                                                                                                                                                                                                                                                                                                                                                                                                                                                                                                                                                                                                                                                                                                                                                                                                                                | _             | +0001           | +72           |                                                                                                                                                                                                                                                                                                                                                                                                                                                                                                                                                                                                                                                                                                                                                                                                                                                                                                                                                                                                                                                                                                                                                                                                                                                                                                                                                                                                                                                                                                                                                                                                                                                                                                                                                                                                                                                                                                                                                                                                                                                                                                                                |             |                                                                                                                                                                                                                                                                                                                                                                                                                                                                                                                                                                                                                                                                                                                                                                                                                                                                                                                                                                                                                                                                                                                                                                                                                                                                                                                                                                                                                                                                                                                                                                                                                                                                                                                                                                                                                                                                                                                                                                                                                                                                                                                                |
| 35.9   田子田僧   25.01(188 - 31/12/192)                                                                                                                                                                                                                                                                                                                                                                                                                                                                                                                                                                                                                                                                                                                                                                                                                                                                                                                                                                                                                                                                                                                                                                                                                                                                                                                                                                                                                                                                                                                                                                                                                                                                                                                                                                                                                                                                                                                                                                                                                                                                                         |                                                                                                                                                                                                                                                                                                                                                                                                                                                                                                                                                                                                                                                                                                                                                                                                                                                                                                                                                                                                                                                                                                                                                                                                                                                                                                                                                                                                                                                                                                                                                                                                                                                                                                                                                                                                                                                                                                                                                                                                                                                                                                                                |                 | <del> </del>     |                | 0.39         | 0.36                                                                                                                                                                                                                                                                                                                                                                                                                                                                                                                                                                                                                                                                                                                                                                                                                                                                                                                                                                                                                                                                                                                                                                                                                                                                                                                                                                                                                                                                                                                                                                                                                                                                                                                                                                                                                                                                                                                                                                                                                                                                                                                           | 0 39          | +001            | 121           | 595,208                                                                                                                                                                                                                                                                                                                                                                                                                                                                                                                                                                                                                                                                                                                                                                                                                                                                                                                                                                                                                                                                                                                                                                                                                                                                                                                                                                                                                                                                                                                                                                                                                                                                                                                                                                                                                                                                                                                                                                                                                                                                                                                        | 96 17       | 3 59                                                                                                                                                                                                                                                                                                                                                                                                                                                                                                                                                                                                                                                                                                                                                                                                                                                                                                                                                                                                                                                                                                                                                                                                                                                                                                                                                                                                                                                                                                                                                                                                                                                                                                                                                                                                                                                                                                                                                                                                                                                                                                                           |
| 358                                                                                                                                                                                                                                                                                                                                                                                                                                                                                                                                                                                                                                                                                                                                                                                                                                                                                                                                                                                                                                                                                                                                                                                                                                                                                                                                                                                                                                                                                                                                                                                                                                                                                                                                                                                                                                                                                                                                                                                                                                                                                                                          |                                                                                                                                                                                                                                                                                                                                                                                                                                                                                                                                                                                                                                                                                                                                                                                                                                                                                                                                                                                                                                                                                                                                                                                                                                                                                                                                                                                                                                                                                                                                                                                                                                                                                                                                                                                                                                                                                                                                                                                                                                                                                                                                |                 | <del>+</del>     |                |              |                                                                                                                                                                                                                                                                                                                                                                                                                                                                                                                                                                                                                                                                                                                                                                                                                                                                                                                                                                                                                                                                                                                                                                                                                                                                                                                                                                                                                                                                                                                                                                                                                                                                                                                                                                                                                                                                                                                                                                                                                                                                                                                                |               | <br>            |               |                                                                                                                                                                                                                                                                                                                                                                                                                                                                                                                                                                                                                                                                                                                                                                                                                                                                                                                                                                                                                                                                                                                                                                                                                                                                                                                                                                                                                                                                                                                                                                                                                                                                                                                                                                                                                                                                                                                                                                                                                                                                                                                                |             |                                                                                                                                                                                                                                                                                                                                                                                                                                                                                                                                                                                                                                                                                                                                                                                                                                                                                                                                                                                                                                                                                                                                                                                                                                                                                                                                                                                                                                                                                                                                                                                                                                                                                                                                                                                                                                                                                                                                                                                                                                                                                                                                |
| 475   京田田福   1960/2988 - 311/299   0.80   0.113   0.113   0.113   0.113   0.113   0.113   0.113   0.113   0.113   0.113   0.113   0.113   0.113   0.113   0.113   0.113   0.113   0.113   0.113   0.113   0.113   0.113   0.113   0.113   0.113   0.113   0.113   0.113   0.113   0.113   0.113   0.113   0.113   0.113   0.113   0.113   0.113   0.113   0.113   0.113   0.113   0.113   0.113   0.113   0.113   0.113   0.113   0.113   0.113   0.113   0.113   0.113   0.113   0.113   0.113   0.113   0.113   0.113   0.113   0.113   0.113   0.113   0.113   0.113   0.113   0.113   0.113   0.113   0.113   0.113   0.113   0.113   0.113   0.113   0.113   0.113   0.113   0.113   0.113   0.113   0.113   0.113   0.113   0.113   0.113   0.113   0.113   0.113   0.113   0.113   0.113   0.113   0.113   0.113   0.113   0.113   0.113   0.113   0.113   0.113   0.113   0.113   0.113   0.113   0.113   0.113   0.113   0.113   0.113   0.113   0.113   0.113   0.113   0.113   0.113   0.113   0.113   0.113   0.113   0.113   0.113   0.113   0.113   0.113   0.113   0.113   0.113   0.113   0.113   0.113   0.113   0.113   0.113   0.113   0.113   0.113   0.113   0.113   0.113   0.113   0.113   0.113   0.113   0.113   0.113   0.113   0.113   0.113   0.113   0.113   0.113   0.113   0.113   0.113   0.113   0.113   0.113   0.115   0.115   0.115   0.115   0.115   0.115   0.115   0.115   0.115   0.115   0.115   0.115   0.115   0.115   0.115   0.115   0.115   0.115   0.115   0.115   0.115   0.115   0.115   0.115   0.115   0.115   0.115   0.115   0.115   0.115   0.115   0.115   0.115   0.115   0.115   0.115   0.115   0.115   0.115   0.115   0.115   0.115   0.115   0.115   0.115   0.115   0.115   0.115   0.115   0.115   0.115   0.115   0.115   0.115   0.115   0.115   0.115   0.115   0.115   0.115   0.115   0.115   0.115   0.115   0.115   0.115   0.115   0.115   0.115   0.115   0.115   0.115   0.115   0.115   0.115   0.115   0.115   0.115   0.115   0.115   0.115   0.115   0.115   0.115   0.115   0.115   0.115   0.115   0.115   0.115   0.115   0.115   0.115      |                                                                                                                                                                                                                                                                                                                                                                                                                                                                                                                                                                                                                                                                                                                                                                                                                                                                                                                                                                                                                                                                                                                                                                                                                                                                                                                                                                                                                                                                                                                                                                                                                                                                                                                                                                                                                                                                                                                                                                                                                                                                                                                                |                 | 0.77             |                |              | 1                                                                                                                                                                                                                                                                                                                                                                                                                                                                                                                                                                                                                                                                                                                                                                                                                                                                                                                                                                                                                                                                                                                                                                                                                                                                                                                                                                                                                                                                                                                                                                                                                                                                                                                                                                                                                                                                                                                                                                                                                                                                                                                              | 0.110         |                 |               | 220,000                                                                                                                                                                                                                                                                                                                                                                                                                                                                                                                                                                                                                                                                                                                                                                                                                                                                                                                                                                                                                                                                                                                                                                                                                                                                                                                                                                                                                                                                                                                                                                                                                                                                                                                                                                                                                                                                                                                                                                                                                                                                                                                        | 18 57       | 0.91                                                                                                                                                                                                                                                                                                                                                                                                                                                                                                                                                                                                                                                                                                                                                                                                                                                                                                                                                                                                                                                                                                                                                                                                                                                                                                                                                                                                                                                                                                                                                                                                                                                                                                                                                                                                                                                                                                                                                                                                                                                                                                                           |
| 464 所属形質                                                                                                                                                                                                                                                                                                                                                                                                                                                                                                                                                                                                                                                                                                                                                                                                                                                                                                                                                                                                                                                                                                                                                                                                                                                                                                                                                                                                                                                                                                                                                                                                                                                                                                                                                                                                                                                                                                                                                                                                                                                                                                                     | 476 玫瑰針織                                                                                                                                                                                                                                                                                                                                                                                                                                                                                                                                                                                                                                                                                                                                                                                                                                                                                                                                                                                                                                                                                                                                                                                                                                                                                                                                                                                                                                                                                                                                                                                                                                                                                                                                                                                                                                                                                                                                                                                                                                                                                                                       |                 |                  | 0.113          | 0.113        | 0.109                                                                                                                                                                                                                                                                                                                                                                                                                                                                                                                                                                                                                                                                                                                                                                                                                                                                                                                                                                                                                                                                                                                                                                                                                                                                                                                                                                                                                                                                                                                                                                                                                                                                                                                                                                                                                                                                                                                                                                                                                                                                                                                          | 0113          |                 | ····          |                                                                                                                                                                                                                                                                                                                                                                                                                                                                                                                                                                                                                                                                                                                                                                                                                                                                                                                                                                                                                                                                                                                                                                                                                                                                                                                                                                                                                                                                                                                                                                                                                                                                                                                                                                                                                                                                                                                                                                                                                                                                                                                                |             |                                                                                                                                                                                                                                                                                                                                                                                                                                                                                                                                                                                                                                                                                                                                                                                                                                                                                                                                                                                                                                                                                                                                                                                                                                                                                                                                                                                                                                                                                                                                                                                                                                                                                                                                                                                                                                                                                                                                                                                                                                                                                                                                |
| 646   所信音報                                                                                                                                                                                                                                                                                                                                                                                                                                                                                                                                                                                                                                                                                                                                                                                                                                                                                                                                                                                                                                                                                                                                                                                                                                                                                                                                                                                                                                                                                                                                                                                                                                                                                                                                                                                                                                                                                                                                                                                                                                                                                                                   |                                                                                                                                                                                                                                                                                                                                                                                                                                                                                                                                                                                                                                                                                                                                                                                                                                                                                                                                                                                                                                                                                                                                                                                                                                                                                                                                                                                                                                                                                                                                                                                                                                                                                                                                                                                                                                                                                                                                                                                                                                                                                                                                |                 |                  | 2.05           | 1.08         | 1.96                                                                                                                                                                                                                                                                                                                                                                                                                                                                                                                                                                                                                                                                                                                                                                                                                                                                                                                                                                                                                                                                                                                                                                                                                                                                                                                                                                                                                                                                                                                                                                                                                                                                                                                                                                                                                                                                                                                                                                                                                                                                                                                           | 196           | -0.090          | 5             | 59,000                                                                                                                                                                                                                                                                                                                                                                                                                                                                                                                                                                                                                                                                                                                                                                                                                                                                                                                                                                                                                                                                                                                                                                                                                                                                                                                                                                                                                                                                                                                                                                                                                                                                                                                                                                                                                                                                                                                                                                                                                                                                                                                         | -0.87       | 1 87                                                                                                                                                                                                                                                                                                                                                                                                                                                                                                                                                                                                                                                                                                                                                                                                                                                                                                                                                                                                                                                                                                                                                                                                                                                                                                                                                                                                                                                                                                                                                                                                                                                                                                                                                                                                                                                                                                                                                                                                                                                                                                                           |
| ## 1776                                                                                                                                                                                                                                                                                                                                                                                                                                                                                                                                                                                                                                                                                                                                                                                                                                                                                                                                                                                                                                                                                                                                                                                                                                                                                                                                                                                                                                                                                                                                                                                                                                                                                                                                                                                                                                                                                                                                                                                                                                                                                                                      |                                                                                                                                                                                                                                                                                                                                                                                                                                                                                                                                                                                                                                                                                                                                                                                                                                                                                                                                                                                                                                                                                                                                                                                                                                                                                                                                                                                                                                                                                                                                                                                                                                                                                                                                                                                                                                                                                                                                                                                                                                                                                                                                |                 |                  |                |              |                                                                                                                                                                                                                                                                                                                                                                                                                                                                                                                                                                                                                                                                                                                                                                                                                                                                                                                                                                                                                                                                                                                                                                                                                                                                                                                                                                                                                                                                                                                                                                                                                                                                                                                                                                                                                                                                                                                                                                                                                                                                                                                                |               |                 |               |                                                                                                                                                                                                                                                                                                                                                                                                                                                                                                                                                                                                                                                                                                                                                                                                                                                                                                                                                                                                                                                                                                                                                                                                                                                                                                                                                                                                                                                                                                                                                                                                                                                                                                                                                                                                                                                                                                                                                                                                                                                                                                                                |             | 1.77                                                                                                                                                                                                                                                                                                                                                                                                                                                                                                                                                                                                                                                                                                                                                                                                                                                                                                                                                                                                                                                                                                                                                                                                                                                                                                                                                                                                                                                                                                                                                                                                                                                                                                                                                                                                                                                                                                                                                                                                                                                                                                                           |
| To   To   To   To   To   To   To   To                                                                                                                                                                                                                                                                                                                                                                                                                                                                                                                                                                                                                                                                                                                                                                                                                                                                                                                                                                                                                                                                                                                                                                                                                                                                                                                                                                                                                                                                                                                                                                                                                                                                                                                                                                                                                                                                                                                                                                                                                                                                                        | And the second s |                 |                  |                | 0 265        | 0.26                                                                                                                                                                                                                                                                                                                                                                                                                                                                                                                                                                                                                                                                                                                                                                                                                                                                                                                                                                                                                                                                                                                                                                                                                                                                                                                                                                                                                                                                                                                                                                                                                                                                                                                                                                                                                                                                                                                                                                                                                                                                                                                           | 0.265         |                 |               |                                                                                                                                                                                                                                                                                                                                                                                                                                                                                                                                                                                                                                                                                                                                                                                                                                                                                                                                                                                                                                                                                                                                                                                                                                                                                                                                                                                                                                                                                                                                                                                                                                                                                                                                                                                                                                                                                                                                                                                                                                                                                                                                |             |                                                                                                                                                                                                                                                                                                                                                                                                                                                                                                                                                                                                                                                                                                                                                                                                                                                                                                                                                                                                                                                                                                                                                                                                                                                                                                                                                                                                                                                                                                                                                                                                                                                                                                                                                                                                                                                                                                                                                                                                                                                                                                                                |
| 355 所元所書   1/201497 - 31/12/29                                                                                                                                                                                                                                                                                                                                                                                                                                                                                                                                                                                                                                                                                                                                                                                                                                                                                                                                                                                                                                                                                                                                                                                                                                                                                                                                                                                                                                                                                                                                                                                                                                                                                                                                                                                                                                                                                                                                                                                                                                                                                               |                                                                                                                                                                                                                                                                                                                                                                                                                                                                                                                                                                                                                                                                                                                                                                                                                                                                                                                                                                                                                                                                                                                                                                                                                                                                                                                                                                                                                                                                                                                                                                                                                                                                                                                                                                                                                                                                                                                                                                                                                                                                                                                                |                 |                  |                | ,            |                                                                                                                                                                                                                                                                                                                                                                                                                                                                                                                                                                                                                                                                                                                                                                                                                                                                                                                                                                                                                                                                                                                                                                                                                                                                                                                                                                                                                                                                                                                                                                                                                                                                                                                                                                                                                                                                                                                                                                                                                                                                                                                                |               |                 |               |                                                                                                                                                                                                                                                                                                                                                                                                                                                                                                                                                                                                                                                                                                                                                                                                                                                                                                                                                                                                                                                                                                                                                                                                                                                                                                                                                                                                                                                                                                                                                                                                                                                                                                                                                                                                                                                                                                                                                                                                                                                                                                                                |             |                                                                                                                                                                                                                                                                                                                                                                                                                                                                                                                                                                                                                                                                                                                                                                                                                                                                                                                                                                                                                                                                                                                                                                                                                                                                                                                                                                                                                                                                                                                                                                                                                                                                                                                                                                                                                                                                                                                                                                                                                                                                                                                                |
| So                                                                                                                                                                                                                                                                                                                                                                                                                                                                                                                                                                                                                                                                                                                                                                                                                                                                                                                                                                                                                                                                                                                                                                                                                                                                                                                                                                                                                                                                                                                                                                                                                                                                                                                                                                                                                                                                                                                                                                                                                                                                                                                           |                                                                                                                                                                                                                                                                                                                                                                                                                                                                                                                                                                                                                                                                                                                                                                                                                                                                                                                                                                                                                                                                                                                                                                                                                                                                                                                                                                                                                                                                                                                                                                                                                                                                                                                                                                                                                                                                                                                                                                                                                                                                                                                                |                 |                  |                |              |                                                                                                                                                                                                                                                                                                                                                                                                                                                                                                                                                                                                                                                                                                                                                                                                                                                                                                                                                                                                                                                                                                                                                                                                                                                                                                                                                                                                                                                                                                                                                                                                                                                                                                                                                                                                                                                                                                                                                                                                                                                                                                                                |               |                 |               |                                                                                                                                                                                                                                                                                                                                                                                                                                                                                                                                                                                                                                                                                                                                                                                                                                                                                                                                                                                                                                                                                                                                                                                                                                                                                                                                                                                                                                                                                                                                                                                                                                                                                                                                                                                                                                                                                                                                                                                                                                                                                                                                |             |                                                                                                                                                                                                                                                                                                                                                                                                                                                                                                                                                                                                                                                                                                                                                                                                                                                                                                                                                                                                                                                                                                                                                                                                                                                                                                                                                                                                                                                                                                                                                                                                                                                                                                                                                                                                                                                                                                                                                                                                                                                                                                                                |
| 503    粉皮物質                                                                                                                                                                                                                                                                                                                                                                                                                                                                                                                                                                                                                                                                                                                                                                                                                                                                                                                                                                                                                                                                                                                                                                                                                                                                                                                                                                                                                                                                                                                                                                                                                                                                                                                                                                                                                                                                                                                                                                                                                                                                                                                  |                                                                                                                                                                                                                                                                                                                                                                                                                                                                                                                                                                                                                                                                                                                                                                                                                                                                                                                                                                                                                                                                                                                                                                                                                                                                                                                                                                                                                                                                                                                                                                                                                                                                                                                                                                                                                                                                                                                                                                                                                                                                                                                                |                 |                  |                | 11 70        | 11 60                                                                                                                                                                                                                                                                                                                                                                                                                                                                                                                                                                                                                                                                                                                                                                                                                                                                                                                                                                                                                                                                                                                                                                                                                                                                                                                                                                                                                                                                                                                                                                                                                                                                                                                                                                                                                                                                                                                                                                                                                                                                                                                          | <u> </u>      |                 |               | -                                                                                                                                                                                                                                                                                                                                                                                                                                                                                                                                                                                                                                                                                                                                                                                                                                                                                                                                                                                                                                                                                                                                                                                                                                                                                                                                                                                                                                                                                                                                                                                                                                                                                                                                                                                                                                                                                                                                                                                                                                                                                                                              |             |                                                                                                                                                                                                                                                                                                                                                                                                                                                                                                                                                                                                                                                                                                                                                                                                                                                                                                                                                                                                                                                                                                                                                                                                                                                                                                                                                                                                                                                                                                                                                                                                                                                                                                                                                                                                                                                                                                                                                                                                                                                                                                                                |
| 442 原来的    22/10/87-31/12/91   2.39                                                                                                                                                                                                                                                                                                                                                                                                                                                                                                                                                                                                                                                                                                                                                                                                                                                                                                                                                                                                                                                                                                                                                                                                                                                                                                                                                                                                                                                                                                                                                                                                                                                                                                                                                                                                                                                                                                                                                                                                                                                                                          |                                                                                                                                                                                                                                                                                                                                                                                                                                                                                                                                                                                                                                                                                                                                                                                                                                                                                                                                                                                                                                                                                                                                                                                                                                                                                                                                                                                                                                                                                                                                                                                                                                                                                                                                                                                                                                                                                                                                                                                                                                                                                                                                |                 |                  |                |              | <del>_</del>                                                                                                                                                                                                                                                                                                                                                                                                                                                                                                                                                                                                                                                                                                                                                                                                                                                                                                                                                                                                                                                                                                                                                                                                                                                                                                                                                                                                                                                                                                                                                                                                                                                                                                                                                                                                                                                                                                                                                                                                                                                                                                                   |               |                 | +20           |                                                                                                                                                                                                                                                                                                                                                                                                                                                                                                                                                                                                                                                                                                                                                                                                                                                                                                                                                                                                                                                                                                                                                                                                                                                                                                                                                                                                                                                                                                                                                                                                                                                                                                                                                                                                                                                                                                                                                                                                                                                                                                                                |             | 2 69                                                                                                                                                                                                                                                                                                                                                                                                                                                                                                                                                                                                                                                                                                                                                                                                                                                                                                                                                                                                                                                                                                                                                                                                                                                                                                                                                                                                                                                                                                                                                                                                                                                                                                                                                                                                                                                                                                                                                                                                                                                                                                                           |
| 512                                                                                                                                                                                                                                                                                                                                                                                                                                                                                                                                                                                                                                                                                                                                                                                                                                                                                                                                                                                                                                                                                                                                                                                                                                                                                                                                                                                                                                                                                                                                                                                                                                                                                                                                                                                                                                                                                                                                                                                                                                                                                                                          | 442 順業投資                                                                                                                                                                                                                                                                                                                                                                                                                                                                                                                                                                                                                                                                                                                                                                                                                                                                                                                                                                                                                                                                                                                                                                                                                                                                                                                                                                                                                                                                                                                                                                                                                                                                                                                                                                                                                                                                                                                                                                                                                                                                                                                       |                 |                  | <del></del>    |              |                                                                                                                                                                                                                                                                                                                                                                                                                                                                                                                                                                                                                                                                                                                                                                                                                                                                                                                                                                                                                                                                                                                                                                                                                                                                                                                                                                                                                                                                                                                                                                                                                                                                                                                                                                                                                                                                                                                                                                                                                                                                                                                                |               |                 | +             |                                                                                                                                                                                                                                                                                                                                                                                                                                                                                                                                                                                                                                                                                                                                                                                                                                                                                                                                                                                                                                                                                                                                                                                                                                                                                                                                                                                                                                                                                                                                                                                                                                                                                                                                                                                                                                                                                                                                                                                                                                                                                                                                |             | 4.19                                                                                                                                                                                                                                                                                                                                                                                                                                                                                                                                                                                                                                                                                                                                                                                                                                                                                                                                                                                                                                                                                                                                                                                                                                                                                                                                                                                                                                                                                                                                                                                                                                                                                                                                                                                                                                                                                                                                                                                                                                                                                                                           |
| 455 C. APRIT 第 01707/89 - 3171279                                                                                                                                                                                                                                                                                                                                                                                                                                                                                                                                                                                                                                                                                                                                                                                                                                                                                                                                                                                                                                                                                                                                                                                                                                                                                                                                                                                                                                                                                                                                                                                                                                                                                                                                                                                                                                                                                                                                                                                                                                                                                            |                                                                                                                                                                                                                                                                                                                                                                                                                                                                                                                                                                                                                                                                                                                                                                                                                                                                                                                                                                                                                                                                                                                                                                                                                                                                                                                                                                                                                                                                                                                                                                                                                                                                                                                                                                                                                                                                                                                                                                                                                                                                                                                                |                 |                  |                |              | <del> </del>                                                                                                                                                                                                                                                                                                                                                                                                                                                                                                                                                                                                                                                                                                                                                                                                                                                                                                                                                                                                                                                                                                                                                                                                                                                                                                                                                                                                                                                                                                                                                                                                                                                                                                                                                                                                                                                                                                                                                                                                                                                                                                                   |               |                 |               | _                                                                                                                                                                                                                                                                                                                                                                                                                                                                                                                                                                                                                                                                                                                                                                                                                                                                                                                                                                                                                                                                                                                                                                                                                                                                                                                                                                                                                                                                                                                                                                                                                                                                                                                                                                                                                                                                                                                                                                                                                                                                                                                              | 202 92      | 1.45                                                                                                                                                                                                                                                                                                                                                                                                                                                                                                                                                                                                                                                                                                                                                                                                                                                                                                                                                                                                                                                                                                                                                                                                                                                                                                                                                                                                                                                                                                                                                                                                                                                                                                                                                                                                                                                                                                                                                                                                                                                                                                                           |
| 365                                                                                                                                                                                                                                                                                                                                                                                                                                                                                                                                                                                                                                                                                                                                                                                                                                                                                                                                                                                                                                                                                                                                                                                                                                                                                                                                                                                                                                                                                                                                                                                                                                                                                                                                                                                                                                                                                                                                                                                                                                                                                                                          |                                                                                                                                                                                                                                                                                                                                                                                                                                                                                                                                                                                                                                                                                                                                                                                                                                                                                                                                                                                                                                                                                                                                                                                                                                                                                                                                                                                                                                                                                                                                                                                                                                                                                                                                                                                                                                                                                                                                                                                                                                                                                                                                |                 |                  |                | 0.86         | 0.85                                                                                                                                                                                                                                                                                                                                                                                                                                                                                                                                                                                                                                                                                                                                                                                                                                                                                                                                                                                                                                                                                                                                                                                                                                                                                                                                                                                                                                                                                                                                                                                                                                                                                                                                                                                                                                                                                                                                                                                                                                                                                                                           |               | -0 020          | -29           | 136,000                                                                                                                                                                                                                                                                                                                                                                                                                                                                                                                                                                                                                                                                                                                                                                                                                                                                                                                                                                                                                                                                                                                                                                                                                                                                                                                                                                                                                                                                                                                                                                                                                                                                                                                                                                                                                                                                                                                                                                                                                                                                                                                        |             | 0.67                                                                                                                                                                                                                                                                                                                                                                                                                                                                                                                                                                                                                                                                                                                                                                                                                                                                                                                                                                                                                                                                                                                                                                                                                                                                                                                                                                                                                                                                                                                                                                                                                                                                                                                                                                                                                                                                                                                                                                                                                                                                                                                           |
| 132   0.058                                                                                                                                                                                                                                                                                                                                                                                                                                                                                                                                                                                                                                                                                                                                                                                                                                                                                                                                                                                                                                                                                                                                                                                                                                                                                                                                                                                                                                                                                                                                                                                                                                                                                                                                                                                                                                                                                                                                                                                                                                                                                                                  |                                                                                                                                                                                                                                                                                                                                                                                                                                                                                                                                                                                                                                                                                                                                                                                                                                                                                                                                                                                                                                                                                                                                                                                                                                                                                                                                                                                                                                                                                                                                                                                                                                                                                                                                                                                                                                                                                                                                                                                                                                                                                                                                |                 |                  |                | _            |                                                                                                                                                                                                                                                                                                                                                                                                                                                                                                                                                                                                                                                                                                                                                                                                                                                                                                                                                                                                                                                                                                                                                                                                                                                                                                                                                                                                                                                                                                                                                                                                                                                                                                                                                                                                                                                                                                                                                                                                                                                                                                                                | 0.039         | -0 002          |               |                                                                                                                                                                                                                                                                                                                                                                                                                                                                                                                                                                                                                                                                                                                                                                                                                                                                                                                                                                                                                                                                                                                                                                                                                                                                                                                                                                                                                                                                                                                                                                                                                                                                                                                                                                                                                                                                                                                                                                                                                                                                                                                                |             |                                                                                                                                                                                                                                                                                                                                                                                                                                                                                                                                                                                                                                                                                                                                                                                                                                                                                                                                                                                                                                                                                                                                                                                                                                                                                                                                                                                                                                                                                                                                                                                                                                                                                                                                                                                                                                                                                                                                                                                                                                                                                                                                |
| 246 日本記書                                                                                                                                                                                                                                                                                                                                                                                                                                                                                                                                                                                                                                                                                                                                                                                                                                                                                                                                                                                                                                                                                                                                                                                                                                                                                                                                                                                                                                                                                                                                                                                                                                                                                                                                                                                                                                                                                                                                                                                                                                                                                                                     |                                                                                                                                                                                                                                                                                                                                                                                                                                                                                                                                                                                                                                                                                                                                                                                                                                                                                                                                                                                                                                                                                                                                                                                                                                                                                                                                                                                                                                                                                                                                                                                                                                                                                                                                                                                                                                                                                                                                                                                                                                                                                                                                |                 | -                |                |              |                                                                                                                                                                                                                                                                                                                                                                                                                                                                                                                                                                                                                                                                                                                                                                                                                                                                                                                                                                                                                                                                                                                                                                                                                                                                                                                                                                                                                                                                                                                                                                                                                                                                                                                                                                                                                                                                                                                                                                                                                                                                                                                                | 1             |                 |               |                                                                                                                                                                                                                                                                                                                                                                                                                                                                                                                                                                                                                                                                                                                                                                                                                                                                                                                                                                                                                                                                                                                                                                                                                                                                                                                                                                                                                                                                                                                                                                                                                                                                                                                                                                                                                                                                                                                                                                                                                                                                                                                                |             |                                                                                                                                                                                                                                                                                                                                                                                                                                                                                                                                                                                                                                                                                                                                                                                                                                                                                                                                                                                                                                                                                                                                                                                                                                                                                                                                                                                                                                                                                                                                                                                                                                                                                                                                                                                                                                                                                                                                                                                                                                                                                                                                |
| 150   150   150   150   150   150   150   150   150   150   150   150   150   150   150   150   150   150   150   150   150   150   150   150   150   150   150   150   150   150   150   150   150   150   150   150   150   150   150   150   150   150   150   150   150   150   150   150   150   150   150   150   150   150   150   150   150   150   150   150   150   150   150   150   150   150   150   150   150   150   150   150   150   150   150   150   150   150   150   150   150   150   150   150   150   150   150   150   150   150   150   150   150   150   150   150   150   150   150   150   150   150   150   150   150   150   150   150   150   150   150   150   150   150   150   150   150   150   150   150   150   150   150   150   150   150   150   150   150   150   150   150   150   150   150   150   150   150   150   150   150   150   150   150   150   150   150   150   150   150   150   150   150   150   150   150   150   150   150   150   150   150   150   150   150   150   150   150   150   150   150   150   150   150   150   150   150   150   150   150   150   150   150   150   150   150   150   150   150   150   150   150   150   150   150   150   150   150   150   150   150   150   150   150   150   150   150   150   150   150   150   150   150   150   150   150   150   150   150   150   150   150   150   150   150   150   150   150   150   150   150   150   150   150   150   150   150   150   150   150   150   150   150   150   150   150   150   150   150   150   150   150   150   150   150   150   150   150   150   150   150   150   150   150   150   150   150   150   150   150   150   150   150   150   150   150   150   150   150   150   150   150   150   150   150   150   150   150   150   150   150   150   150   150   150   150   150   150   150   150   150   150   150   150   150   150   150   150   150   150   150   150   150   150   150   150   150   150   150   150   150   150   150   150   150   150   150   150   150   150   150   150   150   150   150   150   150   150   150   150   15   |                                                                                                                                                                                                                                                                                                                                                                                                                                                                                                                                                                                                                                                                                                                                                                                                                                                                                                                                                                                                                                                                                                                                                                                                                                                                                                                                                                                                                                                                                                                                                                                                                                                                                                                                                                                                                                                                                                                                                                                                                                                                                                                                |                 |                  | 0.88           |              |                                                                                                                                                                                                                                                                                                                                                                                                                                                                                                                                                                                                                                                                                                                                                                                                                                                                                                                                                                                                                                                                                                                                                                                                                                                                                                                                                                                                                                                                                                                                                                                                                                                                                                                                                                                                                                                                                                                                                                                                                                                                                                                                | 0.88          |                 | -             |                                                                                                                                                                                                                                                                                                                                                                                                                                                                                                                                                                                                                                                                                                                                                                                                                                                                                                                                                                                                                                                                                                                                                                                                                                                                                                                                                                                                                                                                                                                                                                                                                                                                                                                                                                                                                                                                                                                                                                                                                                                                                                                                | 40.03       | <u></u>                                                                                                                                                                                                                                                                                                                                                                                                                                                                                                                                                                                                                                                                                                                                                                                                                                                                                                                                                                                                                                                                                                                                                                                                                                                                                                                                                                                                                                                                                                                                                                                                                                                                                                                                                                                                                                                                                                                                                                                                                                                                                                                        |
| 488 産品を定 01/01/88 -31/12/90 0 80 0 958 0 38 0 38 0 -0.010 -22 21,200 82 37 5.3                                                                                                                                                                                                                                                                                                                                                                                                                                                                                                                                                                                                                                                                                                                                                                                                                                                                                                                                                                                                                                                                                                                                                                                                                                                                                                                                                                                                                                                                                                                                                                                                                                                                                                                                                                                                                                                                                                                                                                                                                                               |                                                                                                                                                                                                                                                                                                                                                                                                                                                                                                                                                                                                                                                                                                                                                                                                                                                                                                                                                                                                                                                                                                                                                                                                                                                                                                                                                                                                                                                                                                                                                                                                                                                                                                                                                                                                                                                                                                                                                                                                                                                                                                                                |                 | 1 50             |                |              |                                                                                                                                                                                                                                                                                                                                                                                                                                                                                                                                                                                                                                                                                                                                                                                                                                                                                                                                                                                                                                                                                                                                                                                                                                                                                                                                                                                                                                                                                                                                                                                                                                                                                                                                                                                                                                                                                                                                                                                                                                                                                                                                | 0.006         |                 |               |                                                                                                                                                                                                                                                                                                                                                                                                                                                                                                                                                                                                                                                                                                                                                                                                                                                                                                                                                                                                                                                                                                                                                                                                                                                                                                                                                                                                                                                                                                                                                                                                                                                                                                                                                                                                                                                                                                                                                                                                                                                                                                                                | 75 49       | D 8                                                                                                                                                                                                                                                                                                                                                                                                                                                                                                                                                                                                                                                                                                                                                                                                                                                                                                                                                                                                                                                                                                                                                                                                                                                                                                                                                                                                                                                                                                                                                                                                                                                                                                                                                                                                                                                                                                                                                                                                                                                                                                                            |
| 405   資光育業   21/04/88   31/12/91   500   0.93   0.95   0.07   0.113                                                                                                                                                                                                                                                                                                                                                                                                                                                                                                                                                                                                                                                                                                                                                                                                                                                                                                                                                                                                                                                                                                                                                                                                                                                                                                                                                                                                                                                                                                                                                                                                                                                                                                                                                                                                                                                                                                                                                                                                                                                          |                                                                                                                                                                                                                                                                                                                                                                                                                                                                                                                                                                                                                                                                                                                                                                                                                                                                                                                                                                                                                                                                                                                                                                                                                                                                                                                                                                                                                                                                                                                                                                                                                                                                                                                                                                                                                                                                                                                                                                                                                                                                                                                                | 1               |                  |                |              |                                                                                                                                                                                                                                                                                                                                                                                                                                                                                                                                                                                                                                                                                                                                                                                                                                                                                                                                                                                                                                                                                                                                                                                                                                                                                                                                                                                                                                                                                                                                                                                                                                                                                                                                                                                                                                                                                                                                                                                                                                                                                                                                |               |                 | -55           | 21,200                                                                                                                                                                                                                                                                                                                                                                                                                                                                                                                                                                                                                                                                                                                                                                                                                                                                                                                                                                                                                                                                                                                                                                                                                                                                                                                                                                                                                                                                                                                                                                                                                                                                                                                                                                                                                                                                                                                                                                                                                                                                                                                         |             | 53                                                                                                                                                                                                                                                                                                                                                                                                                                                                                                                                                                                                                                                                                                                                                                                                                                                                                                                                                                                                                                                                                                                                                                                                                                                                                                                                                                                                                                                                                                                                                                                                                                                                                                                                                                                                                                                                                                                                                                                                                                                                                                                             |
| 24/17/88                                                                                                                                                                                                                                                                                                                                                                                                                                                                                                                                                                                                                                                                                                                                                                                                                                                                                                                                                                                                                                                                                                                                                                                                                                                                                                                                                                                                                                                                                                                                                                                                                                                                                                                                                                                                                                                                                                                                                                                                                                                                                                                     |                                                                                                                                                                                                                                                                                                                                                                                                                                                                                                                                                                                                                                                                                                                                                                                                                                                                                                                                                                                                                                                                                                                                                                                                                                                                                                                                                                                                                                                                                                                                                                                                                                                                                                                                                                                                                                                                                                                                                                                                                                                                                                                                |                 |                  | <del>-  </del> |              | - 430                                                                                                                                                                                                                                                                                                                                                                                                                                                                                                                                                                                                                                                                                                                                                                                                                                                                                                                                                                                                                                                                                                                                                                                                                                                                                                                                                                                                                                                                                                                                                                                                                                                                                                                                                                                                                                                                                                                                                                                                                                                                                                                          |               |                 |               | _                                                                                                                                                                                                                                                                                                                                                                                                                                                                                                                                                                                                                                                                                                                                                                                                                                                                                                                                                                                                                                                                                                                                                                                                                                                                                                                                                                                                                                                                                                                                                                                                                                                                                                                                                                                                                                                                                                                                                                                                                                                                                                                              |             | 30                                                                                                                                                                                                                                                                                                                                                                                                                                                                                                                                                                                                                                                                                                                                                                                                                                                                                                                                                                                                                                                                                                                                                                                                                                                                                                                                                                                                                                                                                                                                                                                                                                                                                                                                                                                                                                                                                                                                                                                                                                                                                                                             |
| 531 大生物度                                                                                                                                                                                                                                                                                                                                                                                                                                                                                                                                                                                                                                                                                                                                                                                                                                                                                                                                                                                                                                                                                                                                                                                                                                                                                                                                                                                                                                                                                                                                                                                                                                                                                                                                                                                                                                                                                                                                                                                                                                                                                                                     |                                                                                                                                                                                                                                                                                                                                                                                                                                                                                                                                                                                                                                                                                                                                                                                                                                                                                                                                                                                                                                                                                                                                                                                                                                                                                                                                                                                                                                                                                                                                                                                                                                                                                                                                                                                                                                                                                                                                                                                                                                                                                                                                |                 |                  |                |              | 090                                                                                                                                                                                                                                                                                                                                                                                                                                                                                                                                                                                                                                                                                                                                                                                                                                                                                                                                                                                                                                                                                                                                                                                                                                                                                                                                                                                                                                                                                                                                                                                                                                                                                                                                                                                                                                                                                                                                                                                                                                                                                                                            |               | -0010           | 70            | 32 1 10                                                                                                                                                                                                                                                                                                                                                                                                                                                                                                                                                                                                                                                                                                                                                                                                                                                                                                                                                                                                                                                                                                                                                                                                                                                                                                                                                                                                                                                                                                                                                                                                                                                                                                                                                                                                                                                                                                                                                                                                                                                                                                                        |             | 4.5                                                                                                                                                                                                                                                                                                                                                                                                                                                                                                                                                                                                                                                                                                                                                                                                                                                                                                                                                                                                                                                                                                                                                                                                                                                                                                                                                                                                                                                                                                                                                                                                                                                                                                                                                                                                                                                                                                                                                                                                                                                                                                                            |
| 日本   日本   日本   日本   日本   日本   日本   日本                                                                                                                                                                                                                                                                                                                                                                                                                                                                                                                                                                                                                                                                                                                                                                                                                                                                                                                                                                                                                                                                                                                                                                                                                                                                                                                                                                                                                                                                                                                                                                                                                                                                                                                                                                                                                                                                                                                                                                                                                                                                                        |                                                                                                                                                                                                                                                                                                                                                                                                                                                                                                                                                                                                                                                                                                                                                                                                                                                                                                                                                                                                                                                                                                                                                                                                                                                                                                                                                                                                                                                                                                                                                                                                                                                                                                                                                                                                                                                                                                                                                                                                                                                                                                                                |                 |                  | _              |              |                                                                                                                                                                                                                                                                                                                                                                                                                                                                                                                                                                                                                                                                                                                                                                                                                                                                                                                                                                                                                                                                                                                                                                                                                                                                                                                                                                                                                                                                                                                                                                                                                                                                                                                                                                                                                                                                                                                                                                                                                                                                                                                                | 0 39          | +0 005          | +45           |                                                                                                                                                                                                                                                                                                                                                                                                                                                                                                                                                                                                                                                                                                                                                                                                                                                                                                                                                                                                                                                                                                                                                                                                                                                                                                                                                                                                                                                                                                                                                                                                                                                                                                                                                                                                                                                                                                                                                                                                                                                                                                                                |             | <del></del>                                                                                                                                                                                                                                                                                                                                                                                                                                                                                                                                                                                                                                                                                                                                                                                                                                                                                                                                                                                                                                                                                                                                                                                                                                                                                                                                                                                                                                                                                                                                                                                                                                                                                                                                                                                                                                                                                                                                                                                                                                                                                                                    |
| 127   大変中間   01/07/87 30/06/90   120   0.058   0.056   0.039   0.09   1.0003   1.5   730,000   116.62   1.0                                                                                                                                                                                                                                                                                                                                                                                                                                                                                                                                                                                                                                                                                                                                                                                                                                                                                                                                                                                                                                                                                                                                                                                                                                                                                                                                                                                                                                                                                                                                                                                                                                                                                                                                                                                                                                                                                                                                                                                                                  | The second secon |                 |                  |                |              | 0.206                                                                                                                                                                                                                                                                                                                                                                                                                                                                                                                                                                                                                                                                                                                                                                                                                                                                                                                                                                                                                                                                                                                                                                                                                                                                                                                                                                                                                                                                                                                                                                                                                                                                                                                                                                                                                                                                                                                                                                                                                                                                                                                          |               |                 | 4             | 4                                                                                                                                                                                                                                                                                                                                                                                                                                                                                                                                                                                                                                                                                                                                                                                                                                                                                                                                                                                                                                                                                                                                                                                                                                                                                                                                                                                                                                                                                                                                                                                                                                                                                                                                                                                                                                                                                                                                                                                                                                                                                                                              |             | Action were                                                                                                                                                                                                                                                                                                                                                                                                                                                                                                                                                                                                                                                                                                                                                                                                                                                                                                                                                                                                                                                                                                                                                                                                                                                                                                                                                                                                                                                                                                                                                                                                                                                                                                                                                                                                                                                                                                                                                                                                                                                                                                                    |
| 490 川 原献                                                                                                                                                                                                                                                                                                                                                                                                                                                                                                                                                                                                                                                                                                                                                                                                                                                                                                                                                                                                                                                                                                                                                                                                                                                                                                                                                                                                                                                                                                                                                                                                                                                                                                                                                                                                                                                                                                                                                                                                                                                                                                                     |                                                                                                                                                                                                                                                                                                                                                                                                                                                                                                                                                                                                                                                                                                                                                                                                                                                                                                                                                                                                                                                                                                                                                                                                                                                                                                                                                                                                                                                                                                                                                                                                                                                                                                                                                                                                                                                                                                                                                                                                                                                                                                                                |                 |                  |                | 0.056        |                                                                                                                                                                                                                                                                                                                                                                                                                                                                                                                                                                                                                                                                                                                                                                                                                                                                                                                                                                                                                                                                                                                                                                                                                                                                                                                                                                                                                                                                                                                                                                                                                                                                                                                                                                                                                                                                                                                                                                                                                                                                                                                                |               |                 |               |                                                                                                                                                                                                                                                                                                                                                                                                                                                                                                                                                                                                                                                                                                                                                                                                                                                                                                                                                                                                                                                                                                                                                                                                                                                                                                                                                                                                                                                                                                                                                                                                                                                                                                                                                                                                                                                                                                                                                                                                                                                                                                                                |             |                                                                                                                                                                                                                                                                                                                                                                                                                                                                                                                                                                                                                                                                                                                                                                                                                                                                                                                                                                                                                                                                                                                                                                                                                                                                                                                                                                                                                                                                                                                                                                                                                                                                                                                                                                                                                                                                                                                                                                                                                                                                                                                                |
| 192                                                                                                                                                                                                                                                                                                                                                                                                                                                                                                                                                                                                                                                                                                                                                                                                                                                                                                                                                                                                                                                                                                                                                                                                                                                                                                                                                                                                                                                                                                                                                                                                                                                                                                                                                                                                                                                                                                                                                                                                                                                                                                                          |                                                                                                                                                                                                                                                                                                                                                                                                                                                                                                                                                                                                                                                                                                                                                                                                                                                                                                                                                                                                                                                                                                                                                                                                                                                                                                                                                                                                                                                                                                                                                                                                                                                                                                                                                                                                                                                                                                                                                                                                                                                                                                                                |                 |                  |                | 0 09         | 0.089                                                                                                                                                                                                                                                                                                                                                                                                                                                                                                                                                                                                                                                                                                                                                                                                                                                                                                                                                                                                                                                                                                                                                                                                                                                                                                                                                                                                                                                                                                                                                                                                                                                                                                                                                                                                                                                                                                                                                                                                                                                                                                                          |               | + 0 003         | + 13          | 730,000                                                                                                                                                                                                                                                                                                                                                                                                                                                                                                                                                                                                                                                                                                                                                                                                                                                                                                                                                                                                                                                                                                                                                                                                                                                                                                                                                                                                                                                                                                                                                                                                                                                                                                                                                                                                                                                                                                                                                                                                                                                                                                                        | <del></del> | 1 3                                                                                                                                                                                                                                                                                                                                                                                                                                                                                                                                                                                                                                                                                                                                                                                                                                                                                                                                                                                                                                                                                                                                                                                                                                                                                                                                                                                                                                                                                                                                                                                                                                                                                                                                                                                                                                                                                                                                                                                                                                                                                                                            |
| 514 日 子                                                                                                                                                                                                                                                                                                                                                                                                                                                                                                                                                                                                                                                                                                                                                                                                                                                                                                                                                                                                                                                                                                                                                                                                                                                                                                                                                                                                                                                                                                                                                                                                                                                                                                                                                                                                                                                                                                                                                                                                                                                                                                                      |                                                                                                                                                                                                                                                                                                                                                                                                                                                                                                                                                                                                                                                                                                                                                                                                                                                                                                                                                                                                                                                                                                                                                                                                                                                                                                                                                                                                                                                                                                                                                                                                                                                                                                                                                                                                                                                                                                                                                                                                                                                                                                                                |                 |                  |                |              | _                                                                                                                                                                                                                                                                                                                                                                                                                                                                                                                                                                                                                                                                                                                                                                                                                                                                                                                                                                                                                                                                                                                                                                                                                                                                                                                                                                                                                                                                                                                                                                                                                                                                                                                                                                                                                                                                                                                                                                                                                                                                                                                              |               |                 |               | 3,600                                                                                                                                                                                                                                                                                                                                                                                                                                                                                                                                                                                                                                                                                                                                                                                                                                                                                                                                                                                                                                                                                                                                                                                                                                                                                                                                                                                                                                                                                                                                                                                                                                                                                                                                                                                                                                                                                                                                                                                                                                                                                                                          |             | 14                                                                                                                                                                                                                                                                                                                                                                                                                                                                                                                                                                                                                                                                                                                                                                                                                                                                                                                                                                                                                                                                                                                                                                                                                                                                                                                                                                                                                                                                                                                                                                                                                                                                                                                                                                                                                                                                                                                                                                                                                                                                                                                             |
| 150   150   150   150   150   150   150   150   150   150   150   150   150   150   150   150   150   150   150   150   150   150   150   150   150   150   150   150   150   150   150   150   150   150   150   150   150   150   150   150   150   150   150   150   150   150   150   150   150   150   150   150   150   150   150   150   150   150   150   150   150   150   150   150   150   150   150   150   150   150   150   150   150   150   150   150   150   150   150   150   150   150   150   150   150   150   150   150   150   150   150   150   150   150   150   150   150   150   150   150   150   150   150   150   150   150   150   150   150   150   150   150   150   150   150   150   150   150   150   150   150   150   150   150   150   150   150   150   150   150   150   150   150   150   150   150   150   150   150   150   150   150   150   150   150   150   150   150   150   150   150   150   150   150   150   150   150   150   150   150   150   150   150   150   150   150   150   150   150   150   150   150   150   150   150   150   150   150   150   150   150   150   150   150   150   150   150   150   150   150   150   150   150   150   150   150   150   150   150   150   150   150   150   150   150   150   150   150   150   150   150   150   150   150   150   150   150   150   150   150   150   150   150   150   150   150   150   150   150   150   150   150   150   150   150   150   150   150   150   150   150   150   150   150   150   150   150   150   150   150   150   150   150   150   150   150   150   150   150   150   150   150   150   150   150   150   150   150   150   150   150   150   150   150   150   150   150   150   150   150   150   150   150   150   150   150   150   150   150   150   150   150   150   150   150   150   150   150   150   150   150   150   150   150   150   150   150   150   150   150   150   150   150   150   150   150   150   150   150   150   150   150   150   150   150   150   150   150   150   150   150   150   150   150   150   150   150   150   150   150   15   |                                                                                                                                                                                                                                                                                                                                                                                                                                                                                                                                                                                                                                                                                                                                                                                                                                                                                                                                                                                                                                                                                                                                                                                                                                                                                                                                                                                                                                                                                                                                                                                                                                                                                                                                                                                                                                                                                                                                                                                                                                                                                                                                |                 |                  |                |              | _                                                                                                                                                                                                                                                                                                                                                                                                                                                                                                                                                                                                                                                                                                                                                                                                                                                                                                                                                                                                                                                                                                                                                                                                                                                                                                                                                                                                                                                                                                                                                                                                                                                                                                                                                                                                                                                                                                                                                                                                                                                                                                                              |               | _               | 1             |                                                                                                                                                                                                                                                                                                                                                                                                                                                                                                                                                                                                                                                                                                                                                                                                                                                                                                                                                                                                                                                                                                                                                                                                                                                                                                                                                                                                                                                                                                                                                                                                                                                                                                                                                                                                                                                                                                                                                                                                                                                                                                                                | 11167       | 0.2                                                                                                                                                                                                                                                                                                                                                                                                                                                                                                                                                                                                                                                                                                                                                                                                                                                                                                                                                                                                                                                                                                                                                                                                                                                                                                                                                                                                                                                                                                                                                                                                                                                                                                                                                                                                                                                                                                                                                                                                                                                                                                                            |
| 346 元 原 名                                                                                                                                                                                                                                                                                                                                                                                                                                                                                                                                                                                                                                                                                                                                                                                                                                                                                                                                                                                                                                                                                                                                                                                                                                                                                                                                                                                                                                                                                                                                                                                                                                                                                                                                                                                                                                                                                                                                                                                                                                                                                                                    |                                                                                                                                                                                                                                                                                                                                                                                                                                                                                                                                                                                                                                                                                                                                                                                                                                                                                                                                                                                                                                                                                                                                                                                                                                                                                                                                                                                                                                                                                                                                                                                                                                                                                                                                                                                                                                                                                                                                                                                                                                                                                                                                |                 |                  | +              | <del></del>  | 3575                                                                                                                                                                                                                                                                                                                                                                                                                                                                                                                                                                                                                                                                                                                                                                                                                                                                                                                                                                                                                                                                                                                                                                                                                                                                                                                                                                                                                                                                                                                                                                                                                                                                                                                                                                                                                                                                                                                                                                                                                                                                                                                           |               | 4               | 1-98          | 79,986                                                                                                                                                                                                                                                                                                                                                                                                                                                                                                                                                                                                                                                                                                                                                                                                                                                                                                                                                                                                                                                                                                                                                                                                                                                                                                                                                                                                                                                                                                                                                                                                                                                                                                                                                                                                                                                                                                                                                                                                                                                                                                                         | 24 13       | 90                                                                                                                                                                                                                                                                                                                                                                                                                                                                                                                                                                                                                                                                                                                                                                                                                                                                                                                                                                                                                                                                                                                                                                                                                                                                                                                                                                                                                                                                                                                                                                                                                                                                                                                                                                                                                                                                                                                                                                                                                                                                                                                             |
| 150   20   15   15   15   15   15   15   15   1                                                                                                                                                                                                                                                                                                                                                                                                                                                                                                                                                                                                                                                                                                                                                                                                                                                                                                                                                                                                                                                                                                                                                                                                                                                                                                                                                                                                                                                                                                                                                                                                                                                                                                                                                                                                                                                                                                                                                                                                                                                                              |                                                                                                                                                                                                                                                                                                                                                                                                                                                                                                                                                                                                                                                                                                                                                                                                                                                                                                                                                                                                                                                                                                                                                                                                                                                                                                                                                                                                                                                                                                                                                                                                                                                                                                                                                                                                                                                                                                                                                                                                                                                                                                                                |                 |                  |                |              |                                                                                                                                                                                                                                                                                                                                                                                                                                                                                                                                                                                                                                                                                                                                                                                                                                                                                                                                                                                                                                                                                                                                                                                                                                                                                                                                                                                                                                                                                                                                                                                                                                                                                                                                                                                                                                                                                                                                                                                                                                                                                                                                |               |                 |               |                                                                                                                                                                                                                                                                                                                                                                                                                                                                                                                                                                                                                                                                                                                                                                                                                                                                                                                                                                                                                                                                                                                                                                                                                                                                                                                                                                                                                                                                                                                                                                                                                                                                                                                                                                                                                                                                                                                                                                                                                                                                                                                                |             |                                                                                                                                                                                                                                                                                                                                                                                                                                                                                                                                                                                                                                                                                                                                                                                                                                                                                                                                                                                                                                                                                                                                                                                                                                                                                                                                                                                                                                                                                                                                                                                                                                                                                                                                                                                                                                                                                                                                                                                                                                                                                                                                |
| 469   点注資素   01/01/92-31/12/02   0.50   0.025   0.025   0.025   0.025   0.025   0.025   0.025   0.025   0.025   0.025   0.025   0.025   0.025   0.025   0.025   0.025   0.025   0.025   0.025   0.025   0.025   0.025   0.025   0.025   0.025   0.025   0.025   0.025   0.025   0.025   0.025   0.025   0.025   0.025   0.025   0.025   0.025   0.025   0.025   0.025   0.025   0.025   0.025   0.025   0.025   0.025   0.025   0.025   0.025   0.025   0.025   0.025   0.025   0.025   0.025   0.025   0.025   0.025   0.025   0.025   0.025   0.025   0.025   0.025   0.025   0.025   0.025   0.025   0.025   0.025   0.025   0.025   0.025   0.025   0.025   0.025   0.025   0.025   0.025   0.025   0.025   0.025   0.025   0.025   0.025   0.025   0.025   0.025   0.025   0.025   0.025   0.025   0.025   0.025   0.025   0.025   0.025   0.025   0.025   0.025   0.025   0.025   0.025   0.025   0.025   0.025   0.025   0.025   0.025   0.025   0.025   0.025   0.025   0.025   0.025   0.025   0.025   0.025   0.025   0.025   0.025   0.025   0.025   0.025   0.025   0.025   0.025   0.025   0.025   0.025   0.025   0.025   0.025   0.025   0.025   0.025   0.025   0.025   0.025   0.025   0.025   0.025   0.025   0.025   0.025   0.025   0.025   0.025   0.025   0.025   0.025   0.025   0.025   0.025   0.025   0.025   0.025   0.025   0.025   0.025   0.025   0.025   0.025   0.025   0.025   0.025   0.025   0.025   0.025   0.025   0.025   0.025   0.025   0.025   0.025   0.025   0.025   0.025   0.025   0.025   0.025   0.025   0.025   0.025   0.025   0.025   0.025   0.025   0.025   0.025   0.025   0.025   0.025   0.025   0.025   0.025   0.025   0.025   0.025   0.025   0.025   0.025   0.025   0.025   0.025   0.025   0.025   0.025   0.025   0.025   0.025   0.025   0.025   0.025   0.025   0.025   0.025   0.025   0.025   0.025   0.025   0.025   0.025   0.025   0.025   0.025   0.025   0.025   0.025   0.025   0.025   0.025   0.025   0.025   0.025   0.025   0.025   0.025   0.025   0.025   0.025   0.025   0.025   0.025   0.025   0.025   0.025   0.025   0.025   0.025   0.   |                                                                                                                                                                                                                                                                                                                                                                                                                                                                                                                                                                                                                                                                                                                                                                                                                                                                                                                                                                                                                                                                                                                                                                                                                                                                                                                                                                                                                                                                                                                                                                                                                                                                                                                                                                                                                                                                                                                                                                                                                                                                                                                                |                 |                  |                | 027          | 027                                                                                                                                                                                                                                                                                                                                                                                                                                                                                                                                                                                                                                                                                                                                                                                                                                                                                                                                                                                                                                                                                                                                                                                                                                                                                                                                                                                                                                                                                                                                                                                                                                                                                                                                                                                                                                                                                                                                                                                                                                                                                                                            |               |                 | -             | 40,000                                                                                                                                                                                                                                                                                                                                                                                                                                                                                                                                                                                                                                                                                                                                                                                                                                                                                                                                                                                                                                                                                                                                                                                                                                                                                                                                                                                                                                                                                                                                                                                                                                                                                                                                                                                                                                                                                                                                                                                                                                                                                                                         |             | 1                                                                                                                                                                                                                                                                                                                                                                                                                                                                                                                                                                                                                                                                                                                                                                                                                                                                                                                                                                                                                                                                                                                                                                                                                                                                                                                                                                                                                                                                                                                                                                                                                                                                                                                                                                                                                                                                                                                                                                                                                                                                                                                              |
| 150 置地操等3   800   96.50   1810.00   1810.00   1810.00   1810.00   1810.00   1810.00   1810.00   1810.00   1810.00   1810.00   1810.00   1810.00   1810.00   1810.00   1810.00   1810.00   1810.00   1810.00   1810.00   1810.00   1810.00   1810.00   1810.00   1810.00   1810.00   1810.00   1810.00   1810.00   1810.00   1810.00   1810.00   1810.00   1810.00   1810.00   1810.00   1810.00   1810.00   1810.00   1810.00   1810.00   1810.00   1810.00   1810.00   1810.00   1810.00   1810.00   1810.00   1810.00   1810.00   1810.00   1810.00   1810.00   1810.00   1810.00   1810.00   1810.00   1810.00   1810.00   1810.00   1810.00   1810.00   1810.00   1810.00   1810.00   1810.00   1810.00   1810.00   1810.00   1810.00   1810.00   1810.00   1810.00   1810.00   1810.00   1810.00   1810.00   1810.00   1810.00   1810.00   1810.00   1810.00   1810.00   1810.00   1810.00   1810.00   1810.00   1810.00   1810.00   1810.00   1810.00   1810.00   1810.00   1810.00   1810.00   1810.00   1810.00   1810.00   1810.00   1810.00   1810.00   1810.00   1810.00   1810.00   1810.00   1810.00   1810.00   1810.00   1810.00   1810.00   1810.00   1810.00   1810.00   1810.00   1810.00   1810.00   1810.00   1810.00   1810.00   1810.00   1810.00   1810.00   1810.00   1810.00   1810.00   1810.00   1810.00   1810.00   1810.00   1810.00   1810.00   1810.00   1810.00   1810.00   1810.00   1810.00   1810.00   1810.00   1810.00   1810.00   1810.00   1810.00   1810.00   1810.00   1810.00   1810.00   1810.00   1810.00   1810.00   1810.00   1810.00   1810.00   1810.00   1810.00   1810.00   1810.00   1810.00   1810.00   1810.00   1810.00   1810.00   1810.00   1810.00   1810.00   1810.00   1810.00   1810.00   1810.00   1810.00   1810.00   1810.00   1810.00   1810.00   1810.00   1810.00   1810.00   1810.00   1810.00   1810.00   1810.00   1810.00   1810.00   1810.00   1810.00   1810.00   1810.00   1810.00   1810.00   1810.00   1810.00   1810.00   1810.00   1810.00   1810.00   1810.00   1810.00   1810.00   1810.00   1810.00   1810.00   1810.00   1810.00   1810.0   |                                                                                                                                                                                                                                                                                                                                                                                                                                                                                                                                                                                                                                                                                                                                                                                                                                                                                                                                                                                                                                                                                                                                                                                                                                                                                                                                                                                                                                                                                                                                                                                                                                                                                                                                                                                                                                                                                                                                                                                                                                                                                                                                |                 | <del>_</del> _ · |                | _            |                                                                                                                                                                                                                                                                                                                                                                                                                                                                                                                                                                                                                                                                                                                                                                                                                                                                                                                                                                                                                                                                                                                                                                                                                                                                                                                                                                                                                                                                                                                                                                                                                                                                                                                                                                                                                                                                                                                                                                                                                                                                                                                                | . <del></del> |                 |               | + 500,000                                                                                                                                                                                                                                                                                                                                                                                                                                                                                                                                                                                                                                                                                                                                                                                                                                                                                                                                                                                                                                                                                                                                                                                                                                                                                                                                                                                                                                                                                                                                                                                                                                                                                                                                                                                                                                                                                                                                                                                                                                                                                                                      |             | 4                                                                                                                                                                                                                                                                                                                                                                                                                                                                                                                                                                                                                                                                                                                                                                                                                                                                                                                                                                                                                                                                                                                                                                                                                                                                                                                                                                                                                                                                                                                                                                                                                                                                                                                                                                                                                                                                                                                                                                                                                                                                                                                              |
| 代號 公司名稱 息率 上日敬布 最惠 最低 收市 升款 升款次序 成交量 现價息<br>(大號 公司名稱 息率 上日敬布 最惠 最低 收市 升款 升款次序 成交量 现價息<br>(大號 公司名稱 息                                                                                                                                                                                                                                                                                                                                                                                                                                                                                                                                                                                                                                                                                                                                                                                                                                                                                                                                                                                                                                                                                                                                                                                                                                                                                                                                                                                                                                                                                                                                                                                                                                                                                                                                                                                                                                                                                                                                                                                                                          |                                                                                                                                                                                                                                                                                                                                                                                                                                                                                                                                                                                                                                                                                                                                                                                                                                                                                                                                                                                                                                                                                                                                                                                                                                                                                                                                                                                                                                                                                                                                                                                                                                                                                                                                                                                                                                                                                                                                                                                                                                                                                                                                |                 |                  | 0 025          | 0.025        | 0 025                                                                                                                                                                                                                                                                                                                                                                                                                                                                                                                                                                                                                                                                                                                                                                                                                                                                                                                                                                                                                                                                                                                                                                                                                                                                                                                                                                                                                                                                                                                                                                                                                                                                                                                                                                                                                                                                                                                                                                                                                                                                                                                          | 0 025         | <u></u>         |               | 1,500 000                                                                                                                                                                                                                                                                                                                                                                                                                                                                                                                                                                                                                                                                                                                                                                                                                                                                                                                                                                                                                                                                                                                                                                                                                                                                                                                                                                                                                                                                                                                                                                                                                                                                                                                                                                                                                                                                                                                                                                                                                                                                                                                      | 01/0        | + *                                                                                                                                                                                                                                                                                                                                                                                                                                                                                                                                                                                                                                                                                                                                                                                                                                                                                                                                                                                                                                                                                                                                                                                                                                                                                                                                                                                                                                                                                                                                                                                                                                                                                                                                                                                                                                                                                                                                                                                                                                                                                                                            |
| 代號 全司名稱 息率 上日枝市 最高 最低 收市 升款 升款次序 成交量 现價息  150 置地價条93 8 00 96.50 — 96.50 — 96.50 — 8 29  471 法國東方條價条93 9.00 1800.00 1810.00 1810.00 1810.00 +10.00 +84 100 9.94  466 法國東方條價条93 4.00 — 93.00 — 93.00 — 672  477 排下銀路資券95 6 25 93.00 — 93.00 — 672  477 排下銀路資券95 6 25 93.00 — 91.50 — 91.50 — 7.63  354 Panbas於價条92 10.00 131.00 — 131.00 — 155.50 55.50 55.50 +1.50 +1.9 10.000 7.21                                                                                                                                                                                                                                                                                                                                                                                                                                                                                                                                                                                                                                                                                                                                                                                                                                                                                                                                                                                                                                                                                                                                                                                                                                                                                                                                                                                                                                                                                                                                                                                                                                                                                                                                           |                                                                                                                                                                                                                                                                                                                                                                                                                                                                                                                                                                                                                                                                                                                                                                                                                                                                                                                                                                                                                                                                                                                                                                                                                                                                                                                                                                                                                                                                                                                                                                                                                                                                                                                                                                                                                                                                                                                                                                                                                                                                                                                                |                 |                  |                |              |                                                                                                                                                                                                                                                                                                                                                                                                                                                                                                                                                                                                                                                                                                                                                                                                                                                                                                                                                                                                                                                                                                                                                                                                                                                                                                                                                                                                                                                                                                                                                                                                                                                                                                                                                                                                                                                                                                                                                                                                                                                                                                                                |               |                 | -             |                                                                                                                                                                                                                                                                                                                                                                                                                                                                                                                                                                                                                                                                                                                                                                                                                                                                                                                                                                                                                                                                                                                                                                                                                                                                                                                                                                                                                                                                                                                                                                                                                                                                                                                                                                                                                                                                                                                                                                                                                                                                                                                                |             |                                                                                                                                                                                                                                                                                                                                                                                                                                                                                                                                                                                                                                                                                                                                                                                                                                                                                                                                                                                                                                                                                                                                                                                                                                                                                                                                                                                                                                                                                                                                                                                                                                                                                                                                                                                                                                                                                                                                                                                                                                                                                                                                |
| 代號 全司名稱 息率 上日枝市 最高 最低 收市 升款 升款次序 成交量 现價息  150 置地價条93 8 00 96.50 — 96.50 — 96.50 — 8 29  471 法國東方條價条93 9.00 1800.00 1810.00 1810.00 1810.00 +10.00 +84 100 9.94  466 法國東方條價条93 4.00 — 93.00 — 93.00 — 672  477 排下銀路資券95 6 25 93.00 — 93.00 — 672  477 排下銀路資券95 6 25 93.00 — 91.50 — 91.50 — 7.63  354 Panbas於價条92 10.00 131.00 — 131.00 — 155.50 55.50 55.50 +1.50 +1.9 10.000 7.21                                                                                                                                                                                                                                                                                                                                                                                                                                                                                                                                                                                                                                                                                                                                                                                                                                                                                                                                                                                                                                                                                                                                                                                                                                                                                                                                                                                                                                                                                                                                                                                                                                                                                                                                           |                                                                                                                                                                                                                                                                                                                                                                                                                                                                                                                                                                                                                                                                                                                                                                                                                                                                                                                                                                                                                                                                                                                                                                                                                                                                                                                                                                                                                                                                                                                                                                                                                                                                                                                                                                                                                                                                                                                                                                                                                                                                                                                                |                 |                  | <del>- </del>  | <del></del>  |                                                                                                                                                                                                                                                                                                                                                                                                                                                                                                                                                                                                                                                                                                                                                                                                                                                                                                                                                                                                                                                                                                                                                                                                                                                                                                                                                                                                                                                                                                                                                                                                                                                                                                                                                                                                                                                                                                                                                                                                                                                                                                                                |               |                 |               |                                                                                                                                                                                                                                                                                                                                                                                                                                                                                                                                                                                                                                                                                                                                                                                                                                                                                                                                                                                                                                                                                                                                                                                                                                                                                                                                                                                                                                                                                                                                                                                                                                                                                                                                                                                                                                                                                                                                                                                                                                                                                                                                |             |                                                                                                                                                                                                                                                                                                                                                                                                                                                                                                                                                                                                                                                                                                                                                                                                                                                                                                                                                                                                                                                                                                                                                                                                                                                                                                                                                                                                                                                                                                                                                                                                                                                                                                                                                                                                                                                                                                                                                                                                                                                                                                                                |
| 代號 公司名稱 息率 上日收市 最高 最低 收市 升款 升款次序 成交量 现價息  150 置地債等93 8 00 96.50 — 96.50 8 29  471 法國東方院債等93 9.00 1800.00 1810.00 1810 00 1810 00 +10 00 +84 100 9 94  466 法國東方共債等93 4.00 96.50 — 93.00 — 672  477 非銀路債等95 6 25 93.00 — 93.00 — 672  477 日本語の事業を持備等92 7.00 91.50 — 91.50 — 131.00 — 7.63  354 Panbas除債等92 10.00 131.00 — 131.00 — 155.50 55.50 55.50 +150 +19 10.000 7.21                                                                                                                                                                                                                                                                                                                                                                                                                                                                                                                                                                                                                                                                                                                                                                                                                                                                                                                                                                                                                                                                                                                                                                                                                                                                                                                                                                                                                                                                                                                                                                                                                                                                                                                                                     |                                                                                                                                                                                                                                                                                                                                                                                                                                                                                                                                                                                                                                                                                                                                                                                                                                                                                                                                                                                                                                                                                                                                                                                                                                                                                                                                                                                                                                                                                                                                                                                                                                                                                                                                                                                                                                                                                                                                                                                                                                                                                                                                |                 |                  |                |              |                                                                                                                                                                                                                                                                                                                                                                                                                                                                                                                                                                                                                                                                                                                                                                                                                                                                                                                                                                                                                                                                                                                                                                                                                                                                                                                                                                                                                                                                                                                                                                                                                                                                                                                                                                                                                                                                                                                                                                                                                                                                                                                                |               |                 |               |                                                                                                                                                                                                                                                                                                                                                                                                                                                                                                                                                                                                                                                                                                                                                                                                                                                                                                                                                                                                                                                                                                                                                                                                                                                                                                                                                                                                                                                                                                                                                                                                                                                                                                                                                                                                                                                                                                                                                                                                                                                                                                                                |             | ,                                                                                                                                                                                                                                                                                                                                                                                                                                                                                                                                                                                                                                                                                                                                                                                                                                                                                                                                                                                                                                                                                                                                                                                                                                                                                                                                                                                                                                                                                                                                                                                                                                                                                                                                                                                                                                                                                                                                                                                                                                                                                                                              |
| 代號 公司名稱 息率 上日收市 最高 最低 收市 升款 升款次序 成交量 现價息  150 置地價条93 8 00 96.50 — 96.50 — 96.50 — 8 29  471 法国東方院價条93 9.00 1800.00 1810.00 1810.00 1810.00 +10.00 +84 100 9.94  466 法國東方經價条93 4.00 — 93.00 — 6.72  477 非銀路(条95 6 25 93.00 — 93.00 — 6.72  477 Paribas生程價条92 7.00 91.50 — 91.50 — 7.63  354 Panibas於價条92 10.00 131.00 — 131.00 — 155.50 55.50 55.50 +1.50 +1.9 10.000 7.21                                                                                                                                                                                                                                                                                                                                                                                                                                                                                                                                                                                                                                                                                                                                                                                                                                                                                                                                                                                                                                                                                                                                                                                                                                                                                                                                                                                                                                                                                                                                                                                                                                                                                                                                                    |                                                                                                                                                                                                                                                                                                                                                                                                                                                                                                                                                                                                                                                                                                                                                                                                                                                                                                                                                                                                                                                                                                                                                                                                                                                                                                                                                                                                                                                                                                                                                                                                                                                                                                                                                                                                                                                                                                                                                                                                                                                                                                                                |                 |                  |                |              | <u> </u>                                                                                                                                                                                                                                                                                                                                                                                                                                                                                                                                                                                                                                                                                                                                                                                                                                                                                                                                                                                                                                                                                                                                                                                                                                                                                                                                                                                                                                                                                                                                                                                                                                                                                                                                                                                                                                                                                                                                                                                                                                                                                                                       |               |                 |               |                                                                                                                                                                                                                                                                                                                                                                                                                                                                                                                                                                                                                                                                                                                                                                                                                                                                                                                                                                                                                                                                                                                                                                                                                                                                                                                                                                                                                                                                                                                                                                                                                                                                                                                                                                                                                                                                                                                                                                                                                                                                                                                                |             |                                                                                                                                                                                                                                                                                                                                                                                                                                                                                                                                                                                                                                                                                                                                                                                                                                                                                                                                                                                                                                                                                                                                                                                                                                                                                                                                                                                                                                                                                                                                                                                                                                                                                                                                                                                                                                                                                                                                                                                                                                                                                                                                |
| 代数 公司各権   泉本   上日牧市   最高   東本   東本   大元の   八元の   八   |                                                                                                                                                                                                                                                                                                                                                                                                                                                                                                                                                                                                                                                                                                                                                                                                                                                                                                                                                                                                                                                                                                                                                                                                                                                                                                                                                                                                                                                                                                                                                                                                                                                                                                                                                                                                                                                                                                                                                                                                                                                                                                                                |                 | - '              |                |              |                                                                                                                                                                                                                                                                                                                                                                                                                                                                                                                                                                                                                                                                                                                                                                                                                                                                                                                                                                                                                                                                                                                                                                                                                                                                                                                                                                                                                                                                                                                                                                                                                                                                                                                                                                                                                                                                                                                                                                                                                                                                                                                                |               |                 |               |                                                                                                                                                                                                                                                                                                                                                                                                                                                                                                                                                                                                                                                                                                                                                                                                                                                                                                                                                                                                                                                                                                                                                                                                                                                                                                                                                                                                                                                                                                                                                                                                                                                                                                                                                                                                                                                                                                                                                                                                                                                                                                                                |             | _                                                                                                                                                                                                                                                                                                                                                                                                                                                                                                                                                                                                                                                                                                                                                                                                                                                                                                                                                                                                                                                                                                                                                                                                                                                                                                                                                                                                                                                                                                                                                                                                                                                                                                                                                                                                                                                                                                                                                                                                                                                                                                                              |
| (大き 公司各権   泉本   上日牧市   最高   東本   東本   大田牧市   大田和田   大田   |                                                                                                                                                                                                                                                                                                                                                                                                                                                                                                                                                                                                                                                                                                                                                                                                                                                                                                                                                                                                                                                                                                                                                                                                                                                                                                                                                                                                                                                                                                                                                                                                                                                                                                                                                                                                                                                                                                                                                                                                                                                                                                                                |                 |                  |                |              |                                                                                                                                                                                                                                                                                                                                                                                                                                                                                                                                                                                                                                                                                                                                                                                                                                                                                                                                                                                                                                                                                                                                                                                                                                                                                                                                                                                                                                                                                                                                                                                                                                                                                                                                                                                                                                                                                                                                                                                                                                                                                                                                |               |                 |               |                                                                                                                                                                                                                                                                                                                                                                                                                                                                                                                                                                                                                                                                                                                                                                                                                                                                                                                                                                                                                                                                                                                                                                                                                                                                                                                                                                                                                                                                                                                                                                                                                                                                                                                                                                                                                                                                                                                                                                                                                                                                                                                                | 1           |                                                                                                                                                                                                                                                                                                                                                                                                                                                                                                                                                                                                                                                                                                                                                                                                                                                                                                                                                                                                                                                                                                                                                                                                                                                                                                                                                                                                                                                                                                                                                                                                                                                                                                                                                                                                                                                                                                                                                                                                                                                                                                                                |
| (大き 公司名称   泉本   上日牧市   最高   東本   東本   大田牧市   大田牧市   東本   東本   東本   東本   東本   東本   東本   東                                                                                                                                                                                                                                                                                                                                                                                                                                                                                                                                                                                                                                                                                                                                                                                                                                                                                                                                                                                                                                                                                                                                                                                                                                                                                                                                                                                                                                                                                                                                                                                                                                                                                                                                                                                                                                                                                                 |                                                                                                                                                                                                                                                                                                                                                                                                                                                                                                                                                                                                                                                                                                                                                                                                                                                                                                                                                                                                                                                                                                                                                                                                                                                                                                                                                                                                                                                                                                                                                                                                                                                                                                                                                                                                                                                                                                                                                                                                                                                                                                                                |                 |                  |                |              |                                                                                                                                                                                                                                                                                                                                                                                                                                                                                                                                                                                                                                                                                                                                                                                                                                                                                                                                                                                                                                                                                                                                                                                                                                                                                                                                                                                                                                                                                                                                                                                                                                                                                                                                                                                                                                                                                                                                                                                                                                                                                                                                |               |                 | -             |                                                                                                                                                                                                                                                                                                                                                                                                                                                                                                                                                                                                                                                                                                                                                                                                                                                                                                                                                                                                                                                                                                                                                                                                                                                                                                                                                                                                                                                                                                                                                                                                                                                                                                                                                                                                                                                                                                                                                                                                                                                                                                                                |             |                                                                                                                                                                                                                                                                                                                                                                                                                                                                                                                                                                                                                                                                                                                                                                                                                                                                                                                                                                                                                                                                                                                                                                                                                                                                                                                                                                                                                                                                                                                                                                                                                                                                                                                                                                                                                                                                                                                                                                                                                                                                                                                                |
| (大き 公司各権   泉本   上日牧市   最高   東本   東本   大田牧市   大田和田   大田   |                                                                                                                                                                                                                                                                                                                                                                                                                                                                                                                                                                                                                                                                                                                                                                                                                                                                                                                                                                                                                                                                                                                                                                                                                                                                                                                                                                                                                                                                                                                                                                                                                                                                                                                                                                                                                                                                                                                                                                                                                                                                                                                                |                 |                  |                |              |                                                                                                                                                                                                                                                                                                                                                                                                                                                                                                                                                                                                                                                                                                                                                                                                                                                                                                                                                                                                                                                                                                                                                                                                                                                                                                                                                                                                                                                                                                                                                                                                                                                                                                                                                                                                                                                                                                                                                                                                                                                                                                                                |               |                 |               |                                                                                                                                                                                                                                                                                                                                                                                                                                                                                                                                                                                                                                                                                                                                                                                                                                                                                                                                                                                                                                                                                                                                                                                                                                                                                                                                                                                                                                                                                                                                                                                                                                                                                                                                                                                                                                                                                                                                                                                                                                                                                                                                |             | - \ <del>- \ - \ - \ - \ - \ - \ - \ - \ - \</del>                                                                                                                                                                                                                                                                                                                                                                                                                                                                                                                                                                                                                                                                                                                                                                                                                                                                                                                                                                                                                                                                                                                                                                                                                                                                                                                                                                                                                                                                                                                                                                                                                                                                                                                                                                                                                                                                                                                                                                                                                                                                             |
| (大き 公司名称   泉本   上日牧市   最高   東本   東本   大田牧市   大田牧市   大田牧市   最高   東本   大田牧市   大田和田     |                                                                                                                                                                                                                                                                                                                                                                                                                                                                                                                                                                                                                                                                                                                                                                                                                                                                                                                                                                                                                                                                                                                                                                                                                                                                                                                                                                                                                                                                                                                                                                                                                                                                                                                                                                                                                                                                                                                                                                                                                                                                                                                                |                 |                  |                |              |                                                                                                                                                                                                                                                                                                                                                                                                                                                                                                                                                                                                                                                                                                                                                                                                                                                                                                                                                                                                                                                                                                                                                                                                                                                                                                                                                                                                                                                                                                                                                                                                                                                                                                                                                                                                                                                                                                                                                                                                                                                                                                                                |               |                 |               |                                                                                                                                                                                                                                                                                                                                                                                                                                                                                                                                                                                                                                                                                                                                                                                                                                                                                                                                                                                                                                                                                                                                                                                                                                                                                                                                                                                                                                                                                                                                                                                                                                                                                                                                                                                                                                                                                                                                                                                                                                                                                                                                | 1-          | 1                                                                                                                                                                                                                                                                                                                                                                                                                                                                                                                                                                                                                                                                                                                                                                                                                                                                                                                                                                                                                                                                                                                                                                                                                                                                                                                                                                                                                                                                                                                                                                                                                                                                                                                                                                                                                                                                                                                                                                                                                                                                                                                              |
| 代数 公司名称 息率 上日収前 収高 収定 200 200 200 200 200 200 200 200 200 20                                                                                                                                                                                                                                                                                                                                                                                                                                                                                                                                                                                                                                                                                                                                                                                                                                                                                                                                                                                                                                                                                                                                                                                                                                                                                                                                                                                                                                                                                                                                                                                                                                                                                                                                                                                                                                                                                                                                                                                                                                                                 |                                                                                                                                                                                                                                                                                                                                                                                                                                                                                                                                                                                                                                                                                                                                                                                                                                                                                                                                                                                                                                                                                                                                                                                                                                                                                                                                                                                                                                                                                                                                                                                                                                                                                                                                                                                                                                                                                                                                                                                                                                                                                                                                |                 |                  | 2.41           | <b>B</b> (4) |                                                                                                                                                                                                                                                                                                                                                                                                                                                                                                                                                                                                                                                                                                                                                                                                                                                                                                                                                                                                                                                                                                                                                                                                                                                                                                                                                                                                                                                                                                                                                                                                                                                                                                                                                                                                                                                                                                                                                                                                                                                                                                                                |               | <del>7</del> +2 | 7             | 升跌次序 成                                                                                                                                                                                                                                                                                                                                                                                                                                                                                                                                                                                                                                                                                                                                                                                                                                                                                                                                                                                                                                                                                                                                                                                                                                                                                                                                                                                                                                                                                                                                                                                                                                                                                                                                                                                                                                                                                                                                                                                                                                                                                                                         | 交量          | 現價息                                                                                                                                                                                                                                                                                                                                                                                                                                                                                                                                                                                                                                                                                                                                                                                                                                                                                                                                                                                                                                                                                                                                                                                                                                                                                                                                                                                                                                                                                                                                                                                                                                                                                                                                                                                                                                                                                                                                                                                                                                                                                                                            |
| 150 置地債条93   8 00   96.50   -   96.50   -   96.50   -   99.50   -   99.50   -   99.50   -   99.50   -   99.50   -   99.50   -   99.50   -   99.50   -   99.50   -   99.50   -   99.50   -   99.50   -   99.50   -   99.50   -   99.50   -   99.50   -   99.50   -   99.50   -   99.50   -   99.50   -   99.50   -   99.50   -   99.50   -   99.50   -   99.50   -   99.50   -   99.50   -   99.50   -   99.50   -   99.50   -   99.50   -   99.50   -   99.50   -   99.50   -   99.50   -   99.50   -   99.50   -   99.50   -   99.50   -   99.50   -   99.50   -   99.50   -   99.50   -   99.50   -   99.50   -   99.50   -   99.50   -   99.50   -   99.50   -   99.50   -   99.50   -   99.50   -   99.50   -   99.50   -   99.50   -   99.50   -   99.50   -   99.50   -   99.50   -   99.50   -   99.50   -   99.50   -   99.50   -   99.50   -   99.50   -   99.50   -   99.50   -   99.50   -   99.50   -   99.50   -   99.50   -   99.50   -   99.50   -   99.50   -   99.50   -   99.50   -   99.50   -   99.50   -   99.50   -   99.50   -   99.50   -   99.50   -   99.50   -   99.50   -   99.50   -   99.50   -   99.50   -   99.50   -   99.50   -   99.50   -   99.50   -   99.50   -   99.50   -   99.50   -   99.50   -   99.50   -   99.50   -   99.50   -   99.50   -   99.50   -   99.50   -   99.50   -   99.50   -   99.50   -   99.50   -   99.50   -   99.50   -   99.50   -   99.50   -   99.50   -   99.50   -   99.50   -   99.50   -   99.50   -   99.50   -   99.50   -   99.50   -   99.50   -   99.50   -   99.50   -   99.50   -   99.50   -   99.50   -   99.50   -   99.50   -   99.50   -   99.50   -   99.50   -   99.50   -   99.50   -   99.50   -     99.50   -     99.50   -     99.50   -     99.50   -     99.50   -     99.50   -     99.50   -     99.50   -     99.50   -     99.50   -     99.50   -     99.50   -     99.50   -     99.50   -     99.50   -     99.50   -     99.50   -     99.50   -     99.50   -     99.50   -     99.50   -     99.50   -     99.50   -     99.50   -     99.50   -     99.50   -     99.50   -     99.50   -     99.50   -     99.50    | 代號 公                                                                                                                                                                                                                                                                                                                                                                                                                                                                                                                                                                                                                                                                                                                                                                                                                                                                                                                                                                                                                                                                                                                                                                                                                                                                                                                                                                                                                                                                                                                                                                                                                                                                                                                                                                                                                                                                                                                                                                                                                                                                                                                           | 司名稱 息率          |                  |                | RIG)         |                                                                                                                                                                                                                                                                                                                                                                                                                                                                                                                                                                                                                                                                                                                                                                                                                                                                                                                                                                                                                                                                                                                                                                                                                                                                                                                                                                                                                                                                                                                                                                                                                                                                                                                                                                                                                                                                                                                                                                                                                                                                                                                                | 12.11         | 712             | ·             | 7,000                                                                                                                                                                                                                                                                                                                                                                                                                                                                                                                                                                                                                                                                                                                                                                                                                                                                                                                                                                                                                                                                                                                                                                                                                                                                                                                                                                                                                                                                                                                                                                                                                                                                                                                                                                                                                                                                                                                                                                                                                                                                                                                          | ,           |                                                                                                                                                                                                                                                                                                                                                                                                                                                                                                                                                                                                                                                                                                                                                                                                                                                                                                                                                                                                                                                                                                                                                                                                                                                                                                                                                                                                                                                                                                                                                                                                                                                                                                                                                                                                                                                                                                                                                                                                                                                                                                                                |
| 150 置地積条93       8 00       96.50       —       96.50       —       96.50       —       99.50       —       100       99.4         471 法國東方院債券93       9.00       1810.00       1810.00       +10.00       +84       100       99.4         466 法國東方牛債券93       4.00       —       93.00       —       —       6.72         477 排下鐵路債券95       6.25       93.00       —       91.50       —       7.63         425 Paribas生振債券92       7.00       91.50       —       131.00       —       7.63         354 Paribas集債券92       10.00       131.00       —       —       131.00       —       +150       +19       10.000       7.23         1/7 Paribas生債券92       4.00       54.00       55.50       55.00       55.50       +150       +19       10.000       7.23                                                                                                                                                                                                                                                                                                                                                                                                                                                                                                                                                                                                                                                                                                                                                                                                                                                                                                                                                                                                                                                                                                                                                                                                                                                                                                                                                         | - 4                                                                                                                                                                                                                                                                                                                                                                                                                                                                                                                                                                                                                                                                                                                                                                                                                                                                                                                                                                                                                                                                                                                                                                                                                                                                                                                                                                                                                                                                                                                                                                                                                                                                                                                                                                                                                                                                                                                                                                                                                                                                                                                            | <del>上</del>    |                  |                |              |                                                                                                                                                                                                                                                                                                                                                                                                                                                                                                                                                                                                                                                                                                                                                                                                                                                                                                                                                                                                                                                                                                                                                                                                                                                                                                                                                                                                                                                                                                                                                                                                                                                                                                                                                                                                                                                                                                                                                                                                                                                                                                                                |               |                 |               |                                                                                                                                                                                                                                                                                                                                                                                                                                                                                                                                                                                                                                                                                                                                                                                                                                                                                                                                                                                                                                                                                                                                                                                                                                                                                                                                                                                                                                                                                                                                                                                                                                                                                                                                                                                                                                                                                                                                                                                                                                                                                                                                |             |                                                                                                                                                                                                                                                                                                                                                                                                                                                                                                                                                                                                                                                                                                                                                                                                                                                                                                                                                                                                                                                                                                                                                                                                                                                                                                                                                                                                                                                                                                                                                                                                                                                                                                                                                                                                                                                                                                                                                                                                                                                                                                                                |
| 130 國地傳來93     9.00     1800.00     1810.00     1810.00     1810.00     +10.00     +84       471 法國東方院債券93     4.00     -     93.00     -     93.00     -     6.72       477 排下鐵路債券95     6.25     93.00     -     91.50     -     7.65       425 Paribas生態債券92     7.00     91.50     -     131.00     -     7.63       354 Paribas能債券92     10.00     131.00     -     -     131.00     -     +1.50     +1.9     10.000     7.25       1/7 Paribas牛債券92     4.00     54.00     55.50     55.00     55.50     +1.50     +1.9     10.000     7.25                                                                                                                                                                                                                                                                                                                                                                                                                                                                                                                                                                                                                                                                                                                                                                                                                                                                                                                                                                                                                                                                                                                                                                                                                                                                                                                                                                                                                                                                                                                                                                            |                                                                                                                                                                                                                                                                                                                                                                                                                                                                                                                                                                                                                                                                                                                                                                                                                                                                                                                                                                                                                                                                                                                                                                                                                                                                                                                                                                                                                                                                                                                                                                                                                                                                                                                                                                                                                                                                                                                                                                                                                                                                                                                                |                 | 96.              | 50             |              |                                                                                                                                                                                                                                                                                                                                                                                                                                                                                                                                                                                                                                                                                                                                                                                                                                                                                                                                                                                                                                                                                                                                                                                                                                                                                                                                                                                                                                                                                                                                                                                                                                                                                                                                                                                                                                                                                                                                                                                                                                                                                                                                | 96 50         | -               |               |                                                                                                                                                                                                                                                                                                                                                                                                                                                                                                                                                                                                                                                                                                                                                                                                                                                                                                                                                                                                                                                                                                                                                                                                                                                                                                                                                                                                                                                                                                                                                                                                                                                                                                                                                                                                                                                                                                                                                                                                                                                                                                                                | 100         |                                                                                                                                                                                                                                                                                                                                                                                                                                                                                                                                                                                                                                                                                                                                                                                                                                                                                                                                                                                                                                                                                                                                                                                                                                                                                                                                                                                                                                                                                                                                                                                                                                                                                                                                                                                                                                                                                                                                                                                                                                                                                                                                |
| 466 法國東方牛債券93       4.00       -       93 00       -       6 72         477 排下銀路債券95       6 25       93 00       -       91.50       -       7 65         425 Paribas性指債券92       7 00       91.50       -       131 00       -       7.63         354 Paribas能債券92       10.00       131 00       -       131 00       -       + 150       + 19       10 000       7 25         1/7 Paribas性債券92       4 00       54 00       55.50       55 00       55.50       + 1 50       + 19       10 000       7 25                                                                                                                                                                                                                                                                                                                                                                                                                                                                                                                                                                                                                                                                                                                                                                                                                                                                                                                                                                                                                                                                                                                                                                                                                                                                                                                                                                                                                                                                                                                                                                                                                | 150 直12例が93                                                                                                                                                                                                                                                                                                                                                                                                                                                                                                                                                                                                                                                                                                                                                                                                                                                                                                                                                                                                                                                                                                                                                                                                                                                                                                                                                                                                                                                                                                                                                                                                                                                                                                                                                                                                                                                                                                                                                                                                                                                                                                                    |                 |                  |                | 10.00        | 1810.00                                                                                                                                                                                                                                                                                                                                                                                                                                                                                                                                                                                                                                                                                                                                                                                                                                                                                                                                                                                                                                                                                                                                                                                                                                                                                                                                                                                                                                                                                                                                                                                                                                                                                                                                                                                                                                                                                                                                                                                                                                                                                                                        | 1810 00       | +10.00          | -             | +B4                                                                                                                                                                                                                                                                                                                                                                                                                                                                                                                                                                                                                                                                                                                                                                                                                                                                                                                                                                                                                                                                                                                                                                                                                                                                                                                                                                                                                                                                                                                                                                                                                                                                                                                                                                                                                                                                                                                                                                                                                                                                                                                            | 100         | 9 94                                                                                                                                                                                                                                                                                                                                                                                                                                                                                                                                                                                                                                                                                                                                                                                                                                                                                                                                                                                                                                                                                                                                                                                                                                                                                                                                                                                                                                                                                                                                                                                                                                                                                                                                                                                                                                                                                                                                                                                                                                                                                                                           |
| 477 地下鐵路債券95     6 25     93 00     -     91.50     -     7 65       425 Paribas生抵債券92     7 00     91.50     -     -     131 00     -     7.63       354 Paribas集債券92     10.00     131 00     -     -     131 00     -     +150     +19     10 000     7 21       1/7 Paribas生債券92     4 00     54 00     55.50     55.50     55.50     +1 50     +19     10 000     7 21                                                                                                                                                                                                                                                                                                                                                                                                                                                                                                                                                                                                                                                                                                                                                                                                                                                                                                                                                                                                                                                                                                                                                                                                                                                                                                                                                                                                                                                                                                                                                                                                                                                                                                                                                  |                                                                                                                                                                                                                                                                                                                                                                                                                                                                                                                                                                                                                                                                                                                                                                                                                                                                                                                                                                                                                                                                                                                                                                                                                                                                                                                                                                                                                                                                                                                                                                                                                                                                                                                                                                                                                                                                                                                                                                                                                                                                                                                                |                 |                  |                |              |                                                                                                                                                                                                                                                                                                                                                                                                                                                                                                                                                                                                                                                                                                                                                                                                                                                                                                                                                                                                                                                                                                                                                                                                                                                                                                                                                                                                                                                                                                                                                                                                                                                                                                                                                                                                                                                                                                                                                                                                                                                                                                                                |               |                 |               |                                                                                                                                                                                                                                                                                                                                                                                                                                                                                                                                                                                                                                                                                                                                                                                                                                                                                                                                                                                                                                                                                                                                                                                                                                                                                                                                                                                                                                                                                                                                                                                                                                                                                                                                                                                                                                                                                                                                                                                                                                                                                                                                |             | 6.72                                                                                                                                                                                                                                                                                                                                                                                                                                                                                                                                                                                                                                                                                                                                                                                                                                                                                                                                                                                                                                                                                                                                                                                                                                                                                                                                                                                                                                                                                                                                                                                                                                                                                                                                                                                                                                                                                                                                                                                                                                                                                                                           |
| 425 Paribas性振債券92     7 00     91.50     - 131 00     - 131 00       354 Paribas能債券92     10.00     131 00     - 131 00     + 150     + 19       1/7 Paribas性債券92     4 00     54 00     55.50     55.50     + 150     + 19     10 000     7 21                                                                                                                                                                                                                                                                                                                                                                                                                                                                                                                                                                                                                                                                                                                                                                                                                                                                                                                                                                                                                                                                                                                                                                                                                                                                                                                                                                                                                                                                                                                                                                                                                                                                                                                                                                                                                                                                              |                                                                                                                                                                                                                                                                                                                                                                                                                                                                                                                                                                                                                                                                                                                                                                                                                                                                                                                                                                                                                                                                                                                                                                                                                                                                                                                                                                                                                                                                                                                                                                                                                                                                                                                                                                                                                                                                                                                                                                                                                                                                                                                                | 71              | 93               |                |              |                                                                                                                                                                                                                                                                                                                                                                                                                                                                                                                                                                                                                                                                                                                                                                                                                                                                                                                                                                                                                                                                                                                                                                                                                                                                                                                                                                                                                                                                                                                                                                                                                                                                                                                                                                                                                                                                                                                                                                                                                                                                                                                                |               |                 |               |                                                                                                                                                                                                                                                                                                                                                                                                                                                                                                                                                                                                                                                                                                                                                                                                                                                                                                                                                                                                                                                                                                                                                                                                                                                                                                                                                                                                                                                                                                                                                                                                                                                                                                                                                                                                                                                                                                                                                                                                                                                                                                                                |             | 7 65                                                                                                                                                                                                                                                                                                                                                                                                                                                                                                                                                                                                                                                                                                                                                                                                                                                                                                                                                                                                                                                                                                                                                                                                                                                                                                                                                                                                                                                                                                                                                                                                                                                                                                                                                                                                                                                                                                                                                                                                                                                                                                                           |
| 354 Panbas熊俑券92     10.00     131 00     —     150 00     150 00     7 25       1/7 Paribas牛債券92     4 00     54 00     55.50     55.50     +1 50     +19     10 000     7 25                                                                                                                                                                                                                                                                                                                                                                                                                                                                                                                                                                                                                                                                                                                                                                                                                                                                                                                                                                                                                                                                                                                                                                                                                                                                                                                                                                                                                                                                                                                                                                                                                                                                                                                                                                                                                                                                                                                                                |                                                                                                                                                                                                                                                                                                                                                                                                                                                                                                                                                                                                                                                                                                                                                                                                                                                                                                                                                                                                                                                                                                                                                                                                                                                                                                                                                                                                                                                                                                                                                                                                                                                                                                                                                                                                                                                                                                                                                                                                                                                                                                                                |                 | 91.              |                |              |                                                                                                                                                                                                                                                                                                                                                                                                                                                                                                                                                                                                                                                                                                                                                                                                                                                                                                                                                                                                                                                                                                                                                                                                                                                                                                                                                                                                                                                                                                                                                                                                                                                                                                                                                                                                                                                                                                                                                                                                                                                                                                                                |               |                 |               |                                                                                                                                                                                                                                                                                                                                                                                                                                                                                                                                                                                                                                                                                                                                                                                                                                                                                                                                                                                                                                                                                                                                                                                                                                                                                                                                                                                                                                                                                                                                                                                                                                                                                                                                                                                                                                                                                                                                                                                                                                                                                                                                |             | 7.63                                                                                                                                                                                                                                                                                                                                                                                                                                                                                                                                                                                                                                                                                                                                                                                                                                                                                                                                                                                                                                                                                                                                                                                                                                                                                                                                                                                                                                                                                                                                                                                                                                                                                                                                                                                                                                                                                                                                                                                                                                                                                                                           |
| 1/7 Paribas牛債券92 400 5400 55.50 9500                                                                                                                                                                                                                                                                                                                                                                                                                                                                                                                                                                                                                                                                                                                                                                                                                                                                                                                                                                                                                                                                                                                                                                                                                                                                                                                                                                                                                                                                                                                                                                                                                                                                                                                                                                                                                                                                                                                                                                                                                                                                                         | 354 Paribas熊俑名                                                                                                                                                                                                                                                                                                                                                                                                                                                                                                                                                                                                                                                                                                                                                                                                                                                                                                                                                                                                                                                                                                                                                                                                                                                                                                                                                                                                                                                                                                                                                                                                                                                                                                                                                                                                                                                                                                                                                                                                                                                                                                                 | ¥92 10.0        |                  |                |              |                                                                                                                                                                                                                                                                                                                                                                                                                                                                                                                                                                                                                                                                                                                                                                                                                                                                                                                                                                                                                                                                                                                                                                                                                                                                                                                                                                                                                                                                                                                                                                                                                                                                                                                                                                                                                                                                                                                                                                                                                                                                                                                                | -             | +150            |               | +19                                                                                                                                                                                                                                                                                                                                                                                                                                                                                                                                                                                                                                                                                                                                                                                                                                                                                                                                                                                                                                                                                                                                                                                                                                                                                                                                                                                                                                                                                                                                                                                                                                                                                                                                                                                                                                                                                                                                                                                                                                                                                                                            | 10 000      | 7 21                                                                                                                                                                                                                                                                                                                                                                                                                                                                                                                                                                                                                                                                                                                                                                                                                                                                                                                                                                                                                                                                                                                                                                                                                                                                                                                                                                                                                                                                                                                                                                                                                                                                                                                                                                                                                                                                                                                                                                                                                                                                                                                           |
| 528 世界銀行95 10.13                                                                                                                                                                                                                                                                                                                                                                                                                                                                                                                                                                                                                                                                                                                                                                                                                                                                                                                                                                                                                                                                                                                                                                                                                                                                                                                                                                                                                                                                                                                                                                                                                                                                                                                                                                                                                                                                                                                                                                                                                                                                                                             | 1/7 Paribas牛桶等                                                                                                                                                                                                                                                                                                                                                                                                                                                                                                                                                                                                                                                                                                                                                                                                                                                                                                                                                                                                                                                                                                                                                                                                                                                                                                                                                                                                                                                                                                                                                                                                                                                                                                                                                                                                                                                                                                                                                                                                                                                                                                                 | 作92 4 00        |                  | UV             | 00.5U        | 33 00                                                                                                                                                                                                                                                                                                                                                                                                                                                                                                                                                                                                                                                                                                                                                                                                                                                                                                                                                                                                                                                                                                                                                                                                                                                                                                                                                                                                                                                                                                                                                                                                                                                                                                                                                                                                                                                                                                                                                                                                                                                                                                                          | 29,20         | 1 1 30          |               |                                                                                                                                                                                                                                                                                                                                                                                                                                                                                                                                                                                                                                                                                                                                                                                                                                                                                                                                                                                                                                                                                                                                                                                                                                                                                                                                                                                                                                                                                                                                                                                                                                                                                                                                                                                                                                                                                                                                                                                                                                                                                                                                |             |                                                                                                                                                                                                                                                                                                                                                                                                                                                                                                                                                                                                                                                                                                                                                                                                                                                                                                                                                                                                                                                                                                                                                                                                                                                                                                                                                                                                                                                                                                                                                                                                                                                                                                                                                                                                                                                                                                                                                                                                                                                                                                                                |
|                                                                                                                                                                                                                                                                                                                                                                                                                                                                                                                                                                                                                                                                                                                                                                                                                                                                                                                                                                                                                                                                                                                                                                                                                                                                                                                                                                                                                                                                                                                                                                                                                                                                                                                                                                                                                                                                                                                                                                                                                                                                                                                              | 528 世界銀行95                                                                                                                                                                                                                                                                                                                                                                                                                                                                                                                                                                                                                                                                                                                                                                                                                                                                                                                                                                                                                                                                                                                                                                                                                                                                                                                                                                                                                                                                                                                                                                                                                                                                                                                                                                                                                                                                                                                                                                                                                                                                                                                     | 10.1            | 3                |                |              | <del></del> -                                                                                                                                                                                                                                                                                                                                                                                                                                                                                                                                                                                                                                                                                                                                                                                                                                                                                                                                                                                                                                                                                                                                                                                                                                                                                                                                                                                                                                                                                                                                                                                                                                                                                                                                                                                                                                                                                                                                                                                                                                                                                                                  | -             |                 | T             |                                                                                                                                                                                                                                                                                                                                                                                                                                                                                                                                                                                                                                                                                                                                                                                                                                                                                                                                                                                                                                                                                                                                                                                                                                                                                                                                                                                                                                                                                                                                                                                                                                                                                                                                                                                                                                                                                                                                                                                                                                                                                                                                |             |                                                                                                                                                                                                                                                                                                                                                                                                                                                                                                                                                                                                                                                                                                                                                                                                                                                                                                                                                                                                                                                                                                                                                                                                                                                                                                                                                                                                                                                                                                                                                                                                                                                                                                                                                                                                                                                                                                                                                                                                                                                                                                                                |
|                                                                                                                                                                                                                                                                                                                                                                                                                                                                                                                                                                                                                                                                                                                                                                                                                                                                                                                                                                                                                                                                                                                                                                                                                                                                                                                                                                                                                                                                                                                                                                                                                                                                                                                                                                                                                                                                                                                                                                                                                                                                                                                              |                                                                                                                                                                                                                                                                                                                                                                                                                                                                                                                                                                                                                                                                                                                                                                                                                                                                                                                                                                                                                                                                                                                                                                                                                                                                                                                                                                                                                                                                                                                                                                                                                                                                                                                                                                                                                                                                                                                                                                                                                                                                                                                                |                 |                  |                |              |                                                                                                                                                                                                                                                                                                                                                                                                                                                                                                                                                                                                                                                                                                                                                                                                                                                                                                                                                                                                                                                                                                                                                                                                                                                                                                                                                                                                                                                                                                                                                                                                                                                                                                                                                                                                                                                                                                                                                                                                                                                                                                                                |               |                 |               |                                                                                                                                                                                                                                                                                                                                                                                                                                                                                                                                                                                                                                                                                                                                                                                                                                                                                                                                                                                                                                                                                                                                                                                                                                                                                                                                                                                                                                                                                                                                                                                                                                                                                                                                                                                                                                                                                                                                                                                                                                                                                                                                |             |                                                                                                                                                                                                                                                                                                                                                                                                                                                                                                                                                                                                                                                                                                                                                                                                                                                                                                                                                                                                                                                                                                                                                                                                                                                                                                                                                                                                                                                                                                                                                                                                                                                                                                                                                                                                                                                                                                                                                                                                                                                                                                                                |
|                                                                                                                                                                                                                                                                                                                                                                                                                                                                                                                                                                                                                                                                                                                                                                                                                                                                                                                                                                                                                                                                                                                                                                                                                                                                                                                                                                                                                                                                                                                                                                                                                                                                                                                                                                                                                                                                                                                                                                                                                                                                                                                              |                                                                                                                                                                                                                                                                                                                                                                                                                                                                                                                                                                                                                                                                                                                                                                                                                                                                                                                                                                                                                                                                                                                                                                                                                                                                                                                                                                                                                                                                                                                                                                                                                                                                                                                                                                                                                                                                                                                                                                                                                                                                                                                                |                 |                  |                |              |                                                                                                                                                                                                                                                                                                                                                                                                                                                                                                                                                                                                                                                                                                                                                                                                                                                                                                                                                                                                                                                                                                                                                                                                                                                                                                                                                                                                                                                                                                                                                                                                                                                                                                                                                                                                                                                                                                                                                                                                                                                                                                                                |               |                 |               |                                                                                                                                                                                                                                                                                                                                                                                                                                                                                                                                                                                                                                                                                                                                                                                                                                                                                                                                                                                                                                                                                                                                                                                                                                                                                                                                                                                                                                                                                                                                                                                                                                                                                                                                                                                                                                                                                                                                                                                                                                                                                                                                |             |                                                                                                                                                                                                                                                                                                                                                                                                                                                                                                                                                                                                                                                                                                                                                                                                                                                                                                                                                                                                                                                                                                                                                                                                                                                                                                                                                                                                                                                                                                                                                                                                                                                                                                                                                                                                                                                                                                                                                                                                                                                                                                                                |
|                                                                                                                                                                                                                                                                                                                                                                                                                                                                                                                                                                                                                                                                                                                                                                                                                                                                                                                                                                                                                                                                                                                                                                                                                                                                                                                                                                                                                                                                                                                                                                                                                                                                                                                                                                                                                                                                                                                                                                                                                                                                                                                              |                                                                                                                                                                                                                                                                                                                                                                                                                                                                                                                                                                                                                                                                                                                                                                                                                                                                                                                                                                                                                                                                                                                                                                                                                                                                                                                                                                                                                                                                                                                                                                                                                                                                                                                                                                                                                                                                                                                                                                                                                                                                                                                                |                 |                  |                |              |                                                                                                                                                                                                                                                                                                                                                                                                                                                                                                                                                                                                                                                                                                                                                                                                                                                                                                                                                                                                                                                                                                                                                                                                                                                                                                                                                                                                                                                                                                                                                                                                                                                                                                                                                                                                                                                                                                                                                                                                                                                                                                                                |               |                 |               |                                                                                                                                                                                                                                                                                                                                                                                                                                                                                                                                                                                                                                                                                                                                                                                                                                                                                                                                                                                                                                                                                                                                                                                                                                                                                                                                                                                                                                                                                                                                                                                                                                                                                                                                                                                                                                                                                                                                                                                                                                                                                                                                |             |                                                                                                                                                                                                                                                                                                                                                                                                                                                                                                                                                                                                                                                                                                                                                                                                                                                                                                                                                                                                                                                                                                                                                                                                                                                                                                                                                                                                                                                                                                                                                                                                                                                                                                                                                                                                                                                                                                                                                                                                                                                                                                                                |
|                                                                                                                                                                                                                                                                                                                                                                                                                                                                                                                                                                                                                                                                                                                                                                                                                                                                                                                                                                                                                                                                                                                                                                                                                                                                                                                                                                                                                                                                                                                                                                                                                                                                                                                                                                                                                                                                                                                                                                                                                                                                                                                              |                                                                                                                                                                                                                                                                                                                                                                                                                                                                                                                                                                                                                                                                                                                                                                                                                                                                                                                                                                                                                                                                                                                                                                                                                                                                                                                                                                                                                                                                                                                                                                                                                                                                                                                                                                                                                                                                                                                                                                                                                                                                                                                                |                 |                  |                |              |                                                                                                                                                                                                                                                                                                                                                                                                                                                                                                                                                                                                                                                                                                                                                                                                                                                                                                                                                                                                                                                                                                                                                                                                                                                                                                                                                                                                                                                                                                                                                                                                                                                                                                                                                                                                                                                                                                                                                                                                                                                                                                                                |               |                 | _             |                                                                                                                                                                                                                                                                                                                                                                                                                                                                                                                                                                                                                                                                                                                                                                                                                                                                                                                                                                                                                                                                                                                                                                                                                                                                                                                                                                                                                                                                                                                                                                                                                                                                                                                                                                                                                                                                                                                                                                                                                                                                                                                                |             | ~                                                                                                                                                                                                                                                                                                                                                                                                                                                                                                                                                                                                                                                                                                                                                                                                                                                                                                                                                                                                                                                                                                                                                                                                                                                                                                                                                                                                                                                                                                                                                                                                                                                                                                                                                                                                                                                                                                                                                                                                                                                                                                                              |
|                                                                                                                                                                                                                                                                                                                                                                                                                                                                                                                                                                                                                                                                                                                                                                                                                                                                                                                                                                                                                                                                                                                                                                                                                                                                                                                                                                                                                                                                                                                                                                                                                                                                                                                                                                                                                                                                                                                                                                                                                                                                                                                              |                                                                                                                                                                                                                                                                                                                                                                                                                                                                                                                                                                                                                                                                                                                                                                                                                                                                                                                                                                                                                                                                                                                                                                                                                                                                                                                                                                                                                                                                                                                                                                                                                                                                                                                                                                                                                                                                                                                                                                                                                                                                                                                                |                 |                  |                |              |                                                                                                                                                                                                                                                                                                                                                                                                                                                                                                                                                                                                                                                                                                                                                                                                                                                                                                                                                                                                                                                                                                                                                                                                                                                                                                                                                                                                                                                                                                                                                                                                                                                                                                                                                                                                                                                                                                                                                                                                                                                                                                                                |               |                 |               |                                                                                                                                                                                                                                                                                                                                                                                                                                                                                                                                                                                                                                                                                                                                                                                                                                                                                                                                                                                                                                                                                                                                                                                                                                                                                                                                                                                                                                                                                                                                                                                                                                                                                                                                                                                                                                                                                                                                                                                                                                                                                                                                |             | ··································                                                                                                                                                                                                                                                                                                                                                                                                                                                                                                                                                                                                                                                                                                                                                                                                                                                                                                                                                                                                                                                                                                                                                                                                                                                                                                                                                                                                                                                                                                                                                                                                                                                                                                                                                                                                                                                                                                                                                                                                                                                                                             |

**牧市價率 非数%** 公司名稱 收市價 升跌% 公司名稱 公司名籍 0.058 +56.75 天安中國W90 -8.620.053 -6.49 腱新國際W89 2.400 十10.34 金城工商 建生國際 0.046 十39.39 爪哇控股W89 1.960 -4.390,485 十10.22 鴻易國際 0.122 十14.01 奔達國際W91 0.590 一3.57 依利安達W92 十5.68 淘大置業 華光航業 0.300 +5.65 華信地產 一3.17 0.610 0.046 十4.54 聯合地產W90 星港地產 1.540 -3.140.090. 十3.44 新世界發展W89 -3.37 謝 瑞 蘖W92 0.480 -3.03十2.66 亞洲證券W91 10.700 ...十3.88 主氏工業 迪生創建 0.680 -2.85上り62 6百 0.000

067 519 實 1.65 522 AS 1547 043 19 055 4B1 中[ 1.60 131 🚓 115 患行 031 康; 1.50 118 大[ 2 925 122 1 071 487 冠

088 033 依

2 45 295 A\$

3 95 | 034 🛣

1 15 420 稲

060 136 🐠

1.956 040 金।

24.50 044 港村

升跌%

收市價

升跌% 公司名籍

C 315 298 .

091 234 技

更奶

后是

禁制措施對巴國實質影

Also accepting cargo for MLB: -Gulf/Atlantic/IPIPoints.

中率教育家 OOCL EDUCATOR 中華出口商 OOCL EXPORTER

直航:西雅圖、温哥華

Also accepting cargo for: —
Portland, Longview, Tacome, E. Canada Montreal, Toronto. (MLB via Vancouver) 中華事業家 OOCL EXECUTIVE

貨箱:HIT

▲鯔魚解放 ALLIGATOR LIBERTY 亨利角 CAPE HENRY 19/018 31/12 31/12

: MANZANILLO, ACAPULCO, PUERTO QUETZAL, ACAJUTLA, SAN LORENZO, PUERTO CALDERA.

DECEMBER B VESSEL ▲ 本 達 VESTA -ee Zone & Panama City Via Cristobal) 船到 DECEMBER D VESSEL 【日本太陽神 JAPAN APOLLO 坐 GLORIA PEAK 30/12 31/12 (for Puerto Quetzai, Curacao, Aruba Only)

負責

行爲

灣盛

各香

改多名

34945

獨立處

有三年

履歷具

節

,有

感爲

,有

与治。

導師

f\$

海週

月薪

2123

3-609

型洲明珠 ASIAN PEARL 澳洲出口商 AUST. EXPORTER 貨箱:MTL

、MINA QABOOS,多哈(赵刁拜) SHARJAH 、阿 布打比・有△褶去SHARJAH) **兼收货櫃往墨加坡** 

油塘灣四山街KX516地段

N L S (HONG KONG)LTD.

大豐銀行大厦505.6室 電話:89543,89654.

(相名)(西名)

東方專家 ORT. EXPERT

蘇 為 失 KHUD.ZHUKOV

海皇永晶。NEP.CRYSTAL

建華二號 KIEN HWA 2

柯亞美亞 AL AHMADIAH

馬士基解桃MAERSK PINTO

渣華馬德拉斯NL.MADRAS

阿拉斯加丸ALASKA MARU

新成尼斯 ZIM VENEZIA

東京丸 TOKYO MARU

海陸快航 SL-EXPRESS

肯尼迪總統PRES.KENNEDY

新海遊 NEW HAI HUA

路易士馬士基LOUIS MAERSK

碧潔馬士基BRIGIT MAERSK

堡. TAIBAO

安 HUAIAN

til LISHAN

和平東南 HP.DOUGNAM

三 國 强 KUO CHANG

蘇 · · · · SUHE

夏 紐約勝利 N.Y.SENATOR

加 SPICA

山 LISHAN

金亞麗莎 GOLD ALISA

約 RAGNA

長 生 EVERVITAL

高飽和 O GROTEWOHL

沙巴拿山 MOUNT SABANA

WANCHUN

斯里馬泰 LANKA SRIMATHI

雅多繁榮 ASTRO PROSPERITY 美國

KAMALEVERETT

騰 | 渣華列士告頓NL. VAN LINSCHOTEN 新加坡

都 RATU KONSORTIUM 台灣

勃 TRADE VIGOR

昌 GOOD TRADER

继 KUO HSIUNG

陽 MARINE BRIGHT

港 與 渣革列士告頃NL.VAN LINSCHOTEN新加坡

國際橋 賓 隆 | 羅孟達沙 NORASIA AL.MUNTAZAH台灣

現代橋 遠 運 天 湖山 TIANHUSHAN

腾

職海

深水埗 永 豐 玻里那 BOLINIA

隆 亞麗斯 ARAS

海 運 新華九號 XINHUA 9

**変** 樂 迅 NORDSUND

西區 海

海陸橋 三

像 KUO WEI

角 HORN

蘇華倫 SOVEREIGN ACCORD日本

達|瑞克麥斯杭州RICKMERSHANGZHOU歐洲

KHUD-N RERIKH

高納堅拿 SKULPTOR GOLUBKINA新加坡

HUNGQI 134

西寧船長 KAP.SILIN

因 HAI IN

南 液 NAMGANG GLORY

第 SEA GLORY

HALJIN SEOUL

海峽貨櫃 STRAIT CONTAINER 台灣

MARINE STAR

MULPHA KLUANG

(埠名) (停泊)(公司) (船名) ANDROMEDA STAR上午1時 日本 BECCO AFRICA 下午8時高雄 LEIPZIG上午3時 朗 MAKRAN 上午8時 倒山 盛 輪 YS.PROSPERITY午夜 YICHUN 上午1時 現代司令HYUNDAI COMMANDER下午5時 美國 勤奢货櫃 DILIGENCE CONTAINER下午台灣 有 HAI YOU上午4時 總 POOLGRACHT上午8時 南非 鹅翠二號 EMERALD 2 上午7時 倉 KAMAKURA上午3時 達 FAIR COSMOS上午8時 釜山 洋 SINO OCEAN上午8時 華 HSING HWA 下午3時 國利二號 KUO LIE 2上午7時 裕 烈 全 SD.LEDRA 江 JIN JIANG上午8時 柯 鄞 巴 AL. WAJBA上午1時 SHANCHA 上午7時 VILLE DE JUPITER 上午2時 地中海 界 EVER ORIENT上午2時 台灣 藍 實 石 SAPPHIRE 長早 春 CHIN CHUN下午[1時 多 HAKATA上午9.30 箱 根 丸 HAKONE MAKU上午9.30 現代橋 現代橋 亞士萬士基AXEL MAERSK下午3時 胡佛總統 PRES.HOOVER上午8時 EVER VITAL下午11時 新加坡

大陸仲侶 CONTINENTAL PARTNER上午5時 基隆 A7 大

您實隆丸 MONT BLANC MARU下午3時地中海 現代橋 大

JUNSHAN上午11時

城 SONG CHENG上午2時 上裔

ZHIYIN下午5時 JIUJIANG CHOYANG CHANCE 下午3時 歐洲 油蔵地 海陸橋 延安五號 YANANWUHAO下午6時青島 見 沙巴拿山 MOUNT SABANA 萬 春 WANCHUN下午10時 盛 THUBAN上午 輝騰 洋 MILD OCEAN 中午 依 傑 娃 ILOVIK上午4時 大連 賀 KAGA 山 REX STAR上午6時 海洋天皇星OCEAN SIRIUS上午7時新加坡 大 欣 洋 拉 亞瑪利亞 AMALIA 衙 NATIONAL DIGNITY 上午 馬尼拉 豐 明 満 MING MOON 燕 TIAN YAN下午4時 、 天津 柳 絮 泉 LIUXUQUAN 上午8時 烟台 夏 力加馬上基LICA MAERSK 津 TRADE RELISH 下午11時 天津 陶南八號 DONAM 8 下午2時 港 與 資蘇里亞 BUNGA SURIA 希爾威他 SD.HELVETIA午夜 了隆 拿士灣 LARGS BAY 羅拉馬士基LAURA MAERSK下午10時 美國 現代橋 馬土基 與 勝 HINGSON 華海201 WANHAI 201下午6時 台灣 大嶼山 大 榮 東方大志 OOCL AMBITION 光大二號 KWANG TA 2 油蘇地 永 裕 易 馬士基探戈MAERSK TANGO下午9時 台中 西區 馬士基 立 渣華哥倫布NL.COLOMBO上午 現代橋 渣 華 珍珠帆 PEARL REEFER 南非 賽 春 ATHIERS BRZEZE 下午9時 台灣 國際橋 大 榮 萊 茵 橋 RHEIN BRIDGE 妙爾豪森 MUEHLHAUSEN上午5時歐洲 東亞豪 現代橋 川 崎 😡 布魯克林橋BROOKLYN BRIDGE 美國

聯 MILD UNION 上午9時 上海

富 MARINE CONTAINER 台灣

獨立者 SL. INDEPENDENCE 上午 曼谷

石 咀 山 SHIZUISHAN 下午2時 蕪湖

來 VELA下午10時

ARKTOS

康 NIHON上午8時

線每周

九日 港 郵

九日 東

九日太

十日 華 林

十日 大 榮

十日 福 來

十月 馬士基

十日 遂 初

古 太 日十

十日 珠 江

十日 港 郵

十日 川 崎

十日 朝 霽

十一 永 隆

十一大祭

十一 渣 華

海洋

天 群

(船名)(西名)

十日 渣

九日

新加坡

馬尼拉

馬尼拉

新加坡

地中海

曼谷

新加坡

日本

基隆

胀烟

西北太平洋

變國

------(何處來)(日期)(公司)

(坤名)。 (條心)(公司) (時間) 東方迅航 SCANDUTCH ORIENT上午9時。高雄 國際福 實 隆 中華传播CHINA CONTAINER下午 西南太平洋紐約 A39 華 嘉 HANSA RIGA下午。 迪漢武夫 NIKOLAY TIKHONOV午夜 歐洲 女 星ANDROMEDA STAR下午 新加坡巴生 A15 欣 EVER OBJENT午夜 新加坡 高 GLOBE EMERALD 下午新加坡庇能 豐 LUFENG下午 仁川釜山 安 POOLDRECHT 下午 EMERALD 2下午 DONAM 6 上午 HAI WANG下午 SHANGHAI 下午3時 新加坡 YICHUN下午 西北太平洋紐約海陸橋 SL DEFENDER VILLE DE JUPITER下午台灣 順 MING PROSPERITY上午5時 歐洲 OSTFRIESL AND 段早 日本

安 MARINE PEACE上午 台灣 倉 KAMAKURA下午 HANJIN TONGHAO 下午歐洲 DANAOS下午 西南太平洋紐約A22 **EVER VITAL**下午 招商局 | 祠 華 巴 AL WAJBA下午 阿拉伯灣 安 BEIAN下午 十日 港 興 北 CHEMISKY下午 地中海 多 HAKATA下午 洋 箱 根 丸 HAKONE MARU下午 西北太平洋 現代橋 徳 POOLGRACHT下午 與 新蒙特利爾ZIM MONTREAL上午9.30洛杉磯紐約 現代橋 新 與 馬士基廟桃MAERSK PINTO 明日出口輪船 瑪利 實 MARIBOR上午 馬飽拉斯卡拉奇釜山灣 A35 十日 東 亞 山盛輪 YS. PROSPERITY下午阿拉伯灣 現代橋 日 航

十日 天 祥 華 举 SINO OCEAN 上午 新加坡 十日 輝 鵬 昌·盛 THUBAN下午 下午 台灣 昌 十日 天 祥 勤奮貨權 DILIGENCE CONTAINER 南非 黃埔橋 歷 信 下 非洲比可 BEECO AFRICA上午 台灣 衡NALIONAT DIGNITY下午 洛杉磯三藩市西區 海 豐 榮 十日 招商局 鳥拉佳人 LADY ULLA 上午 A19 日 中美 國際橋 實隆 天 十日 東 亚 力 康 NIHON下午10時 B38 川 崎 南 十日 日 郵 東方皇帝 ORIENT KING下午 沙巴山打根斗湖 十日 新 興 獨 立 者 SL.INDEPENDENCE下午 新加坡 國際橋 大 三 OCEAN SIRUS下午 十日 東 宇 山 茶 SHAN CHA下午 油磁地 招商局 海口三亞 十日 華 海 錦 春 CHIN CHUN 上午 國際橋 大 榮 台灣日本 油蕨地 永 裕 十日 利 達 國利二號 KUOLIE 2上午 華 HSING HWA 下午 興 A17 大 三 大陸仲侶CONTINENTAL PARTNER下午 東非 亞瑪利亞 AMALIA 亞士馬士基AXEL MAERSK上午 基隆 現代橋 馬士基 海陸橋 朝 成 功 CHOYANG CHANCE上午高雄 現代司令 'HYUNDAI COMMANDOR上午 西北太平洋現代橋太古 十日 輝 騰 列 東 亞 錫 LEIPZIG下午 INCHOW 現代語 渣 華 康 渣華哥倫布NL C'BO下午 **十日 曆 信 盧** 春 WANCHUN下午 朗 MAKRAN上午 麥 A 49 蘇 阗 SUFENG A 12 潤發碼頭金 闘海 327 MINHAI 327 金 發 背 YUQING上午 馬來西亞 A 18

(往何處)(日期)(公司) 十一 三 實 布魯克林橋BROOKLYN BRIDGE 西南太平洋紐約 九日 川 嫡 十三 歷 信 碧潔馬士基BRIGIT MAERSK 西北太平洋 九日 馬士基|



西南太平洋紐約

路易士馬士基LOUIS MAERSK 西北太平洋紐約 海陸快航 ST EXPRESS 西北太平洋紐約 肯尼迪總統PRES KENNEDY 海皇水晶 NEP CRYSTAL 西北太平洋 十日 東京丸 TOKYO MARU 西北太平洋 雅多繁榮 ASTRO PROSPERITY 紐約 满 MING MOON 洛杉磯紐約

藍實石 SAPPHIRE 高納堅拿 SKULPTOR GOLUBKINA梅爾辛的港 阿拉斯加丸ALASKA MARU 新委內瑞拉ZIM VENEZIA 海 NORTH SEA 洲 CONTSHIP ASIA 力加馬士基LICA MAERSK

蘇 怠 夫 KHUD ZHUKOV 弗里曼特爾 西海船長 KAP SILIN 新畿內亞南太平洋岛九日 紫色協和 KYOWA VIOLET 渣華馬德拉斯NL.MADRAS 新西蘭 瑪 蓮 娜 TA MARINER 新西県 KHUD.N REIKH 賓嘉美娜 BUNGA MELOR 江少尉 KIANG REEFER 弗里曼特爾 中東綫 勝 利 河 VICTORY RIVER

金亞麗莎 GOLD ALISA

城 XIN CHENG 迅 NORDSUND 新加坡巴生底能 内地・台灣 燕 TIAN YAN 江 NAMGANG GLORY 海陸橋 海 陸 東方專家 ORT. EXPERT 日本台灣 山 REX STAR 伊露娃 ILOVIK 阿希里風ATHIERS BREEZE 聯 MILD UNION 上海 希魯克林橋BROOKLYN BRIDGE 光大二號 KWANG TA 2 河 LHU HE 桑 SEA GLORY 台灣日本 碧潔馬士基BRIGIT MAERZK 日本 威 UNITED WAR 日本 偉 KUO WEI 津 TRADE RELISH 河 KANG HE 上海 閩海二二四MIN HAI 224

> 金亞麗莎 GOLD ALISA 力加馬土基LICA MAERSK 沙巴那山 MOUNT SABANA 康來利馬士基CORNELIA MAERSK東非 南非瓦爾 VAAL 卡大馬卡二號CATAMARCA 2

十日 總 統 十日 港 恒 大 三 十日 華 海 九日 悬 徳 新興 九日 華 林 九日 華 林 怡 和 十日 太 古 十日 TASMAN 十日 華 林 十日 逯 初 十一 實 隆 九日 招商局 阿拉伯灣 十日 東 亞 斯里馬泰 LANKA SRIMATHI 科倫坡 十日 新 興 科倫坡印度 十日 撼 統 阿拉伯灣 利達 吉大港加爾各答 九日 永 隆 九日 招商局 九日 招商局 九日 馬士基 十日 怡 和 十日 聯 航 十日 歷 信 十日 歐 亞 曼谷 十日 欣 洋 ナー大祭 日本・釜山綫 九日 華 運 東宇 九日 港 郵

肯尼迪總統PRES KENNEDY 生 EVER VITAL 角 HORN · 昇 MARINE SHINE 青 HUA QING 勝利河 VICTORY RIVER 曼谷新加坡庇能檳城 蘇華倫 SOVEREIGN ACCORD曼谷 新海和二號NEW HERO 2 珍珠帆 PEARL REEFER CHAIYA BHUM 亚瑪利亞 AMALIA 港典 九日 華 夏 大 榮 九日 輝 騰 九日川崎 九日 永 裕 九日 招商局 十日 太 平 十日 馬士基 十日 景 華 十日 欣 洋 十日 華 運 十日 招商局

十日 華 閩 十日 華 閩 江 LUO JIANG 萊茵河 RHEIN BRIDGE -十日 川 崎 十日 新 興 十日 馬士脚 十一天鲜 十二 馬士基

十二 怡 掛

十三 太 古

就業問 隻



總計:香港荷季插道106至116號 中區:体甸乍街華人銀行樓上 北角: 渣華街127號地下 旺角:上海街497號

電話: 5-407738 圖文傳資: 5-594238 電話: 5-231637 5-231728

電話: 5-640693 5-640603

電話: 3-840749 3-849140

熱線電話:5-467933

基本面積 2格×2.75时 收置HK\$100.-超越此而積 收费以HK\$ 33. 方时計



# 學位教師

新界上水津貼中學誠聘 教師一名,任教英文及 經濟科,一月到職,有 意請電0-6700366約見。

### 聖保羅男女中學 誠聘學位敎師一名

一至中五經濟及公共 事務科能兼教高級程度經濟 須於1990年4 月1日到職)

應徵者請附履歷、近照寄香 港麥當勞道33號。

問題兒童福利機構聘高級社工助理

一名,二月到任。有五年以上處理

兒童個案工作經驗之社工助理爲合

津小教師

馬鞍山耀安邨急聘體育英文科

教師,九〇年一月四日到職,

良局莊啟程小學校長

有意請電:0-6410221 或函保

### 青松護理安老院

(不折不扣)

急聘下列空缺: (1)登記護士

年齡55歲以下持有香港護士局登記護 士證書薪金按政府編制有交通津貼 (2)兼職物理治療師

每週工作式小時薪金每月\$1330如對 上述空缺有興趣者請親函附履歷寄元 朗厦村屏厦路青松護理安老院或致電 0-4721393與周姑娘約見。

### 津中 九龍

①英文科學位臨時教師中三 至中五到職,日期一九九 ○年一月。

②實驗室技術員一名。 應徵者請繕履歷近照寄九龍 何文田牧爱街30號樂道英文 中學校長收。

### 誠聘幼師書記

灣仔非牟利幼稚園聘基督徒 已受訓幼師另懂會計書記 名薪酬照政府電

5-8932715或 5 - 8912172

# 幼兒工作員

荃灣區工作,急聘已受 訓註册幼兒工作員,薪 酬由\$3725—\$6970。 有意者請電

。具外展工作經驗者獲優先考慮。 請具詳細履歷函深水埗歌和老街47 號總幹事收。 0-4134979。

### 津中教師 高級社工助理

觀塘區津中急聘地理英 文科學位教師一名 月到任),有意請電 3-7274315約見。

## 屯門津校中文

屯門區津贴中學聘請中文學位 教師一名,一九九〇年二月十 二日或稍後到職(本年內任教 中一中二中文)。應徵請電 0-4580766或0-4584788約見. 順德聯誼總會梁銶琚中學

### 誠聘導師

可之社會工作畢業/中學畢業,負責 與趣小組、輔導兒童日常生活、行爲 問題、輪值或替更工作,薪酬悉照 SWA/WW新級,工作時間由下午二 時卅分至十時,九○年一月上任。應 聘者,請具詳歷近照客九龍土瓜灣盛 德街44號。

### 津小書記 一月到職

葵涌荔景邨津小聘二級書記乙 名英中會考合格懂簿記打字 月四日到職詳履歷近照,函 華僑日報信箱1191號。

# 補習學校誠聘

全職導師,F 5 程度,無須 經驗,專人指導,九龍及沙 田區工作,薪\$4500起,有 意電3-3516912。

### 受訓幼師

沙田區幼稚園聘有經驗 受訓幼師,薪優供午膳 ,基督徒爲合,請電 0 - 6065599

### 屯門區幼稚園 急聘經驗幼師

全日或半日,十二月到職 薪優有償金及公積金

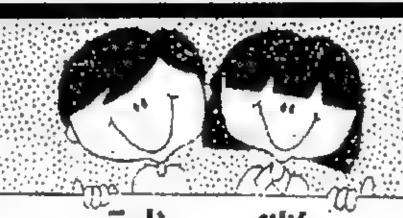
有意請電0:4599488 或0:4622949校長治

# 九龍津中急聘

①體育科文憑教師(代課由一 九九〇年一月至七月中) ②校工兼花王,懂園藝優 有意者請詳歷近照寄華僑日報 信箱1417號。

### 津校誠聘

港島西區津貼中學誠聘下列職位 ①文憑教師一任教低年班英文 地理,九〇年二月到職。 ②實驗室服務員一須中四以上理 科程度,九〇年一月到職。 辦公時間請電5-592573 約見。



如果你願意,註册優先,請電

徵 愛我們的,關心我們的,了解我們的 並樂起幫助我們成長的幼兒工作員!

5~8860305 耀思幼兒園

### 誠

或以上程度。 2.實驗室助理多名,預科程度 ,理科合格·全職或兼職均

有意者請親擱履歷到青山道339 號 恒生銀行大厦3子樓(3-611819 及紅磡漆咸道272 —274 號(

## 誠聘幼師

港島及沙田區慈善團體辦非牟利 幼稚園擴校誠聘幼師及助教,薪 優有福利,有意請繕履歷照寄香 港禮頓道66號幼稚園校長收或電 5-763386 內線35,0-6423100約

### 稚 袁

荃灣區幼稚園暨幼兒園 誠聘幼師及幼兒工作員 多名經驗優先,薪優 有意請電0-4133270

# 誠聘敎師

香港西區教會私立小學下午班 聘中英文普通科教師,薪酬視 資歷而定,有意者請繕履歷附 近照地址及電話號碼寄西營盤 郵局50353號信箱。

# 幼稚園文員

九龍塘區幼稚園聘請文員一名,一 月到職,薪金每日由\$3,270~\$ 6.165 ,供午膳,有醫療津貼,中 學程度,有意者其履歷函華僑日報 信箱1419號。

### 助理文員 實驗室雜務員

官塘區津貼中學聘上述 職位各一名中五程度男 性電3-7171485沿

### MORTON.

女校務文員、電腦教師、商 科(速記、打字、簿記、會 計、經濟、管理、CIF、市 **塲學)英語教師、數學教師** 

商科學校即聘上述全或兼職多名 有意請電3-7702986,5-8934945

### 補習學校誠聘

**荃灣海濱花園分校誠聘導師** 全職:工作五天半,每天六小時, 薪\$4500起。 **输敞:工作五天,每天正小時,** 

薪\$2000起。 以上各職需F.5程度,無需經驗。 專人指導。 有意電:3-3516912

### GRADUATE ENGLISH TEACHER

Full-time Senior Form English Teacher on G.M. scale required by St. Stephen's College, Stanley form 1st January, 1990. Quarters available for nonlocally dominiled appointee. Please telephone at 5-8130314 for interview.

### 靑衣津中

誠聘下列教職員: ①化學科學位教師 ②中文科學位教師,需任教高年級 ③英文科文憑教師,代課至七月底 ④實驗室技術員:理科會考合格或會 上列教席將於一月到職。應徵者請繕 履歷近照寄青衣島長康邨保良局八三

# 急聘幼師

梨木樹區幼稚園,聘請 正教及助教各兩名,薪 優。有意請電 0-4217410 楊主任洽

### 誠聘行政助理

荃灣紡織廠誠聘行政助理壹位需獨立處 理事務書寫英文文件及流暢英語有三年 以上行政經驗年齡三十至五十歲有晋升 機會待遇特優應徵請親繕中英文履歷具 聯絡地址及電話寄荃灣青山道603-609 號江南工業大厦B座22樓B6室人 事部 一切守秘約時面晤

### 誠聘助理

本公司經營世界各地土產,海產品。裘 皮,冕皮、褥子等及其產品服裝,因業 孩擴張,急聘皮草行業助理一名,有經 驗者優先錄取,薪優,年尾有雙新,第 加花紅,供午膳,有意者速寄來工作簡歷、近照、薪金要求、電話,合者即電 約面洽, 應微函件請寄交香港郵箱2993

### 聘半日女助教

荃灣區幼稚園聘女助教,校務 員,音樂師多名,上午工作, 薪優,假多,電0-4999499 張小姐治。

### 急聘幼師 靑 衣

年總理中學校長收或電0-4977110查詢

○幼稚園正教(已受訓優先) 薪金\$3500~\$5500 ○助教(中學程度,有進升機會) 薪金\$2500~\$3000 有意請電:0-4955595

# 急聘幼師

沙田馬鞍山中英文幼稚 園聘幼師,高薪、供午 膳,有意請電 0-6426033 約見。

### 屯門某大文教中心 誠聘全職補習導師

應徵者須會考合格或以 上程度,經驗不拘,有 愛心,耐性及責任感為 合。年入六萬元起,有 意請電0-4582397約治。

# 聘請文員

傳愛醫院董事局聘請文員中學畢業字 體端正懂簿記及中文打字更佳負責一 般文書待遇從優享有公積金及醫療福 利有意者請親繕求職信附履歷近照及 要求待遇郵寄新界元朗博愛醫院董事 局秘書處(封面書明應徵文員

### 幼兒工作員

銅鑼灣一天主教幼兒園誠聘幼兒工作 員一名,中學程度,已受訓及有工作 經驗優先考慮,薪酬依政府薪級點pt 5-18, (\$3725~\$8245) 視乎學歷 ,資歷而定。有意請繕履歷近照及有 關學歷副本寄華僑日報信箱430 號。

### 港島津中急聘

文憑教師壹名(教綜合科學及中 文)學位教師壹名(敎英文)須 於九〇年一月一日到職,有意應 徵者請繕寫履歷及附近照,最遲 於12月11日前寄跑馬地川光道11 號校長收。

### 津貼中學

元朗區誠聘下列學位或文憑教師。 代課亦可,一月到任:

)英文及西史

2)中文及中史

3)音樂科 應徵者速電0-4747999面 試時請備應徵信及證件副本

# 補習導師

九龍註册補習學校聘全兼職導師 會考合格以上理科優先每週 五天或五天半工作月薪\$ 4000-\$5000下午兼職月薪 \$2600—\$3200K 7782123

訊航

《山昭丸 YAM 中華教育家 OC 中華出口商 00

海塞水晶 NEP 海皇鑽石 NEP 中華事業家 00

(直航:西雅

直航:沙灣 雅多繁榮 AST ▲■魚解放 ALLI

商航:MAN QUET DECEMBER ! 直航: CURA DECEMBER 【日本太陽神 JA 举 GL (for Put 貨糧及散

直航:響梨 ₹亞洲明珠 ASIA ♪澳洲出口商 AU

直航・ム刁拜、

MINA

官塘道340

杜爾灣 TOR 七海橋 SEV 山盛輪 Y.S. GENERAL

**要更更更更更** (船名) 非洲比河 MAK 加盛翰 YS. 現代司令HYUN 勤奢貨糧 DIL 有 HAI 徳 POC

翡翠二號 EME

倉 KAN 華 HSI 國利二號 KUC 華巴 AL. 實石 SAF 春 CHI 多 HAI 箱根丸 HAI

**亞士馬士基AXI** 胡佛總統 PRE 大陸伴侶 COI 就實隆丸 MO 知 音 ZHI 成 功 CHO 延安五號 YAI

依露娃 ILO 海洋天皇星OC 亞瑪利亞 AM 燕 TIA 陶南八號 DO 希爾威他 SD 羅拉馬士基LAI

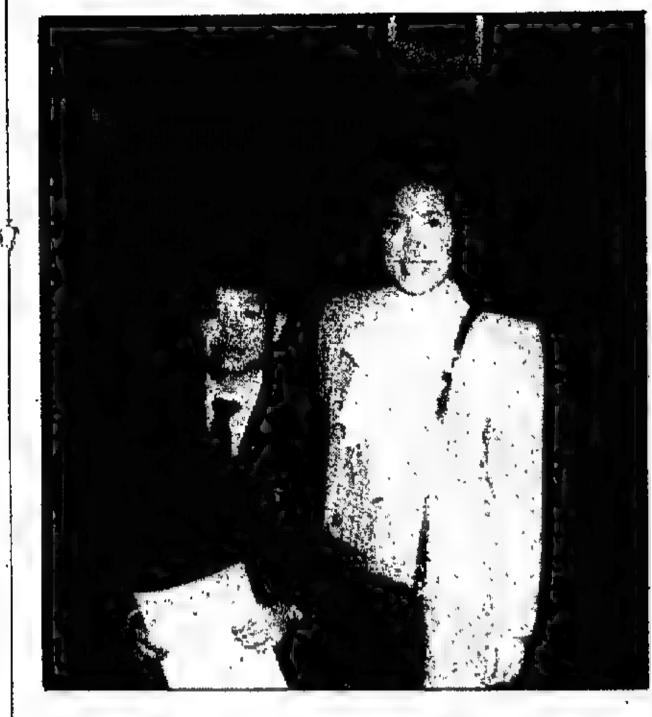
華海201 WA 光大二號 KW 馬士基探戈MA 渣率哥偷布NL。 春 AT 妙爾豪森 MU 布魯克林橋BR 聯 MII 石咀山 SH 富 MA 獨立者 SL.

來 VE AR



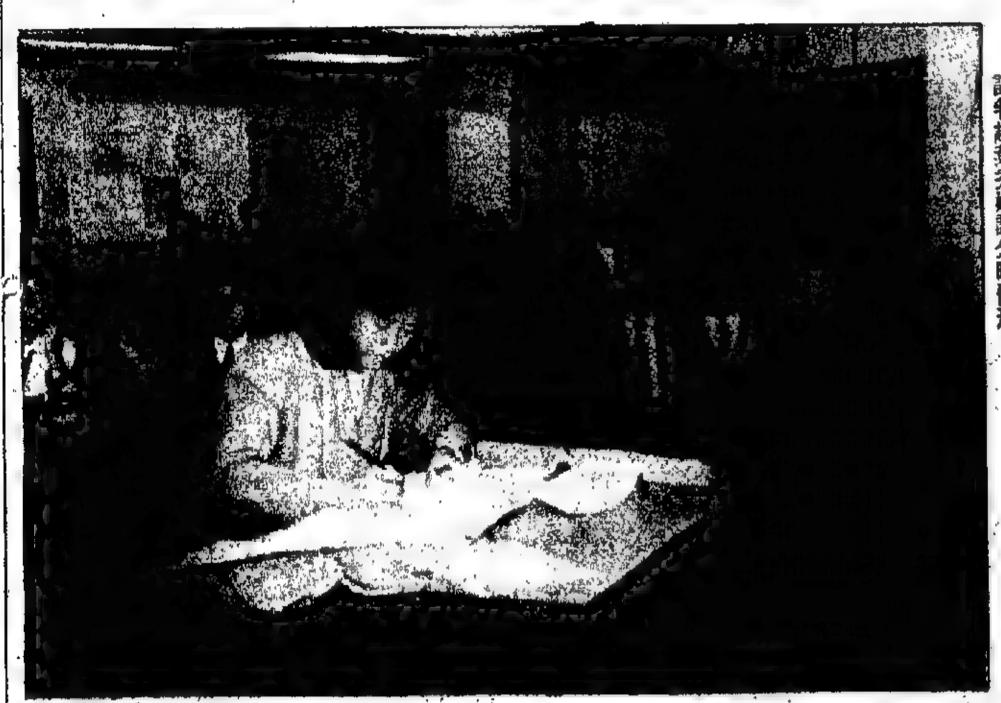
解詩詞掌握要旨 中誦出

胡裕勇風度好奪 自然 手勢配















有仔爺 有學/關際特達 閱之動奸肥 5一代/新聞接要

ies 都是她 人之思 学新聞報傳 Foundation ta's Call 香港 atout Hits Live

N N 新聞衛星車衛







基本位(2格×2.75吋)每天\$100.00 超越此面積每一方时\$33.00

熱綫電話:5-467933

圖文傳真:5-594238

# 幼兒中心

高薪誠聘已受訓幼兒導師,有 晋升機會,未受訓者可保送理 工受訓,包膳,福利佳,屯門 區工作,有意請電0-4519524 ·主任洽。

### 津小教師

誠聘音、體或英文全職 教師乙名九○年三月到 職履歷及近照寄(黄大 仙大成街聖公會基德小

### 香港中文大學校友會聯會 張煊昌學校

沙田區津貼小學誠聘英文科教師一名 ,一月八日到職。詳繕履歷近照函沙 田顯徑邨嘉田苑本校上午校校長收或 致電0-6931898黄校長。

### 半日幼師 東區)

中五程度・已受訓能琴美勞者 優先。請繕履歷近照寄 Habour Building PO BOX 25078 或電5-422546

# 葵涌津中

急聘數學科學位教師 乙名有意請電 0 - 4271641陳小姐洽

# 沙田津小誠聘

①上午校甲級英文選科教師一名,九〇年 二月五口到職。

②助理書記一名,九〇年二月一日到職。 ③校工,男或女,九〇年一月一日到職。 辦公時間電0-6998030陳小姐治

油麻地區津中誠聘下列代課教師 CM/GM均可

①初中、高中美術科一名 ②初中、高中地理科一名 有意請電③7807993

## 津中聘請

計科及英文科學位教師一名, 九〇年一月到任至九〇年七月 底。有意詳履歷近照函香港上 環必列啫士街70號青年會中學 校長收。

### 聘請文員

政府津貼英文中學聘請臨時會 中區某文化機構聘文員一名, 者優先考慮。請於中午十二時ॗ不拘,有意者請晚上九時後電 至下午二時電5-490882區先生 5-491181何先生洽。

# 聘編輯助理

朝十晚六。應徵者須中學畢業 某文化機構聘請編輯助理,中,性別不拘,具有關工作經驗 學畢業,朝九晚五工作、男女 **某文化機構聘請編輯助理,中** 

圖文傳眞 5-594238

• 熱線電話

熱誠服務● 5-464459 5-462583

●毎日下午五點半截稿●

廣分告類

(刊明)

相 内

**任劍輝化粧鮮艷有光澤** 



林蛟任水

EE 小人演

曾作

馮寶寶 曾江與任姐相識在片場 两早已抵香港療儀館送|已参加任姐拍的電影廣建道拜祭任姐,昨日大|廣。實實透露,四歲時 趕回來 送殯





面マ 夠













番皇帝

沒

見

居

霊

堂

37



記

毎







卷

刋特節詞

7:05 經鄉集 7:30 回到唐山 8:30 娛樂斯 8:40 娛樂斯 9:15 K-100即 9:18 邁爾 9:18 邁爾 9:20 新 9:20 新 9:20 新 9:20 金 10:30 10:30 11:40 11:45 11:45 11:45 11:40 11:45 11:40 11:45 11:40 11:45 11:40 11:45 11:40 11:40 11:40 11:40 11:40 11:40 11:40 11:40 11:40 11:40 11:40 11:40 11:40 11:40 11:40 11:40 11:40 11:40 11:40 11:40 11:40 11:40 11:40 11:40 11:40 11:40 11:40 11:40 11:40 11:40 11:40 11:40 11:40 11:40 11:40 11:40 11:40 11:40 11:40 11:40 11:40 11:40 11:40 11:40 11:40 11:40 11:40 11:40 11:40 11:40 11:40 11:40 11:40 11:40 11:40 11:40 11:40 11:40 11:40 11:40 11:40 11:40 11:40 11:40 11:40 11:40 11:40 11:40 11:40 11:40 11:40 11:40 11:40 11:40 11:40 11:40 11:40 11:40 11:40 11:40 11:40 11:40 11:40 11:40 11:40 11:40 11:40 11:40 11:40 11:40 11:40 11:40 11:40 11:40 11:40 11:40 11:40 11:40 11:40 11:40 11:40 11:40 11:40 11:40 11:40 11:40 11:40 11:40 11:40 11:40 11:40 11:40 11:40 11:40 11:40 11:40 11:40 11:40 11:40 11:40 11:40 11:40 11:40 11:40 11:40 11:40 11:40 11:40 11:40 11:40 11:40 11:40 11:40 11:40 11:40 11:40 11:40 11:40 11:40 11:40 11:40 11:40 11:40 11:40 11:40 11:40 11:40 11:40 11:40 11:40 11:40 11:40 11:40 11:40 11:40 11:40 11:40 11:40 11:40 11:40 11:40 11:40 11:40 11:40 11:40 11:40 11:40 11:40 11:40 11:40 11:40 11:40 11:40 11:40 11:40 11:40 11:40 11:40 11:40 11:40 11:40 11:40 11:40 11:40 11:40 11:40 11:40 11:40 11:40 11:40 11:40 11:40 11:40 11:40 11:40 11:40 11:40 11:40 11:40 11:40 11:40 11:40 11:40 11:40 11:40 11:40 11:40 11:40 11:40 11:40 11:40 11:40 11:40 11:40 11:40 11:40 11:40 11:40 11:40 11:40 11:40 11:40 11:40 11:40 11:40 11:40 11:40 11:40 11:40 11:40 11:40 11:40 11:40 11:40 11:40 11:40 11:40 11:40 11:40 11:40 11:40 11:40 11:40 11:40 11:40 11:40 11:40 11:40 11:40 11:40 11:40 11:40 11:40 11:40 11:40 11:40 11:40 11:40 11:40 11:40 11:40 11:40 11:40 11:40 11:40

12.77 6:30.大孫郭斯 6:45 無不 9:05 是 9:05 是 9:35 即 9:35 即 9:35 即 9:36 即 10:15 11:10 12:45 情 12:45 13:10 13:10 14:30 15:25 16:15 16:15 16:15 16:15 16:15 16:15 16:15 16:15 16:15 16:15 16:15 16:15 16:15 16:15 16:15 16:15 16:15 16:15 16:15 16:15 16:15 16:15 16:15 16:15 16:15 16:15 16:15 16:15 16:15 16:15 16:15 16:15 16:15 16:15 16:15 16:15 16:15 16:15 16:15 16:15 16:15 16:15 16:15 16:15 16:15 16:15 16:15 16:15 16:15 16:15 16:15 16:15 16:15 16:15 16:15 16:15 16:15 16:15 16:15 16:15 16:15 16:15 16:15 16:15 16:15 16:15 16:15 16:15 16:15 16:15 16:15 16:15 16:15 16:15 16:15 16:15 16:15 16:15 16:15 16:15 16:15 16:15 16:15 16:15 16:15 16:15 16:15 16:15 16:15 16:15 16:15 16:15 16:15 16:15 16:15 16:15 16:15 16:15 16:15 16:15 16:15 16:15 16:15 16:15 16:15 16:15 16:15 16:15 16:15 16:15 16:15 16:15 16:15 16:15 16:15 16:15 16:15 16:15 16:15 16:15 16:15 16:15 16:15 16:15 16:15 16:15 16:15 16:15 16:15 16:15 16:15 16:15 16:15 16:15 16:15 16:15 16:15 16:15 16:15 16:15 16:15 16:15 16:15 16:15 16:15 16:15 16:15 16:15 16:15 16:15 16:15 16:15 16:15 16:15 16:15 16:15 16:15 16:15 16:15 16:15 16:15 16:15 16:15 16:15 16:15 16:15 16:15 16:15 16:15 16:15 16:15 16:15 16:15 16:15 16:15 16:15 16:15 16:15 16:15 16:15 16:15 16:15 16:15 16:15 16:15 16:15 16:15 16:15 16:15 16:15 16:15 16:15 16:15 16:15 16:15 16:15 16:15 16:15 16:15 16:15 16:15 16:15 16:15 16:15 16:15 16:15 16:15 16:15 16:15 16:15 16:15 16:15 16:15 16:15 16:15 16:15 16:15 16:15 16:15 16:15 16:15 16:15 16:15 16:15 16:15 16:15 16:15 16:15 16:15 16:15 16:15 16:15 16:15 16:15 16:15 16:15 16:15 16:15 16:15 16:15 16:15 16:15 16:15 16:15 16:15 16:15 16:15 16:15 16

6:55 六合彩 7:00 兜亂兩仟総 8:00 海峽兩岸/幽際精選 8:30 小白龍之鄉奸祀 8:55 割見的一代/新聞描葉 9:00 跨啦啦O.K. 9:30 新聞/天氣/財經 10:05 開榜 10:30 大甕界/新聞摘要 11:30 活色生香 12:05 夜間新聞/經濟快報 12:20、黄建绿(任制) 1:50 黄星青绿 無縫明珠台

5:00 The Electric 5:25 丁丁少年 5:50 The Raconons 7:55 The Foundation 7:59 Santa's Call 80 小放政等權 8:30 Greatest Hits Live 9:30 新聞簡報 9:35 閏年 11:35 流行音樂轉播站 1:45 新聞報導 12:00 豪門思想

12:50 俠膽雄癖 1:40 秋對今生無悔 8:00 教育電視 12:00 全日播映完單

4:00 數學公存 大板等 數解特技團 神犬拉酋 蜘蛛女俠 Comic Strip 古板老豆盎憨女 6:20 選區這裡 6:50 晚間新聞 7:05 姑姐妳好 8:00 新聞·財經·天氣 8:30 國際精選 9:00 線身舞 10:55 大狀追兇

高薪訊

① 上午



最近十期開獎紀錄 發財雙號碼 發財單號碼 大號碼雙胆

細號碼雙胆 中號碼雙胆 36 28 33 40 1 9 0 3 9 0 0 9 9 3 9 0 1 1 9 0 3 9 0 1

3 Û **9**Ø9 **3** Û Û Û Û 35 3 12 20 28 36 4 2 2 2 3 4 6 2 2 2 3 ĝ (2 20 28 😘 **④** ♀ ♀ ♀ ♀ ♀ A 7 3 4 8 8 4 3 **4** 3 8 4 G & & & 9999 § 🖟 🕄 🕏 🚳 \$ 3 2 3 3 \$ 13 23 29 37 § 9 **0** 9 9 § ŷ ŷ ŷ ŷ 6 6 2 3 3 6 0 0 0 3 û Ø 30 38 6 9 2 9 9 6 9 2 3 3 [4 22 30 38 ê û 2 ŵ 8 ® 13 23 33 38 7 6 3 3 3 ŷ ŷ ŷ **③** ŷ Ø 6 3 9 9 js 23 3 39 2 6 3 3 9 🤋 🖟 🕸 **4)** 🥹 ĝ ĝ ĝ ĝ ĝ Ŷ § Ŷ Ŷ Ŷ ê î 24 **2 40** 8 6.2 3 4 û6 24 32 40° 8 6 2 3 4 8 6 2 3 0 8 (6 24 32 <u>60</u> § 16 24 32 🚳 6 2 3 40 第91期 第90期 第89期 第86期 第88期 第88期 第85期

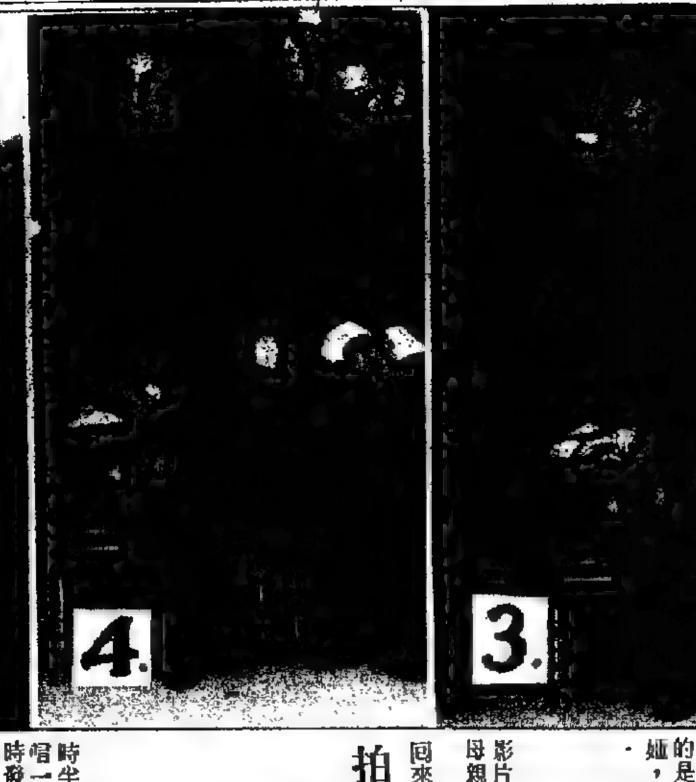
近期旺門號碼:

6 19 21 22 27 28 31 40 十期盲門號碼 5 8 13 14 32 38 39

各號碼與上次開出距離期數 自42個號碼起計開出次數















# 多加安息禮拜

上家规定,每被一位记者佩带一张纸牌入览堂拍照上家规定,每被一位记者佩带一张纸牌入览堂拍照剧界友好煤有的花的都是我務知資維持秩序。已有受薪政衙員把守,嘉賓可随意入內行禮,戲迷舉齊,一代藝術臣匠從此永離人世。昨日上午七時舉濟,一代藝術臣匠從此永離人世。昨日上午七時

成龍發仔同到致祭鄉月和自衛政學

公员人工

生前好

友扶靈隨即舉獨身送

葬

星齊

致祭

白雪仙瞻

遺容頻

寶珠

阿刨

阿哆農早便到場

阿例

万不斷在哭泣

鮮花圍繞任姐銅棺

發感到 此到靈堂市 極傷

蘢

任姐數番鼓勵努力拍好片

小时。他的侄兄,當時他亦不 兒身。

小时。他的侄兄,當時他亦不 兒身。

小时。他與任姐雖然不熟落。發碼對任,白的大戲一般, 但是他與任姐的侄兄 近,其母十分傷心,發展, ,但是他與任姐雖然不熟落 特别喜愛,所以任姐病(一)一便趕到鹽堂弔唁,作為 知道對方是任姐的侄兄

慢

到靈堂鞠躬 圖片說明

、陳自强陪同成龍及成家进到場、 陳自强陪着仙姐參予安息禮拜、 俄爾爾發敦偉任姐唱詩歌。 人 周潤發到任姐盤堂行禮。 人 成龍行完體離開預儀舘。 [一白雪仙的呆滯表情。



死哀,福离全歸 」。 数十部片,她稱讚任姐乃好人 数十部片,她稱讚任姐乃好人

多年老友西瓜刨

此次屬「一丁,合作

梅艷芳專誠 陪 瞻仰遺容劉培基囑其不要哭泣 自

,没有合作拍戲後,便無再見面。拍過很多部電影,連西瓜刨也計不 抵殯儀館 他觉得 很好,所以只送了吃到確實 到任姐風光大 ,只外两人 花拜祭任姐。但现在一个 美歸





姐等弔咁任姐時之一刻。





去探時阿姐已仙遊了。阿姐的遺容安祥,也感安慰。爲可以改日去探她,怎料她已出院返家休息。 境嚴後去世前的一刹那。知她入院,自己答應過去探笔 永與阿梅淡兩句,她不斷的在哭泣。她說,自己最遺憾到阿梅入座之後,已經無機會拍到她的近照。 之跟着自写仙入靈堂的,記者只知映白雪仙,却疏忽了 歐 **賈專程趕返港** 

变变战:她做人生命有不同的看法,年纪老了,死送歌遮臣角火葬,記者在大門外不准進入黨堂,錯失拍攝扶靈的照片。任姐曾合過作不少電影,所以臨時結束星馬之行趕 區鍋甕,劉禹煌,髙振南,李醒敬,陳自强,劉培基等。隨即舉殯,异年至亲世失選任如註世,5世才智慧門臣非一臣第一臣》 十位阿姐生前好友扶冀,包括蔡永棠,余平仲,高福永,甘光舜, **電話問母親,因爲** 她目前到星馬爲 

情。 仰任姐遗容時,也是呆若木鷄由友好參扶者,似是全身無力,也全無表仰任姐遗容時,也是呆若木鷄由友好參扶者,似是全身無力,也全無表瞻仰遺容只有是任姐生前好友參予,啟迷只有空嘆奈何,白雪仙**晗** 

膠布,左手拿手出仙姐攤續流淚。

觀千餘 絮 絮

· 治記者拍照。 · 遺位女戲迷認眞懂 下來買六合彩,希望

黄房東東牌號碼 時値百多萬港元 公運載任姐選斯 **竞造成混亂情况,祇是發仔港政府新聞處與警方均派員可調映動,乃近年藝人變體外圍觀的歐迷亦有千餘人,靈堂致祭的親友、影迷不計** 自英運到

一门上台、接上面,因此而展開與一些護衛員上演一場無動工作。 一個相照自然不會乖乖站立在指定範圍, 一個相照自然不會乖乖站立在指定範圍, 一些護衛員上演一場廠廠提領仔遊戲, 四十一次 與一些護衛員上演一場廠廠提領仔遊戲, 與一些護衛員上演一場廠廠提領仔遊戲, 與一些護衛員上演一場廠廠提領仔遊戲, 與一些護衛員上演一場廠廠, 與一些護衛員上演一場廠廠, 與一些護衛員上演一場廠廠, 與一些護衛員上演一場廠廠, 與一些護衛員上演一場廠廠, 與一些護衛員上演一場廠廠, 與一些護衛員上演一場廠廠。 **(機堂书嚐任姐,但她聽一三藩市返港之後,原來** 

败,他觉得任姐爲人 很好,料委大偷稱在細時已認識任姐,△姜大衞昨日與太太李琳琳往 政,他觉得任姐爲人很好,對後谁怕要大佈稱在細時已認識任姐,從沒有公姜大衞昨日與太太李琳琳往任姐母公姜大衞昨日與太太李琳琳往任姐母女姜大衞昨日與太太李琳琳往任姐母女妻 大衛卡人 婦 夫 婦 致祭 劉培基壽 閉,爲免時間

以她是不想再說什麼話





\*\*\*\*\*\*\*\*\*\*

**八葬塲送殯** 

民華中





聘

兼中史

同鄉會 院聘請

業訓練夜校

成数周天 2字樓229 室③845541 2字樓229 室③845541 是期 檔案專訪費平成 2字樓229 室③845541

專播媒界推薦 優秀會員衆多 ★5-8336302 個商厦13字根B 2

此、I WATA風 、鳴解、火牛、 動打字機、雪柜 (前電寶)

延音樂咭 價\$2.8 燈\$3.8

庭家樂康 日十初月一十年巳己曆夏













(大學歌歌 中五) (大學歌 中五) (大學歌 中五) (大學歌 中五) (大學歌 中五) (大學歌 中五) (大學歌歌 中五) (大學歌 中五)



如結婚紀念及生日之類王們勿忘太太的大日子

求浪漫

處信箱號碼

🗫 12 Stand Dear of Dearly Marie (Sear R. Sear Pleas III) and Marie Manaci Morrells and Strands Marie Marie

1604 1612

1654

1656

1657

1663

1671

1673

1678

1682

處信箱號碼

 $\mapsto$  J

∞搬  $\omega$ 

の包養

惠刋本報

分類廣告

請撥電話

**⑤**462583

**5**464459

大批塑膠玩具 日用品教育益智軟膠硬陰膠吹石膠千餘景公模製成品半成品膠料風泵轉機混 料機吸索機移印機真空收缩機打包機轉床窗口冶氣機大班枱椅I.B.M. ADLER 打字機 一大抽氣局洗去機 与生像似作物工具一律大平實限目沾高 一地址:官塘巧明街95號夏利文工度 8字樓前(麗斯華美)

遊

遺

失聲明

集友銀行擔保提貨信( 號碼21174)L/C/66 K-01-33914係擔保提 出人榮船務有限公司由 台灣運來的36箱布疋, 現聲明該擔保信作廢

和③617538後昌山南水水水 國內人住泰國九龍賓館

發外特登報幣期 有日證一本除請認 本除請認 方傳明

遺失聲明

130特此登報報

遺失

人斯電器·I.C.電阻、LED 、電線、西湖鑽、搞漿機、入鐵扒、風批、I WATA風電、PUNCTURE TESTER 、示波程、電池、貨架、網絲、及索扒、喧解、火牛、風筒、捲髮器成品及半成品、高級會議格椅、傳真機、電話系統、電動打字機、雪柜、梳化、告示板、植物測水器、柴帮康民街2號康民大業中心2字樓(前電質) 聖誕音樂咭 特價 \$ \$ 3. 8 四 燈 \$ 4.5 多款三摺垂咭任棟 元 詩存廣告電話③858691 服十劑。

附、天冬各二十克,水煎服,每日一劑,連各三十克,玄參、連翹、黃精各十五克,香。万樂;銀花、當歸、補公英、黃氏、黨參

岸訊息

職員不

最後

不,相當於一九八零年原有,今年查出有釘螺面與上海毗鄰的江蘇 台灣學者公開揭露 溪流遍佈流刺網 水產資源遭殘害 

大陸土特產食品

全國超過 億

盗公案件

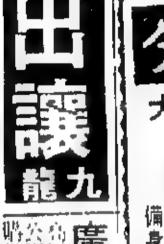
佔總罪案

面前

財團高價收購

不交吉樓或交吉樓舖

即日成交



致利地產(3)3120823

價

不交吉樓或交吉樓舖 ·無須睇樓

3-7826933 長江地產

全幢分層

1020

01186

8080

各地最

南韓、

石岩湖

31,488

A PERMIT

数二级 经

TEN TON

8、上海1、

潘氏宗親會



由\$5390起

由\$6290起

\$7190

由\$7190起

\$ 7190

\$ 7390

由 \$ 3880起

美城花園大厦 業主立案法團通告

廠房租

油尖區康樂 體育會通告



便讀者 選擇旅遊

九龍尖沙咀星光行1427-1428室 3-7351861 3-7351031 中區皇后大道中48號萬年大厦1103室 京華清樓樓上 布吉島四、五、七天 5-217205 5-268305 銅鑼寫恒隆中心2101室 (松坂屋樓上 5-8907133 旺角彌敦道636號銀行中心903-4室 3-325655

**荃灣地鐵站南豐中心721室 0-4920248 0-4150806** 

官塘地鐵總站官塘廣場1樓137及142室 3-7973023 票務與線:3-7302372 3-7356817。 星期一至五 别鬼晚七游公 鸡北沙日及你明朝九晚主

清邁、金三角、曼谷四、六、七天由\$ 3290起 清邁、曼谷、布吉島九天 \$ 5050 多增遊: (1) 暹羅人工海浪園

、2)模型城

增加成本免費增遊"人妖歌舞表演" 布吉島住宿兩晚或三晚新行程、任君選擇 乘搭國泰、泰航、天天出發 可延期返港

馬泰(布吉島)。星七天、八天由\$5490起 馬星(檳城,馬六甲)六天\$4840 由\$3500起 馬星(檳城·怡保·邦咯島)七天\$5190 馬來亞(檳城·怡保·邦略島)六天\$4100 泰星六天 \$ 5 | 40

> 行程種類最多、成本最高 乘國泰、馬航、星航、早去晚返 逢一、二、三、四、五、六出發

東北日光迪士尼六天、七天

東北、北海道廸士尼七天

日本北海道六天、七天

韓國本州廸士尼八天

韓國溫陽四天、五天

韓國九州八天

本州五天、六天

达九族文化村 \$ 2820 環島阿里山六天 \$3660 台北花蓮四天 \$ 2820 環島阿里山七天 \$4080 台北花蓮五天 \$ 3240 環島阿里山八天 \$ 4500

\*早機去,晚機返 \*純粹旅行團、不是帶貨團 天天出發。回程可停留台北/台證收150元

多增遊:(1)碧桃涓、麗淸灣、百島嶼 (2)紅磨坊夜總會 (3)餐膳於中國城酒家 (4)獨家安排品嚐

中菲式火堝 馬尼拉住六星之巴拉沙、碧瑶住凱悅 乘搭國泰,早機去,晚機返 天天出發,可延期返港

事 律 禹

馬尼拉、碧桃源五天 團華豪 s2,790 馬尼拉、碧桃源、碧瑤

**\$3,290** 七天豪華團 馬尼拉、宿霧五天 豪華團 \$3,550

馬尼拉、宿霧、碧桃灣 七天豪華團 \$4,050 菲泰七天豪華團

\$3,990

赤國、印度

曼谷、芭堤雅 五、七天豪華團 s3,390起 布吉島、曼谷、芭堤雅 七、八天豪華團 s4,490起

曼谷、華欣、七岩、芭堤雅 七、八天豪華團 \$3,990起 布吉島四天豪華團 \$3,590 印度八天豪華團 s7,980

P A S N

馬星、印尼

馬星(檳城、馬六甲、雲頂高原) 七天超級豪華團 s5,190 馬星(檳城、邦咯島) 七天超級豪華團 s5,190 馬星泰九天豪華團 s8,190

印尼峇里島、日惹、椰加達 七天豪華團 s5,790 印尼爪哇島九天 s6,590 環島遊

北京、西安 北京五、六天

直航團 s3,390æ 西安、鄭州、洛陽八天 直航豪華團

華東七天豪華團 直航團 s3,290 昆明、石林五天

直航團 s2,090 桂林五天豪華 直航團 s1,890 海南島五天

天天出發,回程可停東京、大阪或台北

九州本州廸士尼聯遊七天、八天 由\$7490起

s1,790 直航團 清遠、小三峽、飛霞山三天 s3,090 特價/豪華團 s590起

> 順德、中山、珠海三天 豪華團 s548

> 中山、珠海兩天 s328 豪華團

> 東方公主號豪華輪 兩天遊 s498

澳門兩天超值 豪華團 毎位\$440起

澳門酒店十船票

毎位\$380起

代訂澳門凱悅、文華東方、總統、 皇都、富豪、聖地牙哥酒店 請查詢:3-7300411 代訂世界各地機票及酒店。

請査詢:3-7350333

獨立包團, 請查詢: 3-7354846 ★量晨萬率邀陪世界通行,先登雄後傳發。 缆家優惠、議查詢:5-8426111



Morning

3-7368368(9線) ◆香港皇后大道中64號連卡佛大厦1701-3室 5-218161(949) ◆ 荃灣地鐵總站南豐中 心1701室0~4165473(6線) ● 九輪構數道636號銀行中心1704-5室(旺角地鐵站) 3-320955+849)

● 鋼鑼翼百德斯街恒隆中心2107-8室 / 松坂屬百貨公司 標上15-8907233 5線) ● 香港劇魚涌太古城中心第二期商塲地下061室 5-8854481 6線) ● 觀塘開級遊68號製塘廣埠一樓136及141宝

3-412001 4歳) ● 換門南與初73-75號時代新常中心1203室 339122 運期日及公衆假期照常辦公 牌單編號 350018

致利

九龍上流 九龍旺月 K 77099

潘漢威 告本

馬尼 豪華 馬尼 七天 菲泰

星期六出發

曼谷/芭堤雅五天團 成人\$3,390 小童\$2,990 転遊: 复否、合佛寺、生佛寺、四面准

水上市塩、郊皇廟、鑑魚潭、憩堤雅、 tambasa、小人民、人妖花街、声的文化。" (這) 曼谷/芭堤雅/七岩/華欣七天團

成人\$3,990 小童\$3,590 星期六迪發 慰藉: 令佛寺、自佛寺、四面碑、水云南诗、 · 数片面 ( ) 电换点人的规矩人间隔层。 《人文》 人妖其由、其色又化付。犹太、 表看等、佛教公园、萧行丽、华卫烈友宏、 -1.社、大成伊新、野牛切牧園

代訂泰國各地酒店+機票

詳凊請向各大旅行社接洽查詢

台北四天團 HK \$ 2380

台北機票十3晚天成飯店\$1780,特快10天出台證\$150

地址:九龍旺角彌敦道618號好望角大厦1010室



大酒店設備

冷氣浴厠電

單人房140

馬尼拉,碧濤灣四,五,七天團\$2610起 馬尼拉,宿霧五,六,七天團由\$3520起

由\$3990起 \*住宿國際知名五星級大酒店

台北渡假團

四天 \$1150 南

台灣環島團韓國豪華團

六天 \$3660 四天 \$3880

台北機票十酒店\$1750天天出發

**專辦台灣快證 \$150 台北機票來回 \$1250** 

旺角彌敦道608號總統商業大厦603室

馬來亞

專辦台證各國簽證代訂各地酒店

代理航空公司協辦之各地旅行團

.奥 州57498 玉港市 \$7688

進至華S 7299 程 · 各S 7289

核 南\$4590年 約57788

夢 盛 \$ 2290 星期坡 \$ 3150

韓 医5 3390 吉隆坡5 3060

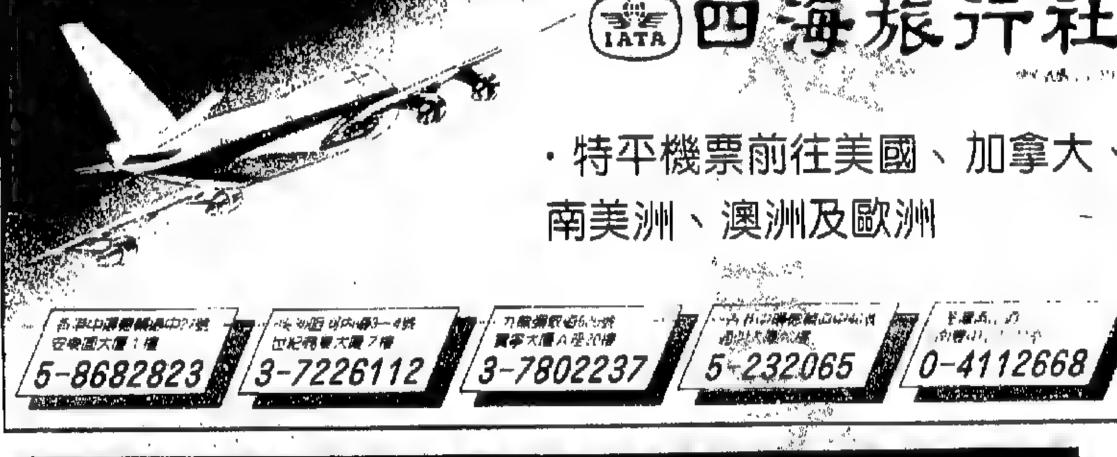
日 本\$3720印 足\$4020

**SIND** 

≒ ≒\$1790菲律實51790

**署世上並訂士街栢裕大厦 20字** 

\$ 4590



# 韓國天團\$3688起秦國美天團\$2988起

加拿大 多倫多 移民地產考察團 七天\$14980

29) 日十初月一十年巳己曆夏

T. A. Licence No: 350217

碧瑶

\$ 2750起

碧桃源

\$ 3350起

晚蘇魯夜總會外,獨家

TELEX 35428 OTOHK - FAX. 3-7806331

訂位查詢請與港澳各大旅行社聯絡

\$3890起

\$ 4390

\$ 4390

\$ 5390

\$ 4890

\$ 1990 / \$ 2190

加拿大,東加,菲濟羣島特快移民

加拿大滿地可移民專業駱先生已辦加移民20批成功年幾,百份百已

東加王國,遵照入藉居留,保證眞本,由專人帶去東加國務院出護

照加永久居留,R.R.章,自由出入居留東加菲濟羣島居留權証,保

香港旅遊移民顧問公司 九龍彌敦道363號恒成大厦1201室

傳呼:3-833833-755 駱先生

②不收按金不收訂金,移民官批准才收費,不批准分文不收。

④到加報到時,代辦工咭醫療咭,專車接送免費全部諮詢服務

証眞本,不用去非濟,不用移民監,後門保險最佳世外桃源。

\$4090起

# **→** 3-325513-**5**

電腦直接定位·價錢公道絕不取巧

4至7天 温遊華成及七岩 皇帝式伎生晚宴

訪四面佛芭堤雅 享用免費溫泉浴 海鮮乳豬皇帝餐 參觀奧運會塲館 早去晚返可停留 回程可停留台北

**「星馬泰・台韓・美加寧線・機票特廉・快證**」

-桂林市旅遊局鼎力贊助

1890

一次遍遊桂林、柳州、陽朔

保證住宿喜來登文華大酒店、凱悅大酒店,新瀉江飯店

天天出發

五天直航豪華團

° ~ 5-8101333



歡迎同業諮詢 電話:5-217355 牌照號碼:350412 • 日本專線總代理旅遊

• 厦門專線總代理旅遊 厦門·泉州·集美鼓漠嶼五天團 厦門、鼓溪嶼、武夷山福州、泉州八天園 代訂世界各地大城市酒店服務 • 特快台胞証及韓國旅客往大陸簽証

專辦大陸各線旅行團

LICENCE NO: 350569

• 日本火車證: 有效期內·不限次數·距離 •

• 機場巴士證: 母須轉車便可直達

通用全日本52城市・

97間酒店網・HK\$450 約

廸士尼樂園

富士山五天

### 旅行社牌照票350641 3-922273 三線 專售各地平價機票

吉隆坡 可倫坡 夏威夷

持快台證 \$ 60 /

# GRAND TOURS

馬尼拉、

馬尼拉、宿霧

桂林五天豪華直航團 住宿喜來登或花園酒店 住宿錦桂或凱悅飯店 \$ 1690

昆明四,五天直航團

辦起達200家庭,現在港見客代辦移民。

③諮詢全部免費,在香港見移民官。

電話:3-7719098 3-882803

①循正規法律辦理並不要客人放入十萬廿萬。

大量精美行程表備索

韓國專線

漢城4/5天

雪嶽山5天

全韓國7天

濟州4/5天

慶州、釜山5天

漢城、台北6天

住宿金龍飯店

海南五天豪華直航團 住宿海口泰華或金融酒店\$1790

夜總會,節目精彩,實不容錯過!!

菲律賓專線

桂林錦桂飯店香港總代理 雕迹旅行社有限公司

熱綫電話:3-323673

牌照號碼: 240028

### 3-691692 牌展號碼: 350505 → 3-698008 工商考察★旅遊觀光★學生移民★特廉機票

香港中環皇后大道中 70號。

連卡佛大厦 1907室

日航夏威夷精選\$ 5190起 國泰歐洲假期遊\$ 9990起 塑明假期夏威夷\$ 5298起 聲明假期歐洲遊\$11498起 新航美洲假期遊\$ 7699起 英航歐洲精棄遊\$10990起 黎明假期美加游\$ 9198起 國泰超湊假期遊\$ 9690起 西北美加精華遊\$ 8990起 新航澳超假期遊\$ 8680起

聯合美洲假期遊\$10490起 溴航溴紐精華遊\$ 8790起 大韓美加精牽遊\$ 8099起 翠明假期漠和遊\$ 8498起 國泰加拿大假期\$ 9490起 尼泊爾雅奇之旅\$ 4590起 爱明假期加拿大\$ 9798起 文明古國之旅遊\$15680起 加航加拿大精華 \$ 9690起 東非肯雅勝景遊 \$13998起 新航歐洲假期遊\$13398起 金鷹中蘇東北歐\$18980起 特約代理東南亞韓、日、台、星、馬、泰、非、越、印旅行團

九龍尖沙咀彌敦道100號東英大廈1120-1122室

### 您對旅遊業有興趣嗎?

夜間旅遊專業文憑課程 ★免費旅遊★增廣見聞★

特點:全港唯一專業訓練旅遊之學校 本院文憑獲亞洲旅遊業協會委任理事及香港旅行社承認 - 本學院附設學生輔導就業組,各學員迅速獲工作機會: 本學院培育旅遊業之英材達千多名以上、大部份任職各大 旅行社;任職領隊者可獲免費旅遊之機會

課程包括(即將開課★報名從速) \*801旅遊從業員文憑課程\*803票務交憑課程IATA \*802.4 册旅遊聯絡員及領隊文心課程 \* 3801.酒店管理文憑 香港旅遊業訓練學院,查詢電話:5-416105。下午二時至六時 中環租底利街10號富興大厦5 F502室 中央街市俱

# 

全程GARUDA豪華客機、逢六出發

1150 龍普 韓國4天團 1020 新台灣 330 一樂園 330 新華麗

特快台證》台灣百貨包收包賺包你滿意

### 熱線電話 5-8683399

3-7211348

成人收費\$5950

小童收費 \$ 5040

印尼新旅程 **峇厘島環島五天園** '4990 **吉厘、日港、椰加達七天園** 5990 印尼探視28天4400逢3,6出發,代辦印尼簽證商務多次證 台北酒店:華華320 全台灣環島6天團 3660

菲律賓印尼8天聯遊5790 (自組10人以上,達三出發)

九線紅角溫數道560號價數中心303雲 香港中環線輸道中19號電打局場255號 新春臺灣商豐中型18季權 101克豐 九龍天沙屯賽節半島中心後程原縣[-G1]京

### 5-8901186 3-808080

\*電腦操作專業代訂國內及世界各地最 平機票、酒店。 \* 精辦泰國、台灣、馬來西亞、南韓 菲律賓入境簽證。 \* 歡迎電話查詢 \*

特惠查票:香蜜湖、小梅沙、石岩湖 、西麓湖、東湖、南海、新都、上海、 金山等訂房及旅遊。 湖南張家界岳陽遊 七天\$1,488 "我们会好想的是少数要好。"李家的"你是一种人人,我们是我们的一

為并出榜用戶是專家就豪華等臺灣學問題等等到地議中提出的

潘氏宗

效報 力分川

D

九龍尖沙咀星 3-7351861 3 中區皇后大道 5-217205 5-銅鑼灣恒隆中 旺角彌敦道6 圣岗地镀站商 官塘地铁總立 票格專料 星期一条五节 经

> 馬尼 豪華 馬尼 七天

的南湖

a

郭日梅華

横向者宜大

改氣裝裝

)非常重要・5世紀不可能!米」早已時間

發

可名譯些有

些吸急作抖過炎沒發有 前 加性劇或份。有熱如

輕身一任卸元爲鄭

感冒可

風南斗北 日十初月一十年巳己曆夏

徐酒, 你爸媽 不不

高會塊

师,幾妙!(一二○)
ハ、國籍・・・・・簡單得很。
ハ・而且在船上要塡個麦
ハ・教妙・去澳門・好似過

在,活品已 立例管制, 身爲市民, 身爲市民, 身爲市民, 是被市空間,

**看**在電子

諾福郡的

漁

夫後惕警報海貼廣

答必問有

馬語劇場

事做得很好,應該把另一件

做官做到八十幾歲才洋洋得意

佔據職位好榜樣。也許是他們的社

會、法定退休年齡是一百歲,因而

七老八十的人仍在發號施令了。

/ 一戴高樂一

事做得更好了

感觸殊深。

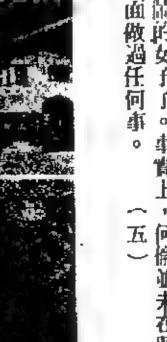
百名和以 度也比 度也比 度 6上廣其氏

我做事最愛即興

媽媽

您係得嘅

把說





近非共第 近非共第 近如有講話

甜蜜

希望女兒及時出現布玉影踪仍杳。

了說 出 鼓 榮

句配是

。醫宗學

姬胡

品味

是在推銷一種新款的黑色毛衣。只是:

你會同意女友或妻子穿上道種毛衣嗎?

矣! 你之銀行戶口咁得未?一菲萬元之樓你,你將之收租,想一找亦決爲你安排週到,想一我亦決爲你安排週到, 

·非話咁佢安心· 我界兩層二百 · 我界兩層二百 · 你為我家庭着

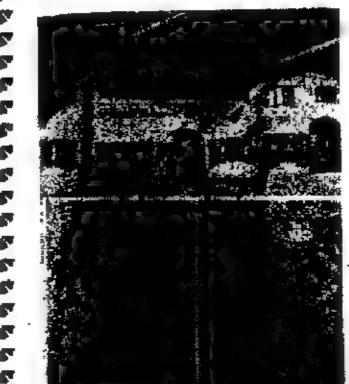
10 一月 10 一月 10 一月 11 一月 12 一月 13 一月 14 一月 15 一月 16 一月 16 一月 17 一月 17 一月 18 一月 1 我所随的罐。一旦 我所随的罐。一旦 人係晒你者。不過 人係晒你者。不過 人係晒你者。不過 人像晒你者。不過 人像晒你者。不過 人像晒你者。不過 人像晒你者。不過 人像晒你者。不過

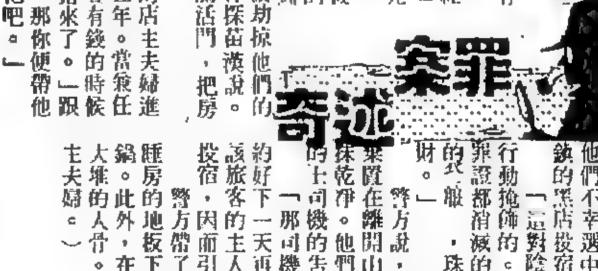
界佢上 亦不介 哈想失去三數大客也。媽媽生知佢 哈想失去三數大客也。媽媽生知佢 到佢機。菲菲重日日返工係咁总打 拜個大客綽號肥杜,自識菲菲之後

陣頭打

住,要也有也,大可意复在 有幸者,大水喉仍留在 有幸者,大水喉仍留在 曾返嚟。三五年有命去落烟客十九移民歐美,等

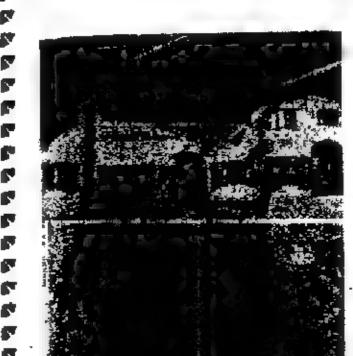
命去等,到時個世界代,等三五年,入籍後有率有不幸。不幸者





怪病





利利普她打給阿祖·董玉貞十分忙在·於

塞哩

而做過任何事。 (五) (1) (2) (3) (4) (4) (4) (4) (5) (4) (5) (6) (6) (7) (7) (8) (9) (9) (10) (11) (12) (13) (14) (15) (16) (16) (16) (16) (16) (16) (16) (16) (16) (16) (16) (16) (16) (16) (16) (16) (16) (16) (16) (16) (16) (16) (16) (16) (16) (16) (16) (16) (16) (16) (16) (16) (16) (16) (16) (16) (16) (16) (16) (16) (16) (16) (16) (16) (16) (16) (16) (16) (16) (16) (16) (16) (16) (16) (16) (16) (16) (16) (16) (16) (16) (16) (16) (16) (16) (16) (16) (16) (16) (16) (16) (16) (16) (16) (16) (16) (16) (16) (16) (16) (16) (16) (16) (16) (16) (16) (16) (16) (16) (16) (16) (16) (16) (16) (16) (16) (16) (16) (16) (16) (16) (16) (16) (16) (16) (16) (16) (16) (16) (16) (16) (16) (16) (16) (16) (16) (16) (16) (16) (16) (16) (16) (16) (16) (16) (16) (16) (16) (16) (16) (16) (16) (16) (16) (16) (16) (16) (16) (16) (16) (16) (16) (16) (16) (16) (16) (16) (16) (16) (16) (16) (16) (16) (16) (16) (16) (16) (16) (16) (16) (16) (16) (16) (16) (16) (16) (16) (16) (16) (16) (16) (16) (16) (16) (16) (16) (16) (16) (16) (16) (16) (16) (16) (16) (16) (16) (16) (16) (16) (16) (16) (16) (16) (16) (16) (16) (16) (16) (16) (16) (16) (16) (16) (16) (16) (16) (16) (16) (16) (16) (16) (16) (16) (16) (16) (16) (16) (16) (16) (16) (16) (16) (16) (16) (16) (16) (16) (16) (16) (16) (16) (16) (16) (16) (16) (16) (16) (16) (16) (16) (16) (16) (16) (16) (16) (16) (16) (16) (16) (16) (16) (16) (16) (16) (16) (16) (16) (16) (16) (16) (16) (16) (16) (16) (16) (16) (16) (16) (16) (16) (16) (16) (16) (16) (16) (16) (16) (16) (16) (16) (16) (16) (16) (16) (16) (16) (16) (16) (16) (16) (16) (16) (16) (16) (16) (16) (16) (16) (16) (16) (16) (16) (16) (16) (16) (16) (16) (16) (16) (16) (16) (16) (16) (16) (16) (16) (16) (16) (16

是一个是他们幼稚衡動,在 這裡天然 那她。 一点,如果她對你不 1. ,我會打電話回來教訓她。 一般,如果她對你不 1. ,我會打電話回來教訓她。 一个先生夫婦帶着一肚子氣入閘。布先 尚且毫無作用,遑論隔洋的笑他們幼稚衡動,在這裡天

Mul. 一何倫勸慰說:「算了吧,也許交通阻,所直罷帳。一· 一何倫勸慰說:「算了吧,也許交通阻,,所直罷帳。 一 如早上出門時說過會來送機的,說過就算一 布先生火起來說:「真是豈有此理, 也許交通阻

此 数多(要等至度雨,因 少。 公張州一連次用外,年元嬰郎四次叛兵 城 農 歲一聚 武五 發變 經 把持朝政 社會經濟 一五〇) 利用民間

|次所禁 |死獄中 |崇尚節

的,内 。建筑

。時宿

干餘人

高黨 命家的 靈, 一緒,相敬帝然

。朝廷幾 更加黑暗 角,以 萬 克 、 地 強 八 )二月・ 、張梁號 街中・號 嵩、朱携 死,至十 、朱携討 延河北一

一八大年 **造泡三**輔 間亦迭起 縱橫的結

[榮章] 「「李冰」 了」字誤植

rmal

(Ans.)

熱綫

1990 中學會考預習專欄 ---明憲出版社-MILL & DALE PRESS

# 粤德出版社何炳堅博士

提供資料 (s) 成宦৸權與漢祚中絕:

(A) 戚宦鬥權的背景: 武帝在位時,持法峻急,督责7 臣 來嚴。他任用輔相是不論才具,每 喜歌任用助政语臣諶願一流的人,使 他們具官備數,奉行文書。大臣稍一 不慎, 即不免刑戮。因此, 段禍懷誅 者,惟有阿諛取容以求取宿費。武帝 所氫甑的外戚循青、雷去病;所親近 的是宦官,甚至令他們替士人掌取章 · 宣示融旨。凡此措施伏下了联官

擅遷的伏織。 (B)戚官擠權的情况: 巫魏之禍與太子據兵敗自殺。武 - ロンタ子邦陸為太子・遺韶外戚電光 金日 、上官禁輔政。昭帝立後 上官集以謀反誅,政權全歸舊光掌握 。昭帝崩,霍光迎立昌邑王,後又殷

2.而立實帝。 從昭帝時起,丞相田千秋,王訴 、基故、继奏等, 確確無所短長, 電 光獨孪朝政,威裘人主。霍光死,宣 帝親政,雷氏以謀反伏誅。寬帝因而 不信任朝臣,持官官無黨派偏見,遂 任宦官弘恭縣中壽令,與石願分準楊 一种。實術並引用祖母史氏及后家許氏

独线旗氏。 宣帝崩,史高爲大司馬車騎將軍 输光常。石顯與史高,許延壽勾結, 記紋名臣衛望之、周堪等人。成帝即 47、雖罷黜石廟,但又委政外戚王氏 ·終於發生,王莽篡位之禍。

(C)昭宜之治: 西漠國運,至武帝時而盛極,但 支落之機,亦伏於此時。武帝征伐頻 10.6 求仙封禪的結果弄至國家民窮財 盐,觸犯刑法者多,於是酷刑濫施, 天下斷獄萬敗,晚年盗賊竊發,充分 表現出衰顏的趨勢。幸虧昭宜兩代, 與民休息,國與稍轉。寬帝起自問閻 尤其注意更治。著名的良更有趙廣 · 雄延辭、張徹、魏遂,而以黃騎 治行卓最,于定國以治獄平允,位至 專籍,由於人民得到休養蘇息,政治 孫平國勢中與,史稱「昭宜之治」。

(D)外戚王氏的興起。 元帝嗣位以後,國家政權下移。 高。奇時政歸正氏:王胤、王晋、王商 人民場、王弥・相綴専斷朝政)羣臣 "嘉子题附王氏》深相結納。內官如尚 · 互购,外官如刺史即守,皆出其門 ※」意視張馬、翟方進、孔光等輩・惟 以依達取容。王鳳等表面皆能禮賢下

五,王莽尤其獨行立名,深得人望。 宴帝以外落入承大統, 素不滿意 王氏,乃龍压王莽,努力集中政權, **他雖用祖母族傳氏、母族丁氏,但却** 不能以事權。可惜他即位六年便死。 成帝母主氏再次起用王莽,莽以太后 訊·亞立年僅九歲的平帝,實行總攬朝 政。王莽的一切行政皆緣館『周禮』 ,開発者比之於周公,天下吏民上 書頌莽功德者多至四十八萬七千餘人

王莽繼又毒殺平帝,立宣帝玄孫 ,年甫二歲,號爲孺子。莽假輔周公 輔成王的故事,居攝踐祚,號假皇帝 。王氏羽然復上曹稱說符命,勸莽即 位。公元八年,莽廢漢自立,改國號 「新」。西漢享國凡二百十年而中斷

(E)王莽篡漢成功的原因: 王莽成功築漢的原因,可概括如

①漢自成帝以後,朝政爲王氏-門所把持,王莽藉叔伯餘陰,兼得王 太后(成帝后)之寵愛信任,得以獨 攬大權。

②王莽恭儉待人,雅好儒術,能 禮賢下士,深得當代人望,聲譽日隆

③不帝時王莽任大司馬錄尚書事 推行惠政, 額絡人心。舉例而言有 :大封宗室及功臣後裔,捐献私產以 賑濟貧民;擴充京師大學,增加五經 博士及博士弟子員名額,並於郡國縣 **邑廣置學校。因此,無論宗室、大臣** · 士人、平民, 王莽皆加以籠絡, 博 取好感。

④西漠末年, 讖緯之學與五德終 始說盛行,王莽利用「蔥德已衰,新 聖將與丁之說,假託符命以新聖人自

居,取得國人之擁護。 (7) 王莽社會政策的嘗試與失敗: 王莽爲治,惠掾飾經衛。初執政

時,即舊改革制度;即位之後,他依 據『周禮』而努力制作。王莽的改革 政策,無疑是偏重理想而床於形勢, 結果是治絲煎棼徒增混亂。不過,王 莽思想做說,治事勤懇·所定新制, 着重於民生經濟的改革,在政治史上 ,仍不失其重要位置。茲簡述其改革 **政策,並略論其失敗原因如下** 

(A)井田制的恢復,秦漢以後 ,產業競爭劇烈,聚强棄併,出現一 富者田連阡陌,貫者無立錐之地的現 **黎。王莽即位,乃欲恢復并田制度**。 企圖改變此不公平的社會現象,始建 國元年(公元九年),**王莽下**令沒收 **金國民田,改爲王田,所畜眷之奴婢** 改爲私屬,取「天下之性人爲貴「的 經訓禁止買賣。王莽更下令各戶男丁 不到八口,而田過一并(九百畝)者 必須分除田與九族鄰里鄉黨。若本 來無田者,則各照現制給田。若敢有 並抗非議者,政府加以**嚴**厲懲治。

這項制度自然遭受當時權質豪富 所取對,於是因違令而犯罰者多。况 且沒收人民田產,重新分配,勢必對 全國田畝數目及人口分佈目,有特確 的調查統計等爲先决條件,絕非倉卒 可行。王莽以政治力量强制實行,結 果使社會呈現不安的現象。

(B)五均六語:「五均如與 六筦」是王莽制定的理財政策。「美 **筦」是敢人民日用生活的重要生產**哪 業,改由政府經營,防止商人加以墾 斷。其項目包括:鹽、鐵、酒、名山 大網,錢布網冶及五均除貨。

此外,政府設立司市泉府五均等 官,由羲和統領其事。至於司市的任 務是規定平均的貨價作爲市價的爆雜 。泉凡是國營的貧民賃本機關,價貨 物給貧民,使他們不致受資本家的象 削。五均自在市場上貨物過剩時平均 平價收買貨物;等到市場缺乏貨級為非 又用平價售出。消費者和生產者,由一級復歸統一。

於有政府调節,不致要忍受物價劇烈(9) 漲落的苦痛。

王莽所訂制度,弊端在於過度着 重主觀上的理想,忽視了社會上的客 觀條件。最顯著的莫如幣制改革一項 , 十餘年間, 前後數變。廢除當世通 用的五銖錢,别創新制;名目最繁多 的是公元十年所行的资貨,凡五物, 六名,二十八品(莽以金、銀、銅、 10 ,貝製成錢貨大品,金貨一品,銀 貨二品, 值貨四品, 貝貨五品, 布貨 十品, 計共六名二十八品)。王莽的 用意在使貨幣子母相權,大小相輔; 却不知當時社會根本不需要這樣複雜 的幣制,而且貨幣變動太快,人民辨 别不易,幣制紊亂而使社會經濟動搖

。每改幣制一次、小農及小工商,平 民便要破產一次;弄至民不聊生。 王莽的官營事業,又以人才缺乏 不能不委託有經驗的人,任爲命士 ,歸義和節制,派至各地督察五均六 **德。王莽想利用少數大型費來抑制大** 多數的小商賈,但受大害的却是小工 商業及農民,不單擾風民生,更有命

士私營舞弊與官吏分肥的現象。 王莽迷信於」制作定而天下平」 的理念,聚精會神做改制工夫,朝令 而夕改,百姓無所適從,動觸法禁止 由於田莽專門制作,對於國家的平常 要政,如吏治刑獄,一切不管。加上 吏不得錄,都以姦貪害民;縣宰官闕 ,甚至數年不補。百姓苦痛,慘受煎 熬。王莽還自恃富强,用兵域外,賦 飲頃苛頻營,民衆終於忍受不來,遂

興起大規模的反抗行動。 新莽傾覆與漢室中與:

(A)王莽政權的傾覆: 王莽誘西羌獻地,置西海郡,徙 窗戍實邊,西羌以失地而背叛。王莽 復開景匈奴,發兵三十萬至北邊,五 原、代郡騷擾不堪。天鳳二年(公元 十五年)五原代郡起兵反莽。越三年 ,王国等起兵於荆州綠林山。樊崇等 起兵於莒,號赤眉,屢破莽兵。地皇 三年(公元二二年),景帝四世孫劉 ,、劉秀起兵**舂陵**,與綠林、赤眉等 相合,立漢宗室劉玄爲皇帝,改元更 始。王莽使出秦、王巳發兵四十二萬 擊之, 進圍昆陽。劉秀率衆大破莽**軍** ,即馮百姓殺莽兵以爲响應。明年漢 兵入長安,莽被殺,即位十五年,身 死而國滅。

(B) 漢室中興: 新莽既滅,海內又陷於紛亂狀態 。更始帝的說,殺劉 ,並遭劉秀率 兵徇河北州郡 8 國秀擊斬佔據邯鄲而 稱帝的王郎。更始進使立劉秀烏蕭王 - 奇即混英。剧秀不奉命,更擊定河 北,河南地區時赤眉沙樊崇先後背叛

更始帝,及先二四年攻入長安秋更始 8 劉秀乃即位於 南,是爲漢光武帝 等定都洛陽。 》的Wind 出很遺鄧馬,馮異攻克長安, **路**恭眉,定河東、上關、關中。是時 季雄各各據地自恣:漢中有延岑,黎 丘有田豐,夷陵有田戎,睢陽有劉永 。公孫述據益州,陳囂據随西、天水 ,勢力尤其强大。實施機河西五郡,

,實行保攬安民政策。至於訛稱武帝 孫的盧芳,勾結匈奴,佔據九原、高 柳一帶。光武分遺諸將,擊乎聲雄。 實融約地歸款。建武十二年(公元三 六年),公孫述為吳漢所滅。由王莽 被殺時起,十四年的分立局面,至是 東漢初期的政局: (A)光武之治:

光武少習儒術,起自田間,知天 下疲耗,即位後銳意偃武修文。功臣 鄧禹、賈復、耿弇等被解除兵柄,但 列侯就弟,保全福禄,以功名終。光 武爲政,重在休養生息, 輕徭薄賦 ——恢復州取一的税则。時何奴寇邊 ,潭臣,請發兵追擊,光武重用民力 ,拒而不許。

光武帝尤其注意吏治,數引鞏臣 尋訪民間疾苦,是故光武之世,循吏 张出,例如;杜詩守南陽,號稱「杜 母」。任延守九眞,錫光守武威,移 **變邊俗,治續優越。** 

對於奴婢問題,光武先後於建武 (10)外戚、宦官嗣國的再現: 三年、六年、七年下解放奴婢韶;十 一年韶凡殺奴婢者,不得滅罪,依例 41副。凡此政策,反映出光武帝銳意 要解决此嚴重的社會問題。由於政策 能貫徹施行,成效大,故後世所稱道

光武鑒於西漢,成、哀以來,士 大夫服官從政者,為諛媚以求固位于 進。王莽則綠飾經衡以成就築奪。他 除置五經博士,建明堂羣雍外,更積 極提倡儒家的倫理觀念,表章節義 竭力挽救知識階級沈醉利祿的壞風氣

光武帝對凡不仕莽朝及公孫述之 土,生者寵以祿園,死者追封褒揚。 對於展穴處士・加莊光、周藻・皆特 韶徵辟。莊光辭祿不受,周黨三傳始 至,伏而不謁。帝皆聰其自守。

至於用人方面,三公之官,皆起 用老師宿儒。功臣如鄧禹、賈復,耽 好儒術, 通經致用。明、章繼承傳統 統,特隆儒術。經過長時期的培植。 士大夫成爲漢代社會中堅分子,議論 威否, 具有一種特殊裁力, 他們都能 崇尚氣節,譏彈不避權貴,這無疑是 光武帝,用意提倡的成績。

(B)明章之治: 光武以後,東漢有明章盛世凡州 一年。國家無論文治武功,皆有巨大 成就。明帝嚴嚴,章帝寬厚。兩代之 治,與西漠文景並稱,社會經濟,經 過長時間的休養,逐漸富庶起來,戶 口日益繁殖。從光武中元二年(公元 五七年)至和帝元與元年(公元一〇 五年)五十年間,戶具倍增(中元二 年,戶四二七九歲三國,口二一〇〇 七八二〇;元興就年,戶九二三七一 一一, 口五三二五六二三九)。這是 光武、明、章体養生息的成功。

明帝在位,史稱「天下安平,百 姓殷富」。他繼承光武遺教,尊重儒 術。他當赴太學主持「大射」,「養 老」等禮,成爲當代盛事。在明帝的 提倡下,上至外戚大臣,下至宫廷衞 士,多習經學,瀰漫着學術氣氛。

明章堅持光武遺留下的另一政治 原则,乃是不讓外戚預政,皇后馬氏 謙蕭明理,不以私家爲念。明帝委任 官吏,非常審慎,即使館陶公主(光 武帝女)欲爲兒子子謀一「郎」職 亦不允許。

另一可稱述的政績是黃河與汴水 於平帝時的决口,歷久不修,災害日 廣。永平十二年(公元六九年)帝命 王景加以修復,消滅歷時數十年的水

章帝即位後,從尚書陳龍建議 除去殘酷法律五十餘條,政事務從寬 厚。一掃過去嚴切作風。章帝貫徹輕

徭薄赋的政策,民生因而盘臻充裕。 至於對儒術的母崇 - 更不讓前人。他 當親赴闕里祭祀孔子;並召集當代名 儒聚於京師白虎觀,探討羣經之異同 ,檢討當代學術的得失,學集而成『 白虎通義』成爲一代學術的典範。此 外,章帝復命曹褒成谟禮一百五十篇

。凡此都是當代學術界之盛事。

章帝在位十三年崩,死時僅三十 二歲。此時後漢帝國日益衰落,但光 武、明、章三代所養成的優美世風! 却一直持續下去,維整有漢一代之人 心世道。東漢的政治,雖然日趨腐敗 ,但有了這種精神支柱,國家尚不致 立即分崩瓦解。

(A)外戚、宦官亂政的背景: 王莽以外戚篡位,漢室中絕。光 武、明帝,有鑒於西漢的覆轍,乃親 **攬大權。章帝任用后族寶氏,**漸啓外 戚弄楠之端壁。

章帝以後,東漢歴代君主,年紀 都不到四十歲便死亡。幼主嗣位,母 后臨朝,主持國政。她們深居宮閩 自然要重用母家以寄耳目,於是外戚 專斷朝政。及至幼主年長,恨諸朝專 檔,輕視顯除外戚勢力,收囘政權。 但皇帝平素與大臣無縁接近,祇好引 親近左右的宦官參與密謀,結果外戚 雖誅而宦官的勢力代興。

東漢中葉以後的歷史,可說是外 戚,宦官鬥爭的紀錄。政治上紛亂器 暗,幾無治術可言。這兩種政治上的 怪物,禍國殃民的程度,比西漢劇系

(B)外戚宦官的爭鬥經過: ①章帝崩後,和帝年幼,竇太后 臨朝聰國。后兄憲爲大將軍,擴暴專 恣,父兄子弟,滿佈朝廷。永元四年 (公元九二)和帝與宦者鄭衆合謀誅 **憲兄弟**,始開實官參政的題例。

②和帝死後,皇位中絕。鄧太后 迎立安帝祜,太后臨朝,后兄郎驚輔 政,任用楊震爲太尉,李 爲司空 政治清明,驚亦識退自守。鄧后死後 ,嘴爲帝乳母王聖、宦者李闓、江京 等飄死。

安帝任用后兄閻顯及江京,樊豐 諸宦官與乳母王聖,賄賂公行,朝政 大壞。楊霞極諫不聽,被黜,震遂自 殺。諸宦官又與閻后共讒廢太子保。 ③安帝死後 周顯等迎立北鄉侯 整。不到一年又死。官者孫程等十九 人聯盟迎立太子保是爲順帝,殺個罪 而违太后。宣官以有擁戴的大功,聲 勢更加樹林。皇后父大將軍梁商·都 要投避他們。

**①**順帝殁,梁商之子從興皇唐章 立質帝。後冀又隸賀帝立桓帝。梁紫 前後專斷朝政三十年,凶橫騎恣。至 於百官遷接,亦要先到冀門謝恩。冀 招權納賄,家財達三十餘萬萬。 ⑤担帝與中常侍單超、具環 種。

衡、左 、徐璜等合謀誅梁冀。五人 以功同日封侯,遂代外戚亂政;其策 子親戚羽黨, 布滿朝廷內外。至於任 職郡守的爪牙,一方面舞弊營私,魚 肉百姓,一方面把持選舉,以官官子 弟, 羽燃充當孝廉, 茂材的人選。政 治昏暗,達於極點。對於守正不阿的 朝臣,主持斋議的士大夫,如李府 陳蕃等,藉黨人的名目而下之於獄 後雖於歸田里,猶明令禁錮終身。

⑥桓帝死後,靈帝入禮,外戚竇

武輔政,陳蕃爲太傅,合謀誅宦官門

節、王甫等。事洩、寶武、陳春反為 官官所害。獲帝寵僧十常侍更甚。曹 **節等受封爲列侯,又與黨獻,羅致名** 流官官毒燄更爲嚣張。張讓、趙元等 邪導無帝齊官屬爵,政治為不堪問。

靈帝崩後,皇子辯立,太君兄何 進執政·與袁紹謀誅宦官。事洩,進 被害死。袁紹侃兵入宫,才將宦官 **盘行誅戮。東漢的國選,也隨而告終** 

11) 清議與蒸鍋

(A)清議的形成: 光武帝麦章氣節,屈己下資,養成士 大夫崇尚名節的風氣。其次兩漢行案 舉制,也是清護激越的一箇原因。西 **英從文帝起**,就時常下詔舉直言極諫 ,賢良方正之士。武帝以後,每歲令 州鬼秀才,卻國察孝廉。察鬼的標準 ,必先考其人的生平,一玷清議便終 身不齒。這措施鼓勵土大夫要敦品勵 行,無形之中增加了清議的制裁力量

(B) 清談的發展——其過度性

**清護在社會既有這種權威,於是** 土大夫都努力求名·往往好爲驚人之 行,以博取時譽。例如極典以椽吏爲 國相服三年之喪,公孫瓚從太守徙於 日南微外,並以此而顕名。甚至有人 輕身馬友人復仇・以種種驚人舉動而 受世人推許。

另一方面,如袁紹因懼怕許劭的 月旦評而減與服儀從,黃允因維妻先 娶而廢棄終身。由此可以看出時人對 **清議的重視。於是,社會上有重名而** 負清望的人物,所發表的言論,往往 變成社會上有力的品評,例如:郭泰 、許劭都以聚論人物著稱。社會上甚 至有人不借申詞厚禮,求其品藻,對 之非常重視。由於品藻之風盛行,因 而產生名流標榜的氣習。束漢末年, 有所調「三君」、「八俊」、「八願 」、「八及」、「八廚」等名目(見 『後淡書』『黨網傳序』)。

以上所說的土風,雖然不免有好 名過甚之異。但清議的對象,在排誕 邪惡,因而與政治上的腐化勢力宦官 争鬥,終而演成兩次慘酷的隱獄。 (C)黨錮之禍;

①第一次黨獨:

東漢的黨翻,第一次發生於桓帝 延熹九年(公元一六六)。當時太學 生三萬餘人,之郭泰、賈彪爲首,與 司隸校尉李牌,太尉陳落主持清證 攻擊宦官。嚴正的守相,當依法懲治 宦官及其黨羽,故爲宦官所切齒,於 是設法傾陷,加以殺害。 李膺在大赦期內,誅戮殺人主犯 [第八期稿勘誤]

張成,富官使成弟子宇脩誣告李膺、(A)「秦國統一中國之原因」一節(C 陳蕃等人交結生徒,誹謗朝廷。桓帝 將他們緊獄,受牽連者達二百餘人。 四死就冲,至於逃遁未被捕獲者,則 **在英黨通緝之列。越年,雖**赦歸田里 ·但黨人之名,猶書於王府·禁錮終

②第二次黨翻: 萬趨之禍,雖然牽連衆多,但士 君」、「八俊」等,都負一時人望。 實武謀誅宦官不成而死,宦寺的毒燄

建率二年(公元一六九),「八 被抵抗與同鄉二十四人結爲部黨。朝

廷下韶捕儉。閩寺藉機誅連前次所禁 獨的李膺、范滂等百餘人,囚死獄中 。朝廷復下韶大舉鈎黨。當時崇尚節 務的士大夫,如與宦官有怨際的···· 流徙,或禁錮、數達七百餘人。建筑 四年,天下大赦,獨不赦黨人。時當 官又認司隸校尉段類捕太學生千餘人

風南斗北 日

商以而

的被而行物

廢少來人

氣其,或喉危除路

改害了旁

裝性用小

爲。濕販

後發紙退

向徹山着

舟多 靜勢

情海地味低

我水處濃菌

來侵區厚為

天有據有的

良避如番漁 好可果風村

,以週味。

,的確。

糕懫面們酒才

在上原髓的

購外般道都

穩傳而

的鼻材

,這是第二次的黨獄。 黨人得關雖酷,而名望愈高一般 士大夫,都以結交黨人,名列黨籍爲 榮,黨人所至之處(如張儉亡命,望 門投止),莫不重其名門,破家相容 。由此可見東溪社會對於名節的敬重 。中年元年(公元一八四),羅帝始 用中平侍呂强之言,赦免黨獨,然而 東漢政事散壞,已無救於危亡

12) 東漢晚期的腐化政治與動亂: (A) 東漠從安帝時起, 因外戚 官官的遞起擅權,政治日趙敗壞,農 村經濟因溝洫破壞,堤坊失修,年歲 荒默而動搖。順帝永和三年(公元-三七)以後,暴動數起。廣陵張嬰聚 衆數萬·橫行揚·徐之間·時州郡武 **備廢弛,動亂持續十餘年,至一四五** 年才平定。但在南方各郡·復連次發 生暴動。安帝、順帝時降羌兩次叛變 ,轉掠凉、井、三輔、益州,用兵經 年始平,國家元氣大傷。

(B) 桓帝一代, 宦官把持朝政 , 羽欺逼天下, 所在害民, 社會經濟 瀬於破產。和平元年(公元一五〇) ,三輔地區已有「妖賊」,利用民間 流行的宗教迷信,聚衆墨事。公元一 五四年以後,暴動更加普遍。朝廷幾 經艱苦,才將亂事削平。

(C) 藝帝一代,政治更加黑暗 。太平道的首領,鉅鹿人張角,以妖 言煽惑愚民,擁有徒黨數十萬,地逼 雷、徐、幽、冀、荆、楊、克、豫八 州。中平元年(公元一八四)二月 张角自稱天公將軍,弟張寶、張梁號 地公將軍,人公將軍,頭包黃巾,號 黃巾賊。旬月之間,天下响應,京師 麗動。 朝廷於是遺盧植,皇甫嵩、朱拂

分公討伐,大破黃巾。張角死,至十 一月,皇甫嵩平張寶、張梁、朱携討 请巾大股黨羽。但餘黨仍蔓延河北一 帮,難以平炮。 同年,凉州一帶民衆復起變亂,

**擁速章、韓遂爲首領,公元一八六年** 為董卓所破,而變剛機作,進起三輔 豫州、。南方盆州在道幾年間亦迭起 叛變。全國各地,變亂此起彼伏,中 央軍隊不能頻壓,直至州郡兵起,才 漸决平定。 東漢因政治腐化,寇盗縱橫的結

果,統一帝國的崩潰,遂於不可逃避 的運命。 『待續』

)項中,「榮陽」一地,「榮 停宴 植爲「」字。閩郡太守「李冰」 · 「冰」字誤權爲「沃」字。「朋」 關農田」,「農」字製植爲「福」 字。」西北戎地」之「北」字課植 爲「比」字。

(F)項中『孟子』句:「朱有甚於此時 。」、「基」字誤植爲「基」字。 氣却不因之而銷沈。當時名士如「三(B)秦代之「三公九卿制」一節中, 奉常」之「常」誤植爲「帝」字。 更爲富官所深悪。靈帝即位,陳若、(C)「書同文」一欄中,「同」字誤植 爲「國」字,「趙髙」誤植爲「趙

富」;用「小筝寫成的學童課本」 ,「寫」字誤植爲「築「字。 D)其餘誤植之標點、符號、錯字,請

自行改正。在此不一一瞥列。

(Proved)

1990 中學會考預習專欄

MILL & DALE PRESS

Additional Mathematics (10) W. S. So

Coordinate Geomety III - Circle Worked Example 1. Find the equation of the circle. With centre (0, 0) and the chord length out by the line 3x+4y-5=0 is

Solution

Revision.Exercise:10

The distance from (0, 0) to 3x+4y-5

 $d = \left| \frac{3(0) + 4(0) - 5}{\sqrt{3^2 + 4^2}} \right|$ 

be the choice of the circle.

 $m' = m' + (\frac{3}{2})^2$ + 16

=\*17 The required equation is  $x^2+y^2=17$ .

2. A fire touches the 5x+12y-316=0 and passes through the point (6, -3) and (-6, 15). Find the equation of the circle.

Salution and (a, n) be the coordinates of the centre.

The square of radius is ra  $1/2 = (3-6)^2 + (b+3)^2 = (2+b)^2 + (b-15)^2 = \frac{(5a+12b-319)^2}{5^2+12^2}$ 

 $32 - 12 + 12 + 12 + 10^2 + 65 + 9 = a^2 + 12 a + 36 + b^2 - 30 b + 225$  $a = \frac{3b-18}{3}$ 

 $(\frac{3^{5}-18}{3^{5}-6}-6)^{2}+(1+3)^{2}=-$ 

 $b^2 + 45b - 550 = 0$ (b-10)(b+55)=0

 $(x+91.5)^2 + (y+55)^2 = 12210.25$ Exercise 10 1. Find the equation of the circle which passing through the points (5, 0) and (-2, 1), and its centre

b = 10 or b = -55

a = 6  $a = \frac{-183}{2}$ 

= 169

The required equation is the second

 $(x+6)^2 + (y-10)^2 = 169$  or

-12210.25

2. A circle touches the line x-y-1=0 and passes through the point (2, 1). If its centre lies on the line y+2x=0, find its equation.

lies on the line x-3y-10=0.

3. Find the equation of the circle which passes through the point (3, 1) and touches the two parallel lines x+2y-3=0 and x+2y-7=0. 4. The line x+2y=3 cuts the circle

 $x^2+y^2+x-6y+k=0$  at the two points P and Q. If OP OQ, where O is the origin, find the value of k.

5. The circle  $x^2+y^2=r^2$  passes through the two points  $P_1(x_1, y_1)$  and  $P_2(x_2, y_2)$ . If  $x_1x_2+y_1y_2=0$ . Show

a)  $x_1^2 + x_2^2 = r^2$ b)  $y_1^2 + y_2^2 = r^2$ c)  $x_1y_1 + x_2y_2 = 0$ 

6. The circle touches the line 3x-y-1=0at point (1, 2) and passes through the point (5, -2). Find the equation of the circle.

7. The line 3x-4y-8=0 is a tangent to the circle  $x^2+y^2-6x+ay+b=0$  at (4, 1). Find the values of a and b.

Solution to Exercise 10 1. Let (3k+10, k) be the coordinates of the centre.

radius =  $\int (3k+10-5)^2 + k^2 = \int (3k+10+2)^2 + (k-1)^2$  $(3k+5)^2+k^2=(3k+12)^2+(k-1)^2$  $9k^2+30k+25+k^2 = 9k^2+72k+144+k^2-2k+1$ 40k = -120

... coordinates of centre: (1, -3) radius:  $\sqrt{25} = 5$ 

k = -3

The required equation:  $(x-1)^2 + (y+3)^2 = 25.$ 

2. The equation of normal to the circle at (2, 1) is

The centre is the intersection of

the two line x+y=3 and y=-2xput y=-2x in x+y=3x-2y≈3

coordinates of centre is (-3, 6) radius:  $\sqrt{(2+3)^2+(1-6)^2} = \sqrt{50}$ Equation of the circle:

3. Since the circle touches the line x+2y-3=0 and x+2y-7=0

 $(x+3)^2 + (y-6)^2 = 50.$ 

... the centre lies on the line x+2y-5=0Let (5-2k, k) be the coordinates of

the centre. radius =  $\sqrt{(5-2k-3)^2+(k-1)^2} = \frac{5-2k+2k-3}{\sqrt{1^2+22}} = \frac{2}{\sqrt{5}}$ 

 $(2-2k)^2+(k-1)^2=\frac{1}{5}(4)$ 

 $4-8k+4k^2+k^2-2k+1=\frac{4}{5}$  $25k^2-50k+21 = 0$ 

> (5k-3)(5k-7) = 0 $k = \frac{3}{5}$  or  $k = \frac{7}{5}$

coordinates of centre is (3.8, 0.6) or (2.2, 1.4)The required equation:  $(x-3.8)^2 + (y-0.6)^2 = 0.8$ or  $(x-2.2)^2 + (y-1.4)^2 = 0.8$ .

4. Put x = 3-2y in  $x^2+y^2+x-6y+k = 0$  $(3-2y)^2+y^2+(3-2y)-6y+k=0$  $9-12y+4y^2+y^2+3-2y-6y+k=0$  $5y^2 - 20y + 12 + k = 0$ 

equation.

coordinates of P. Q are (x,y,),

Slope of OP: mx = Slope of OQ:  $m_2 = \frac{2}{x}$ 

.. OP  $\perp$  00, ..  $m_1 m_2 = -1$ 

 $y_1y_2 + x_1x_2 = 0$  $y_1y_2 + (3-2y_1)(3-2y_2) = 0$  $y_1y_2+9-6(y_1+y_2)+4y_1y_2 = 0$ 

 $5y_1y_2+9-6(y_1+y_2) = 0$  $5(\frac{12+k}{5})+9-6(4)=0$ 

12+k+9-24 = 0

k = 3

 $\theta - \alpha = \frac{\pi}{2}$ 

5. Let  $x_1 = n\cos\theta$ ,  $y_1 = r\sin\theta$  $x_2 = r\cos\alpha$ ,  $y_2 = r\sin\alpha$ 

 $x_1 x_2 + y_1 y_2 = 0$ r<sup>2</sup>cos@cos a + r<sup>2</sup>sin@sin a = 0  $\cos(\theta - \alpha) = 0$ 

 $\theta = \alpha + \frac{\pi}{2}$ a)  $x_1^2 + x_2^2$ 

=  $r^2 \cos^2(\alpha + \frac{\pi}{2}) + r^2 \cos^2 \alpha$ = r2(sin2 a + cos2 a)

 $= r^2 \cos^2 \theta + r^2 \cos^2 \alpha$ 

b)  $y_1^2 + y_2^2$ =  $r^2 \sin^2 \theta + r^2 \sin^2 \alpha$ = r2cos2 a + r2sin2 a

= 12

(Proved)

(Proved)

(Ans.)

c)  $x_1y_1 + x_2y_2$ = r2cos0sin0 + r2cos a sin a =  $r^2 \cos(\alpha + \frac{\pi}{2}) \sin(\alpha + \frac{\pi}{2})$ + r2cos a sin a = -r2cos a sin a + r2cos a sin a

6. The equation of normal to the circle

at (1, 2) is

x = 7 - 3ySince the centre lies on the normal .x=7-3y

Let (7-3k, k) be the coordinates of the centre. radius =  $\sqrt{(7-3k-5)^2+(k+2)^2} = \sqrt{(7-3k-1)^2+(k-2)^2}$  $(2-3k)^2 + (k+2)^2 = (6-3k)^2 + (k-2)^2$  $4-12k+9k^2+k^2+4k+4 = 36-36k+9k^2+k^2-4k+4$ 

32k = 32

. centre: (4, 1) · radius:  $\sqrt{(4-1)^2 + (1-2)^2} = \sqrt{10}$ Equation of circle:

 $(x-4)^2 + (y-1)^2 = 10.$ 

7. Put (4, 1) in the circle 16+1-24+a+b = 0

a+b=7 ..... (1) Differentiate the equation of the circle w.r.t.x

 $2x + 2y\frac{dy}{dx} - 6 + a\frac{dy}{dx} = 0$  $\frac{dy}{dx} = \frac{6 - 2x}{2y + a}$ 

Slope of tangent at (4, 1) is  $\frac{3}{4}$ .

 $\frac{6 - 2(4)}{2(1) + a} = \frac{3}{4}$ -8 = 6 + 3a3a = -14

(Ans.)

圖文傳眞

• 熱線電話

熱誠服務●

Let  $y_1$ ,  $y_2$  be the roots of the above

即即

cheseseseseseses

黑牡丹 **与若有所思,令** 

是在推銷一種 你會同意女友







**張修獨特疑具別緻全以得意爲主的** 

酷愛文學,常喜煙文弄恩,與寫隨筆,散文或小說。有女官員,更有護土小姐等等,於此芸芸才女中,不少,報章女記,有銀行職員,洋行文員,女經理,問中也具莎經常結識到後輩, 其中有公關小姐,有什該

自以爲是,不知尊重求改善。一陳太日:「懷中。優妹仔日:「人之量。三爲蠲鉄以

一便妹仔頓脚臼·不用腦筋,單料是在,請有以教我在,請有以教我

的

見女

**宣典**门生

社會的後天的

T ?

E M

S

HIS

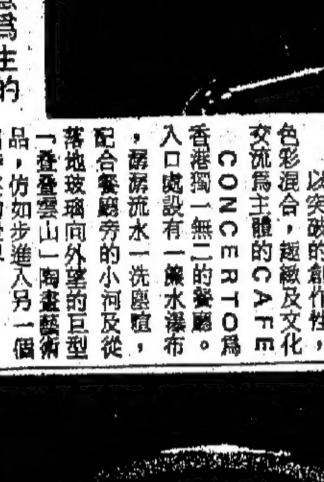
UNT

OUNT

FOR

里 含英

ANK





學

每别人

而忘却了的避不了的 佬細 **惧可惜,這是一種可以發掘自己的優點,**的,但是如果每天也 悲

一去了。为力去發掘自己的優點吧以,當你發覺自己是平庸的一幫時,這也該滿足吧! 服後仍然要踏上死亡之路,但只要取後仍然要踏上死亡之路,但只要 吧時 在暑期

感 ,即使是漫長的暑期年的暑期也不例外地

新學生裏我將包去了,暑假的日本道消沉的日本 和反叛。而我更察覺到生活最沉重的負担不是工作而是 因,只得驅敵和無聊的感覺。可能這就是一般青年的心思有意思的工作幹,但始終提不起勁,可能懶惰是人的思有意思的工作幹,但始終提不起勁,可能懶惰是人的思考意思的工作幹,但始終提不起勁,可能懶惰是人的思考,是樣的善用它……。 一, 在譬期的前夕,總是有看許多許多的計劃,總是是一, 在譬期的前夕,總是有實行,這只是空想,其實也,是樣的善用它……。 放暑假的欲望了。心战力,全力以赴地學習,我現在對是讓我們好好地休息,而我亦達到了 我眞有 香期一舜間就 外地轉眼已過。 ---股要上學的

郭日橋華

要是地價的困難

國著名學家巴

五高齡老者喜歡欣

金華誕

美心集團携手

向

人景色。一彎明境寬敞舒適,落

電視

節目

貌和智 效 眞革命

了發掘自己的優點,這是一 個人也有着不同的缺點,這 人怎樣批評,我也從不記於 人怎樣批評,我也從不記於 內是樣批評,我也從不記於 內是樣批評,我也從不記於 ,滋養另一株植物——有着不同的爱又像葉子——枯了掉到泥土的五臟六腑都流着暖意。 的形式、狀况上上,化成養料

能喚醒萬物的春 我堅

記你的臉 公的歌判如急箭以的歌更嘹亮 以的歌魂

學的精神 雖然未能 與然未能

麼什

粉,清凉直渗心器

(加) 但爱的 來得更早的一來得更早的 仍 味 活 調 終有

不樂的

同各曲

有異人

精

采

演

讓稅細看你的嫵媚細嚼成薄荷葉的芬芳讓我把你的丰姿揉碎

的可給來給一

是愛

, 一電 一是影

非心一肉爱E

总样,适适善誘生权电影,取而代表和电影,取而代表和电影,取而代表和电影,取而代表和电影。取而代表和电影,取而代表的遗属的提出电影,取而代表和电影。

天

勿勿地奔 正有無數激 正有無數激

動

個

電

誰和我

**回想起往時** 

總之,全都

困難時

Q

·感到更温馨·一

他樣可玩戲

大遊會歌士

多一,

日呢?

避去,有的去京,有的去西,况现在移民潮不断不断的增加

會,功人道。

一起學習, 快樂不知時 知你們是否

一起酒香

一班好的陪员

分同意で

階段是最快樂的

戴慧賢

女書院)

**班好朋** 

\_

**嘻嘻哈哈** 

的

V 凡聲

一的時如

· 光多他排新建在固避在惨潭市當此。而們至屋的原的兔某重規場交舉在問現附很房屋地。區,律的

面對

• 堂達袁 • (校學業工仔港香)

九十

年

電

台

如

何

皮裝

。該向

是,尤其

,但總會或多或少的感到有點關膜,但總會或多或少的感到有點關膜機脫色了,就算有空約出來吃餐茶樂的小學階段已經完成了。六年的溫馨,更快樂。 MEJ才可以使我在校园的生型是我身边的好朋友時常「ST」等?身體不適時是誰關心我跟了字,就問當我解决呢?試問:如果,就問當我開心或不開心時 ,轉瞬間就 一起遊玩, 一起遊玩, 試問… 犯 會,電視,電台將來所是個人與一個人。這就是要做到多數。所以一定會落後。在一個人。這就是要做到多數。所以一定會落後。在一個人。這個重要年代的發展,與一定會落後。在一個人。這就是要你到了一定會落後。在一個人。這就是要你們要適合社會的發展,與一定會落後。在一個人。這就是要你們要適合社會的發展,是一個人。這就是要你到了一定會不可以一定的方針,一定會落後。在一個人。這就是要你到了一定會不可以一定的方針,一定會落後。在一個人。這就是要做到多數學不可以一定的方針,一定會落後。在一個人。這就是要做到多數學不可以一定的一個人。這就是要做到多數學不可以一定的一個人。這就是要做到多數學不可以一定的一個人。這就是要做到多數學不可以一定的一個人。這就是要做到多數學不可以一定的一個人。這就是要做到多數學不可以一定的一個人。這就是要做到多數學不可以一定的一個人。這就是要做到多數學不可以一定的一個人。這就是要做到多數學不可以一定的一個人。這就是要做到多數學不可以一定的一個人。 我是清流 留不住影子 迎接你纖纖的倩影 我無暇 和主要奔向大海 那裏有我的使命 伊人哪 請你原諒 那裏的心舟正危 那裏的風暴正狂

友誼難長久

事故聞新

,叫叫通人 時還想解釋 過是同事,可 過是同事,可 過是同事,可

着以如 艦自 桦 帮果 貌叫

樣你當辨

來的性生活? 過數以百計男-

以百計男人的性器官,感覺是十分可怕,會不問:二十六歲的女護士在五年護理病人生涯中

會影响未會影响未

7一囘事了,1人在一起時

,怕來 再時 况足 慌 性 汽, 沒和 , 與 超 命 車最 說 司 便事 來

電店有得

,**在**形容性生活是如何等于用,姬們自然明白這種是

7來如果是和這些形數,所見就一定比較新

迎們自然明白這種賣后,只是職賣的需要, 與土即使抓住男病-

**美國新澤西州** 

八一密,並且供出以付薪方 10年 得不揭露金屋藏孀的秘古鱼 提供所有進支賬目,不且 富商因商業罪案受查, 10年 二人戶口。五年之後,

有良效。

產不中

置

が「親女」・内で 一歩・一會見升で 一般出現她的面が 他們當然不敬い

! 就這對

地」。

地道地方,其本身就是

地道地方,其本身就是

地道地方,其本身就是

在輪候時・工

因此留學生學成後想不

郭日橋華 日七月二十(九八九一)年八十七國民華中 一年 學和深造的人,他們若 學和深造的人,他們若 學和深造的人,他們若 學和深造的人,他們若 一年 學和深造的人,他們若 一年 學和深造的人,他們若 一 說,不要把它成為「火鳳凰」吧料了,損失太大了,不如任它資製了,損失太大了,不如任它資製的關資權,把這隻生金蛋的稠要搞亂香港,把這隻生金蛋的稠 作天趣了。 前事不忘,後事之師的。這種人香港不會這樣嗎?有些人是 專業及特殊才能類 深有以下, 等主用源, 香生同源, 香法一概名畫,既以欣賞 香生同源, 香法本來也是畫, 香法的 不如把口水吐到海裏去 Q有變,原裝原對 o 更,和四十年前的中共 定居,則畢業後想不同庭園聚理由來申請在美無親屬關係,不能以家 (原居地,大致上只有兩條途徑,一是與實) (原居地,大致上只有兩 則另一方選要撥入他出;若配偶是永久居民, 方就可以取得居留權,若配偶是公民,另 都要了,資本 觀浪客 美國移民法有一 美國移民法有一 共的話,有些人以為不如把口水道也是活生生的有例在前的。憲法」,大陸人民何當有保障? **憲法**山 旁 个,「信心問題」的由來。9就是對中共沒有「信心」 C人說,有了「基本法」. 得先領悟他們所完婚領悟行筆之法 取得居留權的情形頗音 7中共沒有「信心」有的以爲絕對不可 見い品 ,只因中共還是四-不少。所以許多人<sup>2</sup> 民妻子或丈夫 離開及在婚後 雙 - 而這樣輕率 不過此法亦 孫燕 先,却必須由聘如何,對他們亦如何,對他們亦 有移民身份的人有公司肯僱用你 一個留學生畢 全世 個世紀 是本文 四个與寫隨筆,對目前 四个與寫隨筆,於此芸芸士 四个與寫隨筆,於此芸芸士 四个與寫隨筆,於此芸芸士 四个與寫隨筆,於此芸芸士 四个與寫隨筆,於此芸芸士 四个與寫隨筆,於此芸芸士 慕耆英而 朝 (· 而且、)

人的打公

扮仍不忘隱約表演一點曲綫

「係你對眼令我透不過氣

一美女在宴會中給一男子死極

「我個心口好實。

意啊」

為課水

移民生活

B

食

她們會驚異地發覺

的

老虎在!
愛和婚姻生活人,/愛和婚姻生活人,/愛和婚姻生活人,/愛和婚姻生活人,/愛和婚姻生活人,/」與看不安,來同走動,食怒下降,與不安,來同走動,食怒下降,學是一個,與不安,來同走動,有時在地上翻來沒去。 老虎發情不分季節,但主要集中在一個,與不安,來同走動,食怒下降,一個主要集中在一個主要集中在一個主要集中在一個主要集中在一個主要集中在一個人。 一個,與一個人。 一個人。 一個人。

廿五的。他們約莫分成十班,每班十,其中,最髙不過七五或以上,然後根據報告,在學校中的學生,

微妙

嗅覺

ACCOUNT FOR(成語)。說明,解釋。

HOW DO YOU ACCOUNT FOR

HAD TO ACCOUNT

FOR EVERY PENNY SHE SPENT.

CANNOT ACCOUNT FOR HIS

THAT WILL ACCOUNT FOR HIS

THERE'S NO ACCOUNTING FOR

HE COULD NOT ACCOUNT FOR HIS

THE POLICE TRIED TO ACCOUNT

TO HIM-

她得向他們說明她每一分數是怎麼花的。

這可以說明他爲甚麼有這樣奇特的行爲。

ABSENCE. 他爲基麼缺席我無法解釋。

STRANGE BEHAVIOR.

FOOLISH MISTAKE.

他無法解釋他所犯的愚蠢錯誤。

TASTES. 口味的愛好是沒法解釋的。

FOR THE BLOOD SPOT.

響察試圖解釋這血迹是怎麽來的。

一道一次在九號與十號的 難,以及條件的拮據。 為這些「次神的兒女」

-號的慈善賣物會日據。所以,便有日本 ) 辦教育的銀

于多贯祭的教材,例如在校中製造最生活,却並不太能改變他們的智商。教育,只是發揮化作的?——

費 類 利 用 到 他 天 的 的

兒女

全以得意爲主的

(K)) 建一定水準,强行將某些課程升格,只像之過急,因為某些專上學院課程的水準仍供大量學位學額。 供大量學位學額。



FOR THE MONEY PAID 財務負責人必須說明交給他的錢是怎樣用的。 HE WAS UNABLE TO ACCOUNT FOR THE DEFICIT IN THE FIRM'S BALANCE,他無法解釋還家公司在銀行結賬爲甚 有時候表示「殺死」。 WE ACCOUNTED FOR TWENTY IEMY SOLDIERS・我們打死了二十個敵人

THE TREASURER HAS TO ACCOUNT

通常道些

元滿着熱誠而我再也沒有渴望放暑假的欲望了。 1、所以在這新學生裏我將會盡心盡力,全力以赴地學習,我現在對暑期現已過去了,暑假的目的是讓我們好好地休息,而我亦達到了1、我不可再在這消沉的日子下打滾。 在暑期的尾聲,我終於忍受不了自己的懶散,我眞有一股要上學的

二張票

歌,用碎肉拌米飯作品 一般老虎。追種作法不上 是透的黄豆,就像我因 也界大戰期間,歐洲五

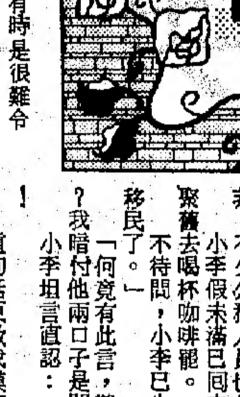
是至的

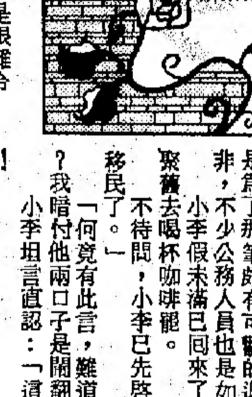
所是要看的,除非妳不想在我哥對她說:「我怎會懷疑妳誰我 我聽她這麽說也笑起來,碑 呢?

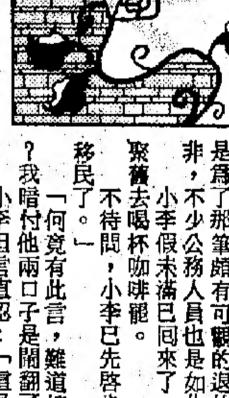
麼年

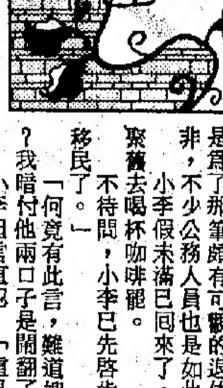
(土選是先)節省時間

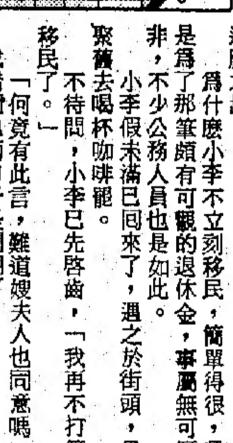


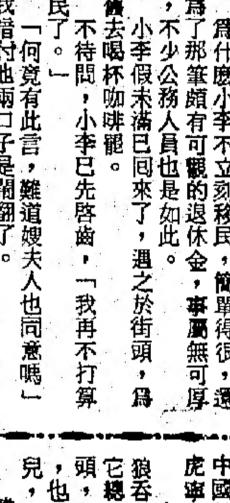












在幼虎受 果能經常嗅聞男子公園期不正常的婦女 漸趨於正常。



以每张一萬六二十百多年的歷史上的藍色郵票

對她倆說:「好了!方女十,還有那處去呢?」爲了節十多年。你們都對我很好,一方女士立即否認說:「 痛的前後情况告訴我吧!對她倆說:「好了!方子

7

得幾分主的。 」 得幾分主的。 」 「大丞相極了,有什麽緊

不各地常常取得卓 一來,數量還不断 一來,數量還不断 一來,數量還不断

出來

不, 進宮

本,進宮去見伯顏。完者帖本兩人像獲得了實貝似的,a 「這個自然。」速吉兒說。

品膘

]接和形象,應放在人不是第一生活條件。

深了。」 福爾摩斯來了 福寨子,福爾摩斯來了 無關的過路人自語道:「解得眞漂亮。」旁邊一

人不舒服,不敢打擾你倆了。,我們近來在外邊玩牌居多,「不是的…因爲我怕嫂去」一一二:朋友之間

彼得 原 表 真 具

倫文叙

**) 搶他娘的有錢** 則低聲地幸災樂

實過

奪宫元

又如何不願相告,須向大丞相要她說出自稱有機密,速吉兒,如何見到了速吉兒,又如何

仕上都。」速吉兒說:「是面,怎會有險?」定住說。丞相現在宮裏,內外有兵,

就。

不定。」
「報是報上去,大丞相見不見你都保「報是報上去,大丞相見不見你都保

、如此多謝兩位將軍。一速占兒報給大丞相知道。不要哭,也不勉强她說,又答應她去不要哭,也不勉强她說,又答應她去

稱王南

洋之華裔

六樓居-

,又是劣 地或他的 對形象徵

上都昇平

謀

位

凌天

股票,仍有康復的 以變主意,對白太 心夢一樣的關絆。 一證明仍未能工作 一說明仍未能工作

,護胡强险

旅遊區聖誕燈

飾

集

令人聯想到 发一,也說 挨一,也說 被一,也說

衣着與包裝

看燈

東復的希望・労對白太太表示

火樹銀花又

(一六) (一六) (十六) (十六) (十六) (十六) (十六)

欣賞尖東不夜天創新懷舊多花樣只求熱鬧不慳錢

鍍金傢具

内 極 外 窗

趣味餐桌

門門 時候,女孩子們也從另一當大伙兒來到大廳的

他們興高釆烈的推開

壁道:「以前還不覺哩, 理晚眞像一對變人。」 理光柔和。 程光柔和。

歩很美麗。」

但沒有答

一阵音樂响起

打動了他的心

5×5×5

「多登對。」 老朱倫

邊。他低聲道:「美倩,的感覺,今晚輕輕來到身們一陣温柔。從來沒有過

邊。他低聲道

但在太平盛世之年,黄金同樣受到歡迎,作爲防身之用。 作爲防身之用。 黃金一直以來都是價值的保證,很受投資

方面黄金也能派上用場,道當然是一兩樣黃金首飾佩戴。(方面,還是最美麗的首飾,不論男不盛世之年,黃金同樣受到歡迎,

日十初月一十年巳己曆夏

民華中

中華民國僑務委員會頒殷登記證台教新字第一

一〇號

記 月第 紙出 承及行發 祉地社總

5款內國民華中 第字台政報单中

更强美能不可方物。好,輕過悉心化粧的她, 和月娥分别在左右,穿著《秋琴站在她身後,小珍 和月娥分别在左右 **登口哨。** 屬門出來。 美備被推走在最前頭 · 但們本就登對。」 · 他們本就登對。」 · 他們本就登對。」

出調舞的手更看得呆了

,随着旋律,雙丁,美倩把手放了,他上前,伸

位等。 位坐在一旁,撫弄着此 秋琴拉了老到下舞池,

各同事也紛紛起舞

他們隨着旋律轉動

雙跳起舞來

5363636363

KXCXX 3

陳家家擁着美情,

業稍 莫離 ·昭孔

不能替代秋琴,對陳家家 ,也收起心內的熱情

情無法替代」,她自忖也 席話,她記憶甚深:「感 陳家家在野火會的一 MENERS WENERS WENER

山旗址

陳老城

小姐耍出擋駕

他真的不在

**招**式來。

TA 京 汞 舊 T.

留留 雲彩

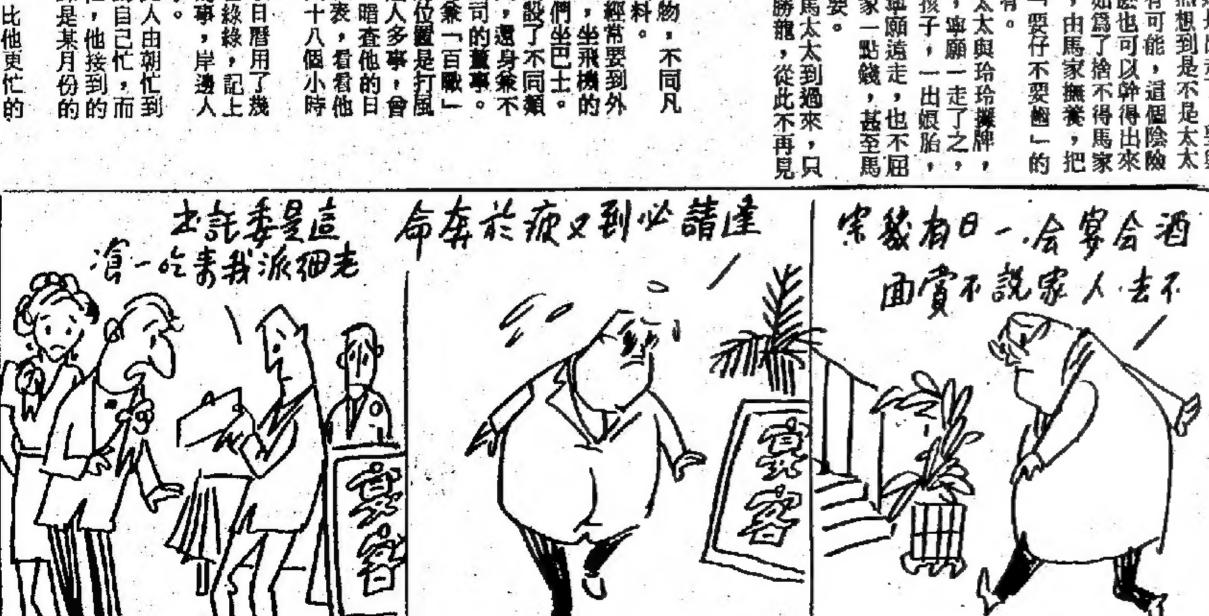
着室領那。專

· 不次。 得快 要依好 時間一請你別煩拳先生露出十分人身邊,認慎地一分人身邊,認慎地一分人人身邊,認慎地一分人人身邊,認慎地 股腦兒衝到領 下 我们 一 我一 一 我一

一遺改道你是 李是天。這 煩

不知道離先離後。
東京,美國紐約相比,
東京,美國紐約相比,

在得眼也在了。 他該日應辦的事,是種顏色,紅紅紅綠綠



親自問她。」「好,明日去把速吉兒接來 機密罷了。伯顏不免有些怒意,只是見到了速吉兒,速吉兒自由伯顏始知兩人並無機密,面陳等等,一一說明。

萬

象

之 中 中 中

所些幽

爲君解結

女士主持

巧反拙的道理

後,亦不斯克果一個人本

華

橋

郭日

女人的眼淚,倒心軟起來,勸她說着說着,就掛了眼淚來。兩人

(二三大) ・高旅 很他但成助 縮着人在然國 少們由爲。造本跨五不外 爲的于統其,身海百自取

開開德里

往事

周簡段

的瘦屑,林奶漢吶

次實在賦極

吉月

來我處,然後一起

元狀,在城實茶。 福臨 。

到底怎的

司

菜,老先生抱着當試的心情把 一首詩,可是請了許多有名 一首詩,可是請了許多有名 的讀書人配了三十多首,竟 的讀書人配了三十多首,竟 一首詩,可是請了許多有名 一首詩,可是請了許多有名 一首詩,可是請了許多有名 一首詩,可是請了許多有名

彼得客居的酒

,旁觀的人大失所擎,這成直舊起來。題詩的第一句是文叙來到看了「百鳥歸巢園

· 医詩?無韻無「天生一隻又,略加思索,

春

五

人門不

見

羅中

淚

哈

情懷

昨夕的深夜。

然想到

,我想,我是有能力的,勿念。我是安全的,我還會盡力照顧孩你不會找到我,你也不必找我

一日八八八次和

一、「平貴別度 和忠烈的,主要 電傳國所定 嚴格挑選的。

**一种如响雷** 中,他有

CIII

如,那管得了

一忽見也離不 宣許多

?」彼得表示頭,好像有說 股市 (1) 一种 (1) 一

便沒有母親,她率願遠走,也不用見 服,她不會要馬家一點錢,甚至馬 勝龍的錢也不再要。 信裏沒有說馬太太到過來,只 問題也不再要。 」 一個沒有母親,她率願遠走,也不屈 她不肯讓自己的孩子,一出娘胎,而玲玲堅决不肯,寧願一走了之,而玲玲堅决不肯,寧願一走了之,把戲,舊家庭常育。 把戲,舊家庭常育。 ,違 ,如為了捨不得馬家 什麽也可以幹得出來 是大有可能,這個陰險

獲 画州

4

題詩

四,下下下、活致低,他母使他們的話聲滅低,他母使他們的話聲滅低,不會像些倒如嫁給他。 一个不會有人來打擾,不好他們的話聲越低,他們的話聲越低,他們的話聲越低,他是他們的話聲越低,他

,他不是比他們更有,默終須打破的,既上收囘視綫,詢問社的咳嗽了一聲,引

看樣子今天

低聲咆哮著。

是文敏把他灰敗的臉埋在雙手中,不能再避我。 ] 不能再避我。 ] 了一切後果,我的損失不比别人輕,你了一切後果,我的損失不比别人輕,你

後朗的何於使姐姐答

樂

選 檡

與是氣煞

始我們孤男寡女郎 她更贬次在門外巡 當我們爲了逃避 公?於是眼光灼灼 看看等

女外避灼是 外避的 医外侧 医

便是有是字眼時



1、基胚時候才能雨是樣的一個天氣,甚至,幾個人圍著爐火在閃爍。然而,門窗的緊緊的關閉了門窗條緊緊的關閉了門窗的緊緊緊的關閉了門窗 朱秀娟

?」何尚仁壓著喉嚨,額頭暴著為一向開朗的面上佈著苦笑。 你就是拿刀劈我兩下我也實成。 這樣的忍住他的脾氣。 可,我與想好好揍你一頓。」何尚 我無論如何不能了解你,要是可我無論如何不能了解你,要是可